



**HAL**  
open science

# La parure du site de Dikili Tash au Néolithique Récent ( fin du 6e et 5e millénaire av. J.C. ) dans son contexte égéo-balkanique

Céline Choquenot

## ► To cite this version:

Céline Choquenot. La parure du site de Dikili Tash au Néolithique Récent ( fin du 6e et 5e millénaire av. J.C. ) dans son contexte égéo-balkanique. Archéologie et Préhistoire. Université Panthéon-Sorbonne - Paris I, 2023. Français. NNT : 2023PA01H047 . tel-04573972

**HAL Id: tel-04573972**

**<https://theses.hal.science/tel-04573972>**

Submitted on 13 May 2024

**HAL** is a multi-disciplinary open access archive for the deposit and dissemination of scientific research documents, whether they are published or not. The documents may come from teaching and research institutions in France or abroad, or from public or private research centers.

L'archive ouverte pluridisciplinaire **HAL**, est destinée au dépôt et à la diffusion de documents scientifiques de niveau recherche, publiés ou non, émanant des établissements d'enseignement et de recherche français ou étrangers, des laboratoires publics ou privés.

## THÈSE DE DOCTORAT

Pour l'obtention du grade de  
Docteur en Archéologie de l'Université Paris 1 Panthéon Sorbonne

### **La parure du site de Dikili Tash au Néolithique Récent (fin 6<sup>e</sup> et 5<sup>e</sup> millénaire av. J.-C.) dans son contexte égéo-balkanique**

Présentée et soutenue publiquement le 24 novembre 2023 par

**Céline CHOQUENET**

sous la direction de **Pascal DARCQUE**

Jury composé de :

**Sandrine Bonnardin**, maître de conférence, université de Nice (examinatrice)

**Pascal Darcque**, directeur de recherche émérite, CNRS - Archéologies et Sciences de l'Antiquité, Nanterre (directeur)

**Raiko Krauß**, professeur, université de Tübingen (rapporteur)

**Catherine Perlès**, professeure émérite, université de Paris Nanterre (examinatrice)

**Haris Procopiou**, professeure, université de Paris 1 - Panthéon - Sorbonne (examinatrice)

**Soultana Maria Valamoti**, professeure, université de Thessalonique (rapporteur)



# Table des matières

<b>Remerciements</b> - - - - -	<b>7</b>
<b>Introduction</b> - - - - -	<b>-11</b>
<b>Chapitre 1 - Le site de Dikili Tash et l'étude de la parure</b> - - - -	<b>17</b>
<b>1. Histoire des recherches</b> - - - - -	<b>-18</b>
1.1. Les premiers sondages - - - - -	-18
1.2. Le premier programme de fouilles - - - - -	-18
1.3. Le deuxième programme de fouilles - - - - -	-19
1.4. Le troisième programme de fouilles - - - - -	-22
<b>2. Chronologie et terminologie</b> - - - - -	<b>-23</b>
2.1. Le site de Dikili Tash et ses occupations - - - - -	-24
2.2. Les études antérieures sur la parure du site de Dikili Tash - - - - -	-25
<b>3. L'acquisition des pièces de parure et leur traitement</b> - - - - -	<b>-27</b>
3.1. Les méthodes de fouilles - - - - -	-27
3.2. L'enregistrement des données sur le terrain - - - - -	28
3.3. L'enregistrement des données en post-fouille - - - - -	-29
3.4. Le traitement des vestiges et leur restauration - - - - -	-31
3.5. Les méthodes d'observation et d'analyses - - - - -	-32
<b>Chapitre 2 - Typologie des objets</b> - - - - -	<b>37</b>
<b>1. Dénomination dans les précédentes études</b> - - - - -	<b>-37</b>
<b>2. Compilation des dénominations</b> - - - - -	<b>-39</b>
<b>3. Critères retenus</b> - - - - -	<b>-42</b>
3.1. Les classes - - - - -	-42
3.2. Les sous-classes - - - - -	-43
<b>4. Les données quantitatives</b> - - - - -	<b>-46</b>
<b>Chapitre 3 - Les matériaux</b> - - - - -	<b>53</b>
<b>1. Caractéristiques des matériaux</b> - - - - -	<b>-53</b>
1.1. Pierre - - - - -	-53
1.2. Coquille- - - - -	-55
1.3. Os – dent- - - - -	-56
1.4. Terre cuite- - - - -	-56
1.5. Métal (or-cuivre) - - - - -	-58
<b>2. Description et provenance des matériaux</b> - - - - -	<b>-59</b>

2.1. Les pierres- - - - -	59
2.2. Les coquillages - - - - -	60
2.3. Les matières osseuses : os et dent - - - - -	68
2.4. La terre cuite- - - - -	69
2.5. Les métaux (or-cuivre) - - - - -	69
<b>3. Bilan de l’approvisionnement en matériaux - - - - -</b>	<b>71</b>
<b>Chapitre 4 - Les chaînes opératoires - - - - -</b>	<b>73</b>
<b>1. La démarche - - - - -</b>	<b>73</b>
1.1. L’apport des données tracéologiques- - - - -	73
1.2. L’apport des études sur les outils - - - - -	73
1.3. L’apport des données bibliographiques- - - - -	74
<b>2. Les perles - - - - -</b>	<b>75</b>
2.1. Les lots de perles discoïdales en pierre et coquillage- - - - -	75
2.2. Les autres perles en pierre et coquillage - - - - -	83
2.3. Les perles en terre cuite - - - - -	88
2.4. Les perles tubulaires en dentale- - - - -	93
2.5. Les perles en métal- - - - -	96
<b>3. Les anneaux - - - - -</b>	<b>101</b>
<b>4. Les appliques - - - - -</b>	<b>107</b>
<b>5. Les pendentifs - - - - -</b>	<b>117</b>
5.1. Les pendentifs de forme naturelle - - - - -	117
5.2. Les pendentifs pyramidaux - - - - -	120
5.3. Les pendentifs issus d’anneaux en spondyle - - - - -	122
5.4. Les pendentifs de forme géométrique- - - - -	124
5.5. Les pendentifs en astragale - - - - -	127
<b>Chapitre 5 - La parure de Dikili Tash dans ses contextes locaux</b> - - - - -	<b>129</b>
<b>1. Les objets du secteur B2 - - - - -</b>	<b>129</b>
1.1. Les objets du Néolithique Récent I - - - - -	129
1.2. Les objets du Néolithique Récent II - - - - -	131
1.3. Les objets sans attribution chrono-stratigraphique - - - - -	136
1.4. Le corpus de parure du secteur B2 - - - - -	140
<b>2. Les objets du secteur I - - - - -</b>	<b>141</b>
<b>3. Les objets du secteur 2 - - - - -</b>	<b>143</b>
<b>4. Les objets du secteur V - - - - -</b>	<b>145</b>

4.1. Les objets de parure du niveau VE/1- - - - -	146
4.2. Les objets de parure du niveau VE/3, « la cour aux silos » - - - - -	151
4.3. Les objets de parure du secteur VO/3, « la maison au bucrane » - - - - -	153
4.4. Les objets de parure du niveau VO/1 - - - - -	155
4.5. Les autres objets du secteur V - - - - -	156
4.6. Le corpus de parure du secteur V- - - - -	158
<b>5. Les objets du secteur 6 - - - - -</b>	<b>161</b>
5.1. La maison 1 - - - - -	162
5.2. La maison 2- - - - -	180
5.3. La maison 3- - - - -	181
5.4. La maison 4- - - - -	185
5.5. La maison 5- - - - -	189
5.6. Le corpus de parure du secteur 6 - - - - -	190
<b>6. L'évolution du corpus de parure de Dikili Tash au cours du Néolithique Récent - - - - -</b>	<b>193</b>
<b>Chapitre 6 - Comparaisons régionales - - - - -</b>	<b>199</b>
<b>1. Les cylindres rainurés- - - - -</b>	<b>199</b>
<b>2. Les perles en pierre et/ou coquille - - - - -</b>	<b>201</b>
<b>3. Les perles en terre cuite - - - - -</b>	<b>207</b>
<b>4. Les perles en métal - - - - -</b>	<b>209</b>
<b>5. Les perles en <i>Dentalium Sp.</i> - - - - -</b>	<b>212</b>
<b>6. Les anneaux en coquille - - - - -</b>	<b>215</b>
<b>7. Les pendentifs pyramidaux- - - - -</b>	<b>221</b>
<b>8. Les pendentifs en dent - - - - -</b>	<b>224</b>
<b>9. Les appliques en dent de suidé- - - - -</b>	<b>225</b>
<b>10. Les pendentifs en astragale- - - - -</b>	<b>229</b>
<b>11. Bilan - - - - -</b>	<b>230</b>
<b>Chapitre 7 - Conclusion- - - - -</b>	<b>233</b>
<b>Perspectives - - - - -</b>	<b>237</b>
<b>Bibliographie - - - - -</b>	<b>239</b>
<b>Table des illustrations - - - - -</b>	<b>257</b>

<b>Annexes</b>	<b>265</b>
<b>ANNEXE 1</b>	<b>267</b>
<b>ANNEXE 2</b>	<b>368</b>
<b>ANNEXE 3</b>	<b>376</b>

# Remerciements

Je tiens en premier lieu à remercier Hara Procopiou qui m'a fait découvrir l'univers de la protohistoire égéenne et m'a suggéré la parure comme domaine de recherche, sujet qui m'a immédiatement passionné.

J'ai également une pensée nostalgique pour ces premières années dans le monde égéen que j'ai pu traverser avec Nathalie Thomas, mon binôme de Master.

Je remercie aussi très chaleureusement Maia Pomadère et toute l'équipe de fouilles pour m'avoir ouvert les portes du chantier de Malia, premier pas dans la culture grecque.

Je tiens également à remercier les équipes de Dikili Tash et tout particulièrement à Pascal Darcque et Zoï Tsirtsoni pour m'avoir accordé leur confiance pour étudier le mobilier de parure de ce superbe site. Un grand merci également à Haïdo Koukouli-Chryssanthaki et Dimitra Malamidou pour m'avoir donné accès au matériel des fouilles grecques, alors inédit.

Merci à tous les fouilleurs et ouvriers de cette fouille pour m'avoir fait passer de superbes étés.

J'exprime ma très sincère reconnaissance à mon employeur, l'Inrap, qui m'a accordé un congé de recherches, me permettant d'achever ce travail débuté il y a fort longtemps.

Un grand merci à tous les collègues de Passy, notamment Nathalie Ameye, Catherine Boishardy, Carole Daroque, Katia Meunier, Rebecca Peake, Ingrid Turé, pour m'avoir permis de relâcher la pression en discutant, en buvant un café ou en faisant du yoga !

Je remercie également l'équipe de Protohistoire Egéenne, notamment Valentine Martin et Quentin Zarka, pour leurs échanges toujours très productifs.

Je me dois de remercier tout particulièrement Pascal Darcque pour m'avoir soutenu durant de nombreuses années, bonnes ou mauvaises, et d'avoir cru en moi. Merci d'avoir toujours été présent et à l'écoute.

Et comme il faut savoir souffler, je remercie ma BFF, Elodie qui a su rester à mes côtés depuis tout ce temps. Merci également à Arthur et Marion, un jour on trouvera Jack l'éventreur !

Une papouille de remerciements à Nora, pour ses encouragements ronflants depuis le canapé lors de mes sessions d'écriture.

Je n'en serai bien évidemment pas là sans le soutien indéfectible de mes parents, qui ont cru en mon projet fou d'archéologie. Merci mille fois d'être là. Je pense également à ma famille de l'Aisne, du Loiret de la Marne et de la Sarthe.

Une tendre pensée à mes deux amours : Alexis et Livia, mes plus belles créations, et un immense merci à mon amour, la plus belle découverte que j'ai faite sur un chantier. Mille merci Vincent pour tout. Je vous aime fort.





# Introduction

Le terme « parure » regroupe un grand nombre d'éléments dont les finalités sont variées depuis l'affichage esthétique jusqu'aux valeurs sociales transmises. Les « parures », au sens le plus large du terme, se présentent sous différentes formes : des bijoux (colliers de perles, bagues, bracelets, boucles d'oreilles, bandeau de tête, etc.), des pièces plus ou moins utilitaires (épée cérémonielle, épingle de vêtement, etc.) ou encore des décorations corporelles (tatouage) ou de vêtement (teinture, tissage, etc.). Cette variété fait dire à F. Infantidis que les individus auraient accès à une « boîte à outils » de décoration corporelle<sup>1</sup>. Ce terme indique bien l'idée qu'un individu choisit dans un large échantillon de moyens afin d'afficher différentes indications liées à son statut, son sexe, son âge, son appartenance à un groupe ou ses goûts esthétiques<sup>2</sup>.

Dans le cadre d'une enquête archéologique en Europe tempérée, nous n'avons accès qu'aux objets de parure, car les décorations corporelles et vestimentaires ne sont qu'exceptionnellement conservées. D'assez nombreuses études menées sur les objets de parure se sont attachées à établir des catalogues d'objets issus des fouilles<sup>3</sup>. Les quelques études plus spécifiques se sont principalement intéressées aux « objets remarquables ». Dans le monde égéen néolithique, cet intérêt s'est principalement porté sur les pièces de parure en coquillage et notamment en spondyle. La littérature scientifique s'est particulièrement intéressée à ce matériau et à sa déclinaison sous forme de bracelet/anneau d'un point de vue de leur circulation en raison principalement d'une source d'approvisionnement très restreinte, la mer Egée, et d'une diffusion très large à l'échelle de l'Europe<sup>4</sup>.

Par la suite, à l'image des études faites sur la parure préhistorique<sup>5</sup>, plusieurs chercheurs se sont orientés vers des analyses techno-tracéologiques<sup>6</sup>, vers des identifications de groupes sociaux<sup>7</sup> ou se sont concentrés sur un type d'objet ou de matériau<sup>8</sup>. En Grèce, les études menées par M.A. Miller sont

---

<sup>1</sup> Infantidis 2019, p.24. L'auteur utilise la formule grecque de « εργαλειοθήκης της σωματικής διακόσμησης »

<sup>2</sup> D'Errico, Vanhaeren 2011, p.62-64.

<sup>3</sup> Du Sud au Nord du monde égéo-balkanique, voici les principaux sites pour lesquels on dispose d'une publication, totale ou partielle, des objets de parure : **Franchthi** (Argolide) : Perlès, Pion 2020 ; **Achilleion** (Thessalie) : Gimbutas, Winn, Shimabuku 1989 ; **Dispilio** (Macédoine occidentale) : Infantidis 2006 et 2019 ; **Servia** (Macédoine centrale) : Mould, Ridley, Wardle 2000, p.173-290 ; **Dimitra** (Macédoine orientale) : Karali 1991, Karali-Yannacopoulou 1997 ; **Dikili Tash** (Macédoine orientale) : Karali-Yannacopoulos 1992 ; **Sitagroi** (Macédoine orientale) : Nikolaidou 2003 ; **Promachona-Topolnitsa** (Macédoine orientale) : Paleologou 2007 ; **Varna** (Bulgarie du Nord-Est) : Eluère 1989, Todorova, Vajsov 2001 ; **Durankulak** (Bulgarie du Nord-Est) : Avramova 2002, Todorova *et al.* 2002 ; **Cf. fig. 1, page 14**

<sup>4</sup> Nous ne citerons ici que quelques ouvrages sur le sujet : Tsuneki 1989, Halstead 1993, Dimitrijevic, Tripkovic 2006, Sfériadès 2010, Nikolaidou, Infantidis 2011, Infantidis 2019.

<sup>5</sup> Taborin 2004, Vanhaeren 2002.

<sup>6</sup> Miller 1997, Bonnardin 2004, Alarashi 2014.

<sup>7</sup> Vanhaeren, D'Errico 2006, Rigaud 2011.

<sup>8</sup> Vanhaeren, D'Errico 2001, Alarashi 2010, Perlès, Pion 2020.

précurseurs de cette orientation technologique<sup>9</sup>. L'autrice intègre dans le cadre de sa thèse des études quantitatives mais aussi des études tracéologiques à ses réflexions sur la fonction des objets de parure dans les sociétés du néolithique égéen<sup>10</sup>.

Les questionnements sur l'organisation et la diffusion de la production ont également suscité une littérature riche, de même que les aspects symboliques que transmettent ces objets. Par le biais des études ethnographiques, plusieurs chercheurs tentent de mettre en lumière les pratiques sociales en jeu dans la fabrication et l'utilisation des pièces de parure dans la vie quotidienne comme dans l'espace funéraire<sup>11</sup>, mais également la circulation de ces biens au sein des communautés néolithiques<sup>12</sup>.

Les réflexions sur les valeurs transmises par ces objets sont également un aspect étudié par différents chercheurs. Des études ethnographiques ont montré que ces pièces entrent en jeu dans le cadre d'échanges ou de rituels<sup>13</sup>, véhiculant un certain nombre de valeurs.

Mon parcours dans l'univers des parures a débuté lors de mon master 1 où j'ai eu l'opportunité d'étudier la parure en pierre minoenne et plus particulièrement les techniques de fabrication. Cette première étude s'est élargie à l'étude de la parure en pierre dans le monde égéen au cours de mon master 2. Ces premières études m'ont permis de comprendre l'importance d'aborder ces objets sous plusieurs aspects afin de mieux concevoir la place de la parure dans la société mais aussi son rôle dans les relations entre des communautés parfois très éloignées.

La possibilité qui m'a été offerte d'étudier l'ensemble du mobilier de parure issu du site de Dikili Tash m'a permis de me confronter à un corpus important et bien contextualisé. La découverte en 2012-2013 de ce qui s'avérera être un stock de production de parure a élargi mes perspectives en associant à un corpus classique de pièces issus de niveaux d'abandon un très important lot lié à la production.

Le corpus de parure de Dikili Tash offre la possibilité d'aborder un ensemble à la fois hétérogène dans les pièces présentées mais aussi homogène au sein de certains lots. La très bonne contextualisation de ces différents objets permet également de mieux comprendre l'évolution temporelle de cette production au cours du Néolithique Récent.

Mon étude s'inscrit dans la catégorie des corpus de site intégrés à leur environnement immédiat, à l'image des travaux réalisés par M.A. Miller et F. Ifantidis<sup>14</sup>. L'un des premiers objectifs de mon travail a été d'établir un catalogue de données le plus exhaustif possible, en intégrant au mieux ce corpus dans les études existantes afin de permettre une analyse multi-site.

---

9 Miller 2003.

10 Miller 1997.

11 Miller 1997, Bonnardin 2013, Perlès, Pion 2020.

12 Miller 1997, Dimitrijevic, Tripkovic 2006, Perlès 2012, Chapman, Gayadarska 2014.

13 D'Errico, Vanhaeren 2011, p. 64-67.

14 Miller 1997, Ifantidis 2019.

Le nombre significatif, plus de 1800 pièces, des objets découverts lors des campagnes de fouille 2008-2013, dans le secteur 6 et la nature des certaines pièces nous ont conduit à enrichir notre étude avec une approche technologique. Cet aspect technologique avait déjà été étudié par M.A. Miller lors de son étude du corpus de parure issu des deux premiers programmes de Dikili Tash<sup>15</sup>. Mais l'augmentation considérable du corpus impose de reprendre la question en prenant en compte la totalité du corpus et en étudiant l'ensemble des chaînes opératoires mises en œuvre, de l'acquisition des matières premières jusqu'à la finition des objets, les traces de fabrication et d'utilisation ayant été observées au microscope.

Bénéficiant des données de terrain déjà publiées ou enregistrées dans la documentation et/ou dans la base de données du site, il nous semble pertinent, d'autre part, de procéder, à chaque fois que c'est possible, à une remise en contexte des pièces de parure étudiées. Il s'agit d'interpréter les associations contextuelles et de les confronter les unes aux autres. Ce faisant, nous espérons établir l'évolution éventuelle des pièces de parure tout au long des 1200 ans du Néolithique Récent (5400-4200 av. n-è.) ; nous espérons également que cette confrontation éclaire l'interprétation des principaux lots d'objets, tâche beaucoup plus difficile à réaliser sur un site d'habitat que dans une nécropole.

Enfin, nous attendons des comparaisons entre le corpus de Dikili Tash et celui des autres sites du monde égéo-balkanique qu'elles nous aident à comprendre les objets eux-mêmes et qu'elles nous apportent des informations sur les éventuels réseaux de circulation des matières premières et des pièces produites. Au total, il s'agit de mieux appréhender les dynamiques en jeu dans le travail de ces objets de parure.

Les problématiques ainsi définies seront traitées dans les chapitres qui suivent : le chapitre 1 tachera de définir l'environnement de recherches et les méthodes employées ; le chapitre 2 sera consacré à la terminologie typologique ; le chapitre 3 traitera des matières premières utilisées dans la fabrication de la parure, de leur identification et de leur provenance ; le chapitre 4 étudiera les chaînes opératoires mises en œuvre dans la fabrication de chaque catégorie d'objets ; le chapitre 5 analysera la parure de Dikili Tash dans son contexte local en présentant successivement tous les ensembles clos mis en évidence par les fouilles ; dans le chapitre 6, on présentera les comparaisons entre le corpus de Dikili Tash et les pièces de parure connues dans le monde égéo-balkanique, du Péloponnèse au Danube.

---

<sup>15</sup> Miller 1997, p. 185-190.







# Chapitre 1 - Le site de Dikili Tash et l'étude de la parure

Le site de Dikili Tash se présente sous la forme d'un tell, c'est à dire une colline artificielle résultant de la superposition, au fil des siècles, de débris de constructions successives. L'interprétation de ce lieu comme site archéologique date des années 1915-1919, suite à la découverte par C. W. Blegen et F. B. Welch de tessons céramiques et de divers autres objets en surface de ce tell<sup>1</sup>. Par la suite, plusieurs campagnes de fouille vont se dérouler sur différents secteurs de ce site (*fig. 2*).

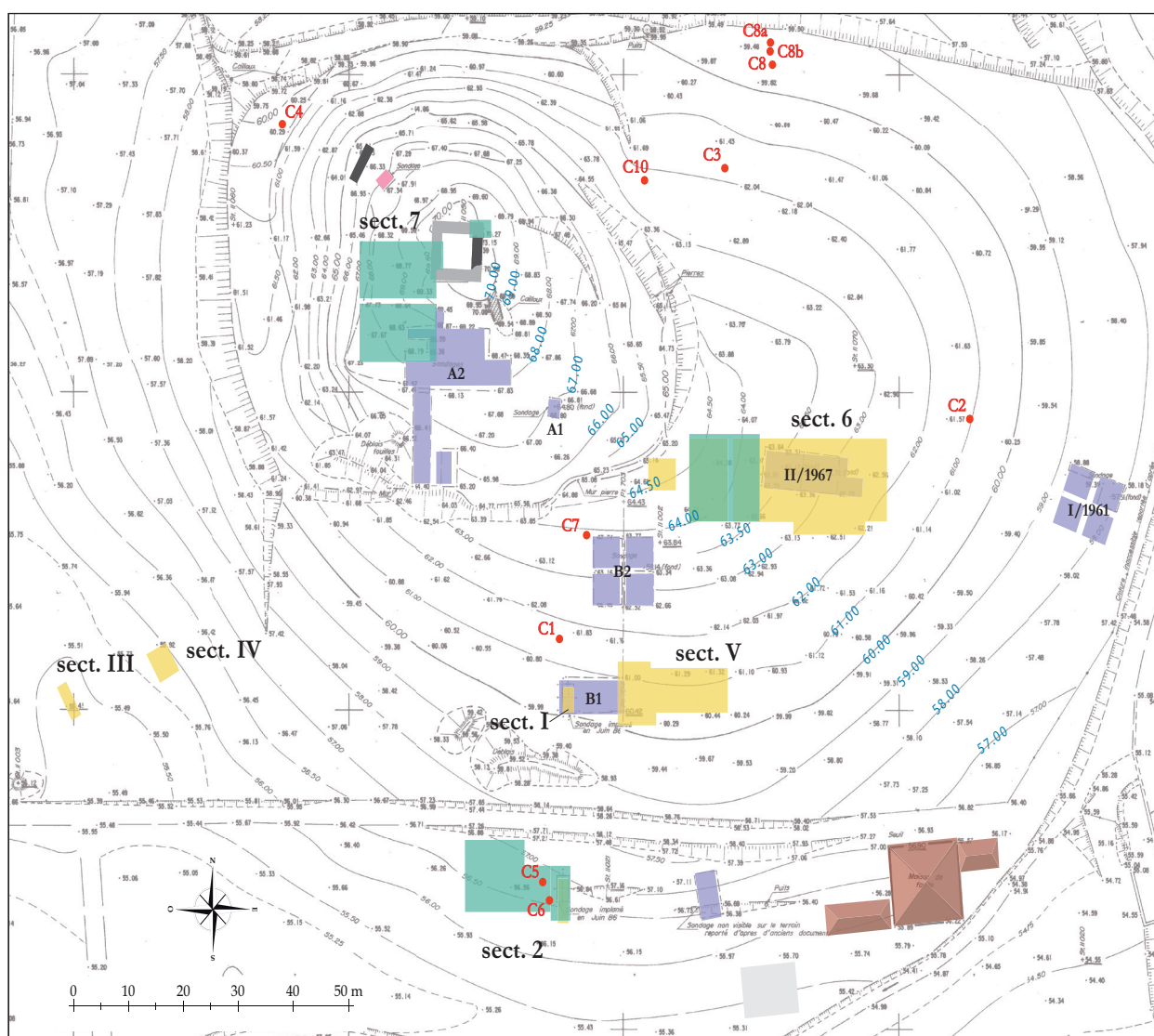


fig. 2 - les secteurs fouillés lors du programme 1 (en mauve), du programme 2 (en jaune) et du programme 3 (en vert) ; en rouge les carottages, 1/1250

<sup>1</sup> Treuil 1992, p. 12.

# 1. Histoire des recherches

## 1.1. Les premiers sondages

Entre 1920 et 1922, L. Renaudin entreprend une série de sondages sur le tell et au pied de celui-ci, permettant la découverte d'un certain nombre de figurines anthropomorphes et zoomorphes. Ces découvertes n'ont pas fait l'objet d'une publication exhaustive. Aucune mention n'a été faite de découverte de pièces de parure.

## 1.2. Le premier programme de fouilles

Il faudra attendre 1961 pour que des fouilles systématiques soient mises en place. Entre 1961 et 1975<sup>2</sup>, deux équipes, l'une grecque et l'autre française, vont réaliser plusieurs sondages dans différentes zones du tell. L'équipe grecque, dirigée par D. Théocharis sous l'égide de la Société Archéologique d'Athènes, a ouvert deux secteurs (I et II), totalisant environ 300 m<sup>2</sup> sur la pente est du tell. Les recherches se sont déroulées en 1961 pour le secteur I et en 1967 pour le secteur II. L'équipe française, dirigée par J. Deshayes sous l'égide de l'École Française d'Athènes, a fouillé trois zones (deux au sommet : A1 et A2 et deux à mi-pente, sur le versant sud du tell : B1 et B2) au cours de six campagnes entre 1961 et 1975.

### 1.2.1. Les secteurs A et B

Ces fouilles ont été réalisées par l'ouverture d'un ou plusieurs carrés de dimensions variables. Chaque carré (ou ensemble de carrés) est composé de plusieurs niveaux numérotés de 1 à n pour chaque ensemble, le niveau 1 étant le plus proche de la surface.

Le secteur A1 se situe au sud-est du sommet du tell. Il consiste en un carré de fouille de 2,25 m de côté. On y a atteint un niveau du Néolithique récent II caractérisé par « *un niveau de terre brun sombre très dure, puis gris et molle* »<sup>3</sup>.

Le secteur A2 se situe au sud du sommet du tell et se compose de quatre carrés de 4 m de côté alignés d'ouest en est. Ils sont nommés R 24, R 25, R 26 et R 27<sup>4</sup>. Cette zone de fouille sera étendue au nord par deux carrés (B' et C', renommés par la suite Q 25 et Q 26) et par une bande longitudinale orientée nord-sud d'une longueur de 15 m, élargie en partie à l'est. Les niveaux fouillés dans ce secteur sont datés de l'Antiquité, du Bronze Récent et du Bronze ancien, mais, dans les carrés R 24, T 24 et U 24 on a atteint des niveaux du Néolithique récent II. Ces derniers se composent d'une couche de destruction, composée de niveaux de cendres, de charbons de bois et de « terre brûlée ». Ces niveaux du Néolithique récent II ont été perturbés par des terriers mais aussi par les glissements des vestiges du Bronze Ancien<sup>5</sup>.

---

<sup>2</sup> Sur le site et les fouilles conduites jusqu'en 1975, voir Treuil 1992, p. 3-17 ; voir le plan des secteurs fouillés Darceq *et al.* 2020b, p. 15, fig. 1-6.

<sup>3</sup> Treuil 1992, p. 27.

<sup>4</sup> Ces quatre carrés ont été initialement nommés A, B, C, D puis renommés en 1969.

<sup>5</sup> Treuil 1992, p. 27.

Le secteur B1 se situe à mi-pente du tell et consiste en un rectangle de fouille de 10 m par 5 m. On y atteint des niveaux du Néolithique Récent I caractérisé par des soles de four et un niveau d'habitation comprenant notamment un four et des éléments d'architecture brûlés.

Le secteur B2 est situé entre les futurs secteurs 5 et 6, et divisé en quatre carrés de 4,50 m de côté : W29, W30, X29 et X30<sup>6</sup>. La fouille de ces carrés a permis d'atteindre les niveaux du Néolithique Récent II sur tout ce secteur, ainsi qu'une partie des niveaux du Néolithique récent I. Ce secteur a livré plusieurs niveaux d'habitations incendiés, contenant des aménagements domestiques (four, sole de four, ...), du mobilier et des éléments architecturaux.

Le lien entre les découvertes de ces différents secteurs n'a pas pu être établi, de même que l'étude de ces données n'a pas permis de préciser le type exact de vestiges présents<sup>7</sup>.

### **1.2.2. Les secteurs I/1961 et II/1967**

Le secteur I/1961 comprend quatre carrés de 4,50 m de côté situé à l'est du tell vers le bas de pente. Les vestiges découverts y datent, pour l'essentiel, du Bronze Ancien II ; ils semblent reposer sur un niveau du Néolithique Récent II dégagé sur une petite surface<sup>8</sup>.

Le secteur II/1967 est située à l'est du tell à mi-pente. A l'intérieur d'un rectangle mesurant 18 x 6 m, onze carrés de 3 m de côté ont été fouillés, soit 99 m<sup>2</sup>. On y a mis au jour de nombreux vestiges du Néolithique Récent II qui ont conduit à étendre les fouilles durant le deuxième programme, dans le secteur VI<sup>9</sup> (*Cf. fig. 2, page 17*).

Ces premières recherches systématiques ont permis de montrer le grand potentiel du site, en particulier pour la période néolithique avec la présence de plusieurs éléments architecturaux laissant envisager la présence de maisons bien conservées<sup>10</sup>.

L'étude des données a permis de montrer l'antériorité du Néolithique en Macédoine et dans les Balkans par rapport au début du Bronze ancien égéen, mais aussi l'existence d'un niveau du Bronze Ancien antérieur au premier horizon d'occupation sur le site de Troie (Troie I)<sup>11</sup>.

### **1.3. Le deuxième programme de fouilles**

Un nouveau programme de recherches a été entamé en 1986 mobilisant également deux équipes de fouilles, l'une grecque et l'autre française. Ce programme s'est achevé en 1996.

Les fouilles se sont poursuivies par l'ouverture de nouvelles zones. Les secteurs I à IV ont été fouillés conjointement par les équipes grecque, menée par H. Koukouli-Chryssanthaki sous l'égide de la Société

---

6 Ces quatre carrés ont été initialement nommés E, F, G, H puis renommés en 1969.

7 Treuil 1992, p. 39-48.

8 Koukouli-Chryssanthaki, Rhomiopoulou 1992, p. 230-231 et 235-247.

9 Koukouli-Chryssanthaki *et al.* 2020, p. 225-226.

10 Treuil 1992, p. 57.

11 Treuil 1992, p. 36-37.

Archéologique d'Athènes, et française, menée par R. Treuil sous l'égide de l'Ecole française d'Athènes. Parallèlement à ces fouilles conjointes, l'équipe française a débuté la fouille du secteur V, tandis que l'équipe grecque a poursuivi ses fouilles autour du secteur II/ 1967, dans un secteur désormais baptisé VI.

Le secteur I se situe dans l'ancienne tranchée AA 28, à l'ouest du secteur B1. Cette tranchée, fouillée lors du premier programme, avait fourni deux soles de four du Néolithique Récent I et la reprise de ce secteur visait à poursuivre la fouille et atteindre les niveaux inférieurs. Cette nouvelle zone de fouille a mis au jour deux nouvelles couches de destruction I/1 et I/2. Le niveau I/2, le plus bas, s'est arrêté à 56,80 m en raison de contraintes techniques<sup>12</sup>. Il est surmonté du niveau I/1 dans lequel une sole de four et plusieurs éléments architecturaux ont été découverts. Ces deux niveaux, de même que les niveaux supérieurs fouillés par J. Deshayes, datent du Néolithique Récent I. Deux datations absolues ont été réalisés sur « *les deux soles de four successives du four 400 par thermoluminescence (TL), puis par luminescence à stimulation optique (OSL)* »<sup>13</sup>. Ces deux datations ont fourni une date comprise entre 5400 et 5200/5100 av. J.-C.

Le secteur II se situe au bas du versant méridional du tell et a pour but « *de répondre aux questions de la limite des habitats en place et de la nature du terrain sous-jacent* »<sup>14</sup>. Constitué d'une tranchée de 2 x 4 m puis 2 x 7 m, ce secteur a mis en lumière l'existence de plusieurs lits de pierre successifs sans réussir à atteindre le substrat. Dans une zone au nord, on a relevé la présence d'une couche de destruction par incendie. La fouille de ce secteur a été reprise et étendue durant le 3<sup>e</sup> programme de recherches (**Cf. , page 22**).

Les secteurs III et IV ont été entrepris afin « *d'apporter des données permettant de comprendre la formation, l'évolution et les limites du tell* »<sup>15</sup>. Ces deux secteurs consistent en deux tranchées de faible superficie (10 m<sup>2</sup> pour le secteur III et 20 m<sup>2</sup> pour le secteur IV) situés à l'ouest au pied du tell. Ces secteurs n'ont pas atteint le substrat et les niveaux atteints correspondent très certainement à des niveaux d'érosion des couches archéologiques du tell.

Le secteur V a été implanté à l'est de l'ancien secteur B1 de J. Deshayes au contact de la tranchée AA 29. Le but de cette nouvelle zone de fouille était de continuer le dégagement de vestiges du Néolithique Récent I<sup>16</sup>. Ce secteur présente un plan globalement rectangulaire auquel on a adjoint quelques extensions permettant d'atteindre 145 m<sup>2</sup> d'ouverture<sup>17</sup>. Ce secteur a été divisé en deux zones VA et VB, remplacée respectivement en 1991 par la dénomination V/Ouest et V/Est. Cette répartition en deux secteurs ne correspond pas à des limites réelles, mais on note dès le début de la fouille que le secteur V/Ouest présente des vestiges du Néolithique Récent I, tandis que les couches supérieures du secteur V/Est sont datées du Néolithique Récent II. Le secteur V/Ouest a fourni « *quatre niveaux d'occupation*

---

<sup>12</sup> Étroitesse de la fouille, moins de 5 m<sup>2</sup>, et profondeur importante, plus de 4 m.

<sup>13</sup> Tsirtsoni 2020a, p. 47-48.

<sup>14</sup> Tsirtsoni 2020a, p. 49.

<sup>15</sup> Faugères, Darcque, Tsirtsoni 2020, p. 99.

<sup>16</sup> Nommé Néolithique Moyen lors du premier programme de recherches.

<sup>17</sup> Treuil *et al.* 2020, p. 107-110.

*principaux et plusieurs lambeaux de niveaux intermédiaires, dont les restes se superposent, et parfois s'imbriquent, sur environ 0,80 m d'épaisseur »*<sup>18</sup>. Tous ces niveaux sont datés du Néolithique Récent I (**fig. 3, page 24**). Le secteur V/Est « a mis en évidence des parties d'au moins cinq niveaux d'occupations successifs, dont les restes se superposent sur environ 1 m d'épaisseur »<sup>19</sup>. Le niveau VE/1 est daté du Néolithique Récent II, le niveau VE/2 est daté entre le Néolithique Récent I et le début du Néolithique Récent II, tandis que les niveaux VE/3, VE/4 et VE/5 sont datés du Néolithique Récent I (**fig. 3, page 24**).

Les fouilles se sont poursuivies autour de l'ancien secteur II/ 1967 fouillé par D. Théocharis. Ce secteur, nommé secteur VI et subdivisé en neuf sous-secteurs, a permis l'ouverture de 482 m<sup>2</sup> <sup>20</sup>. Dans la continuité des découvertes faites lors du premier programme, ces fouilles ont permis de mettre au jour plusieurs unités d'habitation (maison 1 à 5) datées du Néolithique Récent II (**fig. 199, page 161**). Ces maisons ont été plus ou moins dégagées lors ce programme, les maisons 3 et 4 étant celles qui ont été fouillées le plus complètement. La maison 2 a été partiellement fouillée ce qui explique le peu de vestiges découverts<sup>21</sup>. On citera néanmoins la présence d'un four/foyer et quelques éléments mobiliers. La maison 5<sup>22</sup> a été identifiée lors de ce programme comme étant la partie « nord » de la maison 2. Distinguée dans la publication du secteur, cet édifice n'est que très partiellement dégagé mais a permis la découverte de deux fours/foyers. La maison 3<sup>23</sup> a été plus largement fouillée, mais la perturbation des couches par des fosses du Bronze Ancien et des terriers d'animaux rend l'image de cet espace moins claire. De plus, la fouille n'a pas entièrement démonté la couche de destruction ce qui rend encore plus compliquée la compréhension de cet édifice. La fouille de cette maison a mis au jour un grand nombre de fragments architecturaux, des aménagements (four/foyer, plate-forme) ainsi que des éléments mobiliers (céramique, outillage, parure). La maison 4<sup>24</sup> montre une répartition tripartite de l'espace et la quasi-totalité de la couche de destruction a été démontée. De nombreux éléments architecturaux, du mobilier ainsi que des aménagements (fours, plates-formes) y ont été mis au jour. De plus, certaines données indiqueraient la présence d'un étage dans l'une des pièces. Enfin la fouille de la maison 1 a également été commencée lors de ce programme, avec notamment la découverte de restes botaniques (pépins et peaux de raisin) indiquant une activité de vinification<sup>25</sup>. Les espaces entre les maisons ont également fait l'objet de fouilles. On y note parfois « des lambeaux de sols piétinés »<sup>26</sup> mais aussi des éléments mobiliers en plus faible quantité<sup>27</sup>.

---

18 Treuil *et al.* 2020, p. 110.

19 Treuil *et al.* 2020, p. 174.

20 Koukouli-Chryssanthaki *et al.* 2020, p. 225-229.

21 Koukouli-Chryssanthaki *et al.* 2020, p. 309-313.

22 Koukouli-Chryssanthaki *et al.* 2020, p. 313-326.

23 Koukouli-Chryssanthaki *et al.* 2020, p. 331-353.

24 Koukouli-Chryssanthaki *et al.* 2020, p. 355-393.

25 Koukouli-Chryssanthaki *et al.* 2020, p. 228.

26 Koukouli-Chryssanthaki *et al.* 2020, p. 303.

27 Koukouli-Chryssanthaki *et al.* 2020, p. 303-307, 326-331, 353-355.

## 1.4. Le troisième programme de fouilles

Débuté en 2008, ce nouveau programme, qui s'est déroulé sur quatre campagnes de fouilles, s'est attaché à mieux comprendre l'évolution du site depuis ses origines jusqu'aux temps modernes. Pour ce faire, trois nouveaux secteurs ont été ouverts dans la continuité immédiate des zones précédemment fouillées. Ainsi le nouveau secteur 2 représente une extension du sondage II ouvert lors du précédent programme. Le secteur 6 poursuit et agrandit la fouille débutée à l'ouest de l'ancien secteur VI. Le secteur 7 poursuit les fouilles menées au sommet du tell lors du premier programme. Par ailleurs, des carottages intra-site ont tenté d'établir la séquence des premiers niveaux d'occupation néolithique<sup>28</sup>.

Le secteur 2 poursuit plus à l'ouest le sondage II ouvert lors du précédent programme. Au total, cette zone a été fouillée sur 142 m<sup>2</sup> et a permis la mise au jour d'une séquence stratigraphie très importante. Le niveau le plus ancien (niveau 2-7) correspond à une fréquentation de cette zone datée, par datation <sup>14</sup>C, entre le Néolithique Ancien et le Néolithique Récent I avec notamment un creusement dans le sol naturel et la formation d'un paléosol. Par la suite, un niveau (niveau 2-6) se met en place et correspond en réalité à plusieurs occupations successives marquant une extension de l'habitat vers le sud. Ce niveau se caractérise par la découverte de vestiges de deux fours pouvant être datés du Néolithique Récent II. Les autres niveaux seront constitués de phases de colluvionnement et d'abandon marqués par la présence d'importants amoncellements de pierre, issus probablement d'une structure de type mur d'enceinte à proximité. Ces différents épisodes de colluvionnement ont fourni du mobilier daté entre le Néolithique Récent II et le Bronze Récent<sup>29</sup>.

Dans le secteur 6, on a poursuivi les investigations menées lors du deuxième programme de recherche<sup>30</sup>. La fouille s'est concentrée principalement sur la maison 1 et ses alentours. Le dégagement de la couche de destruction entreprise lors du programme précédent a été entièrement réalisé. Cette nouvelle phase de recherches a montré que cet édifice comporte notamment de deux fours, ce qui laisse supposer l'existence de deux espaces plus ou moins distincts dans lesquels un très grand nombre de vestiges ont été découverts (restes botaniques, outillage, parures, céramiques). La découverte des sols sur lesquels gisaient un grand nombre de vestiges en place a permis de mettre en lumière l'aménagement interne de cette maison.

Dans le secteur 7, situé au sommet du tell, on a poursuivi les investigations menées lors du premier programme de fouille par l'agrandissement et le dégagement de plusieurs niveaux. Les plus anciens niveaux datés de ce secteur concernent l'Âge du Bronze ; les niveaux du Néolithique n'ont pas été touchés dans ce secteur par les recherches du 3<sup>e</sup> programme.

---

<sup>28</sup> Lespez, Glais, Tsirtsoni 2020, p. 505-534.

<sup>29</sup> Tsirtsoni, Germain-Vallée, Malamidou 2020, p. 94-97.

<sup>30</sup> Koukouli-Chryssanthaki *et al.* 2020, p. 243-303.

## 2. Chronologie et terminologie

En raison de la longue période d'activité sur ce site de fouilles, la terminologie, notamment en terme de chronologie, a considérablement évolué. L'enrichissement des données bibliographiques ainsi que le recours plus systématique aux datations radiocarbone a permis de préciser la chronologie du site de Dikili Tash.

Nous nous appuyerons dans le cadre de cette étude sur la terminologie la plus récente utilisée dans la publication des deuxième et troisième programmes<sup>31</sup> (**fig. 3, page 24**). Ainsi, pour la période néolithique, nous n'appliquerons pas la terminologie en quatre phases (DT I à IV) précédemment utilisée, mais une division en trois périodes principales : Néolithique Ancien, Néolithique Moyen et Néolithique Récent. Cette dernière période sera divisée en deux sous-périodes : le Néolithique Récent I et le Néolithique Récent II. Par ailleurs, il est à noter que l'appellation « Néolithique Moyen » utilisée dans la publication du premier programme sera considérée comme le Néolithique Récent I et le « Néolithique Récent » sera dénommé Néolithique Récent II.

Concernant les datations absolues de ces trois périodes, le Néolithique Ancien (NA) serait compris entre 6500 et 5800 av. n-è., le Néolithique Moyen (NM) entre 5800 et 5400 av. n-è., le Néolithique Récent I (NR I) entre 5400 et 4800 av. n-è., le Néolithique Récent II (NR II) entre 4800 et 4200 av. n-è. L'occupation du site se poursuit durant une phase appelée Néolithique Final (4200-3500 av. n-è.) et, après un hiatus, au Bronze Ancien, à partir de 3300 av. n-è., environ. Un nouveau hiatus sépare les niveaux les plus récents du Bronze Ancien des niveaux du Bronze Récent (1550-1100 av. n-è.). Cette chronologie a été obtenue grâce à la mise en place d'une politique de datation qui a débutée dès le premier programme de fouilles par la datation par radiocarbone d'une vingtaine d'échantillons (charbons de bois) à l'initiative de J. Deshayes. Cette stratégie de datation s'est poursuivie au cours du deuxième programme de recherches avec un élargissement des données par des échantillons plus variés et des méthodes plus diversifiées. Le troisième programme a continué d'enrichir les données disponibles, notamment en réalisant des carottages destinés à compléter les informations concernant les périodes les plus anciennes encore non atteintes dans le cadre des fouilles<sup>32</sup>.

---

<sup>31</sup> Darcque *et al.* 2020a, p. 3-4.

<sup>32</sup> Tsirtsoni 2020b, p. 561-566.

<b>Dates av. J.-C.</b>	<b>Dikili Tash 2<sup>e</sup>-3<sup>e</sup> progr.</b>	<b>Dikili Tash 1<sup>er</sup> progr.</b>		<b>Monde égéen</b>	<b>Bulgarie</b>	<b>Troade</b>
		Pha ses	Dat. rel.			
6500-5800	<b>NA</b>	—	—	NA	NA (Karanovo I-II)	
5800-5400	<b>NM</b>	—	—	NM		
5400-4800	<b>NR I</b>	DT I	NM	NR I	NM (Karanovo III) NR (Karanovo IV)	Kum Tepe IA
4800-4200	<b>NR II</b>	DT II	NR	NR II	Chalco- ou Énéolithique (Karanovo V-VI)	
				NF		
4200-3500	<b>NF</b>				Chalcolithique Final Proto-Bronze	
3300-2900	<b>BA I</b>	DT IIIA	BA I	BA I	BA	Kum Tepe IB
2900-2300	<b>BA II</b>	DT IIIB	BA II	BA II		Troie I
2300-2000	—	—	—	BA III		Troie II-V
2000-1550	—	—	—	BM	BM	Troie VIa-d
1550-1100	<b>BR</b>	DT IV	BR	BR	BR	Troie VIe-VII

fig. 3 - La terminologie chronologique des différents programmes à Dikili Tash dans le contexte régional

## 2.1. Le site de Dikili Tash et ses occupations

Ce site se présente sous la forme d'un tell d'une hauteur de 17 m réparti sur environ 4,5 ha. Il se caractérise par l'accumulation de couches d'occupation et d'abandon. La première implantation humaine sur ce site date de la seconde moitié du 7<sup>e</sup> millénaire, d'après des carottages effectués sur le tell. L'occupation du site est continue depuis le Néolithique Ancien jusqu'au Néolithique Récent. L'occupation du tell perdurera au cours de l'Âge du Bronze jusqu'à l'abandon du site à la fin du Bronze Récent (1 100 av. n-è.), avec un hiatus au cours du Bronze Moyen. La fréquentation de ce site ne sera marquée par la suite que par des présences épisodiques entre le 7<sup>e</sup> siècle av. n-è. et le 18<sup>e</sup> siècle de notre ère<sup>33</sup>.

Concernant le Néolithique Récent, les différents programmes de fouille et de recherche ont montré l'existence de niveaux d'occupations caractérisés par des unités d'habitations, entourée en partie par un mur au cours du Néolithique Récent II. Ces unités d'habitation se présentent sous la forme de maisons orientées selon un même axe et possédant plusieurs pièces juxtaposées communicantes ou non entre elles. La fouille de ces habitations a permis de retrouver des sols en place ainsi que, parfois la base des murs. Sur les sols, un certain nombre d'aménagements (fours, plates-formes, etc.) ainsi que de nombreux vestiges mobiliers (vase de stockage, vases pour la préparation et la consommation de la nourriture, pièces de parure, restes botaniques, etc.) ont été découverts *in situ*. L'étude des vestiges architecturaux laisse entrevoir l'existence de structures en étage au sein de certaines maisons. Ces découvertes indiquent des unités à caractère domestique, où, parallèlement aux activités de la vie quotidienne (pré-

<sup>33</sup> Darcque *et al.* 2020c, p. 614-622.

paration et cuisson de la nourriture, stockage, repos, etc.), on entrevoit des activités plus sophistiquées telles que la vinification ou l'artisanat (parure, décoration de vases) réalisées peut-être dans un contexte communautaire<sup>34</sup>.

## 2.2. Les études antérieures sur la parure du site de Dikili Tash

La première étude des objets de parure du site de Dikili Tash a été réalisée par Liliane Karali-Yannacopoulos dans le premier volume sur les fouilles françaises menées lors du premier programme<sup>35</sup>. L'étude des objets est conduite en fonction des catégories typo-fonctionnelles : on distingue des pendeloques, des perles, des bracelets et des objets indéterminés. Dans chacune de ces catégories, les différents matériaux utilisés sont étudiés conjointement. Aucun inventaire global n'a été produit. Les objets du corpus sont comptabilisés dans un tableau indiquant la datation, la provenance (carré), la forme et le matériau. Pour une partie de ces objets, L. Karali-Yannacopoulos indique leur numéro ainsi que leurs dimensions. Néanmoins une grande partie de ces objets n'ont pas reçu de numéro. Il s'agit aussi bien de perles, d'anneau que de coquilles aménagées.

La catégorie des perles a été subdivisée en sous-catégories en fonction des formes : en forme de disque, en forme de cylindre et globulaire. Seules 12 perles sur les 62 perles comptabilisées dans le tableau ont été mesurées.

La catégorie des coquilles aménagées se subdivise en coquilles de bivalve et coquille de dentale. Pour ces objets, aucun numéro ni aucune donnée métrique n'a été fournie. L. Karali-Yannacopoulos précise néanmoins que les coquilles de bivalve concernent des *Cardium edule* et des *Glycymeris glycymeris*.

Pour la catégorie des bracelets, L. Karali-Yannacopoulos effectue une analyse globale sans entrer dans le détail des objets et sans donner de numéro d'inventaire. Elle précise néanmoins que ce corpus d'anneaux se compose de quatre objets complets et 85 fragments. De plus, elle précise des mesures globales pour les diamètres intérieur et extérieur.

Enfin, la catégorie des objets indéterminés correspond à des fragments de nacre dont la fonction comme parure n'est pas assurée.

Cette étude fournit des informations disparates : certaines pièces sont assez précisément décrites, par exemple les pendeloques en dent et os, tandis que pour d'autres, comme les bracelets, l'étude reste globale. Une perle en cuivre fait l'objet d'une mention dans le chapitre sur la parure, mais a également été étudiée par M. Séfériadès dans le chapitre traitant du métal<sup>36</sup>. Enfin nous ferons remarquer qu'aucune étude tracéologique n'a été menée ni d'interprétation proposée quant aux méthodes de production.

Le corpus de parure étudié dans le cadre de cette étude se compose d'un total de 167 pièces, réparties en 16 plaquettes, 89 bracelets et 62 perles. Ces objets n'ont subi à l'époque aucune intervention autre qu'un simple nettoyage léger à l'eau. Ils ont ensuite été stockés au sein de la maison de fouilles.

---

<sup>34</sup> Darcque *et al.* 2020c, p. 617-618.

<sup>35</sup> Karali-Yannacopoulos 1992.

<sup>36</sup> Séfériadès 1992, p.113-114.

Une seconde étude a été menée par M.A. Miller dans le cadre de sa thèse<sup>37</sup>. Cette étude prend en compte la majorité des pièces de parure mises au jour lors des deux premiers programmes des fouilles françaises. Elle recense 125 pendentifs ou perles, 33 coquilles entières modifiées et 108 anneaux<sup>38</sup> soit un total de 266 pièces de parure. L'ensemble de ces objets ont été mesurés et une description de la forme et du matériau a été faite. Dans le cadre de cette thèse, M.A. Miller a mis en place une étude plus approfondie sur les techniques de fabrication de la parure<sup>39</sup>.

Les pièces découvertes lors des fouilles menées par l'équipe grecque n'ont pas fait l'objet d'étude particulière, ni par L. Karali-Yannacopoulos, ni par M.A. Miller, ni aucun autre auteur. Seule une minuscule perle en or, découverte au sein du secteur I en 1961, a fait l'objet d'un article récemment<sup>40</sup>.

---

<sup>37</sup> Miller 1997.

<sup>38</sup> M.A. Miller indique dans son texte avoir étudié 105 anneaux mais inventorie 108 anneaux dans son catalogue. Voir Miller 1997, p.187 et appendix F, p.175-177.

<sup>39</sup> Miller 1997, p.185-190.

<sup>40</sup> Tsirtsoni 2017, p. 1298-1300.

### 3. L'acquisition des pièces de parure et leur traitement

L'étude qui suit prend en compte toutes les pièces de parure issues de contextes néolithiques assurés durant les trois premiers programmes de recherche à Dikili Tash, en tout cas les pièces auxquelles j'ai pu accéder jusqu'en 2016.

Ainsi certaines pièces n'ont pas pu être étudiées dans le cadre de cette thèse. Il s'agit principalement des objets issus du premier programme, comme ceux provenant du secteur I/1961 (fouilles Théocharis) et du secteur A2 (fouilles Deshayes) ; mais également quelques objets ayant été stockés au moment de leur découverte dans d'autres catégories (faune, lithique, etc.) ou dans d'autres lieux de stockage. Au total, on compte 31 pièces issues des fouilles anciennes non étudiées. Vingt-huit pièces issues du secteur 7, daté du Bronze Récent, n'entrent également pas dans la présente étude. Depuis le début du quatrième programme de fouille, qui se déroule depuis 2019, on a mis au jour 135 pièces qui n'ont pas été étudiées. Les objets non étudiés issus des programmes 1-3 seront identifiés dans les catalogues par une mise en italique de la ligne correspondante (**Cf. Annexe 1**).

Comme la mise au jour de ces pièces de parure s'est étalée sur plus de cinquante années de fouilles et d'études (1961-2016), on note une disparité dans les techniques de fouille et d'enregistrement, qui ont évolué avec les nouvelles pratiques et outils de l'archéologie.

#### 3.1. Les méthodes de fouilles

Plusieurs objectifs ont été poursuivis au cours des différents programmes. Durant le premier programme, l'extension des secteurs est restée relativement limitée, car l'un des objectifs majeurs était d'établir la séquence stratigraphique du site, objectif partiellement atteint<sup>41</sup>. Tous les secteurs ont été fouillés manuellement et, à notre connaissance, il n'y a pas eu de tamisage des sédiments.

Au cours du deuxième programme, une partie des secteurs ont été fouillés sur de petites surfaces afin de pouvoir établir plus rapidement une stratigraphie des différents niveaux d'occupation. Cela concerne principalement les secteurs I à IV. A contrario, dans les secteurs V et VI, où l'on souhaitait mettre au jour des unités d'habitation complètes, on a procédé à des fouilles extensives. Cette dernière méthodologie de fouille est celle exclusivement mise en place au cours du troisième programme<sup>42</sup>.

La fouille manuelle (rapide et fine) est celle mise en œuvre sur la quasi-totalité des secteurs de fouille. On notera cependant l'utilisation très limitée d'engin mécanique dans les secteurs 2, III et IV, lors du décapage des couches superficielles<sup>43</sup>. Conjointement à cette fouille manuelle, la découverte de lots exceptionnels a conduit à adapter le mode de prélèvement. Par exemple, on a effectué le prélèvement de certains objets, comme le lot de perles 310.104/10/31 du secteur V, en bloc<sup>44</sup>, le démontage étant réalisé en post-fouille.

---

<sup>41</sup> Koukouli-Chryssanthaki, Rhomiopoulou 1992, Treuil 1992.

<sup>42</sup> Darcque *et al.* 2020b, p. 14-16.

<sup>43</sup> Darcque *et al.* 2020b, p. 16.

<sup>44</sup> Treuil *et al.* 2020, p. 205, fig. 5-150 = infra, chapitre 4, fig. 4-25.

Durant le 3<sup>e</sup> programme, lors de la fouille de la maison 1, des perles découvertes *in situ* en connexion ont été enfilées sur un fil de pêche afin de conserver leur alignement ; ce prélèvement n'a cependant été possible que sur une partie du lot<sup>45</sup>. Parallèlement, durant le 2<sup>e</sup> et le 3<sup>e</sup> programme, la mise en place du tamisage à l'eau (flottation) des sédiments de fouille pour la collecte des restes botaniques a permis d'améliorer sensiblement la collecte des pièces de parure<sup>46</sup>. Dans certains cas même, le tamisage à l'eau a été privilégié à la fouille manuelle après que l'on a repéré la présence d'un lot de parure. Cela explique qu'environ 590 pièces de parure sont issues de ces opérations.

### 3.2. L'enregistrement des données sur le terrain

Lors du deuxième programme, les fouilles ont été effectuées en suivant un quadrillage préétabli de carrés mesurant 1 x 1 m. La dénomination de ces carrés se fait par « *le nom des lignes qui les limitent à l'Ouest et au Sud* »<sup>47</sup>, par exemple 310.106. Les objets sont localisés en fonction du carré et de l'unité stratigraphique dont ils sont issus à l'intérieur du carré, par exemple 310.106/01. Par la suite, un numéro de 1 à n est attribué à chaque objet ou groupe d'objet à l'intérieur de chaque unité stratigraphique (US). Ainsi, le 10<sup>e</sup> objet issu de l'US 1 du carré 310.106 aura été numéroté 310.106/01/010. Par la suite cette numérotation sera modifiée afin de pouvoir être intégrée dans la nouvelle base de données (**Cf. , page 29**).

Lors du troisième programme de fouille, la numérotation des objets a évolué car la délimitation des unités stratigraphiques a été affranchie de celle des carrés, leurs limites étant désormais fondées sur les observations du terrain à l'échelle du secteur fouillé. Par conséquent, on a une numérotation en continu, de 1 à n, à l'intérieur de chaque secteur (2, 6, 7, principalement). Les objets ont été numérotés en fonction de l'US dont ils étaient issus. Un numéro de 1 à n a ensuite été attribué à chaque objet au fur et à mesure de leur enregistrement. Ainsi un objet issu de l'US 6364 portera le numéro 6364-005. La localisation de certains objets, numérotés directement sur le chantier, pourra être plus précise, si un point topographique (coordonnées x, y, dans le quadrillage du site, et z, hypsométrie absolue par rapport au niveau de la mer) a été mesuré à l'emplacement exact de leur découverte. Pour certains lots d'objets, en particulier des perles, un point topographique a été mesuré sur l'un des objets du lot.

La localisation précise des objets par des coordonnées x et y a été grandement facilitée durant le 3<sup>e</sup> programme par le recours à une équipe topographique présente tout au long du chantier et dédiée au géoréférencement des pièces. La plus grande partie des pièces de parure et les points de prélèvement des sédiments destinés à la flottation sont localisés ainsi.

Par ailleurs, un certain nombre de clichés photographiques ont été effectués sur le chantier afin de mettre en place une documentation des objets *in situ*. Ces clichés ont été notamment réalisés lors de la découverte des lots de parure de la maison 1 ou bien encore lors de la découverte d'un collier en connexion dans le secteur V.

---

45 Treuil *et al.* 2020, p. 264-265, fig. 6-44 et 6-48.

46 Darcque *et al.* 2020b, p. 25-26.

47 Darcque *et al.* 2020b, p. 14.

### 3.3. L'enregistrement des données en post-fouille

Les données issues des fouilles du premier programme ont été enregistrées sur des fiches sur papier où figurent une description de l'objet.

C'est lors du deuxième programme de fouilles, dès 1988, qu'a été mise en place une base de données utilisant le logiciel *FileMaker*. Cette base de données, nommée *Dik\_Fiches*, était destinée à l'enregistrement du mobilier. Les études spécialisées à ce stade ne concernaient que la céramique, les fragments architecturaux, l'outillage lithique taillé, les figurines et les maquettes, ainsi que la faune marine. La parure était enregistrée mais pas étudiée.

En 2008, lors de la reprise des fouilles lors du troisième programme, il a été décidé de poursuivre les enregistrements de données dans une base de données utilisant toujours le logiciel *FileMaker* et nommée *DikBASES*. Ce système est une base de données relationnelle comportant une vingtaine de modules dont, notamment, les unités stratigraphiques, le mobilier inventorié, les photographies, les relevés de chantier ou bien encore les dessins d'objets<sup>48</sup>. Utilisée dans un premier temps pour le seul enregistrement des opérations courantes, elle a progressivement intégré les opérations antérieures, d'abord pour certains secteurs fouillés durant le 2<sup>e</sup> programme pour lesquels on disposait d'enregistrements informatiques réalisés depuis 1988 (secteurs dénommés I, II, III, IV et V), puis pour le secteur VI, pour lesquels il n'y avait pas d'enregistrements informatiques récupérables, mais des carnets de fouille et des fiches sur papier très détaillés. Dans tous les cas, la structuration de l'information archéologique permettait de nourrir assez facilement les bases de données *DikUS* et *DikMOB*, ainsi que les bases liées concernant la documentation graphique et archéologique. En effet, on se trouvait toujours à traiter une documentation articulée autour des unités stratigraphiques (*DikUS*) mises en évidence dans les différents secteurs ou sous-secteurs, et d'objets ou de fragments d'objets enregistrés à l'intérieur des unités stratigraphiques en question. Pour ne prendre que quelques exemples concernant directement la parure, on peut constater dans le petit tableau ci-dessous comment, sous des apparences diverses, l'enregistrement de l'information a suivi le même modèle durant les 2<sup>e</sup> et 3<sup>e</sup> programmes<sup>49</sup> (**fig. 4**). Quelques objets provenant des fouilles 1967, dirigées par D. Théocharis dans le secteur 6, ont pu être intégrés d'une façon comparable.

Le numéro d'inventaire comporte donc toujours en tête le numéro du secteur (2, 6, 2, 5, 611 ou 600 pour reprendre les exemples du tableau), le numéro de l'unité stratigraphique combinée avec le précédent (2075, 6490, 228807012, 531710232, 611083 ou 600141) et un numéro d'ordre à l'intérieur de l'US. Dans les pages qui suivent, nous avons décomposé les numéros d'inventaire les plus longs pour davantage de lisibilité : par exemple, 531710232-008 devient 5/317.102/32-008. Certaines pièces découvertes lors du deuxième programme et constituant des lots découverts *in situ* ont été numérotés avec une même combinaison à laquelle a été ajoutée une lettre de l'alphabet afin que chaque pièce ait un numéro d'inventaire propre (par ex. les perles 310.104/10/31 du secteur V qui ont reçu les lettres A à Z puis de AA à SS).

<sup>48</sup> Darcque *et al.* 2020b, p. 31-34.

<sup>49</sup> Les équivalences entre les dénominations anciennes et actuelles des secteurs sont fournies par Darcque 2020b, p. 32-33.

En revanche, la structuration de l'information archéologique disponible pour les fouilles réalisées par J. Deshayes entre 1961 et 1975 a imposé une autre approche. En effet, on ne disposait pour ces recherches que de la publication présentant la stratigraphie sous-secteur par sous-secteur, heureusement avec des indications hypsométriques traduisibles en termes absolus, conformes à la base de nivellement utilisée dans les programmes suivants<sup>50</sup>.

Programme	Secteur, ancien nom	Secteur	US	N° d'inventaire dans DikBASE	Matériau	État	Type
3		2	2075	2075-003	Coquille	Complet	Pendentif
3		6	6490	6490-030	Dent	Presque complet	Applique
2	II	2	288.070/12	228807012-002	Pierre	Complet	Perle
2	V	5	317.102/32	531710232-008	Coquille	Fragment	Pendentif
2	VI-OIKIA 4	611	611083	611083-025	Pierre	Complet	Perle
1	II/1967	600	600141	600141-D067	Coquille	Complet	Pendentif

fig. 4 - Tableau des numérotations du site selon les différents programmes

Dans le secteur B2, celui qui a fourni le plus de pièces de parure, quatre carrés (sous-secteurs) ont été fouillés, W29, W30, X29 et X30. On leur a attribué un numéro : respectivement 101, 102, 103 et 104. Et l'on a enregistré dans DikUS les « niveaux » décrits dans la publication en leur attribuant un numéro d'ordre suivant le déroulement de la fouille. C'est ainsi, par exemple, que dans le carré W29 (101), l'unité stratigraphique 002 est équivalente au niveau 2 de la publication « *niveau mal défini marqué par de nombreuses pierres et, près de la paroi Ouest, un amas de tessons* »<sup>51</sup>. D'après les fiches sur papier archivées ou selon les indications portées sur les étiquettes accompagnant le mobilier, l'on a pu attribuer trois objets à cette « unité stratigraphique », 101002-M0177, 101002-M0200 et 101002-M0226bis, ainsi qu'un groupe de *Cerastoderma Edule* enregistré sous le numéro 101002-M0193. Les numéros d'objet commençant par « M » sont les numéros attribués par J. Deshayes et ses collaborateurs aux objets autres que les fragments ou objets en terre cuite ; dans la documentation et dans les publications relatives à ce programme, on les trouve exprimés sous la forme suivante : M 177, M 200 ou M 226bis.

Plus de 120 objets des fouilles Deshayes sans numéro ont reçu par nos soins un numéro d'inventaire individuel (n° M 5000 à M5122), rappelant par l'usage du préfixe M leur origine.

La localisation précise des objets au cours du troisième programme, grâce à la mise en place de relevés topographiques nombreux, a permis de mettre en place un Système d'Information Géographique (SIG) pour le site de Dikili Tash<sup>52</sup>. Ce SIG a été alimenté par des informations issues du deuxième programme, notamment pour les objets de parure. Ces objets étant liés à un carré de fouille, leur localisation spatiale

<sup>50</sup> Treuil 1992, p. 19-32.

<sup>51</sup> Treuil 1992, p. 26.

<sup>52</sup> Darcque *et al.* 2020b, p.34.

a été définie par défaut au centre du carré. Si plusieurs éléments ont été découverts dans un même carré, les points topographiques ont été décalés afin d'éviter une superposition. Cette dernière technique avait déjà été mise en place pour les lots d'objets retrouvés groupés dans la maison 1 et qui possédaient un unique point topographique (*Cf. fig. 200, page 162*).

### 3.4. Le traitement des vestiges et leur restauration

Suite à leur découverte sur le terrain, les objets, dont la parure, ont été prélevés, numérotés, enregistrés dans la base de données et éventuellement restaurés.

Un grand nombre des objets issus des deux premiers programmes ont été marqués à l'encre sur leur surface. Les objets du troisième programme n'ont pas été marqués, mais individualisés dans des sachets sur lequel est reporté le numéro d'inventaire de la pièce. La découverte de très importants lots d'objets, notamment de perles, dans la maison 1 du secteur 6 nous a obligé à modifier cette mise en sachet par individu. En effet il n'était pas pratique de mettre en sachet individuel plusieurs centaines de petites perles. Chacune de ces perles a obtenu un numéro d'inventaire unique mais elles ont ensuite été enfilées sur un fil de pêche en suivant l'ordre des numéros. Une marque au feutre indélébile sur le fil de pêche permet de connaître le premier numéro de la série. Chaque série de perles a ensuite été mise en sachet avec l'indication des numéros d'inventaire la composant.

Dans tous les cas, l'étude a été réalisée pièce par pièce. Chaque objet a été décrit dans la base de données *DikMOB (fig. 5)*. Cette fiche descriptive comprend les dimensions de l'objet (longueur, largeur, diamètre, épaisseur, diamètre de la perforation) et son poids, sa nature (perle, anneau, applique, pendentif, etc.), le matériau employé, son état de conservation et sa description. Sur les quelques 2300 pièces prises en compte, plus de 650 ont été photographiées<sup>53</sup> et plus de 300 ont été dessinées<sup>54</sup>.

Hormis dans le cas du tamisage, ces objets n'ont pas été nettoyés avant leur étude. Après une première étude, chaque pièce a été délicatement nettoyée à l'eau afin d'éliminer les résidus de terre et ainsi mieux appréhender les éventuelles traces sur la surface.

En raison de leur condition d'enfouissement, certaines pièces ont dû être recollées. C'est notamment le cas d'anneaux en spondyle découverts dans la maison 1 pour lesquels on a pu dans certains cas retrouver des recollages entre deux ou trois fragments. Le cas s'est également présenté pour les appliques en dent qui ont montré une très forte fragmentation. Il a néanmoins été possible de procéder à plus de 45 recollages de fragments entre eux. Ces recollages ont été réalisés par Evangelia Goudakou. Dans le cas des objets recollés, tous les numéros de fragments sont conservés dans la base de données *DikMOB*, mais seul un des numéros est considéré comme numéro principal et l'objet correspondra alors à ce numéro d'inventaire.

---

<sup>53</sup> Les prises de vue ont été effectuées par Philippe Collet et Irimi Miari, ingénieurs à l'École Française d'Athènes, par Evangelia Goudakou, restauratrice, et par Céline Choquenot.

<sup>54</sup> Les dessins des objets de parure ont été réalisés par Ivo Vajsov, Isabelle Bradfer et Rozenn Douaud.

FileMaker Pro - [DikMOB]

Fichier Edition Affichage Insertion Format Enregistrements Scripts Fenêtre Aide

94 202 / 45967 Trouvés (Triés)

Enregistrements Afficher tout Nouvel enregistrement Supprimer l'enregistrement Rechercher Trier

Modèle : SAISIE Format affichage : Prévisualisation

Créé le Modifié le 22/02/2022 Année 1991 N° inventaire 531110205-012 Opération Programme 2-Treuil

Secteur 5 Unité 31110205 N° US 531110205 N° individu 012 Stockage Fiche par

Secteur P1-2 V/E ANNEE 91 311 102 5 12 Philotes Kavala N° Musée

Fiche principale Oui

Ensemble Entité Fait Locus Locus principal 807 d. todo x y z Acquisition N° flottation

Localisation 807 Niveau VE/1\_VE/3 Datation DatationPZ DT I. DT II

Matériau Coquille Nombre Détermination Spondylus Gaederocous Nature Parure Empreintes

Etat Fragment Partie Indéterminée Type Anneau Techn-support

Pourcentage cons. % Datation objet Contexte Vase Famille P2

Décor Niveau objet? Date découverte

DESCRIPTION

façonnage pâte Longueur 3,554 cm

traces faconnaae Traces d'abrasion, stries parallèles, larges, peu profondes / polissage Diam Laroeur 1,526

cuisson Diam assise

forme circulaire Diam max

finition Diam min1

partie travaillée Type perforation Diam min2

décor technique Diam ouverture

motifs H récinient

altérations H totale 1,187

Parallèles Poids 0,145 grammes

Capacité litres

Etude réalisée par en

Céline Choquetnet 2013

Exportation/analyse

N° Demande exp. LABO Méthode Exportation Demande N° de labo Résultat Retour

Photos en classe Dessins Année

Photographies A faire 13A-193 N567-193 2013 Ph. Collet A faire EFA Isabelle Bradfer 1999

Mise au net

Mise au net-déf

Corrélations Etc

Publication

Indiquer la méthode utilisée pour mesurer la capacité dans le champ "Description" du modèle SAISIE :  
mesure directe (eau, billes de polystyrène); mesure graphique ; logiciel (Pot Utility)

fig. 5 - Exemple d'une fichier mobilier dans DikMob

### 3.5. Les méthodes d'observation et d'analyses

L'identification des matériaux employés a posé problème dès la mise en place d'une étude plus poussée des pièces de parure. Suite à la découverte d'un collier en matériau de couleur blanche (310.104/10/31) issu du secteur V/Est<sup>55</sup>, des interrogations sur la nature des matériaux employés ont émergé. Dans le cadre de sa thèse, M.A. Miller s'est également heurté pour certaines pièces à une impossibilité de définir la nature de la matière employée : pierre ou coquille<sup>56</sup>. Dans l'optique de mieux caractériser les matériaux des objets, seize perles (issues du collier précédemment cité) mais aussi un fragment d'anneau en spondyle et trois coquilles ont été envoyés au laboratoire CRPAA (*Centre de Recherche de Physique Appliquée à l'Archéologie*)-Université de Bordeaux dans le cadre de la maîtrise d'Histoire de l'Art et Archéologie de N. Grouet<sup>57</sup>.

<sup>55</sup> Darcque, Touchais, Treuil 1992, p. 717.

<sup>56</sup> Miller 1992, p. 189-190.

<sup>57</sup> Grouet, Gourdon-Platel, Bechtel 1999 ; Bechtel, Gourdon-Platel 2000.

Ces analyses ont comporté une étude macro et microscopique en lumière naturelle, une étude des textures par cathodoluminescence (CL) et par microscope électronique à balayage (MEB), une étude de la nature cristallographique par diffraction de rayons X (DX) et une étude de la composition élémentaire par fluorescence de rayons X.

Dans la continuité de ces études et dans un esprit de d'exhaustivité, des séries d'observations visuelles de la quasi-totalité des objets de parure issus du site se sont accompagnées d'une nouvelle analyse scientifique. L'ensemble des données issues de ces différentes analyses seront traités dans le chapitre 3 consacré aux matériaux.

### ***L'observation macroscopique***

Cette première observation permet rapidement d'identifier certains matériaux qui présentent un aspect très différent des autres. Elle a principalement été efficace pour des objets dont la morphologie initiale n'a pas ou peu été modifiée.

### ***L'observation microscopique***

Dans le cas d'objets trop travaillés, l'observation macroscopique n'a pas permis de déterminer avec précision le matériau employé. Il a dès lors été décidé de mettre en place des observations microscopiques sur la grande majorité des pièces du corpus afin de tenter de déterminer les matériaux travaillés. Pour ce faire, nous nous sommes appuyé sur les conclusions de la série d'analyses mise en place dans les années 1990 par le laboratoire CRPAA<sup>58</sup>.

Les observations ont été faites à l'aide d'un microscope électronique optique (Olympus SZX16) à différentes échelles (Grossissement entre 3.5 et 160). Des prises de vue (430 clichés environ) ont été effectuées dans la cadre d'une documentation des informations. Ces vues microscopiques ont permis d'observer l'agencement de la surface de ces pièces, mais aussi de noter certaines caractéristiques microscopiques. Cette échelle d'observation a également permis de mettre en lumière d'éventuelles traces de fabrication et/ou d'utilisation.

### ***L'analyse par XRF***

Afin de pallier l'impossibilité de définir le matériau pour un certain nombre d'objets, il a été décidé de mettre en place une analyse par spectrométrie de fluorescence X (XRF). Cette analyse a été réalisée grâce à un appareil portable par S. Shalev, Université de Haifa. Cette méthode apportait l'avantage de pouvoir étudier un grand nombre d'objets sur site, de fournir des indications rapidement et de ne pas être destructrice pour les pièces.

---

<sup>58</sup> Cf., page 32.

Dans un premier temps, un référentiel de matière a été établi à partir de plusieurs blocs de marbre (local et extra-régional), de vases en terre cuite provenant du site, de fragments de coquille (brûlé et non brûlé) et de fragments d'os. Ce référentiel nous a permis de corréler les résultats obtenus sur les objets archéologiques. Au total, 147 objets ont été analysés par cette méthode, parmi lesquelles une large majorité de perles. Ces pièces sont issues du secteur 6, du secteur 5 et quelques-unes du premier programme. Dans le tableau des résultats de l'analyse XRF (**Cf.annexe 3**), seuls les éléments chimiques ayant fourni des pourcentages ont été intégrés au tableau pour des raisons de lisibilité.





# Chapitre 2 - Typologie des objets

L'une des premières tâches à accomplir dans l'enregistrement de la base de données consiste à mettre en place une nomenclature des objets permettant le classement des différentes pièces du corpus.

## 1. Dénomination dans les précédentes études

Pour ce faire, il était indispensable de se référer aux précédentes études sur les objets de parure. Trois niveaux d'étude de référence ont été combinés afin de fournir une nomenclature la plus adaptée à notre corpus d'étude.

Les premières études qui ont été prises en compte concernent le site même de Dikili Tash et les sites contemporains spatialement proches. Outre l'étude menée par L. Karali-Yannacopoulos sur le corpus issu des fouilles françaises durant le premier programme de recherches à Dikili Tash (*Cf., page 25*), on se réfère tout d'abord à la thèse réalisée par M.A. Miller sur plusieurs sites de Grèce à la période protohistorique, notamment les éléments de parure du site de Dikili Tash<sup>1</sup>. Parmi les sites avoisinants ayant fait l'objet d'étude des objets de parure, on compte en premier lieu l'étude de M. Nikolaidou<sup>2</sup> réalisé sur le site contemporain de Sitagroi situé à environ 35 km au nord-est, également dans la plaine de Drama. Toujours dans un cadre régional, le site de Dispilio a fait l'objet d'une étude approfondie dans le cadre de la thèse de F. Ifantidis sur les objets de parure de cet habitat lacustre néolithique<sup>3</sup>.

Parmi les autres sites de la région, on compte, en plus des sites étudiés par M.A. Miller, l'étude de L. Karali-Yannacopoulos sur le site du Néolithique Récent de Dimitra<sup>4</sup> ou bien encore le site néolithique de l'Achilleion étudié par M. Gimbutas<sup>5</sup>.

Enfin la thèse de N. Kyparissi-Apostolika fait référence au mobilier de parure de plusieurs sites de Thessalie<sup>6</sup>.

Afin de mieux appréhender le sujet de la parure, il est nécessaire de confronter les différentes études issues de contextes locaux, mais aussi d'élargir la fenêtre d'un point de vue spatial. Ainsi il était indispensable de prendre en compte les différents travaux portant sur l'étude de la parure au niveau régional voire extrarégional, mais également à l'échelle plus large notamment des communautés impliquées dans le processus de néolithisation.

Ainsi le deuxième type d'ouvrage de référence consulté concerne les études d'objets des sites contemporains situés dans l'aire balkanique. On compte notamment l'étude portant sur les sites du Néolithique

---

1 Miller 1997. Cette étude du site de Dikili Tash n'inclut pas les découvertes réalisées lors du 3<sup>e</sup> programme de fouille débuté en 2008.

2 Nikolaidou 2003a et 2003b.

3 Ifantidis 2019.

4 Karali 1991.

5 Gimbutas 1989.

6 Kyparissi-Apostolika 1998.

moyen et récent de la culture Starcevo (2e moitié du 6e millénaire)<sup>7</sup> mais également celles des nécropoles du Néolithique Récent de Varna<sup>8</sup> et Durankulak<sup>9</sup>. Le site roumain de Pietrele<sup>10</sup> permet lui aussi une vision aux frontières des Balkans, tandis que l'étude menée par Z. Siklosi<sup>11</sup> sur les nécropoles occidentales du bassin carpatique permet d'étendre plus à l'ouest nos comparaisons.

Enfin, le choix s'est porté sur des synthèses récentes traitant un grand nombre de sites. Les thèses de S. Bonnardin<sup>12</sup>, M. Roscio<sup>13</sup> et de S. Rigaud<sup>14</sup> font référence avec l'étude de nombreux sites d'Europe occidentale. Ainsi la thèse de S. Rigaud traite de la parure issue d'un site du Mésolithique final du nord-ouest de l'Espagne et de trois sites répartis en Allemagne et s'échelonnant entre le Mésolithique final et la Néolithique ancien. Le travail de S. Bonnardin traite quant à lui de la parure issue de 19 sites du bassin rhénan et de 64 sites du bassin parisien, tous datés du Néolithique ancien. Enfin la thèse de M. Roscio se concentre sur la parure à l'étape ancienne du Bronze final entre le bassin parisien et le Jura souabe. L'ouverture large de ces trois études, tant d'un point de vue chronologique (du Mésolithique au Bronze final) que d'un point de vue spatial (du nord-ouest de l'Espagne à l'est de l'Allemagne en passant par le bassin parisien), offre un échantillon de références typologiques riche.

L'intérêt d'un tel nombre d'études repose avant tout sur la comparaison de ces différents corpus et la mise en valeur des données propres au site étudié. La similarité des productions permettra d'envisager des rapprochements « culturels », tandis que leurs différences mettront en exergue les particularités du site de Dikili Tash. Le deuxième intérêt de cette ouverture permet de confronter les approches techniques mis en place par différents auteurs.

---

7 Vitezović 2011, Vitezović 2013.

8 Todorova, Vasjov 2001.

9 Avramova 2002.

10 Hansen 2011.

11 Siklosi 2013.

12 Bonnardin 2004.

13 Roscio 2018.

14 Rigaud 2011.

## 2. Compilation des dénominations

Les différentes nomenclatures de la littérature s'appuient sur des corpus chronologiquement et spatialement différents, mais également sur l'appréciation de chaque auteur. Néanmoins, il ressort de ces différentes études des classes d'objets similaires. Ainsi on retrouve les dénominations « *perles* », « *pendeloques* » ou « *pendentifs* », « *plaquettes* » ou « *plaques* » et « *bracelets* » ou « *anneaux* ». Les sous-types, quant à eux, sont beaucoup plus variés ; on note des distinctions en fonction de la morphologie (discoïde, tubulaire, cylindrique, etc.), du matériau employé ou du degré de modification (forme naturelle ou travaillée).

### Les perles

Cette classe d'objet est commune à toutes les études portant sur les pièces de parure. Les perles sont définies comme un « *élément compact de petite taille (en deçà de 50 mm de long ou de haut) possédant une ou deux perforations* »<sup>15</sup> ou bien comme des « *objets généralement arrondis à perforation unique centrée dans l'axe de la rotation de la pièce de telle sorte qu'elle puisse tourner sur elle-même autour de cet axe* »<sup>16</sup>. Il est ainsi communément admis qu'il s'agit de pièces de petite taille présentant au moins une perforation le plus souvent axée.

Hormis dans l'étude réalisée par F. Ifantidis<sup>17</sup>, les différents auteurs s'accordent pour diviser cette classe en sous-classes plus ou moins nombreuses, majoritairement en fonction de critères morphologiques. La majorité des sous-classes créées sont très proches malgré une terminologie parfois différente. Ainsi l'étude de M. Nikolaidou<sup>18</sup> compte 14 sous-classes de perles différenciées par leur géométrie (cylindrique, tubulaire, biconique, etc.); l'étude de Z. Siklosi<sup>19</sup> divise les perles selon leur géométrie et leur taille (small disc-shape, large cylindrical, medium-sized cylindrical, irregular-shaped, etc.); S. Bonnardin<sup>20</sup>, quant à elle, crée huit sous-classes de perles ordonnées selon le même critère morphologique (circulaire, tubulaire, carrée, ovale, triangulaire, trapézoïdale, en bobine et en huit) et parfois selon l'emplacement et le nombre des perforations; S. Rigaud<sup>21</sup> reprend cette nomenclature en la simplifiant en cinq sous-classes (discoïde, tubulaire, ovale, rectangulaire, en forme de goutte), mais en ne précisant pas cette fois l'emplacement ou le nombre de perforations contrairement à l'étude de S. Bonnardin. Les études bulgares conduites par H. Todorova ou à sa suite classent également ces objets en fonction de leur morphologie (*zylindrische, rechteckige, fassförmige, Prismaförmige, rhomboide, scheibenförmige*)<sup>22</sup>.

---

15 Bonnardin 2004, p. 59.

16 Barge-Mahieu *et al.* 1991, p. 12.

17 Ifantidis 2006, p.110 L'auteur estime que dans le cadre de son corpus la grande similitude de ces perles ne nécessite pas une typologie très précise.

18 Nikolaidou 2003.

19 Siklosi 2013, p. 200.

20 Bonnardin 2004, p. 6062.

21 Rigaud 2011, p. 50.

22 Avramova 2002, p.198, Todorova, Vasjov 2011, p. 33-42.

Certaines études créent des sous-classes en fonction de la morphologie, mais aussi du type de matériau : ainsi M. Gimbutas<sup>23</sup> sur le site de l'Achilleion recense des perles cylindriques en coquille et des perles cylindriques en pierre verte, tandis que L. Karali-Yannacopoulos<sup>24</sup> distingue six sous-classes de perles-anneau en fonction du matériau utilisé.

### **Les pendeloques ou pendentifs**

Cette classe est nommée soit pendeloque soit pendentif selon les études, mais regroupe le même type d'objet. Le terme « *pendeloque* » est utilisé dans de nombreuses études<sup>25</sup>, sauf dans celle de S. Bonnardin, qui utilise le terme de pendentif<sup>26</sup>. Dans les études anglophones, le terme « *pendant* » est le seul utilisé<sup>27</sup>.

Dans les études grecques, le terme « *περίαπτα* » est utilisé par F. Ifantidis et peut se traduire par l'un ou l'autre des termes français précédents. N. Kyparissi-Apostolika utilise, quant à elle, l'expression « *κοσμήματα με οπή ανάρτησης* » pouvant être traduite par « *bijoux avec trou de suspension* ».

Quel que soit le terme choisi, ces objets présentent une grande variété de sous-classes. Une première sous-classe est celle des objets non façonnés présentant une perforation. Cette sous-classe correspond à une classe dans l'étude de S. Bonnardin, à savoir « *les coquillages et les dents simplement percés (type A)* »; S. Rigaud note six sous-classes de pendeloques répartis en fonction de leur géométrie (arciforme, droite, rectangulaire, etc.); F. Ifantidis a établi, quant à lui, des sous-classes en fonction du type de matériau, puis a décrit les objets par leur géométrie; N. Kyparissi-Apostolika prend le même parti, puisque qu'elle établit des sous-classes en fonction du matériau employé et du nombre de perforations.

La grande variabilité des formes produites implique donc, dans la majorité des études, un grand nombre de sous-classes, qui ne comportent le plus souvent qu'un seul objet.

### **Les boutons**

Cette catégorie d'objet est présente dans le monde égéen, mais aussi dans les Balkans. Par analogie fonctionnelle, de nombreux auteurs leur donnent le nom de « *boutons* », « *buttons* » ou « *κουμπιά* »<sup>28</sup>.

### **Les appliques ou plaquettes**

Ce type d'objet a pu être associé à la classe précédente des pendeloques/pendentifs, notamment dans l'étude de S. Rigaud qui nomme ces objets « *plaquettes-pendeloques* », tandis que S. Bonnardin les nomme « *appliques* ». La littérature régionale utilise plus souvent le terme anglophone de « *plaque* » bien que ces pièces soient assez rares. Dans les études bulgares, ces objets sont nommés en fonction de leur utilisation à savoir « *Gürtelbesatz* » pouvant être traduit par « *garnitures de ceinture* »<sup>29</sup>.

---

23 Gimbutas *et al.* 1989, p. 252.

24 Karali-Yannacopoulou 1997, p. 206.

25 Taborin 1974 ; Rigaud 2011 ; Roscio 2018.

26 Bonnardin 2004, p. xx.

27 Nikolaidou 2003a ; Siklosi 2013.

28 Kyparissi-Apostolika 1998.

29 Todorova, Vasjov 2011, p. 85.

## Les bracelets ou anneaux

Tout comme pour les objets précédents, cette classe est nommée de plusieurs façons selon les études, mais regroupe le même type d'objet. La majorité des études utilisent conjointement les deux termes sans distinction définie comme pour l'étude anglophone du site de Sitagroi<sup>30</sup> où les termes « *bracelet/annulets* » sont utilisés conjointement ou l'étude de S. Rigaud qui justifie la différence entre bracelet et anneau par « *le diamètre plus ou moins grand des pièces* »<sup>31</sup>, reprenant ainsi la distinction faite par S. Bonnardin qui inclut une catégorie « *bague* » pour les exemplaires de petites dimensions<sup>32</sup>.

F. Ifantidis utilise le terme « *δακτύλιο* », traduisible par « *anneau* » pour désigner ces pièces<sup>33</sup>. Quant à N. Kyparissi-Apostolika, elle utilise le terme « *δακτύλιο* » pour les objets considérés comme des bagues et « *βραχιόλα* », traduisible par « *bracelet* », pour les objets considérés comme des bracelets. La distinction entre les deux catégories se fait sur des critères de taille, mais sans que les limites entre catégories ne soient précisées<sup>34</sup>.

Certaines études diviseront ces objets selon leur morphologie générale : « *wide, thin* »<sup>35</sup>. Dans les études bulgares, les termes « *Armringe, Armbänder et Armreifen* » sont utilisés pour désigner ce type d'objet, sans que les distinctions entre ces termes ne soient précisées<sup>36</sup>.

---

<sup>30</sup> Nikolaidou 2003a, p. 337-341.

<sup>31</sup> Rigaud 2011, p. 46.

<sup>32</sup> Bonnardin 2004, p. 62-63.

<sup>33</sup> Ifantidis 2006.

<sup>34</sup> Kyparissi-Apostolika 1998.

<sup>35</sup> Siklosi 2013, p.201.

<sup>36</sup> Avromova 2002, p.198 ; Todorova, Vasjov 2001, p.77.

### 3. Critères retenus

Après cet examen de quelques nomenclatures issues de la littérature régionale et extrarégionale, la présente étude va s'efforcer d'établir une classification des objets de parure du site de Dikili Tash la plus en rapport avec le mobilier découvert tout en prenant en compte les données des précédentes études sur la parure aux périodes anciennes.

Contrairement à d'autres études, seul le critère morphologique entrera en ligne de compte. Comme nous le verrons plus tard, le critère du matériau ne semble pas être absolument déterminant dans les choix effectués au moment de la fabrication. En effet, certains ensembles de perles comportent des pièces en coquille et en pierre dont l'aspect visuel ne montre pas de différence marquante<sup>37</sup>. De la même façon, on peut se demander ce qui prime dans le choix de tel matériau ou de telle forme pour ce qui concerne les pendentifs.

#### 3.1. Les classes

La perforation représente le trait caractéristique qui permet de répartir les pièces de parure selon quatre grandes classes. En effet une même forme peut, selon le type de perforation, présenter un aspect très différent. Le choix du type, de l'emplacement et du nombre de perforation permet de classer les objets dans une première catégorie. Ces trois critères sont les suivants.

- Le premier critère concerne la taille de la perforation : la largeur de celle-ci est soit plus grande, soit égale ou plus petite que le rayon ou la largeur de la pièce.
- Le deuxième critère concerne l'emplacement de la perforation et principalement son positionnement par rapport à l'axe de la pièce. Ainsi les pièces peuvent présenter une ou plusieurs perforations axiales ou une ou plusieurs perforations désaxées.
- Le troisième critère concerne le nombre de perforations : égal ou supérieur à un.

La combinaison de ces trois critères permet de classer les objets de parure du corpus en quatre grands types : les anneaux, les perles, les pendentifs, les appliques (*fig. 6*).

	Largeur de la perforation/rayon- largeur de la pièce		Emplacement de la perforation		Nombre de perforations	
	Plus grande	Egale ou plus petite	Axée	Désaxée	1	>1
<b>Anneau</b>	X		X		X	
<b>Applique</b>		X	X			X
<b>Pendentif</b>		X		X	X	X
<b>Perle</b>		X	X		X	

*fig. 6 - Tableau de classification des différents types de parure*

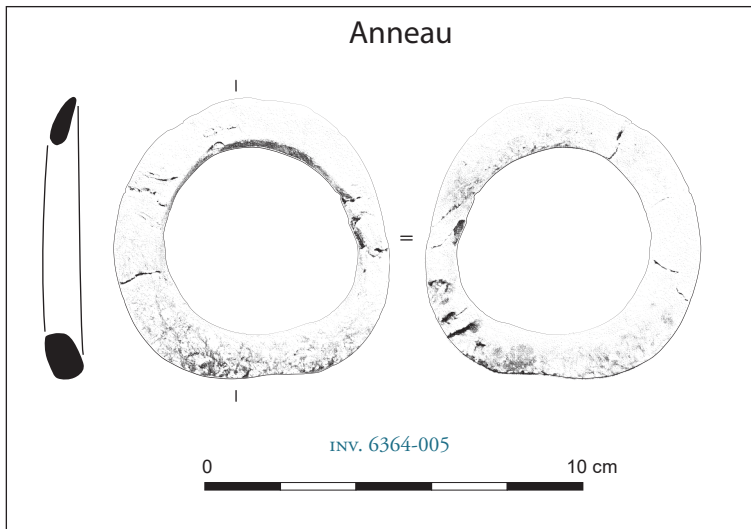
<sup>37</sup> Cf. page 146

### 3.2. Les sous-classes

Un second trait permet de classer les objets en sous-classes à l'intérieur de ces quatre types : la géométrie des pièces. Celles-ci peuvent présenter une forme naturelle ou bien travaillée (discoïdale, tubulaire, conique, etc.).

#### Anneaux

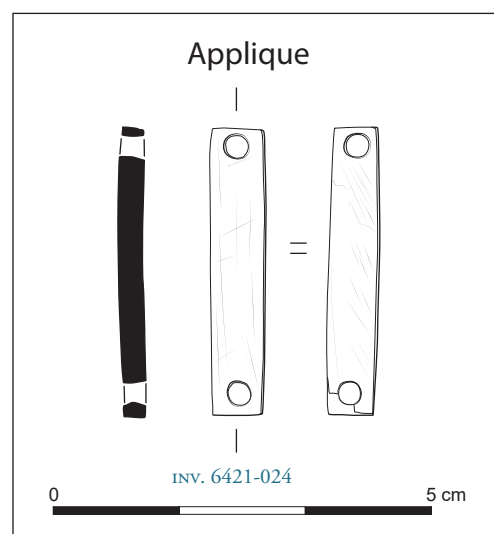
Cette classe ne comporte pas de sous-classe. Il s'agit toujours d'un objet de forme fermée circulaire à ovale évidée en son centre (**fig. 7**).



*fig. 7 - Dessin d'un anneau (dessin et mise au net : R. Douaud)*

#### Appliques

Cette classe ne comporte pas de sous-classe au sein de notre corpus. En effet, seules des appliques de type rectangulaire sont présentes (**fig. 8**).



*fig. 8 - Dessin d'une applique (dessin et mise au net : R. Douaud)*

## Pendentifs

Les formes prises par les pendentifs de notre corpus sont variées. Cependant on note une prédominance des formes dites « naturelles », où l'aspect originel de la matière première n'est pas modifié (**fig. 9**). On compte majoritairement des coquilles mais aussi des dents et des os (astragale). Dans le cas des astragales, certaines pièces présentent une perforation plus ou moins axée. Néanmoins, étant donné l'asymétrie de cet os, tous les astragales seront considérés comme des pendentifs.

On compte également dans le corpus des exemplaires de forme pyramidale<sup>38</sup> (**fig. 10**) et de forme géométrique (**fig. 11**). Pour cette dernière sous-classe, on retrouve des pièces en forme d'étoile à trois ou quatre branches, de rectangle à encoches ou polylobée.

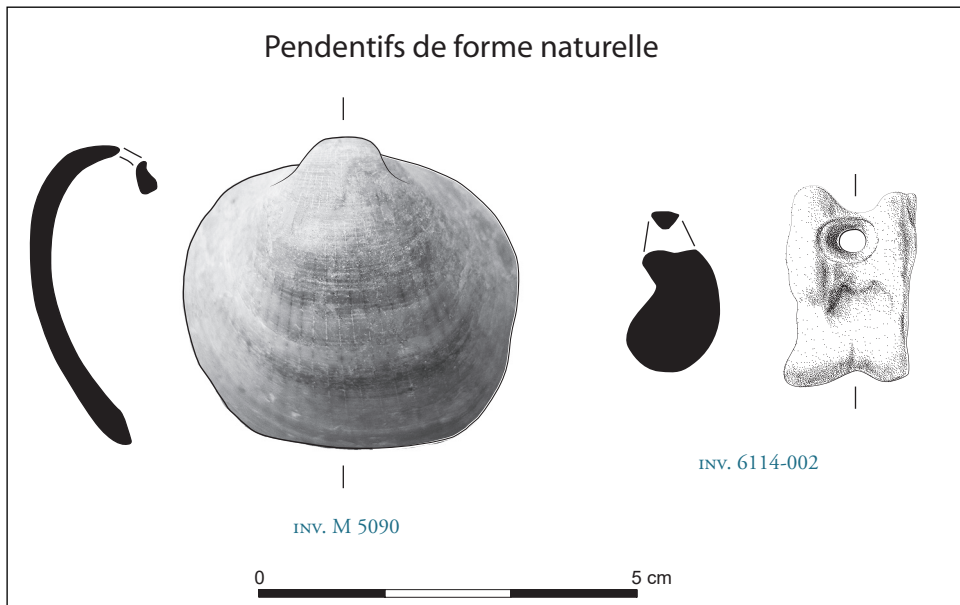


fig. 9 - Dessin de pendentifs de forme naturelle (dessin et mise au net : R. Douaud)

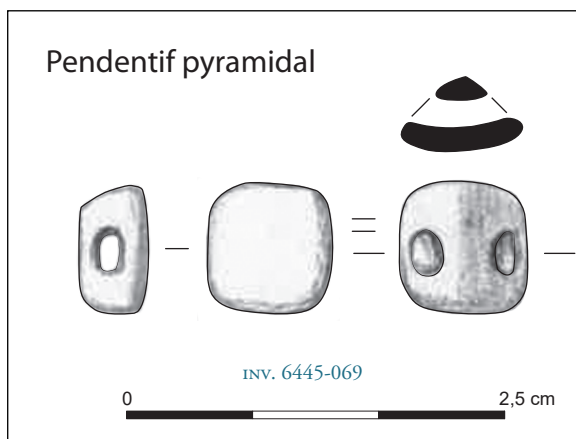


fig. 10 - Dessin d'un pendentif pyramidal (dessin et mise au net : R. Douaud)

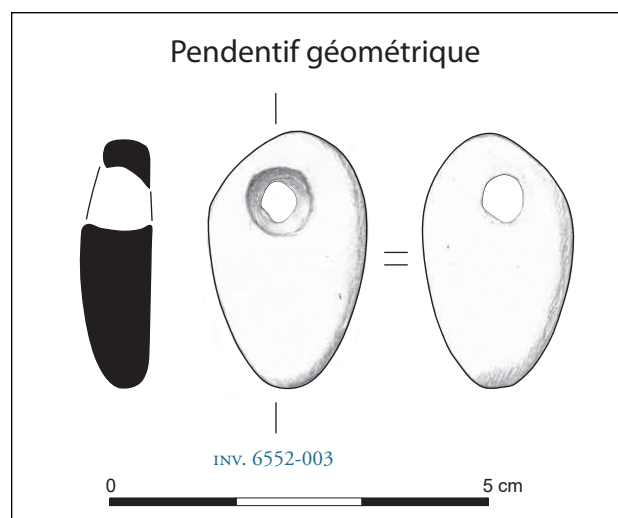


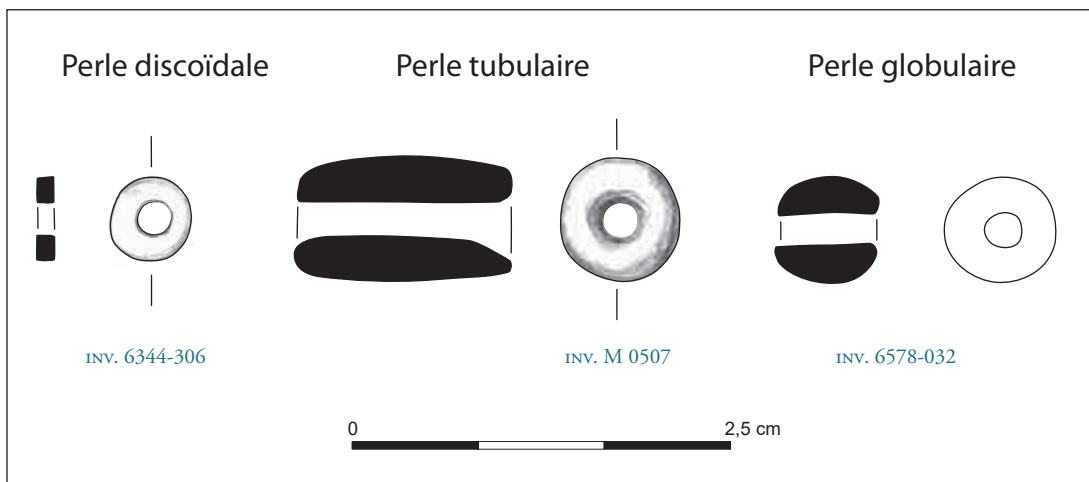
fig. 11 - Dessin d'un pendentif de forme géométrique (dessin et mise au net : R. Douaud)

<sup>38</sup> Il s'agit de la catégorie des « boutons » souvent utilisée dans la littérature.

## Perles

Ces objets présentant une grande diversité de formes, il est essentiel de les ordonner selon des sous-classes en fonction de leur forme (**fig. 12**):

- Perle discoïdale : cette forme possède une géométrie circulaire avec un diamètre supérieur à l'épaisseur.
- Perle tubulaire : cette forme possède une géométrie circulaire avec une épaisseur supérieure au diamètre.
- Perle globulaire : les bords de la perle sont arrondis et les faces sont planes.



*fig. 12 - Dessins des formes des perles (dessin et mise au net : R. Douaud)*

## 4. Les données quantitatives

Le corpus de parure du site de Dikili Tash se compose de 2367 objets de parure, parmi lesquels il faut compter 32 lots d'esquilles de dent de suidé issus de la fragmentation des appliques lors de la destruction de la maison 1. Dans ce corpus, nous comptons également 31 déchets de fabrication en coquille ainsi que 89 éléments ou lots de matière relatifs à la fabrication de la parure, en coquille ( $n = 31$ ) ou en dent ( $n = 58$ ).

Le schéma ci-dessous indique la terminologie utilisée pour la prise des mesures des différents types de parure (**fig. 13**).

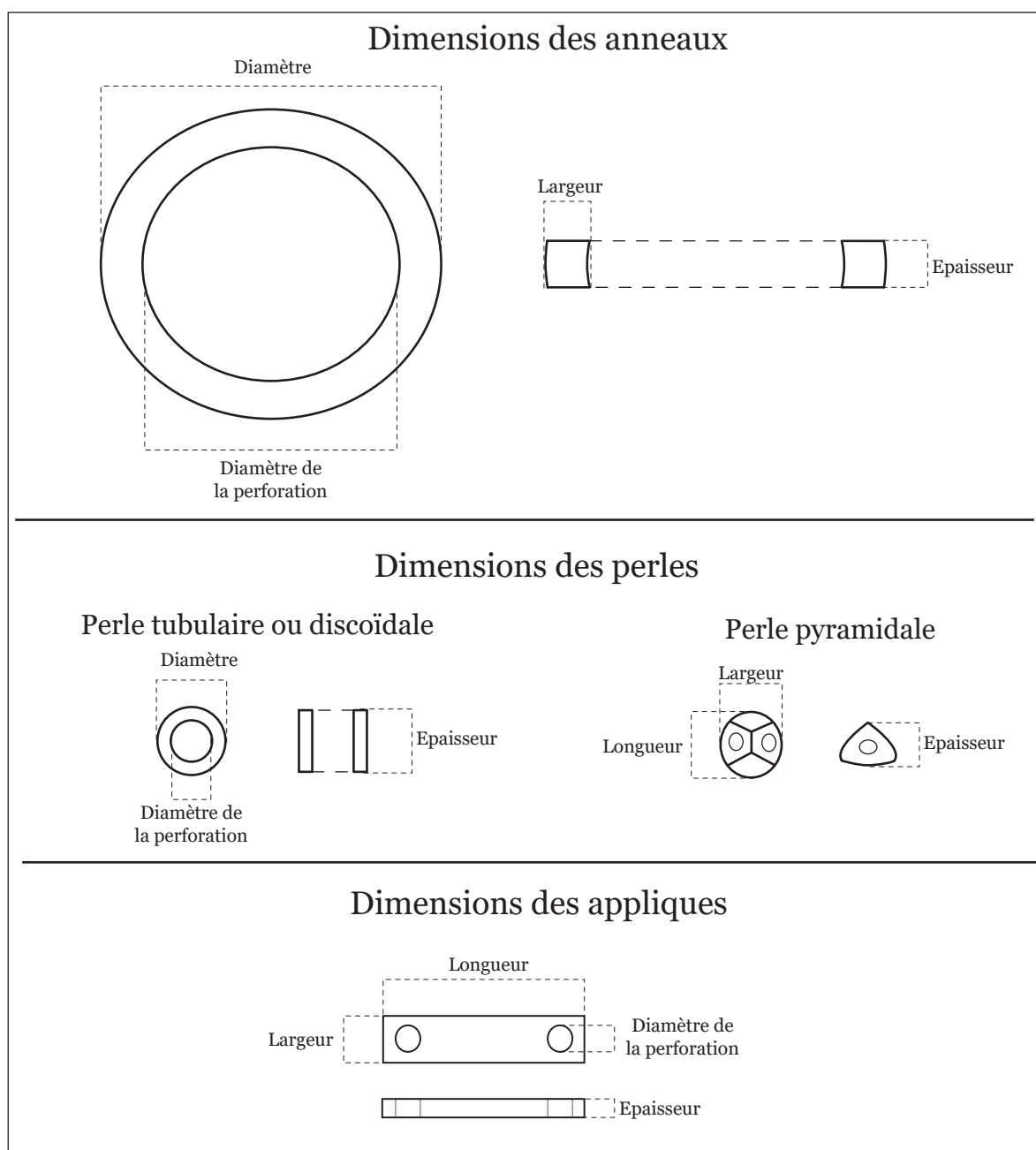


fig. 13 - Dimensions des différents types de parure

## Les matériaux

Les 2335 pièces sont majoritairement produites en pierre (n = 1227), en coquille (n = 396), en terre cuite, (n = 322), en dent (n = 274)<sup>39</sup>, en coquille ou pierre (n = 67), en os (n = 29) et métal (n = 13). Le matériau utilisé n'a pas pu être déterminé pour sept objets (**fig. 14**).

Dans le cas des coquilles, l'espèce a pu être identifiée dans 259 cas : on compte 200 objets en *Spondylus Gaederopus*, 20 en *Dentalium Vulgaris*, 16 en *Glycymeris Sp.*, 11 en *Cerastoderma Glaucum*, 5 en *Columbella rustica*, 2 en *Cerithium Vulgatum*, 2 en *Cyclopea Neritea*, 1 en *Conus Mediterraneus*, 1 en *Smaragdia Viridis*, 1 en *Hexaplex Trunculus*.

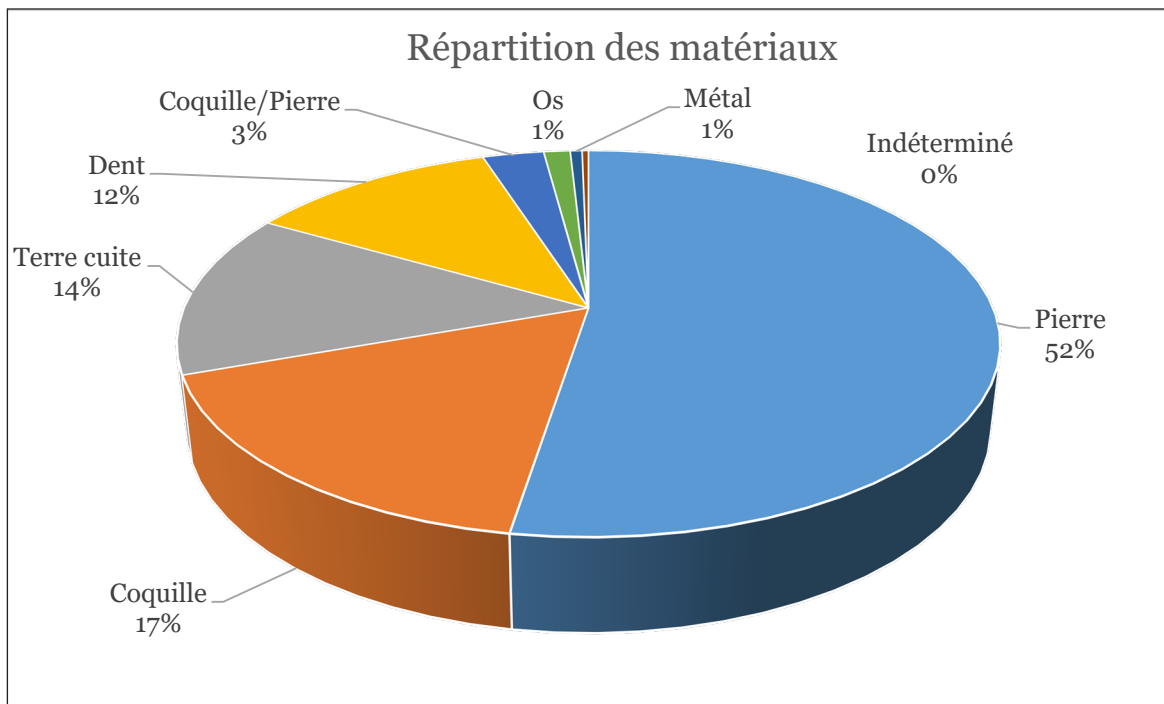


fig. 14 - Répartition des matériaux au sein du corpus de parure.

<sup>39</sup> Ce nombre pourrait être plus important si l'on prend en compte les esquilles de dent.

## La typologie

Les 2335 pièces de parure se répartissent en perles (n = 1629), pendentifs (n = 273), appliques (n = 270)<sup>40</sup>, anneaux (n = 156) et épingles (n = 4). A noter que quatre objets n'ont pas pu être identifiés (**fig. 15**).

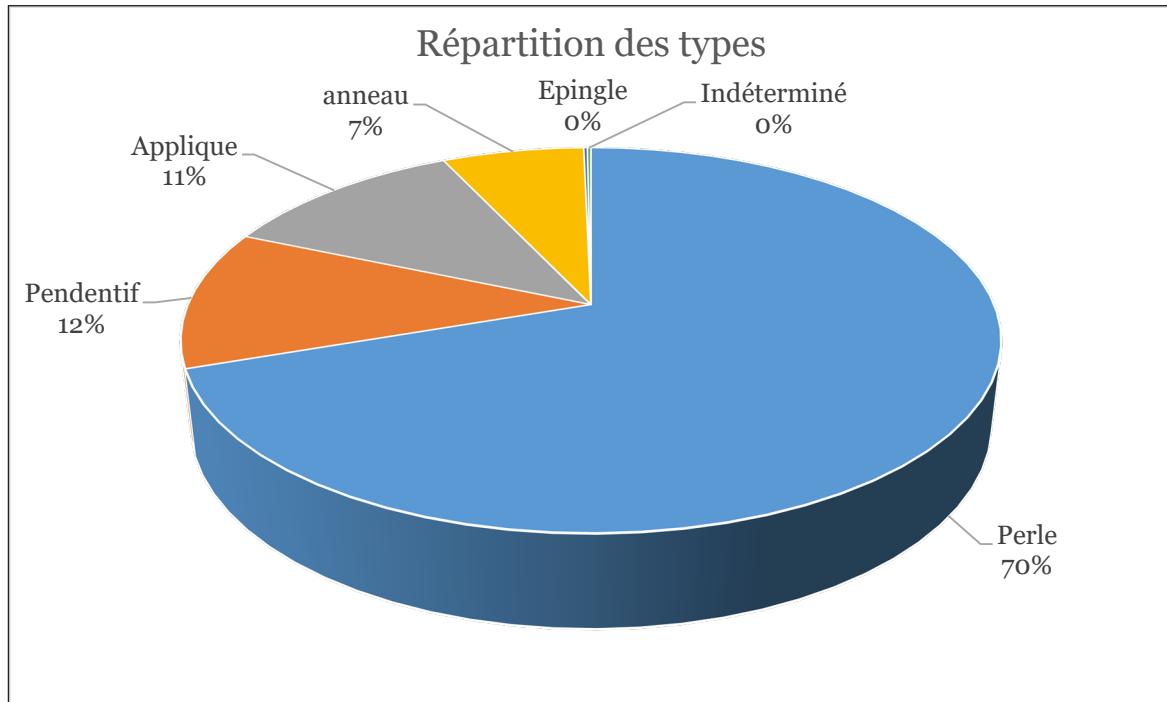


fig. 15 - Répartition des types d'objet au sein du corpus de parure.

Les **perles**, toutes morphologies confondues, sont produites très largement en pierre (n = 1172), en terre cuite (n = 322), en coquille ou pierre (n = 66), en coquille (n = 48), en métal (n = 11) et en os (n = 7). Trois perles sont d'un matériau non identifié. La détermination de l'espèce de coquille utilisée n'est pas possible en raison du très fort degré de modification de la forme originelle (**fig. 16**).

Les 1629 perles sont très largement de forme discoïdales (n = 1541) mais aussi de forme tubulaire (n = 64), quadrangulaire (n = 8), globulaire (n = 6), biconique (n = 2), sphérique (n = 1) et en forme de torsade (n = 1). N'ayant pas pu être étudiées, la forme de six perles n'est pas connue.

<sup>40</sup> Ce nombre correspond au nombre d'appliques complètes ou fragmentaires, en dehors des esquilles réparties en 32 lots.

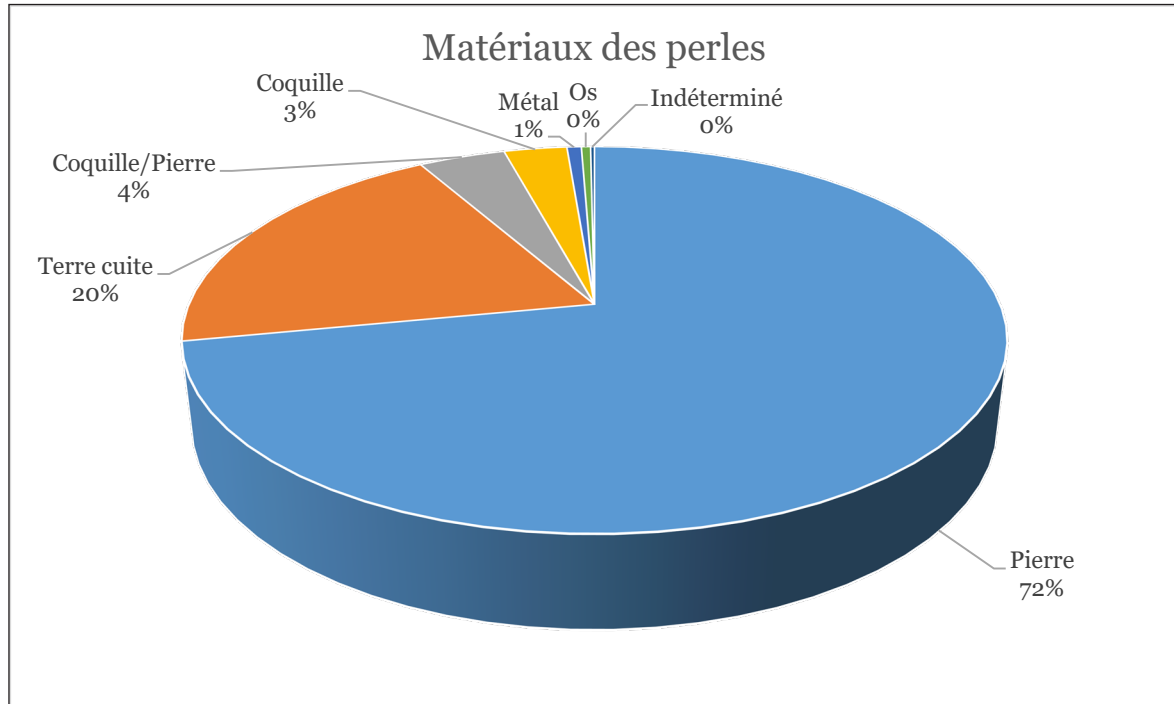


fig. 16 - Répartition des matériaux au sein du corpus de perles.

Les 273 **pendentifs** sont majoritairement produits en coquille (n = 196), en pierre (n = 52), en os (n = 19), en dent (n = 5) et en coquille ou pierre (n = 1) (**fig. 17**). Ils sont de forme naturelle (n = 208), pyramidale (n = 40), géométrique (n = 11), circulaire (n = 3), quadrangulaire (n = 3), rectangulaire (n = 3), oblongue/ovale (n = 2) et irrégulière (n = 1). Deux pendentifs sont de forme inconnue (**fig. 18**).

Les 156 **anneaux** sont quasi-exclusivement produits en coquille (n = 152) sauf pour quatre anneaux : trois en pierre et un en os. Dans le cas de la coquille, les pièces où la détermination était possible indique l'utilisation exclusive de *Spondylus Gaedoropus*.

Les 269 **appliques** sont uniquement produites en dent de suidé. Il faut également prendre en compte les 32 lots d'esquilles de dent indiquant un nombre plus important d'appliques réellement découvertes.

Les 5 **épingles** sont produites en os ou bois de cervidés (n = 2) et en métal (n = 2).

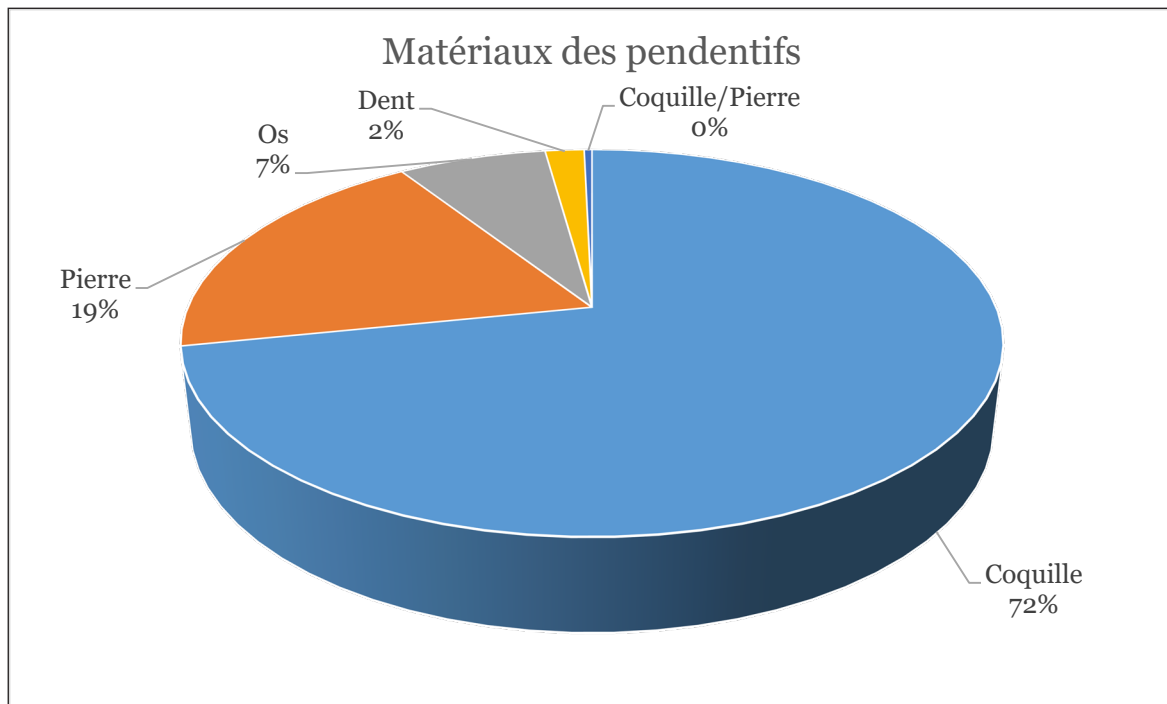


fig. 17 - Répartition des matériaux au sein du corpus de pendentifs.

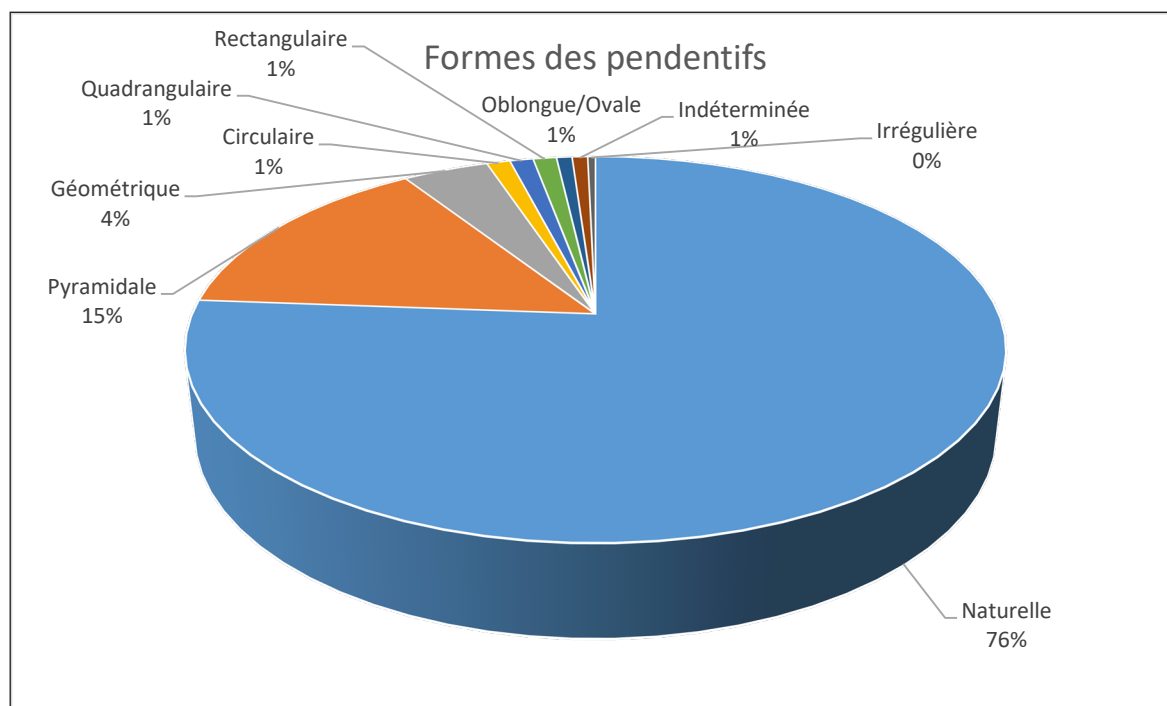


fig. 18 - Répartition des formes d'objets au sein du corpus de pendentifs.

## La matière première

Plusieurs éléments de matériaux bruts, complets ou fragmentaires, ont été découverts sur le site (**Cf. annexe 2**). Parmi ceux que l'on peut attribuer avec quelque certitude à la fabrication de parure, on compte les dents de suidé et les coquilles.

Dans le cas de dents de suidé, leur attribution au domaine de la parure, et notamment à la chaîne opératoire de fabrication d'applique, semble évidente, étant donné que ce matériau ne semble pas avoir d'autre finalité connue, en dehors d'une utilité esthétique.

Dans le cas des coquilles, il est fort probable qu'une partie de celles-ci présentes sur le site ait eu, en premier lieu, une finalité culinaire. En effet, plusieurs coquilles utilisées pour la parure sont comestibles et il est possible qu'elles aient été consommées, puis que leur coquille ait ensuite été utilisée comme matière première. Cette double fonctionnalité est d'autant plus probable que « *la préparation des invertébrés est peu destructrice pour les parties dures* »<sup>41</sup>. Une partie des coquilles entières non travaillées du site auraient très probablement été utilisées dans le cadre de la fabrication de parure.

Dans les cas des pierres, il n'est pas évident de déterminer si un fragment de pierre découvert sur le site est lié au domaine de la parure. Les pierres calcaires, tel que le marbre, ont pu servir dans de nombreuses chaînes opératoires, concernant des vases, des figurines ou de l'outillage poli. Pour cette raison, aucune pierre n'apparaît dans l'annexe 2.

Dans le cas de la terre cuite, il est également peu évident de déterminer si un bloc d'argile est destiné au domaine de la parure ou à une autre chaîne opératoire. Pour cette raison, aucune masse de terre n'apparaît dans l'annexe 2.

---

<sup>41</sup> Théodoropoulou 2007, p.78.



# Chapitre 3 - Les matériaux

Un des critères de ces objets de parure concerne la nature du matériau employé. En effet le choix d'un matériau pour une fabrication d'objet n'est pas anodin et correspond à un choix délibéré de la part du fabricant. Sa dureté, sa plasticité, son rendu final sont autant de données à prendre en compte pour la fabrication.

La détermination des matériaux utilisés dans la fabrication de la parure de Dikili Tash s'est effectuée en plusieurs étapes. Elle a débuté par l'observation macroscopique puis microscopique des pièces, auquel s'est ajouté la mise en place d'études plus spécifiques lorsque les observations visuelles ne suffisaient pas pour la détermination. Ces différentes études sont détaillées dans le chapitre 1 (**Cf. page 32**).

Dans le cas de l'étude par spectrométrie de fluorescence X (XRF), les résultats obtenus sont représentés en pourcentages d'éléments chimiques constituant l'échantillon. Le tableau en annexe 3 illustre les pourcentages obtenus pour chaque type de matériaux<sup>1</sup>. Ces résultats sont à nuancer dans certains cas, puisque l'analyse se fonde sur la composition du matériau à sa surface. Ces objets, bien que nettoyés à l'eau après leur découverte, peuvent encore avoir des résidus variés à la surface ou dans des anfractuosités, résidus dont la composition ne correspond pas à celle du matériau utilisé.

Nous présentons d'abord les traits caractéristiques qui permettent d'identifier chaque catégorie de matériaux.

## 1. Caractéristiques des matériaux

### 1.1. Pierre

Les objets de parure présentant une coloration non blanche ont souvent été interprétés comme des objets en pierre non calcaire. Mais cette interprétation doit être nuancée car certaines coquilles ont pu subir un traitement thermique provoquant un noircissement de leur surface.

L'étude faite dans le laboratoire du CRPAA (*Centre de Recherche en Physique Appliquée à l'Archéologie*)-Université de Bordeaux (**Cf. page 32**) montre que les objets en pierre présentent un aspect de surface grenue et une texture microcristalline. Les cristaux présents dans les roches peuvent prendre différents agencements, mais ils présentent un aspect homogène entre eux. Une majorité des objets observés dans notre corpus montre cette surface microcristalline (**fig. 19, fig. 20, fig. 21, fig. 22**).

---

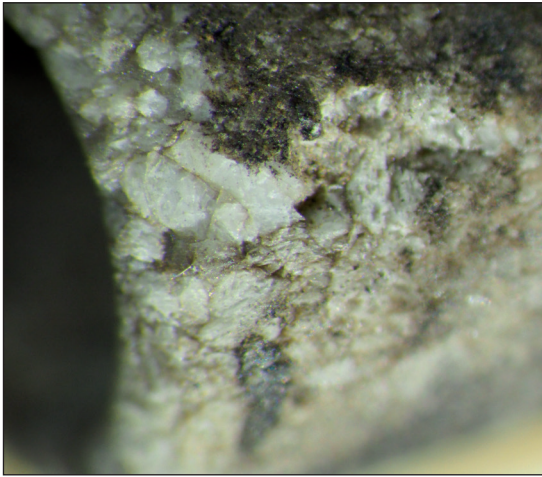
<sup>1</sup> En raison du trop nombre d'éléments chimiques pris en compte dans l'analyse XRF et dans une optique de lisibilité, seuls les éléments chimiques ayant fourni des pourcentages sont représentés dans ce tableau.



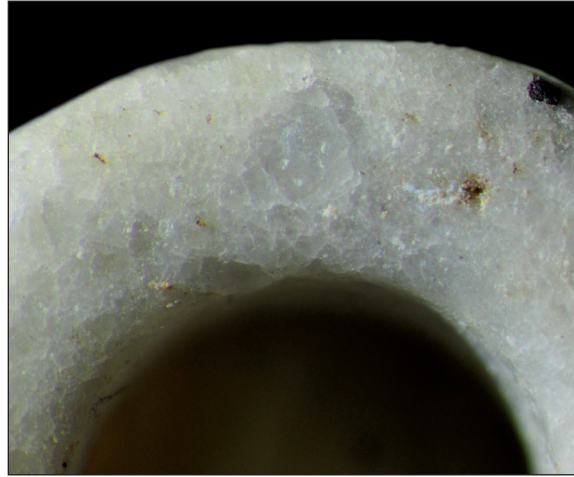
*fig. 19 - La perle 6445-099, x10*



*fig. 20 - La perle 6578-042, x10*



*fig. 21 - La perle 6578-039, x10*



*fig. 22 - La perle 6266-003, x10*

L'observation sous microscope a permis de confirmer l'utilisation de la pierre pour la fabrication de pièces de parure. Néanmoins la très grande majorité des pièces étant finies et dans un bon état de conservation, c'est l'analyse par XRF qui a permis d'identifier les objets produits dans cette matière. Les pierres (sauf les pierres calcaires) se composent presque exclusivement de silice (Si) à laquelle s'ajoutent dans des proportions variables des éléments métalliques tels que le fer (Fe), le cuivre (Cu), le magnésium (Mg), l'aluminium (Al), le nickel (Ni) ou le potassium (K). Ces composés varient en fonction du type de pierre employé. Un certain pourcentage de calcium (Ca) peut également entrer dans la composition de ces pierres.

Seules les pierres calcaires n'ont pas pu être identifiées avec certitude, car leur composition est identique à celle des coquilles. Dans ce cas, le matériau renseigné dans les fiches descriptives sera nommé « coquille - pierre ».

Il est intéressant de noter que, contrairement à de nombreux éléments de parure notamment des perles découverts sur des sites grecs<sup>2</sup>, le talc n'est pas présent sur le site de Dikili Tash. Ce matériau se caractérise par la présence de magnésium, élément absent de la composition des pierres analysées.

## 1.2. Coquille

Dans le cas des coquilles, deux cas de figures se sont présentés : d'une part, les coquilles entières ou peu travaillées et, d'autre part, les coquilles plus travaillées. Dans le cas des coquillages entiers, la reconnaissance de ce matériau a été possible à l'aide d'une simple observation macroscopique. Il s'agit principalement des coquilles simplement percées (par exemple les *Dentalium Sp.*, ou les *Cerastoderma Glaucum*) (**fig. 23**), ainsi que les anneaux en *Spondylus Gaedoropus*.



fig. 23 - Le pendentif 5/305.100/41-008, 2:1

Dans le cas des coquilles travaillées, l'étude du laboratoire du CRPAA-Université de Bordeaux (**Cf. page 32**) a montré que les coquilles présentent une composition lamellaire caractéristique de la croissance du coquillage par ajout de couche au fur et à mesure, rappelant les cernes d'un arbre. Les observations microscopiques ont confirmé l'utilisation de ce matériau dans plusieurs cas, notamment sur certaines pièces présentant des détachements de matière caractéristiques de ce matériau (**fig. 24, fig. 25, fig. 26, fig. 27**).

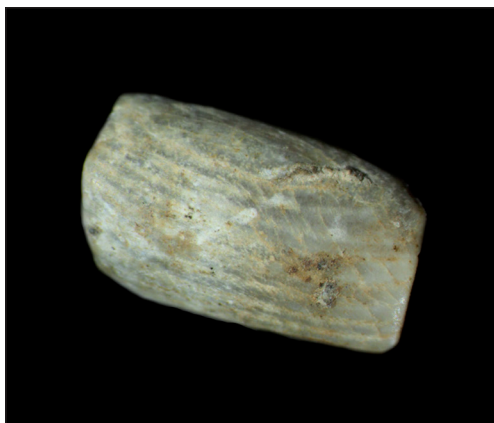


fig. 24 - La perle 6105-001, x2,5

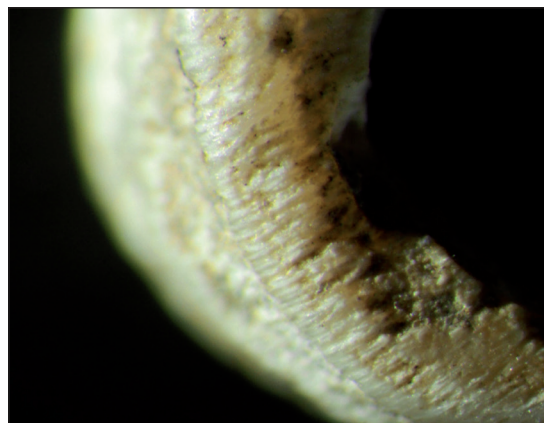


fig. 25 - La perle 5/311.102/06-009b, x12,5

<sup>2</sup> Perlès 2018, p. 333.



*fig. 26 - La perle 6360-009, x5*



*fig. 27 - L'anneau 2/288.070/09-001, x1,25*

L'analyse par XRF a bien montré des compositions élémentaires comprenant du calcium (Ca) et du silice (Si), qui peuvent correspondre aussi bien à des coquilles qu'à des pierres calcaires.

Si l'observation sous microscope n'a pas permis d'identifier la nature d'un objet, mais que l'analyse XRF indique la présence de calcium et de silice, cet objet sera alors enregistré comme étant fabriqué en coquille ou pierre calcaire, étant donné l'impossibilité de trancher pour l'un ou l'autre de ces matériaux.

### **1.3. Os – dent**

La majorité des objets réalisés en matière animale ont pu être rapidement identifiés soit grâce à une forme peu modifiée (astragale), soit grâce à la présence d'élément caractéristique (émail) (**fig. 28**), soit enfin en raison d'un aspect osseux de morphologie lamellaire. Néanmoins l'analyse par XRF a permis de confirmer que trois perles ont également été produites dans ce matériau. En effet, l'os se compose en majorité de calcium (Ca), de phosphore (P) et d'une faible proportion de silice (Si).



*fig. 28 - L'applique 6364-006, 1:1*

### **1.4. Terre cuite**

De par sa couleur rouge orangé et son aspect de surface granuleux, cette matière a pu aisément être identifiée par simple observation macroscopique (**fig. 29**).

L'étude sous microscope de quelques pièces en terre cuite confirme la surface rugueuse de ces pièces déjà visibles à l'œil nu (**fig. 30**). On note la présence sur une perle d'un grain de quartz en surface in-

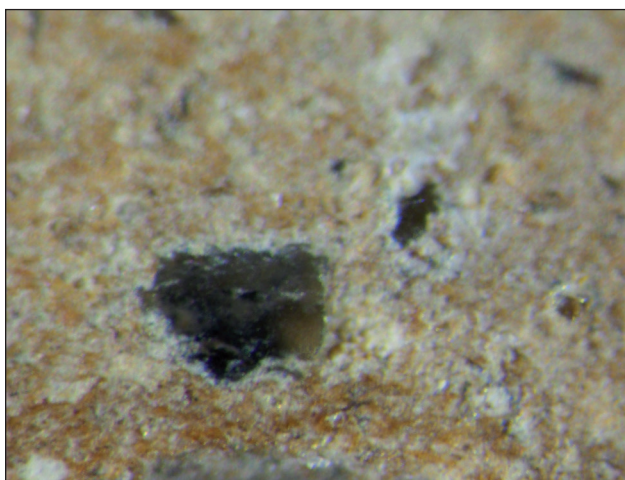
dicateur de sa composition (**fig. 31**). Ces éléments minéraux dans la pâte forment sur certaines pièces des excroissances (**fig. 32, fig. 33**). Les objets produits en terre cuite ont une composition élémentaire homogène entre eux. La pâte produite pour fabriquer la parure ne diffère pas foncièrement de celle utilisée pour les vases, car la composition des deux ensembles est très proche en terme d'éléments et de pourcentage.



*fig. 29 - Quelques perles 6266, 2:1*



*fig. 30 - La perle 6085-003, x5*



*fig. 31 - Vue d'un grain de quartz sur la surface de la perle 6147-008, x40*



*fig. 32 - Vue d'un grain de quartz sur la surface de la perle 6559-001, x5*



*fig. 33 - Vue d'un grain de quartz sur la surface de la perle 6130-009, x6.25*

### **1.5. Métal (or-cuivre)**

Les perles en cuivre possèdent un taux de cuivre de plus de 99 %. Ce résultat nous informe sur la composition très pure de ce métal, l'autre composant étant le fer (Fe) pour moins de 1 %.

Concernant les perles en or, leur composition est moins pure. Elles possèdent un taux d'or (Au) compris entre 88% et 95% auxquels s'ajoutent de l'argent (Ag) entre 4% et 10% et du fer (Fe) inférieur à 1%.

## 2. Description et provenance des matériaux

En prenant en compte les différentes analyses, nous décrirons les différents matériaux en jeu et nous tenterons d'établir les provenances probables de ces derniers, en sachant qu'il n'a pas été possible dans le cadre de cette thèse de mettre en place des protocoles comparatifs avec des sources de matériaux connues.

### 2.1. Les pierres

Les analyses réalisées sur le mobilier de parure a permis de mettre en évidence l'utilisation de la pierre. L'analyse par XRF a notamment permis d'identifier plusieurs types de roches caractérisées par des compositions élémentaires variables.

#### Les pierres calcaires

Les pierres possédant un fort taux de calcium correspondent très probablement à des marbres, bien qu'en l'absence d'une étude pétrographique cette hypothèse ne puisse être vérifiée. Cette roche métamorphique est présente en grande quantité dans l'environnement du site mais également dans tout le bassin égéen et au-delà.

Plusieurs techniques d'investigation ont été réalisées ces dernières décennies afin de mieux caractériser la provenance des roches, notamment les marbres. L'étude des isotopes stables du carbone (C, le rapport  $^{13}\text{C}/^{12}\text{C}$ ) et de l'oxygène (O, le rapport  $^{18}\text{O}/^{16}\text{O}$ ) est une des techniques fréquemment utilisées, mais, comme le soulignent certains auteurs, l'utilisation d'une seule technique ne permet souvent pas de connaître précisément la provenance d'un marbre. Il est dès lors utile de coupler plusieurs méthodes afin d'affiner le résultat. Ainsi, parallèlement à l'utilisation des isotopes, des études complémentaires sont nécessaires, telles qu'une étude pétrographique, une analyse par cathodoluminescence ou encore une analyse par spectroscopie EPR<sup>3</sup>. Ces analyses n'ont pas pu être réalisées dans le cadre de cette étude.

Mais l'on soulignera la prédominance des marbres dans le substrat géologique de la région : la plupart des massifs montagneux entourant la plaine de Drama-Philippe (Monts de Lékani, Pangée, Ménikion et Phalakron) sont constitués de marbres ou d'intercalations de marbres, gneiss et micaschistes<sup>4</sup>. Cependant la présence de marbres à proximité immédiate n'est pas un facteur déterminant pour affirmer que l'approvisionnement est local. En effet l'étude de vases en marbre, issus du site de Limenaria (Thasos) et datés entre le Néolithique Moyen et le Bronze Récent, a montré que les marbres utilisés proviennent des Cyclades (Naxos, Kéros, Paros) malgré la présence en abondance du marbre sur l'île de Thasos<sup>5</sup>.

---

<sup>3</sup> Polikreti, Maniatis 2002, p.1-2.

<sup>4</sup> Lespez 2008, p. 95-96 et fig. 16.

<sup>5</sup> Maniatis *et al.* 2009.

## Les autres types de pierres

L'analyse XRF de plusieurs objets a montré l'utilisation de pierre non calcaire pour la fabrication de parure. Les proportions d'éléments chimiques très variés indiqueraient une variabilité de roches utilisées. Néanmoins, ces compositions élémentaires ne permettent pas, en l'absence d'une étude macroscopique complémentaire, de définir précisément le type de roche utilisée.

L'étude de certains clichés photographiques par le géologue M. Vaxevanopoulos<sup>6</sup> indiquerait la présence de roches issues de veines de quartz tels que des azurites ou des malachites. Ces pierres se formant dans les zones d'oxydation du cuivre, elles pourraient être liées à la chaîne d'approvisionnement en minerai de cuivre.

## 2.2. Les coquillages

L'étude XRF couplée à des observations macro- et microscopiques ont montrés l'utilisation de coquillages dans la fabrication d'objets de parure. Néanmoins la modification trop importante de l'aspect initial de la coquille ne nous permet pas toujours d'en définir l'espèce. C'est le cas notamment pour les perles. La détermination a été plus aisée dans le cas des pendentifs et des anneaux qui conservent la morphologie de la coquille utilisée.

Les objets de parure produits en coquille l'ont été à partir de trois classes de mollusques : les bivalves, les gastéropodes et les scaphopodes. La description des différentes espèces se réfèrera aux fiches FAO d'Identification des Espèces pour les Besoins de la Pêche, Méditerranée et Mer Noire<sup>7</sup> ainsi qu'aux fiches du site internet DORIS (Données d'Observations pour la Reconnaissance et l'Identification de la faune et la flore Subaquatiques)<sup>8</sup>.

### Les bivalves

*« Les bivalves sont des mollusques aquatiques à symétrie bilatérale, caractérisés par une coquille composée de deux valves calcifiées qui recouvrent les côtés droit et gauche du corps. Les deux valves sont normalement également convexes (coquille équivalve), mais peuvent différer l'une de l'autre en taille et en forme (coquille inéquivalve) par altération de la symétrie bilatérale. Elles s'articulent dorsalement autour d'un dispositif marginal appelé charnière et d'une structure élastique très imparfaitement calcifiée, le ligament. Sous l'action du ligament, la coquille tend à s'ouvrir le long de ses marges antérieure, postérieure, et surtout ventrale. Elle est fermée par contraction d'un ou deux (parfois trois) muscles adducteurs qui s'insèrent chacun sur la face interne des deux valves où leur empreinte est généralement visible »<sup>9</sup>.*

---

<sup>6</sup> Etude inédite réalisée en 2022.

<sup>7</sup> Fischer, Schneider, Bauchot, 1987.

<sup>8</sup> <https://doris.ffesm.fr/>

<sup>9</sup> Fischer, Schneider, Bauchot, 1987, p. 371.

Parmi les bivalves découverts sur le site<sup>10</sup>, seules trois espèces ont été utilisées en parure : le *Spondylus Gaederopus*, le *Glycymeris*, Sp., le *Cerastoderma Glaucum*

**Le Spondyle (*Spondylus Gaederopus*) (fig. 34)** possède « une coquille inéquivalve, épaisse et lourde de forme ovalaire. Sa taille moyenne varie entre 60 et 125 mm. Son aspect général est très variable, dépendant de plusieurs facteurs exogènes : position sur la roche, force du courant, etc. En général, la valve supérieure (ou gauche), sorte de couvercle mobile, est ornée d'une douzaine de côtes radiales sur lesquelles se dressent des épines calcaires plus ou moins longues aux formes irrégulières : pointues, épaisses, en forme de spatules ou tubulaires. De nombreux picots s'amoncellent dans les interstices de la coquille donnant à celle-ci un aspect rugueux. La valve inférieure (ou droite), creuse et plus volumineuse, soudée solidement au substrat, peut porter également des épines concentrées seulement sur les bords. Les spécimens dépourvus d'épines ne sont pas rares. La valve supérieure est toujours de couleur pourpre, rouge violacé ou violette, rarement orange. Celle inférieure est le plus souvent blanche avec parfois des tâches rouges violacé ou orange. L'intérieur des valves est d'un blanc pur. La charnière porte 2 fortes dents ou boutons sur chaque valve et un ligament robuste entre celles-ci. Les 2 dents de la valve supérieure se logent parfaitement dans les fossettes de la valve inférieure et vice-versa. Un unique muscle adducteur positionné de façon presque centrale laisse une empreinte circulaire à l'intérieur de la coquille »<sup>11</sup>. Cette coquille est présente dans les mers chaudes entre 2 et 30 m de profondeur et notamment en mer Égée. Elle se fixe fortement au substrat rocheux par la valve droite ce qui rend sa collecte *in situ* complexe. Néanmoins des coquilles mortes peuvent également être collectés le long des rivages. Il est à noter que les coquilles fossiles seront parfois moins colorées que les coquilles vivantes qui présentent des couleurs allant du brun au rouge ou au jaune<sup>12</sup>. Dans le corpus du site de Dikili Tash, une large majorité des objets en spondyle découverts présentent une couleur blanchâtre indiquant qu'il s'agit de coquilles récoltées mortes sur le rivage. De même, les quelques valves entières mises au jour présentent des couleurs ternes qui font penser qu'elles ont été ramassées le long des plages.

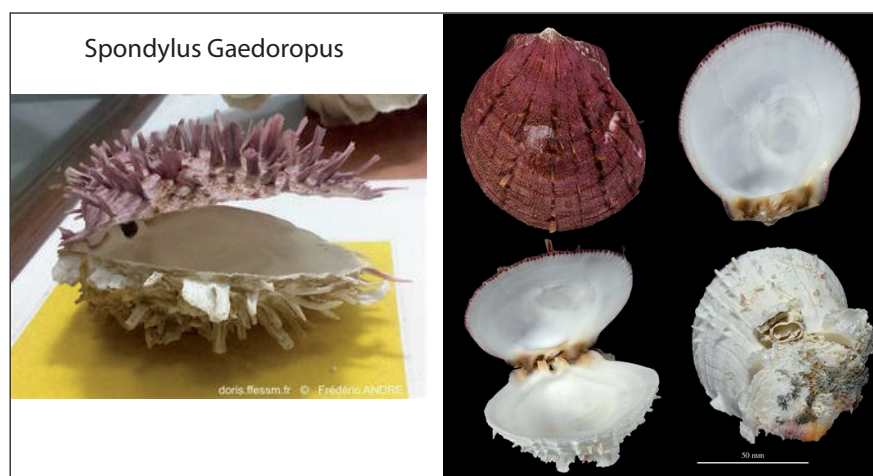


fig. 34 - *Spondylus Gaedoropus*

<sup>10</sup> Karali-Yannacopoulos 1992, p. 154.

<sup>11</sup> <https://doris.ffesm.fr/Especes/Spondylus-gaederopus-Spondyle-pied-d-ane-2712>.

<sup>12</sup> Séfériadès 2010, p. 180.

Le *Glycymeris Sp.* (**fig. 35**) est représenté par deux sous-espèces : *Glycymeris Violascens* et *Glycymeris Pilosa*. Au sein de notre corpus, il n'a pas été possible de différencier ces deux sous-espèces. Nous utiliserons dans ce cas la désignation *Glycymeris Sp.* Ce mollusque vit en colonie, enfouie peu profondément sur les fonds de sable vaseux, de sable grossier et de graviers, de l'étage médiolittoral inférieur jusqu'à 100 m de profondeur. Cette coquille est « équivalve, close, solide, subéquilatérale, de contour arrondi, plus ou moins circulaire à ovale subquadrangulaire : côté antérieur en général plus régulièrement arrondi que le postérieur qui est souvent quelque peu comprimé et anguleux. Crochets submédians orthogyres à légèrement opisthogyres, séparés de la marge dorsale par une aréa cardinale trigone dont la surface est incisée de sillons obliques ou en chevrons et couverte par un ligament externe marron foncé. Extérieur du test presque lisse, simplement strié, ou avec des côtes rayonnantes. Périostracum fréquemment épais et densément pileux, parfois mince ou presque absent. Charnière arquée, garnie d'une série de dents divergeant vers l'extérieur, moins développées vers le centre. Deux empreintes adductrices des valves subégales, à bord interne limité par une saillie radiale toujours plus développée du côté postérieur. Ligne palléale non sinuée. Marges internes crénelées »<sup>13</sup>. Le diamètre de ces deux sous-espèces est en moyenne de 5 à 6 cm mais peut atteindre 8 cm pour les individus les plus âgés (10 ans). Ces sous-espèces présentent un aspect externe différent.



fig. 35 - *Glycymeris Pilosa*

<sup>13</sup> Fischer, Schneider, Bauchot, 1987, p. 417.

Le ***Cerastoderma Glaucum*** (fig. 36) est une « coquille d'épaisseur variable, ovulaire à quadratique ou subtringone souvent plus ou moins étirée vers l'arrière, déclive et moins renflée postérodorsalement. De 17 à 28 côtes rayonnantes convexes et non contiguës à ornementation confuse ou peu apparente (celle des intercôtes réduite aux marques d'accroissement), devenant subcarénées postérieurement et s'affaiblissant sur la déclivité postérieure. Périostracum mince, adhérent, fibreux. Charnière un peu arquée, avec des dents cardinales et latérales à chaque valve dont deux dents latérales postérieures à la valve droite. Marges internes fortement crénelées. » Elle présente une coloration « blanchâtre à gris-jaune sale extérieurement, plus ou moins teinté de brun violacé à olivâtre, surtout vers l'arrière; intérieur blanc, souvent taché de gris-brun. » Présente dans tout le bassin méditerranéen, elle mesure en moyenne de 3 à 4 cm et jusqu'à 5,5 cm. Elle vit dans les « fonds meubles variés de l'étage infralittoral ; très commune dans les eaux saumâtres confinées ou renouvelées (lagunes littorales, estuaires) »<sup>14</sup>.

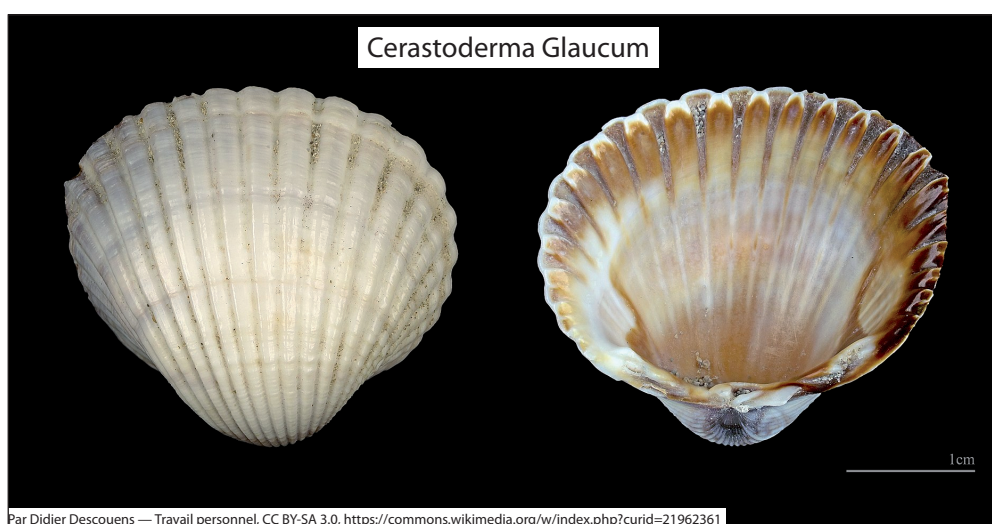


fig. 36 - *Cerastoderma Glaucum*

<sup>14</sup> Fischer, Schneider, Bauchot, 1987, p. 405.

## Les gastéropodes

De nombreuses sous-espèces de gastéropodes ont été utilisés sur le site<sup>15</sup>, mais, en termes de quantité, les gastéropodes sont minoritaires. Les gastéropodes « sont caractérisés typiquement par leur coquille spirale susceptible d'être obturée par un opercule corné ou calcifié, inséré sur le pied de l'animal »<sup>16</sup>. Cet aspect spiralé peut aussi être absent de certaines coquilles.

Dans notre corpus on compte six sous-espèces de gastéropodes :

Le ***Cerithium Vulgatum*** (**fig. 37**) possède une « coquille turriculée, plus ou moins allongée, à tours nombreux, généralement aplatis ou peu bombés; sculpture de côtes ou de tubercules spiraux, souvent croisée avec le relief de varices axiales; ouverture parfois entière, mais le plus souvent échancrée, voire canaliculée; opercule corné, spiralé. »<sup>17</sup> Cette coquille se retrouve en Méditerranée



fig. 37 - *Cerithium Vulgatum*

sur les « fonds rocheux et vaseux des étages médiolittoral et infralittoral. »<sup>18</sup> Elle mesure en moyenne 2,5 cm de diamètre pour 6,6 cm maximum de longueur.

La ***Columbella rustica*** (**fig. 38**) possède une « coquille ovale ou fusiforme, lisse ou sculptée, à ouverture ébréchée par un canal souvent réduit. Columelle lisse, labre parfois denté intérieurement. »<sup>19</sup> Présente en Méditerranée, ce coquillage mesure de 1,5 à 3 cm. Ce gastéropode vit dans les eaux peu profondes (3 à 12 m). C'est une espèce caractéristique de l'étage infralittoral, sur ou sous les rochers. Sa coquille présente des dessins blancs et roux, flammules et taches, très variables d'un individu à l'autre.



fig. 38 - *Columbella Rustica*

<sup>15</sup> Karali-Yannacopoulos 1992, p. 154. Certaines sous-espèces ne sont pas représentées dans le catalogue de L. Karali-Yannacopoulos sur la faune et la parure.

<sup>16</sup> Fischer, Schneider, Bauchot, 1987, p. 515.

<sup>17</sup> Fischer, Schneider, Bauchot, 1987, p. 559.

<sup>18</sup> Fischer, Schneider, Bauchot, 1987, p. 561.

<sup>19</sup> Fischer, Schneider, Bauchot, 1987, p. 546.

Le **Conus Mediterraneus (fig. 39)** présente « une forme générale faisant penser à deux cônes de dimensions inégales, l'un petit, l'autre grand, accolés par leurs bases. L'ouverture de la coquille est longue et étroite. Le canal siphonal est ouvert et légèrement incurvé. La plupart des spécimens mesurent 25 à 35 mm de longueur mais il est possible d'en trouver jusqu'à 75 mm. La largeur au niveau de l'épaule est en moyenne de 20 à 30 mm. La coquille est généralement verdâtre avec des taches et des stries brunes ; deux larges bandes blanches transversales sont souvent visibles sur l'épaule et vers le tiers inférieur du dernier tour. La coquille est recouverte d'un fin périostacum corné jaunâtre et transparent ». Il est présent dans toute la Méditerranée et vit « en eau peu profonde, (espèce littorale) dans les baies abritées, parmi les pierres et les rochers recouverts d'algues brunes ou dans les mattes des herbiers de posidonies ».<sup>20</sup>



fig. 39 - Conus Mediterraneus

Le **Cyclopea Neritea (fig. 40)** est « une petite nasse mesurant au maximum 1 cm de long. La coquille est arrondie, ovale et ne présente pas de sculpture axiale très marquée. Les tours de spire sont entièrement visibles. La spire est aplatie et le dernier tour est très développé. Chez les jeunes spécimens, le sommet de la spire, ou apex, est pointu. La coquille est de couleur brun plus ou moins clair, parsemée de taches beiges près de la suture (ligne de contact des tours successifs), et réticulée sur le dernier tour ». Il vit « en eau peu profonde sur des substrats sablo-vaseux et fréquente les lagunes et les estuaires abrités. Il vit la plupart du temps enfoui dans le premier centimètre du sédiment car son siphon est relativement court »<sup>21</sup>.



fig. 40 - Cyclopea Neritea

20 <https://doris.ffessm.fr/Especies/Conus-ventricosus-Cone-de-Mediterranee-415>.

21 <https://doris.ffessm.fr/Especies/Tritia-neritea-Cyclope-neritoide-3781>.

Le ***Smaragdia Viridis*** (**fig. 41**) possède une « coquille, en forme de demi-sphère vue de profil et ovale vue de dessus, est fine, lisse et robuste. Elle est constituée de 2 ou 3 tours de spire, le dernier étant très développé ». D'une longueur comprise entre 5 et 8 mm, cette coquille est généralement de couleur vert émeraude. Ce gastéropode vit à « faible profondeur, de la surface à 20 m, dans les herbiers, sur les feuilles des phanérogames qui lui servent de nourriture »<sup>22</sup>.



fig. 41 - *Smaragdia viridis*

***L'Hexaplex Trunculus*** (**fig. 42**) possède une « coquille fusiforme, massive; ouverture (canal compris) plus longue que la spire; tours étagés et anguleux; suture nette. Ouverture ovale, légèrement anguleuse à l'extrémité suturale et s'ouvrant étroitement sur le canal siphonal antérieur; canal sans soudure dorsale, mais complètement protégé sur la face dorsale par deux minces lames émanant de chaque bord; du côté columellaire, cette lame laisse libre un très étroit orifice ombilical. Selon l'état de la croissance, bord du labre interrompu par la présence d'une épine creuse de la sculpture externe, ou continu. Sculpture: tours avec 6 à 8 cordons spiraux porteurs de tubercules ou d'épines; cordons soulevés 10 à 12 fois par tour par des varices transversales et développant au niveau de chacune de celles-ci des tubercules qui prennent plus particulièrement l'allure d'épines sur les premiers cordons situés au-dessous de la suture des 2 tours les plus récents ainsi que sur le canal siphonal. Opercule corné, concentrique »<sup>23</sup>. Ce gastéropode vit en Méditerranée sur les « fonds rocheux, vaseux et parmi les herbiers de l'étage infralittoral, depuis la surface jusqu'à 50 m. Sa longueur moyenne est de 4 à 7,5 cm et peut aller jusqu'à 8,5 cm. Sa couleur est blanchâtre, beige, ou brun clair, généralement associée à des bandes spiralées grises, violacées ou brun plus foncé. »<sup>24</sup>



fig. 42 - *Hexaplex Trunculus*

22 <https://doris.ffessm.fr/Especies/Smaragdia-viridis-Nerite-emeraude-1811>.

23 Fischer, Schneider, Bauchot, 1987, p. 588.

24 <https://doris.ffessm.fr/Especies/Hexaplex-trunculus-Rocher-fascie-943>.

## Les scaphopodes

Les scaphopodes présentent « une coquille en forme de tube conique ouvert aux deux bouts ». Une seule sous-espèce est représentée dans notre corpus.

Le ***Dentalium Vulgaris*** (fig. 43) est un « petit mollusque dont la coquille est allongée en forme de défense d'éléphant légèrement incurvée et ouverte aux deux extrémités. L'une d'elle est plus large, son diamètre atteint 6 mm. La longueur de la coquille varie de 3 à 6 centimètres maximum. Celle-ci est blanche, opaque, et possède de nombreuses stries longitudinales du côté le plus fin qui est souvent coloré de brun (orange à noir). Sur la coquille on trouve quelques stries transversales de croissance. » Ce coquillage vit en Méditerranée sur « les fonds sableux et détritiques du plateau continental, depuis les premiers mètres jusqu'à de très grandes profondeurs. On peut également observer des accumulations de coquilles vides à certains endroits »<sup>25</sup>.



fig. 43 - *Dentalium Vulgaris*

## Bilan

L'ensemble des coquilles de notre corpus sont issues du milieu marin et l'approvisionnement est local. Leur récolte est plus ou moins aisée en fonction principalement de leur profondeur d'enfouissement. Il est de ce fait envisageable qu'une large partie de ces coquilles soient collectées mortes sur les plages. De plus, certaines coquilles étant présentes en très faible nombre dans notre corpus, mais également dans le corpus de la faune marine, il est possible qu'elles aient été récoltées involontairement avec d'autres espèces et que leurs caractéristiques physiques les aient alors destinées à la parure.

<sup>25</sup> <https://doris.ffessm.fr/Especies/Antalis-vulgaris-Dentale-375>

### 2.3. Les matières osseuses : os et dent

Deux catégories d'éléments osseux ont été utilisés sur le site de Dikili Tash pour produire de la parure : des os et des dents.

Les os sont tous issus de petits herbivores de type capriné (mouton ou chèvre). On compte une première phalange et 13 astragales ayant été travaillés pour produire un pendentif. L'astragale (ou talus) est un os du tarse situé sur les membres postérieurs. L'obtention de ces éléments ne demande pas d'effort particulier. Les os sont très probablement nettoyés de leur chair manuellement, puis mis à bouillir afin d'éliminer les derniers éléments carnés.

La deuxième catégorie se compose de dents. On compte notamment deux canines dont une canine supérieure de canidé (chien ou loup) qui a été percée pour former un pendentif. La deuxième dent présente de l'émail, mais, en raison de sa modification avancée, il n'est pas possible d'identifier l'espèce. Le reste des pièces produites en dent le sont en canine de suidé<sup>26</sup>. En raison de l'état avancé de modification des pièces, ces canines peuvent provenir de faune sauvage (sanglier) ou domestique (cochon). La distinction concerne la taille de la canine, plus petite chez les sujets domestiques. Les suidés possèdent quatre canines : deux canines supérieures larges, de section arrondie, incurvées vers le haut et l'extérieur de la mâchoire et deux canines inférieures plus effilées, avec une section nettement triangulaire, également incurvées vers le haut et l'extérieur de la mandibule<sup>27</sup>.

L'obtention des canines, notamment de suidé, commence par le détachement de la dent de la mandibule à laquelle elle est solidement fixée. Ce détachement peut se faire par fracturation, par percussion ou par la chauffe de la mandibule. Cette dernière méthode consiste à faire bouillir la tête puis extraire les dents vers l'avant. Cette technique n'est possible que sur des sujets adultes dont la largeur de la canine est la même sur toute sa longueur contrairement à des sujets jeunes dont la largeur à la base est plus importante<sup>28</sup>.

Ces canines ont une croissance continue tout au long de la vie de l'animal. Par conséquent les pièces les plus importantes seront celles des sangliers pleinement adultes (à partir de 7/8 ans) pouvant fournir des canines inférieures de 6 à 12 cm de long. Ces mâles adultes étant le plus souvent solitaires, la récolte de ces dents nécessitera plusieurs chasses se soldant en cas de réussite par la prise de deux canines.

Découverts en association directe avec les appliques en canine, plusieurs canines complètes ou semi-complètes ont été mises au jour dans la maison 1 du secteur 6. Les conditions d'enfouissement ont fortement fracturé ces éléments mais l'on estime qu'elles devaient être complètes lors de leur stockage dans la maison. Aucune trace n'a pu être notée à leur surface laissant envisager qu'elles avaient déjà été travaillées.

---

<sup>26</sup> Certaines canines de suidé ont été déterminées comme os dans les études précédentes, Karali-Yanacopoulos 1992, p. 160-161.

<sup>27</sup> Marquebielle 2014, p. 58.

<sup>28</sup> Marquebielle 2014, p. 62

Les canines entières découvertes avec les lots d'appliques mesurent en moyenne 10 cm de long pour 2 à 3 cm de large. La canine qui semble la plus complète, 6475-003, mesure jusqu'à 15 cm de long. Les appliques complètes mesurent environ 5 cm de long pour 0,80 cm de large.

En corrélant la taille des canines entières avec les dimensions des appliques découvertes, on peut estimer que l'on produit un maximum de deux appliques sur chaque canine inférieure. Les 150 à 250 pièces stockées dans la maison 1 doivent correspondre à une production issue d'une cinquantaine canines, auxquelles on doit rajouter une dizaine de canines non travaillées. Il aurait donc fallu abattre une vingtaine à une trentaine d'individus. Le stockage des canines a pu être réalisé sur une temps long sans que cela n'affecte les caractéristiques techniques de cette matière première<sup>29</sup>.

On peut considérer que l'approvisionnement en os et dent est réalisé à l'échelle locale, même si un réseau d'échange local a pu être mis en place afin d'obtenir plus rapidement la matière première auprès des communautés voisines.

## **2.4. La terre cuite**

L'approvisionnement en argile est relativement aisé puisque cette matière première est présente tout autour du site. Un nettoyage de la terre afin d'éliminer les plus grosses impuretés et un ajout d'eau afin d'obtenir une bonne plasticité ont dû être les seules étapes nécessaires pour obtenir cette matière première.

## **2.5. Les métaux (or-cuivre)**

L'approvisionnement en métal a fait l'objet de plusieurs études qui ont démontré l'existence de gisements en Méditerranée orientale et en Égée. On compte plusieurs gisements métallifères dans l'environnement régional du site de Dikili Tash attestés aux périodes historiques (romaines et ottomanes). Ces exploitations historiques ont certainement détruit les indices d'exploitations antérieures, notamment au Néolithique et à l'Âge du bronze. Il n'est dès lors pas possible de connaître les gisements utilisés à ces périodes anciennes.

Les prospections menées par plusieurs chercheurs montrent l'existence de gisements dans la plaine de Drama (Palaia Kavala), sur le mont Pangée et dans la rivière Strymon. L'île de Thasos possède également plusieurs sites métallifères<sup>30</sup>.

Ces gisements métallifères sont composés d'or (Au), d'argent (Ag), de cuivre (Cu), de plomb (Pb) et de fer (Fe). Ces gisements peuvent être primaires, issus de mines polymétalliques, mais aussi secondaires (alluviaux)<sup>31</sup>. Les gisements métallifères primaires se retrouvent dans les anfractuosités existantes au sein des roches métamorphiques, tandis que les cours d'eau situés au pied de ces reliefs fournissent les dépôts secondaires.

---

<sup>29</sup> Communication orale Q. Zarka, doctorant

<sup>30</sup> Malamidou, Tsirtsoni, Vaxevanopoulos 2022, p. 3.

<sup>31</sup> Prévalet 2013, p.29-30.

Plusieurs témoins indirects d'activité métallurgique ont été relevés sur plusieurs sites de Macédoine grecque. Des indices de d'extraction de cuivre ont été mis au jour sur le site de Promachonas-Topolnica. Le site de Sitagroi a montré l'existence de martelage à froid de certains objets en cuivre, tandis que le site de Limenaria (Thasos) a fourni un grand nombre de découvertes liés à la métallurgie, notamment du cuivre. Les indices de travail de l'or sont plus ténus en raison notamment de la rareté de pièces faites de cette matière. L'étude des pièces découvertes sur le site de Dimitra, comme celle de Dikili Tash, indique qu'elles ont été produites à partir d'or natif, en raison notamment du faible taux d'argent présent dans le métal. L'utilisation du martelage, d'abrasion et d'un processus de réchauffage est avancé comme techniques employées<sup>32</sup>.

Ces données indiquent une maîtrise de certaines techniques métallurgiques aussi bien pour le cuivre que pour l'or. Malgré l'absence de structures ou indices avérés de métallurgie au sein du site de Dikili Tash, il est fort probable que cette communauté maîtrisait et pratiquait le travail des métaux. La provenance exacte de ces minerais n'est pas connue, mais se situe très probablement dans l'un des gisements, primaires ou secondaires, présents à proximité.

---

<sup>32</sup> Malamidou, Tsirtsoni, Vaxevanopoulos 2022.

### **3. Bilan de l'approvisionnement en matériaux**

Les différents matériaux utilisés sur le site de Dikili Tash pour produire de la parure sont en très grande majorité issus d'un environnement local, au sens large du terme. L'absence d'analyses poussées sur certaines catégories de matériau (métal, pierre) ne nous permet cependant pas d'être affirmatif quant à leur origine locale. Des recherches ont notamment prouvé que, bien que possédant la matière première localement, certaines communautés ont fait le choix d'un approvisionnement exogène pour leur production<sup>33</sup>.

Cependant on peut affirmer qu'une grande partie de l'approvisionnement sur le site de Dikili Tash est de nature locale. Cette récolte peut avoir été effectuée directement (récolte de l'argile, ramassage des coquillages) quand cela ne nécessitait pas de compétences particulières, ou via un réseau d'échanges local pour les matériaux nécessitant des compétences/connaissances particulières (zones d'exploitation des gisements, pêche des coquillages). Certains matériaux nécessitent cependant un investissement plus important que d'autres. C'est le cas notamment des ressources issues de la mer Egée. Cette dernière est distante de Dikili Tash d'environ une douzaine de kilomètres, ce qui correspond environ à trois heures de marche ; il faut donc compter environ une journée entière pour aller sur un rivage, y ramasser des coquilles et revenir sur le site. De façon comparable, l'approvisionnement en ressources métalliques nécessite un investissement de l'ordre de quelques heures à quelques jours pour obtenir les matériaux.

Dans tous les cas, le choix des matériaux employés n'est pas dû au hasard ou à l'opportunité. On est face à un choix délibéré et organisé de collecte de matière tant au niveau des quantités qu'au niveau des caractéristiques des matériaux, via plusieurs réseaux d'approvisionnement. Cette acquisition des matières contribue à définir la fabrication de parure comme une activité établie au sein de la communauté installée à Dikili Tash.

---

<sup>33</sup> Maniatis *et al.* 2009



# Chapitre 4 - Les chaînes opératoires

La variété des pièces mises au jour sur le site nous amène à nous poser la question des savoir-faire nécessaires pour produire de tels objets. De ce fait, connaître les chaînes opératoires mises en place pour produire ce corpus est central. Il s'agit de reconstituer les outils servant à la fabrication, mais aussi les gestes mis en œuvre, ainsi que leur enchaînement.

## 1. La démarche

Pour enquêter sur les chaînes opératoires, nous aurions dû, idéalement nous appuyer sur deux sources d'information, les données tracéologiques issues de l'étude des objets de parure du site de Dikili Tash et les études sur l'outillage utilisé dans la fabrication des pièces de parure. Mais, pour combler certaines lacunes, nous avons eu également recours aux données bibliographiques issues d'un certain nombre de sites néolithiques d'Europe et du Proche-Orient.

### 1.1. L'apport des données tracéologiques

L'ensemble des objets de parure découverts sur le site de Dikili Tash ont été étudiés à l'aide d'un microscope électronique optique (Olympus SZX16) permettant de réaliser des prises de vue avec un grossissement allant de 3.5 à 160. Cette étude nous a permis de compiler de nombreuses prises de vue mettant en valeur une variété de traces. Les prises de vue ont été réalisées à différents échelles représentées sur les clichés par un grossissement.

Un premier constat s'est vite imposé : la très grande majorité des pièces sont finies ou à un stade terminal de fabrication. Un certain nombre présentent également des stigmates caractéristiques indiquant une utilisation sur une plus ou moins longue durée.

### 1.2. L'apport des études sur les outils

Partie intégrante de la chaîne opératoire, les outils utilisés dans les différentes chaînes opératoires ne sont pas très nombreux et souvent ubiquistes. On les retrouve en effet au sein de plusieurs chaînes opératoires et ce pour des matériaux et productions différentes.

Les études de ces outils potentiels étant en cours au moment de notre rédaction, nous ne pourrions pas affirmer avec certitude l'utilisation des pièces mises au jour sur le site de Dikili Tash dans le processus de fabrication de notre corpus de parure. Nous évoquerons néanmoins l'existence de certaines pièces pouvant correspondre à ce type d'utilisation lors de la description de certaines chaînes opératoires.

### 1.3. L'apport des données bibliographiques

Afin de compléter ces données et afin d'appréhender la totalité du processus de fabrication, il est nécessaire de faire appel aux informations issues de la bibliographie.

Le dépouillement de la bibliographie nous a rapidement orienté vers des chaînes opératoires liées plus souvent à la forme de l'objet souhaité qu'à la matière employée. La fabrication d'un objet de parure en spondyle ne suivra pas la même chaîne opératoire s'il s'agit de produire un anneau ou une perle, comme l'a démontré A. Tsuneki<sup>1</sup>.

Que ce soient les données archéologiques ou les informations issues de l'expérimentation, les études faites sur ces processus montrent quatre grandes phases de fabrication :

**Etape 1 :** L'ébauche d'une préforme et/ou la récolte de matière première visant à obtenir un fragment de matériau d'une dimension plus ou moins proche de celle de la pièce finale.

**Etape 2 :** Un façonnage de ce fragment de matériau fin d'obtenir une pièce à la morphologie proche de celle de la pièce finale.

**Etape 3 :** Une ou des perforations de la pièce.

**Etape 4 :** Une finition visant à obtenir une pièce achevée.

Selon les chaînes opératoires en jeu, l'enchaînement de ces quatre étapes peut être modifié et connaître également des sous-phases.

Ces techniques nécessitent des compétences plus ou moins spécifiques en fonction du type de pièce créé. De même, les outils en jeu varieront en fonction des besoins techniques.

---

<sup>1</sup> Tsuneki 1989.

## 2. Les perles

### 2.1. Les lots de perles discoïdales en pierre et coquillage

Les perles entrant dans cette catégorie ont pu être découvertes individuellement, mais la grande majorité l'ont été en lots (*Cf. p.163*). Les données archéologiques semblent indiquer une chaîne opératoire particulière, hypothèse renforcée par la grande homogénéité des objets. Les deux types de matériaux utilisés seront étudiés conjointement, car les données montrent une production très similaire pour la pierre et pour le coquillage.

Pour cette chaîne opératoire, nous nous sommes appuyé sur les études menées sur les productions de perles en coquillages du site du Néolithique ancien grec (6500-5800 av. J-C.) de Franchthi<sup>2</sup>, des sites du Néolithique français (3500-2000 av. J-C.) de Ponthezières et La Perroche<sup>3</sup> et des sites français de l'âge du Bronze (2200-1800 av. J-C.) de Luxé<sup>4</sup> et de Duran-Corbières<sup>5</sup>. Les exemples de productions de perles en pierre proviennent des sites jordaniens datés du Néolithique précéramique B/C (8940-6400 av. J-C.)<sup>6</sup>, du site du Néolithique ancien français (5200-4400 av. J-C.) de Marolles-sur-Seine<sup>7</sup> et du site israélien de Peqi'in daté du Chalcolithique (4500-3600 av. J-C.)<sup>8</sup>.

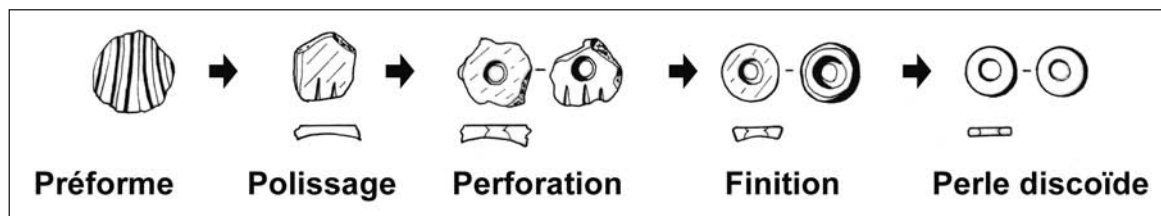


fig. 44 - Exemple de chaîne opératoire de fabrication de perle discoïdale, d'après Gruet et al. , fig. 399

2 Perlès, Pion 2020.

3 Esnard, Ricou 2000 ; Gruet, Laporte, Bodeur, 2009.

4 Mougne *et al.* 2018.

5 Bocquenet 1998.

6 Wright *et al.* 2008.

7 Augereau, Bonnardin 1998.

8 Bar-Yosef *et al.* 2004.

## Étape 1 : La préforme

Cette étape consiste à obtenir d'un fragment de matière première proche de la forme désirée pour l'objet final. Cette étape peut être réalisée par percussion, par pression ou par sciage.

La percussion semble être la méthode utilisée le plus souvent dans le cas de la pierre et de la coquille. La matière première peut être fragmentée sur des blocs de pierre (galets ?) à l'aide de différents outils et selon différentes méthodes<sup>9</sup> :

- par percussion directe à l'aide d'un outil de type galet ;
- par percussion indirecte à l'aide d'un outil de type galet et d'un percuteur en pierre ou en os ;
- par pression à l'aide également d'un outil de type galet (uniquement dans le cas de coquille fine) ;
- par sciage à l'aide d'un outil de type lame en pierre (**fig. 45**);

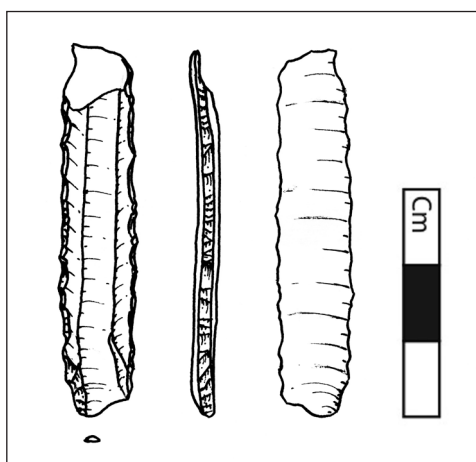


fig. 45 - Dessin d'une lame en silex issu du site de Dikili Tash (dessin et mise au net : O. Metaxas)

Dans le cas des perles discoïdales, cette préforme peut prendre deux aspects : un cylindre ou un discoïde facetté.

Le cylindre aura un diamètre proche de celui des futures perles discoïdales et pourra avoir été en partie régularisé. Cette méthode pourra être pratiquée pour la pierre comme pour la coquille. À noter que seules les coquilles, comme le spondyle, présentant une épaisseur suffisante pourront être utilisées pour produire ce type de cylindre. Cette méthode a été mise en évidence dans le cas de la fabrication de perles en os à partir d'un os long sur plusieurs sites européens, notamment dans les Balkans<sup>10</sup>. La découverte d'un cylindre rainuré en os dans notre corpus (609030-002) (**fig. 46**) et de cylindres en pierre sur les sites de Sitagroi<sup>11</sup> et de Dimitra<sup>12</sup> nous laisse envisager l'utilisation de cette même technique dans le cadre des perles en pierre, en coquille, mais également en terre cuite (**Cf., page 88**).

<sup>9</sup> Esnard, Ricou 2000, p.84.

<sup>10</sup> Sidéra 2005, p. 84, fig. 6 ; Zidarov 2014, p. 261.

<sup>11</sup> Nikolaidou 2003, p. 345.

<sup>12</sup> Karali-Yannacopoulou 1997.

La fabrication d'un discoïde facetté sera choisie pour les coquilles, notamment celles possédant une faible épaisseur, comme la coquille de *cerastoderma edule*, mais aussi pour la pierre. Dans ce cas, la matière première sera fracturée en ébauche facettée d'une dimension proche de celle de la pièce souhaitée. Ces pièces présentent des bords accidentés qui pourront être régulariser par percussion directe. Cette méthode est la mieux représentée dans la bibliographie dans le cadre d'études de mobilier archéologique<sup>13</sup> mais aussi lors d'expérimentations<sup>14</sup> (**fig. 44, page 75**).

Les stigmates laissés par ces différentes méthodes ne sont pas visibles dans notre corpus, car les autres étapes de fabrication les ont effacés.



*fig. 46 - Le cylindre rainuré 609030-002, 2:1*

---

<sup>13</sup> Augereau, Bonnardin 1998, p. 33 ; Perlès, Pion 2020, p. 228229 ; Gruet, Laporte, Bodeur, 2009, p. 489.

<sup>14</sup> Esnard, Ricou 2000, p. 89-90.

## Étape 2 : Le façonnage

Dans le cas des cylindres, il est envisageable que cette étape corresponde à la régularisation de la pièce à un diamètre proche des futures perles. Cette régularisation pourra être réalisée à l'aide d'une pierre abrasive rainurée permettant d'obtenir une uniformité dans la morphologie de la pièce<sup>15</sup>. Les perles seront ensuite découpées dans le cylindre à la largeur souhaitée à l'aide d'un outil de type lame en silex (**fig. 45, page 76**); un abrasif pourra être utilisé à cette étape pour plus d'efficacité. L'exemple du cylindre en os découvert à Dikili Tash montre huit rainures d'environ 4 mm d'épaisseur dont une plus marquée (**fig. 46, page 77**). On a découvert sur le site de Sitagroï le même type de cylindre rainuré en pierre, sectionné en 6 tronçons de 4 mm d'épaisseur<sup>16</sup>.

Dans le locus 6-096 de la maison 1, plusieurs groupes de perles ont pu être observées sur le terrain, puis prélevées en connexion, en passant un fil de pêche en plastique à travers le trou central (**fig. 47**). Sur certains groupes, on distingue nettement des sous-groupes de perles de morphologie très homogène (**fig. 48**)<sup>17</sup>. L'artisan a dû enfilez les perles au fur et à mesure de leur découpe ce qui explique que les perles de ces sous-groupes soient parfaitement jointives entre elles et donc issues probablement d'une même préforme cylindrique.



fig. 47 - Vue des perles discoïdales in situ



fig. 48 - Vue des perles discoïdales enfilées sur un lien, 1:1.

Dans le cas des ébauches facettées, les pièces ont pu être régularisées individuellement, notamment dans le cas de pièces possédant des dimensions hétérogènes<sup>18</sup>. Cependant, étant donné l'homogénéité des diamètres de certains corpus, il est envisageable que ces perles aient été enfilées sur un élément rigide de type baguette puis abrasées conjointement sur un support de type pierre rainurée. Cette technique, dénommée *Heishi*, est utilisée afin de travailler rapidement et de façon homogène plusieurs dizaines de perles en même temps<sup>19</sup>.

15 Augereau, Bonnardin 1998, p.35 ; Thomas 2017, p. 177.

16 Nikolaidou 2003, p. 345.

17 Darcque *et al.* 2020, p. 265, fig. 6-48.

18 Perlès, Pion 2020, p. 235.

19 Francis 1989, p.31.

Ces pièces sont ensuite abrasées plus finement afin d'aplanir les faces. C'est notamment le cas pour certaines perles fabriquées dans des coquilles qui possèdent des côtes marquées sur leur face externe (ex : *Cerastoderma edule*). Afin de gommer ces côtes, une abrasion est pratiquée sur cette face externe à l'aide d'une pierre abrasive, tandis que la face interne plus ou moins convexe en fonction de la zone de la coquille utilisée doit être aplanie également par abrasion<sup>20</sup> (**fig. 44, page 75**).

Cette étape permet, notamment dans le cas des ébauches facettées, de réduire l'épaisseur de la pré-forme afin d'aplanir la pièce et d'obtenir une certaine uniformité.

Ce façonnage est réalisé par une abrasion des pièces sur un ou plusieurs supports lithiques dormants, de différentes granulométries. Les objets ont pu être abrasés seuls ou par lots maintenus par la main ou un autre élément (pierre, bois, cuir, etc.) selon un mouvement horizontal de va-et-vient.

Les objets de notre corpus ne nous fournissent aucune information quant à cette étape.

---

<sup>20</sup> Perlès, Pion 2020, p. 230.

### Étape 3 : La perforation

Cette étape a été reproduite expérimentalement à l'aide d'un perceur en silex fusiforme actionné à l'aide d'une drille. Chaque pièce est perforée individuellement. L'ébauche est positionnée sur un support solide mais souple, comme une coupelle en bois, puis le foret est placé sur une face de l'ébauche. Dans le cas des coquilles, le foret sera positionné sur la face concave afin d'éviter les cassures. Cette perforation sera effectuée en moins d'une minute<sup>21</sup> (**fig. 49, fig. 50**). Le foret pourra également être actionné à l'aide d'un archet.

Les données de cette expérimentation se confirment dans les études de mobiliers archéologiques. Plusieurs sites ont fourni des forets en silex de même morphologie dont l'étude montre qu'ils ont été utilisés sur une matière dure<sup>22</sup> (**fig. 51**).

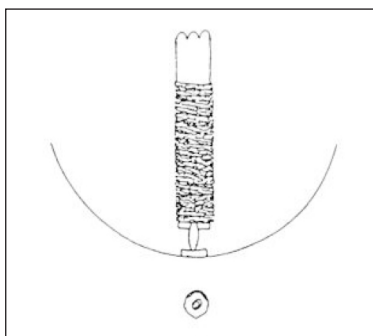


fig. 49 - Exemple d'utilisation d'un forêt en silex d'après Esnard, Ricou, 2000, fig. 8

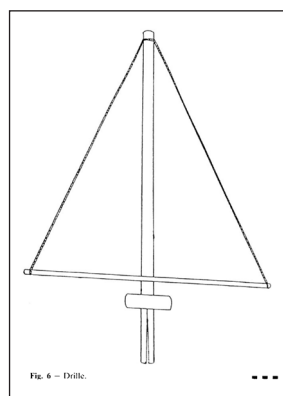


fig. 50 - Exemple d'une drille, d'après Esnard, Ricou, 2000, fig. 6



fig. 51 - Fôrets en silex mis au jour sur le site de Franchti, d'après Perlès, Pion, 2020, fig. 4

21 Esnard, Ricou 2000, p. 88-90.

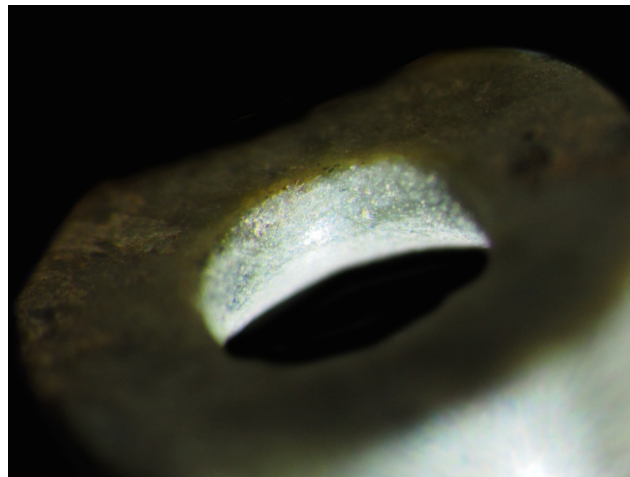
22 Augereau, Bonnardin 1998, p. 3536 ; Wright *et al.* 2008, p. 150 ; Perlès, Pion 2020, p. 225, Boyadzhiev Y., Boyadzhiev K., Petrov, 2017, p. 126, fig. 11.7.

Trois morphologies de perforation sont possibles : droite, conique et biconique. Elles sont toutes les trois représentées dans notre corpus, mais aussi dans les corpus de comparaison<sup>23</sup>. La perforation droite est majoritaire dans notre corpus suivie par la perforation conique et la perforation biconique. Ces trois morphologies correspondent à différentes techniques de mise en œuvre de la perforation.

Le foret étant fusiforme, une perforation unilatérale prendra la forme d'un cône. L'agrandissement de l'orifice du côté de la petite base du cône devra être réalisé par une seconde perforation depuis l'autre face, ce qui formera ainsi une perforation biconique.

Enfin, la perforation droite correspond soit à une régularisation d'une perforation biconique par une abrasion parallèle à l'épaisseur de la pièce, soit à une partie droite d'une perforation conique ou biconique dans le cas des perles issues d'un cylindre. Dans les deux cas, cette perforation en plusieurs étapes a été avancée dans le cadre d'une étude sur la production de perles en pierre<sup>24</sup>.

Aucune strie n'a pu être notée dans les perforations des perles discoïdales découvertes en lot probablement en raison de la faible épaisseur des pièces. Certaines perforations de notre corpus montrent même des traces de polissage (**fig. 52**).



*fig. 52 - Vue du polissage dans la perforation de la perle 6585-012, x10.*

---

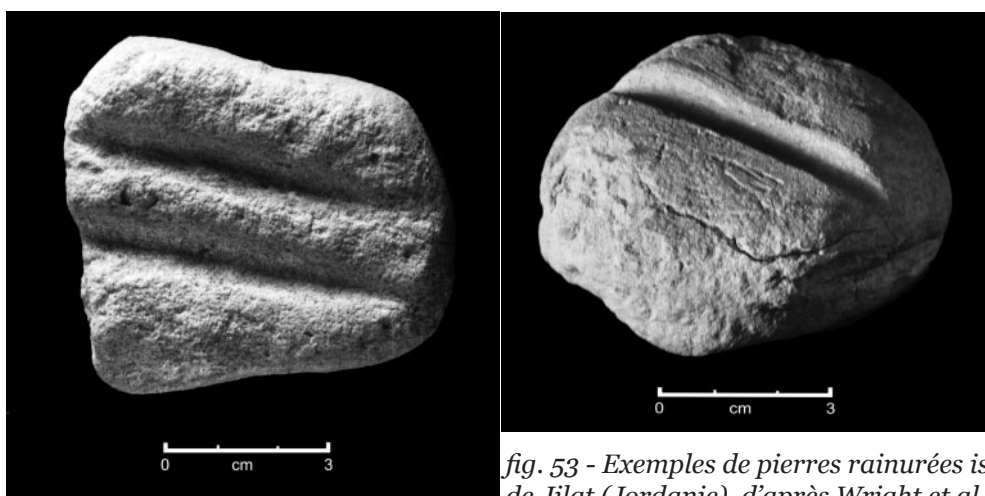
<sup>23</sup> Mougne *et al.* 2018, p. 11 ; Gruet, Laporte, Bodeur, 2009, p. 495.

<sup>24</sup> Wright *et al.* 2008, p. 147.

## Étape 4 : La finition

Cette dernière étape se caractérise par une abrasion très fine de la surface des perles. L'objectif est de gommer les stries formées lors des étapes précédentes et ainsi obtenir une surface lisse et brillante. Cette étape est réalisée par l'abrasion des surfaces à l'aide de plusieurs pierres de faible rugosité de type pierre dormante (**fig. 44, page 75**).

Les pièces ont pu être polies individuellement, notamment dans le cas de pièces possédant des dimensions hétérogènes<sup>25</sup>. Il est également probable que, dans le cas des perles homogènes, celles-ci soient enfilées sur un lien puis abrasées en même temps afin d'améliorer le rendement de l'action et d'économiser la force nécessaire. L'utilisation de pierres rainurées est envisageable pour cette abrasion, comme le suggèrent plusieurs auteurs<sup>26</sup> (**fig. 53**).

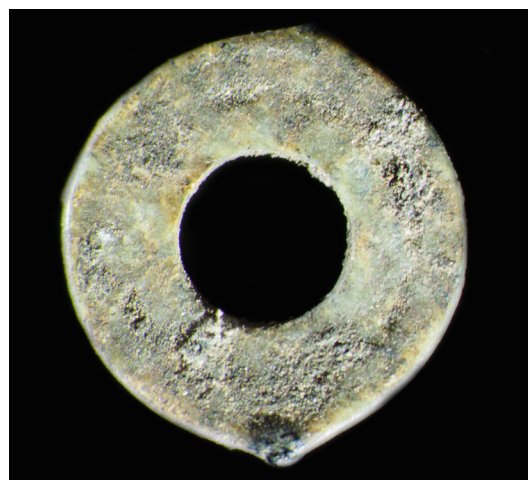


*fig. 53 - Exemples de pierres rainurées issues du site de Jilat (Jordanie), d'après Wright et al. 2008, fig. 15*

Les surfaces des objets de notre corpus sont fréquemment concrétionnées et les zones qui sont dépourvues de concrétions présentent uniquement un polissage. (**fig. 54, fig. 55**). Ces données nous indiquent que ces perles discoïdales sont très probablement finies, en attente d'utilisation.



*fig. 54 - Vue du polissage de la surface de la perle 6585-012, x5.*



*fig. 55 - Vue des concrétions sur la surface de la perle 6224-001, x5.*

<sup>25</sup> Perlès, Pion 2020, p. 235.

<sup>26</sup> Augereau, Bonnardin 1998, p. 35 ; Esnard, Ricou 2000, p. 9192, Camps-Fabrer 1960, p. 152.

## 2.2. Les autres perles en pierre et coquillage

Cette catégorie regroupe un certain nombre de pièces produites en pierre et en coquillage présentant une morphologie tubulaire ou conique. La chaîne opératoire de leur fabrication se rapproche très probablement de celle mise en place pour les perles discoïdales.

### Étape 1 : La préforme

L'obtention des préformes doit être similaire à celle utilisée pour les lots de perles discoïdales, à savoir une fragmentation de la matière première par percussion, par sciage ou par pression à l'aide d'un outil en pierre de type galet.

### Étape 2 : Le façonnage

Le façonnage a lui aussi dû être réalisé par abrasion, soit sur une pierre dormante soit à l'aide d'une pierre active maintenue par la main. Les deux types d'outils ont également pu être utilisés conjointement.

La perle 6540-011 possède sur une face plusieurs stries de faible profondeur, rectilignes et parallèles entre elles (*fig. 56*). La perle tubulaire 5/303.099/43-06 présente également quelques stries rectilignes et parallèles entre elles et axées en oblique par rapport à la longueur de la pièce (*fig. 57*).

Ces stries pourraient correspondre aux stigmates produits par un mouvement de va-et-vient dans le cadre de cette abrasion.



*fig. 56 - Vue des stries en surface de la perle 6349-012, x10*



*fig. 57 - Vue des stries en surface de la perle 5/303.099/43-006, x5*

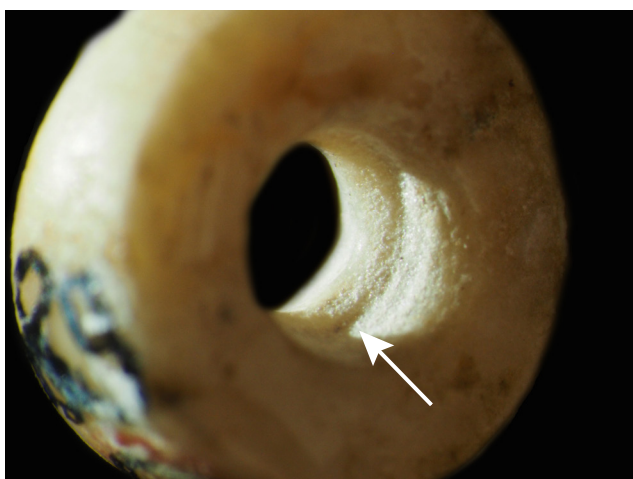
### Étape 3 : La perforation

On note sur certaines perles des encoches au niveau de la perforation peut être lié à un piquetage afin de faciliter l'accroche de l'outil perforateur. La perle 5/309.103/13-13 présente une unique cupule au centre de la pièce pouvant correspondre à la zone d'accroche avec le foret ou à un début de perforation (**fig. 58**). Ce type de stigmatisme a été reconnu sur des pièces archéologiques<sup>27</sup>.

Les perforations des perles de notre corpus présentent de nombreuses stries. Elles sont concentriques, de profondeur variable et plus ou moins espacées entre elles (**fig. 59, fig. 60**). Cette variabilité peut indiquer l'utilisation de différents types d'abrasifs et d'outils.



*fig. 58 - Vue d'une cupule d'accroche sur la perle 5/309.103/13-013, x2.5*



*fig. 59 - Vue d'une rupture dans la perforation de la perle 5/310.104/20-003Q, x5*



*fig. 60 - Vue des stries concentriques dans la perforation de la perle 5/310.104/20-003H, x5*

<sup>27</sup> Gruet, Laporte, Bodeur, 2009, p. 493-495.

Cette perforation est pratiquée par un mouvement rotatif à l'aide de perceurs actionnés mécaniquement, par exemple la drille ou foret à archet<sup>28</sup>. Tout comme pour les lots de perles discoïdales, les forets sont produits en silex et présentent une morphologie fusiforme.

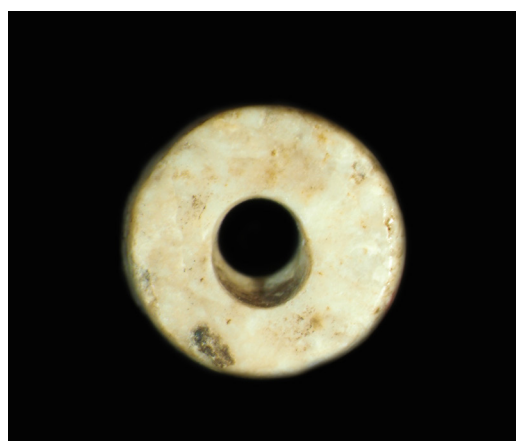
Deux des trois types de perforation précédemment cités se retrouvent dans notre corpus, la perforation biconique et droite. Ces deux types sont plus visibles que sur les lots de perles discoïdales en raison d'une épaisseur plus importante.

- La perforation biconique se caractérise par une forme en « sablier ». Les deux perforations peuvent se rejoindre au centre de la pièce en formant un même axe (**fig. 61**) ou en présentant un léger désaxement (**fig. 62**).

- La perforation droite présente elle un axe unique en forme de cylindre qui peut être parallèle à l'axe de la pièce ou légèrement oblique, notamment dans le cas des perles tubulaires (**fig. 63**).



*fig. 61 - Vue de la perforation biconique de la perle tubulaire 6578-047, x5*



*fig. 62 - Vue de la perforation biconique désaxée de la perle 5/310.104/20-003G, x2.5*

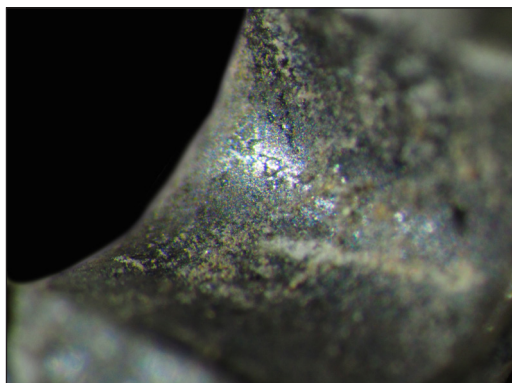


*fig. 63 - Vue de la perforation droite de la perle tubulaire 6364-178, 4:1*

<sup>28</sup> Esnard, Ricou 2000, p. 88.

Comme dans le cas des lots de perles discoïdales, la perforation droite peut être liée à l'utilisation de deux types de foret comme celle évoquée dans l'étude menée sur la parure en pierre de deux sites néolithiques jordaniens : un premier pour créer un trou en forme de sablier et un second pour régulariser la forme de la perforation et lui donner une forme droite<sup>29</sup>.

Certaines pièces montrent également une perforation non striée, mais polie. Il est envisageable que ces pièces aient été polies afin de lisser les traces dans la perforation (**fig. 64**).



*fig. 64 - Vue de la perforation polie de la perle 6349-012, x5*

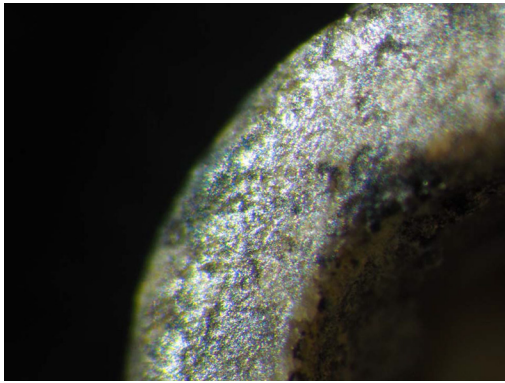
---

<sup>29</sup> Wright *et al.* 2008, p. 147.

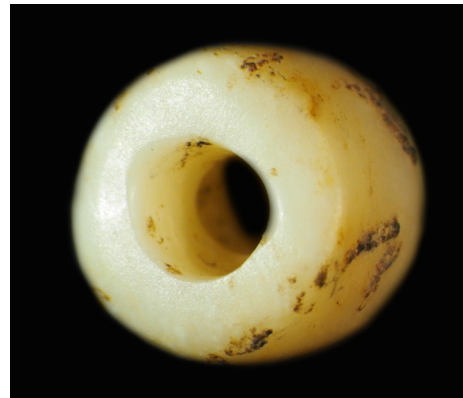
#### **Etape 4 : La finition**

Tout comme dans le cas des lots de perles discoïdales, les pièces sont polies lors de cette étape afin d'éliminer les stries encore visibles en surface et donner un aspect brillant à la surface des objets. Cette étape de finition a dû être réalisée individuellement pour chaque pièce étant donnée leur grande hétérogénéité. Les mêmes types d'outils abrasifs, de faible granulométrie, dormants ou mobiles ont été employés lors de cette étape finale.

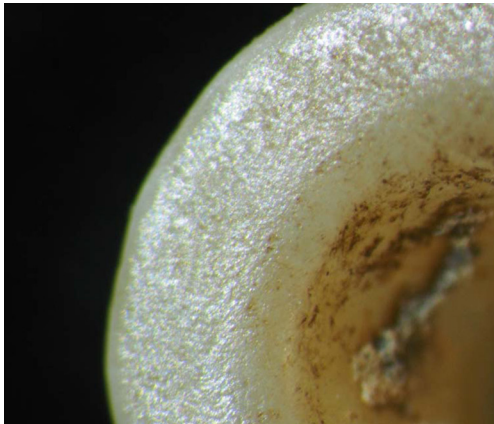
Les pièces de notre corpus présentent toutes une finition avancée avec une surface polie sans stries visibles (**fig. 65, fig. 66, fig. 67**).



*fig. 65 - Vue de la surface polie de la perle 6184-001, x10*



*fig. 66 - Vue de la surface polie de la perle 5/310.104/20-031B, x2.5*



*fig. 67 - Vue de la surface polie de la perle 5/303.106/40-020A, x10*

## **2.3. Les perles en terre cuite**

### **2.3.1. Les perles discoïdales en terre cuite**

Cette catégorie de pièces est présente sur plusieurs sites contemporains, mais en faible quantité. Ces perles se présentent soit sous la forme de perles finies, telles celles découvertes à Dikili Tash, soit sous la forme de cylindre rappelant le cylindre en os de notre corpus (*fig. 46, page 77*).

En l'absence d'expérimentation sur ce matériau dans la catégorie des parures, nous nous appuyerons sur une des chaînes opératoires de fabrication des perles en stéatite. Plusieurs études<sup>30</sup> menées sur des sites chalcolithiques anatoliens ont montré que ces objets peuvent être également fabriqués à partir d'une pâte réalisée avec de la stéatite broyée, ce qui rappelle la production à partir de terre. Bien qu'il n'ait pas procédé à des expérimentations, F. Ifantidis décrit le même type de chaîne opératoire pour la fabrication des perles rainurées découvertes sur le site de Dispilio<sup>31</sup>.

Nous formulerons donc ici des hypothèses en nous basant sur les chaînes opératoires d'objets de parure de morphologie proche, mais aussi sur celles des perles produites en stéatite.

#### **Étape 1 : La préparation de la matière première**

Cette étape se caractérise par la préparation de l'argile. Celle-ci doit correspondre à celle utilisée pour fabriquer les céramiques. Néanmoins étant donné la finesse de la pièce, aucun dégraissant n'a été ajouté contrairement à la matière utilisée pour le mobilier céramique. On note juste la présence sur certaines perles d'inclusions de quartz. Un même type d'inclusions a été noté sur une perle issue d'une série de perles en terre cuite du site de Ilindentsi (Bulgarie)<sup>32</sup>.

#### **Étape 2 : Le façonnage**

Cette étape correspond probablement à la fabrication d'un cylindre de terre au diamètre souhaité des futures perles discoïdales<sup>33</sup>. Ce cylindre est probablement entaillé dès cette étape afin de marquer les divisions (*fig. 68*) et favoriser l'accroche lors des futures découpes. Cette pièce est ensuite cuite afin d'obtenir une matière plus solide.

---

<sup>30</sup> Bar-Yosef *et al.* 2004 ; Pickard, Schoop 2013 ; Ekmen *et al.* 2020.

<sup>31</sup> Ifantidis 2019, p. 175-176.

<sup>32</sup> Grebska-Kulova, Gurova, Zidarov 2021, p.14.

<sup>33</sup> Bar-Yosef *et al.* 2004, p.497.



*fig. 68 - Vue d'une incision sur la perle discoïdale 6159-003, x12.5*

Une seule pièce cylindrique de ce type est présente dans notre corpus (6266-047, **fig. 69**). Ce cylindre mesure 0,80 cm de longueur. Et l'on compte trois divisions plus ou moins marquées sur son pourtour. Cette pièce a été retrouvée avec un lot de perles discoïdales en terre cuite présentant un aspect similaire. Ce type de pièce est également connue sur les sites néolithiques voisins de Dimitra<sup>34</sup> et de Sitagroi<sup>35</sup>, ainsi que sur le site de Dispilio<sup>36</sup> (**fig. 251, page 200**). Ces sites ont fourni de rares exemples de cylindres uniformes ou divisés en sections d'environ 2 mm d'épaisseur. À noter que le même type de cylindre rainuré a été trouvé sur le site de Dikili Tash et Sitagroi, mais fabriqué respectivement en os et en pierre .



*fig. 69 - Vue du cylindre tubulaire 6266-047, 4:1*

<sup>34</sup> Karali-Yannacopoulou 1997, p.107.

<sup>35</sup> Nikolaidou 2003, p.345.

<sup>36</sup> Ifantidis 2019, p. 175-176, pl. 40.1.

### Étape 3 : La perforation

Il est envisageable que cette étape ait été engagée dès la phase précédente avec la mise en place d'un élément au cœur du cylindre. Cet élément pourra être facilement enlevé dès que la pièce sera cuite. Il pourrait s'agir d'un brin de paille qui serait détruit lors de la cuisson ou de tout autre élément facile à enlever.

Les études menées sur les perles en stéatite émettent l'hypothèse que les perles puissent avoir été perforées à l'aide d'un outil après la chauffe en raison de la présence d'une cupule en surface plus large que la perforation, témoin d'une surface d'accroche<sup>37</sup>. Dans notre cas, l'absence de traces dans les perforations ne permet pas d'affirmer que les pièces ont été perforées avec un outil abrasif. Cela renforce l'hypothèse d'un élément déjà présent dans la perforation avant la cuisson.

### Étape 4 : La finition

Cette étape débute par la cuisson de la pièce. Les cylindres sont ensuite découpés afin d'obtenir les perles discoïdales. Cette méthode semble être celle utilisée pour la production de perles en stéatite où, contrairement à nos perles, plusieurs zones striées pourraient être les témoins de cette découpe<sup>38</sup>. Cette découpe a dû être réalisée à l'aide d'un outil en pierre de type lame. Il n'est pas certain que l'ajout d'un abrasif ait été nécessaire pour cette découpe.

Ensuite, les perles ainsi obtenues sont peut-être abrasées sur les faces afin d'éliminer les stigmates de la découpe et de régulariser la surface et l'épaisseur. Aucune trace n'a pu être observée sur les éléments de notre corpus (**fig. 70, fig. 71**). Néanmoins, la surface naturellement rugueuse de cette matière n'est pas favorable à la lecture de traces.



fig. 70 - Vue de la surface de la perle  
6559-001, x5



fig. 71 - Vue de la surface de la perle  
6130-009, x5

<sup>37</sup> Ekmen *et al.* 2020, p.125.

<sup>38</sup> Ekmen *et al.* 2020, p.124.

### 2.3.2. Les autres perles en terre cuite

En dehors du lot de perles discoïdales majoritairement issues de l'US 6266, on note 13 perles fabriquées en terre cuite ne présentant pas la même morphologie que les pièces précédemment présentées. Leurs formes sont plus variées, puisque l'on compte aussi bien des perles tubulaires que globulaires. Leurs dimensions sont également supérieures à celles du lot 6266, puisqu'en moyenne elles dépassent le centimètre de largeur ou diamètre.

Ces pièces sont uniques et semblent être façonnées individuellement. Malheureusement, tout comme pour les perles discoïdales, ces pièces ne présentent pas ou peu de traces liées à leur fabrication. L'étude de M.A. Miller confirme la plus grande variété de forme des pièces fabriquées en terre cuite comparativement aux formes des perles en pierre ou coquille<sup>39</sup>. Dans le cadre de son étude, elle conclut sur une technique relativement simple pour la fabrication des perles en terre cuite. En l'absence de traces de fabrication sur les pièces de notre corpus, nous nous baserons la chaîne opératoire hypothétique mise en place par M.A. Miller<sup>40</sup>, en l'agrémentant de nos propres réflexions :

#### Étape 1 : La préparation de la matière première

Bien que ces pièces n'aient pas fait l'objet d'une étude XRF, il est envisageable qu'elles soient également produites avec le même mélange de terre que celui des perles discoïdales.

#### Étape 2 : Le façonnage

Étant donnée leur morphologie unique, chaque pièce doit être moulée à la main puis lissée afin d'éliminer les traces de cette étape. Le lisseur doit être une pièce plane, d'une taille suffisamment petite pour être maintenue dans la main. On peut envisager que cet outil soit en os, en bois ou en pierre non rugueuse (ex. silex, obsidienne).

#### Étape 3 : La perforation

L'étude de ces pièces montre deux modalités de perforation : l'une par la mise en place de la perforation en même temps que le façonnage, l'autre après le façonnage de la pièce.

Le premier type est visible sur deux perles en terre cuite fracturées par moitié, ce qui rend visible la perforation. Les deux ne montrent aucune strie. L'une des perforations possède une surface très accidentée (**fig. 72**) tandis que l'autre montre une surface plus lisse sans marque visible (**fig. 73**). La perforation n'a pas été effectuée par abrasion, mais, comme dans le cas des perles discoïdales, par la mise en place d'un élément lors du façonnage de la pièce, élément qui est retiré ou détruit ultérieurement. L'hétérogénéité des deux perforations indiquerait qu'au moins deux types d'éléments sont utilisés pour façonner cette perforation.

---

<sup>39</sup> Miller, 1997, p.116.

<sup>40</sup> Miller, 1997, p.117.

Le deuxième type est visible par la présence d'un cône en sortie de la perforation, résultant certainement d'une perforation réalisée par l'insertion d'un élément ayant « expulsé » la matière. La pièce doit être façonnée en masse et la perforation réalisée après coup, avant la cuisson de la pièce (**fig. 74**).

#### Étape 4 : La finition

En dehors de la cuisson de la pièce, cette étape est mal documentée. On notera seulement quelques zones polies sur une perle. Néanmoins la majorité de ces pièces possèdent une surface assez rugueuse n'indiquant pas de travail particulier après la cuisson (**fig. 75**).



*fig. 72 - Vue de la perforation de la perle 5/300.107/02-004, x1*



*fig. 73 - Vue de la perforation de la perle 5/304.103/20-005, x1*



*fig. 74 - Vue de la crête autour de la perforation de la perle 6085-003, x5*



*fig. 75 - Vue de la surface polie de la perle 6147-011, x5*

## 2.4. Les perles tubulaires en dentale

Cette catégorie de perles est formée à partir d'un unique matériau : la coquille d'un mollusque, le *Dentalium sp.* Pour fabriquer ces perles, l'artisan profite de la perforation naturelle de la coquille.

Bien qu'étant un objet très représenté dans les corpus de parure des sites préhistoriques, les perles en dentale n'ont que très peu fait l'objet d'études expérimentales. Nous nous baserons sur une étude menée en 2001 sur la parure funéraire du site de La Madeleine daté du Paléolithique français (10390-9990 BP)<sup>41</sup>.

### Étape 1 : La récolte de la matière première

Cette étape consiste à ramasser des dentales directement dans le sable des plages ou dans des gîtes fossiles. L'expérimentation montre que plusieurs centaines de pièces peuvent être récoltées en l'espace de quelques heures sans effort particulier<sup>42</sup>.

### Étape 2 : Le façonnage

Cette étape consiste à découper la coquille à la taille souhaitée. En effet le dentale possède une forme allongée dont une extrémité se termine en pointe. La cassure de ces extrémités laisse des stigmates caractéristiques de la méthode employée <sup>43</sup> :

- Fracture naturelle : les dentales découverts sur les gîtes fossiles présentent naturellement des cassures qui se caractérisent par « *des bords irréguliers, affectés par des micro-enlèvements, et une morphologie en bec de flûte* »

- Fracture anthropique : les dentales fracturés volontairement présentent lors du sciage « *deux facettes, l'une oblique par rapport à l'axe du dentale, couverte de stries laissées par le va-et-vient du tranchant et l'autre, nette et perpendiculaire, résultant de la fracture engendrée par l'entaille* » tandis que les fractures par flexion laissent une fracture « *nette et perpendiculaire* ».

Dans notre corpus, les pièces en dentale sont toutes travaillées, puisqu'aucune coquille ne présente ses deux extrémités naturelles. Certaines possèdent encore l'extrémité la plus fine intacte, mais l'autre porte quant à elle des stigmates d'une cassure.

Ces extrémités cassées présentent des stigmates variés : des extrémités nettes, accidentées (**fig. 76**), en bec de flûte (**fig. 77**) ou caractéristique d'un sciage (**fig. 78**). Ces données couplées aux résultats de l'étude expérimentale montrent que les dentales de notre corpus sont pour partie non travaillées (cassures accidentées et en bec de flûte), et pour partie découpées par flexion (cassure nette) ou par sciage (facettes oblique et perpendiculaire).

---

<sup>41</sup> Vanhaeren, D'Errico 2001.

<sup>42</sup> Vanhaeren, D'Errico 2001, p. 1.

<sup>43</sup> Vanhaeren, D'Errico 2001, p. 18.

Par ailleurs, au sein de notre corpus, on compte plusieurs éléments de dentale constitués des extrémités de la coquille et pouvant être considérés comme des déchets de fabrication. Du fait de leur diamètre trop faible, ces pièces ne peuvent pas être utilisées comme une perle, car on ne peut pas y enfiler un lien. Ces éléments seront donc considérés comme des déchets de fabrication.



*fig. 76 - Vue de l'extrémité accidentée de la perle en dentale 5/302.105/41-006, x5*



*fig. 77 - Vue de l'extrémité en bec de flûte de la perle en dentale 6434-001, x2.5*



*fig. 78 - Vue de l'extrémité sciée de la perle en dentale 5/310.103/16-023, x5*

### **Étape 3 : La perforation**

Cette étape n'est pas présente dans cette chaîne opératoire car la coquille possède une cavité interne creuse, à laquelle on peut accéder une fois l'extrémité pointue découpée. Au sein de notre corpus, une perle en dentale cassée dans sa longueur a permis d'observer l'absence de stigmates dans la perforation, ce qui confirme le caractère naturel de cette dernière (**fig. 79**).

La zone de découpe de la coquille va correspondre à l'emplacement où le diamètre de la coquille sera suffisamment large pour y faire passer une aiguille. Les données bibliographiques montre qu'en moyenne la perforation mesure plus de 1,8 mm.

L'étude montre également que parfois « le passage forcé d'une aiguille en os dans un dentale produit l'arrachement d'une extrémité et laisse une fracture marquée par une large encoche à profil irrégulier »<sup>44</sup>. Aucune pièce de notre corpus ne présente ce type de stigmat.



*fig. 79 - Vue de la perforation de la perle  
5/302.105/41-012, x10*

#### **Étape 4 : La finition**

Aucune abrasion sur les surfaces n'est visible dans notre corpus ou dans les objets cités dans la bibliographie.

On note sur certaines pièces de notre corpus un polissage des extrémités afin probablement de régulariser des bords accidentés (**fig. 80**).



*fig. 80 - Vue de l'extrémité polie de la perle  
5/312.105/08-001, x10*

---

<sup>44</sup> Vanhaeren, D'Errico 2001, p.18.

## 2.5. Les perles en métal

Le travail de la parure en métal au cours du Néolithique n'a pas fait l'objet de beaucoup d'études. Nous nous appuyons pour ce faire sur l'étude produite par R. Prévalet dans le cadre de sa thèse<sup>45</sup> sur les techniques d'orfèvrerie à l'Âge du bronze.

### 2.5.1. Les perles en or

#### Étape 1 : La préforme

Cette étape consiste à marteler des pépites d'or entre elles jusqu'à l'obtention d'une feuille. Il est également possible que cette préforme soit obtenue par coulée, mais cette technique ne semble pas connue dans le monde égéen avant l'âge du Bronze<sup>46</sup>.

Le martelage est pratiqué conjointement à des recuits de la matière permettant de « *regrouper les combinaisons atomiques* » tout en favorisant la malléabilité du métal<sup>47</sup>. Cette étape laisse des stigmates caractéristiques, telles que des traces concaves, des stries ou bien encore des déchirures. Les surfaces de nos pièces ne présentent pas ce type de stigmates.

Cependant on remarque sur la torsade en or 6344-790 une extrémité composée d'un boudin d'or correspondant probablement à la matière première avant le martelage (**fig. 81**).



fig. 81 - Vue de la torsade en or 6344-790, 4:1

#### Étape 2 : Le façonnage

L'étape du martelage ayant laissé une surface accidentée, les feuilles ont pu subir un brunissage afin d'atténuer ces stigmates et aplanir la surface de la pièce. Un outil compact et lourd à tête convexe polie a pu être utilisé dans un mouvement de va-et-vient appuyé. Ce brunissage laisse des stries profondes en surface<sup>48</sup>. Nos objets de parure ne présentent pas de telles traces.

C'est durant cette étape que la feuille a pu être découpée aux dimensions souhaitées. Cette découpe a pu être réalisée à l'aide d'un outil tranchant de type lame en silex ou d'un burin sur enclume.

<sup>45</sup> Prévalet 2013.

<sup>46</sup> Prévalet 2013, p. 59-62.

<sup>47</sup> Prévalet 2013, p. 83.

<sup>48</sup> Prévalet 2013, p. 84-85.

### Étape 3 : La perforation

Cette étape consiste en réalité non pas à évider une pièce, mais à modeler la feuille d'or. Pour ce faire, cette dernière est enroulée autour d'un cylindre. Cette étape a pu utiliser une technique proche de celle du placage. Cette technique consiste à travailler la feuille « *directement sur l'objet, par frottement, pression ou percussion posée à l'aide d'outils en matériau tendre et facilement adaptable aux reliefs des supports (pointes, bouterolles en bois ou en os)*<sup>49</sup> ».

Le but, dans le cas de nos perles en or, n'est pas de faire adhérer la feuille d'or à son support, comme le montre les vides entre la feuille d'or et la perle en pierre, mais plutôt de mouler la feuille pour obtenir une forme discoïdale d'une dimension similaire à celles de perles en pierre (**fig. 82**). Ce procédé est envisagé par R. Prévalet pour la fabrication de perles creuses à partir d'une feuille repliée autour d'une âme en matériau périssable (cire ou pâte argileuse) éliminée ensuite<sup>50</sup>. Cette technique a été mise en œuvre sur le site de Makriyalos où des feuilles de cuivre ont été découvertes enroulées autour de perles en malachite<sup>51</sup>.



fig. 82 - Vue du repli de la perle en or 6344-086 sur une perle en pierre, 4:1

On notera que la perle en or, formée d'une feuille d'or repliée, découverte sur le site de Sitagroi a été observée sous microscope et que la surface externe montre « *des marques de rainure parallèles à la longueur* ». Les auteurs estiment que cette feuille de métal a dû être enroulée par martelage autour d'un objet cylindrique afin de donner à la feuille sa forme arrondie. Par la suite les bords ont été coupés diagonalement (avant ou après la mise en forme ?) puis martelés afin de les « souder » ensemble<sup>52</sup>.

Dans cette perspective, il est intéressant de se poser la question du maintien ou non de la perle en pierre au sein de la feuille d'or. En effet, la perle 6344-152 n'a pas été découverte avec une perle en pierre en son centre. Son diamètre, égal à celui des perles discoïdales et bien inférieur à celui des autres perles en or, laisse supposer que le repli de la feuille n'a pas été réalisé autour d'une perle. Un autre support plus petit aurait pu être utilisé (**fig. 83**).



fig. 83 - Vue de la perle en or 6344-152, 4:1

49 Prévalet 2013, p.65-66.

50 Prévalet 2013, p.67.

51 Pappa, Karolidis, Scott 2003, p. 275, fig. 1.

52 Renfrew, Slater 2003b, p.320.

Dans la même perspective, on note la présence de la torsade en or 6344-790 fabriquée par l'enroulement d'une feuille d'or. Cette torsade d'un diamètre égal à celui des perles discoïdales n'a pas non plus été enroulée autour d'une perle. L'hétérogénéité de l'enroulement indiquerait un façonnage manuel sans l'aide d'un support rigide (**fig. 81, page 96**).

#### Étape 4 : La finition

Afin d'éliminer les traces les plus visibles de la surface, les feuilles d'or sont polies par frottement selon un mouvement de va-et-vient et/ou rotatif à l'aide d'un outil tendre à tête plate ou arrondie. L'utilisation des doigts peut également être envisagée. Ce polissage laisse une surface sur laquelle on note « *des stries parallèles ou circulaires, plus ou moins profondes* »<sup>53</sup>.

La surface de nos perles en or présente également quelques stries peu marquées pouvant résulter de ce type de polissage (**fig. 84**).

On note également que dans trois cas (6344-043, 6344-086 et 6344-152) la feuille d'or est repliée de telle sorte que ses deux extrémités se chevauchent. On peut dès lors se poser la question de l'état d'achèvement de ces perles. Sont-elles destinées à être portées telles quelles ou sont-elles en cours de fabrication ? La découverte de quelques autres perles isolées en or<sup>54</sup> ou en cuivre présentant la même caractéristique pourrait indiquer que nous avons affaire cependant à des pièces terminées.



*fig. 84 - Vue de surface de la perle en or 6344-086, 4:1*

---

<sup>53</sup> Prévalet 2013, p.84-85.

<sup>54</sup> Par exemple la perle 800-Do75 illustrée par Tsirtsoni 2017, p. 1301, fig. 2, ou bien la perle en cuivre 6266-048 insérée dans une perle en pierre (Cf. fig. 86, page 100).

## 2.5.2. Les perles en cuivre

### Étape 1 : La mise en forme

La même technique de martelage a dû être mise en place pour le cuivre. Le cuivre étant presque aussi malléable que l'or, l'obtention de feuilles de cuivre devait être assez aisée. Les surfaces de nos pièces ne présentent aucun stigmatisme reconnaissable de cette étape.

### Étape 2 : Le façonnage

Cette étape doit elle aussi être proche de celle employée pour les perles en or, à savoir un brunissage et une découpe de la pièce aux dimensions souhaitées.

Malheureusement, la surface des perles en cuivre étant très accidentée et corrodée, aucune strie n'est visible pour confirmer cette technique. La perle 604023-016, découverte isolée près du four/foyer de la maison 2 (secteur 6), a une surface très corrodée présentant un aspect vert de gris (**fig. 85**). Aucun stigmatisme de fabrication n'est dès lors visible.



*fig. 85 - Vue de la perle en cuivre 604023-016, 2:1*

### Étape 3 : La perforation

Dans le cas de la perle 604023-016 (**fig. 85**), aucune soudure ou jonction n'est visible dans le cas où cette pièce aurait été produite par le repli d'une feuille de cuivre. Néanmoins, une partie de la pièce étant manquante il pourrait s'agir de la zone en question.

Pour les perles 6266-035 et 6266-048, il s'agit comme pour les perles en or d'une feuille de métal repliée (**fig. 86**). Cependant cette feuille n'est pas enroulée autour d'une perle en pierre, mais insérée dedans. La perle 6266-048 a été découverte *in situ* insérée dans la perle en pierre 6266-042, qui porte encore les traces de cuivre en surface (**fig. 87**). La manipulation de ces deux objets n'a pas permis de conserver leur connexion, mais ce procédé est visible dans l'empreinte en négatif de la perforation de la perle en pierre sur la feuille de cuivre repliée.



*fig. 86 - Vue de la perle en cuivre 6266-035  
enchassée dans une perle en pierre, 4:1*



*fig. 87 - Vue de la perle en cuivre  
6266-035, 4:1*

#### **Étape 4 : La finition**

Les deux perles issues de 6266 présentent un aspect très grossier. On peut envisager que ces deux objets étaient encore en cours de fabrication. Les tronçons ainsi modelés devaient peut-être être découpés par la suite pour obtenir une forme discoïdale, telle que la pièce 604023-016. Une abrasion des faces aurait permis de les aplanir.

### 3. Les anneaux

Ces anneaux sont exclusivement produits en coquille, hormis 3 anneaux en pierre et un en os. La grande fragmentation des anneaux en coquille ne permet pas d'affirmer avec certitude que seul le *Spondylus Gaedoropus* ait été utilisé. Bien que les pièces présentant des critères reconnaissables montrent uniquement l'utilisation de coquille de *Spondylus Gaedoropus*, il n'est pas exclu que certains fragments d'anneaux ait été produits en *Glycymeris Sp*<sup>55</sup>. Quelle que soit la coquille choisie, la chaîne opératoire de fabrication de ces anneaux ne semble pas être influencée par l'utilisation de l'une ou l'autre de ces coquilles.

Afin de mieux appréhender cette chaîne opératoire, nous nous baserons sur deux séries d'expérimentations : l'une menée par A. Tsuneki<sup>56</sup> (**fig. 88**), l'autre par M.A. Miller<sup>57</sup>.

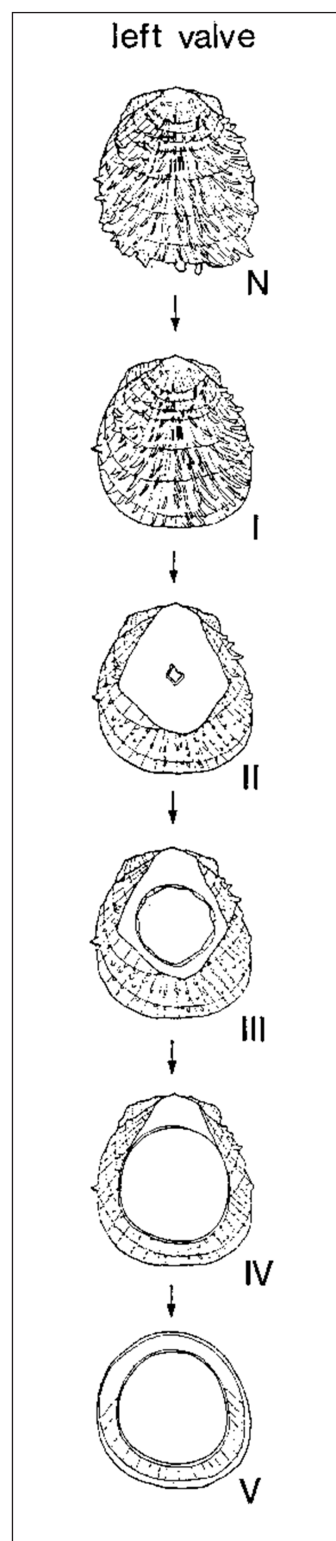


fig. 88 - Exemple de chaîne opératoire de fabrication d'anneau en spondyle, d'après Tsuneki 1989, fig. 6

<sup>55</sup> Concernant les critères de différenciation des deux types de coquille, nous nous sommes référés à l'étude de Dimitrijevic, Tripkovic 2006.

<sup>56</sup> Tsuneki 1989.

<sup>57</sup> Miller 1997, p. 115-116.

## Étape 1 : La récolte de la matière première

Comme pour dans le cas des dentales, cette première étape consiste à récolter des valves de coquille. Ces dernières peuvent être pêchées le long des littoraux ou ramassées le long des plages, cette dernière méthode ayant l'avantage de minimiser l'effort nécessaire, mais serait davantage tributaire des échouages de coquilles. Cette collecte peut aussi être mise en œuvre dans une volonté primaire de consommation, l'utilisation de la coquille étant alors une démarche secondaire<sup>58</sup>.

Comme évoqué précédemment (*Cf. page 60*), les coquilles mortes échouées sur les plages pourront présenter des couleurs plus ternes que les coquilles récoltées vivantes. Quelques pièces de notre corpus possèdent encore des couleurs vives, mais la majorité des surfaces ont une couleur blanchâtre à grisâtre ce qui laisseraient supposer une récolte le long de plages. On peut se poser la question de l'influence des conditions d'enfouissement, notamment l'exposition au feu, sur la préservation des couleurs de cette coquille. Sur le site de Makriyalos, l'étude des coquilles de spondyle a permis de montrer que ces bivalves étaient préférentiellement récoltés vivants et à des profondeurs importantes<sup>59</sup>.

Le spondyle possède deux coquilles de taille inégale qui semblent être utilisées de façons différentes. L'étude menée par A. Tsuneki montre que la valve gauche est préférée pour la fabrication des anneaux, car elle est plus fine et présente moins d'aspérités sur sa surface. Bien que certaines pièces puissent être produites dans une valve droite, cette dernière serait plutôt réservée aux productions de perles ou pendentifs<sup>60</sup>. L'étude menée sur les anneaux de Makriyalos a montré que cette distinction entre les deux valves n'est pas toujours aussi marquée, puisque, sur les 307 anneaux du site, 161 ont été fabriqués dans la valve gauche contre 105 dans la valve droite<sup>61</sup>.

Les anneaux de notre corpus étant à un stade très avancé de finition, déterminer la valve choisie est rarement possible. On note le cas de deux anneaux présentant des caractéristiques propres à la valve gauche (5/310.103/04-059, 5/310.102/01-010). La coquille non travaillée 1/289.102/04-003 est quant à elle caractéristique de la valve droite (*fig. 160, page 142*). La détermination des autres pièces n'est fondée que sur les morphologies globales des pièces mises au jour (épaisseur faible/forte, concavité faible/forte).

Il semblerait alors que la valve gauche soit la plus représentée dans notre corpus, mais le nombre très limité de cas clairement identifiés ne nous permet pas d'être affirmatif.

*fig. 89 - Vue de la charnière de la valve gauche sur un fragment d'anneau 5/310.103/04-059, 1:1*



58 Pappa, Veropoulidou 2011, p. 110 ; Théodoropoulou 2011, p. 95

59 Pappa, Veropoulidou 2011, p. 109-110.

60 Tsuneki 1989, p. 12-13.

61 Pappa, Veropoulidou 2011, p. 111.

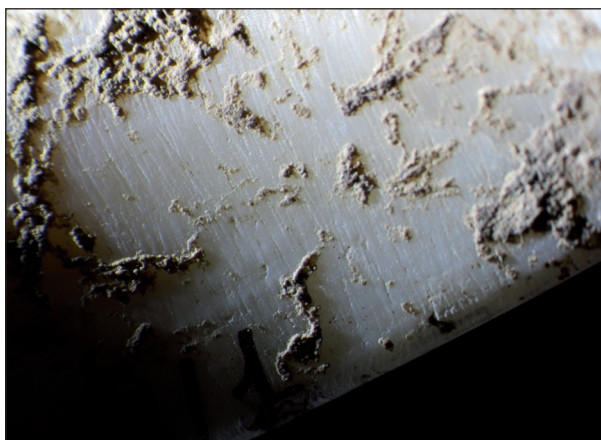
## Étape 2 : Le façonnage

Cette étape correspond aux étapes 1 et 2 des expérimentations de A. Tsuneki et de M.A. Miller : une première abrasion grossière élimine les épines calcaires de surface, puis une seconde abrasion vise à réduire l'épaisseur de la pièce<sup>62</sup>.

Cette étape a laissé peu de traces sur les objets de notre corpus. Ces traces se présentent sous la forme de stries longitudinales, couvrantes et continues. Leur profil est peu profond, bien qu'il soit possible dans certains cas de les voir à l'œil nu (**fig. 90, fig. 91, fig. 92, fig. 93**).

Ces stries résulteraient d'un mouvement rectiligne de va-et-vient. La pièce étant circulaire, les stries sont orientées différemment selon la zone de l'objet. Elles pourront être perpendiculaires, parallèles ou obliques au bord la pièce.

Les outils utilisés doivent correspondre dans un premier temps à un galet mobile maintenu dans la main et qui permettra de casser les épines dorsales par percussion directe. Puis la coquille sera maintenue dans la main et abrasée sur une pierre abrasive plate et dormante, comme le suggèrent l'absence de stries dans les dépressions naturelles de la coquille. La grande similitude des stries laisse envisager l'utilisation d'un même type d'outil, ou du moins d'outils d'une morphologie et d'une granulométrie proche.



*fig. 90 - Vue des stries sur la surface de l'anneau 2/288.070/09-001, x2.5*



*fig. 91 - Vue des stries sur la surface de l'anneau 5/301.103/13-005, x2.5*

<sup>62</sup> Tsuneki 1989, p.10.



*fig. 92 - Vue des stries sur la surface de l'anneau 5/310.103/04-059, x2.5*



*fig. 93 - Vue des stries sur la surface de l'anneau 5/310.104/10-023, x1*

### **Étape 3 : La perforation**

Cette étape correspond aux étapes 3 et 4 de M.A. Miller. Il s'agit de l'étape la plus importante de cette chaîne opératoire puisqu'elle va donner sa forme quasi définitive à la pièce. La partie convexe de la valve va subir une abrasion afin de ménager un trou au centre. En fonction de la convexité de la valve, le trou créé par cette première abrasion sera élargi, soit en continuant l'abrasion (en cas de convexité forte), soit par percussion autour du trou (en cas de convexité faible)<sup>63</sup>.

Les outils utilisés seront en partie les mêmes que pour la phase du façonnage, à savoir des pierres abrasives planes en cas d'abrasion et des percuteurs de type galet en cas de percussion directe ou en matière dure animale en cas de percussion indirecte.

---

<sup>63</sup> Tsuneki 1989, p.10.

## Étape 4 : La finition

Cette étape correspond à l'étape 5 de M.A. Miller. Une fois la taille de la perforation atteinte, les bords de l'objet sont lissés par abrasion fine et les aspérités encore visibles sont abrasées. L'ensemble de la pièce est ensuite poli par abrasion fine<sup>64</sup>.

Ce polissage a pour but d'effacer en partie ou en totalité les stries d'abrasion et de rendre la surface lisse et brillante. Néanmoins certaines pièces n'ont pas été polies entièrement et des zones striées sont encore visibles notamment dans des concavités naturelles de l'objet. La présence de stries hétérogènes sur certaines pièces, de même que leur état fragmentaire, laisse envisager que ces pièces étaient considérées comme finies voire même portées. On peut donc en déduire que la présence de stries de fabrication peu visibles à l'œil nu ne représente pas un obstacle au port de ces pièces.

La quasi-totalité des anneaux de notre corpus ont été polis sur toute ou partie de leur surface. De larges zones présentent une surface plane et brillante caractéristique d'un polissage (**fig. 94, fig. 95, fig. 96, fig. 97**).



*fig. 94 - Vue de la surface polie de l'anneau 5/313.103/02-050, x5*



*fig. 95 - Vue de la surface polie de l'anneau 5/310.104/10-022, x2.5*



*fig. 96 - Vue de la surface polie de l'anneau 5/301.103/04-008, x6*



*fig. 97 - Vue de la surface polie de l'anneau 5/304.098/41-003, x2.5*

<sup>64</sup> Tsuneki 1989, p.10.

Les expérimentations menées par M.A. Miller montrent que cette technique permet la production d'un bracelet en 9 à 12 heures, mais avec un taux de fracturation des pièces d'environ 50%. On peut dès lors estimer qu'un fabricant expérimenté devait mettre moins de temps avec un taux de fragmentation moins important.

## 4. Les appliques

La production de telles pièces en dent n'a pas fait, pour le moment, l'objet d'expérimentations. Néanmoins ce matériau, utilisé le plus souvent pour produire des outils, a fait l'objet de plusieurs études<sup>65</sup>. Nous nous appuyerons sur ces études, et notamment la thèse de B. Marquebielle<sup>66</sup>, afin d'envisager les étapes de fabrication de ces appliques.

Les quelques rares objets du même type découverts sur des sites voisins de Dikili Tash ne nous fournissent pas plus de données quant à la chaîne opératoire mise en place (*Cf. page 225*).

### Étape 1 : La préforme

Notre corpus ne nous a pas fourni beaucoup d'informations sur cette étape. Nous pouvons néanmoins supposer que c'est au cours de cette phase que la dent de suidé est fragmentée et/ou découpée en plusieurs éléments. La présence de sept dents de suidé complètes confirme que cette étape devait être réalisée sur le site même. L'étude de ces dents n'a pas fourni d'éléments permettant d'identifier les méthodes mises en place lors de cette étape. Mais les fouilles récentes menées dans le cadre du 4<sup>e</sup> programme de recherches à Dikili Tash ont permis de découvrir, dans un contexte relativement homogène du Néolithique Récent II, deux fragments de dent de suidé (9629-002 et 9629-003) qui peuvent être interprétés comme des préformes destinées à la fabrication d'appliques (*fig. 98*). Il pourrait s'agir de dents sectionnées en deux dans le sens de la longueur<sup>67</sup>.



*fig. 98 - Vue de la canine travaillée 9629-003 , 1:1*

<sup>65</sup> Marquebielle 2014 ; Margarit, Boroneant 2021.

<sup>66</sup> Marquebielle 2014.

<sup>67</sup> Remerciements aux fouilleurs pour ces informations. Aucune analyse tracéologique n'a pu être réalisée sur ces pièces dans le cadre de cette thèse.

Seule une partie des canines sera utilisée dans le cadre de la production d'appliques. En effet, la dent ne présente d'émail que sur deux faces (antéro-interne et externe) mais seule la face antéro-interne possède suffisamment de largeur pour produire une applique. De plus, seules les parties proximale et mésiale auront suffisamment d'épaisseur pour la production d'applique. On estime donc entre une et deux appliques maximum pouvant être produite sur une canine<sup>68</sup>.

Par nature, les dents inférieures de suidé (également nommées canines) présentent plusieurs faiblesses : une fragilité longitudinale à la jonction des trois bords la composant, une partie proximale creuse et une hétérogénéité de la matière (dentine/émail)<sup>69</sup>. Ces faiblesses permettent d'obtenir des fragments proches de la morphologie souhaitée.

Une étude expérimentale menée dans le cadre de la fabrication d'outils en canines nous informe sur les modalités de fracturation d'une dent de suidé. Des rainurages à l'aide d'outil en silex sont pratiqués sur la pièce suivant un axe longitudinal. Un outil biseauté est ensuite inséré à la base de la dent, soit entre les deux rainures, soit au sein même de la cavité de la dent. Ces deux techniques sont efficaces et ont produit des supports plats<sup>70</sup> dont les dimensions sont compatibles avec celles des pièces de notre corpus.

L'hypothèse de l'utilisation d'un outil tranchant (en silex ?) peut être envisagé sur notre chaîne opératoire grâce à l'existence d'une encoche très profonde encore visible sur une des pièces de notre corpus. Présentant un profil en V, cette rainure, axée perpendiculairement à la longueur de la pièce, pourrait correspondre à une trace de découpe abandonnée ou d'un rainurage, en vue d'une fracturation, non utilisée (**fig. 99**). Ce stigmate rappelle ceux produits expérimentalement dans le cadre des expérimentations sur la production d'outils (type support plat) de B. Marquebielle, mais aussi d'une étude sur les outils en canines de suidés au nord du Danube<sup>71</sup>. Ces différents outils ne présentent pas de similitudes morpho-typologique avec les pièces de Dikili Tash, mais nous permettent de mieux comprendre les techniques utilisées pour fragmenter une canine de suidé dans le but d'obtenir des fragments de matière se rapprochant de la forme des appliques.



*fig. 99 - Vue d'une incision sur l'applique 6504-014, x5*

68 Marquebielle 2014, p.59, fig.8.

69 Marquebielle 2014, p. 60-61.

70 Marquebielle 2014, p. 99-104.

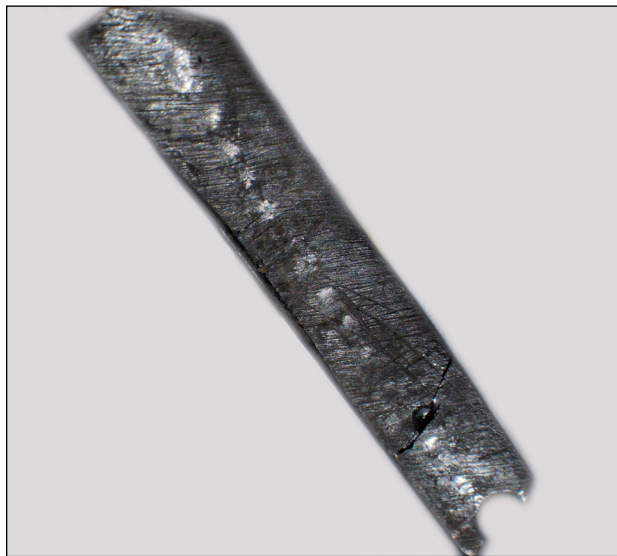
71 Margarit, Boroneant 2021, p.11-12.

Cette découpe est, d'après les auteurs, assez facile et d'une durée variable comprise entre 20 et 30 minutes.

Quelques pièces de notre corpus montrent également la présence de cupules sur la face concave. Ces dépressions sont de forme légèrement oblongues et mesurent environ 3 mm. Elles s'organisent en plan selon une ligne parallèle à la longueur de la pièce. L'intérieur de la cupule n'est pas strié (**fig. 100, fig. 101**). On peut émettre l'hypothèse que les cupules en question sont les stigmates liés au détachement d'un fragment de matière. L'aspect émoussé de cette encoche suggère l'utilisation d'un outil en matière souple comme le bois ou l'os. Il s'agit peut-être d'une technique particulière, non encore attestée par ailleurs, de détachement de la matière.



*fig. 100 - Vue des encoches sur la surface de l'applique 6364-038, x1*



*fig. 101 - Vue des encoches sur la surface de l'applique 6364-028, x2.5*

## Étape 2 : Le façonnage

Cette étape va permettre de donner aux fragments de matière première leur forme rectangulaire. La totalité des pièces découvertes montrent un travail important sur chaque face et chaque bord.

### - La face interne

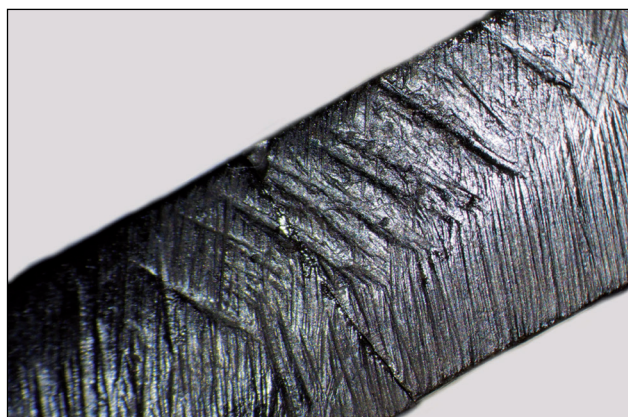
Sur cette face concave, deux catégories de stries sont visibles indiquant deux phases d'abrasion.

Une première phase consiste en une abrasion intense marquée par des stries profondes et orientées très majoritairement en oblique par rapport à la largeur de la pièce (**fig. 102**).

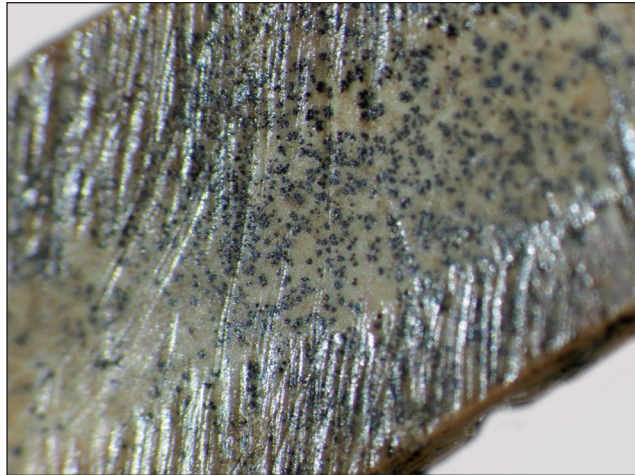
Ces stries sont parallèles entre elles et plus marquées sur le bord de la face interne. Cette abrasion a dû être réalisée par un outil fixe à forte granulométrie sur lequel les pièces (individuellement ou groupées ?) ont été travaillées. À noter la présence sur quelques pièces de rares stries profondes orientées parallèlement à la largeur de la pièce. Ces stries sont recoupées par les stries profondes axées obliquement.

La seconde phase consiste en une abrasion plus fine caractérisée par des stries plus nombreuses, parallèles entre elles et axées obliquement par rapport à la largeur de la pièce. Les stries présentent une morphologie plus fine : elles sont moins larges et moins profondes que les stries précédentes. Elles se répartissent sur toute la face interne (**fig. 103**).

Ces deux phases ont pour but d'aplanir la surface interne naturellement concave. Néanmoins on note que, sur certaines pièces qui présentent une concavité plus marquée, cette étape laisse cette dépression naturelle intacte de toute abrasion (**fig. 104**). On peut suggérer que la planéité recherchée dans la pièce semble se borner aux bords externes de la face interne. Une dépression sur la face interne de la pièce ne semble pas un critère d'exclusion de la pièce. Ce constat indiquerait que la face interne ne doit pas être visible lors de l'utilisation de la pièce et que seuls les bords le sont.



*fig. 102 - Vue des stries sur la surface de l'applique 6364-026, x2.5*



*fig. 103 - Vue des stries sur la surface de l'applique  
6504-009, x5*



*fig. 104 - Vue de la concavité non striée de  
l'applique 6364-078, x1*

### - La face externe

Cette face convexe présente deux types de surface : une surface possédant de l'émail et celle dépourvue d'émail. L'émail ne recouvrant qu'une partie de la dent, l'absence d'émail peut être due soit à l'utilisation d'un fragment issu de la face postérieure, soit au détachement de l'émail lors de l'enfouissement de la pièce. L'état très abîmé des pièces retrouvées ne permet pas d'affirmer que toutes les pièces étaient couvertes d'émail.

Lorsque l'émail est présent, il peut par endroit présenter une coloration noire très probablement liée à une chauffe de sa surface lors de l'incendie auquel les pièces ont été exposées (**fig. 105**). Dans le cas de l'absence de chauffe, l'émail conserve un aspect naturel : légèrement piqueté et brillant (**fig. 106**).



*fig. 106 - Vue de la surface émaillée de l'applique 6490-035, 2:1*

*fig. 105 - Vue de la surface émaillée brûlée de l'applique 6364-109, x2.5*

### - Les bords

Les bords longs sont également parcourus de stries, également obliques dans la majorité des cas, et parfois parallèles à l'épaisseur. Ces stries sont peu profondes et parallèles entre elles.

Les bords courts sont striés selon un axe parallèle à l'épaisseur. Les stries sont là encore peu profondes et parallèles entre elles (**fig. 107**).



*fig. 107 - Vue des stries sur le bord de l'applique 6364-080, x5*

### - Morphologie générale

La très grande majorité des pièces présente un aspect homogène composé d'une applique rectangulaire perforée sur les petites extrémités par une unique perforation et présentant des faces planes. Néanmoins deux exemplaires possèdent une largeur plus importante et par conséquent une concavité et une convexité des faces plus marquées. Ces deux appliques se différencient également par la présence de deux perforations à chaque extrémité (**fig. 108, fig. 109**).



*fig. 108 - Vue de la double perforation de l'applique 6421-054, X1*



*fig. 109 - Vue de la double perforation de l'applique 6344-150, 2:1*

Quelques rares pièces s'éloignent également de cette morphologie rectangulaire. On note sur plusieurs individus une morphologie facettée comme pour quatre appliques (6364-068, 6475-001, 6490-030, 6535-008) dont l'extrémité se termine en biseau (**fig. 110**). Quelques pièces ont des surfaces facettées.



*fig. 110 - Vue de l'extrémité en biseau de l'applique 6535-008, x2.5*

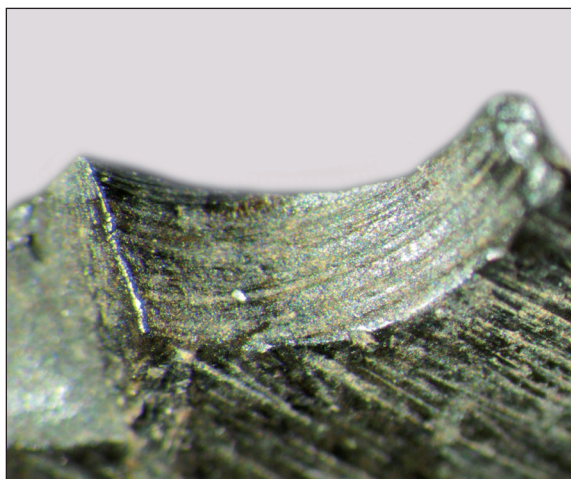
### Étape 3 : La perforation

Cette étape est engagée dès que la pièce possède sa morphologie définitive. En effet deux pièces (6490-032 & 6421-066) présentent une morphologie aboutie identique à l'ensemble des autres pièces, mais aucune perforation n'y a été réalisée (**fig. 111**).



*fig. 111 - Vue de l'applique 6421-066, x1*

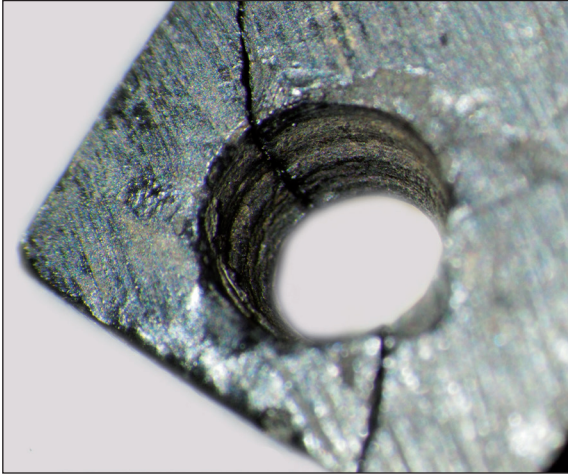
Les perforations présentent toutes de nombreuses stries concentriques caractéristiques d'un mouvement continu rotatif. La technique de la perforation à l'archet peut également convenir dans ce cas de figure (**fig. 112, fig. 113, fig. 114**). Bien que majoritairement droite, certaines perforations présentent une morphologie biconique indiquant une perforation depuis chaque face (**fig. 115**).



*fig. 112 - Vue des stries dans la perforation de l'applique 6364-026, x10*



*fig. 113 - Vue des stries dans la perforation de l'applique 6364-128, x5*



*fig. 114 - Vue des stries dans la perforation de l'applique 6364-097, x5*



*fig. 115 - Vue de la perforation biconique de l'applique 6421-056, x5*

On note sur certains objets une perforation fracturée. L'applique n'est cependant pas abandonnée puisqu'une nouvelle perforation est produite à proximité (**fig. 116, fig. 117**).

Quelques rares pièces présentent également deux perforations sur un même côté (**fig. 118**).



*fig. 116 - Vue de la perforation abandonnée sur l'applique 6421-027, x2.5*



*fig. 117 - Vue de la perforation abandonnée sur l'applique 6364-027, x2.5*



*fig. 118 - Vue de la double perforation de l'applique 6421-007, x2.5*

#### Étape 4 : La finition

Cette étape ne semble pas être représentée au sein de notre corpus. Si l'on considère que ce type de parure est destiné à être maintenu face interne cachée, seule la face émaillée restant visible, les stries encore très présentes sur l'envers de la pièce n'ont pas à être éliminées. L'étape de finition, notamment le polissage de la pièce, serait donc inutile et dès lors absente dans cette chaîne opératoire.

Néanmoins une unique applique en dent de suidé 102006-M0320, découverte en 1969 lors du premier programme de fouille de J. Deshayes, montre une face externe émaillée et une face interne polie et dépourvue de stries (**fig. 119**). Cette pièce, bien que de taille plus importante que le lot d'appliques de la maison 1, pourrait indiquer que le lot de la maison 1 n'était pas encore achevé au moment de la destruction de la maison, l'étape de finition (abrasion des stries et polissage) étant manquante.



*fig. 119 - Vue de la surface polie de l'applique 102006-M0320, 1:1*

## 5. Les pendentifs

### 5.1. Les pendentifs de forme naturelle

Cette catégorie de pendentif est produite exclusivement à partir de coquilles. Le maintien de la forme originelle de la pièce implique une quantité limitée de traces, principalement visibles au niveau de la perforation et des parties saillantes.

#### Étape 1 : La récolte de la matière première

Cette étape consiste probablement à sélectionner des coquillages. Les espèces utilisées ont fait l'objet d'une récolte volontaire ou correspondent à un choix opportuniste lié aux résultats des pêches. En effet, certaines coquilles ont pu être récoltées involontairement lors de la pêche d'autres espèces dans un but culinaire.

Certaines espèces étant comestibles, il est probable que des coquillages aient été récoltés pour la consommation, l'utilisation de la coquille comme matière première pour la parure n'étant qu'une utilisation secondaire.

#### Étape 2 : Le façonnage

Cette étape se compose essentiellement d'une abrasion des parties saillantes de la coquille (**fig. 120**). Celles-ci se composent des dents de la charnière, des excroissances crénelées du bord interne et des sculptures radiales de la face externe. Ces différentes parties présentent plus ou moins de traces d'abrasion ayant pour but « d'aplanir » ces zones en vue de la confection d'un pendentif. On note une hétérogénéité dans l'aspect de surface de ces zones : certaines présentent des stries tandis que d'autres auront un aspect poli.

Cette étape est particulièrement nécessaire pour les coquillages présentant de fortes côtes radiales comme le *Cerastoderma Edule*.

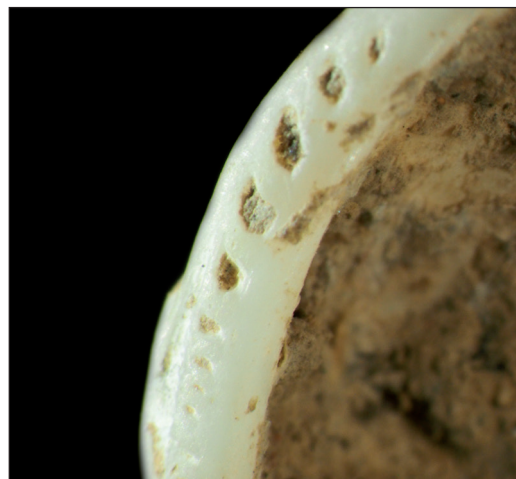


fig. 120 - Vue de l'abrasion des parties saillantes sur le pendentif 5/317.104/06-004, x5

### Étape 3 : La perforation

La perforation comporte également beaucoup de traces de fabrication. En effet on note sur pratiquement toutes les pièces deux types de marques : des stries et des enlèvements.

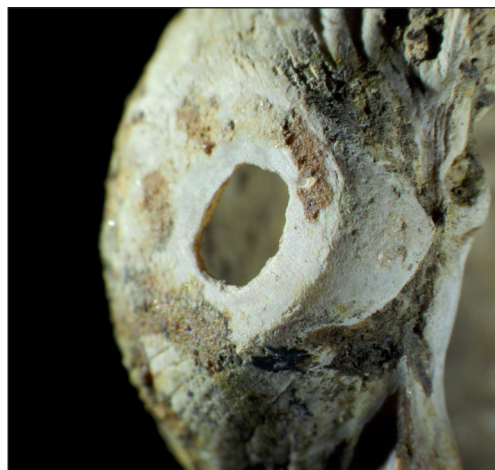
Les pièces présentant des stries se caractérisent par une surface plane située autour de la perforation recouverte de stries parallèles. Ces stigmates sont dus à un mouvement de va-et-vient de la coquille sur une pierre abrasive plate et dormante (*fig. 121, fig. 122, fig. 123*).



*fig. 121 - Vue des stries d'abrasion sur la perforation du pendentif 5/311.101/01-006, x5*



*fig. 122 - Vue des stries d'abrasion sur la perforation du pendentif 5/303.100/43-004, x5*



*fig. 123 - Vue des stries d'abrasion sur la perforation du pendentif 5/311.106/30-005, x2.5*

Les pièces présentant des enlèvements sont quant à elles marquées par une zone concave irrégulière entourant la perforation, de morphologie plus large avec des bords irréguliers (*fig. 124 à fig. 127*).

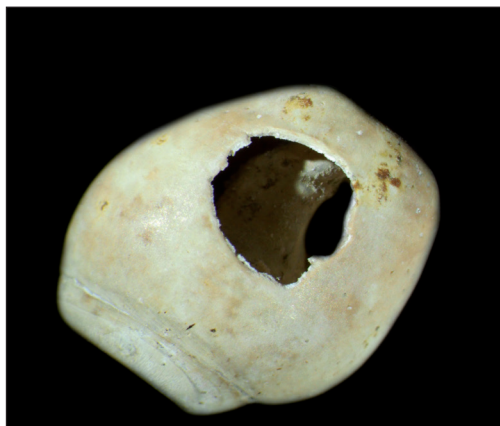
Ces deux cas de figures sont répertoriés sur de très nombreux sites depuis le Levant<sup>72</sup> jusqu'en Europe occidentale<sup>73</sup>.



*fig. 124 - Vue des enlèvements autour de la perforation du pendentif 5/305.100/41-008, x2.5*



*fig. 125 - Vue des enlèvements autour de la perforation du pendentif 5/302.101/01-004, x2.5*



*fig. 126 - Vue des enlèvements autour de la perforation du pendentif 5/314.103/07-005, x2.5*



*fig. 127 - Vue des enlèvements autour de la perforation du pendentif 5/312.105/07-011, x5*

#### **Étape 4 : La finition**

Certaines pièces de notre corpus présentent un poli de surface principalement sur les zones saillantes.

<sup>72</sup> Bar-Yosef Mayer 1997, p. 98

<sup>73</sup> Bonnardin 2004, p. 77-83 ; Rigaud 2011.

## 5.2. Les pendentifs pyramidaux

Ces pendentifs sont exclusivement produits en pierre. Cette catégorie d'objet connaît quelques équivalents sur d'autres sites, mais aucune expérimentation n'a été menée sur sa fabrication.

Ces parures présentent peu de traces. Nous nous baserons sur les chaînes opératoires des objets de même matériau afin d'en déduire un (ou des) éventuels processus de fabrication.

### Étape 1 : La préforme

La préforme de ces pendentifs a dû être obtenue par fracturation d'un bloc de pierre, soit par percussion (directe ou indirecte), soit par sciage comme dans le cas des perles discoïdales.

### Étape 2 : Le façonnage

Cette étape a dû consister en l'abrasion de la préforme afin d'obtenir une pièce à la morphologie souhaitée. Plusieurs outils abrasifs ont dû être utilisés, certains dormants de type bloc de pierre et d'autres portables de type galet. Chaque pièce a dû être abrasée individuellement.

### Étape 3 : La perforation

La perforation se présente sous la forme de deux cavités axées obliquement. Ces deux perforations sont coniques avec de nombreuses stries concentriques. On note un bourrelet central à la jonction des deux perforations (**fig. 128**). Les stries continues concentriques indiquent l'utilisation d'un outil rotatif de type foret à archet (**fig. 129**).



*fig. 128 - Vue de la double perforation dans le pendentif 6147-009, x2.5*



*fig. 129 - Vue des stries dans la perforation du pendentif 6108-001, x5*

#### Étape 4 : La finition

La surface de ces pièces présente un aspect poli sans stries visibles. Ces pièces ont donc dû faire l'objet d'une abrasion fine afin de faire disparaître les traces de fabrication et de réaliser un polissage de la surface (**fig. 130**). Un outil abrasif de type galet fin a dû être utilisé.



*fig. 130 - Vue de la surface polie du pendentif 6108-001, x5*

### 5.3. Les pendentifs issus d'anneaux en spondyle

Six pendentifs sont une réutilisation de fragment d'anneau en spondyle. Leur aspect de surface reflète aussi bien l'utilisation primaire en tant qu'anneau, avec une surface polie sur laquelle on note de nombreuses stries hétérogènes, que l'enfouissement de la pièce avec une surface accidentée présentant des enlèvements de matière.

#### Étape 1 : La récupération d'un anneau

Cette étape correspond en réalité à la fracturation volontaire ou non d'un anneau en spondyle. Les données de ces objets ne permettent pas de connaître les critères de sélection pour un réemploi (taille, forme, aspect visuel, valeur symbolique ou affective ?).

#### Étape 2 : Le façonnage

Bien que ne possédant pas de perforation, le fragment d'anneau 5/299.107/01-002 possède, sur les deux extrémités cassées, un poli très marqué (**fig. 131**). Étant donné le degré important de polissage, il s'agit d'un geste intentionnel en vue peut être de réutiliser ce fragment comme parure.

D'autres objets (par ex. 5/312.106/30-009) présentent, quant à eux, des bords cassés non régularisés et une surface non polie (**fig. 132**). L'état apparemment inachevé de la pièce pourrait s'expliquer soit par un choix délibéré d'une intervention minimaliste sur cet objet, soit par l'incapacité de l'individu à terminer son pendentif en raison de l'abondance du site.



*fig. 131 - Vue du pendentif  
5/299.107/01-002, x2.5*



*fig. 132 - Vue du pendentif  
5/312.106/30-009, x1*

### **Étape 3 : La perforation**

Les perforations de ces objets sont elles aussi très hétérogènes. Certaines sont très grossières avec un bord irrégulier et un trou plus ovoïde que circulaire (5/312.106/30-009), tandis que d'autres possèdent un bord régulier et des stries concentriques (-M0793).

### **Étape 4 : La finition**

Cette étape pourrait correspondre en partie à l'étape de façonnage notamment avec le polissage de certaines pièces. Néanmoins il semble que cette étape ne soit pas systématique pour ce type de réemploi.

## 5.4. Les pendentifs de forme géométrique

### Étape 1 : La préforme

Cette étape doit correspondre à l'obtention d'un fragment de matière à des dimensions proches de la forme finale. La percussion et le sciage ont pu être également utilisés.

### Étape 2 : Le façonnage

Chaque pièce étant unique, il est fort probable que chacune a été abrasée individuellement à l'aide du même type d'outil abrasif que pour les autres chaînes opératoires.

### Étape 3 : La perforation

Les perforations sont biconiques et parfois désaxées (**fig. 133, fig. 134**). Elles présentent des stries concentriques plus ou moins marquées. L'utilisation d'un foret à archet est probable.



*fig. 133 - Vue de la perforation biconique du pendentif 5/315.104/06-003, x5*



*fig. 134 - Vue de la perforation désaxée du pendentif 6552-003, x1*

#### Étape 4 : La finition

Sur les cinq objets de cette catégorie, on note des surfaces très bien polies (**fig. 135, fig. 136**). Néanmoins un certain nombre de stries couvrantes et multidirectionnelles sont présentes (**fig. 137, fig. 138**). Chaque pièce étant unique, ces objets ont dû être abrasés individuellement, toujours à l'aide des mêmes types d'outils.



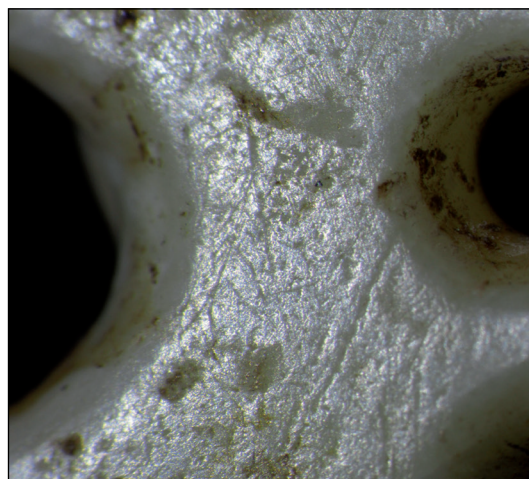
*fig. 135 - Vue de la surface polie du pendentif 5/317.102/32-008, x2.5*



*fig. 136 - Vue de la surface polie du pendentif 5/315.104/06-003, x1*



*fig. 137 - Vue de la surface striée du pendentif 5/317.102/32-009, x2.5*



*fig. 138 - Vue de la surface striée du pendentif 5/310.102/31-014, x5*

Ces pièces présentent toutes des fractures sur une ou plusieurs zones. Ces fractures sont elles aussi polies (**fig. 139**). Ces stigmates montrent une continuité d'utilisation malgré la casse d'une partie de l'objet et indiquent de fait a valeur de cet objet pour son porteur.



*fig. 139 - Vue du polissage de la fracture du pendentif 5/310.102/31-014, x5*

## 5.5. Les pendentifs en astragale

### Étape 1 : La récolte de la matière première

Ces pendentifs sont formés à partir d'un os de petit ruminant : l'astragale (ou talus). Cet os est assez facilement obtenu par simple découpe puis nettoyage des chairs par ébouillantage.

### Étape 2 : Le façonnage

Les pièces ne sont pas façonnées car elles conservent leur état naturel. Leurs surfaces sont brutes sans traces apparentes.

### Étape 3 : La perforation

La perforation est aménagée au centre de l'os ou sur une extrémité. Les traces visibles dans la perforation montrent des stries concentriques variables. En raison de la nature du matériau, les bords de la perforation sont assez accidentés (*fig. 140*).

### Étape 4 : La finition

Aucune finition particulière n'a été réalisée sur ces pendentifs. Leur surface reste brute sans polissage visible.



*fig. 140 - Vue du pendentif 5/303.107/01-007, x1*



# Chapitre 5 - La parure de Dikili Tash dans ses contextes locaux

L'objectif de ce chapitre est de présenter les contextes dans lesquels des pièces de parure ont été mises au jour. Les différents secteurs de fouille seront étudiés en commençant par les secteurs fouillés les plus anciennement.

Concernant le premier programme de fouille, les secteurs A1, A2 et B1 n'ont fourni aucun élément de parure. Cette absence est plus surprenante pour le secteur B1 où les fouilles ont dégagé plus de sédiments que les autres secteurs qui étaient spatialement limités.

## 1. Les objets du secteur B2

Les objets de parure découverts dans le secteur B2 ont pu être localisés avec plus ou moins de précisions en raison des lacunes dans la documentation originale. Ainsi trois cas de figures se présentent : les objets qui sont localisés dans un carré et une US, ceux qui ne sont localisés que dans un carré et enfin les objets qui ne possèdent pas de localisation précise en dehors de leur provenance du secteur B2. Nous nous appuyerons sur la publication du premier programme de fouilles pour l'étude ces pièces mais aussi pour la description des niveaux fouillés.

Ce secteur a fourni des anneaux, des pendentifs, des appliques et des perles.

Pour rappel, lors de la publication de ce secteur<sup>1</sup>, deux périodes ont été identifiées : le Néolithique Moyen (NM) et le Néolithique Récent (NR). Cette division chronologique a, par la suite, été revue et le Néolithique Moyen étant considéré comme du Néolithique Récent I et le Néolithique Récent comme du Néolithique Récent II (*Cf. page 23*).

### 1.1. Les objets du Néolithique Récent I

Les niveaux attribués au NR I ont fait l'objet de plusieurs datations radiocarbone, notamment dans les carrés W30, X29 et X30, et ont fourni des datations comprises entre 5400 et 5000 av. n-è., soit le début du Néolithique Récent I<sup>2</sup>.

Ces niveaux n'ont fourni qu'un seul objet manufacturé pouvant être rattaché avec certitude à un niveau de cette période. Il s'agit d'un fragment d'anneau en spondyle 101010-M1254 (*fig. 141*) issu du niveau 10 du carré W 29 correspondant à «*un niveau de terre brune contenant des mottes de torchis brûlé, des cendres et des fragments de charbon de bois ; le sommet de ce niveau est jaune*»<sup>3</sup>.

---

<sup>1</sup> Treuil 1992.

<sup>2</sup> Tsirtsoni 2020, p. 578-579.

<sup>3</sup> Voir Treuil 1992, p. 23 (« niveau 9 »).



fig. 141 - L'anneau 101010-M1254, 1:1

On compte également, dans le carré X 30, une valve droite de spondyle 104012-M5092 entière issue du niveau 12 défini comme «un niveau d'habitation très cendreuse, creusé de trous de poteau et présentant un net pendage vers le sud ; fortes concentrations d'os d'animaux, de tessons et de cailloux selon un axe nord-est/ sud-ouest»<sup>4</sup>.

De plus, dans la description de la couche 9 du carré W 30 (US 102016), il est noté la présence «au sommet [d'] un petit amas de coquille»<sup>5</sup>. Il n'est cependant pas précisé si ces coquilles sont ou non travaillées. S'il s'agit de coquilles travaillées, il est envisageable que certaines puissent faire partie des objets non localisés.

L. Karali-Yannacopoulos indique dans son étude l'existence de quatre perles en dentale dont deux seraient datées du Néolithique Récent I (« N.M. ») et deux du Néolithique Récent II (« N.R. »)<sup>6</sup>. Seuls trois exemplaires sont connus dans le cadre de notre présente étude, deux ont pu être attribuées à des niveaux du Néolithique Récent II. La dernière pièce 102-M0780, issue du carré W30 sans mention d'un niveau d'appartenance, pourrait donc correspondre à l'un de ces deux exemplaires de perles en dentale datant du Néolithique Récent I.

L. Karali-Yannacopoulos indique également la découverte d'une perle en cuivre (103015-M1760) issue du niveau 14 du carré X29 correspondant à un «niveau de terre dure contenant des pierres, de nombreux os d'animaux et beaucoup de tessons»<sup>7</sup>. Cette petite perle, qui mesure 0,40 cm de diamètre, 0,10 cm d'épaisseur et dont le diamètre interne est de 0,10 cm<sup>8</sup>, n'a pas pu être étudiée par nos soins, mais elle semble correspondre à un type similaire à la perle en cuivre 604023-016 découverte dans la maison 2 du secteur 6<sup>9</sup>; cependant cette dernière est datée du Néolithique Récent II.

4 Voir Treuil 1992, p. 22 (« niveau 12 »).

5 Voir Treuil 1992, p. 22 (« niveau 9 »).

6 Karali-Yannacopoulos 1992, p. 163 et pl. 207, f, sur laquelle sont illustrés trois fragments. Aucune numérotation n'a été attribuée pour ces objets.

7 Voir Treuil 1992, p. 23 (« niveau 14 »).

8 Karali-Yannacopoulos 1992, p. 162 et pl. 146a.

9 Voir fig. 85, page 99.

## 1.2. Les objets du Néolithique Récent II

Parmi les objets pouvant être attribués au Néolithique Récent II, on compte quelques regroupements au sein de différents niveaux. Ces regroupements concernent presque toujours une association d'anneaux en spondyle et de coquilles simplement percées, mais aussi d'appliques en dent de suidé. La quasi-absence de perles dans ces niveaux s'explique, d'une part, par le peu de perles mises au jour dans ce secteur et, d'autre part, par l'impossibilité de rattacher ces rares découvertes à un niveau.

### Le carré W 29

#### *Le niveau 101006*

Défini comme «un niveau de terre jaune dure dans la moitié nord; autre zone, triangulaire, de terre jaune dure près de la berme ouest; trous de poteau dans les deux zones»<sup>10</sup>, le niveau 101006 présente un regroupement de 14 pendentifs fabriqués à partir de coquilles simplement percées et d'un fragment d'anneau en spondyle 101006-M5029 (**fig. 142**).



fig. 142 - Le fragment d'anneau 10106-M5029, 1:1

#### *Le niveau 101007*

Le niveau 101007, défini comme «un niveau d'habitation, mal repéré à la fouille, marqué par la présence, dans la partie sud, d'une portion de la sole d'un four»<sup>11</sup>, a fourni deux appliques en dent de suidé 101007-M0463 (**fig. 143**) et 101007-M0475 (**fig. 144**)<sup>12</sup>. Il est à noter que cette dernière applique présente la particularité d'avoir deux perforations sur un même côté, contrairement aux autres appliques de ce secteur qui ne présente qu'une seule perforation par côté.



fig. 144 - Le fragment d'applique 101007-M0475, 1:1



fig. 143 - L'applique 101007-M0463, 1:1

<sup>10</sup> Voir Treuil 1992, p. 26 (« niveau 6 »).

<sup>11</sup> Voir Treuil 1992, p. 26 (« niveau 7 »).

<sup>12</sup> Ces appliques ont été interprétées comme des plaquettes en os par Karali-Yannacopoulos 1992, p. 160.

### ***Le niveau 101008***

Le niveau 101008, défini comme « *un niveau d'habitation – et d'incendie ? – rougeâtre et dur, contenant des cendres et des fragments de charbon de bois ; dans la paroi Nord, apparaît un four dont la sole est à la cote 4,66 m (61,56 m)* »<sup>13</sup>, a fourni deux fragments d'anneaux en spondyle, mais aussi une perle en dentale 101008-M0752, qui pourrait correspondre à l'une des deux perles en dentale mentionnées dans l'étude de L. Karali-Yannacopoulos<sup>14</sup>.

### ***Le niveau 101009***

Le niveau 101009, défini comme « *un niveau de terre brune, contenant des mottes de torchis brûlé et des fragments de charbons de bois; zone de cendres et quatre trous de poteau dans l'angle nord-ouest; dans l'angle sud-est, foyer incomplètement fouillé* »<sup>15</sup>, a fourni dix coquilles simplement percées, un fragment d'anneau en spondyle 101009-M070 (**fig. 145**), mais aussi une autre applique en dent de suidé, 101009-M1241<sup>16</sup>. Cette dernière ne présente pas un aspect fini et pourrait être une applique en cours de fabrication. Ce niveau a aussi fourni un fragment de coquille entière non travaillée 101009-M1202.



*fig. 145 - Le fragment d'anneau 101009-M070, 1:1*

---

<sup>13</sup> Voir Treuil 1992, p. 26 (« niveau 8 »).

<sup>14</sup> Karali-Yannacopoulos *et al.* 1992, p. 163. Il s'agit des exemplaires datés du « N.R. »

<sup>15</sup> Voir Treuil 1992, p. 26 (« niveau 9 »).

<sup>16</sup> Cette applique a été interprétée comme une pendeloque en dent de suidé par L. Karali-Yannacopoulos. Karali-Yannacopoulos 1992, p. 161 et pl. 207, b (à gauche).

## Le carré W 30

### *Le niveau 102004*

Le niveau 102004, défini comme « un niveau de terre grise, caractérisé par une large zone de torchis brûlé près de l'angle sud-est et un amas de tessons dans le quart sud-ouest »<sup>17</sup>, présente un assemblage de trois fragments d'anneaux en spondyle et de trois coquilles simplement percées. On relève également dans ce niveau la découverte d'une valve de spondyle entière non travaillée 102004-M5062.

### *Le niveau 102005*

Le niveau 102005, défini comme « un niveau de terre cendreuse, marqué par deux zones de torchis brûlé, trois poches de cendres, un amas de coquilles au voisinage d'un trou, et un groupe de quatre vases »<sup>18</sup>, présente un assemblage formé d'un anneau en spondyle et de trois coquilles simplement percées. L'anneau 102005-M0285 (**fig. 146**) est un des rares exemplaires quasiment complet de ce secteur. En l'absence de données plus précises, il n'est pas possible de connaître la nature exacte de l'amas de coquilles mentionné dans la description de l'US. Les trois coquilles précédemment citées pourraient faire partie de cet amas, mais celui-ci pourrait également n'être constitué que de coquilles non travaillées d'espèce inconnue.



*fig. 146 - L'anneau 102005-M0285, 1:1*

<sup>17</sup> Voir Treuil 1992, p. 24 (« niveau 4 »).

<sup>18</sup> Voir Treuil 1992, p. 24 (« niveau 5 »).

### ***Le niveau 102006***

Le niveau 102006, défini comme « *un niveau de terre jaune* »<sup>19</sup>, présente un assemblage de trois fragments d'anneaux en spondyle et de deux appliques en dent de suidé 102006-M0320 (**fig. 147**) et 102006-M0336<sup>20</sup>.



*fig. 147 - L'applique 102006-M0320, 1:1*

### ***Le niveau 102008***

Le niveau 102008, défini comme « *une couche d'incendie comprenant un niveau rouge, un niveau noir à cendres et charbons de bois, puis un second niveau rouge épais* »<sup>21</sup>, présente un assemblage de cinq fragments d'anneaux en spondyle et d'une perle en dentale 102008-M1211. Cette perle pourrait correspondre à l'autre perle en dentale du NR II décrite par L. Karali-Yannacopoulos<sup>22</sup>. Il est à noter que la perle en dentale 102-M0780 est également issue du carré W30, mais sans attribution de niveau.

### ***Le niveau 102010***

Le niveau 102010, défini comme « *un niveau de terre argileuse noire, dure, contenant des poches de cendres et de charbons de bois* »<sup>23</sup>, a fourni un fragment d'anneau en spondyle 102010-M1230 (**fig. 148**) mais aussi une dent de suidé non travaillée 102010-M1228<sup>24</sup>.



*fig. 148 - Le fragment d'anneau  
102010-M1230, 1:1*

19 Voir Treuil 1992, p. 24 (« niveau 6 »).

20 Seul le premier objet est mentionné par Karali-Yannacopoulos 1992, p. 160 et interprété comme une plaquette en os.

21 Voir Treuil 1992, p. 23 (« niveau VII et VIII »).

22 Karali-Yannacopoulos 1992, p. 163. Il s'agit des exemplaires datés du N.R.

23 Voir Treuil 1992, p. 23 (« niveau VIII β »).

24 Selon L. Karali-Yannacopoulos 1992, p. 161, « *sa forme et son polissage [le] font ressembler à un grand fragment de bracelet en spondyle, qui aurait un diamètre d'env. 4,5 cm* ».

## **Le carré X 29**

Les niveaux du carré X 29 ne présentent aucun assemblage particulier. Seuls sept fragments d'anneaux en spondyle ont été mis au jour, répartis dans cinq niveaux. On peut cependant remarquer que les anneaux 103008-M0396 et 103010-M0465 sont des exemplaires complets<sup>25</sup>.

## **Le carré X 30**

Les niveaux du carré X 30 présentent des assemblages répétitifs, comportant des fragments d'anneaux en spondyle et des coquilles simplement percées, parmi lesquels on note quelques particularités.

### ***Le niveau 104003***

Le niveau 104003 est « *un niveau défini, dans le quart NE, par une large zone de tessons reposant sur un cailloutis* »<sup>26</sup>. Ce niveau a fourni un fragment d'anneau en spondyle et deux coquilles simplement percées, mais aussi trois valves de spondyle non travaillées.

### ***Le niveau 104004***

Le niveau 104004 a fourni une valve de spondyle non travaillée (104004-M0484), un fragment d'anneau (104004-M0497) ainsi qu'un pendentif en coquille simplement percée (104004-M5040).

### ***Le niveau 104005***

Le niveau 104005 a fourni une valve de spondyle non travaillée (104005-M5104), deux fragments d'anneau (104005-M0480, 104005-M0515) ainsi que deux pendentifs en coquille simplement percées (104005-M5015, 104005-M5016).

### ***Le niveau 104008***

Le niveau 104008, défini comme « *un niveau défini dans le quart SE par un amas de tessons et d'os d'animaux ; quelques pierres plus à l'Ouest* »<sup>27</sup>, a livré ce qui pourrait être un pendentif en pierre, 104008-M0755<sup>28</sup>, découvert conjointement avec quatre fragments d'anneaux en spondyle.

---

25 Ces anneaux sont illustrés par Karali-Yannacopoulos 1992, pl. 166 et pl. 207g.

26 Voir Treuil 1992, p. 25 (« niveau 4 »).

27 Voir Treuil 1992, p. 24 (« niveau 8 »).

28 Selon Karali-Yannacopoulos 1992, p. 161, « *l'objet M 755 (pl. 207, b) a la forme d'une plaquette légèrement recourbée et possède un trou à une extrémité et une sorte de dépression double vers l'autre* » ; voir *ibid.*, pl. 207b, à droite. Nous n'avons pas pu étudier cet objet.

### 1.3. Les objets sans attribution chrono-stratigraphique

#### Les perles

Parmi les objets sans attribution précise, on compte vingt perles de couleur blanche dont dix-huit sont de forme discoïdale et deux de forme tubulaire. En l'absence de critère déterminant, elles ont pu être produites soit en pierre calcaire, soit en coquille. Onze d'entre elles (M0436A à K) ont été découvertes jointives sur le site (**fig. 149**). Leur localisation précise n'est pas connue, mais L. Karali-Yannacopoulos indique dans la publication qu'il s'agit de perles du Néolithique Récent II<sup>29</sup>. Elles présentent une morphologie très similaire avec un diamètre moyen de 0,944 cm et un écart-type de 0,040. Les perforations font en moyenne 0,275 cm avec un écart-type de 0,014. L'épaisseur moyenne de ces pièces est de 0,591 cm avec un écart-type de 0,046. Ces perles présentent des surfaces bien polies.

On compte également une perle discoïdale en terre cuite, M1875, ainsi qu'une perle en or, M0206<sup>30</sup> (**fig. 150**). Ces deux objets n'ont pas pu être étudiés.



fig. 149 - La perle M0206, 2:1



fig. 150 - Le lot de perles M0436, 2:1

<sup>29</sup> L. Karali-Yannacopoulos 1992, p. 162.

<sup>30</sup> Il pourrait s'agir du fragment d'or mentionné par M. Séfériadès 1992, p. 113 (dernière ligne).

## Les pendentifs

En dehors des nombreuses coquilles simplement percées, six pendentifs ont été découverts. Il s'agit de trois objets en os et trois en pierre.

### Les objets en os

Le premier objet, M0715, correspond à une première phalange d'herbivore de type capriné ou cervidé simplement perforé, sans qu'aucune autre transformation n'ait été identifiée (**fig. 151**).

La deuxième pièce, M1674, a été perforée et abrasée (**fig. 152**). Cette dernière modification a masqué l'aspect originel de l'os utilisé. Cette pièce peut également correspondre à une aiguille en os.

La troisième pièce est un astragale perforé, M0764 (**fig. 153**).



*fig. 151 - Le pendentif M0715, 1:1*



*fig. 152 - Le pendentif M1674, 1:1*



*fig. 153 - Le pendentif M0764, 1:1*

### Les objets en pierre

Le pendentif M0155 (**fig. 154**) est de forme oblongue et de couleur blanche. Sa morphologie est atypique et ne rencontre pas de parallèles sur le site<sup>31</sup>.

Les deux autres pendentifs en pierre M0292 et M1242 n'ont pas pu être étudiés.



*fig. 154 - Le pendentif M0155, 1:1*

<sup>31</sup> Illustré par Karali-Yannacopoulos 1992, pl. 207c.

## Les appliques

Trois exemplaires d'appliques en dent de suidé ont été découverts dans le secteur B2 sans attribution spatiale : M0737, M0738 et M0762. L. Karali-Yannacopoulos attribue l'ensemble des appliques au Néolithique Récent II<sup>32</sup>. De plus, elle précise que ces appliques sont toutes issues des carrés W29 et W30. Elles peuvent donc être rapprochées spatialement et chronologiquement des autres exemplaires localisés dans les niveaux 101007, 101009 et 102006. On pourra noter que l'applique M0737 est un exemplaire complet. Elle mesure 8,40 Cm de long pour 1,50 cm de large.

Dix fragments de dent de suidé, dont un quasi complet (M1931), ont également été découvert lors du premier programme de fouille, sans provenance exacte (*fig. 155*).



*fig. 155 - La canine de suidé  
M1931, 1:1*

## Les anneaux

Parmi dix-sept anneaux sans attribution précise, on note seize anneaux en spondyle dont un exemplaire complet M1910 (*fig. 156*)<sup>33</sup> et un fragment d'anneau en pierre M1736 (*fig. 157*). Ce dernier n'a pas pu être étudié, mais une expertise<sup>34</sup> indique qu'il s'agit d'un marbre blanc très bien cristallisé.

<sup>32</sup> Karali-Yannacopoulos 1992, p. 160-161 et pl. 206d.

<sup>33</sup> Illustré par Karali-Yannacopoulos 1992, p. 163 et pl. 207h (au centre) ; la légende de la photographie, pl. 207h, indique que l'objet en question daterait du Bronze Ancien.

<sup>34</sup> Cette expertise a été réalisée par Y. Maniatis en 2022.



*fig. 156 - L'anneau M1910, 1:1*



*fig. 157 - Le fragment d'anneau M1736, 1:1*

#### **1.4. Le corpus de parure du secteur B2**

Les différents éléments de parure mis au jour dans les quatre carrés du secteur B2 montrent une association régulière entre les anneaux en spondyle et les coquilles simplement percées.

Les quelques objets issus de niveaux du Néolithique Récent I confirment cette association, même si l'on ne peut pas affirmer avec certitude que les coquilles découvertes dans ces niveaux soient travaillées. On note également la présence d'une valve de spondyle certainement destinée à être utilisée pour la fabrication de parure.

Le corpus de parure daté du Néolithique Récent II est plus abondant, mais comporte toujours la même association d'anneaux et de coquilles simplement percées. On note aussi la présence de plusieurs valves de spondyle, qui doivent sans doute être considérées comme de la matière première. Une différence est cependant notable durant cette période : il s'agit de la présence de plusieurs appliques en dent de suidé au sein de ces groupes d'objets et plus particulièrement dans les niveaux les plus anciens du Néolithique Récent II.

L'absence de perles, hormis deux perles en dentale, dans ces regroupements peut s'expliquer par leur faible représentation. Ce fait peut être dû à une difficulté de mettre en évidence les perles isolées dans le sédiment sans tamisage à l'eau. De plus, on note que les perles mises au jour n'ont pas pu être attribuées à un niveau, bien qu'elles datent, semble-t-il, du Néolithique Récent II<sup>35</sup>.

---

<sup>35</sup> Karali-Yannacopoulos 1992, p. 162.

## 2. Les objets du secteur I

Reprenant les fouilles menées par J. Deshayes dans son secteur B1, la fouille du secteur 1 a mis au jour deux couches de destruction par incendie nommées I/1 et I/2. Ces niveaux sont tous les deux datés du Néolithique Récent I, le niveau I/1 pouvant se situer entre 5400 et 5200/5100 av. n-è.<sup>36</sup>.

En raison probablement de sa superficie réduite, seules deux pièces de parure et un fragment de valve de spondyle ont été découverts dans ce secteur. Ces découvertes ont été faites lors du deuxième programme de fouille et correspondent au niveau I/2, le niveau le plus ancien.

Ces pièces de parure sont deux pendentifs fabriqués avec des coquilles simplement percées, l'une en *Glycymeris Pilosa* (1/289.100/02-083) (**fig. 158**) et l'autre en *Cerastoderma Edule* (1/289.102/04-006) (**fig. 159**). La perforation très grossière du pendentif en *Cerastoderma Edule* peut faire penser qu'il s'agit en réalité d'un rejet de cuisine.

Une valve entière de *Spondylus Gaederopus* 1/289.102/04-003 a également été découverte dans ce niveau I/2 et correspond à une valve droite (**fig. 160**). Celle-ci est peu travaillée puisque seules les excroissances présentes sur la face externe ont été enlevées, aucune autre intervention humaine n'a pu être notée. On compte aussi une vingtaine de coquilles découvertes dans les deux niveaux de ce secteur, principalement des *Cerastoderma Edule*<sup>37</sup>. Malheureusement, il n'est pas possible de préciser s'il s'agit de coquilles destinées à la consommation et/ou à la fabrication de parure.



fig. 158 - Le pendentif 1/289.100/02-083,  
1:1



fig. 159 - Le pendentif 1/289.102/04-006,  
1:1

<sup>36</sup> Tsirtsoni 2020.

<sup>37</sup> Etude inédite de A. Prieur.



*fig. 160 - La valve de spondyle 1/289.102/04-003, 1:1*

### 3. Les objets du secteur 2

Ce secteur situé au bas du versant Sud du tell n'a livré que quelques pièces de parure, comprenant des anneaux, des perles et des pendentifs.

Seul le pendentif en coquille de *Glycymeris Sp.* 2029-001 (**fig. 161**) est issu d'un niveau d'habitation en place daté du Néolithique Récent II <sup>38</sup>.



fig. 161 - Le pendentif 2029-001, 1:1

Les autres objets découverts dans ce secteur proviennent de colluvions de bas de pente<sup>39</sup> ; il s'agit de sept fragments d'anneaux en spondyle, cinq pendentifs en coquilles simplement perforées et quatre perles. Ils peuvent être datés entre le Néolithique Récent I et le Bronze Ancien.

Les pendentifs sont en coquille de *Glycymeris Sp.* et de *Cerastoderma Glaucum* (**fig. 162**). Les anneaux sont tous fragmentaires et présentent des stries d'utilisation sur leur surface (**fig. 163**).



fig. 162 - Le pendentif 2060-004, 1:1



fig. 163 - Le fragment d'anneau 2/288.072/15-003, 1:1

<sup>38</sup> Tsirtsoni 2020 p. 66-72 ; le pendentif est illustré p. 72, fig. 3-32.

<sup>39</sup> Tsirtsoni 2020 p. 70-93.

Deux des perles sont en pierre (**fig. 164**), une perle en terre cuite de morphologie grossière (**fig. 165**) et la dernière en cuivre (**fig. 166**).



*fig. 164 - La perle  
2/288.070/12-002, 2:1*



*fig. 165 - La perle  
2/288.071/06-013, 1:1*



*fig. 166 - La perle 2025-003, 2:1*

Les très rares objets de parure du secteur 2 ne présentent pas de caractéristique particulière puisqu'aus-  
si bien la morphologie que les matériaux employés sont similaires à ceux des autres pièces de parure  
du site. Ces pièces issues de l'érosion du tell sont en effet le reflet des occupations présentes sur le site.

## 4. Les objets du secteur V

Le secteur 5, fouillé entre 1987 et 1995 lors du deuxième programme de recherches, se situe à mi-pente du tell sur son versant Sud. Deux sous-secteurs, V/Ouest et V/Est, ont été distingués, à l'intérieur desquels plusieurs niveaux d'occupation superposés ont été mis en évidence<sup>40</sup> (**fig. 167**). Les principaux lots de parure proviennent des niveaux VE/1 (début du NR II), VE/3 (NR I), VO/1 (NR I) et VO/3 (NR I). Ils comprennent, principalement, des ensembles de perles, des pendentifs et quelques anneaux.

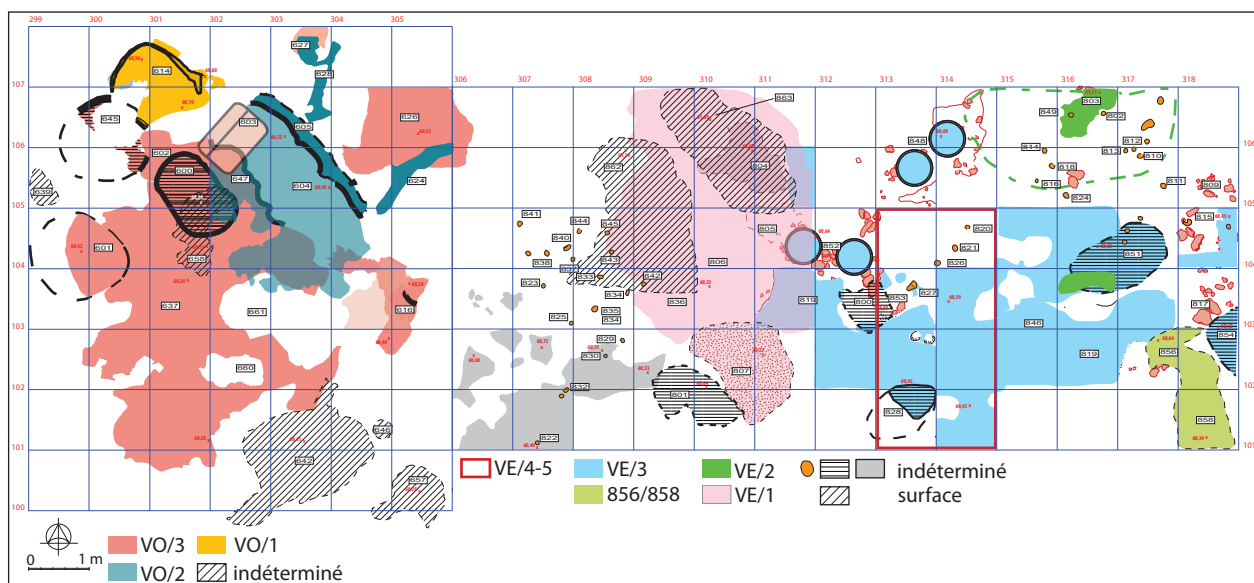


fig. 167 - Plan simplifié des différents niveaux dans le secteur V, 1/125

<sup>40</sup> Treuil *et al.* 2020, p. 107-224.

#### 4.1. Les objets de parure du niveau VE/1

Le niveau VE/1 se situe à l'ouest du secteur V/Est ; il date du début du NR II<sup>41</sup>. Les objets de parure ont été découverts, dans leur très grande majorité, dans le locus 806. Ce dernier correspond à «*une surface plane pouvant être interprétée comme le fond d'une « cuvette » ayant servi de dépotoir*»<sup>42</sup>.

Ce locus a fourni 76 pièces de parure. Celles-ci se répartissent en plusieurs ensembles : un premier lot de 64 perles en pierre et coquille (lot 5/310.104/10-031, 5/310.104/20-003 & 5/310.104/20-031), un lot de trois perles en pierre (lot 5/310.104/20-017), un lot de quatre pendentifs en coquille (lot 5/310.104/20-016), quatre anneaux en spondyle (lots 5/310.103/15 & 5/310.104/10) et une applique en dent de suidé (5/310.103/15-013).

##### Les lots de perles

Cet ensemble comprend trois lots de perles découverts dans le même niveau et à proximité immédiate les uns des autres. On compte au total 67 perles discoïdales, complètes et de couleur blanche à beige. Ces perles sont en pierre (54 perles), en coquille (10 perles) ou dans un matériau indéterminé (pierre ou coquille) (3 perles).

Les 45 perles du lot 5/310.104/10-031 ont été trouvées en connexion les unes avec les autres, comme enfilées sur un même lien (**fig. 169**). La suite du lot, découvert l'année suivante, se compose de 19 perles (lot 5/310.104/20-003 & 5/310.104/20-031). Enfin le lot 5/310.104/20-017, composés de trois perles en pierre, a été découvert à proximité immédiate des deux premiers lots (**fig. 168**).

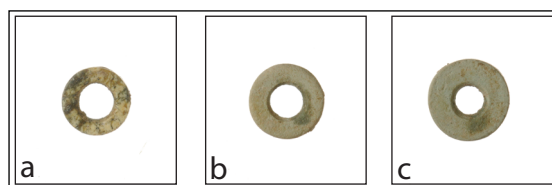


fig. 168 - Les perles du lot 5/310.104/20-017, 2:1

41 Datation C14, 4604-4375 cal. BC (Lyon-8855/SacA-27823).

42 Treuil *et al.* 2020, p. 215.



*fig. 169 - Les perles 310.104/10/31 lors de leur prélèvement en bloc, 1:1*

Au sein de ces lots de perles deux groupes sont visibles : un premier groupe (A) composé des lots 5/310.104/10-031, 5/310.104/20-003 & 5/310.104/20-031 et un second groupe (B) avec le lot 5/310.104/20-017 (**fig. 170, fig. 171**).

Les perles du groupe A possèdent un diamètre moyen de 0,797 cm avec un écart-type faible de 0,073, une épaisseur moyenne de 0,496 cm avec un écart-type de 0,105, et un diamètre de la perforation moyen de 0,268 cm pour un écart-type de 0,028.

Le groupe B se compose de trois perles en pierre discoïdales de dimensions très homogènes. Elles possèdent un diamètre moyen de 0,457 cm avec un écart-type de 0,031. Leur épaisseur moyenne est de 0,167 cm pour un écart-type de 0,045. Leur perforation mesure en moyenne 0,186 cm pour un écart-type de 0,017.

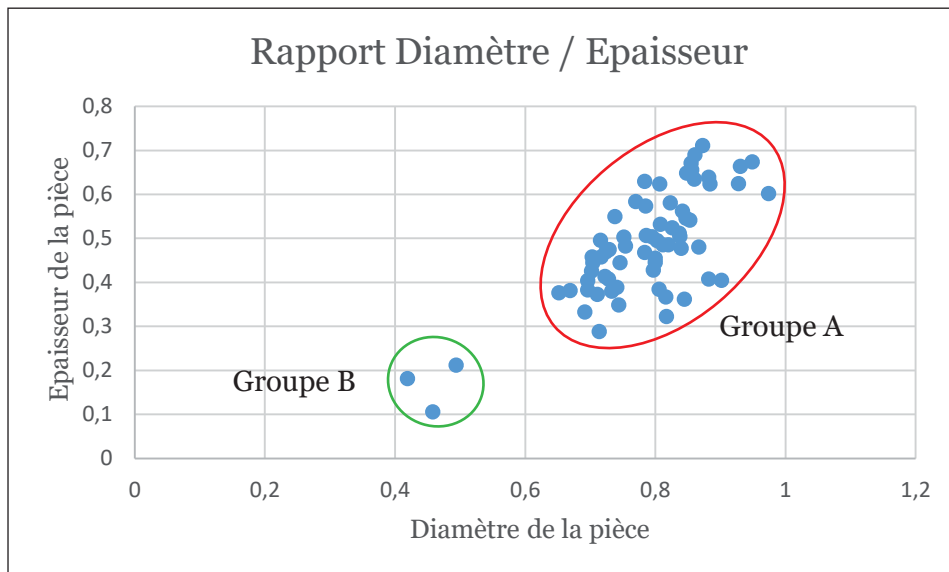


fig. 170 - graphique du rapport entre le diamètre et l'épaisseur des perles du locus 806

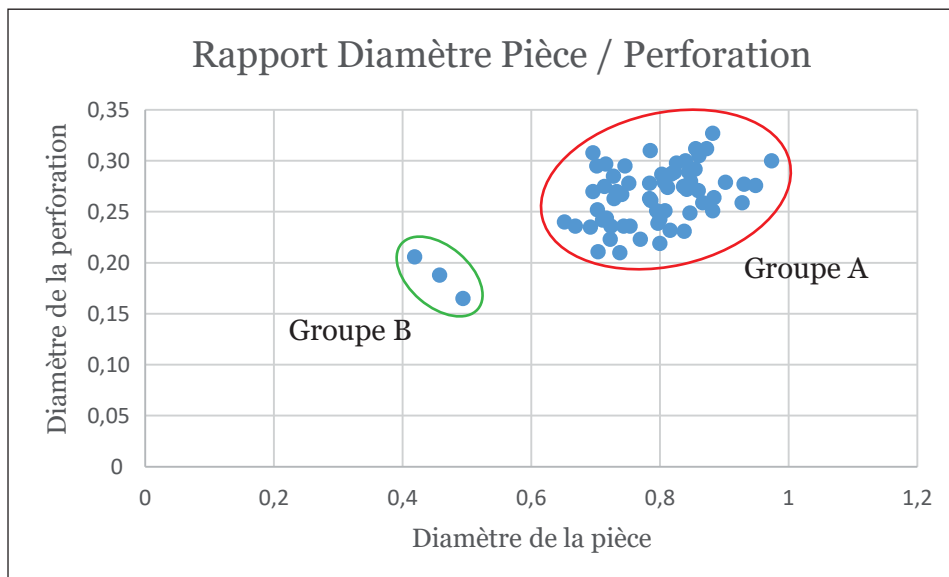


fig. 171 - graphique du rapport diamètre perle/ diamètre perforation des perles du locus 806

## Le lot de pendentifs

Ce lot 5/310.104/20-016 se compose de quatre pendentifs en coquilles simplement perforées (**fig. 172**). Il s'agit de deux *Glycymeris Violascens*, d'une *Cyclopea Neritae* et d'une *Columbella Rustica*. Les *Glycymeris* ont été perforés horizontalement tandis que les deux autres coquilles l'ont été par percussion.

On peut noter la présence à proximité de ce lot d'un autre pendentif en *Glycymeris Violascens* 5/310.102/02-007.



fig. 172 - Les pendentifs du lot  
5/310.104/20-016

## Les lots d'anneaux et une applique

Deux lots d'anneaux composés chacun de deux fragments d'anneaux ont été découverts dans le locus 806 ou à proximité immédiate : 5/310.103/15-011 (**fig. 173**) & 5/310.103/15-012 (**fig. 174**) et 5/310.104/10-022 & 5/310.104/10-023. Ces anneaux sont tous fragmentaires, mais présentent encore une grande partie de leur diamètre.



*fig. 173 - Le fragment d'anneau  
5/310.103/15-011, 1:1*



*fig. 174 - Le fragment d'anneau  
5/310.103/15-012, 1:1*

Découverte avec deux fragments d'anneau, l'applique 5/310.103/15-013 est la seule mise au jour dans le secteur 5. Elle a été découverte très fragmentée, mais il a été possible d'effectuer des recollages qui montrent une dimension plus importante que les appliques de la maison 1 du secteur 6. La morphologie de cette applique se rapproche de celle des appliques découvertes dans le secteur B2<sup>43</sup> (**fig. 175**).



*fig. 175 - Le fragment d'applique  
5/310.103/15-013, 1:1*

<sup>43</sup> Cet objet présente une forme irrégulière. Il a été classé comme applique car les dents de suidé du site n'ont servi qu'à la fabrication d'applique. Néanmoins il est possible que cet objet puisse être un pendentif non terminé.

## 4.2. Les objets de parure du niveau VE/3, « la cour aux silos »

La «cour aux silos» correspondrait à « *une sorte de cour qui s'étendrait sur au moins 30 m<sup>2</sup>, peut-être protégée en partie par un auvent* »<sup>44</sup>; elle est datée du Néolithique Récent I (niveau VE/3)<sup>45</sup>. Cette zone a fourni peu d'éléments de parure, mais on compte néanmoins un lot de coquilles de *dentalium*, trois perles en coquille et en pierre, trois pendentifs en coquille, deux fragments d'anneaux en spondyle et un fragment d'anneau en jaspe.

### Le lot de coquilles de dentale

Ce lot se compose de 9 fragments de coquille de *dentalium* 5/312.105/08-001. Ces pièces sont issues de la couche de destruction de ce secteur.

Certaines pièces, du fait de leur diamètre trop faible, ont été classées comme élément de débitage; les autres pièces de plus grand diamètre sont considérées comme des perles (**Cf. page 93**).

On peut également noter que dans le même carré de fouille, mais dans le niveau de surface, huit autres éléments de coquille en *dentalium* ont été découverts (5/312.105/07-004), très probablement liés aux éléments de la couche inférieure et ayant subi des perturbations taphonomiques. Il s'agit là encore majoritairement de coquilles présentant un diamètre très mince et classées comme éléments de débitage.

### Le lot de perles

Trois perles 5/317.103/06-005 ont été découvertes sur le foyer 851. Ces dernières sont produites en coquille pour deux d'entre elles et en pierre pour la dernière (**fig. 176**). Ces perles discoïdales présentent un diamètre moyen de 0,398 cm pour un écart-type de 0,072, une épaisseur moyenne de 0,234 cm pour un écart-type de 0,040 et une perforation moyenne de 0,178 cm pour un écart-type de 0,012.

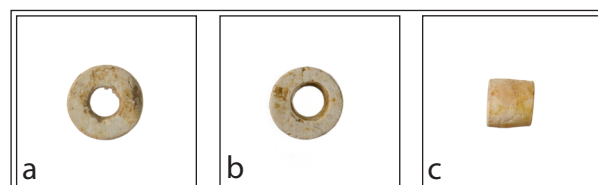


fig. 176 - Les perles du lot 5/317.103/06-005, 1:1

44 Treuil *et al.* 2020 p. 193.

45 Datation C14, 4903-4727 cal. BC (DEM-1003).

## Le lot du silo 848

Situé en limite nord-ouest du niveau VE/3, le silo 848 est un «*amas de fragments de terre à bâtir brûlés*» correspondant à une «*corbeille enduite, fermée par un couvercle se présentant comme une chape en terre à bâtir*»<sup>46</sup>.

Dans ce silo ou à proximité immédiate, cinq fragments d'anneaux en spondyle ont été mis au jour dont trois en lien direct (5/316.106/30-036 a à c) (**fig. 177**). On compte également trois pendentifs en *Glycymeris Sp.* et l'unique exemplaire de pendentif en *Hexaplex Trunculus* du site (314.105/06/09) (**fig. 178**).



fig. 177 - L'anneau  
5/316.106/30-036b, 1:1



fig. 178 - Le pendentif 5/314.105/06-009, 1:1

## Le lot du dépôt 858

Situé à l'angle sud-est du secteur VE/3, le dépôt 858 correspond au «*remplissage d'une fosse installée peu de temps après la fin des activités dans la «cour aux silos»*»; il est daté du NR I<sup>47</sup>.

Ce dépôt a livré deux pendentifs en spondyle et une perle en os<sup>48</sup>. Les deux pendentifs (5/317.102/32-008 et 5/317.102/32-009) sont les seuls objets du site à présenter des formes géométriques, l'une polylobée (**fig. 179**) et l'autre en forme de croix (**fig. 180**). La perle tubulaire en os 5/317.102/32/-010 est le seul exemplaire de ce type découvert sur le site (**fig. 181**).



fig. 179 - Le pendentif  
5/317.102/32-008, 1:1



fig. 180 - Le pendentif  
5/317.102/32-009, 1:1



fig. 181 - La perle  
5/317.102/32-010, 1:1

<sup>46</sup> Treuil *et al.* 2020 p.183.

<sup>47</sup> Treuil *et al.* 2020 p. 194.

<sup>48</sup> Ces objets sont illustrés *ibid.*, p. 197, fig. 5-138.

### 4.3. Les objets de parure du secteur VO/3, « la maison au bucrane »

Le niveau VO/3 est présent sur une grande majorité du secteur V/Ouest. Il correspond à « *une pièce d'habitation [...] et ses environs immédiats* »<sup>49</sup>. Ce niveau est daté du Néolithique Récent I; la destruction de la maison au bucrane se situe aux environs de 4900-4800 av. n-è., d'après les datations effectuées (TL, OSL et C14)<sup>50</sup>. La pièce, nommée « maison au bucrane », a fourni plusieurs éléments de parure répartis sur tout le niveau (amas, couche de destruction, mur).

Aucun regroupement particulier de pièces n'a été observé au sein de cette pièce. On compte dix perles, six pendentifs et deux anneaux. Les perles sont en pierre et en coquille, mais on compte également deux perles en terre cuite de morphologie unique : l'une discoïdale, mais d'un diamètre très important (env. 2,50 cm) (5/304.103/20-005) et l'autre tubulaire (5/299.106/41-005). On peut aussi noter la présence de la seule perle discoïdale en os du site (5/304.103/40-021).

Les pendentifs sont en coquilles simplement percées, mais on note la présence de deux espèces non représentées ailleurs sur le site : *Smaragdia Viridis*, 5/301.102/42-012 (**fig. 182**), et *Conus Mediterraneus*, 5/302.105/41-011 (**fig. 183**).



fig. 182 - Le pendentif  
5/301.102/42-012, 1:1



fig. 183 - Le pendentif  
5/302.105/41-011, 1:1

Le seul regroupement perçu dans ce secteur se situe à l'extérieur de la « maison au bucrane » dans une couche de destruction où trois perles discoïdales (5/306.105/41-004 & 5/303.106/40-020 A & B) (**fig. 184, fig. 185**), ainsi que trois éléments de *dentalium* (5/303.106/40-021 A, B, C), ont été découverts.



fig. 184 - La perle  
5/306.105/41-004, 2:1

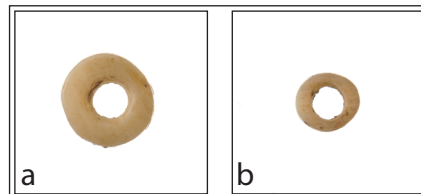


fig. 185 - Les perles 5/303.106/40-020, 2:1

49 Treuil *et al.* 2020, p. 116.

50 Treuil *et al.* 2020, p. 145.

On peut remarquer la présence sur la plate-forme 601 d'un exemplaire de valve de spondyle presque complète et non travaillée 5/300.104/40-006. Sur cette plate-forme ont également été mis au jour plusieurs tables de travail.

Le seul autre exemplaire de fragment de matière première du secteur V (5/314.101/31-003) provient du niveau VE/4, également daté du NR I et situé sous le niveau VE/3 dans sa partie sud-ouest : il s'agit d'un fragment de spondyle présentant deux perforations (**fig. 186**).



*fig. 186 - Le fragment de matière première  
5/314.101/31-003, 1:1*

#### 4.4. Les objets de parure du niveau VO/1

Ce niveau correspond aux restes d'un four (614) et à deux lambeaux de sol découverts près de la surface<sup>51</sup>. Ce niveau est daté du Néolithique Récent I par le mobilier céramique.

Le mobilier découvert dans ce niveau se résume à cinq fragments d'anneaux en spondyle, dont un perforé pour en faire un pendentif 5/300.107/02-003 (**fig. 187**), et une perle tubulaire grossière en terre cuite 5/300.107/02-004 (**fig. 188**).



*fig. 187 - Le pendentif  
5/300.107/02-003, 1:1*



*fig. 188 - La perle 5/300.107/02-004, 1:1*

---

<sup>51</sup> Treuil *et al.* 2020, p.164.

#### 4.5. Les autres objets du secteur V

Un certain nombre d'objets ont été découverts isolés dans le secteur V, le plus souvent dans les couches de surface. Pour cette raison, la majorité de ces objets ne sont pas datables. De par leur morphologie et/ou matériau, ces objets proposent des exemples de parure moins fréquents.

Deux objets uniques en roche verte ont été découverts : un anneau fragmentaire en jaspe 5/316.101/50-001 (**fig. 189**) et un pendentif de forme polylobée en néphrite 5/315.104/06-003 (**fig. 190**). Ces deux pendentifs sont de datation indéterminée.



*fig. 189 - L'anneau 5/316.101/50-001, 1:1*



*fig. 190 - Le pendentif  
5/315.104/06-003, 1:1*

Deux perles tubulaires en spondyle ont été découvertes : l'une dans le secteur V/Ouest, 5/303.099/43-006 (**fig. 191**), et l'autre dans le secteur V/Est, 5/313.101/01-003. Ces pièces font partie des trois perles les plus épaisses du site avec la perle fragmentaire en terre cuite 5/300.107/02-004 (**fig. 188, page 155**).



*fig. 191 - La perle 5/303.099/43-006, 1:1*

L'objet 5/309.103/13-013, découvert dans le locus 862 correspondant à une fosse, est une perle en pierre en cours de fabrication (**fig. 192**). Il s'agit là d'un rare témoignage d'une activité de mise en forme de parure sur le site.



*fig. 192 - La perle 5/309.103/13-013, 1:1*

Les pendentifs en coquilles simplement perforés découverts dans le secteur V sont essentiellement composés des coquilles les plus représentées sur le site : *Cerastoderma Edule* et *Glycymeris Sp.*, mais un petit nombre d'autres espèces moins fréquentes y ont également été découvertes. Hormis les quelques exemples déjà décrits précédemment, on compte également deux *Cerithium Vulgatum* (5/303.100/43-004 et 5/311.102/04-007, **fig. 193**), une *Mytilus galloprovincialis* (5/302.103/05-008) (**fig. 194**) et trois autres exemples de *Columbella Rustica* (5/305.101/01-008, 5/314.103/07-005 et 5/316.106/31-005) (**fig. 195**). Seules ces deux dernières coquilles ont pu être datées du Néolithique Récent I (niveau VE/3).



fig. 193 - Le pendentif  
5/311.102/04-007, 2:1



fig. 195 - Le pendentif  
5/305.101/01-008, 2:1



fig. 194 - Le pendentif 5/302.103/05-008, 1:1

#### 4.6. Le corpus de parure du secteur V

La composition du corpus de parure du secteur V montre aussi bien des ruptures que des continuités entre la parure du Néolithique Récent I et celle du Néolithique Récent II.

##### *Des ruptures ...*

La rupture la plus marquée concerne les lots de perles discoïdales. En effet, si l'on établit le rapport entre le diamètre et l'épaisseur de la pièce (**fig. 197**) ainsi que le rapport entre le diamètre de la pièce et le diamètre de la perforation (**fig. 198**), on obtient clairement deux groupes distincts. Le premier (groupe A) correspond presque exclusivement aux lots de perles issus du niveau VE/1 (Néolithique Récent II), tandis que le second (groupe B) correspond majoritairement aux différents niveaux datés du Néolithique Récent I. Les pièces du Néolithique Récent I sont plus fines que celles du Néolithique Récent II, mais présentent plus de variations dans les dimensions. Elles sont donc probablement issues d'une production moins standardisée (**fig. 196**).



*fig. 196 - Vue des lots de perles discoïdales datées du Néolithique Récent II*

Quelques objets ne s'inscrivent pas dans ce schéma. Tout d'abord, la perle 5/300.106/35-003 datée du Néolithique Récent I se situe dans le groupe du Néolithique Récent II. Et à l'inverse, trois perles 5/310.104/20-017 datées du Néolithique Récent II se situent dans le groupe du Néolithique Récent I. Ces trois pièces sont peut-être à considérer comme les témoins des premiers changements dans la morphologie des perles discoïdales entre les deux périodes.

Une autre rupture se note dans la présence / absence d'éléments en dentale. En effet, hormis une unique pièce, 5/310.103/16-023, issue du niveau VE/1 (Néolithique Récent II), la totalité de ces objets ont été découverts dans les niveaux du Néolithique Récent I. Ils pourraient de plus correspondre à des vestiges de production.

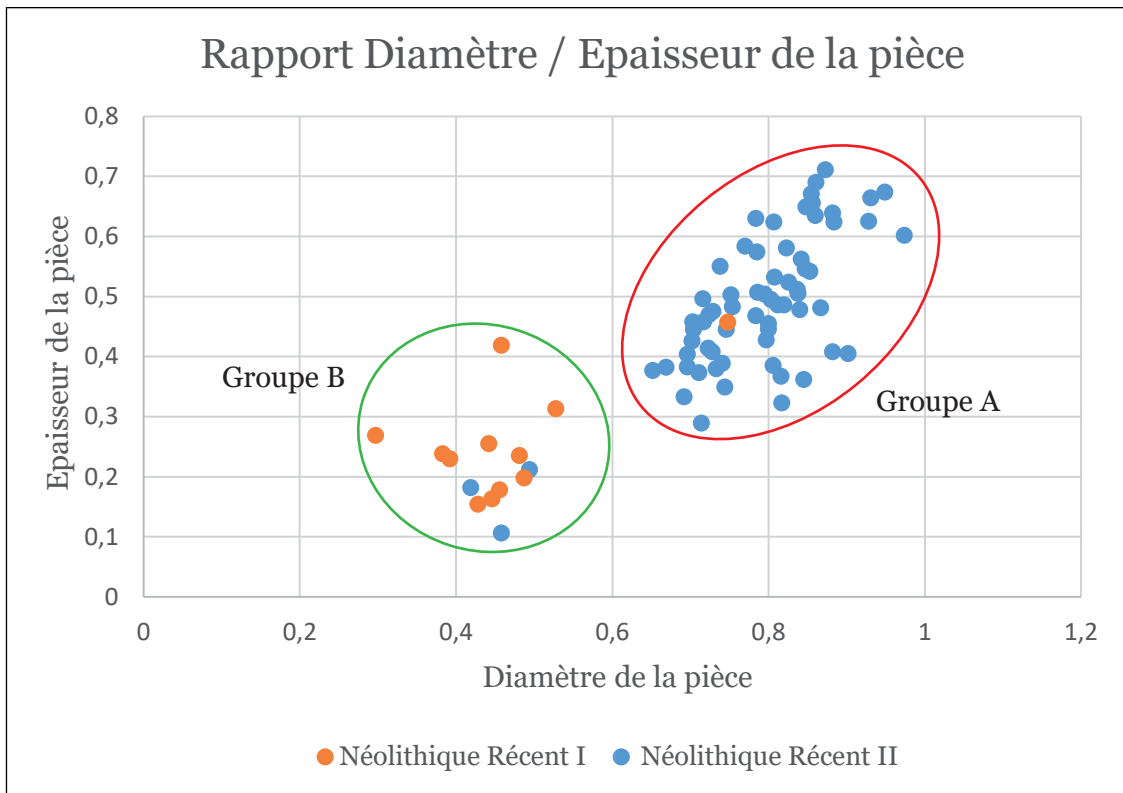


fig. 197 - graphique du rapport entre le diamètre et l'épaisseur des perles discoïdales du secteur V

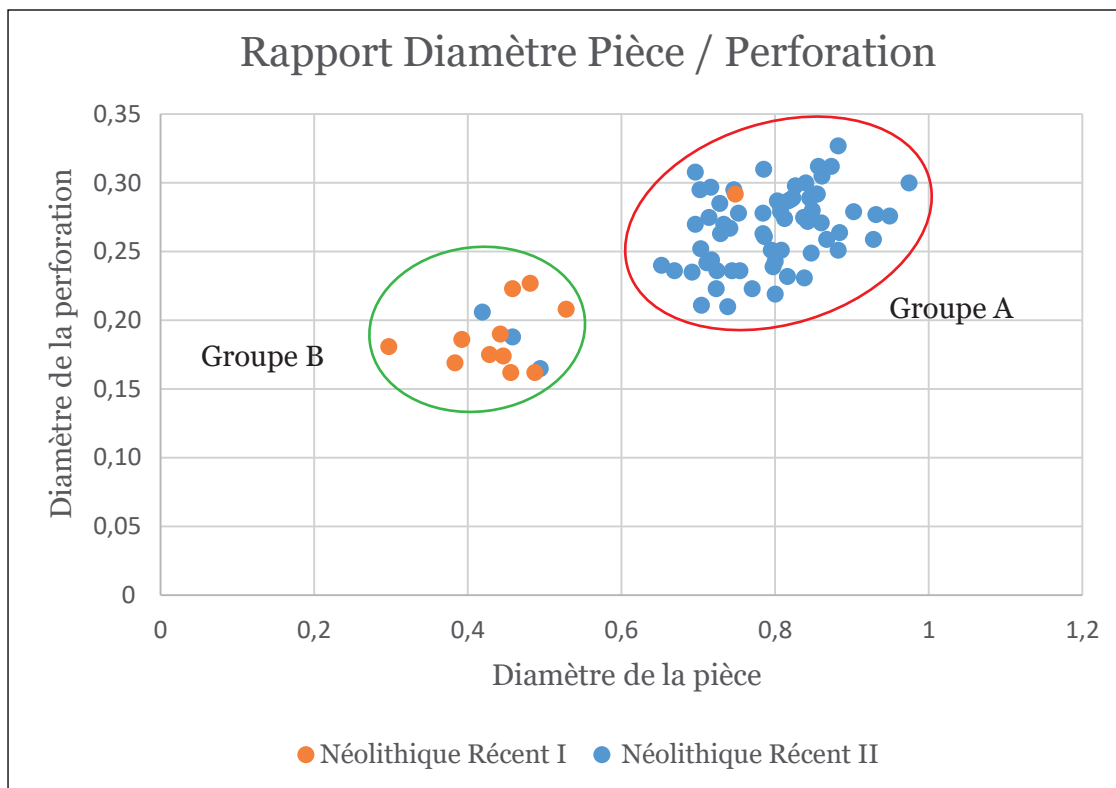


fig. 198 - graphique du rapport entre le diamètre de la perle et le diamètre de la perforation des perles discoïdales du secteur V

**... et des continuités.**

D'une période à l'autre, c'est-à-dire du Néolithique Récent I au Néolithique Récent II, on trouve principalement des pendentifs en coquilles simplement percées et des anneaux en spondyle. Ces deux catégories d'objets se trouvent en quantités comparables durant les deux périodes ; la qualité des pièces est également comparable.

Le maintien d'une même forme peut aisément se comprendre dès lors qu'il s'agit de parure fabriquée à partir d'une coquille de morphologie fixe dans le temps. Le taux de conservation de ces objets est lui aussi semblable aux deux périodes : les coquilles simplement percées sont presque toujours entières, tandis que les anneaux sont quasi systématiquement fragmentaires avec moins d'un tiers de la circonférence conservé.

En raison de ce taux de fragmentation important des anneaux, il n'est pas possible de mettre en évidence une tendance dans la taille de ces objets en fonction de la période.

## 5. Les objets du secteur 6

Situé au sommet du versant sud du tell, ce secteur a livré, dans le niveau 6-5, plusieurs unités d'habitation datées du Néolithique Récent II et probablement détruites vers 4350-4250 av. J.-C<sup>52</sup> (**fig. 199**). Nous passerons en revue le mobilier de parure de chacune de ces maisons, notamment les regroupements de mobilier, puis nous concluons sur l'apport de ce matériel à la compréhension du secteur.

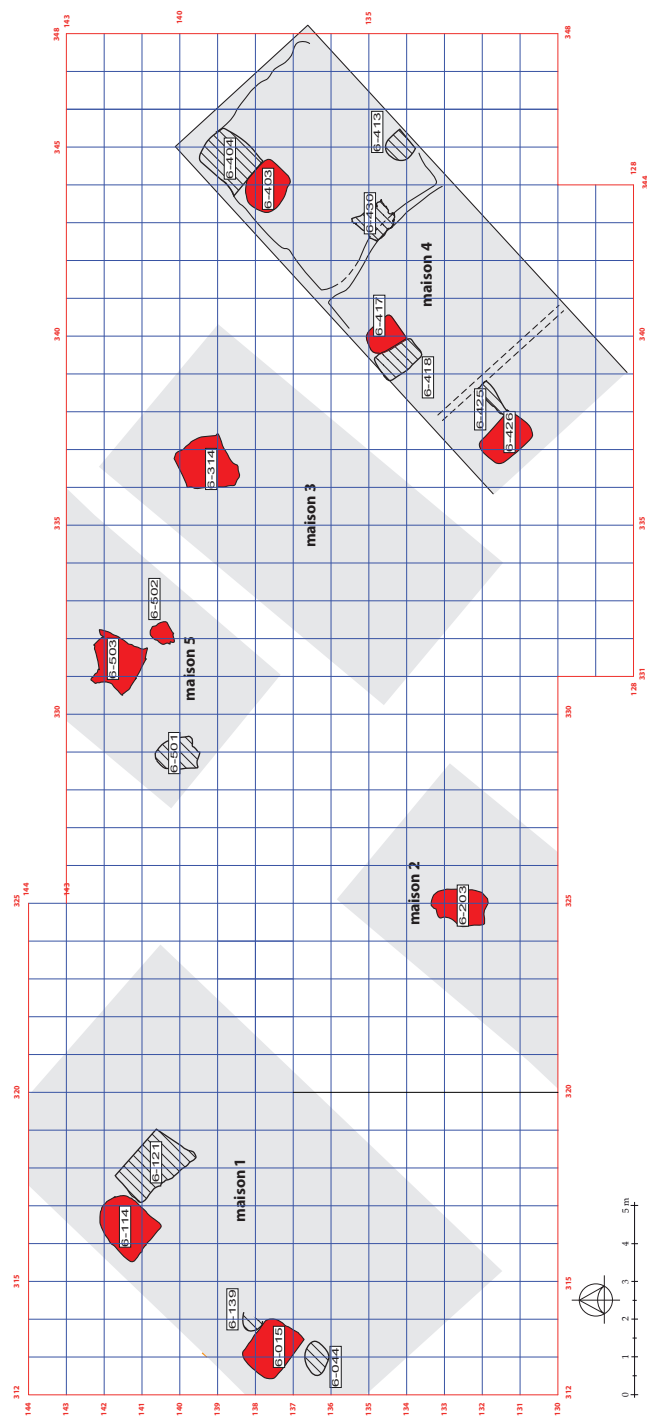


fig. 199 – plan schématique des maisons du Néolithique Récent II dans le secteur 6 à l'issue des recherches du troisième programme; en rouge les fours, en hachure les plate-formes; 1/200. (d'après Koukouli-Chryssanthaki et al. 2020, fig.6-3)

52 Koukouli-Chryssanthaki et al. 2020, p. 242-394.

## 5.1. La maison 1

Située la plus à l'ouest du secteur 6, cette maison a été en très grande partie fouillée<sup>53</sup> et a permis la découverte d'un très grand nombre d'objets de parure répartis sur deux zones : l'une au nord et l'autre au sud (**fig. 200**).

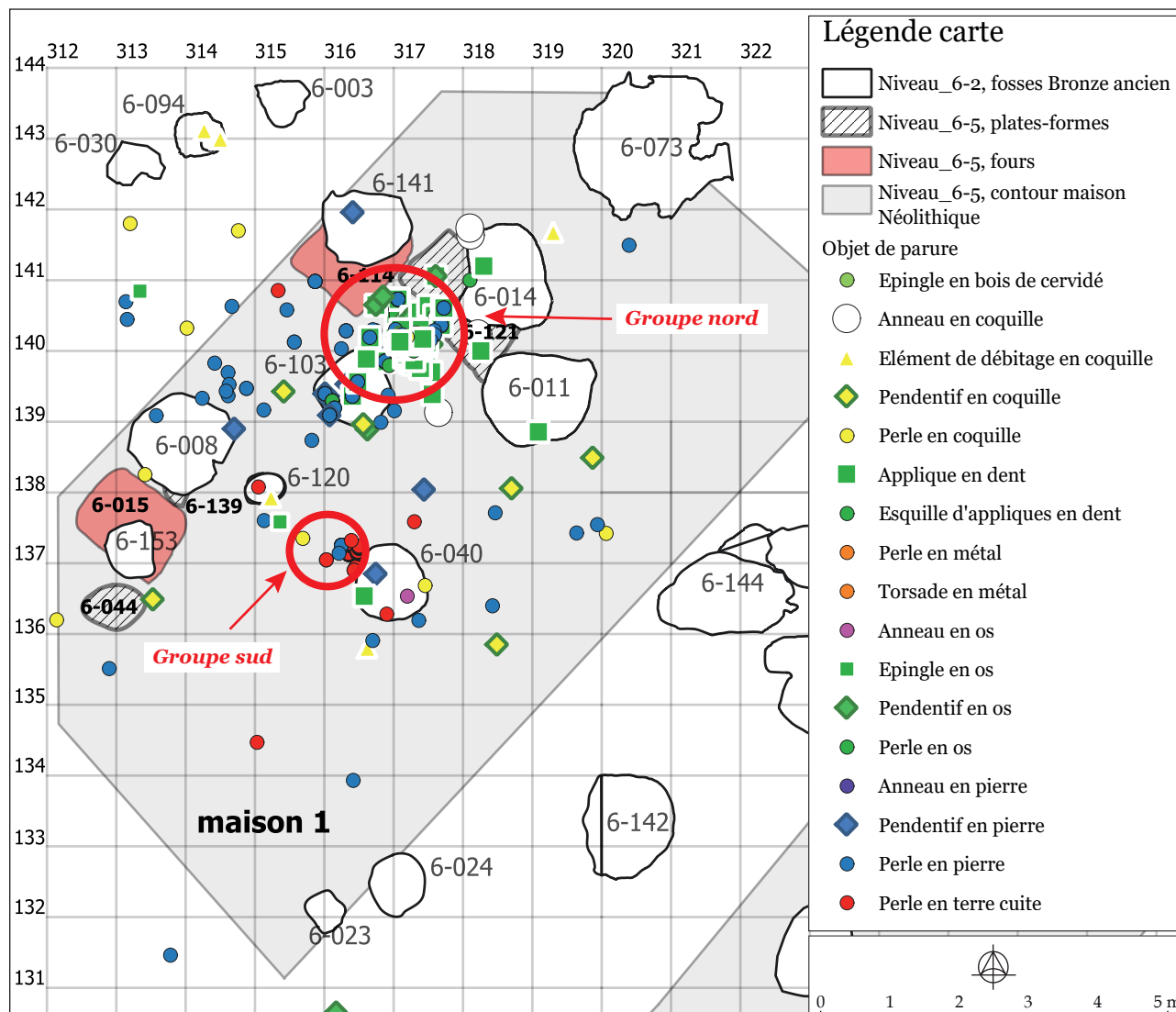


fig. 200 - plan de localisation des lots de parure au sein de la maison 1 secteur 6; 1/100

<sup>53</sup> Koukouli-Chryssanthaki *et al.* 2020, p. 243-303.

### 5.1.1. Les lots de parure au nord de la maison 1

Situés dans la partie nord de la maison 1, trois locus regroupent la très grande majorité des pièces de parure : 6-096, 6-103 et 6-124. Le locus 6-096 correspond à une zone charbonneuse contenant de très nombreux éléments de parure, tandis que le locus 6-124 est «*un sédiment hétérogène, tantôt induré tantôt meuble, plus dur et d'aspect plus blanchâtre en bordure*»<sup>54</sup> qui recouvre le locus 6-096. Le locus 6-103 correspond, quant à lui, à une fosse du Bronze Ancien ayant percé la couche de destruction du Néolithique Récent II. Ainsi la quasi-totalité du mobilier découvert dans la maison 1 date du Néolithique Récent II.

Ces trois locus forment une zone très restreinte de quelques dizaines de centimètres carrés dans laquelle on compte 16 anneaux en spondyle, 269 appliques en dent<sup>55</sup>, 42 pendentifs et 1 014 perles, ainsi que quelques autres éléments, dont de la matière première (*fig. 201*).



*fig. 201 - Les anneaux en spondyle de l'US 6364 in situ au-dessus d'un cône de graphite et d'appliques en dent.*

<sup>54</sup> Koukouli-Chryssanthaki *et al.* 2020, p. 266 ; voir aussi les photographies du mobilier en place, p. 262, fig. 6-39 à 6-41 et p. 264, fig. 6-42 à 6-43.

<sup>55</sup> Auxquelles on doit rajouter 32 lots d'esquilles.

## Les anneaux en spondyle

Contrairement aux autres secteurs où les anneaux en spondyle ont été retrouvés souvent très fragmentaires et assez rarement groupés, les anneaux mis au jour dans la maison 1 du secteur 6 apparaissent assez bien conservés et forment un groupe compact. Sur les 16 anneaux découverts à cet endroit, 13 ont été découverts dans l'US 6364 dans un carré mesurant moins de 15 x 15 cm. Les autres anneaux découverts à proximité de ce lot sont fragmentaires et recollent parfois avec des fragments de l'US 6364.

Les anneaux de cet ensemble comprennent 6 exemplaires complets (**fig. 202, fig. 203**) et 10 fragments d'anneaux. Comparativement aux anneaux découverts sur le reste du site, ceux de la maison 1 sont bien moins fragmentaires, puisqu'en moyenne il reste au moins la moitié de la circonférence pour moins d'un tiers pour les anneaux des autres secteurs.

Les six anneaux complets mesurent en moyenne 8,45 cm de long pour 7,58 cm de large. L'épaisseur moyenne est de 1,23 cm. La longueur possède un écart-type de 0,53, la largeur de 0,70 et l'épaisseur de 0,14. Les écarts-types plus importants que dans d'autres pièces de parure de notre corpus s'expliquent par la morphologie initiale des coquilles utilisées, éminemment variable.



*fig. 202 - L'anneau en spondyle  
6364-005, 1:2*



*fig. 203 - L'anneau en spondyle  
6364-009, 1:2*

Ces pièces sont toutes finies : l'état de surface a été altéré par l'incendie et l'enfouissement, mais on remarque que les bords sont bien arrondis et que les surfaces semblent relativement lisses. Seule exception, la pièce 6364-014, apparaît beaucoup plus grossière. Il pourrait s'agir d'une pièce en cours de fabrication, car certains bords semblent avoir été travaillés avec notamment un arrondissement des bords et un lissage de la surface (**fig. 204**). On peut également envisager qu'il puisse s'agir de matière première pour la fabrication d'autres objets de parure.

Ce regroupement d'anneaux en spondyle dans un espace très restreint tend à indiquer un stockage de pièces abouties en attente d'utilisation.



*fig. 204 - Le fragment d'anneau en spondyle  
6364-014, 1:2*

## Les appliques en canine de suidé

Un très grand nombre de plaquettes en dent ont été découvertes dans l'ensemble situé au nord de la maison 1. Ces pièces ont été découvertes dans le carré 317.140 ou à proximité immédiate de ce carré. Elles sont présentes majoritairement dans l'US 6364 (132 pièces) où elles sont en partie recouvertes par des anneaux en spondyle (Cf. **fig. 201, page 163**), mais également dans l'US 6344 (30 pièces), dans l'US 6421 (25 pièces), dans l'US 6490 (25 pièces), les autres pièces étant issues de couches situées dans la même zone que les US précédemment citées. L'observation *in situ* des pièces de l'US 6364 montre clairement des effets de parois qui indiqueraient que ces pièces ont été stockées dans un même contenant en matière périssable (**fig. 205**).



*fig. 205 - Vue des appliques de l'US 6364 in situ*

Au total, 257 pièces fragmentaires ou entières ont été mises au jour. Plusieurs recollages de fragments ont pu être réalisés en post-fouille. Néanmoins d'autres fragments sont peut-être issus d'une même pièce sans qu'il soit possible de le savoir en raison de leur état très fragmentaire.

187 appliques fragmentaires présentent une seule perforation et sept autres possèdent deux perforations sur une même extrémité (**fig. 206**). 36 appliques complètes ou semi-complètes ont été mises au jour (**fig. 207**). Une très grande quantité d'esquilles ont également été découvertes dans le sédiment (**fig. 208**). Elles correspondent en partie au reste des fragments d'appliques mises au jour, mais sans doute aussi à des appliques entières. Cela augmenterait considérablement la quantité d'appliques en dent présentes dans cette maison, sans qu'aucun chiffre ne puisse être avancé étant donné l'état des vestiges, exposés à un incendie de forte intensité.



*fig. 206 - L'applique 6344-150, 1:1*



*fig. 207 - L'applique 6364-035, 1:1*



*fig. 208 - Esquilles d'appliques en dent de suidé, 1:1*

On peut calculer un nombre minimal d'appliques d'environ 130 pièces. En effet, si l'on estime que les 187 fragments possédant une seule perforation correspondent à une demi-applique et que chaque fragment recolle avec un autre, nous obtenons environ 90 appliques entières auxquels on ajoute les 36 pièces présentant deux perforations, soit environ 130 pièces. Ce nombre pourrait monter jusqu'à 200 ou 250 pièces, notamment en raison du grand nombre d'esquilles découvertes.

En raison du fort taux de fragmentation de ces appliques, seules les dimensions de huit appliques correspondent à la dimension réelle des pièces avant leur casse. La plus grande conservée non fragmentée (6364-046) mesure 6,158 cm de long pour 0,893 cm de large (**fig. 211**). Les dimensions moyennes de ces huit pièces non fragmentées sont les suivantes : 5,38 cm de long, 0,865 cm de large et 0,319 cm d'épaisseur.



*fig. 209 - L'applique 6364-046, 1:1*

De plus, dans ce même assemblage, cinq dents de suidés (**fig. 209, fig. 210**) ont été découvertes ainsi qu'au moins une vingtaine de fragments non mis en forme. Une partie de ces pièces ont été reconstituée en post-fouille. Leur état très délité, dû à l'incendie subi et à leur enfouissement, ne permet pas d'appréhender d'éventuelles interventions humaines (traces d'utilisation, de découpe, etc.). La dent 6475-003 est la seule canine quasiment complète conservée. Elle mesure 14,5 cm de long pour 2,25 cm de large et possède une épaisseur maximale de 2,6 cm. Les autres canines découvertes sont toutes fragmentaires en raison de leur condition d'enfouissement. Il n'est dès lors pas possible de savoir si ces canines étaient stockées entières ou en tronçons dans cet ensemble.



*fig. 210 - La dent de suidé 6504-010, 1:2*



*fig. 211 - La dent de suidé 6475-003, 1:2*

## Les pendentifs pyramidaux

Un lot de 33 pendentifs pyramidaux en pierre a été découvert majoritairement dans l'US 6445<sup>56</sup>, mais six autres pendentifs sont également issus de couches plus ou moins proches (US 6029, 6108, 6147, 6406 et 6615) (**fig. 212, fig. 213**). La dispersion de ces quelques éléments peut s'expliquer par des phénomènes taphonomiques.

Si l'on ne considère que les 27 pièces complètes, la longueur moyenne est de 0,82 cm pour un écart-type de 0,08 ; la largeur moyenne est de 0,76 cm pour un écart-type de 0,11 ; et l'épaisseur moyenne est de 0,49 cm pour un écart-type de 0,06. Ces pièces présentent donc une morphologie très homogène (**fig. 214, fig. 215**).

Quant aux deux perforations, elles sont également très homogènes avec un diamètre moyen de 0,24 cm et un écart-type de 0,02.

La fabrication de ces pendentifs montre une grande standardisation et une finition aboutie. Leur découverte dans un espace très restreint indique clairement qu'ils étaient stockés ensemble, probablement dans un contenant périssable. Ces pièces ne présentent pas de traces d'usure, ce qui indique qu'elles devaient être stockées dans l'attente de leur utilisation.



fig. 212 - le pendentif 6406-002, 2:1

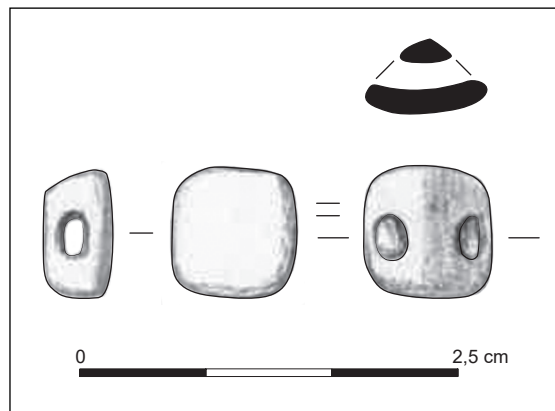


fig. 213 - le pendentif 6445-069

<sup>56</sup> Une partie de ces pièces proviennent du tamisage des sédiments de l'US 6445.

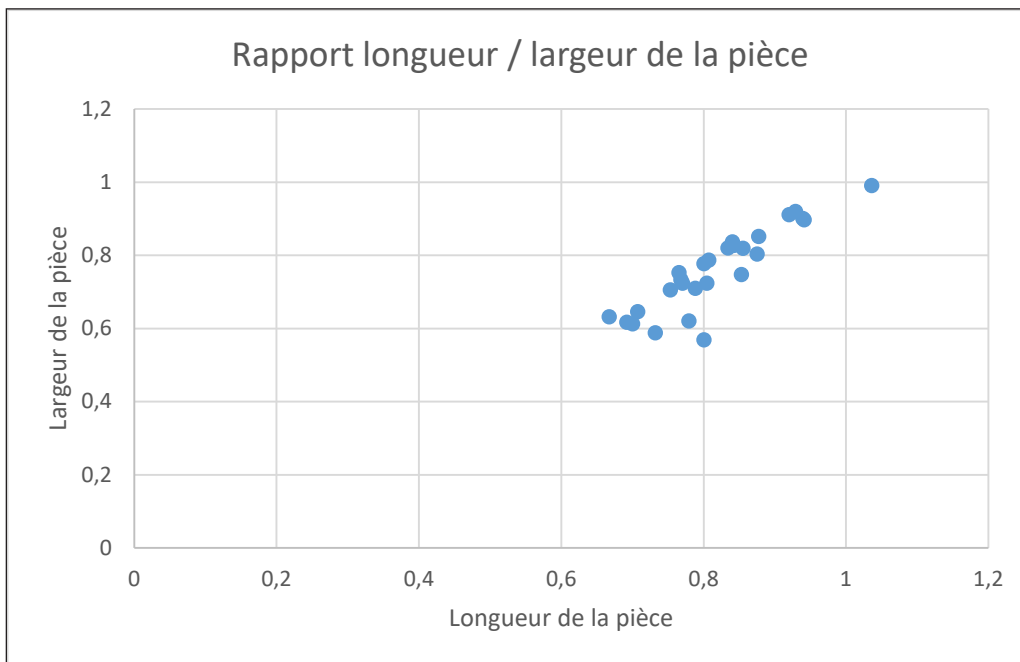


fig. 214 - graphique du rapport entre la longueur et la largeur des pendentifs pyramidaux

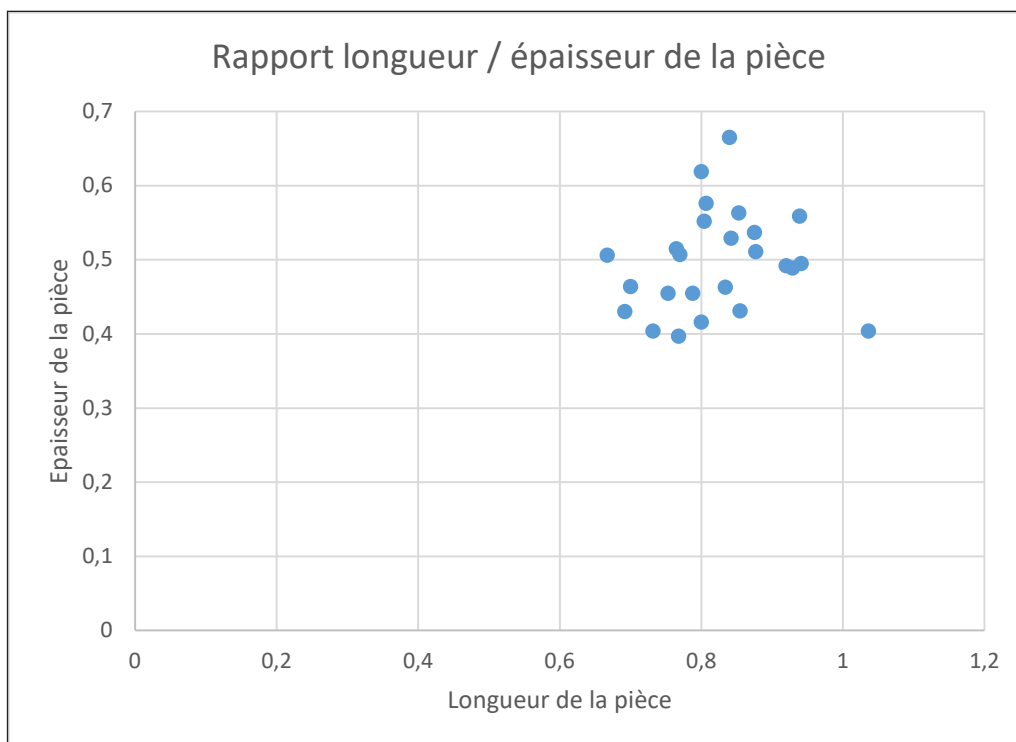


fig. 215 - graphique du rapport entre la longueur et l'épaisseur des pendentifs pyramidaux

## Les lots de perles

Au total, on compte 1 014 perles, découvertes au nord de la maison 1, et réparties dans le locus 6-096 (US 6344, 6364, 6399, 6421, 6490, 6504 et 6524), le locus 6-103 (US 6445) et le locus 6-124 (US 6578 et 6585). Quelques rares pièces proviennent de locus avoisinants cet ensemble (6-114, 6-125 et 6-126).

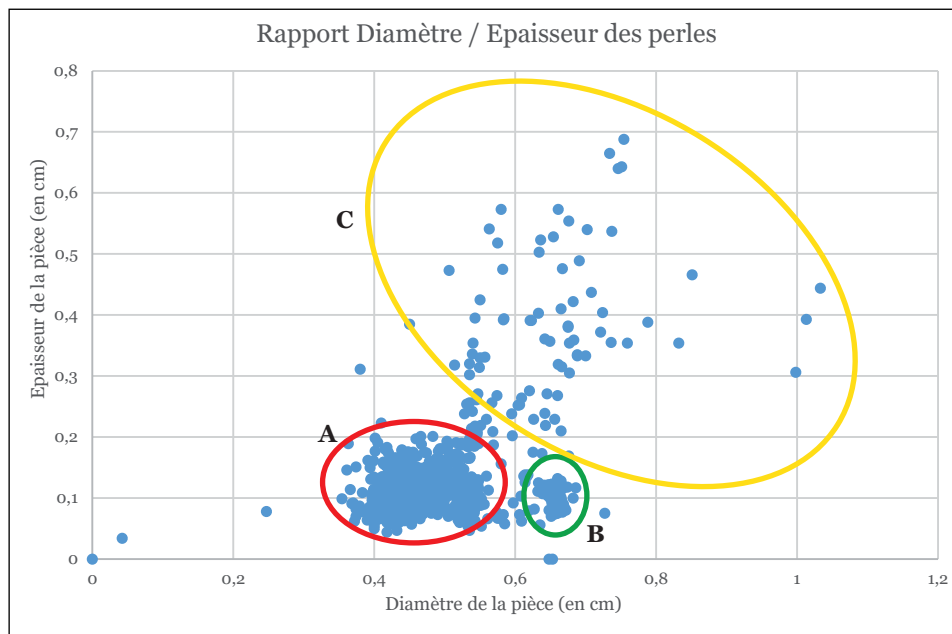
### - Les perles discoïdales en pierre

On compte 1 005 perles de forme discoïdale qui se répartissent en trois sous-groupes (**fig. 216**) :

Le premier sous-groupe (A) est le plus important en terme de nombre, environ 800 pièces. Le diamètre moyen des perles est de 0,45 cm, leur épaisseur moyenne de 0,10 cm. Le diamètre moyen de la perforation est de 0,18 cm.

Le deuxième sous-groupe (B) comporte moins d'objets, environ 100 pièces. Le diamètre moyen des perles est de 0,65 cm, leur épaisseur moyenne de 0,10 cm. Le diamètre moyen de la perforation est de 0,22 cm.

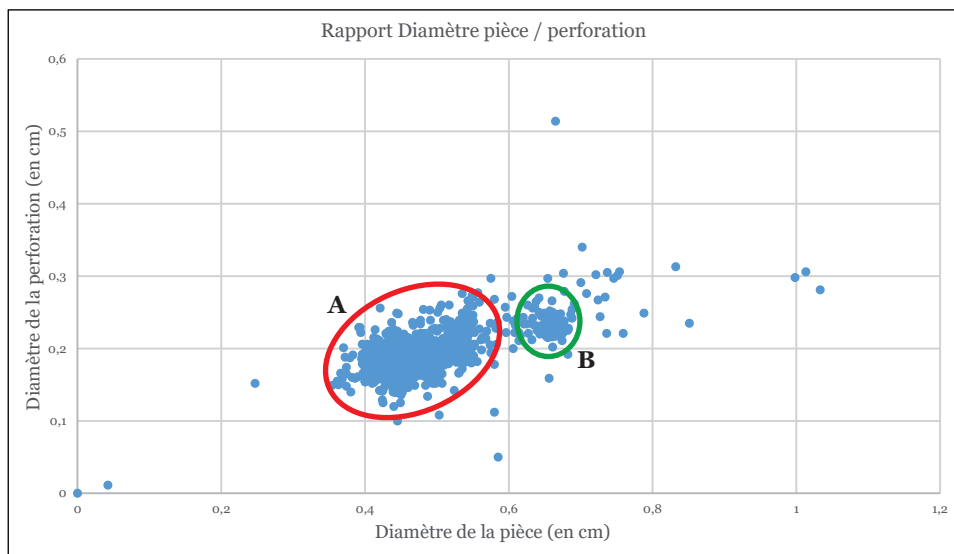
Le troisième sous-groupe (C) comporte une centaines d'individus caractérisé par une hétérogénéité des dimensions. Certaines pièces présentent des diamètres dépassant 1 cm et une épaisseur allant jusqu'à 1,10 cm. Ces objets sont principalement situés dans les US 6421, 6445 et 6578, même si quelques éléments proviennent des autres US de ce groupe nord.



*fig. 216 - graphique du rapport entre le diamètre et l'épaisseur des perles discoïdales du nord de la maison 1*

Parmi les différentes dimensions, on remarque que le diamètre de la perforation est la variable la plus homogène. En effet, hormis une dizaine de pièces dont la pièce 6344-043 possédant une perforation de 0,51 cm, les perles possèdent toutes un diamètre de la perforation compris entre 0,10 cm et 0,30 cm et ce y compris pour les perles du troisième sous-groupe plus hétérogène. Le rapport entre le diamètre de la pièce et celui de la perforation ne fait plus apparaître que les groupes A et B (**fig. 217**).

L'épaisseur est la variable la plus hétérogène avec des valeurs comprises entre 0,04 cm et 0,73 cm. Cette hétérogénéité révèle que le découpage des pièces représente sans doute l'étape la moins aisée dans la chaîne de production, tandis que l'obtention d'un diamètre et d'une perforation homogènes correspond à des opérations beaucoup mieux maîtrisées.



*fig. 217 - graphique du rapport entre le diamètre de la perle et le diamètre de la perforation des perles discoïdales du nord de la maison 1*

### - Les perles tubulaires en pierre et en coquille

Dans cette zone au nord de la maison 1, on compte 14 perles tubulaires réparties dans le lot de perles discoïdales et dans l'US 6578.

Les 9 perles tubulaires mises au jour dans le même lot que les perles discoïdales sont issues des US 6344, 6421 et 6445. Elles sont majoritairement en pierre (**fig. 218, fig. 219**).

Un regroupement de cinq perles tubulaires a été identifié à quelques dizaines de centimètres au nord-ouest du locus 6-096 (6578-034, 6578-037 à 6578-039 et 6578-047). Ces perles sont toutes en pierre, probablement du marbre.

Le diamètre moyen est de 0,53 cm avec un écart-type de 0,09, l'épaisseur moyenne est de 0,69 cm avec un écart-type de 0,14 et le diamètre de la perforation est de 0,24 cm avec un écart-type de 0,03. L'étude de ces dimensions aboutit aux mêmes conclusions que celles formulées pour les perles discoïdales : une épaisseur plus variable que les autres dimensions et un diamètre de la perforation assez homogène.



*fig. 218 - la perle 6344-042, 2:1*



*fig. 219 - la perle 6184-006, 2:1*

### - Les objets en or

Au sein de l'US 6344, dans le même lot que les perles discoïdales, quatre objets en or ont été découverts. Il s'agit de trois perles constituées d'une feuille d'or repliée de forme discoïdale (6344-043 et 6344-086) (**fig. 220**) et tubulaire (6344-152). Dans les deux premiers cas, les dimensions sont plus importantes que celles des perles discoïdales puisque la feuille d'or entoure une ou deux perles en pierre. De fait, le diamètre de la perle en or est plus important que celui des perles discoïdales. L'épaisseur de la feuille d'or est plus homogène avec 0,05 cm de moyenne.

La dernière pièce en or est une torsade (6344-790) (**fig. 221**) de forme irrégulière, ce qui ne permet pas d'en déduire des dimensions moyennes. Seule l'épaisseur de la feuille d'or est similaire à celle des autres perles en or : 0,05 cm.



*fig. 220 - la perle 6344-086, 2:1*



*fig. 221 - la torsade 6344-790, 2:1*

### - Les autres objets

En lien direct avec les anneaux et les appliques, quatre cônes de graphite (6364-003, 6364-004, 6364-007 et 6578-010) (**fig. 222**) ont été découverts, de même qu'une motte de terre argileuse très rouge pouvant correspondre à de l'oxyde de fer ou de la terre ferrugineuse (6364-066) (**fig. 223**). Ces éléments ont très probablement une vocation de colorant. Ils ont très probablement dû entrer en jeu dans une chaîne opératoire, éventuellement celle de décoration des céramiques.



*fig. 222 - Une cône en graphite in situ*



*fig. 223 - Les deux mottes de terre rouge in situ*

## - L'outillage

On note plusieurs éclats de silex et une lame en calcédoine (6399-022) au sein du locus 6-096. En lien direct avec les perles, on a découvert deux pointes en métal (6524-003, **fig. 224** et 6577-001, **fig. 225**) et deux pointes en os (6344-006 et 6475-005). La pointe de l'objet en métal 6525-003 mesure 0,15 cm de diamètre, dimension compatible avec l'utilisation de cet objet en tant que foret pour une perforation moyenne de 0,20 cm. Un objet en pierre (6524-013) pouvant correspondre à un percuteur ou à un polissoir a également été découvert dans cette zone.

La pointe en cuivre 6577-001 a fait l'objet d'une étude qui montre une utilisation de cet outil selon un mouvement rotatif<sup>57</sup>. L'étude partielle des autres objets n'a, pour le moment, pas permis de les lier formellement au travail de la parure.



*fig. 224 - La pointe en cuivre 6524-003, 1:1*



*fig. 225 - La pointe en cuivre 6577-001, 1:1*

---

<sup>57</sup> Communication orale V. Martin (Doctorante Paris I).

### 5.1.2. Les lots de parure au sud de la maison 1

Dans l'US 6266 (carré 316.137), correspondant à la couche de destruction de la maison, 353 objets de parure ont été découverts. On peut y ajouter les quatre autres objets de parure découverts dans les US 6103 et 6130 situées stratigraphiquement au-dessus de l'US 6266.

#### Les perles en terre cuite de l'US 6266

Le premier regroupement correspond à un lot de 305 perles discoïdales (6103-001, 6130-009 et 6130-010, 6266-049 à 6266-356) et une perle tubulaire en terre cuite (6266-047). La connexion de ces perles les unes avec les autres n'a pas été observée sur le terrain, car l'on recueilli ce lot dans un bloc de sédiment. Cependant elles pourraient avoir été enfilées sur un lien périssable (**fig. 226**).



*fig. 226 - lot des perles discoïdales en terre cuite à leur sortie de fouille, 1:1*

Ces pièces sont finies et possèdent des caractéristiques très homogènes. Leur diamètre moyen est de 0,44 cm avec un écart-type de 0,03 ; l'épaisseur moyenne de 0,13 cm avec un écart-type de 0,03; le diamètre moyen de la perforation est de 0,18 cm avec un écart-type de 0,02. L'homogénéité de ce groupe est bien visible lorsque l'on met en parallèle le diamètre de la pièce avec celui de la perforation. Le graphique qui en ressort montre clairement le regroupement des dimensions autour de la valeur moyenne (**fig. 227, fig. 228**).

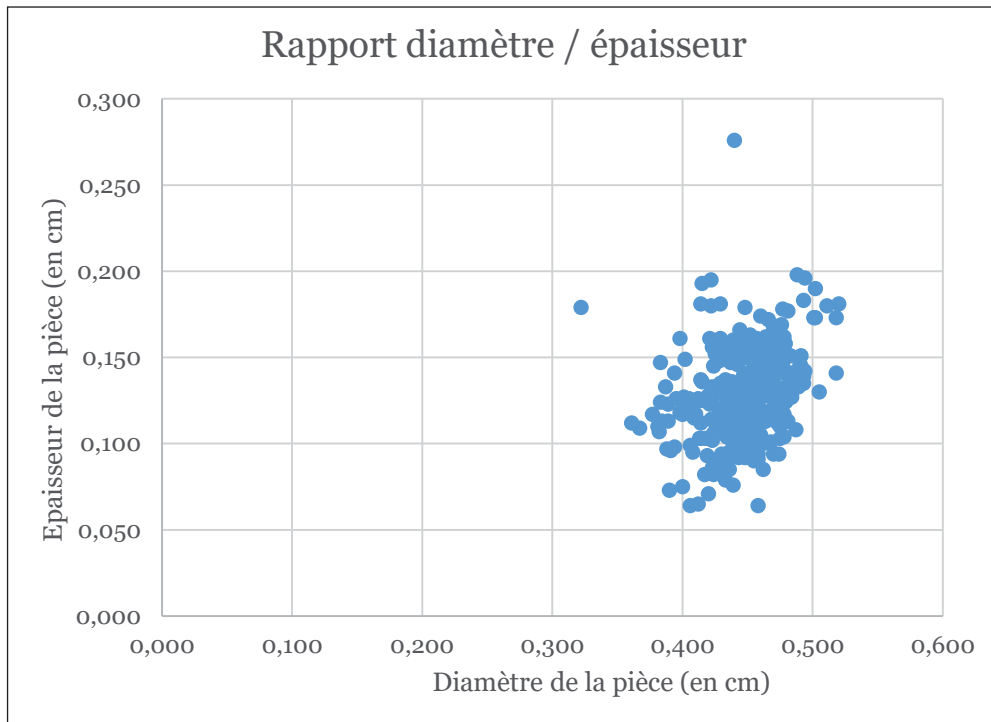


fig. 227 - graphique du rapport entre le diamètre et l'épaisseur des perles discoïdales en terre cuite

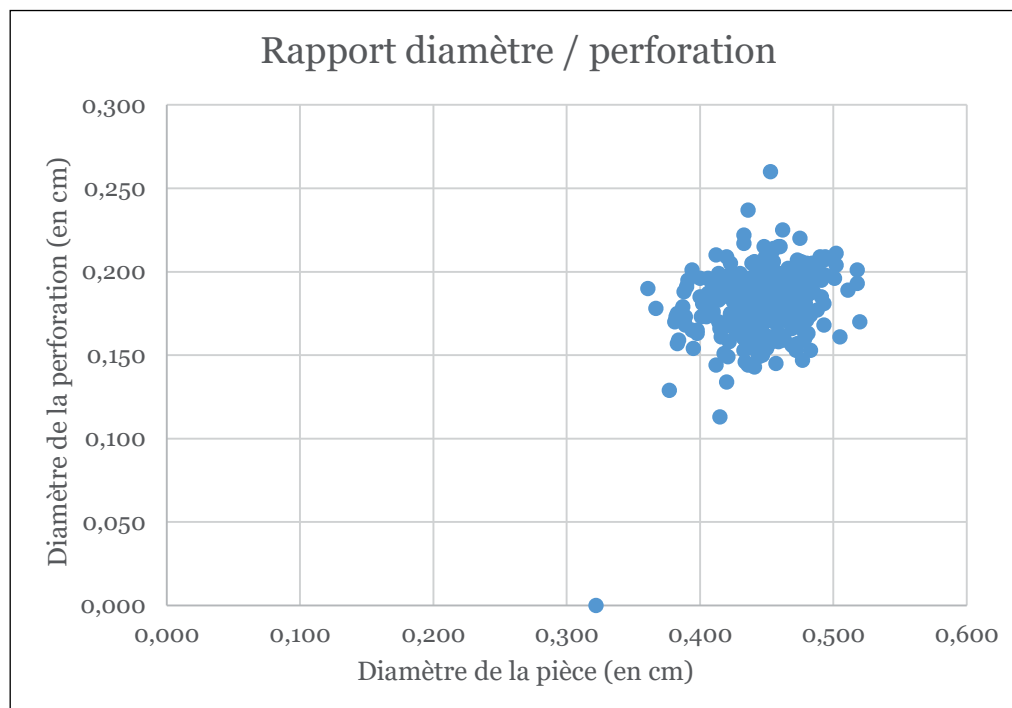


fig. 228 - graphique du rapport entre le diamètre de la perle et le diamètre de la perforation des perles discoïdales en terre cuite. (L'individu dont le diamètre de la perforation est de zéro correspond à un perle fragmentaire).

Le rapport entre le diamètre de la pièce et son épaisseur confirme cette homogénéité, bien qu'il faille remarquer que l'épaisseur de la pièce est plus variable que les autres dimensions. Ainsi on note une valeur basse à 0,064 cm et une valeur hauteur à 0,276 cm. Il semblerait donc que l'obtention d'une épaisseur régulière de la pièce soit la partie la plus compliquée dans le processus de fabrication, tout comme pour les perles discoïdales en pierre du groupe nord.

### Les perles hétérogènes de l'US 6266

Mélangées au lot de perles en terre cuite, 49 perles hétérogènes ont été découvertes (6266-002 à 6266-046 et 6266-048, 6266-357 à 6266-359) dans l'US 6266. Elles sont produites en coquille, en pierre et en métal (**fig. 229**).



*fig. 229 - le lot de perles hétérogènes de l'US 6266*

Parallèlement à la diversité de leur matériau, ces objets possèdent une grande hétérogénéité dans leurs dimensions. Si l'on exclut les trois perles tubulaires, le diamètre moyen des perles est de 0,51 cm avec un écart-type de 0,13, une épaisseur moyenne de 0,23 cm avec un écart-type de 0,15 et un diamètre de la perforation moyen de 0,22 cm avec un écart-type de 0,07 (**fig. 230, fig. 231**).

Tout comme pour les lots de perles discoïdales précédemment étudiées, le diamètre de la perforation semble être la variable la plus homogène, tandis que l'épaisseur est beaucoup plus hétérogène.

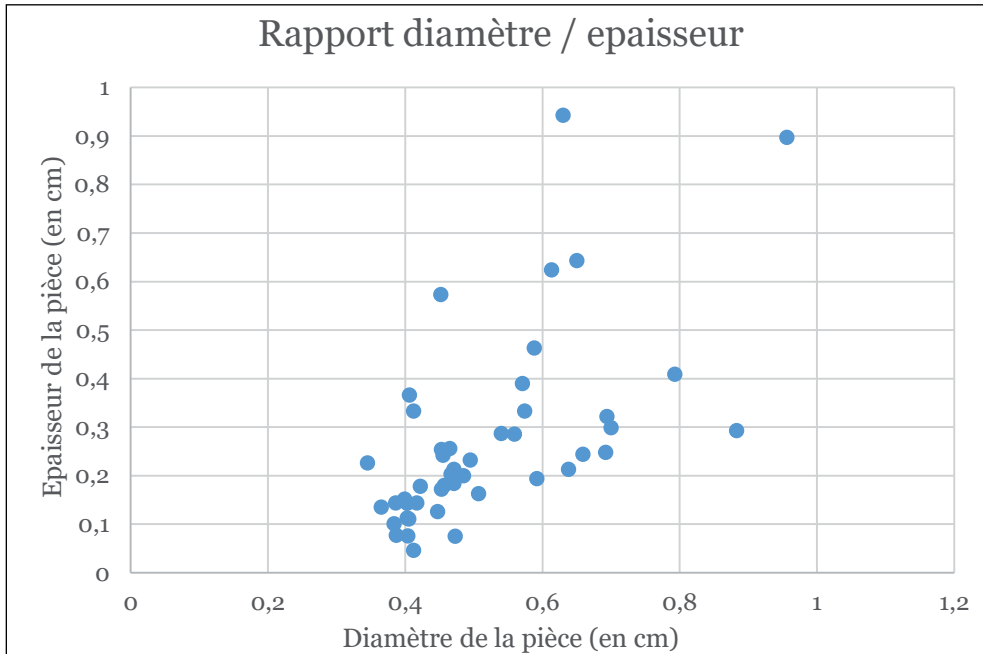


fig. 230 - graphique du rapport entre le diamètre et l'épaisseur des perles hétérogènes

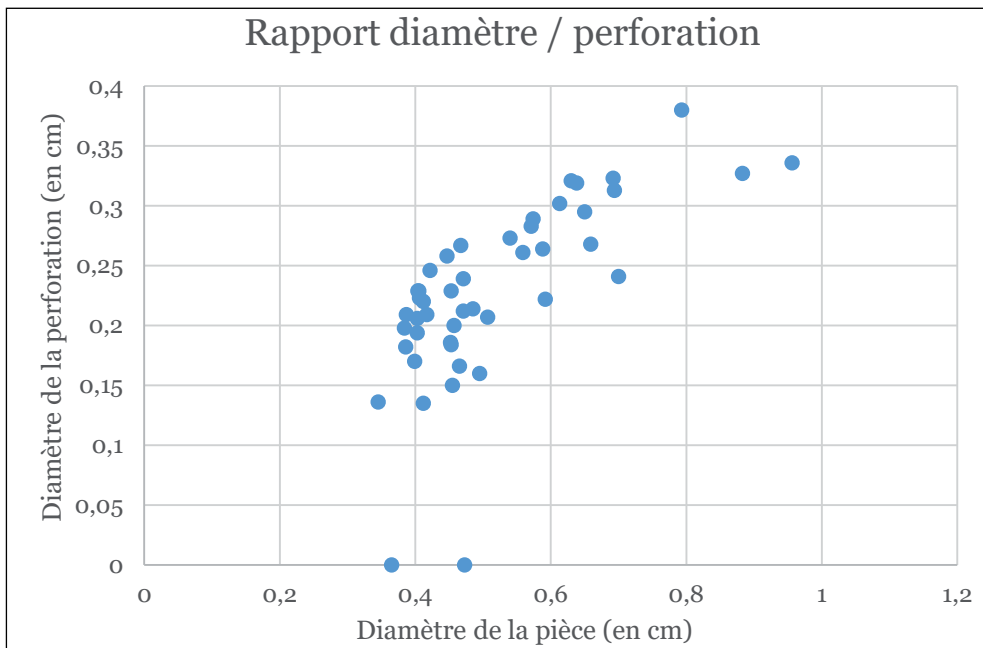


fig. 231 - graphique du rapport entre le diamètre de la perle et le diamètre de la perforation des perles hétérogènes

### L'outillage

Au sein de l'US 6266, plusieurs fragments de silex ont été découverts ainsi que des fragments de pierre. Certains fragments de silex peuvent faire penser à des forets cassés. Malheureusement leur étude n'a pas encore été réalisée.

Dans l'US 6130, une pierre à rainures (6130-003) a été mise au jour. En l'absence d'une étude approfondie, la fonction et/ou le lien avec les lots de perles n'est pas avéré.

## 5.2. La maison 2

Cette unité d'habitation partiellement mise au jour<sup>58</sup> n'a fourni que quelques éléments de parure. Deux perles discoïdales en pierre (603012-019 et 604001-021) (**fig. 232**) et un fragment d'anneau en spondyle (603014-018) ont été découverts en surface de ce secteur. Un second fragment d'anneau en spondyle a été trouvé dans la couche de destruction (603100-007).

En lien avec le four/foyer 6-203, on note la découverte d'une perle discoïdale en cuivre (604023-016) (**fig. 233**). En partie fracturé, cet exemplaire en métal est d'une morphologie inédite sur le site. En effet, les autres perles en métal se compose de feuilles de métal repliées et non d'un anneau discoïdal comme pour cette perle (**Cf. fig. 166, page 144**).

Hormis la présence d'une perle en cuivre, les rares éléments issus de la maison 2 correspondent aux découvertes des autres secteurs.



*fig. 232 - la perle  
603012-019, 2:1*



*fig. 233 - la perle  
604023-016, 2:1*

---

<sup>58</sup> Koukouli-Chryssanthaki *et al.* 2020, p. 309-313.

### 5.3. La maison 3

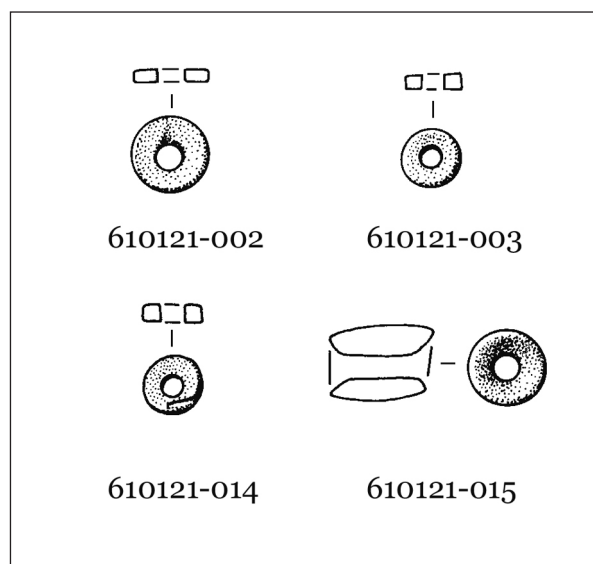
Lors du deuxième programme de fouille, l'équipe grecque a mis au jour quelques pièces de parure au sein de la maison 3<sup>59</sup>. Cette habitation se situe à l'est du secteur 6, entre les maisons 4 et 5. Les vestiges de cette maison sont moins bien conservés que ceux des maisons 1 et 4, car plusieurs fosses du Bronze Ancien et des terriers ont fortement perturbé le niveau. Les objets ont été découverts soit dans la couche de destruction du Néolithique Récent II, soit dans le remplissage de fosses plus récentes.

Vingt objets de parure ont été découverts au sein de cette maison, ou dans ses environs immédiats, et datés du Néolithique Récent II. On compte un fragment d'anneau en spondyle, six pendentifs et treize perles. Un seul regroupement a pu être noté dans cette unité d'habitation : il s'agit de quatre perles.

#### 5.3.1. Le lot de perles en pierre 610121

Un lot de quatre perles (610121-002, 610121-003, 610121-014, 610121-015) a été découvert dans la fosse 6-307. Les trois premières sont discoïdales tandis que la dernière est tubulaire (*fig. 234*).

Les perles discoïdales de cette maison ont une morphologie assez homogène avec un diamètre moyen de 0,42 cm et un écart-type de 0,05. Leur épaisseur est de 0,14 cm en moyenne pour un écart-type de 0,02. Les perforations mesurent en moyenne 0,16 cm pour un écart-type de 0,04.



*fig. 234 - les perles 610121-002, 610121-003, 610121-014, 610121-015, 2:1, dessin I. Vasjov*

<sup>59</sup> Koukouli-Chryssanthaki *et al.* 2020, p. 331-355.

### 5.3.2. Les autres perles

En dehors du lot 610121, neuf autres perles ont été découvertes. Elles sont toutes discoïdales, sauf la perle 606131-048 qui est tubulaire. Les perles sont produites en pierre, sauf les perles 610016-012 et 610198-001, qui sont en terre cuite, et la perle 610015-008, qui est en coquille.

Ces perles présentent des dimensions hétérogènes. Le diamètre moyen de 0,49 cm avec un écart-type de 0,12. Leur épaisseur est de 0,21 cm en moyenne pour un écart-type de 0,14. Les perforations mesurent en moyenne 0,17 cm pour un écart-type de 0,06 (*fig. 235, fig. 236*).

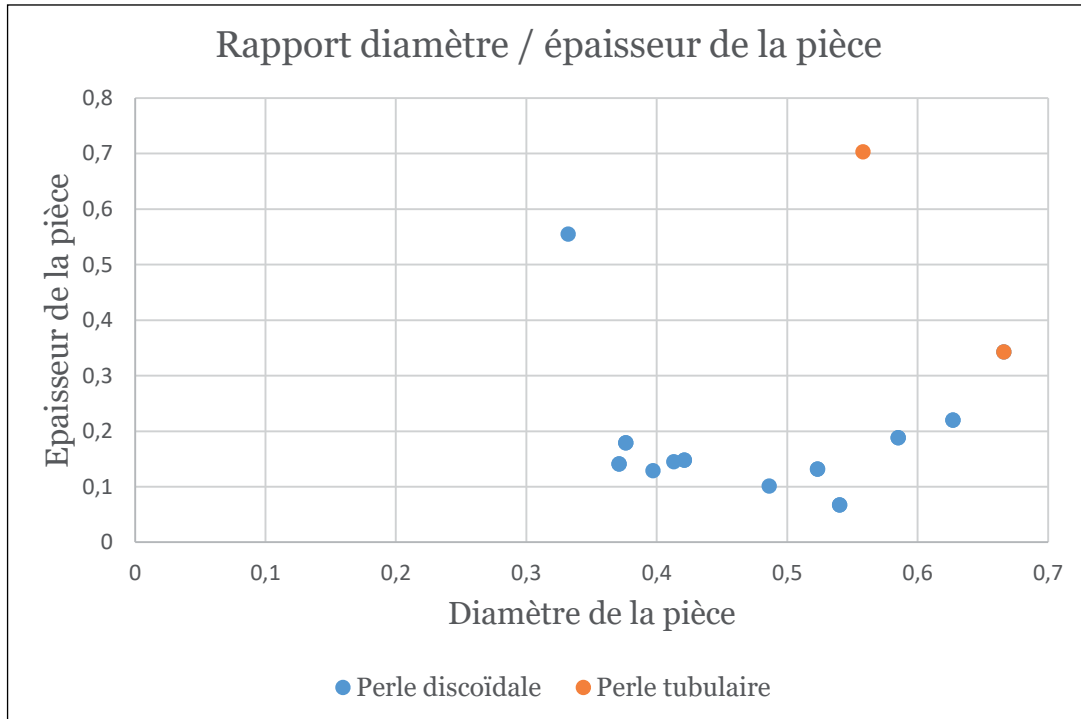


fig. 235 - graphique du rapport entre le diamètre et l'épaisseur des perles de la maison 3

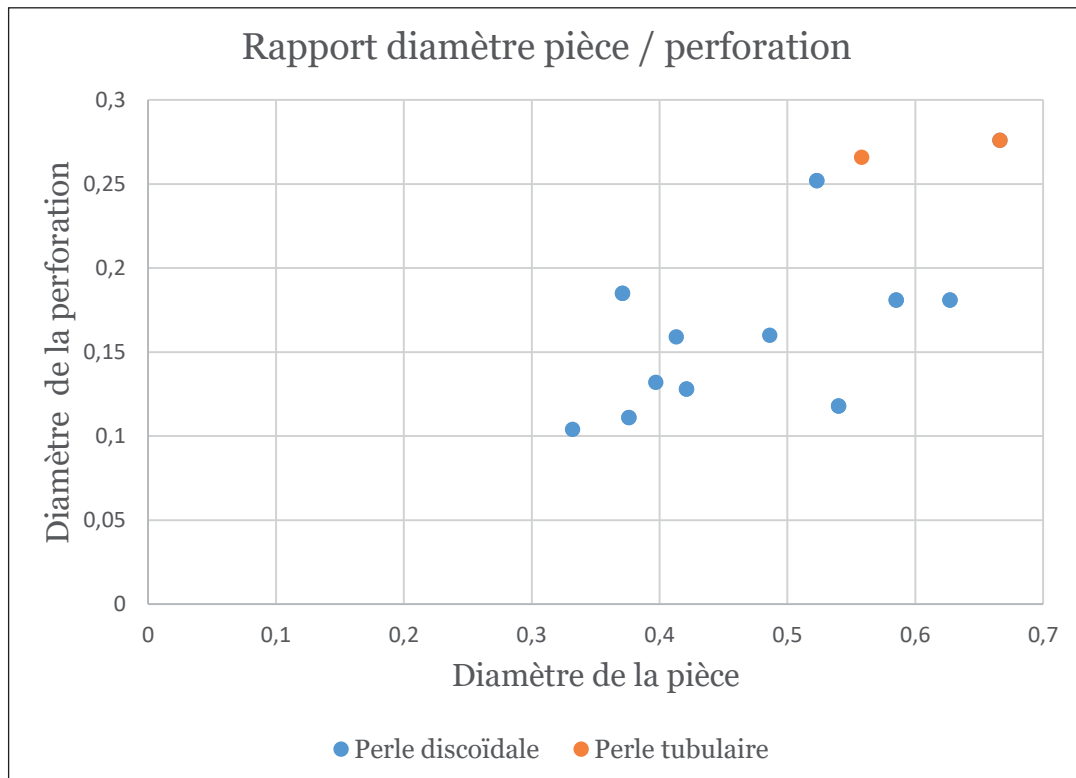


fig. 236 - graphique du rapport entre le diamètre de la pièce et le diamètre de la perforation des perles de la maison 3

### 5.3.3. Les pendentifs

Sur les six pendentifs, deux sont fabriqués avec des coquilles simplement percées et deux autres sont en pierre. Les pendentifs en pierre ont une morphologie unique, puisque le pendentif 610089-006 (**fig. 237**) est de forme ovale et présente trois perforations : une conique, une cassée et une en cours de fabrication. Ces éléments peuvent faire penser à un pendentif en cours de fabrication ou à un galet utilisé à des fins d'apprentissage de la perforation.

Le deuxième pendentif en pierre de cette maison 605092-001 est très fragmentaire et possède une unique perforation. Sa morphologie n'est pas connue en raison de son état de conservation (**fig. 238**).



*fig. 237 - le pendentif 610089-006, 1:1*



*fig. 238 - le pendentif 605092-001, 2:1*

### 5.3.4. L'outillage

Dans la même US que les perles discoïdales, on note la présence d'une lame en silex (610121-016) (**fig. 239**).



*fig. 239 - la lame en silex 610121-016, 1:1*

## 5.4. La maison 4

Cette unité d'habitation se situe le plus à l'est du secteur 6. Elle se compose de trois pièces (A, B et C) délimités par deux murs de refend. Les objets de parure ont été découverts en grande majorité dans la pièce A, mais quelques éléments sont issus des pièces B et C, ainsi que de la zone extérieure au sud-est de la maison 4<sup>60</sup>.

### La pièce A

Vingt-et-une pièces de parure ont été découvertes dans cette pièce en deux lots principaux situés à proximité immédiate l'un de l'autre. Ces deux ensembles se situent vers le centre de la pièce entre le four 6-403 et un amas d'objets 6-436 découverts sur le sol.

Le premier lot, issu de l'US 611079, se compose de huit pendentifs : sept en coquilles simplement percées et un en pierre de forme rectangulaire. Les pendentifs en coquille (611079-010, 611079-012 à 611079-015, 611079-017 et 611079-018) sont produits à partir de *Glycymeris sp.* et de *Cerastoderma Edule* (**fig. 240**).



fig. 240 - le lot de pendentifs de l'US 611079

Le pendentif en pierre (611079-001) (**fig. 241**) est de forme rectangulaire et présente une surface polie. Cette pièce est en partie fracturée. On peut noter la proximité immédiate, également sur le niveau de sol, d'un autre pendentif rectangulaire en pierre de même morphologie (611113-001) (**fig. 242**).

---

60 Koukouli-Chryssanthaki *et al.* 2020, p. 355-391.

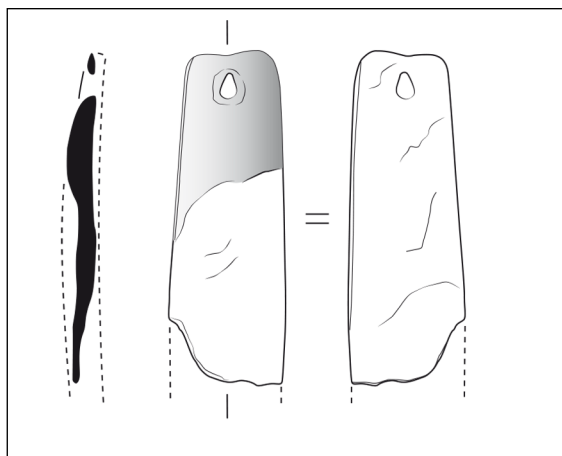


fig. 241 - le pendentif 611079-001, 1:1



fig. 242 - le pendentif 611113-001, 1:1

Le deuxième lot, issu de l'US 611083, se compose de cinq perles en pierre discoïdales et d'un pendentif en coquille simplement percée (**fig. 243**). Les perles sont très homogènes avec un diamètre moyen de 0,43 cm avec un écart-type de 0,06, une épaisseur moyenne de 0,15 cm avec un écart-type de 0,10 et un diamètre de la perforation moyen de 0,16 cm avec un écart-type de 0,02.

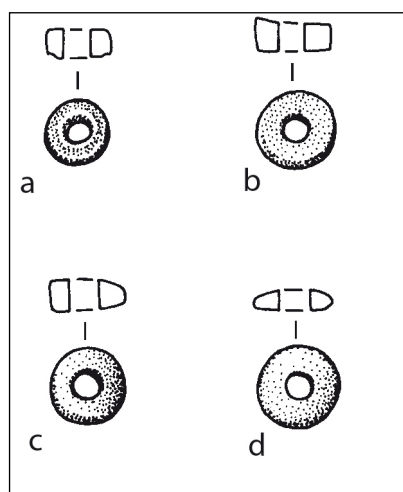


fig. 243 - les perles 611083, a = 611083-021, b = 611083-022, c = 611083-024, d = 611083-025, 2:1

Les autres objets de la pièce A ont été découverts dans la couche de destruction de cette pièce<sup>61</sup> et sont répartis sur toute la surface de cette zone. On compte un fragment d'anneau en spondyle (607068-001), trois pendentifs fabriqués dans des coquilles simplement percées (611006-001, 611019-001 et 611028-001), un pendentif en pierre de morphologie irrégulière (609047-001) et une perle en pierre (611003-005) de couleur foncée. Cette dernière présente des dimensions plus importantes que celles du lot 611083 et une morphologie discoïdale avec un épaissement de l'épaisseur au niveau de la perforation.

<sup>61</sup> Sauf pour le pendentif 609047-001 découvert sur la plateforme 6-413.

## La pièce B

Seuls deux éléments de parure ont été découverts dans cette pièce : un fragment d'anneau en spondyle (608007-016) et un pendentif en spondyle (606001-001). Ce dernier (**fig. 244**) présente une morphologie originale en étoile à quatre branches, sans perforation visible. Une partie de ce pendentif est cassé, ce qui peut expliquer l'absence de perforation.



*fig. 244 - le pendentif 606001-001, 1:1*

## La pièce C

Deux pendentifs, fabriqués dans des coquilles simplement percées, ont été découverts dans cette pièce. Le premier (608093-003) a été mis au jour sur le niveau de sol, tandis que l'objet 611072-013 est issue de la couche de destruction.

## Les abords de la maison 4

Au sud-est de la maison, trois objets de parure ont été découverts : deux pendentifs fabriqués dans des coquilles simplement percées (609050-001 et 609050-002) et un exemplaire de parure tubulaire en os (609030-002) (**fig. 245**) interprété comme un élément de fabrication de perles discoïdales. Découvert dans la couche de destruction au sud-est de la pièce A, cet objet est unique sur l'ensemble du site. Seule une pièce identique en terre cuite a été découverte dans la maison 1 (située à l'ouest du secteur 6).



*fig. 245 - le cylindre rainuré 609030-002, 2:1*

## L'outillage

À proximité immédiate du tube rainuré 609030-002, on note la présence d'une lame en silex 609030-001 (**fig. 246**) pouvant être rattachée à la chaîne opératoire de fabrication de perles.



*fig. 246 - la lame en silex  
609030-001, 1:1*

## 5.5. La maison 5

Cette unité d'habitation se situe au centre du secteur 6, près de sa limite nord. Quelques rares objets ont pu être attribués avec certitude à cette maison. On compte un pendentif en coquille simplement percée (600141-D067), un astragale (600158-001), une perle discoïdale en pierre (606116-001) et une applique en dent de suidé (600141-D087)<sup>62</sup>.

A proximité de la maison 5, on note également la présence d'un pendentif en pierre verte de forme géométrique en crochet 600149-D093. Sa forme tout comme le matériau employé en font un objet unique sur le site (**fig. 247**). On compte également deux astragales (**fig. 248**) et un fragment d'anneau.

Leur dispersion assez large ne permet pas d'établir de rapprochement entre ces éléments.



*fig. 247 - le pendentif 600149-D093, 1:1*



*fig. 248 - le pendentif en astragale 603031-006, 1:1*

---

<sup>62</sup> Koukouli-Chryssanthaki *et al.* 2020, p. 313-326; l'applique est illustrée p. 317, fig. 6-119, b.

## 5.6. Le corpus de parure du secteur 6

Le mobilier de parure mis au jour dans le niveau 6-5 (Néolithique Récent II) est très riche. Trois cas de figures ont pu être repérés : un important regroupement de pièces finies non portées, des pièces de parure portées et du mobilier épars et souvent fragmentaire.

### Des stocks de parure ...

Les différentes pièces de parure, découvertes dans la maison 1 du secteur 6 (groupes nord et sud), font partie d'une production uniforme mais variée. En effet, on note d'une part, une variété en terme de matériaux, de quantités et de types entre les deux groupes, mais aussi au sein des deux groupes, et d'autre part, une grande similitude morphologique au sein de chaque type de parure. On notera par exemple le cas des perles discoïdales qui présentent une variété de matériaux, entre les perles en pierre au nord et les perles en terre cuite au sud, mais aussi une homogénéité dans leur morphologie.

Ce stock issu de la maison 1 présente également un caractère unique au sein du site, puisque les deux seuls autres regroupements de pièces de parure, situés en V/Est pour le secteur V et dans la maison 4 pour le secteur 6, ne présentent comparativement qu'une faible quantité d'objets. Dès lors on peut assimiler ces regroupements à un ou des stocks d'objets. En effet si l'on compare les quantités de pièces découvertes dans la maison 1 avec celles découvertes sur le reste du site, les centaines de perles discoïdales composant les colliers de la maison 1 sont largement plus nombreuses que les dizaines de perles composant les colliers découverts sur le reste du site. Que ce soit les centaines d'appliques ou les dizaines de pendentifs pyramidaux, ces objets ne semblent pas agencés pour être portés, mais paraissent appartenir à un stock d'objets en vrac. On peut également noter l'absence de pendentifs en coquilles simplement percées, pourtant assez courants dans les autres ensembles du site et faisant partie du trio habituel d'objets de parure (perles, anneaux et pendentifs).

L'étude de ces objets de parure indique une production très avancée, mais non achevée. La quantité et la qualité des pièces découvertes inciteraient à y voir un stock de pièces finies en attente d'utilisation. Cependant on remarque que dans le lot d'anneaux en spondyle, un exemplaire peut être considéré comme en cours de fabrication. De même, parmi les très nombreuses appliques achevées, quelques exemplaires ne présentent aucune perforation malgré leur morphologie conforme à celles des autres pièces.

Les quelques objets associés à ces ensembles de parure indiquent la présence d'un atelier sur le site. La découverte d'éléments de matière première non travaillés (dent de suidé, élément tubulaire en terre cuite) et de potentiels outils (forets en cuivre et en silex) plaident en faveur de l'existence d'un atelier. Cependant, l'absence de témoins directs d'une telle activité (déchets de fabrication, outils) au sein de la maison 1 ou dans ses abords immédiats nous laisse supposer soit que la fabrication de ces pièces de parure s'est produite dans un espace qui n'a pas été fouillé, soit que l'espace en question, s'il se trouve dans les zones fouillées, a été parfaitement nettoyé.

Toutes ces informations nous indiquent que les deux regroupements de pièces de parure mises au jour dans la maison 1 correspondraient à une production issue d'un groupe restreint de personnes (grande

homogénéité des pièces) qui maîtrisent plusieurs chaînes opératoires (variété des types de parure). On peut se demander si l'organisation de la production repose sur une certaine polyvalence des intervenants ou sur une spécialisation et, dans ce dernier cas, si la spécialisation correspond à une ou plusieurs étapes des chaînes opératoires ou à une maîtrise particulière d'un matériau.

Les deux lots d'objets découverts au sein de la maison 1 ont été stockés dans des contenants périssables, très probablement rangés en hauteur. Ces deux lots entrent-ils dans un même stock d'objets ou sont-ils destinés à être dissociés, voire remodelés ? En effet, la présence de quelques pièces non finies, mais aussi des dents de suidé entières, nous indique que la production de ce corpus n'était pas finalisée. Cette production de parure, très bien avancée mais non terminée, correspond vraisemblablement à des stocks d'objets et non à une zone de production en elle-même. L'emplacement de cet atelier n'a pas pu être identifié sur le site, mais la présence d'outils et de matière première confirme sa présence sur le tell.

Ce type d'activité a-t-il pu prendre place au sein des maisons du niveau 6-5 ou dans des aires spécialement dédiées ? Dans la publication, les fouilleurs ont mis l'accent sur le « *caractère résolument domestique* »<sup>63</sup> de ces maisons et ont souligné qu'on y trouve tous les aménagements (fours, plates-formes) et le mobilier nécessaires à la vie quotidienne d'une cellule familiale. C'est pourquoi il n'est pas facile de qualifier les activités qui, dans ces maisons, semblent sortir de l'ordinaire, par exemple la vinification, la décoration de vases ou la fabrication de parure attestées dans la maison 1. La notion même « d'ordinaire » reste impossible à établir, car nos connaissances sur l'habitat de la fin du Néolithique Récent II à Dikili Tash sont encore très pauvres : nous n'avons que ces cinq maisons très inégalement conservées. Il en faudrait au moins 4 ou 5 fois davantage, strictement contemporaines, pour voir se dessiner des constantes et des variables qui ne soient pas dues au hasard des fouilles et de la conservation des vestiges.

Enfin, il est intéressant de se poser la question de la finalité de ces ensembles de pièces issus de la maison 1 : s'agit-il d'un stock personnel, familial ou communautaire, ou d'un stock en prévision d'un échange ? Dans ce cas quels seraient ses destinataires ?

### **Des vestiges de parure personnelle...**

Le mobilier mis au jour dans la maison 4 a été découvert sur le niveau de sol et présente également plusieurs regroupements d'objets, mais en quantité bien moindre que dans la maison 1. Deux colliers peuvent être restitués dans cette maison : le lot 611083 (5 perles et 1 pendentif) et le lot 611079 (8/9 pendentifs). Si l'on ajoute les quelques autres objets de parure découverts dans cette maison, on peut estimer que ces pièces correspondent aux objets de parure présents dans l'habitation au moment de sa destruction et pourraient représenter des pièces de parure personnelles. La présence à proximité de cette maison d'un tube rainuré, pouvant entrer dans une chaîne de production, pose cependant la question de l'existence d'éléments liés à la fabrication de la parure dans ce secteur. La production de parure peut-elle alors s'envisager dans un cadre familial, comme une activité annexe ou non aux activités dites « domestiques » et répartie en divers endroits du tell ?

---

<sup>63</sup> Koukouli-Chryssanthaki *et al.* 2020, p. 393.

### **Du mobilier épars ...**

Le mobilier mis au jour dans les maisons 2, 3, et 5 montre des pièces moins nombreuses, plus fragmentaires et réparties sur de plus larges zones. Les quelques regroupements qui ont pu être perçus ne concernent au mieux qu'une dizaine de pièces, le plus souvent des perles et/ou des pendentifs en coquilles simplement percées. Ces vestiges, issus de la couche de destruction ou du remplissage de fosses postérieures, correspondent à des objets perdus par leur(s) propriétaire(s) ou issus de lots plus importants, disloqués durant les interventions postérieures à la destruction des maisons.

## 6. L'évolution du corpus de parure de Dikili Tash au cours du Néolithique Récent

### Les perles discoïdales

Nous étudierons ici uniquement les perles discoïdales issues de l'ensemble des secteurs fouillés à Dikili Tash afin de prendre en considération un même type d'objets.

Ce mobilier de parure montre une évolution à travers le Néolithique Récent. Lorsque l'on compare les différents lots de perles au cours du temps on remarque des différences dans la morphologie de ces perles.

Ainsi au Néolithique Récent I (Secteur B2, niveaux VE/3, VO/1 et VO/3), les perles présentent des dimensions assez hétérogènes aussi bien dans leur diamètre que de leur épaisseur. On peut cependant remarquer que le faible nombre de perles datées du NR I (moins d'une vingtaine) ne permet pas d'être affirmatif. D'autres lots datés de la même période seront indispensables pour établir avec certitude une tendance dans la morphologie de ces perles. On fera remarquer que la fabrication de ces perles peut être réalisée aussi bien dans de la coquille que dans de la pierre blanche. Il semblerait que le matériau ne soit choisi que pour sa couleur.

Au début du Néolithique Récent II (Secteur VE/1), les perles présentent encore une morphologie hétérogène et des dimensions (diamètre et épaisseur) plus importantes que durant la période précédente. La variabilité de ces pièces reste assez importante. De même, la pierre comme la coquille sont utilisées conjointement dans un même collier.

À la fin du Néolithique Récent II (Secteur 6), les perles se répartissent en deux groupes distincts : d'un côté, les perles issues du locus 6-096 qui présentent une homogénéité importante mais également des dimensions plus petites que durant la période précédente, et d'un autre côté un groupe de perles plus hétérogènes issues des locus 6-103 et 6-124 et de l'US 6266 qui présentent des dimensions plus importantes et plus variées. Les lots morphologiquement homogènes présentent également une homogénéité dans les matériaux employés contrairement à la période précédente. Dans le même ordre d'idée, le lot morphologiquement hétérogène présente une plus grande variété de matériaux employés. On peut se demander si l'existence de ces deux groupes traduit des choix délibérés de formes variées et si elle reflète, dès lors, une maîtrise différenciée dans la production, peut-être par des personnes ou des groupes de personnes différentes, ou au contraire une polyvalence d'un ou de plusieurs individus.

Cette étude diachronique indique que la production des perles discoïdales évolue vers une standardisation des formes avec une tendance à des pièces de plus en plus petites et moins épaisses (par ex. les lots des US 6266, 6344 et 6364) (**fig. 249, page 195**). Cette standardisation est le reflet d'une meilleure maîtrise de la chaîne opératoire, car cette homogénéité des pièces se retrouve dans des lots composés de plusieurs centaines de pièces.

Globalement, toutes périodes confondues, on remarque que l'épaisseur est la variable la moins bien maîtrisée, même si, là encore, on note une réelle amélioration dans l'obtention de cette épaisseur à la fin du Néolithique Récent II. Dans la même optique, on remarque que la perforation semble être la variable la mieux maîtrisée, d'autant plus à la fin du Néolithique Récent II (**fig. 250, page 195**). Enfin, on remarque que ces informations sont valables aussi bien pour la pierre, la coquille ou encore la terre cuite. Cette maîtrise dans la fabrication des perles est valable quel que soit le matériau choisi.

### **Les perles en dentale**

Ce type de perles n'est pas très courant sur le site, puisque l'on en compte seulement vingt. L'utilisation de cette coquille pour la confection de perles débute dès le Néolithique Récent I, avec notamment plusieurs éléments de débitage (secteur VE/3) et perdure probablement au début du Néolithique Récent II. Bien que l'on note quelques pièces dans le niveau 6-5, ce type de parure ne semble plus être courant à la fin du Néolithique Récent II. Le caractère très simple de la mise en œuvre de ce type de parure pourrait expliquer l'abandon de ces perles en dentale à la fin du Néolithique Récent. En effet, cette parure, connue dès le Mésolithique, ne correspond peut-être plus aux canons esthétiques de la fin de la période néolithique.

### **Les perles en métal**

Ce type de parure est extrêmement rare sur le site. On ne compte que des perles en or et en cuivre. Hormis une perle en cuivre datée du Néolithique Récent I, l'ensemble des perles métalliques sont issues très largement d'un niveau de la fin du Néolithique Récent II. Cependant étant donné le peu de pièces découvertes, il n'est pas possible d'en déduire une tendance réelle.

### **Les anneaux en spondyle**

La catégorie des anneaux ne semble pas évoluer au cours du Néolithique Récent : les quelques anneaux attribués au Néolithique Récent I ne diffèrent pas de ceux mis au jour dans les niveaux du Néolithique Récent II. Si l'on exclut les pièces découvertes dans le stock de la maison 1, les anneaux sont tout autant représentés au début qu'à la fin du Néolithique Récent II.

Ils sont très largement mis au jour fragmentaires, sauf dans le cas de la maison 1 du secteur 6. Les pièces complètes n'ont été découvertes que dans des niveaux du Néolithique Récent II, il n'est donc pas possible d'en déduire une évolution dans la taille de ces pièces au cours de la période.

On note que le secteur B2 regroupe le maximum de pièces, tandis que les objets issus du secteur 5 sont le plus souvent découverts dans des niveaux non datés (par ex. en surface). Cette catégorie d'objets apparaît donc comme peu évolutive, ce fait s'expliquant peut-être par des variables fixes : une matière première qui n'évolue pas et une technique de fabrication qui perdure tout au long du Néolithique Récent.

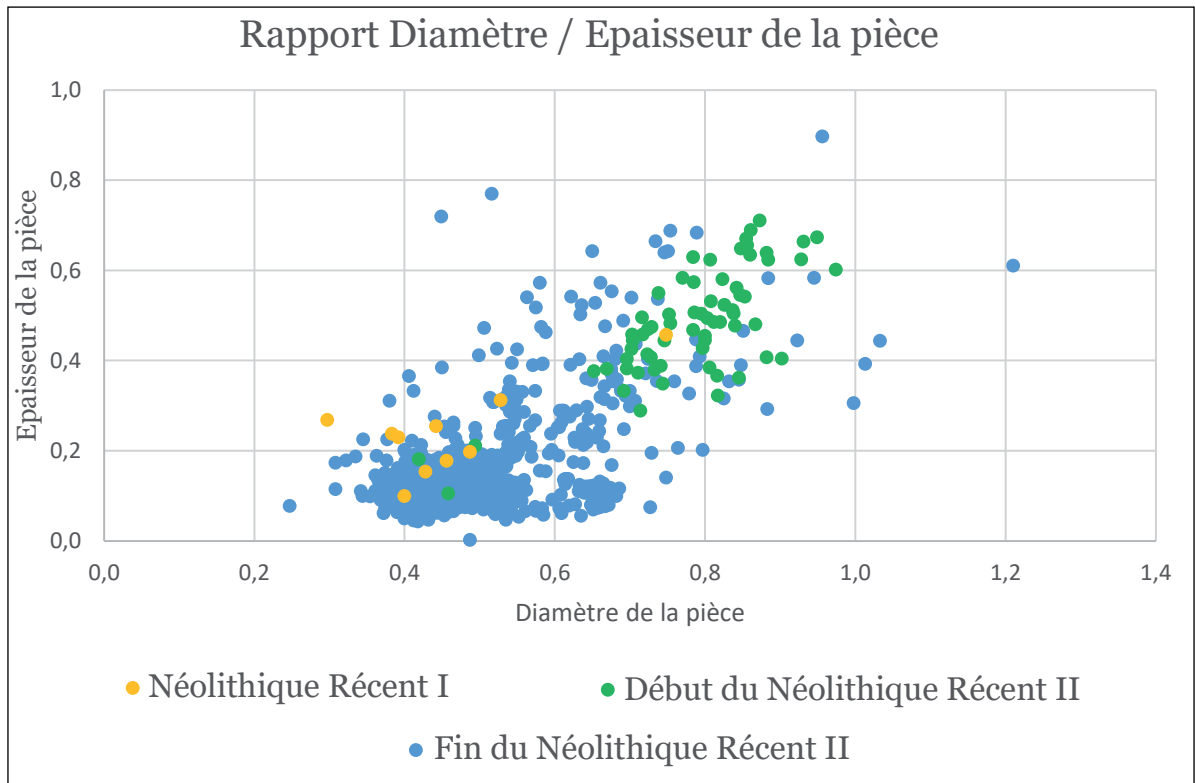


fig. 249 - graphique du rapport entre le diamètre et l'épaisseur des perles du site selon leur datation

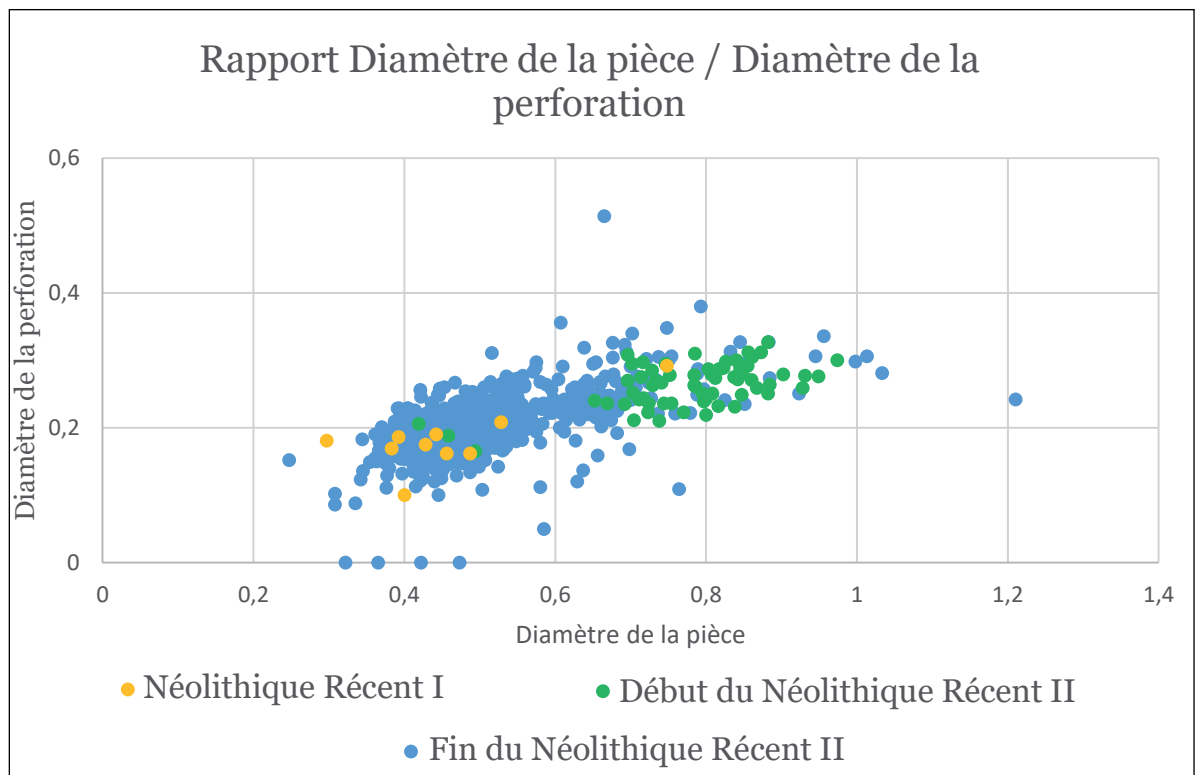


fig. 250 - graphique du rapport entre le diamètre de la pièce et le diamètre de la perforation des perles du site selon leur datation

### **Les appliques**

Cette catégorie d'objets n'apparaît qu'au Néolithique Récent II. L'étude des pièces mises au jour montre une évolution dans la morphologie. Au début du Néolithique Récent II (Secteur B2 et VE/1), les appliques ont des dimensions importantes, en moyenne 8 cm de long, et certaines présentent deux perforations sur un même côté. À la fin du Néolithique Récent II, les appliques (secteur 6, niveau 6-5) présentent une morphologie nettement plus petite, en moyenne 5 cm de long et la majorité des pièces ne possèdent qu'une seule perforation par côté. Seule exception, l'applique 600141-D087 d'une morphologie plus proche des pièces du début du Néolithique Récent II, mais issue d'un niveau de la fin du Néolithique Récent II. On ne peut établir si cette évolution dans la morphologie est due à des choix esthétiques ou à une évolution dans la chaîne opératoire permettant de réaliser des pièces plus petites.

### **Les pendentifs**

Les pendentifs fabriqués à partir de coquilles simplement percées sont parmi les objets de parure les plus courants du site. Aucune évolution particulière n'a pu être noté au cours du Néolithique Récent. Les espèces utilisées restent identiques (*Cerastoderma Edule* et *Glycymeris Sp.* en large majorité), de même que leurs modalités de fabrication. Leur répartition est équivalente sur l'ensemble des secteurs fouillés du tell. On notera cependant leur absence quasi-totale des stocks de parure de la maison 1, seuls deux exemplaires ayant été découverts à proximité. Ce fait pourrait indiquer soit qu'il s'agit de biens moins précieux et donc non stockés dans la maison ; soit que ces objets de parure n'avaient pas encore été produits au moment de la destruction du stock; soit qu'ils n'étaient pas destinés à être produits dans le cadre de ce stock.

## Bilan

L'étude des objets de parure du site de Dikili Tash montre aussi bien des continuités que des ruptures dans la composition du corpus durant le Néolithique Récent.

Au Néolithique Récent I, on rencontre une triade d'objets constituée d'anneaux en spondyle, de pendentifs en coquilles simplement percées et de perles. Les deux premières catégories sont issues de coquillages et sont mises en œuvre selon des techniques peu élaborées. La catégorie des perles se compose de perles tubulaires en dentale et de perles discoïdales fabriquées aussi bien en pierre qu'en coquille, sans distinction particulière. La fabrication des perles en dentale est, tout comme pour les anneaux et les pendentifs, assez aisée. La chaîne opératoire des perles discoïdales est plus complexe que celles des autres catégories et les objets présentent des dimensions plus importantes que durant les périodes suivantes et une plus grande variabilité des dimensions. Trois pièces se démarquent de ce corpus tripartite : trois pendentifs de forme géométrique en néphrite et en spondyle. Il s'agit clairement de pièces uniques dont le caractère exceptionnel interroge sur leur nature : objets issus d'un commerce ou travail marginal d'un habitant du tell maîtrisant plus de savoir-faire ?

Au début du Néolithique Récent II, on note un maintien des trois principales catégories de pièces : les anneaux en spondyle, les pendentifs en coquilles simplement percées et les perles. Que ce soit en nombre ou en qualité, ces types d'objets restent constants. Seule nouveauté pour cette période, la fabrication d'appliques en dent de suidé. Ces dernières sont peu nombreuses comparativement aux autres objets de parure, mais présentent une assez bonne homogénéité dans leurs dimensions.

À la fin du Néolithique Récent II, on remarque un maintien des anneaux en spondyle et des pendentifs en coquilles simplement percées en terme de qualité et de quantité. Le changement dans le corpus s'amorce pour les catégories des perles et des appliques. Dans les deux cas, ces objets sont présents en quantités bien plus importantes, bien que la découverte des deux lots d'objets (maison 1) soit en grande partie responsable de cette surreprésentation. Leur morphologie aussi évolue vers des pièces plus homogènes que pour les périodes précédentes, ce qui indique une plus grande maîtrise des chaînes opératoires. Même la présence d'un groupe de pièces hétérogènes (US 6266) dans la maison 1 confirme la très bonne maîtrise des fabricants, puisqu'il ne s'agit pas de pièces mal maîtrisées, mais bien de pièces finies de bonne qualité et correspondant peut-être à une commande spéciale. Les fabricants de ces objets ont su créer des pièces spéciales en adaptant leurs chaînes opératoires. Cette période voit aussi l'apparition de pendentifs de forme pyramidale issus d'un des stocks de la maison 1, type de parure absent de tous les autres secteurs du tell.

Ainsi l'étude du corpus de parure de Dikili Tash nous indique que, bien qu'ils maîtrisent parfaitement la production de trois catégories de pièces (anneaux, pendentifs et perles), les habitants du site ont su faire progresser leur savoir-faire avec la création de nouveaux types d'objets (appliques en dent de suidé, pendentifs pyramidaux). On remarque une réelle amélioration dans les chaînes opératoires menant à une grande standardisation des pièces. Il est vraisemblable que nous ayons affaire à un ou des artisans dont c'est probablement l'activité principale. Ces individus s'améliorent au fur et à mesure en apprenant

de leurs prédécesseurs. Il est cependant possible que certaines pièces demandant moins de maîtrise aient pu être produites totalement ou partiellement par d'autres individus dont la confection de parure n'est pas l'activité principale.

L'étude des chaînes opératoires montre que ces activités ne requièrent pas d'aménagement particulier et peuvent être mises en œuvre dans n'importe quel espace du site. De plus, les outils nécessaires sont peu nombreux et peu encombrants. Ce fait peut expliquer l'absence d'atelier reconnu. Néanmoins, nous ferons remarquer qu'une grande partie du tell n'est pas fouillée et peut par conséquent receler un ou des ateliers de confection de parure.

# Chapitre 6 - Comparaisons régionales

Afin de mieux comprendre le corpus de parure de Dikili Tash et plus particulièrement l'important lot de pièces variées découvertes au sein de la maison 1, il est nécessaire de le comparer aux découvertes faites sur des sites contemporains au sein de l'aire égéo-balkanique (*Cf. fig. 1, page 14*). Le choix de cette zone s'explique par les liens existants dans la culture matérielle (céramique, industrie lithique, etc.) mais également dans la construction ou l'aménagement de l'habitat.

Cette comparaison ne se veut pas exhaustive mais aura pour but de mieux comprendre la finalité des éléments de parure découverts à Dikili Tash, ainsi que d'émettre des hypothèses quant à leurs modalités de circulation et d'utilisation.

## 1. Les cylindres rainurés

### Corpus de Dikili Tash

- Deux cylindres rainurés, un en terre cuite et un en os.

Les deux cylindres rainurés découverts à Dikili Tash trouvent plusieurs parallèles sur des sites néolithiques grecs. Le site voisin de Sitagroi a fourni deux exemplaires en pierre et un exemplaire en terre cuite<sup>1</sup>, tandis que le site de Dimitra possède un exemplaire en terre cuite, deux en os et vingt en pierre<sup>2</sup>. Leurs dimensions, ainsi que le nombre de rainures, rappellent les objets de Dikili Tash, bien que l'on note plus de disparité dans les dimensions des objets du site de Dimitra.

Le site de Dispilio a lui aussi fourni treize exemplaires de ces cylindres rainurés en terre cuite. Leur morphologie est assez variable de même que leur couleur<sup>3</sup> (*fig. 251*).

Sur le site de Servia, deux objets cylindriques en terre cuite présentent une rainure sur leur pourtour et pourraient être rapprochés des exemples de Dikili Tash, bien que ces pièces soient datées du Bronze Ancien<sup>4</sup>.

Ce type de pièces ne semble pas avoir été découvert en Thessalie d'après les recherches effectuées par N. Kyparissi-Apostolika<sup>5</sup>.

Dans les Balkans, ce type d'objet ne semble pas être connu. M. Budja présente dans une publication le cas de deux cylindres rainurés en terre cuite, issus du site de Drulovka (Slovénie), qu'il assimile à des

1 Nikolaidou 2003a, p. 345, fig. 9.16, 9.17.

2 Karali-Yannacopoulou 1997, p. 207, pl. 35, 36, 39.

3 Ifantidis 2019, p. 175-176, pl. 40.1.

4 Mould, Riley, Wardle, 2000, p. 265.

5 Kyparissi-Apostolika 1998.

« jetons »<sup>6</sup>. Bien que leur morphologie soit plus grossière que celle des cylindres rainurés de Dikili Tash, il s'agit peut-être du même type d'objet. Sur le site d'Ovcarovo (Bulgarie), la découverte d'une ébauche en os présentant une incision peut être rapproché des cylindres de Dikili Tash du point de vue morphologique<sup>7</sup>.



*fig. 251 - Exemple de cylindres en terre cuite issus du site de Dispilio d'après Ifantidis, 2019, pl. 40.1*

## **Bilan**

Il apparaît que ces cylindres rainurés ne sont connus principalement que dans le nord de la Grèce, notamment sur les sites de Dimitra et Dispilio. L'absence de ces pièces dans les riches tombes de Varna pourrait indiquer qu'il s'agit d'un objet peu recherché, contrairement aux nombreuses autres pièces communes à l'aire égéo-balkanique. L'hypothèse selon laquelle ce cylindre ne serait pas un objet de parure en soi, mais une étape dans la fabrication de perles discoïdales expliquerait cette absence hors des centres de production, en particulier dans les nécropoles bulgares. L'autre théorie, selon laquelle ces objets pourraient correspondre à des imitations de colliers de perles discoïdales<sup>8</sup>, pourrait également expliquer leur absence des riches nécropoles balkaniques. En effet, ces objets seraient produits afin de créer plus rapidement et pour moins d'investissement une imitation de colliers composés de plusieurs centaines de perles discoïdales. Il n'est pas évident de trancher en faveur de l'une ou l'autre hypothèse sans étude plus approfondie de ces pièces.

<sup>6</sup> Budja 1998, p. 229, fig. 8.

<sup>7</sup> Zidarov 2014, p. 261, fig. 191.3.

<sup>8</sup> Ifantidis 2019, p. 116.

## 2. Les perles en pierre et/ou coquille

### *Corpus de Dikili Tash*

- 1286 perles en pierre et /ou coquille, majoritairement de forme discoïdale ( $n = 1218$ ), mais aussi tubulaire ( $n = 55$ ), quadrangulaire ( $n = 8$ ) et globulaire ( $n = 5$ ).
- Plusieurs regroupements sous forme de colliers (entre une vingtaine et une quarantaine de perles par collier) ainsi qu'un important lot de 1128 pièces découvertes au sein de la maison 1 (Secteur 6).

### **Du monde égéen ...**

Qu'elles soient produites en pierre ou en coquille, les perles discoïdales sont une catégorie de parure très commune sur les sites néolithiques de l'aire égéo-balkanique. Bien que produite dès le Néolithique Ancien (phase 4) sur le site de Franchthi<sup>9</sup>, cette catégorie de perles est fabriquée en plus grande quantité au Néolithique Récent. Comme elle est présente sur de très nombreux sites, nous ne prendrons comme exemples que les sites les mieux documentés et/ou les plus riches en perles.

En Grèce du Nord, le site de Sitagroi compte 233 pièces (dont 152 en pierre et 81 en coquille) datées du Néolithique Récent (Phase III). Ces pièces montrent une bonne homogénéité d'après M. Nikolaidou<sup>10</sup>.

La parure du site de Dimitra comprend, elle aussi, plusieurs exemplaires de perles discoïdales, nommées « perles anneaux », en coquillage (75 exemplaires, dont 74 en spondyle et une en *Unio Pictorum*), en os (69 exemplaires) et en pierre (108 exemplaires). L'étude de leur morphologie montre une hétérogénéité importante<sup>11</sup>.

Sur le site de Servia, les perles discoïdales sont au nombre de 33, dont 12 en coquille et 21 en pierre. Sur ce site également on note une grande variabilité des dimensions<sup>12</sup>.

Le site de Dispilio a lui aussi fourni un très grand nombre de perles discoïdales. L'auteur de l'étude ne différencie pas les perles en fonction de leur morphologie, mais indique que la forme discoïdale est la plus largement représentée<sup>13</sup>. Ces perles sont fabriquées en très large majorité en pierre, mais des perles en coquille, en os et en terre cuite ont également été mises au jour sur ce site.

Sur ces trois premiers sites, les auteurs font remarquer la difficulté de distinguer le matériau (coquille ou pierre) employé dans la fabrication de ces perles<sup>14</sup>. F. Ifantidis, quant à lui, distingue le type de matériau employé pour quasiment l'ensemble des objets découverts y compris le type de pierre employée<sup>15</sup>. En l'absence d'étude pétrographique, ces analyses sont cependant à considérer avec précaution.

---

9 Miller 1997, p.145.

10 Nikolaidou 2003a, p. 342.

11 Karali 1991, p. 317.

12 Mould, Riley, Wardle, 2000, p. 173, 277.

13 Ifantidis 2019, p.170.

14 Mould, Riley, Wardle, 2000, p. 277.

15 Ifantidis 2019.

En Argolide, le site de Franchthi fournit également un grand nombre de parure dont des perles discoïdales fabriquées dans des coquilles de *Cerastoderma Sp.* Une étude comparative des diamètres de ces perles entre le Néolithique Ancien et le Néolithique Récent indique une plus grande standardisation au Néolithique Récent. Les perles de la phase la plus ancienne possèdent des diamètres allant de 4 à 12 mm, tandis que le diamètre des perles les plus récentes varient entre 2,8 et 4,9 mm<sup>16</sup>. Une nouvelle étude des perles discoïdales datées du Néolithique Ancien a montré que ces dernières se répartissent en deux lots principaux : d'une part des pièces comprises entre 5 et 6 mm et, d'autre part, des pièces comprises entre 9 et 11 mm<sup>17</sup>. Ces études, bien que portant sur un temps plus long que celle menée à Dikili Tash, confirmerait une standardisation plus importante de la fabrication des perles discoïdales au Néolithique Récent comparativement aux périodes plus anciennes. Cette conclusion pourrait être nuancée si l'on considère que les pièces fabriquées au cours du Néolithique ancien font partie d'une production liée à un apprentissage, comme le suggère C. Perlès<sup>18</sup>, ce qui donnerait une production plus hétérogène.

Le travail de N. Kyparissi-Apostolika confirme la présence sur de nombreux sites de Thessalie et dans des collections privées de perles discoïdales fabriquées en pierre et en coquille, très majoritairement, mais aussi quelques-unes en os<sup>19</sup>. Cette étude montre une très grande variabilité des diamètres allant de 0,3 mm à 1,6 mm. L'absence d'études de cas ne nous permet pas de mettre en lumière d'éventuelles standardisations à l'échelle des sites.

La découverte des objets groupés sous forme de colliers a pu être noté sur plusieurs sites. Sur le site de Sitagroi, certaines pièces ont été découvertes en lots, comme, par exemple un collier, constitué de 36 perles discoïdales en pierre et 9 en coquille<sup>20</sup>. A Dimini, un collier constitué de 46 perles discoïdales et de deux perles cylindriques a été mis au jour dans la maison N<sup>21</sup>. On notera cependant la grande hétérogénéité des perles en terme de morphologie et de matériaux employés. Sur le site de Dispilio des assemblages de perles ont été découverts, d'une dizaine à une vingtaine de perles par assemblage, avec un maximum de 57 perles discoïdales en pierre. Ces ensembles montrent une très grande homogénéité des pièces, faisant dire à l'auteur que ces pièces auraient été produites selon la méthode *Heishi* permettant une grande standardisation des objets<sup>22</sup> (**Cf., page 78**).

De tels ensembles de perles discoïdales ont également été mis au jour sur le site de Toumba Kremastis Koiladas, un des rares exemples de crémation connues en Grèce pour la période néolithique. Le mobilier funéraire accompagnant le défunt lors de la crémation comprend notamment plusieurs assemblages de perles en pierre et en coquille (spondyle) de morphologie homogène<sup>23</sup> (**fig. 252**). L'illustration montre un assemblage de plusieurs centaines de perles.

---

16 Miller 1997, p. 155-156.

17 Perlès, Pion 2020, p. 226, Fig. 5.

18 Perlès, Pion 2020.

19 Kyparissi-Apostolika 1998, p. 95-105.

20 Nikolaidou 2003a, p. 342.

21 Kyparissi-Apostolika 1998, Pl. 42 N° 421-466.

22 Ifantidis 2019, p. 176-178.

23 Chondroyianni-Metoki 2020, p. 57, fig. 5.18.



*fig. 252 - Exemple d'un ensemble de perles découvertes sur le site de Toumba Kremasti Koiladas d'après Chondroyianni-Metoki 2020, fig. 5.18*

### **... au monde balkanique**

Dans les Balkans, on retrouve également un grand nombre de perles discoïdales, notamment au sein des nécropoles bulgares de Varna et de Durankulak. Les pièces découvertes dans ces tombes se présentent sous la forme de colliers comportant plusieurs centaines de pièces le plus souvent de morphologie similaire. M. Avramova indique que dans la nécropole de Durankulak, les ensembles de perles découverts dans les tombes sont le plus souvent composés de plusieurs types de perles, tant d'un point de vue morphologique que des matériaux employés. Elle note cependant que certains matériaux sont préférentiellement assemblés ; ainsi elle indique que les perles en spondyle sont le plus souvent associées à des perles en malachite et en cuivre<sup>24</sup>. Les perles en pierre sont majoritaires avec 1518 perles découvertes dans 80 tombes, suivies par les perles en spondyle au nombre 959 découvertes dans 101 tombes. Les colliers sont composés en moyenne d'une dizaine à une vingtaine de perles par collier, avec des lots plus importants comme le collier issu de la tombe masculine 1037 composé de 120 perles en spondyle de formes variées et porté autour du cou (*fig. 253*) ; ou bien le collier composé de 125 perles en malachite, de 2 perles en calcédoine, d'une perle en lignite et de 4 perles en *dentalium* issu de la tombe masculine 512. Ces colliers ont été découverts aussi bien dans des tombes masculines que féminines, mais aussi dans des tombes d'enfants<sup>25</sup>. Les perles peuvent être portées sous forme de collier autour du cou, mais également comme garniture pour les bandeaux de tête<sup>26</sup> ou pour les ceintures<sup>27</sup>. Plusieurs autres nécropoles des Balkans ont également fourni des exemples de tels assemblages de perles discoïdales. Dans le cimetière de Vovnigi (région de Marioupol, Ukraine), plusieurs tombes d'enfants ont fourni des assemblages de plusieurs centaines de perles en coquille ou marbre, parfois agencées en rangs, et découvertes sur le corps notamment au niveau des hanches. On retrouve le même type de parure dans le cimetière

<sup>24</sup> Avramova 2002 p. 198.

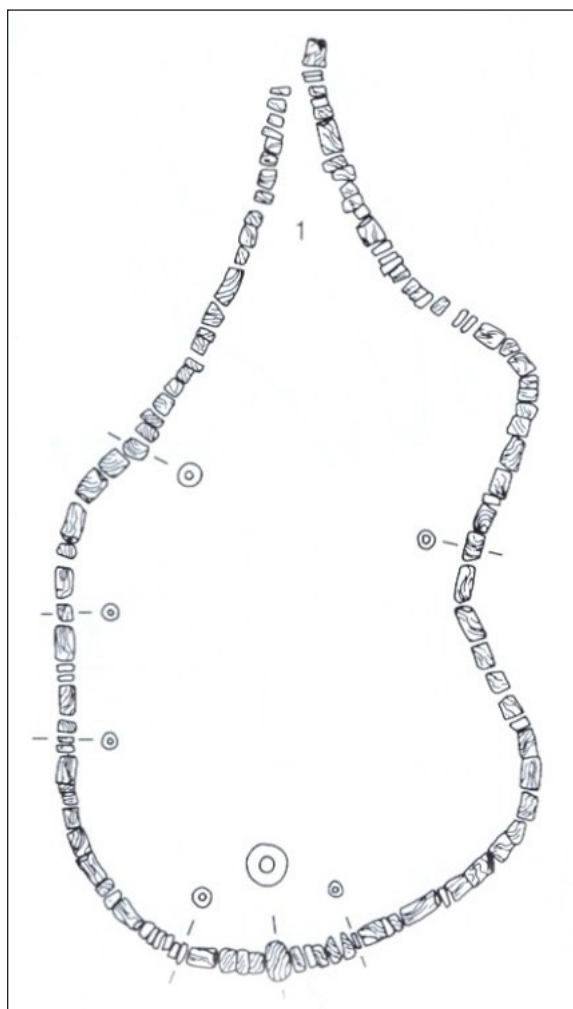
<sup>25</sup> Avramova 2002, tab. 16, 19.

<sup>26</sup> Avramova 2002, p. 196.

<sup>27</sup> Avramova 2002, p. 200.

de Marioupol, associé avec des appliques en dent de suidé<sup>28</sup>. En Roumanie, la nécropole d'Urziceni a fourni un très grand nombre de perles discoïdales composées en lots allant de quelques dizaines à plus d'un millier de perles. Les auteurs notent des dimensions variées et émettent l'hypothèse que les perles ont été accumulées sur plusieurs années. Ils notent également que ce type de parure semble être majoritairement destinés aux tombes féminines<sup>29</sup>.

De tels ensembles de perles de matériaux variés sont également connus sur des sites d'habitat des Balkans, comme le site de Sarnevo (Bulgarie) où 47 perles discoïdales ont été découvertes, parmi lesquelles 36 sont en coquille, 6 en malachite, 4 en pierre et une en azurite. L'étude montre une homogénéité des dimensions des perles quel que soit leur matériau<sup>30</sup>. Le site d'habitat de Varhari (Bulgarie) a fourni des perles discoïdales en pierre (ardoise ?) à différents stades de fabrication, ainsi que de la matière première et des forets en silex. Ces pièces, découvertes en deux lots, indiquent clairement la présence « d'ateliers » de fabrication de parure. Il semblerait que le diamètre des perles soit homogène (compris entre 3 et 4 mm pour les perles les plus petites et 4 et 6 mm pour les plus grandes), tandis que le diamètre de la perforation (compris entre 1,9 et 2 mm pour les perles les plus petites et 2,5 et 3 mm pour les plus grandes) montre une technique maîtrisée<sup>31</sup>. Également en Bulgarie, sur le site de Kovacevo, on a découvert un important ensemble de perçoirs en silex qui auraient pu servir dans la fabrication de parures, notamment de perles. Non loin de ce site, on notera la découverte de plusieurs milliers de perles discoïdales sur le site de Galabnik, dont le diamètre de la perforation mesure 1,2 mm. Ces perles ont été produites en marbre, calcaire, schiste et néphrite<sup>32</sup>. En Serbie, les sites de Vinca – Belo Brdo et Belovode fournissent également plusieurs exemples de pièces semi-finies indiquant une production locale<sup>33</sup>.



*fig. 253 - Exemple d'un ensemble de perles découvertes sur dans la tombe 1037 de la nécropole de Durankulak d'après Avramova 2002, tabl. 173.1*

28 Mykhailova 2020, p. 372-375, fig. 2, 4, 5.

29 Margarit, Virag, Diaconu 2020.

30 Alexandrova 2017, p. 371

31 Boyadzhiev 2022, p. 253

32 Gurova et al., 2013, p.202-204, fig.1, 2

33 Vitezovic, Antonovic 2020, p. 97

Au nord des Balkans, l'étude réalisée par Z. Siklosi sur plusieurs nécropoles du bassin carpatique montre que les perles, notamment discoïdales, sont très présentes dans les biens accompagnant les défunts. Ces pièces sont produites en spondyle, mais l'auteur note qu'une majorité des perles blanches déterminées comme étant en spondyle sont en réalité produites en calcaire<sup>34</sup>. Cette détermination fait dire à Z. Siklosi que les perles en pierre seraient une imitation des perles en spondyle. Dans cette région, les ornements en spondyle, notamment les perles, semblent être exclusivement destinés aux femmes et aux enfants, et peuvent être utilisés au niveau de la tête, du cou, de la taille ou comme décor de vêtement<sup>35</sup>. Les quantités découvertes dans certaines nécropoles peuvent varier de quelques-unes à plusieurs centaines<sup>36</sup>. Concernant la morphologie, Z. Toth indique une uniformité en forme et en taille des perles du site de Kisköre-Gat (Hongrie), mais les illustrations montrent une hétérogénéité des dimensions, notamment de l'épaisseur des pièces<sup>37</sup>. En l'absence de données métriques précises, nous ne pouvons pas juger de l'uniformité ou non de ces pièces.

## Bilan

Les découvertes de perles faites à Dikili Tash s'intègrent parfaitement dans ce panorama des perles du monde égéo-balkanique.

D'un point de vue quantitatif, les lots de perles découverts en Grèce et dans les Balkans, notamment dans les nécropoles, indiquent une très grande variabilité. On retrouve aussi bien 2 à 3 perles que plusieurs milliers de perles dans une tombe. Il semble que le nombre de perles enfilées ensemble soit variable en fonction de l'inhumé et de son statut social. Ainsi les perles en pierre de la maison 1, composés d'environ 900 pièces, pourraient correspondre soit à une soixantaine de petits ensembles, soit à une dizaine de grands ensembles, soit à un unique très grand ensemble. Ces pièces ont été découvertes en contexte funéraire aussi bien dans le monde égéen que dans le monde balkanique. Il n'est dès lors pas permis d'en déduire la finalité des pièces découvertes dans la maison 1 : utilisation locale ou destination plus lointaine.

D'un point de vue qualitatif, on note que la majorité des perles discoïdales du monde égéo-balkanique sont utilisées conjointement avec d'autres éléments de parure (perles en autres matériaux, pendentifs, etc.). On peut par exemple souligner l'assemblage de perles en pierre et en coquille au sein d'un même ensemble sur plusieurs sites et qui font écho au lot de perles découvertes dans le secteur V/Est et fabriquées en pierre et en coquille. S. Vitezović émet l'hypothèse que la couleur blanche brillante serait l'élément recherché dans le choix du matériau. Selon elle, dans le monde balkanique, les pierres blanches seraient un substitut aux coquilles d'origine exogène d'une plus grande valeur<sup>38</sup>. Quelles que soit les raisons d'une mixité de matériaux et/ou formes au sein d'un même ensemble, ce choix indiquerait que l'aspect esthétique prime, notamment sur les matériaux employés : dans certains cas, au moins, on ne

---

34 Siklosi 2013, p. 203

35 Siklosi 2013, p. 206

36 Siklosi 2013, p. 109, 140

37 Toth 2020, p. 385, fig. 2,3,4,7, 13

38 Vitezović 2012, p.223.

visent pas à fabriquer un collier de perles en spondyle ou de perles en marbre, mais l'on souhaite obtenir un collier de perles blanchâtres. Pour cela, on utilise la matière première la plus disponible et / ou la moins onéreuse. Cette mixité de pièces, de prime abord esthétique, doit très certainement revêtir également d'autres valeurs telles que l'affichage d'un statut, d'une fonction, d'une appartenance sociale ou religieuse, etc.

### 3. Les perles en terre cuite

#### *Corpus de Dikili Tash*

- 321 perles en terre cuite, dont un très important lot de 313 perles discoïdales découvertes en groupe dans la maison 1 du secteur 6.

#### **Du monde égéen ...**

Ces perles, bien que moins courantes que celles fabriquées en pierre ou coquille, sont également présentes sur les sites de Grèce.

Sur le tell de Sitagroi, on compte 21 perles discoïdales en terre cuite de morphologie hétérogène d'après M. Nikolaidou<sup>39</sup>. Ces pièces ne présentent pas de groupement marquant et sont datées du Néolithique Récent. Ce même site a également fourni 126 exemplaires de perles en terre cuite caractérisées par une forme discoïdale avec un renflement au sommet ; les perles en question sont qualifiées de « pinched ». Ces pièces sont d'une fabrication assez simple et présentent une certaine homogénéité dans leur forme<sup>40</sup>.

Sur le site de Dimitra, 6 perles discoïdales en terre cuite ont été découvertes : trois sont assez larges (diamètre : 0,15 – 1,60 cm et épaisseur 0,55 cm) et trois autres plus fines (diamètre : 0,10 – 0,70 cm et épaisseur 0,10 cm). Elles proviennent de niveaux du Néolithique Récent<sup>41</sup>.

Le site de Servia en Macédoine occidentale n'a fourni que 5 exemplaires de perles en terre cuite<sup>42</sup>.

En Thessalie, ces pièces fabriquées en terre cuite sont rares et semblent être plutôt issues de niveaux anciens (Néolithique Ancien et Moyen). Toutes les pièces en terre cuite découvertes en Thessalie présentent des morphologies différentes<sup>43</sup>.

#### **... au monde balkanique**

Cette matière semble également peu utilisée dans le monde balkanique. La découverte de 36 perles en terre cuite sur le site de Ilindentsi (Bulgarie) est un des très rares exemples balkaniques. Ces pièces mesurent de 3 à 5 mm de diamètre et leur perforation mesure entre 1,2 et 1,8 mm. Leur morphologie est hétérogène, d'une forme hybride entre cylindrique et discoïdale<sup>44</sup> (**fig. 254**). Les autres sites balkaniques ayant fourni des exemples de telles perles sont peu nombreux et ne fournissent qu'un seul exemplaire à chaque fois. De plus, on note une forte hétérogénéité dans les morphologies produites : certaines pourraient avoir été produites par le même technique que celle proposée pour les perles de

---

39 Nikolaidou 2003a, p. 342, table. 9.5, ces perles sont dénommées « Cylinder, narrow ».

40 Nikolaidou 2003a, p. 343.

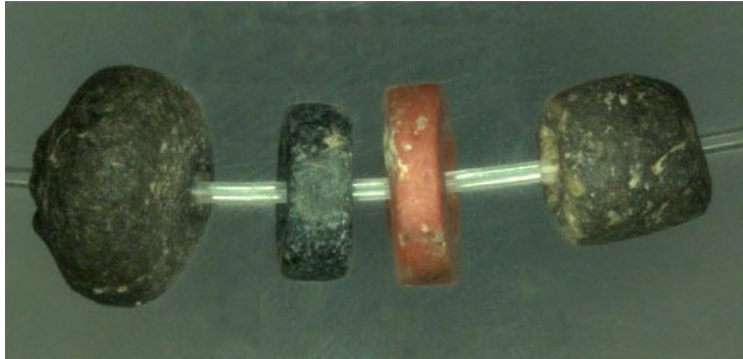
41 Karali-Yannacopoulou 1997, p. 318

42 Mould, Ridley, Wardle 2000, p. 264-265.

43 Kyparissi-Apostolika 1998, p. 102.

44 Grebska-Kulova, Gurova, Zidarov 2021, p. 13.

Dikili Tash<sup>45</sup>, tandis que d'autres sont plus probablement des perles formées à partir de fragments de céramiques abrasés pour former un disque<sup>46</sup>. Aucune perle en terre cuite n'a été découverte dans la nécropole de Durankulak.



*fig. 254 - Exemple de perles en terre cuite découvertes sur le site d'Ilindentsi d'après Grebska-Kulova, Gurova, Zidarov 2021, fig. 10*

## **Bilan**

La fabrication de ces perles en terre cuite répond à une chaîne opératoire assez simple, mais qui semble favoriser une hétérogénéité dans les pièces. L'homogénéité des pièces découvertes à Dikili Tash ne trouve actuellement pas son pendant ni sur d'autres sites de Grèce, ni dans les Balkans.

---

45 Cf. page 88

46 Boroneant, Margarit, Bonsall 2019, p. 57-58, Fig. 6.

## 4. Les perles en métal

### *Corpus de Dikili Tash*

- 11 perles en métal, dont six en or et cinq en cuivre. Elles sont de forme discoïdale ( $n = 7$ ), tubulaire ( $n = 3$ ) ou torsadée ( $n = 1$ ).

Les feuilles de métal repliées découvertes à Dikili Tash ne trouvent pas beaucoup de parallèles dans le monde égéen. Quelques sites de Macédoine orientale ont également fourni des perles en métal (cuivre et or). On compte notamment 16 perles discoïdales « en bronze », et une perle en or enroulée en spire sur le site de Dimitra. Cette dernière mesure 4 mm de diamètre pour 3 mm d'épaisseur selon L. Karali-Yannacopoulos<sup>47</sup>. Une illustration montre une feuille de métal (cuivre ?) replié sur elle-même avec un recouvrement partiel des deux extrémités<sup>48</sup>. Sur le site de Sitagroi, on compte 6 perles en cuivre et une perle en or, toutes de forme cylindrique et fabriquées par l'enroulement d'une feuille de métal<sup>49</sup>. Les quelques informations graphiques montrent que les extrémités sont jointives, comme les auteurs semblent l'indiquer pour la perle en or<sup>50</sup>.

En Macédoine centrale, la fouille et l'étude du site de Makriyalos, daté du Néolithique récent, a permis la découverte de 36 perles, dont 29 en métal correspondent à des feuilles de cuivre repliées. Il semble que certaines feuilles de cuivre soient repliées autour d'une perle en malachite<sup>51</sup>.

Dans le reste de la Grèce, les perles en métal, notamment en or, sont assez peu nombreuses. On compte quelques très rares pièces en métal dans les corpus de parure et la catégorie des « ring-idols » est la plus représentée<sup>52</sup>. L'étude réalisée par N. Kyparissi-Apostolika sur la parure de Thessalie n'a fourni que sept pièces de parure correspondant à des « ring-idols », dont cinq en or et trois en argent<sup>53</sup>. On signalera la présence de quatre perles en or dans le « trésor néolithique » sans qu'une provenance puisse être précisée<sup>54</sup>.

Il faut remonter dans les Balkans, plus particulièrement dans les nécropoles bulgares de Varna et de Durankulak, pour trouver de nombreux exemples de perles en or. Celles-ci sont produites à partir de feuilles d'or repliées. Leur nombre peut varier considérablement jusqu'à atteindre 880 perles dans la tombe N°43 de Varna I. A noter que certaines perles de cette tombe se composent d'une perle en cuivre recouverte d'une feuille d'or<sup>55</sup>. Les autres tombes de cette nécropole fournissent des perles de formes variées (discoïdale, sphérique, biconique ou tubulaire)<sup>56</sup>. Dans la plupart de ces perles, notamment les

---

47 Karali 1991, p. 318 et Karali-Yannacopoulou 1997, p. 206. Les perles dites « en bronze » sont probablement en cuivre, étant donné l'absence d'alliage pour cette période.

48 Karali-Yannacopoulou 1997, p. 206 et pl. 35, N° 8.

49 Nikolaidou 2003a, p. 342, tab. 9.5.

50 Renfrew, Slater 2003, p.320, 305, fig.8.1a, d, e.

51 Pappa, Karolidis, Scott 2003, p. 275, fig. 1.

52 Ifantids 2019, p.32, 310.

53 Kyparissi-Apostolika 1998, p. 51-60

54 Ifantidis 2019, p.317.

55 Eluère 1989, p. 142, fig. 301.

56 Todorova, Vasjov 2001, fig. 13, 14.

perles discoïdales, les deux extrémités de la feuille de métal utilisée sont jointives, même si on note que certaines illustrations indiqueraient un chevauchement de celles-ci<sup>57</sup> (**fig. 255**).



*fig. 255 - Exemple de perles en or découvertes dans la tombe N°3 de la nécropole de Varna II d'après Eluère 1989, fig. 126*

Dans cette nécropole, les perles sont enfilées ensemble et se portent au niveau du cou et des bras. Les découvertes de perles en or dans le cimetière de Durankulak confirment les données de la nécropole de Varna. Un total de 136 perles y a été découvert, principalement dans des tombes masculines. Le nombre de perles par tombe se répartit en deux lots : un premier de 2 à 3 perles et un second d'une quinzaine. La seule exception concerne la tombe masculine N°211 qui comptabilise 36 perles en or (associées à des perles en calcédoine et en malachite) et portées autour du cou<sup>58</sup>. On peut également noter la découverte de la plus ancienne (ou l'une des plus anciennes) perle en or issue du tell Yunatsite (Bulgarie). Il s'agit d'une feuille d'or repliée sur elle-même, les bords partiellement jointifs<sup>59</sup>. Son diamètre de 3,4 mm rappelle les dimensions des perles de Dikili Tash.

Au nord des Balkans, dans le bassin carpatique, on note l'absence d'objets de parure en or. En revanche, Z. Siklosi relève quelques rares exemples de perles en cuivre majoritairement découvertes dans les nécropoles du sud du bassin carpatique. En dehors de la découverte exceptionnelle dans une fosse de 60 à 80 perles, la majorité des tombes ne comporte qu'une à vingt perles, associées fréquemment à des perles en pierre et en spondyle. Ces objets semblent être préférentiellement destinés aux femmes et aux enfants, mais le nombre restreint de tombes et des identifications peu fiables ne nous permettent pas d'être affirmatif<sup>60</sup>.

<sup>57</sup> Eluère 1989, p. 136, fig. 281 ; Todorova *et al.* 2002a, fig. 132.

<sup>58</sup> Avramova 2002 tab. 24, Todorova *et al.* 2002b, p.39, fig. 16.

<sup>59</sup> Boyadzhiev *et al.* 2017, p. 112, fig. 2.1.

<sup>60</sup> Siklosi 2013, p. 213 - 216.

Les nécropoles de Bulgarie ont fourni de rares exemples de torsades en or : dans les tombes 4 et 41 de Varna I (respectivement 19 et 8 torsades) (*fig. 256*), dans la tombe 165 de Durankulak (2 torsades formés par une tige et non une feuille d'or), mais aussi dans la tombe 25 de la nécropole de Goljamo Delcevo (une torsade). H. Todorova et I. Vajsov indiquent qu'un même type de torsades est connue dans la culture de Cucuteni-Tripolje et dans le sud de la Moldavie, mais qu'elles ne seraient produites là qu'en cuivre<sup>61</sup>.



*fig. 256 - Exemple de torsades en or découvertes dans la tombe N°4 de la nécropole de Varna I d'après Eluère 1989, fig. 126*

## **Bilan**

Les rares feuilles de métal repliées découvertes à Dikili Tash trouvent de nombreux échos dans les cultures néolithiques des Balkans, exclusivement dans l'espace funéraire. On note une très claire absence de ce type de vestiges dans le monde égéen en dehors de quelques sites de Grèce du nord. La présence des perles en métal majoritairement dans l'espace balkanique, notamment dès le Néolithique ancien, indiquerait une probable influence des Balkans vers le monde égéen dont les perles en or de Dikili Tash seraient un des rares témoignages. L'existence de gisements locaux et la découverte des perles d'or de Dikili Tash, retrouvées enroulées autour de perles en pierre produites sur le site, laissent envisager une production locale.

---

<sup>61</sup> Todorova, Vajsov 2001, p. 38.

## 5. Les perles en *Dentalium Sp.*

### Corpus de Dikili Tash

- 20 perles tubulaire en coquille de *Dentalium Sp.*

Les perles fabriquées à partir de coquille de dentale sont présentes sur plusieurs sites, aussi bien dans la zone égéenne que dans le monde balkanique.

Plusieurs sites voisins de Grèce du Nord ont livré des exemples de pièces produites en dentale : le site de Dimitra a fourni 46 exemplaires<sup>62</sup>, celui de Sitagroi 70 exemplaires<sup>63</sup>, celui de Paradeisos 6 exemplaires<sup>64</sup> et celui de Dispilio 3 exemplaires<sup>65</sup>. L'étude menée par N. Kyparissi-Apostolika ne mentionne pas la présence de perles fabriquées en dentale sur les sites de Thessalie. Dans le sud du monde égéen, peu de sites ont livrés des parures en dentale.

Il faut noter la présence en grande quantité de perles en dentale sur le site de Franchthi mais datant de la période mésolithique. M. Miller indique la disparition de ce type de parure sur ce site au cours de la période néolithique<sup>66</sup>.

On note la présence de gros lots de parure en dentale dans la zone balkanique, et plus précisément dans les nécropoles de Varna et Durankulak. Leur nombre peut varier de moins d'une dizaine de perles à plusieurs milliers<sup>67</sup>. Parmi les tombes les plus riches on compte notamment les tombes 4<sup>68</sup> et 36<sup>69</sup> de Varna I, la tombe 3 de Varna II<sup>70</sup> ou bien encore les tombes 609<sup>71</sup> et 648<sup>72</sup> de Durankulak. Ces tombes renferment plusieurs milliers de pièces chacune.

La découverte dans le cadre funéraire permet de mieux appréhender l'utilisation de ces ensembles de perles. Ainsi la tombe masculine 609 de la nécropole de Durankulak a fourni un ensemble de perles en *dentalium*, réparties en 22 rangées situées sur le thorax, ensemble interprété comme une garniture de manteau (**fig. 257**), ainsi que des ensembles de perles en *dentalium* situés autour du cou, de la poitrine et de la main gauche, pouvant être interprétés comme des colliers et des bracelets. Dans la même nécropole, un grand ensemble de perles en spondyle et en dentale a été découvert dans la tombe 648, provenant probablement d'une ceinture ou d'un vêtement<sup>73</sup>. Dans la tombe 3 de la nécropole de Varna II, les 150 perles en *dentalium* disposées en cinq rangées autour de la taille peuvent être également interprétées comme des éléments d'une ceinture.

---

62 Karali-Yannacopoulou 1997, p. 208, pl. 56 N°5.

63 Nikolaidou 2003a, p. 343-344, tab. 9.5.

64 Reese 1987, p. 130.

65 Ifantidis 2019, p. 175.

66 Miller 1997, p. 151-152.

67 Todorova *et al.* 2002a, p. 200, tab. 17.

68 Eluère 1989, p. 122.

69 Eluère 1989, p. 135.

70 Eluère 1989, p. 109.

71 Todorova *et al.* 2002b, p. 61.

72 Todorova *et al.* 2002b, p. 63.

73 Todorova *et al.* 2002b, p. 63.

L'étude faite sur la nécropole de Durankulak montre que ces perles en *dentalium* se retrouvent dans 11 tombes masculines, 4 tombes féminines et 5 tombes d'enfants, voire de nourrisson. Les tombes numériquement les plus riches sont les tombes masculines. Selon H. Todorova, l'utilisation de dentale pour parer des tissus serait préférentiel dans les tombes masculines, au contraire des tombes féminines qui semblent préférer le spondyle<sup>74</sup>.

Si l'on exclut les trois tombes les plus riches (Tombe 609, 648 et 1037), le nombre moyen de perles par tombe, tous sexes et âges confondus, n'est que de 5 perles environ<sup>75</sup>. Il ne semble donc pas possible d'établir de schéma préférentiel dans l'attribution de ce type de parure. Par ailleurs, on remarque que sur les 1190 tombes que compte le site de Durankulak, seules 24 tombes ont fourni des éléments en dentale.

La découverte d'un ensemble de dentales dans le complexe « cultuel » de Dolnoslav, dans la région de Plovdiv, est également à noter<sup>76</sup>. En bordure de l'habitat du Chalcolithique final de Liga (Bulgarie), deux tombes, celle d'un jeune adulte et une tombe comprenant les inhumations d'un adulte et d'un immature, ont fourni des éléments de parure. Le jeune adulte était paré d'un ensemble de huit dentales et d'un fragment d'os imitant la forme d'une dent de cervidé ; tandis que l'immature possédait un collier formé de deux rangées de dentale séparées chacune par une coquille de *cardium*. A noter que l'adulte de la tombe double ne possédait qu'une simple perle en dentale au niveau de son épaule droite<sup>77</sup>.

L'absence de ces perles à l'intérieur de la région balkanique fait dire à H. Todorova que ce type de parure n'était probablement destiné qu'au monde funéraire et majoritairement aux tombes les plus riches<sup>78</sup> qui possèdent souvent une grande diversité de pièces funéraires. Parmi les sites de la culture de Vinca, seul le site de Vinca – Belo Brdo (Serbie) a fourni des exemples de perles en dentale<sup>79</sup>, ce qui confirmerait la destination plutôt funéraire de ce type de parure.

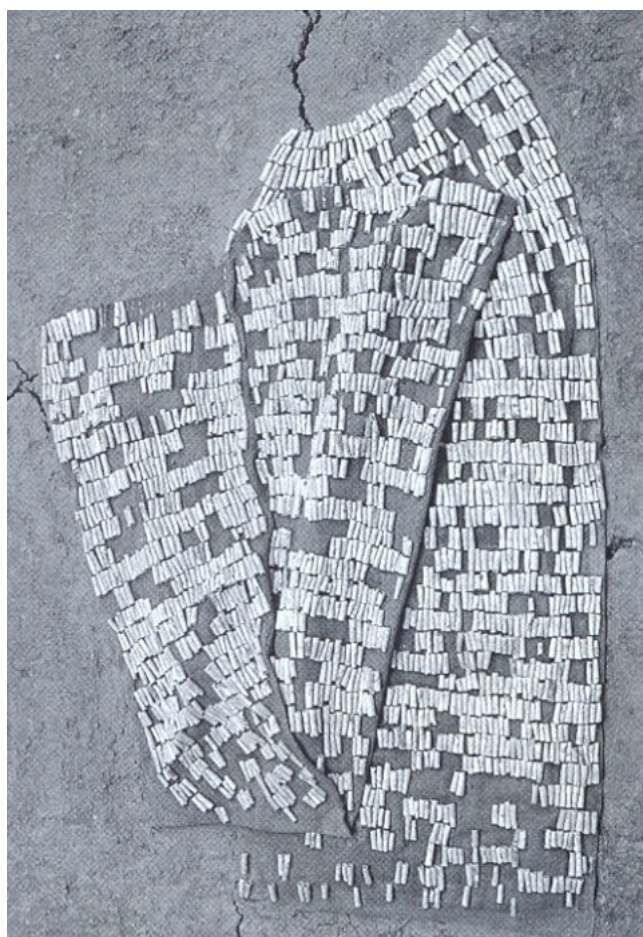


fig. 257 - Exemple d'une composition en perles de dentale issue de la tombe 609 de la nécropole de Durankulak d'après Todorova et al. 2002, t. 1, fig. 236

74 Todorova et al. 2002a, p. 200.

75 Todorova et al. 2002a, p. 200, tab. 17.

76 Eluère 1989, p. 81 et p. 84, n° 46.

77 Merkyte, Ostergaard, Zidarov 2005, p. 146-148, fig. XI.11, XI.12, XI.15

78 Todorova, Vasjov 2001 p. 40.

79 Vitezovic, Antonovic 2020, p.94.

## Bilan

Ces éléments de parure semblent donc être particulièrement prisés aux périodes anciennes (Mésolithique, Néolithique ancien), mais se raréfient à la fin de la période Néolithique et au début de l'Âge du Bronze<sup>80</sup>. De plus, elles ont dû être préférentiellement destinées au monde funéraire ; les rares découvertes faites dans les habitats le sont sous la forme de quelques pièces éparses dans des niveaux d'abandon. Aucun ensemble d'importance n'a été découvert en contexte domestique.

Leur utilisation dans le domaine funéraire est assez variée, puisque ces éléments de parure sont disposés sur différentes parties du corps et agencés selon différents modèles. Ils étaient destinés aussi bien aux hommes qu'aux femmes, même si les tombes qui en possèdent le plus sont masculines. Enfin on peut remarquer que ce type de parure est rare dans les nécropoles de cette époque puisque seule une minorité de tombes en possèdent.

On pourrait dès lors estimer que ce type de parure n'est pas très recherché dans le « package » funéraire, mais la présence de très gros lots sous forme d'habillement de vêtement ou de ceinture indiquerait au contraire une très grande valeur de ces objets destinés aux élites les plus riches. Dès lors la relative rareté des dentales dans l'habitat, comme sur le site de Dikili Tash (une vingtaine), s'expliquerait par le fait qu'ils étaient utilisés préférentiellement dans des tombes riches et réservés à des échanges avec des régions éloignées de la mer Egée.

---

<sup>80</sup> Todorova, Vasjov 2001, p.40.

## 6. Les anneaux en coquille

### *Corpus de Dikili Tash*

- 152 anneaux en coquille de *Spondylus Gaedoropus*, majoritairement fragmentaires hormis pour 11 d'entre eux complets ou quasiment complets.
- Regroupement de 16 anneaux dont 6 complets, au sein de la maison 1 (Secteur 6).
- 23 valves de *Spondylus Gaedoropus* dont 8 complètes.

Les anneaux en coquille, et plus particulièrement en *Spondylus Gaedoropus*, ont fait l'objet d'une intense réflexion de la part de nombreux auteurs et ce depuis le début du 20<sup>e</sup> siècle. La recherche a connu plusieurs orientations concernant l'aspect technique, les origines ou encore les phénomènes de diffusion. Ces recherches ont notamment été compilées récemment par F. Ifantidis (2019) à la suite de plusieurs « synthèses » antérieures. Celui-ci propose un schéma selon lequel les spondyles issus de la mer Egée seraient récoltés par les populations habitant sur les rivages de cette dernière ou non loin de là, principalement en Grèce du Nord et en Thessalie, pour être par la suite « exportés » vers le Nord, notamment les Balkans, l'Europe centrale et même l'Europe occidentale. Cette diffusion des spondyles semble connaître son apogée au cours du Néolithique et au début de l'âge du Bronze, mais pourrait avoir débuter dès la fin du Mésolithique<sup>81</sup>.

### De la fabrication ...

Actuellement, il semblerait que les rares exemples de sites où l'on a des indices de fabrication soient situés en Grèce (Dimini, Makriyalos, Sitagroi, Dikili Tash). Cela pourrait indiquer que l'on a « exporté », majoritairement, des pièces finies ou semi-finies. Sur ces sites, les pièces en cours de fabrication ou les déchets de fabrication ont été interprétés comme des témoins d'une activité de production sur place. C'est le cas notamment à Dimini, qui a fourni 39 anneaux non finis, 33 valves de spondyle non travaillées et 89 déchets de fabrication en spondyle<sup>82</sup>. 196 valves de spondyle non travaillées ont été également découvertes sur le site de Makriyalos, mais aussi des pièces en cours de fabrication et des déchets de production<sup>83</sup> (**fig. 258**). Le site de Dimitra a fourni 118 éléments de spondyle, dont des fragments de coquille, parfois brûlés, correspondant, d'après l'étude, à des déchets de fabrication<sup>84</sup>. La vingtaine de coquilles de spondyle non travaillées ou présentant des traces d'intervention humaine serait un indice du travail de cette coquille sur le site de Dikili Tash.

Hors du monde égéen, les exemples de valves entières ou semi-travaillées sont très rares. Les fouilles du site d'Orlovo (Bulgarie) ont permis de découvrir des coquilles entières non travaillées, dont plusieurs

<sup>81</sup> Ifantidis 2019, p. 509.

<sup>82</sup> Tsuneki 1989, p. 8, tabl. 1

<sup>83</sup> Pappa, Veropoulidou 2011, p. 109, tabl. 1

<sup>84</sup> Karali-Yannacopoulou 1997, p. 202

en spondyle, notamment une valve entière<sup>85</sup>. En Serbie, les sites néolithiques de Botoš et Idoš ont fourni respectivement une valve de coquille non travaillée et un fragment en cours de fabrication<sup>86</sup>, tandis qu'en Roumanie quelques fragments de valves de spondyle ont été découverts sur le site néolithique d'Alba Iulia<sup>87</sup>. Ces quelques exemples peuvent laisser penser qu'une partie (même infime) de la production a pu être réalisée sur les sites balkaniques, les coquilles ayant dès lors circulé entières ou fragmentaires.



fig. 258 - Exemple de coquilles de spondyle et d'anneaux en spondyle découverts sur le site de Makriyalos d'après Pappa, Veropoulidou 2011, fig. 7

### à l'utilisation ....

Si l'on exclut les 16 anneaux découverts dans la maison 1, les 140 anneaux fragmentaires en spondyle mis au jour à Dikili Tash sont cohérents avec les découvertes des sites contemporains de Grèce. Le site voisin de Sitagroi a livré 186 pièces, tandis qu'à Dimitra on compte 30 anneaux. A noter que sur le site de Sitagroi, sur les 186 pièces en coquille, 170 ont été fabriqués à partir de *Spondylus Gaedoropus*, tandis que les 16 autres le sont en *Glycymeris Sp*. La fouille du site de Makriyalos a permis de mettre au jour 307 anneaux en spondyle. Sur le site de Servia, on compte 18 anneaux dont 5 en spondyle et 13 en *Glycymeris Sp*. Le site de Dispilio a lui fournit 51 anneaux en spondyle et 3 en *Glycymeris Glycymeris*. En Thessalie, le site de Dimini a fourni 87 anneaux en spondyle, tandis que le site d'Agia Sofia a fourni 14 pièces. F. Ifantidis estime qu'environ une trentaine de sites de Grèce ont fourni des anneaux en coquille<sup>88</sup>.

<sup>85</sup> Chapman, Kostov 2010, p. 50, fig. 5a & g

<sup>86</sup> Vitezovic 2012, p. 28, fig. 3 p. 217

<sup>87</sup> Margarit *et al.* 2020, p. 307, fig. 7-8. Les coquilles sont datées de la période Vinça B (5200 – 4900 BC)

<sup>88</sup> Ifantidis 2019, p. 70, note 82 ; voir aussi la carte publiée par Séfériadès 2010, p. 182, fig. 8-3.

Sur l'ensemble de ces sites de Grèce, les anneaux sont le plus souvent fragmentaires, voire très fragmentaires, avec moins du tiers préservé<sup>89</sup>. Les anneaux complets sont très rares sur ces sites - un seul exemplaire a été trouvé sur chacun des sites de Makriyalos, Dispilio, Servia et Dimini. Quelques autres sites égéens possèdent également des anneaux complets comme le site d'Halai<sup>90</sup> qui en a fourni sept, mais ces sites sont relativement rares et les anneaux le plus souvent dispersés. Ces données montrent la particularité du site de Dikili Tash, où l'on a découvert 16 anneaux finis mais non portés dont 6 complets.

Hors du monde égéen, les sites d'habitat fournissent également des exemples d'anneaux en coquille, là également fragmentaires. Le site d'Alba Iulia (Roumanie) a fourni 37 fragments d'anneaux en spondyle présentant des traces d'utilisation<sup>91</sup>. Une soixantaine d'anneaux fragmentaires ont également été trouvés sur le site d'Orlovo (Bulgarie)<sup>92</sup>. Sur les sites de la culture de Vinca, on compte également de nombreux exemples d'anneaux en coquille (spondyle et *Glycymeris*) fragmentaires découverts sur des sites d'habitat comme le site de Vinca – Belo Brdo, Vrsac-Potporanj ou Vitkovo<sup>93</sup>. En Roumanie, les fouilles du site de Pietrele ont mis au jour de nombreux fragments d'anneaux en spondyle<sup>94</sup> (**fig. 259**).

Tout comme dans le monde égéen, les exemples d'anneaux entiers découverts dans des sites d'habitat sont rares. On peut citer les deux sites d'Ovcarovo (deux anneaux dans la maison 4) et de Provadija (un anneau trouvé dans un « trésor »)<sup>95</sup>.



fig. 259 - Exemple de fragments d'anneaux en spondyle découverts sur le site de Pietrele d'après Hansen et al., 2008, fig. 62

89 Ifantidis 2019, p. 76 ; Pappa, Veropoulidou 2011, p.111.

90 Miller 1997, p.190-192.

91 Margarit et al. 2020, p. 315, tabl. 2

92 Chapman, Kostov 2010, p. 62, fig. 3.12

93 Vitezovic, Antonovic 2020, p.94

94 Hansen et al., 2011, p.105-111

95 Todorova, Vasjov 2001, p. 82-83, fig. 36, n° 474 à 480, et fig. 37, n° 481 à 488.

## Objet de la vie ....

Parallèlement à ces anneaux complets ou fragmentaires, plusieurs sites ont également fourni des fragments d'anneaux retravaillés. Ces pièces sont le plus souvent percées à une ou deux extrémités et les zones de cassure présentent parfois des polissages. On compte deux exemplaires à Sitagroi<sup>96</sup>, 3 exemplaires à Servia<sup>97</sup>, 19 exemplaires sur le site de Makriyalos<sup>98</sup>, A Dispilio, on retrouve ce même travail de réemploi sur 11 anneaux en pierre<sup>99</sup>. Les cinq fragments d'anneaux retravaillés découverts sur le site de Dikili Tash correspondent à cette même pratique de réutilisation d'une matière première jugée relativement « précieuse ».

Le monde balkanique fournit également des exemples de réutilisation d'anneaux fragmentés, le plus souvent sous la forme de pendentifs. Ainsi le site d'Alba Iulia en Roumanie compte plusieurs exemples de recyclage<sup>100</sup>, de même que le site de Provadija où un fragment d'anneau en spondyle a été perforé dans le but d'en faire un pendentif<sup>101</sup>. Parallèlement à ces cas de réemploi, quelques très rares exemples de réparation de bracelet ont été notés : à Varna, un anneau fragmenté possède deux cylindres en or permettant de rattacher les deux extrémités de l'anneau cassé<sup>102</sup>. Dans la nécropole datée du Néolithique Récent de Kisköre-Gat (Hongrie), des anneaux brisés possèdent plusieurs perforations au niveau des cassures indiquant une probable volonté de réparation<sup>103</sup>. Dans la nécropole de Durankulak, on note également des anneaux fragmentés avec des perforations aux extrémités, qui indiquent une volonté de réparer la pièce (Tombe 168, 559, 587...). Un système de réparation a été illustré par F. Ifantidis dans le cas d'un anneau en pierre<sup>104</sup> : le maintien de la pièce fragmentée sur le poignet s'effectue à l'aide d'un lien périssable enfilé dans les trous pratiqués de part et d'autre de la pièce (**fig. 260**).



*fig. 260 - Exemple d'une réutilisation d'un fragment d'anneau en spondyle d'après Ifantidis, 2019, pl. 12*

96 Miller 2003, p. 372, tabl. 9.3.1

97 Mould, Ridley, Wardle 2000, p. 280-281, fig. 4.43

98 Pappa, Veropoulidou 2011, p. 114

99 Ifantidis 2019, p. 53-54

100 Margarit *et al.* 2020, p. 306-307, fig. 4-5

101 Nikolov 2010, p. 137, Fig. 159

102 Eluère 1989, p. 144, fig. 308

103 Toth 2020, p. 386, Fig. 5

104 Ifantidis 2019, p. 53-54, fig. 12

## Objet de la mort ....

La rareté des nécropoles néolithiques dans le monde égéen ne nous permet pas d'appréhender l'utilisation de ces pièces dans le monde funéraire. Nous devons pour cela nous tourner vers les nécropoles du monde balkanique.

Dans cette aire géographique, les anneaux en coquille, majoritairement en spondyle, sont bien représentés dans le monde funéraire où la majorité des anneaux sont découverts entiers. Dans la nécropole de Durankulak, 154 anneaux en coquille ont été mis au jour. Ces anneaux sont principalement fabriqués à partir de spondyle, mais quelques exemples sont issus de *Glycymeris*. Ces anneaux sont dans la majorité des cas découverts au bras (poignet ou avant-bras) des défunts (**fig. 261**) et on compte environ un à deux anneaux par individu, avec un maximum de quatre anneaux dans une même tombe. D'après M. Avramova, les anneaux seraient préférentiellement portés sur le bras droit pour les hommes et gauche pour les femmes<sup>105</sup>. De telles pièces complètes ont également été découvertes en Bulgarie du Nord-Est, dans les nécropoles de Varna (Varna I - tombe 43, Varna II - tombe 3) et de Targoviste (Tombe 9)<sup>106</sup>. En Roumanie, les nécropoles de la région de Călărași ont fourni plusieurs exemples d'anneaux en coquille complet (spondyle ou *Glycymeris*) portant des traces d'utilisation<sup>107</sup>. Il en est de même dans la nécropole Botoș (Serbie) où au moins 21 anneaux complets ou fragmentaires ont été découverts<sup>108</sup>. Au nord des Balkans, dans les nécropoles du bassin carpatique, plusieurs anneaux en spondyle (et un en *Glycymeris*, issu d'un dépôt<sup>109</sup>) ont été découverts, ornant systématiquement les bras du défunt<sup>110</sup>.



*fig. 261 - La position de quatre anneaux en spondyle sur le défunt de la tombe 644 de la nécropole de Durankulak d'après Todorova, Vasjov 2002, fig. 279*

105 Avramova 2002, p. 198, Tab. 22.

106 Eluère 1989, p. 100.

107 Margarit, Dimache 2019a, p. 19-20, fig. 9, 10.

108 Vitezovic 2016, p. 242-243.

109 Siklosi 2013, p. 208.

110 Siklosi 2013, p. 206.

Le diamètre des anneaux étant lié à la taille des coquilles naturelles, le diamètre intérieur maximum de ces pièces de parure n'excède pas 8 cm (voire moins pour les exemplaires en *Glycymeris*). Cela ne permet pas à un adulte, notamment un homme adulte, de faire passer son poignet à travers. Cette contrainte morphologique implique que les anneaux en coquille ont dû être enfilés à la fin de l'enfance ou à l'adolescence sans pouvoir être retirés par la suite. Ce maintien de l'anneau au bras dans la vie quotidienne du porteur explique sans doute, en partie, le grand nombre d'anneaux fragmentaires. La coquille est un matériau d'une dureté faible<sup>111</sup>, ce qui rend l'anneau en coquille assez aisément cassable. Ainsi dans la nécropole de Durankulak, parmi les 154 anneaux en coquille présents dans les tombes, une vingtaine ont été découverts fragmentaires<sup>112</sup>. Ces objets ont probablement été cassés au cours de la vie du porteur, mais leur valeur a justifié leur conservation par le porteur soit au cours de la vie, soit lors de l'inhumation.

## Bilan

Les anneaux en spondyle font partie intégrante de la parure portée au cours du Néolithique, comme en témoignent les nombreux fragments d'anneaux découverts sur le site de Dikili Tash. Ces objets devaient probablement être enfilés dès l'enfance/adolescence en raison du faible diamètre de ces pièces. Le grand nombre de pièces fragmentaires découverts sur les sites de Grèce indiquerait qu'ils devaient être relativement courants dans ces communautés, au contraire des communautés balkaniques où ce type de pièces se retrouve en plus petites quantités dans les habitats. De plus, les découvertes dans les nécropoles indiquent que ces pièces sont réservées à une élite qui en possède en moyenne un ou deux exemplaires portés aux bras.

Dans ce contexte, on peut se demander si le lot de 16 anneaux dont 6 complets non utilisés issus de la maison 1 est destiné à une consommation régionale et/ou extrarégionale. Ce lot pourrait fournir entre cinq et 10 tombes réservées à l'élite, ce qui en fait un stock d'une grande valeur.

---

<sup>111</sup> La coquille est principalement composée de calcite d'une dureté de 3 sur l'échelle de Mohs.

<sup>112</sup> Todorova *et al.* 2002a.

## 7. Les pendentifs pyramidaux

### *Corpus de Dikili Tash :*

- 39 pendentifs pyramidaux découverts groupés au sein de la maison 1 (Secteur 6).

Cette catégorie de parure, souvent nommée « boutons » dans la littérature, est présente sur de nombreux sites égéens, mais aussi dans les Balkans.

Ces pendentifs peuvent être fabriqués en coquille, le plus souvent en spondyle, en pierre, en os ou en ambre.

En Macédoine, on en trouve quelques exemplaires sur les sites du Néolithique Récent de Sitagroi (2 en spondyle)<sup>113</sup>, de Dimitra (5 exemplaires dont 4 en pierre et 1 en spondyle)<sup>114</sup> et de Makriyalos (4 exemplaires en spondyle)<sup>115</sup> (**fig. 262**). En Thessalie, le site du Néolithique Récent de Dimini fait office d'exception, puisque 141 de ces pendentifs pyramidaux en spondyle y ont été trouvés<sup>116</sup>. Ce nombre très important d'objets, couplé aux déchets de fabrication, fait dire aux chercheurs qu'il s'agirait d'un site de production pour ce type de parure<sup>117</sup>. Le reste de la Thessalie cumule entre 30 et 40 pièces, principalement issus de collections privées et de quelques fouilles : Ayia Sofia<sup>118</sup>, Palioskala<sup>119</sup>. Les pendentifs sont fabriqués en coquille et en pierre et ne se présentent pas en lots remarquables<sup>120</sup>. On en trouve aussi en Argolide, à Franchthi<sup>121</sup>. Les Cyclades n'ont livré que deux exemplaires de ce type de parure, un sur l'île de Mykonos<sup>122</sup> et l'autre sur l'île de Saliagos<sup>123</sup>.



*fig. 262 - Exemple d'un pendentif pyramidal découvert sur le site de Makriyalos d'après Pappa, Veropoulidou 2011, fig. 6c*

On soulignera que plusieurs sites, pourtant riches quantitativement et/ou qualitativement en mobilier de parure, n'ont pas livré d'exemplaires de ce type par exemple Dispilio, Servia, Kryonéri, Achilleion ou bien encore la grotte de Théopétra<sup>124</sup>.

113 Nikolaidou 2003a, p. 345.

114 Karali-Yannacopoulou 1997, p. 206.

115 Pappa, Veropoulidou 2011, p. 110, tab.2, p.114-115.

116 Tsuneki 1989, p. 8.

117 Halstead 1993.

118 Miller 1997, p.192.

119 Toufexis 2016, p. 372, fig. 18i.

120 Kyparissi-Apostolika 1998, p. 92-93.

121 Miller 1997, p. 148, fig. 9, phase 5 MN.

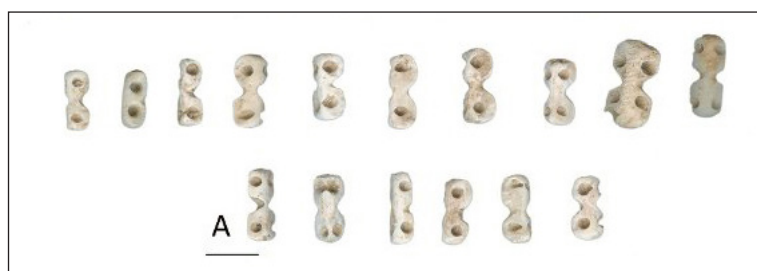
122 Ifantidis 2019, p. 311.

123 Miller 1997, p.195.

124 Ifantidis 2019.

En Bulgarie, trois sites ont livrés des exemplaires de ces pendentifs : on en compte 124 en spondyle dans la tombe N°3 de Varna II, mais un seul exemplaire en spondyle dans la tombe 245 du cimetière de Durankulak et un autre exemplaire à Goljamo Delcevo<sup>125</sup>. Le tell Yunatsite a, quant à lui, livré, dans un niveau daté du Chalcolithique, trois pendentifs pyramidaux fabriqués en spondyle<sup>126</sup>. A noter la découverte dans la nécropole de Sultana-Valea Orbului (Roumanie) de 66 pièces en spondyle décrites comme des perles bilobées, rappelant par leur morphologie et leur perforation en V les pendentifs pyramidaux. Il pourrait s'agir d'une adaptation de ce type de pendentif sous une forme polylobée. Ce type morphologique (bilobé ou trilobé) a été découvert sur d'autres sites funéraires de la culture de Boian<sup>127</sup> (**fig. 263**).

Dans l'ouest des Balkans, ces éléments de parure ont été découverts dans quelques sites d'habitat et nécropoles. Quelques exemplaires en marbre et calcaire ont été découverts à Vinca – Belo Brdo et Jakovo<sup>128</sup>. Plusieurs nécropoles ont également fourni des exemplaires de tels objets avec une perforation en V. Dénommés « buttons » dans l'étude de Siklosi, ces éléments pourraient correspondre à des pendentifs pyramidaux. On en retrouve un exemplaire dans le cimetière de Csóka (Serbie)<sup>129</sup>, ainsi que plusieurs autres dans la nécropole de Öcsöd-Kováshalom (Hongrie)<sup>130</sup> et celle de Tápé-Lebő (Hongrie)<sup>131</sup>.



*fig. 263 - Exemple de pendentifs pyramidaux bilobés découvert sur le site de Sultana-Valea Orbului d'après Margarit, Dimache 2019a, fig. 2a*

## Bilan

Concernant le matériau employé, on note que la majorité des pièces sont en spondyle. Les pièces en pierre sont plus rares et ne trouvent pas de parallèles en dehors de la Grèce.

Ces données rendent exceptionnel le lot des 39 pendentifs pyramidaux en pierre de Dikili Tash. De par son nombre, tout d'abord, parmi les plus importants de Grèce, et son homogénéité remarquable, en termes de dimensions, caractère assez rare pour cette catégorie de pièces. Bien qu'il ne soit pas possible de quantifier le degré d'hétérogénéité de ces pièces, en raison de la trop grande disparité des données de la littérature, il apparaît assez clairement dans les diverses publications que ces pièces, tous matériaux

<sup>125</sup> Todorova, Vasjov 2001, p. 40-41, fig. 2, n°44, 45 et 46

<sup>126</sup> Boyadzhiev *et al.* 2019, p. 65, Fig. 2.

<sup>127</sup> Margarit, Dimache 2019a, p.18, fig.2, 3, 4.

<sup>128</sup> Vitezovic, Antonovic 2020, p.95.

<sup>129</sup> Siklosi 2013, p. 132. Ce matériel étant issu d'une fouille ancienne, ses dimensions ou sa morphologie exacte ne nous sont pas connus

<sup>130</sup> Siklosi 2013, p. 149

<sup>131</sup> Siklosi 2013, p. 158. L'auteur mentionne la présence de 7 perles dans une tombe.

confondus, présentent des morphologies assez variables comme le met en lumière l'étude des pièces de Thessalie pour lesquelles on recense cinq catégories morphologiques différentes<sup>132</sup> et toutes d'une taille plus importante qu'à Dikili Tash, le plus souvent au-delà d'un centimètre<sup>133</sup>. On remarquera qu'aucune de ces catégories ne semble correspondre aux objets de Dikili Tash, ce qui ferait de ce lot une production propre à ce site.

Bien que les quantités en question ne soient pas comparables, il semble que le lot découvert à Dikili Tash puisse, dans une certaine mesure, correspondre à une production locale, comme c'est le cas sur le site de Dimini, avec la particularité d'être produite en pierre.

---

132 Kyparissi-Apostolika 1998, p. 92 Tab.I.

133 Kyparissi-Apostolika 1998, p. 183-185.

## 8. Les pendentifs en dent

### Corpus de Dikili Tash :

- 5 pendentifs en dent issu de canidé.

L'utilisation de dents pour la fabrication de pièces de parure n'est pas rare. Cependant la majorité des pièces découvertes correspondent en réalité à un pendentif constitué d'une dent de suidé perforée dont la morphologie courbe n'est que très peu modifiée. A Dikili Tash, cinq pendentifs en dent ont été découverts. Il s'agit principalement de dent de canidé. Le site de Dispilio, quant à lui, compte quatre dents perforées et trois autres non perforées, mais travaillées<sup>134</sup>. À noter que ce type de pendentif semble être absent des sites de Thessalie<sup>135</sup>. Dans les nécropoles bulgares, quelques exemplaires sont connus comme le pendentif d'une tombe du cimetière de Durankulak<sup>136</sup>. Sur le site roumain de Pietrele, plusieurs défenses de suidé ont également été mises au jour avec une ou deux perforations. Ces pièces conservent la courbure naturelle de la canine<sup>137</sup>. Ces pièces sont à *contrario* très bien représentées à l'ouest des Balkans, dans le bassin des Carpates et en Europe centrale où elles sont régulièrement découvertes dans des tombes majoritairement masculines<sup>138</sup>.

---

134 Ifantidis 2019, p. 83.

135 Kyparissi-Apostolika 1998.

136 Todorova, Vasjov 2001, p. 65, pl. 21 N° 264 à 267.

137 Hansen *et al.* 2011, p. 102-103.

138 Zalai-Gaál *et al.* 2009.

## 9. Les appliques en dent de suidé

### *Corpus de Dikili Tash :*

- 269 appliques en dent de suidé dont un groupement de 257 pièces au sein de la maison 1 (Secteur 6) auquel on peut ajouter 32 lots d'esquilles de dent de suidé.

### **Les appliques dans le monde égéen ...**

Très peu d'appliques similaires à celles de la maison 1 de Dikili Tash ont été découvertes en Grèce. Les pièces les plus proches se situent à Sitagroi. Ces objets ont été classés dans deux catégories différentes : l'industrie osseuse et la parure. Dans les deux cas, ces objets ont été considérés comme des os, bien qu'il soit fait mention de canines pour certains individus. On compte deux exemplaires en dent de suidé (SF 2839, SF 5288)<sup>139</sup> et un troisième objet déterminé comme « bone », mais pouvant en réalité correspondre à de la dent (SF 923)<sup>140</sup>. Ces objets sont datés de la phase I (SF 923), de la phase II (SF 2839) et de la phase III (SF 5288), c'est-à-dire respectivement du NM, du NR I et du NR II. Hormis pour l'applique SF923 qui est très fragmentaire, les deux autres appliques en dent de suidé mesurent entre 5,6 cm et 6,3 cm de long pour 1,6 cm à 2,1 cm de large<sup>141</sup> (**fig. 264**). On note également l'exemple d'une applique en dent de suidé issu d'une collection privée de Thessalie<sup>142</sup>. Il mesure 4,6 cm de long pour 1,3 cm de large. L'illustration indiquerait peut-être la présence de stries sur une face.



*fig. 264 - Exemple d'appliques en os et dent de suidé issues du site de Sitagroi d'après Elster, Renfrew 2003, pl. 2.17*

Plusieurs pièces, présentant une morphologie comparable à celle des appliques en dent de Dikili Tash,

<sup>139</sup> Elster, Renfrew 2003, p. 44, fig. 2.7 b-c.

<sup>140</sup> Nikolaidou 2003b, p. 384, n°923, p.386, fig.9.27 a.

<sup>141</sup> Nikolaidou 2003b, p. 385, 397.

<sup>142</sup> Kyparissi-Apostolika 1998, p. 108, p. 199, n° 661, pl. 22.

ont été fabriqués en pierre, en os ou en coquillage (spondyle).

L'os semble être le matériau le plus répandu, comme sur le site de l'Achilleion qui a livré au moins deux appliques en os avec deux perforations d'un même côté<sup>143</sup>. A Sitagroi, en plus des trois appliques en dent, on peut rajouter un exemplaire en os (côte ?) (SF 834) issu de la phase III (Néolithique Récent II)<sup>144</sup>. Cette pièce mesure 6,7 cm de long pour 2,6 cm de large. En Thessalie, le site de Soufli-Magoula présente une applique en os fragmentaire de 3,8 cm de long pour 1,8 cm de large<sup>145</sup>. Sur le site de Franchthi, on compte des éléments en os datés de la phase 5, c'est-à-dire de la deuxième moitié du 5<sup>e</sup> millénaire, perforés sur un côté. Deux d'entre eux (FB 194 et FB 528) présentent une extrémité cassée et auraient pu posséder d'autres perforations qui en feraient des appliques<sup>146</sup>.

Les exemplaires en pierre connus en Grèce ont été découverts à Sitagroi<sup>147</sup>, en Macédoine orientale, et à Prodromos, en Thessalie. Ce dernier mesure 8,8 cm de long pour 1,5 cm de large<sup>148</sup>.

### Et dans le monde balkanique

Des exemplaires en dent de suidé sont également connus dans les Balkans. En Bulgarie, on compte un ensemble de 18 appliques découvertes dans la tombe masculine 211 de la nécropole de Durankulak. Il s'agit de l'une des tombes les plus riches du site et cette découverte est l'unique exemple de ce type de parure dans la nécropole de Durankulak. Les appliques, disposées au niveau des hanches, sont agencées en trois rangées<sup>149</sup>. Cette découverte illustre leur utilisation comme une très probable garniture de ceinture, les pièces étant fixées sur un matériau périssable<sup>150</sup>.

Parmi les autres exemples bulgares, on note la découverte dans l'habitat du tell Nuriyuk (Sushina, Bulgarie) d'un important lot composé de 40 exemplaires présentant deux perforations à chaque extrémité et une troisième au centre pour certaines appliques centrales<sup>151</sup> (**fig. 265**).



fig. 265 - Exemple d'appliques en dent de suidé issues du tell Nuriyuk d'après Chohadziev et al. 2019, fig. 2

143 Gimbutas, Winn, Shimabuku 1989, p. 253, fig. 8.4.

144 Elster, Renfrew 2003, p. 50, et p. 44, fig. 2.7 d; Nikolaidou 2003b, p. 386, fig.9.27 a.

145 Kyparissi-Apostolika 1998, p. 108, p. 199, n° 660, pl. 22.

146 Miller 1997, fig.16, p. 148-149.

147 Nikolaidou 2003a, p. 351.

148 Kyparissi-Apostolika 1998, p. 116, p. 204 N° 732, pl. 44.

149 Todorova et al. 2002b, p.39, fig.16.

150 Ce type de fixation sur un matériau périssable rappelle les appliques en dent de suidé fixées sur des calottes en cuir ou en tissu découvertes dans les tombes mycéniennes.

151 Chohadziev et al. 2019, p.59-60, fig.2.

Les autres attestations sont moins nombreuses et exclusivement issus de contexte domestique. On compte une applique à Goljamo Delcevo, une autre à Azmaska Mogila et six appliques sur le site de Ruse<sup>152</sup>.

Dans le sud de la Roumanie, deux tombes de la nécropole de Chirnogi ont fourni des exemplaires d'appliques en dents de suidé. La tombe 17 comporte 9 appliques, tandis que la tombe 36 en comporte 7<sup>153</sup>. Toutes ces pièces ont une morphologie similaire, bien que l'on note une certaine hétérogénéité dans les dimensions. De forme rectangulaire avec un rétrécissement central, elles ont deux trous à chaque extrémité, exception faite de deux appliques dont l'une des extrémités ne présente qu'une perforation en raison d'une largeur plus faible de la pièce. Une étude des traces présentes sur les surfaces de ces objets a montré que ces derniers présentaient des degrés différents d'usure, ce qui laisse penser aux chercheurs que, notamment pour l'ensemble de la tombe 36, les appliques ont été portées pendant plusieurs années avec des ajouts successifs avant le décès des individus auxquels elles appartenaient<sup>154</sup>.

Plus à l'est, le cimetière néolithique de Marioupol (Ukraine) a également livré plusieurs exemplaires de parure en dent de suidé. Il s'agit d'appliques de dimension et morphologie variée découvertes dans cinq tombes d'enfants. Leur nombre par tombe varie de deux à vingt pièces. Elles ont été découvertes aussi bien autour de la tête que vers le bassin ou les jambes, parfois associées à d'autres éléments de parure (perles, coquilles percées, etc.). Certaines de ces pièces semblent avoir des décors gravés en surface<sup>155</sup>.

En Bulgarie, les nécropoles ont également fourni de telles appliques en os, comme les six exemplaires de la tombe 738 de Durankulak. H. Todorova indique que plusieurs autres exemplaires du même type était également présents dans d'autres tombes mais, en raison de leur trop mauvais état de conservation, n'ont pas été récupérés<sup>156</sup>.

Sur le site d'habitat roumain de Pietrele, plusieurs appliques rectangulaires ont été découvertes<sup>157</sup> ; elles sont fabriquées en os, sauf pour une unique applique faite en dent de suidé. Les morphologies de ces pièces sont assez variables ; elles présentent deux perforations à chaque extrémité. La pièce en dent mesure 3,53 cm de long pour 1,94 cm de large<sup>158</sup>.

Des exemplaires en spondyle ont été découverts dans plusieurs tombes du cimetière de Durankulak. Leur morphologie est relativement variable et ces appliques sont le plus souvent associées à des perles tubulaires en spondyle pour former un bandeau. Les tombes peuvent fournir d'une à une vingtaine

---

152 Todorova, Vasjov 2001, p. 85, pl. 39, n° 494 à 497.

153 Margarit, Dimache 2019b. Les auteurs indiquent ne pas pouvoir identifier ni le sexe, ni l'âge des défunts des différentes tombes.

154 Margarit, Dimache 2019b, p.411.

155 Mykhailova 2020, p. 372-375, fig.1, 2, 4.

156 Todorova, Vasjov 2001, p. 73-74, planche 27, n° 353.

157 Hansen *et al.* 2011, p. 103-105.

158 Hansen *et al.* 2011, fig. 89, n°12.

de pièces par ensemble. Ces bandeaux sont le plus souvent associés aux tombes féminines<sup>159</sup>. La seule occurrence connue dans un site d'habitat est une applique en spondyle découverte sur le site de Karanovo<sup>160</sup>.

## Bilan

Il semble donc que les appliques en dent de suidé découvertes sur le site de Dikili Tash soient marquant, tant en terme de morphologie qu'en terme de quantité. Les quelques exemples attestés par ailleurs concernent des sites voisins (Sitagroi, Dimitra) et rappellent plus, par leur morphologie, les pièces issues du secteur B2 que l'important lot de plus petites appliques découvertes dans la maison 1. Les autres appliques en dent de suidé mises au jour sont rares comparativement aux appliques produites dans d'autres matériaux (os et coquille). On notera cependant que leur présence est attestée dans les Balkans et jusqu'en Roumanie, mais elles sont absentes des sites, notamment funéraires, de l'ouest des Balkans où les dents de suidés ne sont utilisées que sous la forme de pendentifs conservant leur courbure naturelle<sup>161</sup>.

Si l'on considère la rareté des occurrences tant dans le monde égéen que balkanique, le lot de la maison 1 de Dikili Tash, avec ses 150 à 250 pièces, fait figure d'exception. Si l'on y ajoute la présence de dents de suidé entières non travaillées, il semble évident que ce lot correspond à un stock dans le cadre d'une production locale. Cette découverte est donc exceptionnelle à bien des égards.

La présence d'appliques dans l'espace funéraire est bien attestée, mais se limite à quelques rares tombes. On note une grande disparité dans le nombre d'appliques par tombe qui varie de 2 à 4 pièces jusqu'à une vingtaine. En prenant en compte le module plus petit que ceux découverts dans les tombes, on peut estimer que les 150 à 250 pièces découvertes à Dikili Tash pourraient correspondre à 20 ou 30 petits ensembles de parure ou à une dizaine d'ensembles plus importants. Ces données montrent l'importance du lot en question.

En raison de la disponibilité de la matière première sur la zone d'étude, il est fort probable que chaque communauté fabrique sa propre production. L'hétérogénéité des pièces renforce cette hypothèse. Il n'est cependant pas exclu, étant donné la quantité importante du stock de Dikili Tash, que tout ou partie soit destiné à d'autres communautés régionales ou extrarégionales.

---

159 Todorova *et al.* 2002b, catalogue.

160 Todorova, Vasjov 2001, p. 85, pl. 39 N°498.

161 Zalai-Gaál *et al.* 2009, p. 348.

## 10. Les pendentifs en astragale

### *Corpus de Dikili Tash*

- 17 astragales réparties sur tout le site.

Les pendentifs fabriqués à partir d'astragales sont très rares sur les sites de Grèce. Seul le site voisin de Sitagroi a fourni 2 exemplaires<sup>162</sup>. Les autres sites de Macédoine ou de Thessalie n'ont pas livré de tels objets<sup>163</sup>.

En Bulgarie, quelques rares sites ont fourni des exemples d'astragales perforés, notamment les sites d'habitat de Goljamo Delcevo, d'Ovcarovo et de Gniljane<sup>164</sup>. On relève aussi une imitation d'un astragale en or massif issue de la tombe 36 de la nécropole de Varna I. On notera l'absence de ce type de pièces dans les autres nécropoles bulgares.

### **Bilan**

Il apparaît que la fabrication de pendentif à partir d'un astragale est un processus très rare contrairement à la fabrication de pendentif à partir d'une dent. Cette rareté pourrait s'expliquer par une moindre valeur attribuée à ce type d'ornement. L'astragale en or de la tombe de Varna pourrait au contraire indiquer que ce type d'objet est réservé à une catégorie bien particulière d'individu, bien qu'il ne soit pas possible d'en définir les caractéristiques.

---

<sup>162</sup> Nikolaidou 2003a, p. 346, fig. 9.22.

<sup>163</sup> Kyparissi-Apostolika 1998.

<sup>164</sup> Todorova, Vasjov 2001, p. 62-63, pl. 20, n° 236 à 239, en os, et n° 235 en or.

## 11. Bilan

Le corpus de parure du site de Dikili Tash permet de mettre en valeur plusieurs aspects de la production de pièces de parure au cours du Néolithique à l'aune des découvertes faites dans les mondes égéen et balkanique.

On retrouve aussi bien des pièces communes aux différentes communautés que des pièces uniques propre au corpus de notre site.

Ainsi les perles, notamment discoïdales, se retrouvent dans toute l'aire égéo-balkanique et semble, au vu des découvertes funéraires, destinées à être portées sous forme de colliers agrémentés ou non d'autres éléments tels des pendentifs. Ces données, principalement issues du monde balkanique, nous indiquent une grande variabilité en terme de quantité dans la composition d'un ensemble. Il est fort probable que chaque individu, à hauteur de sa place dans la société, aura accès à une plus ou moins grande quantité et/ou variété dans l'assemblage de perles. La coquille et la pierre semblent être préférées dans une recherche plus liée à un choix esthétique qu'à une préférence pour un matériau. Notre impossibilité visuelle à distinguer parfois les types de matériaux employés renforce notre impression que l'aspect visuel de ces parures revêt plus d'importance que le matériau employé. On notera cependant la particularité du site de Dikili Tash et de son important lot de perles discoïdales en terre cuite. Ce lot ne présente pas de pendant ailleurs dans le monde égéo-balkanique, ce qui en fait un *unicum*. Il est actuellement difficile de comprendre la finalité d'un tel ensemble : particularité locale, imitation de perles en pierre ou coquille à moindre coût/investissement, commande spéciale, etc. ?

La répartition des appliques en dent de suidé montre leur présence sur un territoire large allant de l'Ukraine à la Serbie en passant par la Roumanie. Elles sont portées groupées sous forme de bandeau ou ceinture dans des contextes funéraires du monde balkanique. Ces appliques sont également produites dans d'autres matériaux tels que le spondyle ou l'os. Lorsqu'elles sont portées autour de la taille, elles semblent plutôt destinées à des hommes, tandis que les femmes semblent plutôt les porter autour de la tête comme un bandeau. Leur nombre peut varier et atteindre une vingtaine de pièces par ensemble. Le lot de plusieurs centaines d'appliques, d'une morphologie inédite (faible dimension), découvertes à Dikili Tash est donc de ce point de vue très exceptionnel puisque pouvant servir jusqu'à une dizaine de gros ensembles.

Le cas des pendentifs pyramidaux est aussi caractéristique puisque, bien que ce type de pièces soit présent sur quelques sites des Balkans, la morphologie des pièces de Dikili Tash semble être relativement unique et leur grande homogénéité en fait un ensemble intéressant.

Du point de vue de la production, il semble qu'une partie de ces objets aient pu être produits localement au sein de chaque communauté, notamment lorsque la matière première était aisément accessible (pierre, dent de suidé, terre cuite). Il est fort probable que ces objets n'ont pas circulé entre les commu-

nautés en tant qu'objets finis étant donné la diversité des morphologies au sein des différents sites. Il est dès lors intéressant de se poser la question de la transmission des savoir-faire en raison d'une production très similaire d'une communauté à l'autre.

Une partie de la production échappe cependant à ce schéma : la parure en coquillage. En effet, cette matière première n'est accessible que via les communautés du littoral égéen. Il s'agit donc de comprendre quelles modalités se sont mises en place afin de fournir aux communautés situées dans les terres ce matériau : sous formes de coquilles entières ou de pièces finies ou semi-finies ; de proche en proche, ou via des « commerçants ambulants », etc.

Le cas des anneaux en spondyle permet en partie de répondre à cette question. Cette coquille exclusivement récoltée en mer Égée possède une diffusion lointaine (jusqu'en Europe occidentale) et est présente dans plusieurs tombes riches du monde balkanique. La grande rareté de coquilles de spondyle entières, mais aussi d'autres coquilles, sur des sites hors de Grèce indiquerait l'absence de travail de ces coquillages hors du monde égéen. *A contrario*, la présence non négligeable de coquilles entières, mais aussi de pièces en cours de fabrication, sur plusieurs sites égéens renforce l'idée d'une production autour du littoral égéen. Les anneaux découverts à Dikili Tash, notamment les exemplaires complets mis au jour en groupe, confirment bien l'hypothèse selon laquelle les anneaux seraient produits sur des sites proches de la mer Égée pour être ensuite diffusés à travers toute l'Europe. En l'absence de données funéraires pour la Grèce néolithique, il n'est cependant pas évident de connaître la proportion d'objets destinés à être conservés sur place et celle des objets destinés à d'autres communautés. Les nombreux anneaux fragmentés découverts sur les sites grecs indiquent cependant une utilisation non négligeable sur les sites d'habitat.

Que ce soit sous forme de produits finis, travaillés sur place ou issus d'une circulation, ou sous la forme de transmission de savoir-faire, la comparaison des objets de parure dans toute l'aire égéo-balkanique confirme que les communautés partagent un certain nombre d'idées, de valeurs, de préférences esthétiques. Les objets de parure représentent une forme de « langage » commun, ce que certains désignent par le terme « *koiné* ». Ce langage s'enrichit très certainement d'apports issus des différentes communautés, chacune y apportant ses compétences, ses goûts ou bien encore ses croyances.



## Chapitre 7 - Conclusion

L'étude du corpus de pièces de parure découvertes sur le site de Dikili Tash nous a permis de mieux appréhender plusieurs aspects de l'univers de la parure du Néolithique égéo-balkanique. Une étude quasi-exhaustive de l'ensemble des objets de parure découvert sur le site a été effectuée afin d'obtenir le maximum de données possibles sur ces objets. Plusieurs méthodes d'observations et d'analyses ont été mises en place dans le cadre d'une étude tracéologique et une étude typo-chronologique de ces objets a été effectuée afin d'étudier l'évolution de ces objets au cours du Néolithique récent. Enfin, la comparaison avec des pièces de parure du monde balkanique permet de replacer le corpus de Dikili Tash dans son environnement néolithique.

### Un corpus classique autour d'une triade ...

Si l'on exclut les pièces de la maison 1, les découvertes faites sur le site de Dikili Tash sont cohérentes avec celles d'autres sites contemporains (Sitagroi, Dimitra, Dispilio, etc.), à savoir des pièces ayant été utilisées puis abandonnées (ou perdues) sur le site. On y retrouve une triade classique composée d'anneaux en spondyle (quasi exclusivement fragmentaires), de coquilles simplement percées et de perles (parfois découvertes groupées). Ces objets sont majoritairement produits à partir de pierre et de coquille, matériaux accessibles dans l'environnement immédiat du site.

### Un lot exceptionnel ...

En complément de ces objets découverts principalement lors des fouilles anciennes, un important stock de pièces de parure a été découvert dans la maison 1 au cours des campagnes de fouilles 2012 et 2013 qui a permis d'apporter une autre vision de la parure sur les sites du Néolithique grec. En effet, ce lot est exceptionnel tant d'un point de vue typologique qu'en terme de quantité. On note la présence des classiques anneaux en spondyle et des perles, majoritairement discoïdales, mais on y note également l'absence des coquilles simplement percées et l'apparition de types jusque-là peu ou pas connus.

On retrouve, dans ce lot de parure, seize anneaux en spondyle regroupés dont six exemplaires entiers. Cette découverte ne connaît pas actuellement pas de pendant, principalement en terme de quantité que ce soit sur les sites d'habitat grec comme dans les nécropoles balkaniques. Bien que très présentes dans les corpus de parure du Néolithique, les perles découvertes à Dikili Tash le sont dans des quantités jusqu'ici inconnues. Ainsi plusieurs milliers de perles ont été découvertes enfilées ensemble, probablement plus dans un souci de stockage que d'assemblage. D'autres éléments renforcent ce caractère exceptionnel, à savoir la présence de pièces peu ou pas connues ailleurs dans le monde égéo-balkanique : des appliques en dents de suidés, des pendentifs pyramidaux et des perles discoïdales en terre cuite. Ces éléments de parure ont tous été découverts dans la maison 1 et dans des quantités non négligeables.

## **Une variabilité et une adaptabilité des techniques ...**

Les pièces de parure de Dikili Tash permettent de mieux appréhender les chaînes opératoires de production engagées par les communautés néolithiques de Grèce du nord. Malgré l'absence de traces liées aux premières étapes de fabrication, dû à un corpus en grand majorité abouti, il a été possible grâce à la documentation de plusieurs chaînes opératoires d'établir les probables processus en jeu dans la fabrication des objets de Dikili Tash. Autour de quatre étapes majeures (préforme, façonnage, perforation et finition), on note une adaptation permanente des acteurs au matériau choisi et à la pièce désirée.

L'étude morphométrique des objets montre une évolution de la production dans le temps. Ainsi les pièces produites au cours du Néolithique Récent I sont métriquement plus variables et typologiquement moins variées qu'au cours du Néolithique Récent II, qui voit l'apparition de types nouveaux (appliques, pendentifs pyramidaux) et une homogénéisation de la production notamment dans le cas des perles discoïdales. Cette comparaison chronologique nous permet d'en déduire une amélioration de la production. La question se pose dès lors d'établir les raisons de cette amélioration : apprentissage des techniques plus établi, savoir-faire mieux utilisé, activité dédiée à un ou des individus maîtrisant plus de compétences, etc. ?

## **Quid de l'utilisation ?**

La quasi-totale absence de vestiges funéraires en Grèce néolithique ne nous permet pas de comprendre la finalité des pièces de parure. Bien qu'il existe, sur plusieurs sites, des exemples d'agencements de parure le plus souvent sous forme de colliers, il n'est pas possible de savoir qui portaient ces parures, comment elles étaient agencées ou quelles valeurs elles transmettaient. Pour tenter de répondre à ces questions, il nous faut nous tourner vers le monde balkanique et principalement les nécropoles des différentes communautés.

Les pièces de parure sont portées soit directement sur le corps soit sur des supports eux-mêmes portés sur le corps, par exemple des ceintures, des bandeaux, des vêtements décorés. Certaines pièces sont portées seules comme les anneaux en coquillage quasi systématiquement mis au jour autour des bras, parfois groupés par deux. Les appliques, notamment en dent de suidé, sont également associées seules. Leur découverte dans les tombes suggère qu'elles ont été cousues sur un support périssable et le plus souvent porté autour de la taille comme une ceinture.

D'autres tombes montrent des associations de différents types de parure entre elle. Le plus souvent ces associations concernent les perles et les pendentifs. Le nombre et le type de pièces associées est variable : des perles de différentes morphologies associées à des pendentifs de forme variable ou des perles en différents matériaux. Ces assemblages peuvent regrouper quelques dizaines de pièces jusqu'à plusieurs milliers.

Il semble dès lors difficile d'établir des ensembles-types en fonction du genre du porteur. En effet, bien que certaines pièces semblent plutôt destinées à un univers masculin comme, par exemple, les gar-

nitures de ceinture en appliques de dent de suidé, les tombes masculines comme féminines possèdent toutes deux des éléments de parure portés sur l'ensemble du corps. La variabilité dans les assemblages semble être plus liée au statut de la personne qu'à son sexe.

Ainsi, on peut se poser la question du choix des éléments de parure par les individus. L'ethnologie nous a montré que ces pièces sont porteuses d'un grand nombre de valeurs, qu'elles soient esthétiques, sociales, culturelles, rituelles, etc. Les pièces de Dikili Tash ne nous permettent pas d'avancer d'hypothèses dans ce sens car elles n'ont pas été découvertes dans un contexte d'utilisation. En effet, la très grande majorité des pièces ont été découvertes soit dans un stock d'atelier sans avoir été utilisées, soit dans des couches d'abandon sans que leur modalité d'utilisation n'ait pu être appréhendée. On notera cependant la découverte de quelques rares assemblages qui nous permettent d'avancer que les habitants du site pouvaient mêler des perles de matériaux différents (pierre et coquille), probablement dans une recherche esthétique liée à la couleur blanche, mais aussi associer des perles et des pendentifs. Ces quelques rares cas rappellent les découvertes faites dans le monde funéraire balkanique. Malgré des contextes plus ou moins assurés, l'étude des pièces de parure des nécropoles balkaniques confirme la valeur symbolique que revêtent certaines pièces de parure. Ainsi, la découverte d'anneaux en coquillage autour des bras de défunts tend à indiquer une valeur particulière (laquelle ?) à ces objets de faible diamètre qui sont enfilés jeune (enfance ou adolescence) à un moment où le poignet de l'individu est assez faible pour pouvoir passer l'anneau. Dans la même optique, la rareté des appliques en dent de suidé découvertes laisse à penser que ces pièces étaient réservées à une catégorie particulière (laquelle ?) d'individu.

### **Quels liens entre les communautés du monde égéo-balkanique ?**

L'étude du corpus de parure du site de Dikili Tash nous a également permis de mieux comprendre les possibles relations qu'entretiennent les différentes communautés entre elles. On notera que la majorité des pièces découvertes sur le site de Dikili Tash ont également été mises au jour sur des sites d'habitat et dans des nécropoles du monde balkanique. Pour la grande majorité des pièces, l'existence de matière première locale, ainsi que des variations dans les morphologies, orientent vers des productions locales. Autour d'un fond commun constitué de perles, pendentifs et anneaux, chaque communauté adapte sa production à la demande. On peut dès lors s'interroger sur la finalité des pièces découvertes à Dikili Tash, notamment du lot de parure de la maison 1. La totalité ou une partie de cette production est-elle destinée à d'autres communautés ? Des sites grecs ou balkaniques ? Au delà ?

Le cas des coquillages est particulier. En effet, la matière première est exclusivement récoltée en mer Égée mais se trouve présente, parfois dans d'importantes proportions, sur plusieurs sites des Balkans. L'absence de coquilles non travaillées et de pièces en cours de fabrication orientent vers une production hors du monde balkanique. *A contrario*, la présence de nombreux indices de production sur le territoire égéen, comme c'est le cas à Dikili Tash, indiquerait une production principalement centrée autour des sites proches du littoral.

La présence de perles en or en faible quantité sur le monde égéen, contrairement aux importantes quantités découvertes notamment dans la nécropole de Varna, laisse envisager un schéma contraire aux objets en coquilles avec une influence voire une maîtrise issue du monde balkanique vers le monde égéen.

On peut alors se poser la question des modalités mises en place pour faire transiter ces objets entre ces deux mondes : « commerçants itinérants » ? de proche en proche ? Sous forme de produits finis ou semi-finis ?

Il est également intéressant de se demander dans quel cadre ces objets sont créés : sont-ils produits dans le cadre de « commande » ou au contraire sont-ils fabriqués au fur et à mesure en fonction de la disponibilité de la matière première et/ou des individus ?

# Perspectives

L'un des enjeux que soulève un corpus tel que celui de Dikili Tash concerne la prise en compte de tous les aspects en jeu dans les processus de fabrication de ces objets afin de mieux comprendre toutes les implications que cette activité de production a sur la société néolithique égéenne, aussi bien au niveau intra-site qu'au niveau inter-sites. La présente étude a permis de mettre en valeur l'importance d'une compilation exhaustive de l'ensemble des pièces et de leurs caractéristiques, tant au niveau des données techniques que des savoir-faire. Néanmoins, une étude plus technique, basée notamment sur l'expérimentation, permettrait de confirmer ou d'infirmer certaines hypothèses et par là mieux comprendre les processus de création. Il en découlera certainement des questionnements sur les notions d'artisans, d'ateliers, d'organisation de la société, etc.

Un autre enjeu d'un tel corpus concerne les notions de circulation des objets. La rareté surprenante des témoignages funéraires dans le monde égéen pose bien évidemment la question de la finalité de ces objets de parure. Sont-ils uniquement destinés à être portés durant la vie d'un individu ou accompagnent-ils leurs porteurs également dans la mort comme on peut le voir dans les nécropoles balkaniques ?

Ces questions liées à l'organisation de la production et de sa distribution permettrait de mieux concevoir les relations mises en place entre les communautés mais aussi au sein d'une même communauté.

Enfin il est également important de tenter de comprendre quelles valeurs ces différents objets véhiculent. A quel moment sont-ils chargés de leur valeur ? Un anneau en spondyle est-il jugé précieux dès la récolte de la coquille ou lorsque l'anneau est fini ? Un même ensemble de perles possède-t-il la même portée symbolique qu'il soit porté par un individu d'un site de mer Egée ou par un habitant d'un site de Bulgarie centrale ? Ces notions de valeur devront être éclairées par des études ethnographiques afin de cerner les différents « messages » que transmettent ces objets de parure.



# Bibliographie

## A

### **ALARASHI 2010**

Hala Alarashi, « Shell beads in the Pre-Pottery Neolithic B in Central Levant: Cypraeidae of Tell Aswad (Damascus, Syria) Shell beads in the Pre-Pottery Neolithic B in Central Levant: Cypraeidae of Tell Aswad (Damascus, Syria) », in Esteban Álvarez Fernández, Diana Rocío Carvajal Contreras (éd.), *Not only food. Marine, terrestrial and freshwater mollusc in archaeological sites*, Munibe, supplément volume 31, 2010, p. 88-98.

### **ALEXANDROVA 2017**

Ralitsa Alexandrova, « Nakiti ot glina, kamük, cherupka ot mida i minerali », in Krum Bachvarov, Milena Tonkova et Georgi Katsarov (éd.), *Sürnevo Vkopani strukturi ot küsniya neolit, rannata i küs-nata zhelyazna epokha i rimskiya period*, Sofia, 2017, p. 367-380.

### **AUGEREAU, BONNARDIN 1998**

Anne Augereau, Sandrine Bonnardin, « Marolles-sur-Seine «Le Chemin de Sens» (Seine-et-Marne) et la fabrication de la parure en calcaire au Néolithique ancien », *Bulletin de la Société Préhistorique Française*, Paris, N°95-1, 1998, p. 23-40.

### **AVRAMOVA 2002**

Maja Avramova, « Der Schmuck aus den Gräbern von Durankulak », in Henrieta Todorova (éd.), *Durankulak, Band II, Die Prähistorischen Gräberfelder von Durankulak*, tome 1, 2002, p. 191-206.

## B

### **BARGE-MAHIEU ET AL. 1991**

Hélène Barge-Mahieu, Claire Bellier, Henriette Camps-Faber, Pierre Cattelain, L. Mons, Nöelle Provenzano, Yvette Taborin, *Fiches typologiques de l'industrie osseuse préhistorique Cahier IV Objets de parure*, Aix-en-Provence, 1991.

### **BAR-YOSEF MAYER 1997**

Daniella E. Bar-Yosef Mayer, « Neolithic Shell Bead Production in Sinai », *Journal of Archaeological Science*, 1997, p. 97-111.

**BAR-YOSEF ET AL. 2004**

Danielle Bar-Yosef, Naomi Porat, Z. Gal, Dina Shalem, H. Smithline, « Steatite beads at Peqi'in: Long distance trade and pyro-technology during the Chalcolithic of the Levant », *Journal of Archaeological Science*, volume 31, 2004, p. 493-502.

**BECHTEL, GOURDON-PLATEL 2000**

Françoise Bechtel, Nicole Gourdon-Platel, « Cathodoluminescence et archéologie », *Dossiers d'Archéologie* 253, 2000, p. 36-39.

**BOCQUENET 1998**

Jean-Pierre Bocquet, « Les ateliers de perles en coquillages marins des Pyrénées méditerranéennes. L'exemple de l'atelier de perles du «Moulin» à Duran-Corbières (Aude) », in Gabriel Camps (éd.), *L'Homme Préhistorique Et La Mer*, Paris, 1998, p. 259-272.

**BONNARDIN 2004**

Sandrine Bonnardin, *La parure funéraire du Néolithique ancien en Bassins parisien et rhénan*, thèse de doctorat, Université de Paris 1, 2004.

**BONNARDIN 2013**

Sandrine Bonnardin, « La parure dans la chronologie des temps funéraires: Quatre exemples néolithiques », *Les nouvelles de l'archéologie* 132, 2013, p. 1217.

**BORONEANȚ, MARGARIT, BONSALE 2019**

Adina Boroneanț, Monica Mărgărit, Clive Bonsale, « Discoidal Beads: Novel Elements of the Starčevo Early Neolithic Package », in Valeriu Sîrbu, Alexandra Comșa and Dumitru Hortopan (éd.), *Digging in the Past of Old Europe, Studies in Honor of Cristian Schuster At His 60th Anniversary*, Târgu Jiu, 2019, p. 51-71.

**BOYADZHIEV Y., BOYADZHIEV K., PETROV 2017**

Yavor Boyadzhiev, Kamen Boyadzhiev, Valeri Petrov, « Selishtna mogila Yunatsite – khalkoliten plast », *Arkheologicheski otkritiya i razkopki prez 2016 g*, Sofia, 2017, p. 111-113.

**BOYADZHIEV Y., BOYADZHIEV K., PETROV 2019**

Yavor Boyadzhiev, Kamen Boyadzhiev, Valeri Petrov, « Selishtna mogila Yunatsite – khalkoliten plast », *Arkheologicheski otkritiya i razkopki prez 2018 g*, Sofia, 2019, p. 64-67.

### **BOYADHZIEV 2022**

Kamen Boyadzhiev, « Ukrasheniya Ot Kamük », in Yavor Boyadzhiev, Kamen Boyadzhiev, Valeri Petrov, Stanimira Taneva, Tzvetana Popova, Krastyu Chukalev, Galya Atanasova, Chavdar Nachev, *Khalkolitno Selishte Vürkhari*, Sofia, 2022, p. 253-260

### **BUDJA 1998**

Mihael Budja, « Clay tokens -accounting before writing in Eurasia », *Documenta Praehistorica* 25, 1998, p. 219-235.

## **C**

### **CAMPS-FABER 1962**

Henriette Camps-Faber, *Parures des temps préhistoriques en Afrique du Nord*, Alger-Tunis, 1962.

### **CHAPMAN, KOSTOV 2010**

John Chapman, Ruslan Kostov, « The Ornaments », in John Chapman (éd.) *From Surface Collection to Prehistoric Lifeways Making Sense of the Multi-Period Site of Orlovo, South East Bulgaria*, Oxford, 2010, p. 40- 79.

### **CHAPMAN, GAYADARSKA 2014**

John Chapman, Bisserka Gaydarska. « Spondylus gaederopus/Glycymeris exchange networks in the European Neolithic and Chalcolithic », in Chris Fowler, Jan Harding, Daniela Hofmann (éd.), *The Oxford Handbook of Neolithic Europe*, 2014.

### **CHOHADZIEV ET AL. 2019**

Stefan Chohadzhiev, Anton Atanasov, Mitko Velez, Dragan Iliev, Nina Mihajlova, « Drevno Arkheologicheskoto Prouchvane Na Selishtna Mogila Nuriyuk V M. Cha Nadzhik , S. Sushina, Obl. Shumen », *Arkheologicheski otkritiya i razkopki prez 2018 g*, Sofia, 2019, p. 59-61

### **CHONDROYIANNI-METOKI 2020**

Areti Chondroyianni-Metoki, « Outside the Residential Place at the Neolithic Settlement of Toumba Kremastis Koiladas, Northern Greece », in Nenad N. Tasić, Dushka Urem-Kotsou, Marcel Burić (éd.), *Making Spaces into Places, BAR S3001*, Oxford, 2020.

## D

### **DARCQUE ET AL. 2020A**

Pascal Darcque, Haïdo Koukouli-Chryssanthaki, Dimitra Malamidou, René Treuil, Zoï Tsirtsoni, *Dikili Tash, Village préhistorique de macédoine orientale II, Vol. 2, Histoire d'un tell : les recherches 1986-2016*, Athènes, 2020.

### **DARCQUE ET AL. 2020B**

Pascal Darcque, Haïdo Koukouli-Chryssanthaki, Dimitra Malamidou, René Treuil, Zoï Tsirtsoni « Les méthodes et les outils » in Pascal Darcque, Haïdo Koukouli-Chryssanthaki, Dimitra Malamidou, René Treuil, Zoï Tsirtsoni (éd.), *Dikili Tash, Village préhistorique de macédoine orientale II, Vol. 2, Histoire d'un tell : les recherches 1986-2016*, Athènes, 2020, Athènes, 2020, p. 7-34.

### **DARCQUE ET AL. 2020C**

Pascal Darcque, Haïdo Koukouli-Chryssanthaki, Dimitra Malamidou, René Treuil, Zoï Tsirtsoni « Une nouvelle histoire de Dikili Tash » in Pascal Darcque, Haïdo Koukouli-Chryssanthaki, Dimitra Malamidou, René Treuil, Zoï Tsirtsoni (éd.), *Dikili Tash, Village préhistorique de macédoine orientale II, Vol. 2, Histoire d'un tell : les recherches 1986-2016*, Athènes, 2020, p. 611-622.

### **DARCQUE, TOUCHAIS, TREUIL 1992**

Pascal Darcque, Gilles touchais, René Treuil « Travaux de l'EFA en Grèce en 1991 : Dikili Tash », *Bulletin de Correspondance Hellénique* 116, Athènes, 1992, p. 715-719.

### **DIMITRIJEVIĆ, TRIPKOVIC 2006**

Vesna Dimitrijević, Boban Tripkovic, « Spondylus and Glycymeris bracelets: trade reflections at Neolithic Vinča-Belo Brdo », *Documenta Praehistorica* 11, 2006, p. 237-252.

## E

### **EKMEN ET AL. 2020**

Hamza Ekmen, Caner Diker, Güliden Ekmen, C. Tunoğlu, « New Evidence of Chalcolithic Age Steatite Beads from İnönü Cave: Typology and Technology Aspects with Archaeometric Techniques », *Mediterranean Archaeology and Archaeometry*, Volume 20-2, 2020, p. 113-129.

**ELSTER, RENFREW 2003**

Ernestine S. Elster, Colin Renfrew, *Prehistoric Sitagroi: excavations in Northeast Greece, 1968-1970; Volume 2. The Final Report*, Los Angeles, 2003.

**ELUERE (ÉD.)1989**

Christiane Eluère (éd.), *Le Premier or de l'humanité en Bulgarie : 5e millénaire : [exposition], 17 janvier-30 avril 1989, Musée des antiquités nationales, Saint-Germain-en-Laye*, Paris, éd. de la Réunion des musées nationaux, 1989.

**ESNARD, RICOUD, 2000**

Thimus Esnard, Christian Ricoud « Étude expérimentale concernant la fabrication de perles en coquillage de deux sites artenaciens oléronais », *Bulletin de la Société préhistorique française*, Volume 91-1, Paris, 2000, p. 83-93.

**F**

**FAUGÈRES, DARCQUE, TSIRTSONI 2020**

Lucien Faugères, Pascal Darcque, Zoï Tsirtsoni « Les Secteurs III et IV », in Pascal Darcque, Haïdo Koukouli-Chryssanthaki, Dimitra Malamidou, René Treuil, Zoï Tsirtsoni (éd.), *Dikili Tash, Village pré-historique de macédoine orientale II, Vol. 2*, Athènes, 2020, p. 99-105.

**FISCHER, SCHNEIDER, BAUCHOT 1987**

W. Fischer, M. Schneider, M-L. Bauchot, *Guide Fao d'Identification des Espèces pour les Besoins de la Pêche Méditerranée et Mer Noire - Zone de Pêche 37 Volume 1: Végétaux et Invertébrés*, Rome, 1987.

**FRANCIS 1989**

P. Francis, « The Manufacture of Beads from Shell. » In C. F. Hayes III (éd.), *Proceedings of the 1986 Shell Bead Conference: Selected Papers*, Rochester, p. 25-36.

**G**

**GIMBUTAS, WINN, SHIMABUKU 1989**

Marija Gimbutas, Shan Winn, Daniel Shimabuku, *Achilleion: A Neolithic settlement in Thessaly, Greece, 6400 - 5600 BC*, Los Angeles, 1989.

**GREBSKA-KULOVA, GUROVA, ZIDAROV 2021**

Malgorzata Grebska-Kulova, Maria Gurova, Petar Zidarov, « Anthropomorphic figurines and miniature beads from the Early Neolithic settlement of Ilindentsi, southwest Bulgaria », *Bulgarian e-Journal of Archaeology* 11, 2021, p. 1-31.

**GROUET, GOURDON-PLATEL, BECHTEL 1999**

Nathalie Grouet, Nicole Gourdon-Platel, Françoise Bechtel, *Document de travail relatif à l'étude physique d'éléments d'origine archéologique provenant de Dikili Tash*, Grèce, Bordeaux, 1999.

**GRUET, LAPORTE, BODEUR 2009.**

Yves Gruet, Luc Laporte, Yves Bodeur, « La parure », in Luc Laporte (éd.), *Des premiers paysans aux premiers métallurgistes sur la façade atlantique de la France (3500 - 2000 av. J.-C.)*, Chauvigny, 2009, p. 470-520.

**GUROVA ET AL. 2013**

Maria Gurova, Clive Bonsall, Bruce Bradley, Elka Anastassova, « Approaching prehistoric skills: experimental drilling in the context of bead manufacturing », *Bulgarian e-Journal of Archaeology* 3, 2013, p. 201-221.

## H

**HALSTEAD 1993**

Paul Halstead « Spondylus shell ornaments from late Neolithic Dimini, Greece: specialized manufacture or unequal accumulation? » *Antiquity* 67.256, 1993, p. 603-609.

**HANSEN ET AL. 2011**

Svend Hansen, Meda Toderas, Agathe Reingruber, Dirk Nowacki, Heide Nørgaard, Daniel Spanu und Jürgen Wunderlich, « Die kupferzeitliche Siedlung Pietrele an der Unteren Donau », *Eurasia Antiqua* 17, 2011, p. 45-120.

## I

### **IFANTIDIS 2006**

Fotis Ifantidis, « *Ta Kosmimata tou Neolithikou Oikismou tou Dispiliou Kastorias: Paragogi kai Chrisi mias “Aisthitikis Ergaleiothikis [The Personal Ornaments from the Lakeside Neolithic Settlement of Displio, Kastoria: Production and Function of an “Aesthetic Toolkit” ]»*, thèse de doctorat, université de Thessalonique, 2006.

### **IFANTIDIS 2019**

Fotis Ifantidis, *Practices of personal adornment in Neolithic Greece*, Oxford, 2019.

## K

### **KARALI 1991**

Lilian Karali, « La parure en coquillage du site de Dimitra en Macédoine protohistorique » in Robert Laffineur, Julien Basch (éd.), *THALASSA: L’Egée Préhistorique et la Mer*, Université de Liège, 1991, p. 315-322.

### **KARALI-YANNACOPOULOS 1992**

Lilian Karali-Yannacopoulos, « La parure », in René Treuil (éd.), *Dikili Tash, village préhistorique de Macédoine orientale, I. Fouilles de Jean Deshayes (1961-1975)*, vol. 1, *Bulletin de Correspondance Hellénique* supplément 24, Athènes, 1992, p. 159-164.

### **KARALI-YANNACOPOULOU 1997**

Lilian Karali-Yannacopoulou, « Dimitra - Matériel malacologique » in Dimitrios Grammenos (éd.), *Neolithike Makedonia*, Athènes, 1997, p. 200-211.

### **KOUKOULI-CHRYSSANTHAKI, RHOMIOPOULOU 1992**

Χαίδω Κουκούλη-Χρυσανθάκη, Κ. Ρωμιπούλου, « Οι ανασκαφές στον ελληνικό τομέα του προϊστορικού οικισμού Ντικιλί Τας (1961-1967) », in *Διεθνές Συνέδριο για την αρχαία Θεσσαλία στη μνήμη του Δημήτρη Ρ. Θεοχάρη*, *Praktika* 147, 1992, p. 226-248.

#### **KOUKOULI-CHRYSSANTHAKI ET AL. 2020**

Haïdo Koukouli-Chryssanthaki, Dimitra Malamidou, Pascal Darcque, Zoï Tsirtsoni, Sandra Pré-vost-Dermarkar, Soultana Maria Valamoti « Le Secteur 6 » in Pascal Darcque, Haïdo Koukouli-Chryssanthaki, Dimitra Malamidou, René Treuil, Zoï Tsirtsoni (éd.), *Dikili Tash, Village préhistorique de macédoine orientale II, Vol. 2, Histoire d'un tell : les recherches 1986-2016*, Athènes, 2020, p. 225-445.

#### **KYPARISSI-APOSTOLIKA 1998**

Nina Kyparissi-Apostolika, *Τα προϊστορικά κοσμήματα της Θεσσαλίας*, Thèse de doctorat, Université Aristote de Thessalonique, 1998.

## **L**

#### **LESPEZ 2008**

Laurent Lespez, « L'évolution des paysages du Néolithique à la période ottomane dans la plaine de Philippos-Drama », in *Dikili Tash, village préhistorique de Macédoine orientale. Recherches franco-helléniques dirigées par la Société Archéologique d'Athènes et l'École française d'Athènes (1986-2001)*, Bibliothèque de la Société Archéologique d'Athènes n° 254, 2008, p. 21-394.

#### **LESPEZ, GLAIS, TSIRTSONI 2020**

Laurent Lespez, Arthur Glais, Zoï Tsirtsoni « Les carottages et les investigations paléoenvironnementales » in Pascal Darcque, Haïdo Koukouli-Chryssanthaki, Dimitra Malamidou, René Treuil, Zoï Tsirtsoni (éd.), *Dikili Tash, Village préhistorique de macédoine orientale II, Vol. 2, Histoire d'un tell : les recherches 1986-2016*, Athènes, 2020, p. 495-559.

## **M**

#### **MALAMIDOU, TSIRSTONI, VAXEVANOPOULOS 2022**

Dimitra Malamidou, Zoï Tsirtsoni, Markos Vaxevanopoulos, « The emergence of metal use in Greek Eastern Macedonia during the Neolithic period (late 6th–5th millennia BC) », *Documenta Praehistorica XLIX*, 2022, p. 2-21.

**MANIATIS ET AL. 2009**

Yannis Maniatis, Stratis Papadopoulos, Elissavet Dotsika, D. Kavoussanaki, E. Tzavidopoulos, « Provenance Investigation of Neolithic marble vases from Limenaria, Thassos: imported marble to Thassos? » in Maniatis (éd.), *ASMOSIA VII, Proceedings of the 7th International Conference of the Association for the Study of Marble and Other Stones in Antiquity*, BCH Suppl. 51, Athènes, p. 439-449.

**MARGARIT, BORONEANT 2021**

Monica Mărgărit, Adina Boroneant, « Implements of wild boar canines during the Neolithic and Chalcolithic at the Lower Danube », *Documenta Praehistorica* 48, 2021, p. 2-21.

**MARGARIT, DIMACHE 2019A**

Monica Mărgărit, Mădălina Dimache, « Personal adornments discovered in the Boian funerary contexts: necropolis of Sultana-Valea Orbului (Călărași County, Romania) », *Studii de Preistorie* 16, 2019, p. 15-39.

**MARGARIT, DIMACHE 2019B**

Monica Mărgărit, Mădălina Dimache, « Personal adornments from the Eneolithic necropolis of Chir-nogi-Suvita Iorgulescu (Romania): a picture of symbolism in prehistoric communities », *Documenta Praehistorica* XLVI, 2019, p. 398-413.

**MARGARIT ET AL. 2020**

Monica Margarit, Mihai Gligor, Valentin Radu, Alina Bintintan, « About fragmentation, recycling and imitation in prehistory: adornments made of marine valves in the settlement of Alba Iulia-Lumea Nouă (Romania) », in Monica Margarit, Adina Boroneant (éd.), *Beauty and the eye of the beholder, Personal adornments across the millennia*, Targoviste, 2020, p. 299-322.

**MARGARIT, VIRAG, DIACONU 2020**

Monica Margarit, Cristian Virag, Alexandra Georgiana Diaconu, « Were personal adornments just for women? The case of the Eneolithic necropolis from Urziceni-Vamă (Satu Mare County, Romania) » in Monica Margarit, Adina Boroneant (éd.), *Beauty and the eye of the beholder, Personal adornments across the millennia*, Targoviste, 2020, p. 399-412.

**MARQUEBIELLE 2014**

Benjamin Marquebielle, *Le travail des matières osseuses au mésolithique : caractérisation technique et économique à partir des séries du sud et de l'est de la France*, thèse de doctorat, université de Toulouse Le Mirail, 2014.

**MERKYTE, OSTERGAARD, ZIDAROV 2005**

Inga Merkyte, Jesper Sorensen Ostergaard, Petar Zidarov, « Liga, Copper Age Strategies in Bulgaria », *Acta Archaeologica* 76.1, Copenhagen, 2005

**MILLER 1997**

Michele Ann Miller, *Jewels of shell and stone, clay and bone: the production, function and distribution of Aegean Stone Age ornaments*, thèse de doctorat, université de Boston, 1997.

**MILLER 2003**

Michele Ann Miller, « Appendix 9.3. Technical Aspects of Ornament Production at Sitagroi ». In Ernestine S. Elster, Colin Renfrew (éd.), *Prehistoric Sitagroi : excavations in northeast Greece, 1968-1970. Volume 2 : final report*, Cotsen Institute of Archaeology Press at UCLA, 2003, p. 369-382.

**MOUGNE ET AL. 2018**

Caroline Mougne, Catherine Dupont, Querré Guirec, Patricia Semelier, Valérie Audé, « Perles discoïdes en coquille marine et en roche de l'âge du Bronze dans le Centre-Ouest de la France : l'exemple du Mas de Champ Redon à Luxé », in *Animal symbolisé, animal exploité : du Paléolithique à la Protohistoire*, Paris, 2018, p. 1-23.

**MYKHAILOVA 2020**

Nataliia Mykhailova, « Personal ornaments of the children in the Mariupol type cemeteries », in Monica Margarit, Adina Boroneant (éd.), *Beauty and the eye of the beholder, Personal adornments across the millennia*, Targoviste, 2020, p. 371-382.

**N**

**NIKOLAIDOU 2003A**

Marianna Nikolaidou, « Chapter 9. Items of Adornment : [Chapter 9] ». In Ernestine S. Elster, Colin Renfrew (éd.), *Prehistoric Sitagroi : excavations in northeast Greece, 1968-1970. Volume 2 : final report*, Cotsen Institute of Archaeology Press at UCLA, 2003, p. 331-360.

**NIKOLAIDOU 2003B**

Marianna Nikolaidou, « Appendix 9.4. Catalog of Items of Adornment ». In Ernestine S. Elster, Colin Renfrew (éd.), *Prehistoric Sitagroi : excavations in northeast Greece, 1968-1970. Volume 2 : final report*, Cotsen Institute of Archaeology Press at UCLA, 2003, p. 383-401.

**NIKOLAIDOU, IFANTIDIS (ÉD.) 2011**

Marianna Nikolaidou, Fotis Ifantidis (éd.), *Spondylus in Prehistory: New Data and Approaches. Contributions to the Archaeology of Shell Technologies, BAR International Series 2216, Oxford, 2011.*

**NIKOLOV 2010**

Vasil Nikolov, *Solta e zlato. Praistoricheski solodobiven tsentūr Provadiya-Solnitsata*, Sofia, 2010.

**P**

**PALEOLOGOU 2007**

Maria Paleologou, «Promachonas—Topolnica. Items of adornment and marble vessels: a preliminary approach », *Το Αρχαιολογικό έργο στη Μακεδονία και Θρακία*, volume 21, Thessalonique, 2007, p. 347-354.

**PAPPA, KAROLIDIS, SCOTT 2003**

Maria Pappa, Dimitris Karolidis, David Scott, «Νεολιθικός οικισμός Μακρύγιαλου Πιερίας: Τεχνολογία χάλκινων αντικειμένων », in Ευαγγελία Βούλγαρη (éd.) *Η Προϊστορική Έρευνα στην Ελλάδα και οι Προοπτικές της: Θεωρητικοί και Μεθοδολογικοί Προβληματισμοί. Πρακτικά Διεθνούς Συμποσίου στη Μνήμη του Δ. Ρ. Θεοχάρη, Θεσσαλονίκη-Καστοριά, 26-28 Νοεμβρίου 1998*, Thessalonique, 2003, p. 273-279.

**PAPPA, VEROPOULIDOU 2011**

Maria Pappa, Rena Veropoulidou, « The Neolithic settlement at Makriyalos, Northern Greece: Evidence from the Spondylus gaederopus artifacts ». In Fotis Ifantidis, Maria Nikolaidou (éd.), *Spondylus in Prehistory. New Data and Approaches. Contributions to the Archaeology of Shell Technologies*, Oxford, 2011, p. 105-121.

**PERLÈS 2012**

Catherine Perlès, « Stones, pots... and now ornaments: revisiting the Middle/Late and Late/Final Neolithic transitions et Franchthi (Argolid). », in Mònica Borrell, Ferran Borrell, Josep Bosch, Xavier Clop, Miquel Molist (éd.), *Congrés Internacional Xarxes al Neolític – Neolithic Networks Rubricatum*, 2012, p. 539-546.

**PERLÈS 2018**

Catherine Perlès, « Le statut des échanges au Néolithique », in Søren Dietz, Fanis Mavridis, Zarko Tankosić, Turan Takaoğlu. (éd.), *Communities in transition, the Circum-Aegean during 5<sup>th</sup> and 4<sup>th</sup> Millennia BC*, 2018, p. 331-340.

**PERLÈS, PION 2020**

Catherine Perlès, Patrick Pion, « The Cerastoderma bead production at Franchthi (Greece): A case of apprenticeship ? » in Monica Margarit, Adina Boroneant (éd.), *Beauty and the eye of the beholder, Personal adornments across the millennia*, Targoviste, 2020, p. 223-245.

**PICKARD, SCHOOP 2013**

Catriona Pickard, Ulf-Dietrich Schoop, « Characterization of Late Chalcolithic micro-beads from Çamlıbel Tarlasi, north-central Anatolia », *Archaeometry*, Volume 55-1, 2013.

**POLIKRETI, MANIATIS 2002**

Kyriaki Polikreti and Yannis Maniatis « New Methodology for the Provenance of Marble Based on EPR Spectroscopy », *Archaeometry*, Volume 44-1, 2002, p. 1-21.

**PRÉVALET 2013**

Romain Prévalet, *La décoration des pièces d'orfèvrerie-bijouterie en Méditerranée orientale à l'âge du Bronze : techniques, productions, transmissions*, Thèse de doctorat, Université de Paris I, 2013.

## **R**

**REESE 1987**

David S. Reese, « Marine and fresh-water mollusks ». In Pontus Hellström (éd.), *Paradeisos: A Late Neolithic Settlement in Aegean Thrace*, Stockholm, p. 119-134.

**RENFREW, SLATER 2003A**

Colin Renfrew, Elizabeth A. Slater, « Chapter 8. Metal Artifacts and Metallurgy », in Ernestine S. Elster, Colin Renfrew, *Prehistoric Sitagroi: excavations in Northeast Greece, 1968-1970; Volume 2. The Final Report*, Los Angeles, 2003, p. 301-318.

**RENFREW, SLATER 2003B**

Colin Renfrew, Elizabeth A. Slater, « Appendix 8.1. The Finds: Metal Objects », in Ernestine S. Elster, Colin Renfrew, *Prehistoric Sitagroi: excavations in Northeast Greece, 1968-1970; Volume 2. The Final Report*, Los Angeles, 2003, p. 319-322.

**RIDLEY, WARDLE, MOULD (ÉD.) 2000**

Cressida Ridley, Kenneth A. Wardle, Catherine A. Mould (éd.), *Servia I, Anglo-Hellenic Rescue Excavations 1971-73 directed by Katerina Rhomiopoulou and Cressida Ridley, Annual of the British School, Supplement 32*, 2000.

### **RIGAUD 2011**

Solange Rigaud, *La parure : traceur de la géographie culturelle et des dynamiques de peuplement au passage Mésolithique-Néolithique en Europe*, thèse de doctorat, université de Bordeaux 1, 2011.

### **ROSCIO 2018**

Mafalda Roscio, *Les nécropoles de l'étape ancienne du Bronze final du Bassin parisien au Jura souabe: XIVe-XIIe siècle avant notre ère*, Éditions universitaires de Dijon, 2018.

## **S**

### **SÉFÉRIADÈS 1992**

Michel Louis Séfériadiès, « Le métal » in René Treuil (éd.), *Dikili Tash, village préhistorique de Macédoine orientale, I. Fouilles de Jean Deshayes (1961-1975)*, vol. 1, *Bulletin de Correspondance Hellénique* supplément 24, Athènes, 1992, p. 113-119.

### **SÉFÉRIADÈS 2010**

Michel Louis Séfériadiès, « Spondylus and long-distance trade in prehistoric Europe » In D. W. Anthony and J. Chi (éd.), *The lost world of old Europe. The Danube valley, 5000-3500 BC*. New York, Princeton, p. 179-186.

### **SHACKELTON 2003**

Nicholas Shackelton, « Appendix 9.2. Catalog of Worked Shell ». In Ernestine S. Elster, Colin Renfrew (éd.), *Prehistoric Sitagroi : excavations in northeast Greece, 1968-1970. Volume 2 : final report*, Cotsen Institute of Archaeology Press at UCLA, 2003, p. 366-368.

### **SIDÉRA 2005**

Isabelle Sidéra, « Technical data, typological data: A confrontation », in Heidi Luik, Alice M. Choyke, Colleen E. Batey and Lembi Lõugas (éd.), *From Hooves to Horns, from Mollusc to Mammoth, Manufacture and Use of Bone Artefacts from Prehistoric Times to the Present*, Tallinn, 2005, p. 81-90.

### **SIKLOSI 2013**

Zsuzsanna Siklosi, *Traces of Social Inequality during the Late Neolithic in the Eastern Carpathian Basin*, Budapest, Institute of Archaeological Sciences, Eötvös Loránd University, 2013.

# T

## **TABORIN 1974**

Taborin, Yvette, « La Parure en coquillage de l'Épipaléolithique au Bronze Ancien en France ». *Gallia Pré-histoire* 17 fasc. 1,2, 1974.

## **THEODOROPOULOU 2007**

Tatiana Théodoropoulou, « La Mer dans l'assiette, l'exploitation des faunes aquatiques dans l'alimentation en Égée pré- et protohistorique », in Christopher Mee, Josette Renard (éd.), *Cooking up the Past, Food and Culinary practices in the Neolithic and Bronze Age Aeagan*, Oxford, 2007.

## **THOMAS 2017**

Nathalie Thomas, *De la conception à l'utilisation des pierres à aiguiser, polissoirs et autres outils de l'abrasion dans le monde égéen à l'âge du Bronze*, thèse de doctorat, Université de Paris I, 2017.

## **TODOROVA ET AL. 2002A**

Henrieta Todorova, Todor Dimov, Javor Bojadziev, Ivan Vajsov, Kalin Dimitrov und Maja Avramova, *Durankulak, Band I, Die Prähistorischen Gräberfelder von Durankulak*, Sofia, 2002.

## **TODOROVA ET AL. 2002B**

Henrieta Todorova, Todor Dimov, Javor Bojadziev, Ivan Vajsov, Kalin Dimitrov und Maja Avramova, *Durankulak, Band II, Die Prähistorischen Gräberfelder von Durankulak*, Sofia, 2002.

## **TOTH 2020**

Zsuzsanna Toth, « Mixing and matching social value : personal adornments made from hard animal materials in the Late Neolithic burials of Kisköre-Gat (Hungary) », in Monica Margarit, Adina Borneant (éd.), *Beauty and the eye of the beholder, Personal adornments across the millennia*, Targoviste, 2020, p. 383-398.

## **TOUFEXIS 2016**

Georgios Toufexis, « Chapter 19. Palioskala. A Late Neolithic, Final Neolithic and Early Bronze Age settlement in the Eastern Thessalian plain (Central Greece): Reassessing Chronology in prehistoric Greece and Bulgaria, 5000-3000 cal BC » in Zoï Tsirtsoni (éd.), *The Human Face of Radiocarbon*, 2016, Lyon, p. 361-380.

## **TREUIL (éd.) 1992**

René Treuil (éd.), *Dikili Tash, village préhistorique de Macédoine orientale, I. Fouilles de Jean Deshayes (1961-1975)*, vol. 1, *Bulletin de Correspondance Hellénique supplément 24*, Athènes, 1992.

#### **TREUIL ET AL. 2020**

René Treuil, Zoï Tsirtsoni, Pascal Darcque, Sandra Prévost-Dermarkar « Le Secteur V » in Pascal Darcque, Haïdo Koukouli-Chryssanthaki, Dimitra Malamidou, René Treuil, Zoï Tsirtsoni (éd.), *Dikili Tash, Village préhistorique de macédoine orientale II, Vol. 2, Histoire d'un tell : les recherches 1986-2016*, Athènes, 2020, p. 107-224.

#### **TSIRTSONI 2017**

Zoï Tsirtsoni, « L'or et son usage dans la région de Philippes au Ve millénaire av. J.-C. » *Comptes rendus des séances de l'Académie des Inscriptions et Belles-Lettres* 161, n° 3, 2017, p. 1295-1316.

#### **TSIRTSONI 2020A**

Zoï Tsirtsoni, « Le Secteur I » in Pascal Darcque, Haïdo Koukouli-Chryssanthaki, Dimitra Malamidou, René Treuil, Zoï Tsirtsoni (éd.), *Dikili Tash, Village préhistorique de macédoine orientale II, Vol. 2, Histoire d'un tell : les recherches 1986-2016*, Athènes, 2020, p. 561-609.

#### **TSIRTSONI 2020B**

Zoï Tsirtsoni, « Les datations et la chronologie absolue » in Pascal Darcque, Haïdo Koukouli-Chryssanthaki, Dimitra Malamidou, René Treuil, Zoï Tsirtsoni (éd.), *Dikili Tash, Village préhistorique de macédoine orientale II, Vol. 2, Histoire d'un tell : les recherches 1986-2016*, Athènes, 2020, p. 561-609.

#### **TSIRTSONI, GERMAIN-VALLÉE, MALAMIDOU 2020**

Zoï Tsirtsoni, Cécile Germain-Vallée, Dimitra Malamidou, « Le Secteur 2 » in Pascal Darcque, Haïdo Koukouli-Chryssanthaki, Dimitra Malamidou, René Treuil, Zoï Tsirtsoni (éd.), *Dikili Tash, Village préhistorique de macédoine orientale II, Vol. 2, Histoire d'un tell : les recherches 1986-2016*, Athènes, 2020, p. 49-97.

#### **TSUNEKI 1989**

Akira Tsuneki, « The manufacture of Spondylus shell objects at neolithic Dimini, Greece », *Orient* 25, 1989, p. 1-21.

## **V**

#### **VANHAEREN 2002**

Marian Vanhaeren, *Les fonctions de la parure au paléolithique supérieur : de l'individu à l'unité culturelle*, thèse de doctorat, université de Bordeaux 1, 2002.

**VANHAEREN, D'ERRICO, 2001**

Marian Vanhaeren, Francesco d'Errico. « La parure de l'enfant de la Madeleine (fouilles Peyrony). Un nouveau regard sur l'enfance au Paléolithique supérieur », *Paléo* 13, 2001, p. 201-240.

**VANHAEREN, D'ERRICO, 2006**

Marian Vanhaeren, Francesco d'Errico. « Aurignacian Ethno-Linguistic Geography of Europe Revealed by Personal Ornaments », *Journal of Archaeological Science* 33, 2006, p. 1105-1128.

**VANHAEREN, D'ERRICO, 2011**

Marian Vanhaeren, Francesco d'Errico. « L'émergence du corps paré ». *Civilisations* 59-2, 2011, p. 59-86.

**VITEZOVIC 2012**

Selena Vitezovic, « Neolithic bone industry in Banat », in Srđan Predić (éd.), *Home Of Longevity For Cultural Treasury Of Banat – Establishment Of Regional Cultural Centre For Banat Heritage – "Konkordia"*, Vrsac, 2012, p. 25-29.

**VITEZOVIC 2016**

Selena Vitezovic, « The Sea Within: The Use Of Mollusc Shells As Ornaments In The Central Balkans Neolithic », in Constantin Preoteasa, Ciprian-Dorin Nicola (éd.), *Cucuteni Culture within the European Neo-Eneolithic Context: Proceedings of the International Colloquium „Cucuteni - 130. 15-17 October 2014, Piatra-Neamț, Romania: In Memoriam Dr. Dan Monah, In Memoriam Dr. Gheorghe Dumitroaia*, Piatra-Neamț, 2016, p. 237-256.

**VITEZOVIC, ANTONOVIC 2020**

Selena Vitezovic, Dragana Antonovic, « Jewellery from osseous and lithic raw materials in the Vinča culture », in Monica Margarit, Adina Boroneant (éd.), *Beauty and the eye of the beholder, Personal adornments across the millennia*, Targoviste, 2020, p. 71-100.

**W**

**WRIGHT ET AL. 2008**

Katherine Wright, Pat Critchley, Andrew Garrard, Douglas Baird, Roseleen Bains, Simon Groom, « Stone Bead Technologies and Early Craft Specialization: Insights from Two Neolithic Sites in Eastern Jordan », *Levant, volume 40*, 2008, p. 131-165.

## Z

### **ZALAI-GAÁL ET AL. 2009**

Istvan Zalai-Gaál, Erika Gal, Kohler Kitti, Anett Osztás, « Eberhauerschmuck und Schweinekiefer-Beigaben in den Neolithischen und Kupferzeitlichen Bestattungssitten des Karpatenbeckens », *Acta Archaeologica* 60, 2009, p. 303-355.

### **ZIDAROV 2014**

Petar Zidarov, « Knochen und geweihgeräte : Traditionen und Praktiken im Alltag der Einwohner Ovcarovo-Gorata », in Raiko Krauss (éd.), *Ovcarovo-Gorata, eine Frühneolithische Siedlung in Nordostbulgarien*, Bonn, 2014, p. 250-270.



# Table des illustrations

<i>fig. 1 - Localisation des principaux sites égéens et balkaniques.</i>	14
<i>fig. 2 - les secteurs fouillés lors du programme 1 (en mauve), du programme 2 (en jaune) et du programme 3 (en vert) ; en rouge les carrotages), 1/1250-</i>	17
<i>fig. 3 - La terminologie chronologique des différents programmes à Dikili Tash dans le contexte régional</i>	24
<i>fig. 4 - Tableau des numérotations du site selon les différents programmes</i>	30
<i>fig. 5 - Exemple d'une fichier mobilier dans DikMob</i>	32
<i>fig. 6 - Tableau de classification des différents types de parure</i>	42
<i>fig. 8 - Dessin d'une applique (dessin et mise au net : R. Douaud)</i>	43
<i>fig. 7 - Dessin d'un anneau (dessin et mise au net : R. Douaud)</i>	43
<i>fig. 10 - Dessin d'un pendentif pyramidal (dessin et mise au net : R. Douaud)</i>	44
<i>fig. 9 - Dessin de pendentifs de forme naturelle (dessin et mise au net : R. Douaud)</i>	44
<i>fig. 11 - Dessin d'un pendentif de forme géométrique (dessin et mise au net : R. Douaud)</i>	44
<i>fig. 12 - Dessins des formes des perles (dessin et mise au net : R. Douaud)</i>	45
<i>fig. 13 - Dimensions des différents types de parure</i>	46
<i>fig. 14 - Répartition des matériaux au sein du corpus de parure.</i>	47
<i>fig. 15 - Répartition des types d'objet au sein du corpus de parure.</i>	48
<i>fig. 16 - Répartition des matériaux au sein du corpus de perles.</i>	49
<i>fig. 17 - Répartition des matériaux au sein du corpus de pendentifs.</i>	50
<i>fig. 18 - Répartition des formes d'objets au sein du corpus de pendentifs.</i>	50
<i>fig. 19 - La perle 6445-099, x10</i>	54
<i>fig. 21 - La perle 6578-039, x10</i>	54
<i>fig. 20 - La perle 6578-042, x10</i>	54
<i>fig. 22 - La perle 6266-003, x10</i>	54
<i>fig. 24 - La perle 6105-001, x2,5</i>	55
<i>fig. 23 - Le pendentif 5/305.100/41-008, 2:1</i>	55
<i>fig. 25 - La perle 5/311.102/06-009b, x12,5</i>	55
<i>fig. 26 - La perle 6360-009, x5</i>	56
<i>fig. 28 - L'applique 6364-006, 1:1</i>	56
<i>fig. 27 - L'anneau 2/288.070/09-001, x1,25</i>	56
<i>fig. 30 - La perle 6085-003, x5</i>	57
<i>fig. 32 - Vue d'un grain de quartz sur la surface de la perle 6559-001, x5</i>	57
<i>fig. 29 - Quelques perles 6266, 2:1</i>	57
<i>fig. 31 - Vue d'un grain de quartz sur la surface de la perle 6147-008, x40</i>	57
<i>fig. 33 - Vue d'un grain de quartz sur la surface de la perle 6130-009, x6.25</i>	57
<i>fig. 34 - Spondylus Gaedoropus</i>	61
<i>fig. 35 - Glycymeris Pilosa</i>	62
<i>fig. 36 - Cerastoderma Glaucum</i>	63
<i>fig. 37 - Cerithium Vulgatum</i>	64
<i>fig. 38 - Columbella Rustica</i>	64
<i>fig. 39 - Conus Mediterraneus</i>	65

<i>fig. 40 - Cyclopea Neritea</i> - - - - -	65
<i>fig. 42 - Hexaplex Trunculus</i> - - - - -	66
<i>fig. 41 - Smaragdia viridis</i> - - - - -	66
<i>fig. 43 - Dentalium Vulgaris</i> - - - - -	67
<i>fig. 44 - Exemple de chaîne opératoire de fabrication de perle discoïdale, d'après Gruet et al. , fig. 399</i> - - - - -	75
<i>fig. 45 - Dessin d'une lame en silex issu du site de Dikili Tash (dessin et mise au net : O. Metaxas)</i>	76
<i>fig. 46 - Le cylindre rainuré 609030-002, 2:1</i> - - - - -	77
<i>fig. 47 - Vue des perles discoïdales in situ</i> - - - - -	78
<i>fig. 48 - Vue des perles discoïdales enfilées sur un lien, 1:1.</i> - - - - -	78
<i>fig. 49 - Exemple d'utilisation d'un fôret en silex d'après Esnard, Ricou, 2000, fig. 8</i> - - - - -	80
<i>fig. 51 - Fôrets en silex mis au jour sur le site de Franchti, d'après Perlès, Pion, 2020, fig. 4</i> - - - - -	80
<i>fig. 50 - Exemple d'une drille, d'après Esnard, Ricou, 2000, fig. 6</i> - - - - -	80
<i>fig. 52 - Vue du polissage dans la perforation de la perle 6585-012, x10.</i> - - - - -	81
<i>fig. 54 - Vue du polissage de la surface de la perle 6585-012, x5.</i> - - - - -	82
<i>fig. 53 - Exemples de pierres rainurées issues du site de Jilat (Jordanie), d'après Wright et al. 2008, fig. 15</i> - - - - -	82
<i>fig. 55 - Vue des concrétions sur la surface de la perle 6224-001, x5.</i> - - - - -	82
<i>fig. 56 - Vue des stries en surface de la perle 6349-012, x10</i> - - - - -	83
<i>fig. 57 - Vue des stries en surface de la perle 5/303.099/43-006, x5</i> - - - - -	83
<i>fig. 59 - Vue d'une rupture dans la perforation de la perle 5/310.104/20-003Q, x5</i> - - - - -	84
<i>fig. 58 - Vue d'une cupule d'accroche sur la perle 5/309.103/13-013, x2.5</i> - - - - -	84
<i>fig. 60 - Vue des stries concentriques dans la perforation de la perle 5/310.104/20-003H, x5</i> - - - - -	84
<i>fig. 61 - Vue de la perforation biconique de la perle tubulaire 6578-047, x5</i> - - - - -	85
<i>fig. 63 - Vue de la perforation droite de la perle tubulaire 6364-178, 4:1</i> - - - - -	85
<i>fig. 62 - Vue de la perforation biconique désaxée de la perle 5/310.104/20-003G, x2.5</i> - - - - -	85
<i>fig. 64 - Vue de la perforation polie de la perle 6349-012, x5</i> - - - - -	86
<i>fig. 65 - Vue de la surface polie de la perle 6184-001, x10</i> - - - - -	87
<i>fig. 67 - Vue de la surface polie de la perle 5/303.106/40-020A, x10</i> - - - - -	87
<i>fig. 66 - Vue de la surface polie de la perle 5/310.104/20-031B, x2.5</i> - - - - -	87
<i>fig. 68 - Vue d'une incision sur la perle discoïdale 6159-003, x12.5</i> - - - - -	89
<i>fig. 69 - Vue du cylindre tubulaire 6266-047, 4:1</i> - - - - -	89
<i>fig. 70 - Vue de la surface de la perle 6559-001, x5</i> - - - - -	90
<i>fig. 71 - Vue de la surface de la perle 6130-009, x5</i> - - - - -	90
<i>fig. 74 - Vue de la crête autour de la perforation de la perle 6085-003, x5</i> - - - - -	92
<i>fig. 72 - Vue de la perforation de la perle 5/300.107/02-004, x1</i> - - - - -	92
<i>fig. 75 - Vue de la surface polie de la perle 6147-011, x5</i> - - - - -	92
<i>fig. 73 - Vue de la perforation de la perle 5/304.103/20-005, x1</i> - - - - -	92
<i>fig. 76 - Vue de l'extrémité accidentée de la perle en dentale 5/302.105/41-006, x5</i> - - - - -	94
<i>fig. 78 - Vue de l'extrémité sciée de la perle en dentale 5/310.103/16-023, x5</i> - - - - -	94
<i>fig. 77 - Vue de l'extrémité en bec de flûte de la perle en dentale 6434-001, x2.5</i> - - - - -	94
<i>fig. 79 - Vue de la perforation de la perle 5/302.105/41-012, x10</i> - - - - -	95
<i>fig. 80 - Vue de l'extrémité polie de la perle 5/312.105/08-001, x10</i> - - - - -	95
<i>fig. 81 - Vue de la torsade en or 6344-790, 4:1</i> - - - - -	96

<i>fig. 83 - Vue de la perle en or 6344-152, 4:1</i>	97
<i>fig. 82 - Vue du repli de la perle en or 6344-086 sur une perle en pierre, 4:1</i>	97
<i>fig. 84 - Vue de surface de la perle en or 6344-086, 4:1</i>	98
<i>fig. 85 - Vue de la perle en cuivre 604023-016, 2:1</i>	99
<i>fig. 86 - Vue de la perle en cuivre 6266-035 enchassée dans une perle en pierre, 4:1</i>	100
<i>fig. 87 - Vue de la perle en cuivre 6266-035, 4:1</i>	100
<i>fig. 88 - Exemple de chaîne opératoire de fabrication d'anneau en spondyle, d'après Tsuneki 1989, fig. 6</i>	101
<i>fig. 89 - Vue de la charnière de la valve gauche sur un fragment d'anneau 5/310.103/04-059, 1:1</i>	102
<i>fig. 91 - Vue des stries sur la surface de l'anneau 5/301.103/13-005, x2.5</i>	103
<i>fig. 90 - Vue des stries sur la surface de l'anneau 2/288.070/09-001, x2.5</i>	103
<i>fig. 93 - Vue des stries sur la surface de l'anneau 5/310.104/10-023, x1</i>	104
<i>fig. 92 - Vue des stries sur la surface de l'anneau 5/310.103/04-059, x2.5</i>	104
<i>fig. 94 - Vue de la surface polie de l'anneau 5/313.103/02-050, x5</i>	105
<i>fig. 96 - Vue de la surface polie de l'anneau 5/301.103/04-008, x6</i>	105
<i>fig. 97 - Vue de la surface polie de l'anneau 5/304.098/41-003, x2.5</i>	105
<i>fig. 95 - Vue de la surface polie de l'anneau 5/310.104/10-022, x2.5</i>	105
<i>fig. 98 - Vue de la canine travaillée 9629-003, 1:1</i>	107
<i>fig. 99 - Vue d'une incision sur l'applique 6504-014, x5</i>	108
<i>fig. 100 - Vue des encoches sur la surface de l'applique 6364-038, x1</i>	109
<i>fig. 101 - Vue des encoches sur la surface de l'applique 6364-028, x2.5</i>	109
<i>fig. 102 - Vue des stries sur la surface de l'applique 6364-026, x2.5</i>	110
<i>fig. 103 - Vue des stries sur la surface de l'applique 6504-009, x5</i>	111
<i>fig. 104 - Vue de la concavité non striée de l'applique 6364-078, x1</i>	111
<i>fig. 107 - Vue des stries sur le bord de l'applique 6364-080, x5</i>	112
<i>fig. 105 - Vue de la surface émaillée brûlée de l'applique 6364-109, x2.5</i>	112
<i>fig. 106 - Vue de la surface émaillée de l'applique 6490-035, 2:1</i>	112
<i>fig. 108 - Vue de la double perforation de l'applique 6421-054, X1</i>	113
<i>fig. 110 - Vue de l'extrémité en biseau de l'applique 6535-008, x2.5</i>	113
<i>fig. 109 - Vue de la double perforation de l'applique 6344-150, 2:1</i>	113
<i>fig. 112 - Vue des stries dans la perforation de l'applique 6364-026, x10</i>	114
<i>fig. 111 - Vue de l'applique 6421-066, x1</i>	114
<i>fig. 113 - Vue des stries dans la perforation de l'applique 6364-128, x5</i>	114
<i>fig. 114 - Vue des stries dans la perforation de l'applique 6364-097, x5</i>	115
<i>fig. 116 - Vue de la perforation abandonnée sur l'applique 6421-027, x2.5</i>	115
<i>fig. 118 - Vue de la double perforation de l'applique 6421-007, x2.5</i>	115
<i>fig. 115 - Vue de la perforation biconique de l'applique 6421-056, x5</i>	115
<i>fig. 117 - Vue de la perforation abandonnée sur l'applique 6364-027, x2.5</i>	115
<i>fig. 119 - Vue de la surface polie de l'applique 102006-M0320, 1:1</i>	116
<i>fig. 120 - Vue de l'abrasion des parties saillantes sur le pendentif 5/317.104/06-004, x5</i>	117
<i>fig. 122 - Vue des stries d'abrasion sur la perforation du pendentif 5/303.100/43-004, x5</i>	118
<i>fig. 121 - Vue des stries d'abrasion sur la perforation du pendentif 5/311.101/01-006, x5</i>	118
<i>fig. 123 - Vue des stries d'abrasion sur la perforation du pendentif 5/311.106/30-005, x2.5</i>	118

fig. 124 - Vue des enlèvements autour de la perforation du pendentif 5/305.100/41-008, x2.5	119
fig. 126 - Vue des enlèvements autour de la perforation du pendentif 5/314.103/07-005, x2.5	119
fig. 125 - Vue des enlèvements autour de la perforation du pendentif 5/302.101/01-004, x2.5	119
fig. 127 - Vue des enlèvements autour de la perforation du pendentif 5/312.105/07-011, x5	119
fig. 128 - Vue de la double perforation dans le pendentif 6147-009, x2.5	120
fig. 129 - Vue des stries dans la perforation du pendentif 6108-001, x5	120
fig. 130 - Vue de la surface polie du pendentif 6108-001, x5	121
fig. 131 - Vue du pendentif 5/299.107/01-002, x2.5	122
fig. 132 - Vue du pendentif 5/312.106/30-009, x1	122
fig. 133 - Vue de la perforation biconique du pendentif 5/315.104/06-003, x5	124
fig. 134 - Vue de la perforation désaxée du pendentif 6552-003, x1	124
fig. 135 - Vue de la surface polie du pendentif 5/317.102/32-008, x2.5	125
fig. 137 - Vue de la surface striée du pendentif 5/317.102/32-009, x2.5	125
fig. 136 - Vue de la surface polie du pendentif 5/315.104/06-003, x1	125
fig. 138 - Vue de la surface striée du pendentif 5/310.102/31-014, x5	125
fig. 139 - Vue du polissage de la fracture du pendentif 5/310.102/31-014, x5	126
fig. 140 - Vue du pendentif 5/303.107/01-007, x1	127
fig. 141 - L'anneau 101010-M1254, 1:1	130
fig. 142 - Le fragment d'anneau 10106-M5029, 1:1	131
fig. 143 - L'applique 101007-M0463, 1:1	131
fig. 144 - Le fragment d'applique 101007-M0475, 1:1	131
fig. 145 - Le fragment d'anneau 101009-M0770, 1:1	132
fig. 146 - L'anneau 102005-M0285, 1:1	133
fig. 147 - L'applique 102006-M0320, 1:1	134
fig. 148 - Le fragment d'anneau 102010-M1230, 1:1	134
fig. 150 - Le lot de perles M0436, 2:1	136
fig. 149 - La perle M0206, 2:1	136
fig. 152 - Le pendentif M1674, 1:1	137
fig. 151 - Le pendentif M0715, 1:1	137
fig. 154 - Le pendentif M0155, 1:1	137
fig. 153 - Le pendentif M0764, 1:1	137
fig. 155 - La canine de suidé M1931, 1:1	138
fig. 156 - L'anneau M1910, 1:1	139
fig. 157 - Le fragment d'anneau M1736, 1:1	139
fig. 158 - Le pendentif 1/289.100/02-083, 1:1	141
fig. 159 - Le pendentif 1/289.102/04-006, 1:1	141
fig. 160 - La valve de spondyle 1/289.102/04-003, 1:1	142
fig. 163 - Le fragment d'anneau 2/288.072/15-003, 1:1	143
fig. 161 - Le pendentif 2029-001, 1:1	143
fig. 162 - Le pendentif 2060-004, 1:1	143
fig. 164 - La perle 2/288.070/12-002, 2:1	144
fig. 165 - La perle 2/288.071/06-013, 1:1	144
fig. 166 - La perle 2025-003, 2:1	144

<i>fig. 167 - Plan simplifié des différents niveaux dans le secteur V, 1/125</i>	145
<i>fig. 168 - Les perles du lot 5/310.104/20-017, 2:1</i>	146
<i>fig. 169 - Les perles 310.104/10/31 lors de leur prélèvement en bloc, 1:1</i>	147
<i>fig. 170 - graphique du rapport entre le diamètre et l'épaisseur des perles du locus 806</i>	148
<i>fig. 171 - graphique du rapport diamètre perle/ diamètre perforation des perles du locus 806</i>	148
<i>fig. 172 - Les pendentifs du lot 5/310.104/20-016</i>	149
<i>fig. 175 - Le fragment d'applique 5/310.103/15-013, 1:1</i>	150
<i>fig. 174 - Le fragment d'anneau 5/310.103/15-012, 1:1</i>	150
<i>fig. 173 - Le fragment d'anneau 5/310.103/15-011, 1:1</i>	150
<i>fig. 176 - Les perles du lot 5/317.103/06-005, 1:1</i>	151
<i>fig. 179 - Le pendentif 5/317.102/32-008, 1:1</i>	152
<i>fig. 177 - L'anneau 5/316.106/30-036b, 1:1</i>	152
<i>fig. 180 - Le pendentif 5/317.102/32-009, 1:1</i>	152
<i>fig. 178 - Le pendentif 5/314.105/06-009, 1:1</i>	152
<i>fig. 181 - La perle 5/317.102/32-010, 1:1</i>	152
<i>fig. 182 - Le pendentif 5/301.102/42-012, 1:1</i>	153
<i>fig. 184 - La perle 5/306.105/41-004, 2:1</i>	153
<i>fig. 185 - Les perles 5/303.106/40-020, 2:1</i>	153
<i>fig. 183 - Le pendentif 5/302.105/41-011, 1:1</i>	153
<i>fig. 186 - Le fragment de matière première 5/314.101/31-003, 1:1</i>	154
<i>fig. 187 - Le pendentif 5/300.107/02-003, 1:1</i>	155
<i>fig. 188 - La perle 5/300.107/02-004, 1:1</i>	155
<i>fig. 189 - L'anneau 5/316.101/50-001, 1:1</i>	156
<i>fig. 191 - La perle 5/303.099/43-006, 1:1</i>	156
<i>fig. 192 - La perle 5/309.103/13-013, 1:1</i>	156
<i>fig. 190 - Le pendentif 5/315.104/06-003, 1:1</i>	156
<i>fig. 193 - Le pendentif 5/311.102/04-007, 2:1</i>	157
<i>fig. 194 - Le pendentif 5/302.103/05-008, 1:1</i>	157
<i>fig. 195 - Le pendentif 5/305.101/01-008, 2:1</i>	157
<i>fig. 196 - Vue des lots de perles discoïdales datées du Néolithique Récent II</i>	158
<i>fig. 197 - graphique du rapport entre le diamètre et l'épaisseur des perles discoïdales du secteur V</i>	159
<i>fig. 198 - graphique du rapport entre le diamètre de la perle et le diamètre de la perforation des perles discoïdales du secteur V</i>	159
<i>fig. 199 - plan schématique des maisons du Néolithique Récent II dans le secteur 6 à l'issue des recherches du troisième programme; en rouge les fours, en hachure les plate-formes; 1/200. (d'après Koukouli-Chryssanthaki et al. 2020, fig.6-3)</i>	161
<i>fig. 200 - plan de localisation des lots de parure au sein de la maison 1 secteur 6; 1/100</i>	162
<i>fig. 201 - Les anneaux en spondyle de l'US 6364 in situ au-dessus d'un cône de graphite et d'appliques en dent.</i>	163
<i>fig. 202 - L'anneau en spondyle 6364-005, 1:2</i>	164
<i>fig. 203 - L'anneau en spondyle 6364-009, 1:2</i>	164
<i>fig. 204 - Le fragment d'anneau en spondyle 6364-014, 1:2</i>	165
<i>fig. 205 - Vue des appliques de l'US 6364 in situ</i>	166
<i>fig. 206 - L'applique 6344-150, 1:1</i>	167

<i>fig. 208 - Esquilles d'appliques en dent de suidé, 1:1</i>	167
<i>fig. 207 - L' applique 6364-035, 1:1</i>	167
<i>fig. 211 - La dent de suidé 6475-003, 1:2</i>	168
<i>fig. 209 - L' applique 6364-046, 1:1</i>	168
<i>fig. 210 - La dent de suidé 6504-010, 1:2</i>	168
<i>fig. 212 - le pendentif 6406-002, 2:1</i>	169
<i>fig. 213 - le pendentif 6445-069</i>	169
<i>fig. 214 - graphique du rapport entre la longueur et la largeur des pendentifs pyramidaux</i>	170
<i>fig. 215 - graphique du rapport entre la longueur et l'épaisseur des pendentifs pyramidaux</i>	170
<i>fig. 216 - graphique du rapport entre le diamètre et l'épaisseur des perles discoïdales du nord de la maison 1</i>	171
<i>fig. 217 - graphique du rapport entre le diamètre de la perle et le diamètre de la perforation des perles discoïdales du nord de la maison 1</i>	172
<i>fig. 218 - la perle 6344-042, 2:1</i>	173
<i>fig. 220 - la perle 6344-086, 2:1</i>	173
<i>fig. 221 - la torsade 6344-790, 2:1</i>	173
<i>fig. 219 - la perle 6184-006, 2:1</i>	173
<i>fig. 222 - Une cône en graphite in situ</i>	174
<i>fig. 223 - Les deux mottes de terre rouge in situ</i>	174
<i>fig. 224 - La pointe en cuivre 6524-003, 1:1</i>	175
<i>fig. 225 - La pointe en cuivre 6577-001, 1:1</i>	175
<i>fig. 226 - lot des perles discoïdales en terre cuite à leur sortie de fouille, 1:1</i>	176
<i>fig. 227 - graphique du rapport entre le diamètre et l'épaisseur des perles discoïdales en terre cuite</i>	177
<i>fig. 228 - graphique du rapport entre le diamètre de la perle et le diamètre de la perforation des perles discoïdales en terre cuite. (L'individu dont le diamètre de la perforation est de zéro correspond à un perle fragmentaire).</i>	177
<i>fig. 229 - le lot de perles hétérogènes de l'US 6266</i>	178
<i>fig. 230 - graphique du rapport entre le diamètre et l'épaisseur des perles hétérogènes</i>	179
<i>fig. 231 - graphique du rapport entre le diamètre de la perle et le diamètre de la perforation des perles hétérogènes</i>	179
<i>fig. 232 - la perle 603012-019, 2:1</i>	180
<i>fig. 233 - la perle 604023-016, 2:1</i>	180
<i>fig. 234 - les perles 60121-002, 610121-003, 610121-014, 610121-015, 2:1, dessin I. Vasjov</i>	181
<i>fig. 235 - graphique du rapport entre le diamètre et l'épaisseur des perles de la maison 3</i>	183
<i>fig. 236 - graphique du rapport entre le diamètre de la pièce et le diamètre de la perforation des perles de la maison 3</i>	183
<i>fig. 237 - le pendentif 610089-006, 1:1</i>	184
<i>fig. 239 - la lame en silex 610121-016, 1:1</i>	184
<i>fig. 238 - le pendentif 605092-001, 2:1</i>	184
<i>fig. 240 - le lot de pendentifs de l'US 611079</i>	185
<i>fig. 241 - le pendentif 611079-001, 1:1</i>	186
<i>fig. 243 - les perles 611083, a = 611083-021, b = 611083-022, c = 611083-024, d = 611083-025, 2:1</i>	186
<i>fig. 242 - le pendentif 611113-001, 1:1</i>	186
<i>fig. 244 - le pendentif 606001-001, 1:1</i>	187
<i>fig. 245 - le cylindre rainuré 609030-002, 2:1</i>	188

<i>fig. 246 - la lame en silex 609030-001, 1:1</i>	-----	188
<i>fig. 247 - le pendentif 600149-D093, 1:1</i>	-----	189
<i>fig. 248 - le pendentif en astragale 603031-006, 1:1</i>	-----	189
<i>fig. 249 - graphique du rapport entre le diamètre et l'épaisseur des perles du site selon leur datation</i>	-----	195
<i>fig. 250 - graphique du rapport entre le diamètre de la pièce et le diamètre de la perforation des perles du site selon leur datation</i>	-----	195
<i>fig. 251 - Exemple de cylindres en terre cuite issus du site de Dispilio d'après Ifantidis, 2019, pl. 40.1</i>	-----	200
<i>fig. 252 - Exemple d'un ensemble de perles découvertes sur le site de Toumba Kremasti Koiladas d'après Chondroyianni-Metoki 2020, fig. 5.18</i>	-----	203
<i>fig. 253 - Exemple d'un ensemble de perles découvertes sur dans la tombe 1037 de la nécropole de Durankulak d'après Avramova 2002, tabl. 173.1</i>	-----	204
<i>fig. 254 - Exemple de perles en terre cuite découvertes sur le site d'Ilindentsi d'après Grebska-Kulova, Gurova, Zidarov 2021, fig. 10</i>	-----	208
<i>fig. 255 - Exemple de perles en or découvertes dans la tombe N°3 de la nécropole de Varna II d'après Eluère 1989, fig. 126</i>	-----	210
<i>fig. 256 - Exemple de torsades en or découvertes dans la tombe N°4 de la nécropole de Varna I d'après Eluère 1989, fig. 126</i>	-----	211
<i>fig. 257 - Exemple d'une composition en perles de dentale issue de la tombe 609 de la nécropole de Durankulak d'après Todorova et al. 2002, t. 1, fig. 236</i>	-----	213
<i>fig. 258 - Exemple de coquilles de spondyle et d'anneaux en spondyle découverts sur le site de Makriyalos d'après Pappa, Veropoulidou 2011, fig. 7</i>	-----	216
<i>fig. 259 - Exemple de fragments d'anneaux en spondyle découverts sur le site de Pietrele d'après Hansen et al., 2008, fig. 62</i>	-----	217
<i>fig. 260 - Exemple d'une réutilisation d'un fragment d'anneau en spondyle d'après Ifantidis, 2019, pl. 12</i>	-----	218
<i>fig. 261 - La position de quatre anneaux en spondyle sur le défunt de la tombe 644 de la nécropole de Durankulak d'après Todorova, Vasjov 2002, fig. 279</i>	-----	219
<i>fig. 262 - Exemple d'un pendentif pyramidal découvert sur le site de Makriyalos d'après Pappa, Veropoulidou 2011, fig. 6c</i>	-----	221
<i>fig. 263 - Exemple de pendentifs pyramidaux bilobés découvert sur le site de Sultana-Valea Orbului d'après Margarit, Dimache 2019a, fig. 2a</i>	-----	222
<i>fig. 264 - Exemple d'appliques en os et dent de suidé issues du site de Sitagroi d'après Elster, Renfrew 2003, pl. 2.17</i>	-----	225
<i>fig. 265 - Exemple d'appliques en dent de suidé issues du tell Nuriyuk d'après Chohadziev et al. 2019, fig. 2</i>	-----	226



# **Annexes**



# **ANNEXE 1**

## **Inventaire des objets de parure du site de Dikili Tash**

## Annexe 1 Les pièces de parure de Dikili Tash

En italique les pièces non étudiées par Céline Choquet

N° inventaire	Ensemble	Fait	Type	Matériau	Matériau détermination	Etat	Forme	Long. (en cm)	Larg. (en cm)	Diam. Max (en cm)	Ep. max. (en cm)	Diam perforation (en cm)	Poids (en gr)	Datation / Niveau	Fig.
Secteur I/1961-Programme 1															
800-Do60			Perle	Pierre	Pierre	Complet	Discoïdale			0,626	0,134	0,258	1		
800-Do75			Perle	Métal	Or	Complet	Tubulaire	3,000		2,000					
800-Do79			Perle	Pierre	Pierre	Fragment	Discoïdale			0,719	0,368	0,305	< 1		
800-Di45			<i>Indéterminé</i>	<i>Coquille</i>	<i>Coquille</i>	<i>Fragment</i>									
Secteur B2-Programme 1															
101002-M0177			Anneau	Coquille	Spondylus Gae-deropus	Fragment	Circulaire	6,944	3,378		0,607		74	NR II	
101002-M0200			Anneau	Coquille	Spondylus Gae-deropus	Fragment	Circulaire	7,503	3,589		0,770		103	NR II	
101002-M026bis			Anneau	Coquille	Spondylus Gae-deropus	Fragment	Circulaire	4,292	1,019		1,637		79	NR II	
101003-M0239			Anneau	Coquille	Spondylus Gae-deropus	Fragment	Circulaire	7,907	4,570		0,941	6,671	106	NR II	
101003-M0287			Anneau	Coquille	Spondylus Gae-deropus	Fragment	Circulaire	7,847	4,095		1,263	6,387	151	NR II	
101003-M0310			Élément de débitage	Coquille	Dentalium sp.		Tubulaire	2,227		0,354		0,190	2	NR II	
101003-M0340			Anneau	Coquille	Spondylus Gae-deropus	Fragment	Circulaire	3,321	0,968		2,225		94	NR II	
101003-M5121			Pendentif	Dent		Fragment	Rectangulaire	5,600	1,048		0,635		46	NR II	
101006-M5029			Anneau	Coquille	Spondylus Gae-deropus	Fragment	Circulaire	4,492	1,881		1,119		95	NR II	142
101006-M5107			Pendentif	Coquille			Naturelle	3,873	3,790		0,401		100	NR II	
101006-M5108			Pendentif	Coquille			Naturelle	3,687	3,636		0,287		83	NR II	
101006-M5109			Pendentif	Coquille			Naturelle	4,223	4,084		0,338		109	NR II	
101006-M5110			Pendentif	Coquille			Naturelle	3,377	3,376		0,199	0,32-5	45	NR II	
101006-M5111			Pendentif	Coquille			Naturelle	5,400	4,991		0,380		212	NR II	
101006-M5112			Pendentif	Coquille			Naturelle	3,560	3,323		0,270	0,258	70	NR II	
101006-M5113			Pendentif	Coquille			Naturelle	3,202	3,118		0,287	0,314	53	NR II	
101006-M5114			Pendentif	Coquille			Naturelle	2,560	2,438		0,256	0,158	25	NR II	
101006-M5115			Pendentif	Coquille			Naturelle	4,984	4,113		0,376	0,192	162	NR II	
101006-M5116			Pendentif	Coquille			Naturelle	3,992	3,501		0,253		58	NR II	
101006-M5117			Pendentif	Coquille			Naturelle	1,735	1,546		0,184	0,150	7	NR II	
101006-M5118			Pendentif	Coquille			Naturelle	4,385	4,196		0,255		120	NR II	
101006-M5119			Pendentif	Coquille			Naturelle	2,413	2,374		0,227	0,433	23	NR II	

**Annexe 1**  
**Les pièces de parure de Dikili Tash**

*En italique les pièces non étudiées par Céline Choquenot*

N° inventaire	Ensemble	Fait	Type	Matériau	Matériau détermination	Etat	Forme	Long. (en cm)	Larg. (en cm)	Diam. Max (en cm)	Ep. max. (en cm)	Diam perforation (en cm)	Poids (en gr)	Datation / Niveau	Fig.
101006-M5120			Pendentif	Coquille			Naturelle			3,743	4,954		203	NR II	
101007-M0463			Applique	Dent	Suidé	Complet	Rectangulaire	8,242	1,242		0,522	0,412	84	NR II	143
101007-M0475			Applique	Dent	Suidé	Fragment	Rectangulaire	3,464	1,530		0,360	0,324	22	NR II	144
101008-M0672			Anneau	Coquille	Spondylus Gae-deropus	Fragment	Circulaire	5,812	1,338		0,601		48	NR II	
101008-M0744			Anneau	Coquille	Spondylus Gae-deropus	Fragment	Circulaire	6,044	1,988		0,628		65	NR II	
<i>101008-M0752</i>			<i>Perle</i>	<i>Coquille</i>	<i>Dentalium sp.</i>		<i>Tubulaire</i>			<i>0,660</i>	<i>1,100</i>	<i>0,300</i>		<i>NR II</i>	
101009-M0770			Anneau	Coquille	Spondylus Gae-deropus	Fragment	Circulaire	3,452	1,344		0,422		19	NR II	145
101009-M1241			Applique	Dent	Suidé	Fragment		3,791	1,250		0,493		28	NR II	
101009-M5012			Pendentif	Coquille			Naturelle	3,944	3,903		0,289		88	NR II	
101009-M5013			Pendentif	Coquille			Naturelle	2,210	1,562		0,199	0,137	11	NR II	
101009-M5014			Pendentif	Coquille			Naturelle	3,078	2,660		0,351	0,738	52	NR II	
101009-M5036			Pendentif	Coquille			Naturelle	4,912	4,800		0,327		197	NR II	
101009-M5037			Pendentif	Coquille			Naturelle	2,430	1,885		0,197	0,180	13	NR II	
101009-M5038			Pendentif	Coquille			Naturelle	2,521	2,361		0,198	0,151	27	NR II	
101009-M5039			Pendentif	Coquille			Naturelle	1,696	1,422		0,157	0,196	6	NR II	
101009-M5044			Pendentif	Coquille			Naturelle	2,987	2,928		0,397		80	NR II	
101009-M5045			Pendentif	Coquille			Naturelle	2,371	2,282		0,219	0,206	10	NR II	
101009-M5052			Pendentif	Coquille			Naturelle	4,665	4,588		0,414	0,327	153	NR II	
101010-M1254			Anneau	Coquille	Spondylus Gae-deropus	Fragment	Circulaire	4,016	1,304		0,791		60	NR I, NR II	141
101-M5033			Pendentif	Coquille	Glycymeris sp.	Complet	Naturelle	4,479	4,070		0,362	0,385	110		
101-M5034			Pendentif	Coquille			Naturelle	3,387	2,681		0,266	0,384	43		
101-M5035			Pendentif	Coquille			Naturelle	4,055	4,019		0,452		113		
102004-M0178			Anneau	Coquille	Spondylus Gae-deropus	Fragment	Circulaire	6,455	2,932		0,793		97	NR II	
102004-M0179			Anneau	Coquille	Spondylus Gae-deropus	Fragment	Circulaire	8,274	3,186		1,026		127	NR II	
102004-M0384			Anneau	Coquille	Spondylus Gae-deropus	Fragment	Circulaire	2,466	0,923		2,675		115	NR II	
102004-M5053			Pendentif	Coquille			Naturelle	3,797	2,791		0,147	0,310	31	NR II	
102004-M5054			Pendentif	Coquille			Naturelle	2,351	2,247		0,196		20	NR II	
102004-M5055			Pendentif	Coquille			Naturelle	1,300	1,157		0,103	0,111	2	NR II	

**Annexe 1**  
**Les pièces de parure de Dikili Tash**

*En italique les pièces non étudiées par Céline Choquet*

N° inventaire	Ensemble	Fait	Type	Matériau	Matériau détermination	Etat	Forme	Long. (en cm)	Larg. (en cm)	Diam. Max (en cm)	Ep. max. (en cm)	Diam perforation (en cm)	Poids (en gr)	Datation / Niveau	Fig.
102005-M0285			Anneau	Coquille	Spondylus Gae-deropus	Presque complet	Circulaire	6,592	5,065		1,056	4,830	165	NR II	146
102005-M5041			Pendentif	Coquille			Naturelle	4,587	4,402		0,307	0,975	136	NR II	
102005-M5042			Pendentif	Coquille			Naturelle	2,832	2,715		0,170	0,192	28	NR II	
102005-M5043			Pendentif	Coquille			Naturelle	4,289	4,169		0,352		116	NR II	
102006-M0304			Anneau	Coquille	Spondylus Gae-deropus	Fragment	Circulaire	7,988	3,786		1,336		151	NR II	
102006-M0320			Applique	Dent	Suidé	Complet	Rectangulaire	8,505	1,539		0,580	0,366	113	NR II	119, 147
<i>102006-M0336</i>			<i>Applique</i>	<i>Dent</i>	<i>Suidé</i>	<i>Fragment</i>		<i>7,000</i>			<i>0,300</i>			<i>NR II</i>	
102006-M0339			Anneau	Coquille	Spondylus Gae-deropus	Fragment	Circulaire	6,721	1,506		1,252		77	NR II	
102006-M0707			Anneau	Coquille	Spondylus Gae-deropus	Fragment	Circulaire	7,088	2,850		0,575		71	NR II	
102008-M0701			Anneau	Coquille	Spondylus Gae-deropus	Fragment	Circulaire	6,476	2,583		0,653		170	NR II	
102008-M0769			Anneau	Coquille	Spondylus Gae-deropus	Fragment	Circulaire	3,443	1,247		0,318		21	NR II	
102008-M0772			Anneau	Coquille	Spondylus Gae-deropus	Fragment	Circulaire	4,280	1,989		0,946		71	NR II	
102008-M1210			Anneau	Coquille	Spondylus Gae-deropus	Fragment	Circulaire	2,852	0,584		0,468		27	NR II	
<i>102008-M1211</i>			<i>Perle</i>	<i>Coquille</i>	<i>Dentalium sp.</i>		<i>Tubulaire</i>				<i>2,000</i>			<i>NR II</i>	
102008-M1224			Anneau	Coquille	Spondylus Gae-deropus	Fragment	Circulaire	3,512	0,899		1,561		58	NR II	
102010-M1230			Anneau	Coquille	Spondylus Gae-deropus	Fragment	Circulaire	4,764	1,596		0,494		50	NR II	148
102011-M0402			Anneau	Coquille	Spondylus Gae-deropus	Fragment	Circulaire	4,446	1,570		2,976		176	NR II	
102-M0733			Anneau	Coquille	Spondylus Gae-deropus	Fragment	Circulaire	5,167	2,395		1,328		98		
102-M0780			Perle	Coquille	Dentalium sp.	Complet	Tubulaire	1,025		0,362	1,025	0,300	< 1		
102-M5001			Pendentif	Coquille			Naturelle	3,310	3,006		0,284	0,447	68		
102-M5002			Pendentif	Coquille			Naturelle	0,952	0,930		0,117				
102-M5003			Pendentif	Coquille			Naturelle	2,818	2,620		0,253	0,227	31		
102-M5004			Pendentif	Coquille			Naturelle	3,769	3,726		0,429		117		
102-M5005			Pendentif	Coquille			Naturelle	2,686	2,510		0,136	0,397	22		
102-M5006			Pendentif	Coquille			Naturelle	2,556	2,262		0,256	0,377	23		

## Annexe 1 Les pièces de parure de Dikili Tash

*En italique les pièces non étudiées par Céline Choquet*

N° inventaire	Ensemble	Fait	Type	Matériau	Matériau détermination	Etat	Forme	Long. (en cm)	Larg. (en cm)	Diam. Max (en cm)	Ep. max. (en cm)	Diam perforation (en cm)	Poids (en gr)	Datation / Niveau	Fig.
102-M5048			Pendentif	Coquille			Naturelle	2,643	2,212		0,156	0,163	14		
102-M5049			Pendentif	Coquille			Naturelle	2,691	2,541		0,272	0,196	26		
102-M5070			Anneau	Coquille	Spondylus Gae-deropus	Fragment	Circulaire	5,944	3,467		1,085		96		
102-M5071			Pendentif	Coquille			Naturelle	4,898	4,773		0,326		164		
102-M5072			Pendentif	Coquille			Naturelle	3,666	3,569		0,454	0,333	79		
102-M5073			Pendentif	Coquille			Naturelle	3,545	3,274		0,307	0,246	56		
102-M5074			Pendentif	Coquille			Naturelle	3,571	3,475		0,306		76		
102-M5075			Pendentif	Coquille			Naturelle	3,667	3,443		0,266		56		
102-M5076			Pendentif	Coquille			Naturelle	3,463	3,314		0,290	0,284	67		
102-M5077			Pendentif	Coquille			Naturelle	2,736	2,583		0,218		36		
102-M5078			Pendentif	Coquille			Naturelle	2,268	2,126		0,218	0,166			
102-M5079			Pendentif	Coquille			Naturelle	2,509	2,320		0,188				
102-M5080			Pendentif	Coquille			Naturelle	2,881	2,017		0,201	0,464			
102-M5081			Pendentif	Coquille			Naturelle	1,984	1,870		0,233				
102-M5082			Pendentif	Coquille			Naturelle	1,700	1,503		0,155				
102-M5083			Pendentif	Coquille			Naturelle	1,566	1,432		0,139	0,065			
102-M5084			Pendentif	Coquille			Naturelle	1,799	1,742		0,175				
102-M5085			Pendentif	Coquille			Naturelle	1,192	1,000		0,110	0,072			
102-M5086			Pendentif	Coquille			Naturelle	2,663	2,554		0,202				
103005-M0314			Anneau	Coquille	Spondylus Gae-deropus	Fragment	Circulaire	6,271	3,327		1,410		101	NR II	
<i>103008-M0396</i>			<i>Anneau</i>	<i>Coquille</i>	<i>Spondylus Gae-deropus</i>	<i>Complet</i>								<i>NR II</i>	
103009-M0403			Anneau	Coquille	Spondylus Gae-deropus	Fragment	Circulaire	6,164	4,143		1,002		106	NR II	
103010-M0465			Anneau	Coquille	Spondylus Gae-deropus	Complet	Circulaire	7,721	7,498		1,248	5,298			
103010-M0513			Anneau	Coquille	Spondylus Gae-deropus	Fragment	Circulaire	6,887	3,566		2,062		239		
103011-M0667			Anneau	Coquille	Spondylus Gae-deropus	Fragment	Circulaire	5,819	3,270		0,788		105	NR II	
103011-M0670			Anneau	Coquille	Spondylus Gae-deropus	Fragment	Circulaire	5,726	3,966		0,936		103	NR II	
<i>103015-M1760</i>			<i>Perle</i>	<i>Métal</i>	<i>Culture</i>	<i>Fragment</i>	<i>Discoïdale</i>			0,400	0,100	0,100		<i>NR I</i>	

**Annexe 1**  
**Les pièces de parure de Dikili Tash**

*En italique les pièces non étudiées par Céline Choquet*

N° inventaire	Ensemble	Fait	Type	Matériau	Matériau détermination	Etat	Forme	Long. (en cm)	Larg. (en cm)	Diam. Max (en cm)	Ep. max. (en cm)	Diam perforation (en cm)	Poids (en gr)	Datation / Niveau	Fig.
104000-M0261			Anneau	Coquille	Spondylus Gae-deropus	Fragment	Circulaire	4,432	1,478		0,277		20	Surface	
104001-M0276			Anneau	Coquille	Spondylus Gae-deropus	Fragment	Circulaire	6,373	2,027		0,637		72	NR II	
104001-M5050			Pendentif	Coquille			Naturelle	5,087	5,078		0,440		255	NR II	
104001-M5051			Pendentif	Coquille			Naturelle	3,088	2,820		0,240	0,190	39	NR II	
104001-M5056			Pendentif	Coquille			Naturelle	3,191	2,846		0,285		44	NR II	
104001-M5057			Pendentif	Coquille			Naturelle	2,881	2,802		0,353	0,160	45	NR II	
104001-M5058			Pendentif	Coquille			Naturelle	2,744	2,700		0,284	0,127	38	NR II	
104001-M5063			Pendentif	Coquille			Naturelle	1,234	1,164		0,137	0,094	3	NR II	
104001-M5064			Pendentif	Coquille			Naturelle	2,115	1,972		0,160	0,180	11	NR II	
104001-M5065			Pendentif	Coquille			Naturelle	1,688	1,487		0,136	0,142	6	NR II	
104001-M5066			Pendentif	Coquille			Naturelle	1,201						NR II	
104001-M5067			Pendentif	Coquille			Naturelle	2,058	1,883		0,200	0,192	13	NR II	
104002-M0423			Anneau	Coquille	Spondylus Gae-deropus	Fragment	Circulaire	4,472	1,747		2,120		133	NR II	
104002-M5017			Pendentif	Coquille			Naturelle	4,836	4,700		0,543	0,409	149	NR II	
104002-M5018			Pendentif	Coquille			Naturelle	4,109	3,855		0,295		86	NR II	
104002-M5019			Pendentif	Coquille			Naturelle	3,787	3,651		0,379	0,201	70	NR II	
104002-M5020			Pendentif	Coquille			Naturelle	4,821	4,143		0,333		50	NR II	
104002-M5021			Pendentif	Coquille			Naturelle	1,694	1,550		0,171	0,171	6	NR II	
104002-M5022			Pendentif	Coquille			Naturelle	1,725	1,612		0,152	0,126	7	NR II	
104002-M5023			Anneau	Coquille	Spondylus Gae-deropus	Fragment	Circulaire	5,984	2,184		0,420		27	NR II	
104002-M5024			Anneau	Coquille	Spondylus Gae-deropus	Fragment	Circulaire	4,362	1,249		0,793		32	NR II	
104002-M5025			Anneau	Coquille	Spondylus Gae-deropus	Fragment	Circulaire	3,666	1,293		0,334		15	NR II	
104002-M5026			Anneau	Coquille	Spondylus Gae-deropus	Fragment	Circulaire	4,245	1,364		0,266		20	NR II	
104003-M0341			Anneau	Coquille	Spondylus Gae-deropus	Fragment	Circulaire	4,139	1,870		0,835		79	NR II	
104003-M5007			Pendentif	Coquille	Glycymeris sp.	Complet	Naturelle	8,032	7,899		0,926		9,26	NR II	
104003-M5008			Pendentif	Coquille			Naturelle	1,908	1,789		0,186		9	NR II	
104003-M5009			Pendentif	Coquille			Naturelle	3,890	3,884		0,365		72	NR II	
104003-M5010			Pendentif	Coquille			Naturelle	2,351	2,234		0,132		16	NR II	

## Annexe 1 Les pièces de parure de Dikili Tash

*En italique les pièces non étudiées par Céline Choquet*

N° inventaire	Ensemble	Fait	Type	Matériau	Matériau détermination	Etat	Forme	Long. (en cm)	Larg. (en cm)	Diam. Max (en cm)	Ep. max. (en cm)	Diam perforation (en cm)	Poids (en gr)	Datation / Niveau	Fig.
104003-M5011			Pendentif	Coquille			Naturelle	2,648	2,379		0,331		30	NR II	
104003-M5068			Pendentif	Coquille			Naturelle	3,579	3,422		0,270		69	NR II	
104003-M5069			Pendentif	Coquille			Naturelle	2,068	1,965		0,279	0,188	10	NR II	
104004-M0497			Anneau	Coquille	Spondylus Gae-deropus	Fragment	Circulaire	6,357	2,004		0,588		38	NR II	
104004-M5040			Pendentif	Coquille			Naturelle	2,677	2,324		0,198	0,479	21	NR II	
104005-M0480			Anneau	Coquille	Spondylus Gae-deropus	Fragment	Circulaire	6,279	3,526		0,950		139	NR II	
104005-M0515			Anneau	Coquille	Spondylus Gae-deropus	Fragment	Circulaire	5,604	2,280		1,095		76	NR II	
104005-M5015			Pendentif	Coquille			Naturelle	3,092	2,975		0,337		44	NR II	
104005-M5016			Pendentif	Coquille			Naturelle							NR II	
104006-M0711			Anneau	Coquille	Spondylus Gae-deropus	Fragment	Circulaire	3,501	1,280		0,361		23	NR II	
104006-M0745			Anneau	Coquille	Spondylus Gae-deropus	Fragment	Circulaire	5,994	2,599		0,463		39	NR II	
104006-M5027			Pendentif	Coquille			Naturelle	3,371	3,356		0,318	0,256	53	NR II	
104007-M0485			Anneau	Coquille	Spondylus Gae-deropus	Fragment	Circulaire	4,319	1,537		0,592		44	NR II	
104007-M0717			Anneau	Coquille	Spondylus Gae-deropus	Fragment	Circulaire	6,620	3,009		0,624		83	NR II	
104007-M0734			Anneau	Coquille	Spondylus Gae-deropus	Fragment	Circulaire	6,049	2,397		0,421		49	NR II	
<i>104008-M0755</i>			<i>Pendentif</i>	<i>Pierre</i>		<i>Fragment</i>	<i>Géométrique</i>							<i>NR II</i>	
104008-M0759			Anneau	Coquille	Spondylus Gae-deropus	Fragment	Circulaire	3,305	0,812		1,288		50	NR II	
104008-M0760			Anneau	Coquille	Spondylus Gae-deropus		Circulaire	6,122	2,823		0,419		61	NR II	
<i>104008-M0761</i>			<i>Anneau</i>	<i>Coquille</i>	<i>Spondylus Gae-deropus</i>										
104008-M0765			Anneau	Coquille	Spondylus Gae-deropus	Fragment	Circulaire	5,078	2,026		0,951		13	NR II	
104008-M1256			Anneau	Coquille	Spondylus Gae-deropus	Fragment	Circulaire	2,035	0,733		0,448		7	NR II	
104009-M0773			Anneau	Coquille	Spondylus Gae-deropus	Fragment	Circulaire	3,027	0,972		2,392		93	NR II	
104009-M0774			Anneau	Coquille	Spondylus Gae-deropus	Fragment	Circulaire	4,461	1,470		0,654		32	NR II	

*Recolle avec 104008-M0760*

## Annexe 1 Les pièces de parure de Dikili Tash

En italique les pièces non étudiées par Céline Choquet

N° inventaire	Ensemble	Fait	Type	Matériau	Matériau détermination	Etat	Forme	Long. (en cm)	Larg. (en cm)	Diam. Max (en cm)	Ep. max. (en cm)	Diam perforation (en cm)	Poids (en gr)	Datation / Niveau	Fig.
104009-M0776			Anneau	Coquille	Spondylus Gae-deropus	Fragment	Circulaire	3,739	0,965		3,052		98	NR II	
104009-M0783			Anneau	Coquille	Spondylus Gae-deropus		Circulaire	3,313	0,848		0,413		15	NR II	
104009-M0784			Anneau	Coquille	Spondylus Gae-deropus	Fragment	Circulaire	4,005	1,837		0,385		17	NR II	
104009-M0785			Anneau	Coquille	Spondylus Gae-deropus	Fragment	Circulaire	4,279	1,030		1,335		60	NR II	
104009-M5000			Pendentif	Coquille	Glycymeris sp.		Naturelle	2,934	2,811		0,201	0,163	33	NR II	
<i>104-M0632</i>			<i>Epingle</i>	<i>Métal</i>	<i>Cuivre</i>	<i>Fragment</i>									
104-M0703			Alène? Epingle?	Métal	Cuivre	Fragment									
104-M1227			Anneau	Coquille	Spondylus Gae-deropus	Fragment	Circulaire	2,735	0,498		0,713		14		
104-M1247			Pendentif	Coquille	Spondylus Gae-deropus	Fragment	Circulaire	3,012	1,792		0,564	0,139	3		
104-M5028			Pendentif	Coquille			Naturelle	2,672	2,668		0,318		26		
104-M5046			Pendentif	Coquille			Naturelle	3,906	3,659		0,315	0,615	75		
104-M5047			Anneau	Coquille	Spondylus Gae-deropus	Fragment	Circulaire	2,741	0,670		1,699		42		
Provenance inconnue-Programme 1															
-18836			Pendentif	Coquille			Naturelle	3,152	2,949		0,253	0,359	44		
-A10			<i>Pendentif</i>	<i>Coquille</i>											
-C35			<i>Pendentif</i>	<i>Dent</i>		<i>Presque complet</i>	<i>Naturelle</i>	<i>3,700</i>							
-D102			Pendentif	Coquille			Naturelle	1,383	1,298		0,132	0,123	4		
-D1098			Pendentif	Coquille			Naturelle	3,934	3,922		0,313	0,416	103		
-D1099			Pendentif	Coquille			Naturelle	4,982	4,770		0,439	0,521			
-D124			Perle	Indéterminé			Tubulaire			0,306	2,006	0,247	1		
-D130			Élément de débitage	Coquille	Dentalium sp.	Fragment	Naturelle	1,609		0,252		0,188			
-D1433			Appique	Dent	Suidé		Rectangulaire	4,387	1,491		0,354	0,226			
-D33A			Pendentif	Coquille			Naturelle	1,131	1,094		0,106	0,114			
-D33B			Pendentif	Coquille			Naturelle	1,101	0,954		0,080	0,097			
-D796			Perle	Indéterminé			Discoidale			0,471	0,195	0,167	1		

**Annexe 1**  
**Les pièces de parure de Dikili Tash**

*En italique les pièces non étudiées par Céline Choquet*

N° inventaire	Ensemble	Fait	Type	Matériau	Matériau détermination	Etat	Forme	Long. (en cm)	Larg. (en cm)	Diam. Max (en cm)	Ep. max. (en cm)	Diam perforation (en cm)	Poids (en gr)	Datation / Niveau	Fig.
-D925			Pendentif	Coquille			Naturelle	3,209	3,207		0,392	0,274	63		
-D98			Anneau	Coquille	Spondylus Gae-deropus	Fragment	Circulaire	2,372	1,522		0,350		27		
-F6			Pendentif	Coquille			Naturelle	2,168	1,989		0,222	0,208	17		
-F8			Pendentif	Coquille			Naturelle	3,391	3,219		0,312	0,247	64		
-H3			Anneau	Coquille	Spondylus Gae-deropus	Fragment	Circulaire	4,846	2,032		1,138		89		
-H3bis			Anneau	Coquille	Spondylus Gae-deropus	Fragment	Circulaire	4,245	2,392		0,606		49		
-Mo155			Pendentif	Pierre		Fragment	Quadrangulaire	3,321	0,925		0,580	0,275	30		154
<i>-Mo206</i>			<i>Perle</i>	<i>Métal</i>	<i>Or</i>	<i>Fragment</i>	<i>Discoïdale</i>								<i>149</i>
-Mo260			Perle	Coquille ou pierre	Indéterminé	Complet	Discoïdale			0,788	0,393	0,228	4		
-Mo292			Pendentif	Coquille ou pierre			Oblongue	5,865	4,129		1,285	0,603	4,8		
-Mo405			Perle	Coquille ou pierre	Indéterminé	Complet	Discoïdale			0,946	0,513	0,253	8		
-Mo424			Perle	Coquille ou pierre	Indéterminé	Complet	Discoïdale			0,817	0,276	0,232	1		
-Mo436A			Perle	Coquille ou pierre	Indéterminé	Complet	Discoïdale			0,914	0,476	0,256	7		150
-Mo436B			Perle	Coquille ou pierre	Indéterminé	Complet	Discoïdale			0,934	0,592	0,269	9		150
-Mo436C			Perle	Coquille ou pierre	Indéterminé	Complet	Discoïdale			0,978	0,639	0,283	9		150
-Mo436D			Perle	Coquille ou pierre	Indéterminé	Complet	Discoïdale			0,979	0,591	0,257	9		150
-Mo436E			Perle	Coquille ou pierre	Indéterminé	Complet	Discoïdale			0,986	0,593	0,278	8		150
-Mo436F			Perle	Coquille ou pierre	Indéterminé	Complet	Discoïdale			0,938	0,601	0,272	10		150
-Mo436G			Perle	Coquille ou pierre	Indéterminé	Complet	Discoïdale			0,875	0,604	0,269	7		150
-Mo436H			Perle	Coquille ou pierre	Indéterminé	Complet	Discoïdale			0,896	0,554	0,291	7		150
-Mo436I			Perle	Coquille ou pierre	Indéterminé	Complet	Discoïdale			0,960	0,625	0,288	9		150

**Annexe 1  
Les pièces de parure de Dikili Tash**

*En italique les pièces non étudiées par Céline Choquet*

N° inventaire	Ensemble	Fait	Type	Matériau	Matériau détermination	Etat	Forme	Long. (en cm)	Larg. (en cm)	Diam. Max (en cm)	Ep. max. (en cm)	Diam perforation (en cm)	Poids (en gr)	Datation / Niveau	Fig.
-Mo436J			Perle	Coquille ou pierre	Indéterminé	Complet	Discoïdale			1,009	0,566	0,301	10		150
-Mo436K			Perle	Coquille ou pierre	Indéterminé	Complet	Discoïdale			0,918	0,658	0,256	10		150
-Mo437			Perle	Coquille ou pierre	Indéterminé	Complet	Tubulaire			0,724	1,086	0,349	9		
-Mo446			Perle	Coquille ou pierre	Indéterminé	Complet	Discoïdale			0,847	0,373	0,311	4		
-Mo478			Anneau	Coquille	Spondylus Gae-deropus	Fragment		5,158	3-131		0,408		54		
-Mo500			Perle	Coquille ou pierre	Indéterminé	Complet	Discoïdale			0,928	0,518	0,262	7		
-Mo501			Perle	Coquille ou pierre	Indéterminé	Complet	Discoïdale			0,989	0,406	0,244	6		
-Mo507			Perle	Coquille ou pierre	Indéterminé	Complet	Tubulaire			0,782	1,489	0,323	15		12
-Mo715			Pendentif	Os	Indéterminé	Complet	Naturelle	5,351	2,990		2,924	0,945	26,7		151
-Mo729			Perle	Coquille ou pierre	Indéterminé	Complet	Discoïdale			0,758	0,455	0,264	5		
-Mo737			<i>Applique</i>	<i>Dent</i>	<i>Suidé</i>	<i>Complet</i>		<i>8,400</i>	<i>1,500</i>		<i>0,400</i>				
-Mo738			<i>Applique</i>	<i>Dent</i>	<i>Suidé</i>	<i>Fragment</i>		<i>11,000</i>	<i>2,000</i>		<i>0,400</i>				
-Mo748			Anneau	Coquille	Spondylus Gae-deropus	Fragment	Circulaire	5,433	3,105		0,807		54		
-Mo762			Applique	Dent	Suidé	Fragment	Quadrangulaire	6,181	1,958		0,497	0,359	68		
-Mo764			Pendentif	Os	Astragale	Complet	Naturelle	2,606	1,810		1,378	0,457	42		153
-Mo793			Pendentif	Coquille	Spondylus Gae-deropus	Fragment	Circulaire	4,542	1,193		0,584	0,472	45		
-M110			Pendentif	Dent		Complet	Naturelle	5,138	1,551		1,045	0,537	76		
-M1213			Pendentif	Coquille			Naturelle	8,205	3,841		0,297	0,228	80		
-M1242			<i>Pendentif</i>	<i>Pierre</i>				<i>3,000</i>	<i>1,000</i>						
-M1296			Anneau	Coquille	Spondylus Gae-deropus	Fragment	Circulaire	4,764	1,910		0,329		29		
-			Pendentif	Dent		Complet	Naturelle	5,422	0,877		0,532	0,319	33		152
-M1736			<i>Anneau</i>	<i>Pierre</i>	<i>Pierre calcaire</i>	<i>Fragment</i>									<i>157</i>
-M1875			<i>Perle</i>	<i>Terre cuite</i>			<i>Sphérique</i>			1,800	1,000	0,200			
-M1888			Anneau	Coquille	Spondylus Gae-deropus	Fragment	Circulaire	6,316	2,948		1,078		38,2		

**Annexe 1**  
**Les pièces de parure de Dikili Tash**

*En italique les pièces non étudiées par Céline Choquet*

N° inventaire	Ensemble	Fait	Type	Matériau	Matériau détermination	Etat	Forme	Long. (en cm)	Larg. (en cm)	Diam. Max (en cm)	Ep. max. (en cm)	Diam perforation (en cm)	Poids (en gr)	Datation / Niveau	Fig.
-M1891			Anneau	Coquille	Spondylus Gae-deropus	Fragment	Circulaire	6,778	2,909		1,340		204		
-M1892			Anneau	Coquille	Spondylus Gae-deropus	Fragment	Circulaire	6,419	3,260		1,454		186		
-M1905			<i>Pendentif</i>	<i>Pierre</i>	<i>Pierre calcaire</i>	<i>Complet</i>	<i>Géométrique, cruciforme</i>	<i>4,000</i>			<i>0,800</i>				
-M1910			Anneau	Coquille	Spondylus Gae-deropus	Complet	Circulaire	7,188	5,856		0,965	5,387	28,7		156
-M1915			Anneau	Coquille	Spondylus Gae-deropus	Fragment	Circulaire	7,843	5,192		1,984	5,965	4,98		
-M1916			Anneau	Coquille	Spondylus Gae-deropus	Fragment	Circulaire	7,439	2,601		1,211		95		
-M1917			Anneau	Coquille	Spondylus Gae-deropus	Fragment	Circulaire	7,839	3,924		1,219	6,429	158		
-M1919			Anneau	Coquille	Spondylus Gae-deropus	Fragment	Circulaire	8,568	3,596		1,702		266		
-M1932			Anneau	Coquille	Spondylus Gae-deropus	Fragment	Circulaire	5,705	2,917		1,266		15,5		
-M1933			Anneau	Coquille	Spondylus Gae-deropus	Fragment	Circulaire	6,670	2,306		0,736		84		
-M1936			Anneau	Coquille	Spondylus Gae-deropus	Fragment	Circulaire	5,154	1,674		0,644		54		
-M1939			Anneau	Coquille	Spondylus Gae-deropus	Fragment	Circulaire	6,648	3,944		1,440	5,775	175		
-M5030			Pendentif	Coquille			Naturelle	4,283	4,120		0,548		145		
-M5031			Pendentif	Coquille			Naturelle	2,106	2,104		0,208	0,592	16		
-M5032			Pendentif	Coquille	Glycymeris sp.	Complet	Naturelle	3,799	3,797		0,294	0,682	75		
-M5059			Anneau	Coquille	Spondylus Gae-deropus	Fragment	Circulaire	4,617	2,037		1,140		77		
-M5060			Pendentif	Coquille			Naturelle	4,020	3,863		0,367		119		
-M5061			Pendentif	Coquille	Glycymeris sp.	Complet	Naturelle	2,815	2,800		0,259	0,388	35		
-M5090			Pendentif	Coquille	Glycymeris sp.	Complet	Naturelle	4,425	4,219		0,363	0,427	149		9
-MD22			Pendentif	Coquille			Naturelle	2,918	2,897		0,452	0,695	49		
<b>Secteur 1 - Programme 2</b>															
1/289.100/02-083			Pendentif	Coquille	Glycymeris pilosa	Complet	Naturelle	4,654	4,453		0,277	0,171	11,5	hors strati	158
1/289.102/04-006			Pendentif	Coquille	<i>Cerastoderma Glaucum</i>	Complet	Naturelle							NR I / I/2	159

## Annexe 1 Les pièces de parure de Dikili Tash

En italique les pièces non étudiées par Céline Choquet

N° inventaire	Ensemble	Fait	Type	Matériau	Matériau détermination	Etat	Forme	Long. (en cm)	Larg. (en cm)	Diam. Max (en cm)	Ep. max. (en cm)	Diam perforation (en cm)	Poids (en gr)	Datation / Niveau	Fig.
Secteur 2 - Programme 2															
2/288.070/09-001			Anneau	Coquille	Spondylus Gae-deropus	Fragment	Circulaire	5,878	2,763		0,859		165	NR I, NR II, Historique / niv2-1	27, 90
2/288.070/10-027			Pendentif	Coquille	Glycymeris pilosa	Complet	Naturelle	2,197	2,180		0,168	0,197	16	NR I, NR II, Historique / niv2-1	
2/288.070/12-002			Perle	Coquille ou pierre	Indéterminé	Complet	Discoïdale			0,549	0,332	0,259	1	NR II / niv2-3	164
2/288.071/06-013			Perle	Terre cuite		Fragment	Globulaire	2,082	1,906		1,152	0,442	53	NR I, NR II, Historique / niv2-1	165
2/288.072/15-003			Anneau	Coquille	Spondylus Gae-deropus	Fragment	Circulaire	5,351	2,543		0,496		39	NR II / niv2-3, niv2-4	163
2/289.073/04-014			Pendentif	Coquille	Glycymeris violascens	Fragment	Naturelle	2,279	2,150		0,199	0,158	15	niv2-1	
Secteur 2 - Programme 3															
2002-003			Anneau	Coquille	Spondylus Gae-deropus	Fragment	Circulaire	7,165	2,704		1,161		107	NR, BA, Historique, Moderne / Surface	166
2025-003		colluvion 2-001	Perle	Métal	Cuivre	Complet	Discoïdale							NR II / niv2-5	
2029-001			Pendentif	Coquille	Glycymeris violascens	Complet	Naturelle	2,320	2,183		0,206	0,401	18	NR II / niv2-6	161
2050-015		colluvion 2-007	Anneau	Coquille	Spondylus Gae-deropus	Fragment	Circulaire	5,219	1,854		0,611		33	NR II, NFinal, BA / niv2-3	
2055-013			Anneau	Coquille	Spondylus Gae-deropus	Fragment	Circulaire	3,602	1,292		0,372		15	Hors strati	
2055-017			Anneau	Coquille	Spondylus Gae-deropus	Fragment	Circulaire	4,966	1,646		0,826		190	Hors strati	
2057-012		colluvion 2-008	Perle	Pierre	Indéterminé	Complet	Discoïdale			0,588	0,155	0,233	< 1	NR II, BA / niv2-3, niv2-4	
2057-016		colluvion 2-008	Anneau	Coquille	Spondylus Gae-deropus	Fragment	Circulaire	3,791	1,502		0,428		35	NR II, BA / niv2-3, niv2-4	
2060-004			Pendentif	Coquille	Cerastoderma Glaucum	Fragment	Naturelle	3,772	3,660		0,270	0,739	72	NR, BA, Historique, Moderne / Hors strati	162
2075-003		colluvion 2-007	Pendentif	Coquille	Glycymeris violascens	Complet	Naturelle	1,537	1,370		0,166	0,132	5	NR I, NR II, BA / niv2-3	

**Annexe 1**  
**Les pièces de parure de Dikili Tash**

*En italique les pièces non étudiées par Céline Choquet*

N° inventaire	Ensemble	Fait	Type	Matériau	Matériau détermination	Etat	Forme	Long. (en cm)	Larg. (en cm)	Diam. Max (en cm)	Ep. max. (en cm)	Diam perforation (en cm)	Poids (en gr)	Datation / Niveau	Fig.
Secteur V/Ouest - Programme 2															
5/299.105/43-006	Maison au bucrane	couche de destruction	Pendentif	Coquille	Glycymeris violascens	Fragment	Naturelle	3,109	2,833		0,219	0,335	39	NR I / VO/3	
5/299.105/43-007	Maison au bucrane	couche de destruction	Anneau	Coquille	Spondylus Gae-deropus	Fragment	Circulaire	2,646	0,659		0,509		19	NR I / VO/3	
5/299.105/44-009		couche de destruction	Perle	Pierre	Indéterminé	Complet	Discoïdale			0,487	0,198	0,162	1	NR I / VO-639	
5/299.106/01-006			Pendentif	Coquille	Glycymeris violascens	Complet	Naturelle	1,852	1,770		0,150	0,102	11	/ surface	
5/299.106/41-005	Maison au bucrane	four/foyer 645	Perle	Terre cuite	Complet	Complet	Tubulaire			0,267	1,046	0,115	1	NR I / VO/3	
5/299.107/01-002			Anneau	Coquille	Spondylus Gae-deropus	Fragment	Circulaire	4,759	1,717		0,822		61	surface	131
5/299.107/02-004			Anneau	Coquille	Spondylus Gae-deropus	Fragment	Circulaire	4,944	2,336		1,108		75	surface, VO/1	
5/300.106/01-010			Anneau	Coquille	Spondylus Gae-deropus	Fragment	Circulaire	5,266	3,134		0,861		59	surface	
5/300.106/35-003	Maison au bucrane	amas 655	Perle	Pierre	Pierre calcaire	Complet	Discoïdale			0,748	0,457	0,292	3	NR I / VO/3	
5/300.107/02-003		four 614	Pendentif	Coquille	Spondylus Gae-deropus	Fragment	Quadrangulaire	3,841	2,902		5,650	2,713	108	NR I / surface, VO/1	187
5/300.107/02-004		four 614	Perle	Terre cuite	Complet	Fragment	Tubulaire			2,060	3,000	0,595	89	NR I / surface, VO/1	72, 188
5/301.099/40-004			Pendentif	Coquille	Glycymeris violascens	Complet	Naturelle	2,669	2,667		0,241	0,222	41	surface	
5/301.102/41-009	Maison au bucrane	amas 609	Perle	Coquille ou pierre	Indéterminé	Complet	Tubulaire			0,899	2,253	0,402	31	NR I / VO/3	
5/301.102/41-027	Maison au bucrane	amas 609	Perle	Coquille	Dentalium sp.	Complet	Tubulaire			0,241	0,426	0,141	< 1	NR I / VO/3	
5/301.102/42-012	Maison au bucrane	amas 609	Pendentif	Coquille	Smaragdia viridis	Complet	Naturelle			0,542	0,743	0,226	< 1	NR I / VO/3	182
5/301.103/04-008		couche de destruction 658	Anneau	Coquille	Spondylus Gae-deropus	Fragment	Circulaire	5,978	3,721		0,743		66	surface, VO-658	96
5/301.103/13-005	Maison au bucrane	couche de destruction	Anneau	Coquille	Spondylus Gae-deropus	Fragment	Circulaire	6,117	2,392		0,888		74	NR I / VO/3	91
5/301.106/02-002		couche de destruction 614	Anneau	Coquille	Spondylus Gae-deropus	Fragment	Circulaire	5,872	2,619		1,001		81	surface, VO/1	

**Annexe 1**  
**Les pièces de parure de Dikili Tash**

*En italique les pièces non étudiées par Céline Choquet*

N° inventaire	Ensemble	Fait	Type	Matériau	Matériau détermination	Etat	Forme	Long. (en cm)	Larg. (en cm)	Diam. Max (en cm)	Ep. max. (en cm)	Diam perforation (en cm)	Poids (en gr)	Datation / Niveau	Fig.
5/301.106/02-011		couche de destruction 614	Anneau	Coquille	Spondylus Gae-deropus	Fragment	Circulaire	3,402	0,689		0,273		14	surface, VO/1	
5/301.106/34-003	Maison au bucrane	couche de destruction	Pendentif	Coquille	Glycymeris violascens	Complet	Naturelle	2,470	2,400		0,165	0,366	21	NR I / VO/3	
5/301.106/34-013	Maison au bucrane	couche de destruction	Pendentif	Coquille	Glycymeris pilosa	Fragment	Naturelle	2,361	1,871		0,192	0,390	19	NR I / VO/3	
5/302.099/41-020			Pendentif	Coquille	Glycymeris violascens	Complet	Naturelle	1,880	1,748		0,141	0,177	9	surface	
5/302.099/42-016			Anneau	Coquille	Spondylus Gae-deropus	Fragment	Circulaire	3,029	0,590		0,290		18	surface	
5/302.100/41-007			Anneau	Coquille	Spondylus Gae-deropus	Fragment	Circulaire	5,756	2,276		0,743		65	surface	
5/302.101/01-004			Pendentif	Coquille	Cerastoderma Glaucum	Complet	Naturelle	2,525	2,493		0,185	0,402	26	surface	125
5/302.103/05-008			Pendentif	Coquille	Mytilus galloprovincialis	Fragment	Naturelle	4,497	1,382		0,380	0,256	25	surface	194
5/302.105/33-005	Maison au bucrane	amas 607-2	Perle	Coquille ou pierre	Indéterminé	Fragment	Tubulaire			0,614	1,084	0,357	3	NR I / VO/3	
5/302.105/41-006	Maison au bucrane	mur 647	Perle	Coquille	Dentalium sp.	Fragment	Tubulaire			0,315	1,948	0,242	< 1	NR I / VO/3	76
5/302.105/41-011	Maison au bucrane	mur 647	Pendentif	Coquille	Conus mediterraneus	Complet	Naturelle			0,928	1,347	0,185	7	NR I / VO/3	183
5/302.105/41-012	Maison au bucrane	mur 647	Perle	Coquille	Dentalium sp.	Complet	Tubulaire			0,336	0,330	0,318	< 1	NR I / VO/3	79
5/302.106/40-015		couche de destruction	Élément de débitage	Coquille	Dentalium sp.	Fragment	Tubulaire			0,153	0,648	0,050	< 1	VO/3, VO/4?	
5/302.106/40-018		couche de destruction	Perle	Coquille	Indéterminé	Complet	Discoidale			0,446	0,163	0,174	< 1	VO/3, VO/4?	
5/302.107/02-010			Anneau	Coquille	Spondylus Gae-deropus	Fragment	Circulaire	3,550	1,348		0,491		17	surface, VO/1?	
5/302.107/41-010		couche de destruction	Perle	Coquille	Dentalium sp.	Fragment	Tubulaire			0,234	1,470	0,175	< 1	VO/3, VO/4?	
5/303.098/40-008			Pendentif	Coquille	Glycymeris violascens	Fragment	Naturelle	1,870	1,826		0,137	0,246	9	surface	
5/303.099/43-006			Perle	Coquille	Spondylus Gae-deropus	Complet	Tubulaire			0,805	4,264	0,423	43	surface	57, 191
5/303.100/43-004		four/foyer 642	Pendentif	Coquille	Cerithium vulgatum	Complet	Naturelle			1,321	3,809	0,218	33	VO-642	122
5/303.104/41-006	Maison au bucrane	mur 647	Perle	Coquille	Dentalium sp.	Fragment	Tubulaire			0,371	0,994	0,301	< 1	NR I / VO/3	

## Annexe 1 Les pièces de parure de Dikili Tash

En italique les pièces non étudiées par Céline Choquet

N° inventaire	Ensemble	Fait	Type	Matériau	Matériau détermination	Etat	Forme	Long. (en cm)	Larg. (en cm)	Diam. Max (en cm)	Ep. max. (en cm)	Diam perforation (en cm)	Poids (en gr)	Datation / Niveau	Fig.
5/303.104/41-015	Maison au bucrane	mur 647	Élément de débitage	Coquille	Dentalium sp.	Fragment	Tubulaire			0,236	1,469	0,168	< 1	NR I / VO/3	
5/303.106/40-020A	Maison au bucrane - extérieur	couche de destruction	Perle	Coquille	Indéterminé	Complet	Discoïdale			0,528	0,313	0,208	< 1	NR I / VO/3, VO/4?	67, 185
5/303.106/40-020B	Maison au bucrane - extérieur	couche de destruction	Perle	Coquille	Indéterminé	Complet	Discoïdale			0,392	0,230	0,186	< 1	NR I / VO/3, VO/4?	185
5/303.106/40-021A	Maison au bucrane - extérieur	couche de destruction	Perle	Coquille	Dentalium sp.	Complet	Tubulaire			0,350	1,414	0,248	< 1	NR I / VO/3, VO/4?	
5/303.106/40-021B	Maison au bucrane - extérieur	couche de destruction	Élément de débitage	Coquille	Dentalium sp.	Complet	Tubulaire			0,136	1,101	0,106	< 1	NR I / VO/3, VO/4?	
5/303.106/40-021C	Maison au bucrane - extérieur	couche de destruction	Élément de débitage	Coquille	Dentalium sp.	Complet	Tubulaire			0,234	1,031	0,152	< 1	NR I / VO/3, VO/4?	
5/303.107/01-007			Pendentif	Os	Astragale	Complet	Naturelle	2,174	1,420		1,335	0,513	34	surface	140
5/303.107/03-009			Anneau	Pierre	Marbre	<i>Fragment</i>								surface	
5/304.098/41-003			Anneau	Coquille	Spondylus Gae-deropus	Fragment	Circulaire	2,234	0,548		0,503		33	surface	97
5/304.099/40-003			Perle	Pierre	Pierre calcaire	Complet	Tubulaire			0,653	0,821	0,290	4	surface	
5/304.102/40-010	Maison au bucrane	mur 616	Pendentif	Coquille	Cerastoderma Glaucum	Complet	Naturelle	2,422	2,352		0,302	0,366	32	NR I / VO/3	
5/304.103/02-029			Anneau	Coquille	Spondylus Gae-deropus	Fragment	Circulaire	6,058	3,281		0,878		94	surface	
5/304.103/20-005	Maison au bucrane	couche de destruction 615	Perle	Terre cuite		Fragment	Discoïdale			2,498	0,372	0,388	2,4	NR I / VO/3	73
5/304.103/40-021	Maison au bucrane	mur 616	Perle	Os		Complet	Discoïdale			0,383	0,238	0,169	< 1	NR I / VO/3	
5/305.099/43-009			Perle	Coquille	Dentalium sp.	Fragment	Tubulaire			0,398	1,270	0,305	< 1	surface	
5/305.100/41-008			Pendentif	Coquille	Cerastoderma Glaucum	Complet	Naturelle	2,192	2,044		0,226	0,563	22	surface	23, 124
5/305.101/01-008			Pendentif	Coquille	Columbella rustica	Complet	Naturelle			0,958	1,473	0,397	7	surface	195
5/305.103/02-047			Anneau	Coquille	Spondylus Gae-deropus	Fragment	Circulaire	5,633	1,881		1,299		75	surface	
5/305.106/20-005			Perle	Coquille ou pierre	Indéterminé	Fragment	Tubulaire			0,442	0,396	0,293	< 1	/ VO/2?	

## Annexe 1 Les pièces de parure de Dikili Tash

En italique les pièces non étudiées par Céline Choquet

N° inventaire	Ensemble	Fait	Type	Matériau	Matériau détermination	Etat	Forme	Long. (en cm)	Larg. (en cm)	Diam. Max (en cm)	Ep. max. (en cm)	Diam perforation (en cm)	Poids (en gr)	Datation / Niveau	Fig.
5/306.101/01-008			Pendentif	Coquille	Glycymeris violascens	Fragment	Naturelle	3,246	2,612		0,248	0,586	42	surface	
5/306.102/01-003			Pendentif	Coquille	Glycymeris violascens	Complet	Naturelle	2,397	2,395		0,192	0,214	2	surface	
5/306.103/03-089			Perle	Coquille	Dentalium sp.	Complet	Tubulaire			0,417	1,719	0,318	< 1	surface	
5/306.105/41-004	Maison au bucrane - extérieur	couche de destruction 626	Perle	Pierre	Indéterminé	Complet	Discoïdale			0,428	0,154	0,175	< 1	NR I / VO/3	184
Secteur V/Est - Programme 2															
5/308.101/02-003			Anneau	Coquille	Spondylus Gae-deropus	Fragment	Circulaire	4,336	1,345		1,147		68	surface	
5/309.103/13-013		fosse 862	Perle	Pierre		Complet	Discoïdale			1,925	0,942	0,032	61	VE-862, VE/1	58, 192
5/310.102/01-010		four/foyer 801	Anneau	Coquille	Spondylus Gae-deropus	Fragment	Circulaire	3,718	1,861		0,903		36	surface, VE-801	
5/310.102/05-007		fosse 807	Pendentif	Coquille	Glycymeris violascens	Fragment	Naturelle	2,404	1,908		0,156	0,275	15	NR II / VE/1	
5/310.102/31-014			Pendentif	Coquille	Indéterminé	Fragment	Géométrique, cruciforme	2,674	1,875		0,394	0,217	24	VE/1, VE/4?	138, 139
5/310.103/03-073			Anneau	Coquille	Spondylus Gae-deropus	Fragment	Circulaire	6,478	3,326		1,398		98	surface	
5/310.103/04-058			Pendentif	Coquille	Spondylus Gae-deropus	Fragment	Quadrangulaire	2,417	1,978		0,472	0,215	49	surface	
5/310.103/04-059			Anneau	Coquille	Spondylus Gae-deropus	Fragment	Circulaire	7,383	3,511		1,225		227	surface	92
5/310.103/15-011			Anneau	Coquille	Spondylus Gae-deropus	Fragment	Circulaire	6,867	2,603		0,674		12	NR II / VE/1	173
5/310.103/15-012			Anneau	Coquille	Spondylus Gae-deropus	Fragment	Circulaire	5,672	3,033		0,564		57	NR II / VE/1	174
5/310.103/15-013			Applique	Dent	Suidé	Fragment	Naturelle	6,520	1,856		0,876	0,354	123	NR II / VE/1	175
5/310.103/16-023		sol 806	Perle	Coquille	Dentalium sp.	Fragment	Tubulaire			0,267	1,649	0,197	< 1	NR II / VE/1	78
5/310.104/10-022		sol 806	Anneau	Coquille	Spondylus Gae-deropus	Fragment	Circulaire	8,154	3,567		0,365		77	NR II / VE/1	95
5/310.104/10-023		sol 806	Anneau	Coquille	Spondylus Gae-deropus	Fragment	Circulaire	7,165	4,515		0,986		186	NR II / VE/1	93
5/310.104/10-031A		sol 806	Perle	Coquille ou pierre	Indéterminé	Complet	Discoïdale			0,723	0,414	0,223	3	NR II / VE/1	
5/310.104/10-031AA		sol 806	Perle	Coquille	Indéterminé	Complet	Discoïdale			0,826	0,524	0,298	5	NR II / VE/1	
5/310.104/10-031B		sol 806	Perle	Pierre	Pierre calcaire	Complet	Discoïdale			0,812	0,486	0,274	5	NR II / VE/1	

**Annexe 1**  
**Les pièces de parure de Dikili Tash**

*En italique les pièces non étudiées par Céline Choquet*

N° inventaire	Ensemble	Fait	Type	Matériau	Matériau détermination	Etat	Forme	Long. (en cm)	Larg. (en cm)	Diam. Max (en cm)	Ep. max. (en cm)	Diam perforation (en cm)	Poids (en gr)	Datation / Niveau	Fig.
5/310.104/10-031BB		sol 806	Perle	Pierre		Complet	Discoïdale			0,837	0,512	0,275	5	NR II / VE/1	
5/310.104/10-031C		sol 806	Perle	Pierre		Complet	Discoïdale			0,867	0,481	0,259	5	NR II / VE/1	
5/310.104/10-031CC		sol 806	Perle	Pierre	Pierre calcaire	Complet	Discoïdale			0,733	0,380	0,270	3	NR II / VE/1	
5/310.104/10-031D		sol 806	Perle	Coquille	Indéterminé	Complet	Discoïdale			0,845	0,362	0,289	4	NR II / VE/1	
5/310.104/10-031DD		sol 806	Perle	Pierre		Complet	Discoïdale			0,717	0,458	0,244	2	NR II / VE/1	
5/310.104/10-031E		sol 806	Perle	Pierre		Complet	Discoïdale			0,752	0,503	0,278	5	NR II / VE/1	
5/310.104/10-031EE		sol 806	Perle	Pierre		Complet	Discoïdale			0,902	0,405	0,279	5	NR II / VE/1	
5/310.104/10-031F		sol 806	Perle	Pierre		Complet	Discoïdale			0,741	0,389	0,267	2	NR II / VE/1	
5/310.104/10-031FF		sol 806	Perle	Coquille	Indéterminé	Complet	Discoïdale			0,808	0,532	0,251	6	NR II / VE/1	
5/310.104/10-031G		sol 806	Perle	Pierre		Complet	Discoïdale			0,800	0,455	0,243	3	NR II / VE/1	
5/310.104/10-031GG		sol 806	Perle	Coquille	Indéterminé	Complet	Discoïdale			0,714	0,289	0,275	1	NR II / VE/1	
5/310.104/10-031H		sol 806	Perle	Pierre		Complet	Discoïdale			0,724	0,470	0,236	3	NR II / VE/1	
5/310.104/10-031HH		sol 806	Perle	Pierre		Complet	Discoïdale			0,817	0,323	0,287	2	NR II / VE/1	
5/310.104/10-031I		sol 806	Perle	Pierre		Complet	Discoïdale			0,931	0,664	0,277	9	NR II / VE/1	
5/310.104/10-031II		sol 806	Perle	Pierre		Complet	Discoïdale			0,692	0,333	0,235	2	NR II / VE/1	
5/310.104/10-031J		sol 806	Perle	Pierre		Complet	Discoïdale			0,860	0,635	0,271	7	NR II / VE/1	
5/310.104/10-031JJ		sol 806	Perle	Pierre		Complet	Discoïdale			0,729	0,475	0,263	4	NR II / VE/1	
5/310.104/10-031K		sol 806	Perle	Pierre		Complet	Discoïdale			0,847	0,546	0,249	7	NR II / VE/1	
5/310.104/10-031KK		sol 806	Perle	Pierre		Complet	Discoïdale			0,704	0,445	0,211	4	NR II / VE/1	
5/310.104/10-031L		sol 806	Perle	Pierre		Complet	Discoïdale			0,873	0,711	0,312	9	NR II / VE/1	
5/310.104/10-031LL		sol 806	Perle	Pierre		Complet	Discoïdale			0,711	0,373	0,242	3	NR II / VE/1	
5/310.104/10-031M		sol 806	Perle	Coquille	Indéterminé	Complet	Discoïdale			0,853	0,542	0,292	6	NR II / VE/1	
5/310.104/10-031MM		sol 806	Perle	Pierre		Complet	Discoïdale			0,882	0,408	0,251	5	NR II / VE/1	
5/310.104/10-031N		sol 806	Perle	Coquille	Indéterminé	Complet	Discoïdale			0,803	0,495	0,287	5	NR II / VE/1	
5/310.104/10-031NN		sol 806	Perle	Pierre		Complet	Discoïdale			0,800	0,446	0,219	5	NR II / VE/1	
5/310.104/10-031O		sol 806	Perle	Coquille	Indéterminé	Complet	Discoïdale			0,842	0,562	0,272	5	NR II / VE/1	
5/310.104/10-031OO		sol 806	Perle	Pierre		Complet	Discoïdale			0,838	0,505	0,231	5	NR II / VE/1	
5/310.104/10-031P		sol 806	Perle	Pierre		Complet	Discoïdale			0,823	0,581	0,289	7	NR II / VE/1	
5/310.104/10-031PP		sol 806	Perle	Pierre		Complet	Discoïdale			0,728	0,408	0,285	3	NR II / VE/1	
5/310.104/10-031Q		sol 806	Perle	Coquille ou pierre	Indéterminé	Complet	Discoïdale			0,856	0,656	0,312	9	NR II / VE/1	
5/310.104/10-031QQ		sol 806	Perle	Pierre		Complet	Discoïdale			0,696	0,404	0,308	2	NR II / VE/1	
5/310.104/10-031R		sol 806	Perle	Pierre		Complet	Discoïdale			0,784	0,468	0,278	2	NR II / VE/1	

**Annexe 1**  
**Les pièces de parure de Dikili Tash**

*En italique les pièces non étudiées par Céline Choquet*

N° inventaire	Ensemble	Fait	Type	Matériau	Matériau détermination	Etat	Forme	Long. (en cm)	Larg. (en cm)	Diam. Max (en cm)	Ep. max. (en cm)	Diam perforation (en cm)	Poids (en gr)	Datation / Niveau	Fig.
5/310.104/10-031RR		sol 806	Perle	Pierre		Complet	Discoïdale			0,820	0,486	0,288	4	NR II / VE/1	
5/310.104/10-031S		sol 806	Perle	Pierre		Complet	Discoïdale			0,974	0,602	0,300	8	NR II / VE/1	
5/310.104/10-031SS		sol 806	Perle	Coquille	Indéterminé	Complet	Discoïdale			0,785	0,574	0,310	6	NR II / VE/1	
5/310.104/10-031T		sol 806	Perle	Pierre		Complet	Discoïdale			0,848	0,649	0,280	7	NR II / VE/1	
5/310.104/10-031U		sol 806	Perle	Pierre		Complet	Discoïdale			0,738	0,550	0,210	5	NR II / VE/1	
5/310.104/10-031V		sol 806	Perle	Pierre		Complet	Discoïdale			0,840	0,478	0,300	5	NR II / VE/1	
5/310.104/10-031W		sol 806	Perle	Pierre		Complet	Discoïdale			0,702	0,426	0,295	5	NR II / VE/1	
5/310.104/10-031X		sol 806	Perle	Coquille	Indéterminé	Complet	Discoïdale			0,669	0,382	0,236	1	NR II / VE/1	
5/310.104/10-031Y		sol 806	Perle	Pierre	Pierre calcaire	Complet	Discoïdale			0,652	0,377	0,240	1	NR II / VE/1	
5/310.104/10-031Z		sol 806	Perle	Pierre		Complet	Discoïdale			0,770	0,584	0,223	5	NR II / VE/1	
5/310.104/20-003A		sol 806	Perle	Pierre		Complet	Discoïdale			0,855	0,671	0,292	7	NR II / VE/1	
5/310.104/20-003B		sol 806	Perle	Pierre		Complet	Discoïdale			0,949	0,674	0,276	10	NR II / VE/1	
5/310.104/20-003C		sol 806	Perle	Pierre	Pierre calcaire	Complet	Discoïdale			0,861	0,690	0,305	7	NR II / VE/1	
5/310.104/20-003D		sol 806	Perle	Pierre	Pierre calcaire	Complet	Discoïdale			0,884	0,624	0,264	7	NR II / VE/1	
5/310.104/20-003E		sol 806	Perle	Pierre		Complet	Discoïdale			0,807	0,624	0,279	8	NR II / VE/1	
5/310.104/20-003F		sol 806	Perle	Pierre		Complet	Discoïdale			0,928	0,625	0,259	8	NR II / VE/1	
5/310.104/20-003G		sol 806	Perle	Pierre		Complet	Discoïdale			0,797	0,428	0,239	3	NR II / VE/1	62
5/310.104/20-003H		sol 806	Perle	Pierre		Complet	Discoïdale			0,786	0,507	0,261	5	NR II / VE/1	60
5/310.104/20-003I		sol 806	Perle	Pierre		Complet	Discoïdale			0,716	0,496	0,297	4	NR II / VE/1	
5/310.104/20-003J		sol 806	Perle	Pierre		Complet	Discoïdale			0,784	0,630	0,263	7	NR II / VE/1	
5/310.104/20-003K		sol 806	Perle	Pierre		Complet	Discoïdale			0,703	0,458	0,252	3	NR II / VE/1	
5/310.104/20-003L		sol 806	Perle	Pierre		Complet	Discoïdale			0,746	0,445	0,295	3	NR II / VE/1	
5/310.104/20-003M		sol 806	Perle	Pierre		Complet	Discoïdale			0,754	0,483	0,236	4	NR II / VE/1	
5/310.104/20-003N		sol 806	Perle	Pierre		Complet	Discoïdale			0,806	0,385	0,284	4	NR II / VE/1	
5/310.104/20-003O		sol 806	Perle	Pierre		Complet	Discoïdale			0,744	0,349	0,236	3	NR II / VE/1	
5/310.104/20-003P		sol 806	Perle	Pierre		Complet	Discoïdale			0,696	0,383	0,270	3	NR II / VE/1	
5/310.104/20-003Q		sol 806	Perle	Pierre	Pierre calcaire	Complet	Discoïdale			0,816	0,367	0,232	2	NR II / VE/1	59
5/310.104/20-016A		sol 806	Pendentif	Coquille	Glycymeris violascens	Complet	Naturelle	3,236	3,252		0,306	0,302	65	NR II / VE/1	172
5/310.104/20-016B		sol 806	Pendentif	Coquille	columbella Rustica	Complet	Naturelle			0,920	1,358	0,423	5	NR II / VE/1	172
5/310.104/20-016C		sol 806	Pendentif	Coquille	Cyclopea Neritea	Complet	Naturelle			0,967	1,178	0,318	3	NR II / VE/1	172
5/310.104/20-016D		sol 806	Pendentif	Coquille	Glycymeris violascens	Complet	Naturelle	1,154	1,018		0,093	0,087	1	NR II / VE/1	172

**Annexe 1**  
**Les pièces de parure de Dikili Tash**

*En italique les pièces non étudiées par Céline Choquet*

N° inventaire	Ensemble	Fait	Type	Matériau	Matériau détermination	Etat	Forme	Long. (en cm)	Larg. (en cm)	Diam. Max (en cm)	Ep. max. (en cm)	Diam perforation (en cm)	Poids (en gr)	Datation / Niveau	Fig.
5/310.104/20-017A		sol 806	Perle	Pierre	Indéterminé	Complet	Discoïdale			0,419	0,182	0,206	1	NR II / VE/1	168
5/310.104/20-017B		sol 806	Perle	Pierre	Indéterminé	Complet	Discoïdale			0,458	0,106	0,188	1	NR II / VE/1	16
5/310.104/20-017C		sol 806	Perle	Pierre	Indéterminé	Complet	Discoïdale			0,494	0,212	0,165	1	NR II / VE/1	59, 168
5/310.104/20-031A		sol 806	Perle	Coquille	Indéterminé	Fragment	Discoïdale			0,795	0,504	0,251	5	NR II / VE/1	
5/310.104/20-031B		sol 806	Perle	Pierre	Discoïdale	Complet	Discoïdale			0,882	0,639	0,327	8	NR II / VE/1	66
5/311.101/01-006			Pendentif	Coquille	Glycymeris violascens	Complet	Naturelle	3,218	2,984	0,896	0,238	0,243	45	surface	116
5/311.101/04-002			Pendentif	Coquille	Cerastoderma Glaucum	Complet	Naturelle	2,950	2,622		0,238	0,357	47	surface, VE/3	
5/311.101/04-013			Perle	Coquille ou pierre	Indéterminé	Complet	Discoïdale			0,458	0,419	0,223	1	surface, VE/3	
5/311.102/04-007		fosse 807	Pendentif	Coquille	Cerithium vulgatum	Complet	Naturelle			0,896	2,549	0,404	0,014	VE/1, VE/3	193
5/311.102/05-012		fosse 807	Anneau	Coquille	Spondylus Gae-deropus	Fragment	Circulaire	3,554	1,526		1,167		0,145	VE/1, VE/3	
5/311.102/06-009A		sol 819	Perle	Coquille	Indéterminé	Complet	Discoïdale			0,481	0,235	0,227	1	VE/1, VE/3	
5/311.102/06-009B		sol 819	Élément de débitage	Coquille	Dentalium sp.	Complet	Tubulaire			0,237	0,963	0,152	< 1	VE/1, VE/3	25
5/311.103/04-029			Anneau	Coquille	Spondylus Gae-deropus	Fragment	Circulaire	5,131	1,938		0,664		4	surface	
5/311.104/20-001		amas 805	Anneau	Coquille	Spondylus Gae-deropus	Fragment	Circulaire	6,462	5,459		0,942		0,14	VE/1, VE/3	
5/311.106/30-005		zone de cendres 804	Pendentif	Coquille	Cerastoderma Glaucum	Complet	Naturelle	2,846	2,657		0,298	0,347	51	VE/1?, VE/3	123
5/312.105/07-004A			Perle	Coquille	Dentalium sp.	Complet	Tubulaire			0,228	1,098	0,196	< 1	surface	
5/312.105/07-004B			Élément de débitage	Coquille	Dentalium sp.	Complet	Tubulaire			0,231	0,794	0,112	< 1	surface	
5/312.105/07-004C			Élément de débitage	Coquille	Dentalium sp.	Complet	Tubulaire			0,180	0,950	0,112	< 1	surface	
5/312.105/07-004D			Élément de débitage	Coquille	Dentalium sp.	Complet	Tubulaire			0,212	0,773	0,136	< 1	surface	
5/312.105/07-004E			Élément de débitage	Coquille	Dentalium sp.	Complet	Tubulaire			0,259	1,667	0,199	< 1	surface	
5/312.105/07-004F			Élément de débitage	Coquille	Dentalium sp.	Complet	Tubulaire			0,256	0,634	0,166	< 1	surface	
5/312.105/07-004G			Élément de débitage	Coquille	Dentalium sp.	Complet	Tubulaire			0,199	0,856	0,144	< 1	surface	

**Annexe 1**  
**Les pièces de parure de Dikili Tash**

*En italique les pièces non étudiées par Céline Choquet*

N° inventaire	Ensemble	Fait	Type	Matériau	Matériau détermination	Etat	Forme	Long. (en cm)	Larg. (en cm)	Diam. Max (en cm)	Ep. max. (en cm)	Diam perforation (en cm)	Poids (en gr)	Datation / Niveau	Fig.
5/312.105/07-004H			Elément de débitage	Coquille	Dentalium sp.	Complet	Tubulaire			0,153	0,859	0,086	< 1	surface	
5/312.105/07-011			Pendentif	Coquille	Glycymeris violascens	Complet	Naturelle	2,407	2,198		0,227	0,191	17	surface	127
5/312.105/08-001A	Cour aux silos	couche de destruction	Perle	Coquille	Dentalium sp.	Complet	Tubulaire			0,240	0,966	0,203	< 1	NR I / VE/3	80
5/312.105/08-001B	Cour aux silos	couche de destruction	Perle	Coquille	Dentalium sp.	Complet	Tubulaire			0,287	1,200	0,226	< 1	NR I / VE/3	
5/312.105/08-001C	Cour aux silos	couche de destruction	Elément de débitage	Coquille	Dentalium sp.	Complet	Tubulaire			0,205	1,358	0,158	< 1	NR I / VE/3	
5/312.105/08-001D	Cour aux silos	couche de destruction	Perle	Coquille	Dentalium sp.	Complet	Tubulaire			0,321	0,474	0,205	< 1	NR I / VE/3	
5/312.105/08-001E	Cour aux silos	couche de destruction	Elément de débitage	Coquille	Dentalium sp.	Complet	Tubulaire			0,266	0,856	0,167	< 1	NR I / VE/3	
5/312.105/08-001F	Cour aux silos	couche de destruction	Elément de débitage	Coquille	Dentalium sp.	Complet	Tubulaire			0,222	1,107	0,168	< 1	NR I / VE/3	
5/312.105/08-001G	Cour aux silos	couche de destruction	Elément de débitage	Coquille	Dentalium sp.	Complet	Tubulaire			0,225	1,141	0,142	< 1	NR I / VE/3	
5/312.105/08-001H	Cour aux silos	couche de destruction	Perle	Coquille	Dentalium sp.	Complet	Tubulaire			0,221	1,022	0,183	< 1	NR I / VE/3	
5/312.105/08-001I	Cour aux silos	couche de destruction	Elément de débitage	Coquille	Dentalium sp.	Complet	Tubulaire			0,224	0,998	0,151	< 1	NR I / VE/3	
5/312.105/32-006	Cour aux silos	couche de destruction	Anneau	Coquille	Spondylus Gae-deropus	Fragment	Circulaire	2,427	0,918		0,481		11	NR I / VE/3	
5/312.106/06-004			Elément de débitage	Coquille	Dentalium sp.	Fragment	Tubulaire			0,278	0,885	0,150	< 1	surface	
5/312.106/30-009	Cour aux silos		Pendentif	Coquille	Spondylus Gae-deropus	Fragment	Circulaire	4,425	1,632		1,723	0,520	0,108	NR I / VE/3	132
5/313.101/01-002			Anneau	Coquille	Spondylus Gae-deropus	Fragment	Circulaire	4,662	2,194		0,694		62	surface	
5/313.101/01-003			Perle	Coquille	Spondylus Gae-deropus	Complet	Tubulaire			0,722	2,848	0,315	22	surface	
5/313.102/01-008		four/foyer 800	Pendentif	Coquille	Glycymeris violascens	Complet	Naturelle	2,929	2,894		0,228	0,188	38	surface	
5/313.103/02-050			Anneau	Coquille	Spondylus Gae-deropus	Fragment	Circulaire	5,063	1,998		0,977		52	surface	94
5/314.103/04-016			Anneau	Coquille	Spondylus Gae-deropus	Fragment	Circulaire	2,457	0,894		0,911		28	surface	
5/314.103/07-005	Cour aux silos	sol 819	Pendentif	Coquille	Columbella rustica	Complet	Naturelle			0,869	1,024	0,385	4	NR I / VE/3	126

## Annexe 1 Les pièces de parure de Dikili Tash

En italique les pièces non étudiées par Céline Choquet

N° inventaire	Ensemble	Fait	Type	Matériau	Matériau détermination	Etat	Forme	Long. (en cm)	Larg. (en cm)	Diam. Max (en cm)	Ep. max. (en cm)	Diam perforation (en cm)	Poids (en gr)	Datation / Niveau	Fig.
5/314.105/06-009		silos 848	Pendentif	Coquille	Hexaplex trunculus	Complet	Naturelle			3,281	4,806	0,459	191	/ VE/2?, VE/3	178
5/315.104/06-003			Pendentif	Pierre	Nephrite	Fragment	Géométrique, polylobée	2,437	1,663		0,406	0,373	23	hors strati	133, 136, 190
5/315.105/30-004		silos 848	Anneau	Coquille	Spondylus Gae-deropus	Fragment	Circulaire	4,838	1,315		0,486		128	/ VE/2, VE/3	
5/315.106/30-014			Pendentif	Coquille	Glycymeris violascens	Complet	Naturelle	2,244	2,019		0,173	0,253	16	/ VE/2?, VE/3?	
5/315.106/32-003	Cour aux silos	terrier	Anneau	Coquille	Spondylus Gae-deropus	Fragment	Circulaire	2,873	0,547		0,357		20	NR I / VE/3?	
5/316.101/50-001	Cour aux silos		Anneau	Pierre	Jaspe	Fragment	Circulaire	3,891	1,872		0,651	1,555	37	NR I / VE/3?	189
5/316.103/01-108			Anneau	Coquille	Spondylus Gae-deropus	Fragment	Circulaire	4,686	1,411		0,273		24	surface	
5/316.103/01-112			Pendentif	Coquille	Cerastoderma Glaucum	Complet	Naturelle	3,153	3,076		0,373	0,113	77	surface	
5/316.104/05-003			Pendentif	Coquille	Cerastoderma Glaucum	Complet	Naturelle	2,768	2,647		0,151	0,607	29	surface, VE/3?	
5/316.106/13-005		amas 803	Pendentif	Coquille	Glycymeris pilosa	Complet	Naturelle	1,511	1,372		0,112	0,151	5	NR II / VE/2	
5/316.106/14-002			Anneau	Coquille	Spondylus Gae-deropus	Fragment	Circulaire	2,637	0,405		0,328		12	NR II / VE/2	
5/316.106/30-036A		silos 848	Anneau	Coquille	Spondylus Gae-deropus	Fragment	Circulaire	3,683	1,499		0,502		21	VE/2, VE/3	
5/316.106/30-036B		silos 848	Anneau	Coquille	Spondylus Gae-deropus	Fragment	Circulaire	4,332	0,837		0,447		27	VE/2, VE/3	177
5/316.106/30-036C		silos 848	Anneau	Coquille	Spondylus Gae-deropus	Fragment	Circulaire	3,142	1,469		0,985		34	VE/2, VE/3	
5/316.106/30-038		silos 848	Pendentif	Coquille	Glycymeris violascens	Complet	Naturelle	1,818	1,669		0,136	0,177	9	VE/2, VE/3	
5/316.106/31-005	Cour aux silos		Pendentif	Coquille	Columbella Rustica	Complet	Naturelle			0,958	1,184	0,329	7	NR I / VE/3	
5/317.102/32-008		amas 856	Pendentif	Coquille	Spondylus Gae-deropus	Fragment	Géométrique, polylobée	2,465	1,336		0,396	0,239	20	NR I / VE/3, VE-858	135, 179
5/317.102/32-009		amas 856	Pendentif	Coquille	Spondylus Gae-deropus	Fragment	Géométrique, polylobée	2,609	2,281		0,315	0,285	116	NR I / VE/3, VE-858	137, 180
5/317.102/32-010		amas 856	Perle	Os		Complet	Tubulaire			0,722	1,933	0,537	6	NR I / VE/3, VE-858	181
5/317.103/06-005A	Cour aux silos	foyer 851	Perle	Pierre	Indéterminé	Complet	Discoïdale			0,456	0,178	0,162	1	NR I / VE/3	176
5/317.103/06-005B	Cour aux silos	foyer 851	Perle	Coquille	Indéterminé	Complet	Discoïdale			0,442	0,255	0,190	1	NR I / VE/3	176

**Annexe 1**  
**Les pièces de parure de Dikili Tash**

*En italique les pièces non étudiées par Céline Choquet*

N° inventaire	Ensemble	Fait	Type	Matériau	Matériau détermination	Etat	Forme	Long. (en cm)	Larg. (en cm)	Diam. Max (en cm)	Ep. max. (en cm)	Diam perforation (en cm)	Poids (en gr)	Datation / Niveau	Fig.
5/317.103/06-005C	Cour aux silos	foyer 851	Perle	Coquille	Indéterminé	Complet	Discoïdale			0,297	0,269	0,181	1	NR I / VE/3	176
5/317.104/06-004	Cour aux silos	foyer 851	Pendentif	Coquille	Glycymeris violascens	Complet	Naturelle	1,785	1,705		0,147	0,139	9	NR I / VE/3	121
5/318.101/30-005			Pendentif	Coquille	Glycymeris violascens	Complet	Naturelle	2,935	2,699		0,191	0,320	27	/ surface, VE/3	
5/318.103/01-117			Pendentif	Coquille	Glycymeris pilosa	Complet	Naturelle	2,628	2,623		0,187	0,239	29	surface	
5/318.103/01-120			Pendentif	Coquille	Glycymeris pilosa	Complet	Naturelle	1,660	1,512		0,101	0,126	5	surface	
5/318.103/05-004	Cour aux silos	mur 817	Pendentif	Coquille	Glycymeris pilosa	Complet	Naturelle	3,310	3,186		0,274	0,223	62	NR I / surface, VE/3	
5/318.105/05-003		amas 809	Anneau	Coquille	Spondylus Gaederopus	Fragment	Circulaire	6,963	6,538		1,182		62	surface, VE/3	
<b>Secteur 6 - Programme 1</b>															
600118-D029	<i>Entre maisons 3 et 4</i>	6-600	<i>Perle</i>	<i>Os</i>						0,350				<i>NR II / niv6-5</i>	
600141-D067	Maison 5		Pendentif	Coquille	Glycymeris sp.	Complet	Naturelle			0,047				NR II / niv6-5	
600141-D087	Maison 5		<i>Applique</i>	<i>Dent</i>	<i>Suidé</i>	<i>fragment</i>	<i>Rectangulaire</i>	3,850				0,150		<i>NR II / niv6-5</i>	
600149-D093	Entre maisons 2, 3 et 5		Pendentif	Pierre		Complet	Géométrique, en crochet	2,500						niv6-5?	247
600152-003	Entre maisons 2, 3 et 5		Pendentif	Os	Astragale	Complet	Naturelle	2,500				0,100		niv6-5?	
600157-D125	Entre maisons 2, 3 et 5		Anneau	Coquille	Spondylus Gaederopus					5,000				niv6-5?	
600157-D129	Entre maisons 2, 3 et 5		<i>Indéterminé</i>	<i>Coquille</i>						0,070				niv6-5?	
600158-001	Maison 5		Pendentif	Os	Astragale	Complet	Naturelle	24,700				1,500		NR II / Surface, niv6-5	
600-D048			<i>Perle</i>	<i>Terre cuite</i>						0,023					
600-D106			Pendentif	Coquille	Cerastoderma Glaucum		Naturelle			0,045					
600-D107			Anneau	Coquille	Glycymeris sp.	Complet				3,800					
<b>Secteur 6 - Programme 2</b>															
602003-011	Entre maisons 1 et 2		<i>Indéterminé</i>	<i>Coquille</i>	<i>Indéterminé</i>									Surface	
602063-004	Entre maisons 1 et 2		Anneau	Coquille	Spondylus Gaederopus		Circulaire							Surface, niv6-5	

**Annexe 1**  
**Les pièces de parure de Dikili Tash**

*En italique les pièces non étudiées par Céline Choquet*

N° inventaire	Ensemble	Fait	Type	Matériau	Matériau détermination	Etat	Forme	Long. (en cm)	Larg. (en cm)	Diam. Max (en cm)	Ep. max. (en cm)	Diam perforation (en cm)	Poids (en gr)	Datation / Niveau	Fig.
602286-002	Maison 1	couche de destruction 6-036	Perle	Pierre		Complet	Discoïdale			0,446	0,132	0,194	1	NR II, BA / niv6-2, 6-5	
602288-003	Maison 1	plate-forme 6-044	Perle	Pierre		Complet	Discoïdale			0,421	0,197	0,121	1	NR II, NFinal / niv6-4, 6-5	
602357-001			Pendentif	Coquille	Glycymeris sp.	Complet	Naturelle	4,975	3,900		0,497	0,363		NFinal?, BA / niv6-2, 6-4	
602357-002			Pendentif	Coquille	Glycymeris sp.	Complet	Naturelle	3,543	3,316		0,323	0,347		NFinal?, BA / niv6-2, 6-4	
603012-019	Maison 2		Perle	Pierre		Complet	Discoïdale			0,801	0,726	0,367	7	Surface	232
<i>603014-018</i>	<i>Maison 2</i>		<i>Anneau</i>	<i>Coquille</i>	<i>Spondylus Gae-deropus</i>	<i>Fragment</i>								<i>Surface</i>	
<i>603015-012</i>	<i>Entre mai-sons 1 et 2</i>		<i>Élément de débitage</i>	<i>Os</i>	<i>moyen</i>	<i>Complet</i>								<i>niv6-5?</i>	
<i>603031-006</i>	<i>Entre mai-sons 2 et 5</i>		<i>Pendentif</i>	<i>Os</i>	<i>Astragale</i>	<i>Complet</i>	<i>Naturelle</i>	<i>2,290</i>				<i>0,360</i>		<i>niv6-5?</i>	<i>248</i>
<i>603085-001</i>	<i>Entre mai-sons 1 et 2</i>	<i>couche de destruction</i>	<i>Perle</i>	<i>Os</i>										<i>niv6-5?</i>	
<i>603100-007</i>	<i>Maison 2</i>	<i>couche de destruction</i>	<i>Anneau</i>	<i>Coquille</i>	<i>Spondylus Gae-deropus</i>	<i>Fragment</i>								<i>NR II / niv6-5</i>	
603111-001	Entre mai-sons 1 et 2	terrier 6-152	Perle	Pierre		Complet	Discoïdale			0,732	0,180	0,186	1	niv6-5	
<i>603118-001</i>	<i>Entre mai-sons 1 et 2</i>		<i>Perle</i>	<i>Terre cuite</i>		<i>Complet</i>								<i>Surface</i>	
603176-011	Entre mai-sons 1 et 2	couche de destruction	Pendentif	Coquille	Glycymeris violascens	Complet	Naturelle	1,695	1,580		0,190	0,202	7	niv6-5	
603236-001	Entre mai-sons 1 et 2		Pendentif	Coquille	Glycymeris sp.	Complet	Naturelle	2,297	2,216		0,223	0,193		niv6-5?	
604001-021	Maison 2		Perle	Pierre		Complet	Discoïdale			0,393	0,111	0,152	1	Surface	
604023-016	Maison 2	four/foyer 6-203	Perle	Métal	Cuivre	Fragment	Discoïdale			0,748	0,141	0,348	1	NR II / niv6-5	85, 233
604033-001	Maison 2 - extérieur SE	couche de destruction	Perle	Pierre		Complet	Discoïdale			2,381	0,625	0,412	49	NR II / niv6-5?	
604038-001	Maison 2 - extérieur SE	couche de destruction	Anneau	Coquille	Spondylus Gae-deropus	Fragment	Circulaire	3,764	0,670		0,386		14	NR II / niv6-5?	
604038-002	Maison 2 - extérieur SE	couche de destruction	Anneau	Coquille	Spondylus Gae-deropus	Fragment	Circulaire	8,228	4,348		1,122		0,184	NR II / niv6-5?	
604055-001	Entre mai-sons 2 et 3	couche de destruction	Pendentif	Pierre		Complet	géométrique, irrégulière	2,466	2,222		0,933	0,886	64	niv6-5?	

**Annexe 1**  
**Les pièces de parure de Dikili Tash**

*En italique les pièces non étudiées par Céline Choquet*

N° inventaire	Ensemble	Fait	Type	Matériau	Matériau détermination	Etat	Forme	Long. (en cm)	Larg. (en cm)	Diam. Max (en cm)	Ep. max. (en cm)	Diam perforation (en cm)	Poids (en gr)	Datation / Niveau	Fig.
604058-004	Entre maisons 2 et 3	couche de destruction	Perle	Pierre		Complet	Discoïdale			0,467	0,020	0,171	1	niv6-5?	
604060-005	Maison 2 - extérieur SE	couche de destruction	Perle	Pierre		Complet	Tubulaire			0,618	1,842	0,220	7	niv6-5?	
605092-001	Maison 3 - extérieur S		Pendentif	Pierre		Fragment	Irrégulière	1,645	1,390		0,270	0,235	9	niv6-5?	238
605110-001	Maison 3 - extérieur S		Pendentif	Coquille	Glycymeris sp.	Complet	Naturelle	3,425	3,434		0,289	0,484		niv6-5?	
605110-002	Maison 3 - extérieur S		Anneau	Coquille	Spondylus Gaederopus	Fragment	Circulaire	8,331	3,201		0,567			niv6-5?	
606000-004			Applique	Dent	Suidé	Presque complet		3,501	1,243		0,306	0,302	17	Surface	
606001-001	Maison 4 - Pièce B		Pendentif	Coquille	Spondylus Gaederopus	Fragment	géométrique, cruciforme	4,670	2,352		1,036		19,8	Surface, niv6-5	244
606080-001	Maison 3	terrier 6-332	Pendentif	Coquille		Complet	Naturelle	1,363	1,266		0,107	0,076	3	Surface, niv6-5	
606083-001	Maison 3	fosse 6-307	Perle	Pierre		Complet	Discoïdale			0,376	0,179	0,111	1	NR II / niv6-2, 6-5	
606091-001	Maison 3	terrier 6-332	Perle	Pierre		Fragment	Discoïdale			0,523	0,132	0,252	1	Surface, niv6-5	
606115-001	Maison 3 - extérieur N		Perle	Pierre		Complet	Discoïdale			0,421	0,148	0,128	1	Surface	
606116-001	Maison 5		Perle	Pierre		Complet	Discoïdale			0,330	0,141	0,111	1	niv6-5?	
606131-048	Maison 3 - extérieur NO		Perle	Pierre		Complet	Tubulaire			0,332	0,555	0,104	1	Surface, niv6-5	
607001-152	Entre maisons 3 et 4		Pendentif	Coquille	Cerastoderma Glaucum	Complet	Naturelle	4,555	4,515		0,302	0,269		Surface	
607068-001	Maison 4 - Pièce A	couche de destruction 6-405	Anneau	Coquille	Spondylus Gaederopus	Fragment	Circulaire	1,586	1,354		1,345		9	NR II / niv6-5	
608007-016	Maison 4 - Pièce B	couche de destruction	Anneau	Coquille	Spondylus Gaederopus	Fragment	Circulaire	5,659	2,087		0,786		86	NR II / niv6-5	
608082-001	Entre maisons 3 et 4	couche de destruction	Anneau	Coquille	Spondylus Gaederopus	Fragment	Circulaire	5,081	1,929		0,775		72	NR II / niv6-5	
608093-003	Maison 4 - Pièce C	sol 6-427	Pendentif	Coquille		Complet	Naturelle	2,859	2,817		0,248	0,285	36	NR II / niv6-5	
609014-001	Maison 4 - Pièce A		Pendentif	Pierre		Complet	pyramidale	4,666	1,358		1,024	0,454		Surface	
45	Maison 4 - extérieur SE	couche de destruction	Perle	Os		Complet	Tubulaire			0,129	0,445	0,057	67	niv6-5?	46, 245
609047-001	Maison 4 - Pièce A	plate-forme 6-413	Pendentif	Pierre		Fragment	géométrique, ovale	2,581	1,926		0,370	0,260	25	NR II / niv6-5	

**Annexe 1  
Les pièces de parure de Dikili Tash**

*En italique les pièces non étudiées par Céline Choquet*

N° inventaire	Ensemble	Fait	Type	Matériau	Matériau détermination	Etat	Forme	Long. (en cm)	Larg. (en cm)	Diam. Max (en cm)	Ep. max. (en cm)	Diam perforation (en cm)	Poids (en gr)	Datation / Niveau	Fig.
609050-001	Maison 4 - extérieur SE		Pendentif	Coquille		Complet	Naturelle	11,570	10,470		0,810	0,940	1		
609050-002	Maison 4 - extérieur SE		Pendentif	Coquille		Complet	Naturelle	10,150	8,860		0,820	0,890	1		
610015-008	Maison 3		Perle	Coquille	Indéterminé	Fragment	Discoïdale			0,540	0,067	0,118	1	Surface	
610016-012	Maison 3	fosse 6-304	Perle	Terre cuite		Complet	Discoïdale			0,627	0,220	0,181	1	NR II / niv6-2, 6-4	
610048-001	Maison 3	couche de destruction 6-325	Perle	Indéterminé		Complet	Discoïdale			0,666	0,343	0,276	1	NR II / niv6-5?	
610048-002	Maison 3	couche de destruction 6-325	Perle	Pierre		Complet	Discoïdale			0,371	0,141	0,185	1	NR II / niv6-5?	
610089-006	Maison 3	couche de destruction	Pendentif	Pierre		Complet	Ovale	4,682	2,969		1,322	0,983	20,4	NR II / niv6-5	237
610121-002	Maison 3	fosse 6-307	Perle	Pierre		Complet	Discoïdale			0,486	0,101	0,160	1	NR II / niv6-2, 6-5	234
610121-003	Maison 3	fosse 6-307	Perle	Pierre		Complet	Discoïdale			0,397	0,129	0,132	1	NR II / niv6-2, 6-5	234
610121-014	Maison 3	fosse 6-307	Perle	Pierre		Complet	Discoïdale			0,413	0,145	0,159	1	NR II / niv6-2, 6-5	234
610121-015	Maison 3	fosse 6-307	Perle	Pierre		Complet	Tubulaire			0,558	0,703	0,266	1	NR II / niv6-2, 6-5	234
610133-001	Maison 3	couche de destruction 6-331	Pendentif	Coquille		Complet	Naturelle	15,640	14,730		1,290	1,890	7	NR II / niv6-5	
610144-001	Maison 3	sol 6-313	Pendentif	Coquille		Complet	Naturelle	9,620	8,380		0,980	0,900	1	NR II / niv6-5	
610198-001	Maison 3	couche de destruction 6-331	Perle	Terre cuite		Complet	Discoïdale			0,585	0,188	0,181	1	niv6-5	
611003-005	Maison 4 - Pièce A	couche de destruction 6-405	Perle	Pierre		Complet	Discoïdale			1,210	0,611	0,242	12	NR II / niv6-5	
611006-001	Maison 4 - Pièce A	couche de destruction 6-405	Pendentif	Coquille		Complet	Naturelle	0,902	0,891		0,086	0,133	1	NR II / niv6-5	
611019-001	Maison 4 - Pièce A	couche de destruction 6-435	Pendentif	Coquille		Complet	Naturelle	2,342	2,108		0,204	0,052	17	NR II / niv6-5	
611028-001	Maison 4 - Pièce A	couche de destruction 6-436	Pendentif	Coquille		Complet	Naturelle	31,920	30,890		2,960	1,030	61	NR II / niv6-5	

**Annexe 1**  
**Les pièces de parure de Dikili Tash**

*En italique les pièces non étudiées par Céline Choquet*

N° inventaire	Ensemble	Fait	Type	Matériau	Matériau détermination	Etat	Forme	Long. (en cm)	Larg. (en cm)	Diam. Max (en cm)	Ep. max. (en cm)	Diam perforation (en cm)	Poids (en gr)	Datation / Niveau	Fig.
611072-013	Maison 4 - Pièce C	couche de destruction	Pendentif	Coquille		Complet	Naturelle	1,411	1,238		0,136	0,142	4	NR II / niv6-5	
611079-001	Maison 4 - Pièce A	sol 6-414	Pendentif	Pierre		Fragment	Rectangulaire	4,237	1,410		0,271	0,324	25	NR II / niv6-5	241
611079-010	Maison 4 - Pièce A	sol 6-414	Pendentif	Coquille		Complet	Naturelle	2,330	2,211		0,198	0,114	20	NR II / niv6-5	240
611079-012	Maison 4 - Pièce A	sol 6-414	Pendentif	Coquille		Complet	Naturelle	2,213	1,964		0,114	0,143	11	NR II / niv6-5	240
611079-013	Maison 4 - Pièce A	sol 6-414	Pendentif	Coquille		Complet	Naturelle	2,322	2,112		0,162	0,129	18	NR II / niv6-5	240
611079-014	Maison 4 - Pièce A	sol 6-414	Pendentif	Coquille		Complet	Naturelle	1,152	1,009		0,990	0,700	1	NR II / niv6-5	240
611079-015	Maison 4 - Pièce A	sol 6-414	Pendentif	Coquille		Complet	Naturelle	2,374	2,343		0,208	0,252	22	NR II / niv6-5	240
611079-017	Maison 4 - Pièce A	sol 6-414	Pendentif	Coquille		Complet	Naturelle	2,456	2,377		0,186		22	NR II / niv6-5	240
<i>611079-018</i>	<i>Maison 4 - Pièce A</i>	<i>sol 6-414</i>	<i>Pendentif</i>	<i>Coquille</i>		<i>Complet</i>	<i>Naturelle</i>							<i>NR II / niv6-5</i>	
611083-004	Maison 4 - Pièce A	sol 6-414	Pendentif	Coquille		Complet	Naturelle			0,934	1,238	0,390	5	NR II / niv6-5	
611083-021	Maison 4 - Pièce A	sol 6-414	Perle	Pierre		Complet	Discoïdale			0,487	0,003	0,168	1	NR II / niv6-5	243
611083-022	Maison 4 - Pièce A	sol 6-414	Perle	Pierre		Complet	Discoïdale			0,377	0,226	0,166	1	NR II / niv6-5	243
611083-023	Maison 4 - Pièce A	sol 6-414	Perle	Pierre		Complet	Discoïdale			0,342	0,111	0,123	1	NR II / niv6-5	
611083-024	Maison 4 - Pièce A	sol 6-414	Perle	Pierre		Complet	Discoïdale			0,486	0,153	0,164	1	NR II / niv6-5	243
611083-025	Maison 4 - Pièce A	sol 6-414	Perle	Pierre		Complet	Discoïdale			0,465	0,263	0,196	1	NR II / niv6-5	243
61113-001	Maison 4 - Pièce A	sol 6-414	Pendentif	Pierre		Fragment	Rectangulaire							NR II / niv6-5	242
<i>61117-006</i>	<i>Maison 4 - Pièce B</i>	<i>plate-forme 6-440</i>	<i>Perle</i>	<i>Pierre</i>										<i>NR II / niv6-5</i>	
<b>Secteur 6 - Programme 3</b>															
6020-004	Maison 1	<i>couche de destruction 6-005</i>	<i>Perle</i>	<i>Pierre</i>		<i>Complet</i>								<i>NR II, BA / niv6-2, 6-5</i>	
6020-005	Maison 1	<i>couche de destruction 6-005</i>	<i>Perle</i>	<i>Terre cuite</i>		<i>Fragment</i>	<i>Discoïdale</i>			0,494	0,251	0,232	< 1	<i>NR II, BA / niv6-2, 6-5</i>	

## Annexe 1 Les pièces de parure de Dikili Tash

*En italique les pièces non étudiées par Céline Choquet*

N° inventaire	Ensemble	Fait	Type	Matériau	Matériau détermination	Etat	Forme	Long. (en cm)	Larg. (en cm)	Diam. Max (en cm)	Ep. max. (en cm)	Diam perforation (en cm)	Poids (en gr)	Datation / Niveau	Fig.
6029-001	Maison 1		Pendentif	Pierre	Pierre calcaire	Complet	pyramidale	0,707	0,646		0,427	0,180	2	NR II, BA / niv6-5	
6046-003	Maison 1	couche de destruction	Pendentif	Os	Astragale	Complet	Naturelle	2,199	1,245		1,135	0,290	18	NR II / niv6-5	
6060-005		fosse 6-008	Perle	Pierre	Indéterminé	Complet	Discoïdale			0,335	0,188	0,088	< 1	NR II, BA / niv6-2, 6-5	
6060-006		fosse 6-008	Perle	Os		Fragment	Discoïdale			0,422	0,213	/	< 1	NR II, BA / niv6-2, 6-5	
6061-004	Maison 1	couche de destruction	Perle	Pierre	Pierre calcaire	Complet	Discoïdale			0,513	0,179	0,170	< 1	NR II / niv6-5	
6076-005	Maison 1	couche de destruction	Perle	Pierre	Indéterminé	Fragment	Discoïdale			0,447	0,108	0,162	< 1	NR II, NFinal / niv6-2, 6-5	
6082-001		fosse 6-014	Anneau	Coquille	Spondylus Gae-deropus	Fragment	Circulaire	4,858	3,184		1,170		127	BA / niv6-2	
6085-003		pierres de calage 6-018	Perle	Terre cuite		Complet	Discoïdale			0,698	0,325	0,168	< 1	NR II, BA / niv6-2, 6-5	30, 74
6087-003	Maison 1	couche de destruction	Épingle	Os		Fragment	Globulaire	1,303	1,103		0,901		16	NR II / niv6-5	
6103-001		fosse 6-040	Perle	Terre cuite		Fragment	Discoïdale			0,629	0,290	0,120	< 1	NR II, BA, Moderne / niv6-2, 6-5	
6104-002	Maison 1	couche de destruction	Élément de débitage	Pierre		Fragment	irrégulière							NR II, BA? / niv6-2?, 6-5	
6104-009	Maison 1	couche de destruction	Élément de débitage	Coquille	Dentalium sp.	Fragment	Naturelle			0,396	0,962		< 1	NR II, BA? / niv6-2?, 6-5	
6105-001	Maison 1	four 6-015	Perle	Coquille	Spondylus Gae-deropus	Complet	Tubulaire			0,560	0,945	0,267	< 1	NR II / niv6-5	24
6107-002	Maison 1	sol 6-049	Élément de débitage	Coquille	Dentalium sp.	Complet	Tubulaire			0,278	0,308	0,170	< 1	NR II / niv6-5	
6107-003	Maison 1	sol 6-049	Perle	Pierre	Indéterminé	Complet	Discoïdale			0,764	0,207	0,109	< 1	NR II / niv6-5	
6108-001		pierres de calage 6-017	Pendentif	Pierre	Pierre calcaire	Complet	pyramidale	0,732	0,588		0,404	0,208	< 1	BA / niv6-2	129, 130
6114-002		indéterminé	Pendentif	Os	Astragale	Complet	Naturelle	2,058	1,549		1,388	0,359	41	NR II, BA / niv6-2, 6-5	9
6130-009		fosse 6-040	Perle	Terre cuite		Complet	Discoïdale			0,514	0,140	0,203	< 1	NR II, BA / niv6-2, 6-5	33, 71
6130-010		fosse 6-040	Perle	Terre cuite		Complet	Discoïdale			0,444	0,089	0,156	< 1	NR II, BA / niv6-2, 6-5	

## Annexe 1 Les pièces de parure de Dikili Tash

*En italique les pièces non étudiées par Céline Choquet*

N° inventaire	Ensemble	Fait	Type	Matériau	Matériau détermination	Etat	Forme	Long. (en cm)	Larg. (en cm)	Diam. Max (en cm)	Ep. max. (en cm)	Diam perforation (en cm)	Poids (en gr)	Datation / Niveau	Fig.
6130-011		fosse 6-040	Élément de débitage	Pierre		Fragment	irrégulière							NR II, BA / niv6-2, 6-5	
6134-001		indéterminé 6-025	Perle	Pierre	Pierre calcaire	Fragment	Discoïdale			0,535	0,104	0,249	< 1	NR II / niv6-5?	
6139-008	Maison 1	couche de destruction 6-092	Pendentif	Coquille	Glycymeris violascens	Complet	Naturelle	1,572	1,461		0,159	0,189	5	NR II / niv6-5	
6139-009	Maison 1	couche de destruction 6-092	Perle	Pierre	Pierre calcaire	Complet	Discoïdale			0,516	0,770	0,311	< 1	NR II / niv6-5	
6146-001	Maison 1	couche de destruction	Pendentif	Coquille	Glycymeris sp.	Complet	Naturelle	0,993	0,886		0,136	0,105	2	NR II / niv6-5?	
6147-003	Maison 1	couche de destruction	Anneau	Os		Fragment	Circulaire	1,528	0,709		0,399		3	NR II / niv6-5	
6147-004	Maison 1	couche de destruction	Perle	Pierre	Indéterminé	Complet	Discoïdale			0,400	0,202	0,175	< 1	NR II / niv6-5	
6147-008	Maison 1	couche de destruction	Perle	Terre cuite		Complet	Discoïdale			0,449	0,720	0,181	< 1	NR II / niv6-5	31
6147-009	Maison 1	couche de destruction	Pendentif	Pierre	Pierre calcaire	Fragment	pyramidale	0,818	0,756		0,521	0,237	3	NR II / niv6-5	128
6147-010	Maison 1	couche de destruction	Perle	Coquille	Dentalium sp.	Complet	Tubulaire			0,433	0,788	0,330	< 1	NR II / niv6-5	
6147-011	Maison 1	couche de destruction	Perle	Terre cuite		Complet	Discoïdale			0,511	0,183	0,199	< 1	NR II / niv6-5	75
6149-003		remblaiement	Perle	Pierre	Pierre calcaire	Complet	Discoïdale			0,639	0,312	0,207	< 1	NFinal / niv6-4	
6156-001	Maison 1	couche de destruction	Perle	Pierre	Indéterminé	Complet	Discoïdale			0,308	0,115	0,102	< 1	NR II / niv6-5	
6159-003	Maison 1	couche de destruction 6-026	Perle	Terre cuite		Complet	Discoïdale			0,208	0,139		< 1	NR II / niv6-5	68
6170-001		remblaiement 6-041	Perle	Pierre	Pierre calcaire	Complet	Discoïdale			0,539	0,234	0,217	< 1	NFinal / niv6-4	
6184-001	Maison 1	couche de destruction	Perle	Pierre	Pierre calcaire	Complet	Discoïdale			0,442	0,155	0,137	< 1	NR II / niv6-5	65
6184-002	Maison 1	couche de destruction	Perle	Coquille ou pierre	Indéterminé	Complet	Discoïdale			0,530	0,242	0,266	< 1	NR II / niv6-5	
6184-003	Maison 1	couche de destruction	Perle	Coquille ou pierre	Indéterminé	Complet	Discoïdale			0,545	0,285	0,266	< 1	NR II / niv6-5	

**Annexe 1**  
**Les pièces de parure de Dikili Tash**

*En italique les pièces non étudiées par Céline Choquet*

N° inventaire	Ensemble	Fait	Type	Matériau	Matériau détermination	Etat	Forme	Long. (en cm)	Larg. (en cm)	Diam. Max (en cm)	Ep. max. (en cm)	Diam perforation (en cm)	Poids (en gr)	Datation / Niveau	Fig.
6184-004	Maison 1	couche de destruction	Perle	Pierre	Pierre calcaire	Complet	Tubulaire			0,676	0,708	0,303	6	NR II / niv6-5	
6184-005	Maison 1	couche de destruction	Perle	Pierre	Pierre calcaire	Complet	Discoïdale			0,825	0,316	0,241	<1	NR II / niv6-5	
6184-006	Maison 1	couche de destruction	Perle	Pierre	Pierre calcaire	Complet	Tubulaire			0,559	0,673	0,274	5	NR II / niv6-5	219
6184-007	Maison 1	couche de destruction	Perle	Pierre	Pierre calcaire	Complet	Discoïdale			0,610	0,289	0,291	3	NR II / niv6-5	
6184-008	Maison 1	couche de destruction	Perle	Coquille ou pierre	Indéterminé	Complet	Globulaire			0,680	0,463	0,258	3	NR II / niv6-5	
6193-003		remblaiement	Perle	Terre cuite		Complet	Discoïdale			0,420	0,197	0,165	<1	NFinal? / niv6-4?	
6204-008			Pendentif	Os	Astragale	Complet	Naturelle	0,285	0,141		0,135	/	25	/ Hors strati	
6209-010		fosse 6-011	Applique	Dent	Suidé	Fragment	Rectangulaire	2,829	0,758		0,447	0,259	12	NR II, BA, Moderne / Surface, niv6-2, 6-5	
6220-001	Maison 1	sol 6-064	Perle	Coquille	Dentalium sp.	Complet	Tubulaire			0,309	1,694	0,236	<1	NR II, BA / niv6-2, 6-5	
6224-001		fosse 6-141	Perle	Pierre	Indéterminé	Complet	Discoïdale			0,545	0,101	0,225	<1	NR II, BA / niv6-2?, 6-5	55
6225-001			Perle	Coquille	Spondylus Gaedropus	Complet	Tubulaire			1,773	2,254	0,778	87	Hors strati	
6266-002	Maison 1	couche de destruction	Perle	Coquille	Spondylus Gaedropus	Complet	Tubulaire			0,630	0,943	0,321	<1	NR II / niv6-5	
6266-003	Maison 1	couche de destruction	Perle	Pierre	Pierre calcaire	Complet	Discoïdale			0,694	0,322	0,313	<1	NR II / niv6-5	22
6266-004	Maison 1	couche de destruction	Perle	Coquille ou pierre	Indéterminé	Complet	Discoïdale			0,638	0,213	0,319	<1	NR II / niv6-5	
6266-005	Maison 1	couche de destruction	Perle	Coquille ou pierre	Indéterminé	Complet	Tubulaire			0,613	0,624	0,302	<1	NR II / niv6-5	
6266-006	Maison 1	couche de destruction	Perle	Coquille ou pierre	Indéterminé	Complet	Discoïdale			0,883	0,293	0,327	<1	NR II / niv6-5	
6266-007	Maison 1	couche de destruction	Perle	Pierre	Pierre calcaire	Complet	Discoïdale			0,793	0,409	0,380	<1	NR II / niv6-5	
6266-008	Maison 1	couche de destruction	Perle	Coquille ou pierre	Indéterminé	Complet	Discoïdale			0,700	0,299	0,241	<1	NR II / niv6-5	
6266-009	Maison 1	couche de destruction	Perle	Coquille ou pierre	Indéterminé	Complet	Discoïdale			0,659	0,244	0,268	<1	NR II / niv6-5	
6266-010	Maison 1	couche de destruction	Perle	Coquille ou pierre	Indéterminé	Complet	Discoïdale			0,471	0,184	0,239	<1	NR II / niv6-5	

**Annexe 1**  
**Les pièces de parure de Dikili Tash**

*En italique les pièces non étudiées par Céline Choquet*

N° inventaire	Ensemble	Fait	Type	Matériau	Matériau déterminé	Etat	Forme	Long. (en cm)	Larg. (en cm)	Diam. Max (en cm)	Ep. max. (en cm)	Diam perforation (en cm)	Poids (en gr)	Datation / Niveau	Fig.
6266-011	Maison 1	couche de destruction	Perle	Pierre	Indéterminé	Complet	Discoïdale			0,471	0,213	0,212	< 1	NR II / niv6-5	
6266-012	Maison 1	couche de destruction	Perle	Coquille ou pierre	Indéterminé	Complet	Discoïdale			0,453	0,254	0,184	< 1	NR II / niv6-5	
6266-013	Maison 1	couche de destruction	Perle	Coquille ou pierre	Indéterminé	Complet	Discoïdale			0,399	0,152	0,170	< 1	NR II / niv6-5	
6266-014	Maison 1	couche de destruction	Perle	Coquille ou pierre	Indéterminé	Complet	Discoïdale			0,453	0,172	0,229	< 1	NR II / niv6-5	
6266-015	Maison 1	couche de destruction	Perle	Coquille ou pierre	Indéterminé	Complet	Discoïdale			0,447	0,126	0,258	< 1	NR II / niv6-5	
6266-016	Maison 1	couche de destruction	Perle	Coquille ou pierre	Indéterminé	Complet	Discoïdale			0,365	0,135	/	< 1	NR II / niv6-5	
6266-017	Maison 1	couche de destruction	Perle	Coquille ou pierre	Indéterminé	Complet	Discoïdale			0,384	0,101	0,198	< 1	NR II / niv6-5	
6266-018	Maison 1	couche de destruction	Perle	Coquille ou pierre	Indéterminé	Complet	Discoïdale			0,412	0,046	0,220	< 1	NR II / niv6-5	
6266-019	Maison 1	couche de destruction	Perle	Coquille ou pierre	Indéterminé	Complet	Discoïdale			0,473	0,075	/	< 1	NR II / niv6-5	
6266-020	Maison 1	couche de destruction	Perle	Coquille ou pierre	Indéterminé	Complet	Discoïdale			0,405	0,111	0,229	< 1	NR II / niv6-5	
6266-021	Maison 1	couche de destruction	Perle	Coquille ou pierre	Indéterminé	Complet	Discoïdale			0,387	0,077	0,209	< 1	NR II / niv6-5	
6266-022	Maison 1	couche de destruction	Perle	Coquille ou pierre	Indéterminé	Complet	Discoïdale			0,540	0,287	0,273	< 1	NR II / niv6-5	
6266-023	Maison 1	couche de destruction	Perle	Coquille ou pierre	Indéterminé	Complet	Discoïdale			0,422	0,178	0,246	< 1	NR II / niv6-5	
6266-024	Maison 1	couche de destruction	Perle	Coquille ou pierre	Indéterminé	Complet	Discoïdale			0,417	0,144	0,209	< 1	NR II / niv6-5	
6266-025	Maison 1	couche de destruction	Perle	Pierre	Indéterminé	Complet	Discoïdale			0,345	0,226	0,136	< 1	NR II / niv6-5	
6266-026	Maison 1	couche de destruction	Perle	Coquille ou pierre	Indéterminé	Complet	Discoïdale			0,457	0,180	0,200	< 1	NR II / niv6-5	
6266-027	Maison 1	couche de destruction	Perle	Pierre	Indéterminé	Complet	Discoïdale			0,386	0,144	0,182	< 1	NR II / niv6-5	
6266-028	Maison 1	couche de destruction	Perle	Coquille ou pierre	Indéterminé	Complet	Discoïdale			0,571	0,390	0,283	< 1	NR II / niv6-5	
6266-029	Maison 1	couche de destruction	Perle	Pierre	Indéterminé	Complet	Discoïdale			0,465	0,256	0,166	< 1	NR II / niv6-5	
6266-030	Maison 1	couche de destruction	Perle	Coquille ou pierre	Indéterminé	Complet	Discoïdale			0,485	0,200	0,214	< 1	NR II / niv6-5	

**Annexe 1**  
**Les pièces de parure de Dikili Tash**

*En italique les pièces non étudiées par Céline Choquet*

N° inventaire	Ensemble	Fait	Type	Matériau	Matériau déterminé	Etat	Forme	Long. (en cm)	Larg. (en cm)	Diam. Max (en cm)	Ep. max. (en cm)	Diam perforation (en cm)	Poids (en gr)	Datation / Niveau	Fig.
6266-031	Maison 1	couche de destruction	Perle	Coquille ou pierre	Indéterminé	Complet	Discoïdale			0,588	0,463	0,264	< 1	NR II / niv6-5	
6266-032	Maison 1	couche de destruction	Perle	Pierre	Indéterminé	Complet	Discoïdale			0,495	0,232	0,160	< 1	NR II / niv6-5	
6266-033	Maison 1	couche de destruction	Perle	Pierre	Indéterminé	Complet	Discoïdale			0,455	0,242	0,150	< 1	NR II / niv6-5	
6266-034	Maison 1	couche de destruction	Perle	Coquille ou pierre	Indéterminé	Complet	Discoïdale			0,467	0,203	0,267	< 1	NR II / niv6-5	
6266-035	Maison 1	couche de destruction	Perle	Métal	Cuivre	Complet	Discoïdale			0,406	0,366	0,223	< 1	NR II / niv6-5	86, 87
6266-036	Maison 1	couche de destruction	Perle	Pierre	Indéterminé	Complet	Discoïdale			0,412	0,333	0,135	< 1	NR II / niv6-5	
6266-037	Maison 1	couche de destruction	Perle	Coquille ou pierre	Indéterminé	Complet	Discoïdale			0,507	0,163	0,207	< 1	NR II / niv6-5	
6266-038	Maison 1	couche de destruction	Perle	Coquille ou pierre	Indéterminé	Complet	Discoïdale			0,403	0,143	0,194	< 1	NR II / niv6-5	
6266-039	Maison 1	couche de destruction	Perle	Coquille ou pierre	Indéterminé	Complet	Discoïdale			0,559	0,286	0,261	< 1	NR II / niv6-5	
6266-040	Maison 1	couche de destruction	Perle	Coquille ou pierre	Indéterminé	Complet	discoïdale			0,650	0,643	0,295	< 1	NR II / niv6-5	
6266-041	Maison 1	couche de destruction	Perle	Pierre	Pierre calcaire	Complet	Discoïdale			0,956	0,897	0,336	< 1	NR II / niv6-5	
6266-042	Maison 1	couche de destruction	Perle	Coquille ou pierre	Indéterminé	Complet	Discoïdale			0,574	0,333	0,289	< 1	NR II / niv6-5	
6266-043	Maison 1	couche de destruction	Perle	Coquille ou pierre	Indéterminé	Complet	Discoïdale			0,692	0,248	0,323	< 1	NR II / niv6-5	
6266-044	Maison 1	couche de destruction	Perle	Coquille ou pierre	Indéterminé	Complet	Discoïdale			0,404	0,076	0,229	< 1	NR II / niv6-5	
6266-045	Maison 1	couche de destruction	Perle	Coquille ou pierre	Indéterminé	Complet	Discoïdale			0,403	0,113	0,206	< 1	NR II / niv6-5	
6266-046	Maison 1	couche de destruction	Perle	Coquille ou pierre	Indéterminé	Complet	Discoïdale			0,592	0,194	0,222	< 1	NR II / niv6-5	
6266-047	Maison 1	couche de destruction	Perle	Terre cuite		Complet	Tubulaire			0,443	0,818	0,232	< 1	NR II / niv6-5	69
6266-048	Maison 1	couche de destruction	Perle	Métal	Cuivre	Complet	Tubulaire			0,452	0,573	0,186	< 1	NR II / niv6-5	
6266-049	Maison 1	couche de destruction	Perle	Terre cuite		Complet	Discoïdale			0,440	0,276	0,154	< 1	NR II / niv6-5	
6266-050	Maison 1	couche de destruction	Perle	Terre cuite		Complet	Discoïdale			0,414	0,103	0,194	< 1	NR II / niv6-5	

**Annexe 1**  
**Les pièces de parure de Dikili Tash**

*En italique les pièces non étudiées par Céline Choquet*

N° inventaire	Ensemble	Fait	Type	Matériau	Matériau détermination	Etat	Forme	Long. (en cm)	Larg. (en cm)	Diam. Max (en cm)	Ep. max. (en cm)	Diam perforation (en cm)	Poids (en gr)	Datation / Niveau	Fig.
6266-051	Maison 1	couche de destruction	Perle	Terre cuite		Complet	Discoïdale			0,472	0,158	0,175	< 1	NR II / niv6-5	
6266-052	Maison 1	couche de destruction	Perle	Terre cuite		Complet	Discoïdale			0,422	0,180	0,192	< 1	NR II / niv6-5	
6266-053	Maison 1	couche de destruction	Perle	Terre cuite		Complet	Discoïdale			0,431	0,088	0,181	< 1	NR II / niv6-5	
6266-054	Maison 1	couche de destruction	Perle	Terre cuite		Complet	Discoïdale			0,477	0,178	0,201	< 1	NR II / niv6-5	
6266-055	Maison 1	couche de destruction	Perle	Terre cuite		Complet	Discoïdale			0,424	0,082	0,167	< 1	NR II / niv6-5	
6266-056	Maison 1	couche de destruction	Perle	Terre cuite		Complet	Discoïdale			0,450	0,124	0,178	< 1	NR II / niv6-5	
6266-057	Maison 1	couche de destruction	Perle	Terre cuite		Complet	Discoïdale			0,489	0,133	0,204	< 1	NR II / niv6-5	
6266-058	Maison 1	couche de destruction	Perle	Terre cuite		Complet	Discoïdale			0,471	0,148	0,175	< 1	NR II / niv6-5	
6266-059	Maison 1	couche de destruction	Perle	Terre cuite		Complet	Discoïdale			0,478	0,126	0,159	< 1	NR II / niv6-5	
6266-060	Maison 1	couche de destruction	Perle	Terre cuite		Complet	Discoïdale			0,454	0,097	0,179	< 1	NR II / niv6-5	
6266-061	Maison 1	couche de destruction	Perle	Terre cuite		Complet	Discoïdale			0,443	0,114	0,155	< 1	NR II / niv6-5	
6266-062	Maison 1	couche de destruction	Perle	Terre cuite		Complet	Discoïdale			0,480	0,140	0,205	< 1	NR II / niv6-5	
6266-063	Maison 1	couche de destruction	Perle	Terre cuite		Complet	Discoïdale			0,470	0,094	0,186	< 1	NR II / niv6-5	
6266-064	Maison 1	couche de destruction	Perle	Terre cuite		Complet	Discoïdale			0,494	0,196	0,198	< 1	NR II / niv6-5	
6266-065	Maison 1	couche de destruction	Perle	Terre cuite		Complet	Discoïdale			0,481	0,177	0,163	< 1	NR II / niv6-5	
6266-066	Maison 1	couche de destruction	Perle	Terre cuite		Complet	Discoïdale			0,441	0,112	0,175	< 1	NR II / niv6-5	
6266-067	Maison 1	couche de destruction	Perle	Terre cuite		Complet	Discoïdale			0,444	0,166	0,197	< 1	NR II / niv6-5	
6266-068	Maison 1	couche de destruction	Perle	Terre cuite		Complet	Discoïdale			0,464	0,142	0,178	< 1	NR II / niv6-5	
6266-069	Maison 1	couche de destruction	Perle	Terre cuite		Complet	Discoïdale			0,452	0,163	0,171	< 1	NR II / niv6-5	
6266-070	Maison 1	couche de destruction	Perle	Terre cuite		Complet	Discoïdale			0,449	0,095	0,186	< 1	NR II / niv6-5	

**Annexe 1**  
**Les pièces de parure de Dikili Tash**

*En italique les pièces non étudiées par Céline Choquet*

N° inventaire	Ensemble	Fait	Type	Matériau	Matériau détermination	Etat	Forme	Long. (en cm)	Larg. (en cm)	Diam. Max (en cm)	Ep. max. (en cm)	Diam perforation (en cm)	Poids (en gr)	Datation / Niveau	Fig.
6266-071	Maison 1	couche de destruction	Perle	Terre cuite		Complet	Discoïdale			0,429	0,181	0,196	< 1	NR II / niv6-5	
6266-072	Maison 1	couche de destruction	Perle	Terre cuite		Complet	Discoïdale			0,433	0,117	0,153	< 1	NR II / niv6-5	
6266-073	Maison 1	couche de destruction	Perle	Terre cuite		Complet	Discoïdale			0,382	0,107	0,173	< 1	NR II / niv6-5	
6266-074	Maison 1	couche de destruction	Perle	Terre cuite		Complet	Discoïdale			0,488	0,198	0,177	< 1	NR II / niv6-5	
6266-075	Maison 1	couche de destruction	Perle	Terre cuite		Complet	Discoïdale			0,487	0,108	0,203	< 1	NR II / niv6-5	
6266-076	Maison 1	couche de destruction	Perle	Terre cuite		Complet	Discoïdale			0,433	0,153	0,163	< 1	NR II / niv6-5	
6266-077	Maison 1	couche de destruction	Perle	Terre cuite		Complet	Discoïdale			0,444	0,111	0,180	< 1	NR II / niv6-5	
6266-078	Maison 1	couche de destruction	Perle	Terre cuite		Complet	Discoïdale			0,455	0,143	0,206	< 1	NR II / niv6-5	
6266-079	Maison 1	couche de destruction	Perle	Terre cuite		Complet	Discoïdale			0,460	0,105	0,178	< 1	NR II / niv6-5	
6266-080	Maison 1	couche de destruction	Perle	Terre cuite		Complet	Discoïdale			0,433	0,132	0,186	< 1	NR II / niv6-5	
6266-081	Maison 1	couche de destruction	Perle	Terre cuite		Complet	Discoïdale			0,457	0,111	0,177	< 1	NR II / niv6-5	
6266-082	Maison 1	couche de destruction	Perle	Terre cuite		Complet	Discoïdale			0,457	0,161	0,145	< 1	NR II / niv6-5	
6266-083	Maison 1	couche de destruction	Perle	Terre cuite		Complet	Discoïdale			0,451	0,094	0,189	< 1	NR II / niv6-5	
6266-084	Maison 1	couche de destruction	Perle	Terre cuite		Complet	Discoïdale			0,472	0,115	0,153	< 1	NR II / niv6-5	
6266-085	Maison 1	couche de destruction	Perle	Terre cuite		Complet	Discoïdale			0,402	0,149	0,181	< 1	NR II / niv6-5	
6266-086	Maison 1	couche de destruction	Perle	Terre cuite		Complet	Discoïdale			0,520	0,181	0,170	< 1	NR II / niv6-5	
6266-087	Maison 1	couche de destruction	Perle	Terre cuite		Complet	Discoïdale			0,469	0,154	0,156	< 1	NR II / niv6-5	
6266-088	Maison 1	couche de destruction	Perle	Terre cuite		Complet	Discoïdale			0,428	0,120	0,174	< 1	NR II / niv6-5	
6266-089	Maison 1	couche de destruction	Perle	Terre cuite		Complet	Discoïdale			0,442	0,149	0,197	< 1	NR II / niv6-5	
6266-090	Maison 1	couche de destruction	Perle	Terre cuite		Complet	Discoïdale			0,473	0,125	0,207	< 1	NR II / niv6-5	

**Annexe 1**  
**Les pièces de parure de Dikili Tash**

*En italique les pièces non étudiées par Céline Choquet*

N° inventaire	Ensemble	Fait	Type	Matériau	Matériau détermination	Etat	Forme	Long. (en cm)	Larg. (en cm)	Diam. Max (en cm)	Ep. max. (en cm)	Diam perforation (en cm)	Poids (en gr)	Datation / Niveau	Fig.
6266-091	Maison 1	couche de destruction	Perle	Terre cuite		Complet	Discoïdale			0,389	0,113	0,173	< 1	NR II / niv6-5	
6266-092	Maison 1	couche de destruction	Perle	Terre cuite		Complet	Discoïdale			0,400	0,117	0,185	< 1	NR II / niv6-5	
6266-093	Maison 1	couche de destruction	Perle	Terre cuite		Complet	Discoïdale			0,458	0,091	0,177	< 1	NR II / niv6-5	
6266-094	Maison 1	couche de destruction	Perle	Terre cuite		Complet	Discoïdale			0,449	0,105	0,192	< 1	NR II / niv6-5	
6266-095	Maison 1	couche de destruction	Perle	Terre cuite		Complet	Discoïdale			0,436	0,085	0,171	< 1	NR II / niv6-5	
6266-096	Maison 1	couche de destruction	Perle	Terre cuite		Complet	Discoïdale			0,441	0,125	0,143	< 1	NR II / niv6-5	
6266-097	Maison 1	couche de destruction	Perle	Terre cuite		Complet	Discoïdale			0,442	0,103	0,196	< 1	NR II / niv6-5	
6266-098	Maison 1	couche de destruction	Perle	Terre cuite		Complet	Discoïdale			0,423	0,086	0,174	< 1	NR II / niv6-5	
6266-099	Maison 1	couche de destruction	Perle	Terre cuite		Complet	Discoïdale			0,444	0,121	0,149	< 1	NR II / niv6-5	
6266-100	Maison 1	couche de destruction	Perle	Terre cuite		Complet	Discoïdale			0,464	0,162	0,196	< 1	NR II / niv6-5	
6266-101	Maison 1	couche de destruction	Perle	Terre cuite		Complet	Discoïdale			0,452	0,131	0,196	< 1	NR II / niv6-5	
6266-102	Maison 1	couche de destruction	Perle	Terre cuite		Complet	Discoïdale			0,377	0,117	0,129	< 1	NR II / niv6-5	
6266-103	Maison 1	couche de destruction	Perle	Terre cuite		Complet	Discoïdale			0,420	0,128	0,134	< 1	NR II / niv6-5	
6266-104	Maison 1	couche de destruction	Perle	Terre cuite		Complet	Discoïdale			0,421	0,161	0,168	< 1	NR II / niv6-5	
6266-105	Maison 1	couche de destruction	Perle	Terre cuite		Complet	Discoïdale			0,454	0,111	0,158	< 1	NR II / niv6-5	
6266-106	Maison 1	couche de destruction	Perle	Terre cuite		Complet	Discoïdale			0,476	0,132	0,172	< 1	NR II / niv6-5	
6266-107	Maison 1	couche de destruction	Perle	Terre cuite		Complet	Discoïdale			0,480	0,125	0,171	< 1	NR II / niv6-5	
6266-108	Maison 1	couche de destruction	Perle	Terre cuite		Complet	Discoïdale			0,457	0,100	0,185	< 1	NR II / niv6-5	
6266-109	Maison 1	couche de destruction	Perle	Terre cuite		Complet	Discoïdale			0,444	0,120	0,177	< 1	NR II / niv6-5	
6266-110	Maison 1	couche de destruction	Perle	Terre cuite		Complet	Discoïdale			0,460	0,143	0,215	< 1	NR II / niv6-5	

**Annexe 1**  
**Les pièces de parure de Dikili Tash**

*En italique les pièces non étudiées par Céline Choquet*

N° inventaire	Ensemble	Fait	Type	Matériau	Matériau détermination	Etat	Forme	Long. (en cm)	Larg. (en cm)	Diam. Max (en cm)	Ep. max. (en cm)	Diam perforation (en cm)	Poids (en gr)	Datation / Niveau	Fig.
6266-111	Maison 1	couche de destruction	Perle	Terre cuite		Complet	Discoïdale			0,429	0,161	0,172	< 1	NR II / niv6-5	
6266-112	Maison 1	couche de destruction	Perle	Terre cuite		Complet	Discoïdale			0,434	0,126	0,186	< 1	NR II / niv6-5	
6266-113	Maison 1	couche de destruction	Perle	Terre cuite		Complet	Discoïdale			0,455	0,156	0,201	< 1	NR II / niv6-5	
6266-114	Maison 1	couche de destruction	Perle	Terre cuite		Complet	Discoïdale			0,441	0,106	0,186	< 1	NR II / niv6-5	
6266-115	Maison 1	couche de destruction	Perle	Terre cuite		Complet	Discoïdale			0,481	0,113	0,186	< 1	NR II / niv6-5	
6266-116	Maison 1	couche de destruction	Perle	Terre cuite		Complet	Discoïdale			0,505	0,130	0,161	< 1	NR II / niv6-5	
6266-117	Maison 1	couche de destruction	Perle	Terre cuite		Complet	Discoïdale			0,453	0,110	0,185	< 1	NR II / niv6-5	
6266-118	Maison 1	couche de destruction	Perle	Terre cuite		Complet	Discoïdale			0,414	0,112	0,170	< 1	NR II / niv6-5	
6266-119	Maison 1	couche de destruction	Perle	Terre cuite		Complet	Discoïdale			0,459	0,150	0,158	< 1	NR II / niv6-5	
6266-120	Maison 1	couche de destruction	Perle	Terre cuite		Complet	Discoïdale			0,424	0,145	0,168	< 1	NR II / niv6-5	
6266-121	Maison 1	couche de destruction	Perle	Terre cuite		Complet	Discoïdale			0,449	0,110	0,179	< 1	NR II / niv6-5	
6266-122	Maison 1	couche de destruction	Perle	Terre cuite		Complet	Discoïdale			0,438	0,158	0,192	< 1	NR II / niv6-5	
6266-123	Maison 1	couche de destruction	Perle	Terre cuite		Complet	Discoïdale			0,464	0,137	0,189	< 1	NR II / niv6-5	
6266-124	Maison 1	couche de destruction	Perle	Terre cuite		Complet	Discoïdale			0,475	0,103	0,172	< 1	NR II / niv6-5	
6266-125	Maison 1	couche de destruction	Perle	Terre cuite		Complet	Discoïdale			0,436	0,116	0,169	< 1	NR II / niv6-5	
6266-126	Maison 1	couche de destruction	Perle	Terre cuite		Complet	Discoïdale			0,423	0,102	0,170	< 1	NR II / niv6-5	
6266-127	Maison 1	couche de destruction	Perle	Terre cuite		Complet	Discoïdale			0,455	0,123	0,214	< 1	NR II / niv6-5	
6266-128	Maison 1	couche de destruction	Perle	Terre cuite		Complet	Discoïdale			0,446	0,156	0,187	< 1	NR II / niv6-5	
6266-129	Maison 1	couche de destruction	Perle	Terre cuite		Complet	Discoïdale			0,473	0,152	0,194	< 1	NR II / niv6-5	
6266-130	Maison 1	couche de destruction	Perle	Terre cuite		Complet	Discoïdale			0,511	0,180	0,189	< 1	NR II / niv6-5	

**Annexe 1**  
**Les pièces de parure de Dikili Tash**

*En italique les pièces non étudiées par Céline Choquet*

N° inventaire	Ensemble	Fait	Type	Matériau	Matériau détermination	Etat	Forme	Long. (en cm)	Larg. (en cm)	Diam. Max (en cm)	Ep. max. (en cm)	Diam perforation (en cm)	Poids (en gr)	Datation / Niveau	Fig.
6266-131	Maison 1	couche de destruction	Perle	Terre cuite		Complet	Discoïdale			0,446	0,159	0,162	< 1	NR II / niv6-5	
6266-132	Maison 1	couche de destruction	Perle	Terre cuite		Complet	Discoïdale			0,432	0,158	0,163	< 1	NR II / niv6-5	
6266-133	Maison 1	couche de destruction	Perle	Terre cuite		Complet	Discoïdale			0,461	0,112	0,199	< 1	NR II / niv6-5	
6266-134	Maison 1	couche de destruction	Perle	Terre cuite		Complet	Discoïdale			0,406	0,064	0,179	< 1	NR II / niv6-5	
6266-135	Maison 1	couche de destruction	Perle	Terre cuite		Complet	Discoïdale			0,475	0,147	0,194	< 1	NR II / niv6-5	
6266-136	Maison 1	couche de destruction	Perle	Terre cuite		Complet	Discoïdale			0,418	0,103	0,151	< 1	NR II / niv6-5	
6266-137	Maison 1	couche de destruction	Perle	Terre cuite		Complet	Discoïdale			0,437	0,115	0,182	< 1	NR II / niv6-5	
6266-138	Maison 1	couche de destruction	Perle	Terre cuite		Complet	Discoïdale			0,445	0,130	0,184	< 1	NR II / niv6-5	
6266-139	Maison 1	couche de destruction	Perle	Terre cuite		Complet	Discoïdale			0,466	0,150	0,202	< 1	NR II / niv6-5	
6266-140	Maison 1	couche de destruction	Perle	Terre cuite		Complet	Discoïdale			0,452	0,114	0,186	< 1	NR II / niv6-5	
6266-141	Maison 1	couche de destruction	Perle	Terre cuite		Complet	Discoïdale			0,470	0,121	0,182	< 1	NR II / niv6-5	
6266-142	Maison 1	couche de destruction	Perle	Terre cuite		Complet	Discoïdale			0,460	0,117	0,178	< 1	NR II / niv6-5	
6266-143	Maison 1	couche de destruction	Perle	Terre cuite		Complet	Discoïdale			0,452	0,139	0,203	< 1	NR II / niv6-5	
6266-144	Maison 1	couche de destruction	Perle	Terre cuite		Complet	Discoïdale			0,438	0,113	0,173	< 1	NR II / niv6-5	
6266-145	Maison 1	couche de destruction	Perle	Terre cuite		Complet	Discoïdale			0,433	0,079	0,176	< 1	NR II / niv6-5	
6266-146	Maison 1	couche de destruction	Perle	Terre cuite		Complet	Discoïdale			0,410	0,117	0,185	< 1	NR II / niv6-5	
6266-147	Maison 1	couche de destruction	Perle	Terre cuite		Complet	Discoïdale			0,467	0,128	0,182	< 1	NR II / niv6-5	
6266-148	Maison 1	couche de destruction	Perle	Terre cuite		Complet	Discoïdale			0,442	0,133	0,187	< 1	NR II / niv6-5	
6266-149	Maison 1	couche de destruction	Perle	Terre cuite		Complet	Discoïdale			0,427	0,149	0,177	< 1	NR II / niv6-5	
6266-150	Maison 1	couche de destruction	Perle	Terre cuite		Complet	Discoïdale			0,431	0,088	0,173	< 1	NR II / niv6-5	

**Annexe 1**  
**Les pièces de parure de Dikili Tash**

*En italique les pièces non étudiées par Céline Choquet*

N° inventaire	Ensemble	Fait	Type	Matériau	Matériau détermination	Etat	Forme	Long. (en cm)	Larg. (en cm)	Diam. Max (en cm)	Ep. max. (en cm)	Diam perforation (en cm)	Poids (en gr)	Datation / Niveau	Fig.
6266-151	Maison 1	couche de destruction	Perle	Terre cuite		Complet	Discoïdale			0,455	0,090	0,173	< 1	NR II / niv6-5	
6266-152	Maison 1	couche de destruction	Perle	Terre cuite		Complet	Discoïdale			0,449	0,150	0,162	< 1	NR II / niv6-5	
6266-153	Maison 1	couche de destruction	Perle	Terre cuite		Complet	Discoïdale			0,394	0,098	0,165	< 1	NR II / niv6-5	
6266-154	Maison 1	couche de destruction	Perle	Terre cuite		Complet	Discoïdale			0,448	0,179	0,172	< 1	NR II / niv6-5	
6266-155	Maison 1	couche de destruction	Perle	Terre cuite		Complet	Discoïdale			0,463	0,129	0,198	< 1	NR II / niv6-5	
6266-156	Maison 1	couche de destruction	Perle	Terre cuite		Complet	Discoïdale			0,483	0,129	0,197	< 1	NR II / niv6-5	
6266-157	Maison 1	couche de destruction	Perle	Terre cuite		Complet	Discoïdale			0,416	0,125	0,161	< 1	NR II / niv6-5	
6266-158	Maison 1	couche de destruction	Perle	Terre cuite		Complet	Discoïdale			0,457	0,151	0,176	< 1	NR II / niv6-5	
6266-159	Maison 1	couche de destruction	Perle	Terre cuite		Complet	Discoïdale			0,448	0,152	0,187	< 1	NR II / niv6-5	
6266-160	Maison 1	couche de destruction	Perle	Terre cuite		Complet	Discoïdale			0,469	0,132	0,166	< 1	NR II / niv6-5	
6266-161	Maison 1	couche de destruction	Perle	Terre cuite		Complet	Discoïdale			0,455	0,155	0,179	< 1	NR II / niv6-5	
6266-162	Maison 1	couche de destruction	Perle	Terre cuite		Complet	Discoïdale			0,439	0,150	0,165	< 1	NR II / niv6-5	
6266-163	Maison 1	couche de destruction	Perle	Terre cuite		Complet	Discoïdale			0,408	0,095	0,181	< 1	NR II / niv6-5	
6266-164	Maison 1	couche de destruction	Perle	Terre cuite		Complet	Discoïdale			0,454	0,115	0,212	< 1	NR II / niv6-5	
6266-165	Maison 1	couche de destruction	Perle	Terre cuite		Complet	Discoïdale			0,478	0,117	0,183	< 1	NR II / niv6-5	
6266-166	Maison 1	couche de destruction	Perle	Terre cuite		Complet	Discoïdale			0,444	0,107	0,169	< 1	NR II / niv6-5	
6266-167	Maison 1	couche de destruction	Perle	Terre cuite		Complet	Discoïdale			0,423	0,127	0,175	< 1	NR II / niv6-5	
6266-168	Maison 1	couche de destruction	Perle	Terre cuite		Complet	Discoïdale			0,381	0,110	0,170	< 1	NR II / niv6-5	
6266-169	Maison 1	couche de destruction	Perle	Terre cuite		Complet	Discoïdale			0,412	0,126	0,144	< 1	NR II / niv6-5	
6266-170	Maison 1	couche de destruction	Perle	Terre cuite		Complet	Discoïdale			0,493	0,183	0,181	< 1	NR II / niv6-5	

**Annexe 1**  
**Les pièces de parure de Dikili Tash**

*En italique les pièces non étudiées par Céline Choquet*

N° inventaire	Ensemble	Fait	Type	Matériau	Matériau détermination	Etat	Forme	Long. (en cm)	Larg. (en cm)	Diam. Max (en cm)	Ep. max. (en cm)	Diam perforation (en cm)	Poids (en gr)	Datation / Niveau	Fig.
6266-171	Maison 1	couche de destruction	Perle	Terre cuite		Complet	Discoïdale			0,437	0,147	0,191	< 1	NR II / niv6-5	
6266-172	Maison 1	couche de destruction	Perle	Terre cuite		Complet	Discoïdale			0,429	0,114	0,190	< 1	NR II / niv6-5	
6266-173	Maison 1	couche de destruction	Perle	Terre cuite		Complet	Discoïdale			0,475	0,159	0,200	< 1	NR II / niv6-5	
6266-174	Maison 1	couche de destruction	Perle	Terre cuite		Complet	Discoïdale			0,410	0,124	0,176	< 1	NR II / niv6-5	
6266-175	Maison 1	couche de destruction	Perle	Terre cuite		Complet	Discoïdale			0,485	0,135	0,195	< 1	NR II / niv6-5	
6266-176	Maison 1	couche de destruction	Perle	Terre cuite		Complet	Discoïdale			0,479	0,124	0,181	< 1	NR II / niv6-5	
6266-177	Maison 1	couche de destruction	Perle	Terre cuite		Complet	Discoïdale			0,463	0,128	0,185	< 1	NR II / niv6-5	
6266-178	Maison 1	couche de destruction	Perle	Terre cuite		Complet	Discoïdale			0,450	0,111	0,181	< 1	NR II / niv6-5	
6266-179	Maison 1	couche de destruction	Perle	Terre cuite		Complet	Discoïdale			0,439	0,160	0,205	< 1	NR II / niv6-5	
6266-180	Maison 1	couche de destruction	Perle	Terre cuite		Complet	Discoïdale			0,472	0,126	0,180	< 1	NR II / niv6-5	
6266-181	Maison 1	couche de destruction	Perle	Terre cuite		Complet	Discoïdale			0,479	0,158	0,161	< 1	NR II / niv6-5	
6266-182	Maison 1	couche de destruction	Perle	Terre cuite		Complet	Discoïdale			0,443	0,110	0,182	< 1	NR II / niv6-5	
6266-183	Maison 1	couche de destruction	Perle	Terre cuite		Complet	Discoïdale			0,441	0,133	0,154	< 1	NR II / niv6-5	
6266-184	Maison 1	couche de destruction	Perle	Terre cuite		Complet	Discoïdale			0,518	0,141	0,193	< 1	NR II / niv6-5	
6266-185	Maison 1	couche de destruction	Perle	Terre cuite		Complet	Discoïdale			0,404	0,122	0,183	< 1	NR II / niv6-5	
6266-186	Maison 1	couche de destruction	Perle	Terre cuite		Complet	Discoïdale			0,445	0,129	0,196	< 1	NR II / niv6-5	
6266-187	Maison 1	couche de destruction	Perle	Terre cuite		Complet	Discoïdale			0,438	0,115	0,186	< 1	NR II / niv6-5	
6266-188	Maison 1	couche de destruction	Perle	Terre cuite		Complet	Discoïdale			0,453	0,142	0,171	< 1	NR II / niv6-5	
6266-189	Maison 1	couche de destruction	Perle	Terre cuite		Complet	Discoïdale			0,473	0,112	0,157	< 1	NR II / niv6-5	
6266-190	Maison 1	couche de destruction	Perle	Terre cuite		Complet	Discoïdale			0,421	0,126	0,191	< 1	NR II / niv6-5	

**Annexe 1**  
**Les pièces de parure de Dikili Tash**

*En italique les pièces non étudiées par Céline Choquet*

N° inventaire	Ensemble	Fait	Type	Matériau	Matériau détermination	Etat	Forme	Long. (en cm)	Larg. (en cm)	Diam. Max (en cm)	Ep. max. (en cm)	Diam perforation (en cm)	Poids (en gr)	Datation / Niveau	Fig.
6266-191	Maison 1	couche de destruction	Perle	Terre cuite		Complet	Discoïdale			0,463	0,144	0,160	< 1	NR II / niv6-5	
6266-192	Maison 1	couche de destruction	Perle	Terre cuite		Complet	Discoïdale			0,491	0,145	0,195	< 1	NR II / niv6-5	
6266-193	Maison 1	couche de destruction	Perle	Terre cuite		Complet	Discoïdale			0,449	0,126	0,203	< 1	NR II / niv6-5	
6266-194	Maison 1	couche de destruction	Perle	Terre cuite		Complet	Discoïdale			0,436	0,136	0,144	< 1	NR II / niv6-5	
6266-195	Maison 1	couche de destruction	Perle	Terre cuite		Complet	Discoïdale			0,485	0,138	0,200	< 1	NR II / niv6-5	
6266-196	Maison 1	couche de destruction	Perle	Terre cuite		Complet	Discoïdale			0,466	0,162	0,176	< 1	NR II / niv6-5	
6266-197	Maison 1	couche de destruction	Perle	Terre cuite		Complet	Discoïdale			0,458	0,094	0,169	< 1	NR II / niv6-5	
6266-198	Maison 1	couche de destruction	Perle	Terre cuite		Complet	Discoïdale			0,431	0,121	0,185	< 1	NR II / niv6-5	
6266-199	Maison 1	couche de destruction	Perle	Terre cuite		Complet	Discoïdale			0,401	0,127	0,173	< 1	NR II / niv6-5	
6266-200	Maison 1	couche de destruction	Perle	Terre cuite		Complet	Discoïdale			0,431	0,088	0,181	< 1	NR II / niv6-5	
6266-201	Maison 1	couche de destruction	Perle	Terre cuite		Complet	Discoïdale			0,456	0,113	0,171	< 1	NR II / niv6-5	
6266-202	Maison 1	couche de destruction	Perle	Terre cuite		Complet	Discoïdale			0,450	0,118	0,173	< 1	NR II / niv6-5	
6266-203	Maison 1	couche de destruction	Perle	Terre cuite		Complet	Discoïdale			0,477	0,152	0,197	< 1	NR II / niv6-5	
6266-204	Maison 1	couche de destruction	Perle	Terre cuite		Complet	Discoïdale			0,388	0,097	0,188	< 1	NR II / niv6-5	
6266-205	Maison 1	couche de destruction	Perle	Terre cuite		Complet	Discoïdale			0,391	0,096	0,195	< 1	NR II / niv6-5	
6266-206	Maison 1	couche de destruction	Perle	Terre cuite		Complet	Discoïdale			0,462	0,085	0,180	< 1	NR II / niv6-5	
6266-207	Maison 1	couche de destruction	Perle	Terre cuite		Complet	Discoïdale			0,518	0,173	0,201	< 1	NR II / niv6-5	
6266-208	Maison 1	couche de destruction	Perle	Terre cuite		Complet	Discoïdale			0,431	0,132	0,178	< 1	NR II / niv6-5	
6266-209	Maison 1	couche de destruction	Perle	Terre cuite		Complet	Discoïdale			0,431	0,110	0,169	< 1	NR II / niv6-5	
6266-210	Maison 1	couche de destruction	Perle	Terre cuite		Complet	Discoïdale			0,406	0,119	0,187	< 1	NR II / niv6-5	

**Annexe 1**  
**Les pièces de parure de Dikili Tash**

*En italique les pièces non étudiées par Céline Choquet*

N° inventaire	Ensemble	Fait	Type	Matériau	Matériau détermination	Etat	Forme	Long. (en cm)	Larg. (en cm)	Diam. Max (en cm)	Ep. max. (en cm)	Diam perforation (en cm)	Poids (en gr)	Datation / Niveau	Fig.
6266-211	Maison 1	couche de destruction	Perle	Terre cuite		Complet	Discoïdale			0,477	0,144	0,199	< 1	NR II / niv6-5	
6266-212	Maison 1	couche de destruction	Perle	Terre cuite		Complet	Discoïdale			0,429	0,135	0,178	< 1	NR II / niv6-5	
6266-213	Maison 1	couche de destruction	Perle	Terre cuite		Complet	Discoïdale			0,437	0,152	0,171	< 1	NR II / niv6-5	
6266-214	Maison 1	couche de destruction	Perle	Terre cuite		Complet	Discoïdale			0,468	0,163	0,193	< 1	NR II / niv6-5	
6266-215	Maison 1	couche de destruction	Perle	Terre cuite		Complet	Discoïdale			0,454	0,117	0,173	< 1	NR II / niv6-5	
6266-216	Maison 1	couche de destruction	Perle	Terre cuite		Complet	Discoïdale			0,462	0,142	0,199	< 1	NR II / niv6-5	
6266-217	Maison 1	couche de destruction	Perle	Terre cuite		Complet	Discoïdale			0,450	0,103	0,154	< 1	NR II / niv6-5	
6266-218	Maison 1	couche de destruction	Perle	Terre cuite		Complet	Discoïdale			0,398	0,118	0,165	< 1	NR II / niv6-5	
6266-219	Maison 1	couche de destruction	Perle	Terre cuite		Complet	Discoïdale			0,463	0,157	0,184	< 1	NR II / niv6-5	
6266-220	Maison 1	couche de destruction	Perle	Terre cuite		Complet	Discoïdale			0,446	0,129	0,193	< 1	NR II / niv6-5	
6266-221	Maison 1	couche de destruction	Perle	Terre cuite		Complet	Discoïdale			0,433	0,092	0,217	< 1	NR II / niv6-5	
6266-222	Maison 1	couche de destruction	Perle	Terre cuite		Complet	Discoïdale			0,447	0,140	0,150	< 1	NR II / niv6-5	
6266-223	Maison 1	couche de destruction	Perle	Terre cuite		Complet	Discoïdale			0,406	0,099	0,196	< 1	NR II / niv6-5	
6266-224	Maison 1	couche de destruction	Perle	Terre cuite		Complet	Discoïdale			0,443	0,098	0,168	< 1	NR II / niv6-5	
6266-225	Maison 1	couche de destruction	Perle	Terre cuite		Complet	Discoïdale			0,475	0,128	0,175	< 1	NR II / niv6-5	
6266-226	Maison 1	couche de destruction	Perle	Terre cuite		Complet	Discoïdale			0,463	0,129	0,159	< 1	NR II / niv6-5	
6266-227	Maison 1	couche de destruction	Perle	Terre cuite		Complet	Discoïdale			0,474	0,094	0,173	< 1	NR II / niv6-5	
6266-228	Maison 1	couche de destruction	Perle	Terre cuite		Complet	Discoïdale			0,433	0,137	0,160	< 1	NR II / niv6-5	
6266-229	Maison 1	couche de destruction	Perle	Terre cuite		Complet	Discoïdale			0,448	0,092	0,170	< 1	NR II / niv6-5	
6266-230	Maison 1	couche de destruction	Perle	Terre cuite		Complet	Discoïdale			0,483	0,141	0,174	< 1	NR II / niv6-5	

**Annexe 1**  
**Les pièces de parure de Dikili Tash**

*En italique les pièces non étudiées par Céline Choquet*

N° inventaire	Ensemble	Fait	Type	Matériau	Matériau détermination	Etat	Forme	Long. (en cm)	Larg. (en cm)	Diam. Max (en cm)	Ep. max. (en cm)	Diam perforation (en cm)	Poids (en gr)	Datation / Niveau	Fig.
6266-231	Maison 1	couche de destruction	Perle	Terre cuite		Complet	Discoïdale			0,414	0,181	0,199	< 1	NR II / niv6-5	
6266-232	Maison 1	couche de destruction	Perle	Terre cuite		Complet	Discoïdale			0,421	0,123	0,149	< 1	NR II / niv6-5	
6266-233	Maison 1	couche de destruction	Perle	Terre cuite		Complet	Discoïdale			0,390	0,073	0,191	< 1	NR II / niv6-5	
6266-234	Maison 1	couche de destruction	Perle	Terre cuite		Complet	Discoïdale			0,405	0,126	0,173	< 1	NR II / niv6-5	
6266-235	Maison 1	couche de destruction	Perle	Terre cuite		Complet	Discoïdale			0,436	0,105	0,193	< 1	NR II / niv6-5	
6266-236	Maison 1	couche de destruction	Perle	Terre cuite		Complet	Discoïdale			0,455	0,140	0,181	< 1	NR II / niv6-5	
6266-237	Maison 1	couche de destruction	Perle	Terre cuite		Complet	Discoïdale			0,414	0,137	0,183	< 1	NR II / niv6-5	
6266-238	Maison 1	couche de destruction	Perle	Terre cuite		Complet	Discoïdale			0,413	0,103	0,190	< 1	NR II / niv6-5	
6266-239	Maison 1	couche de destruction	Perle	Terre cuite		Complet	Discoïdale			0,474	0,150	0,201	< 1	NR II / niv6-5	
6266-240	Maison 1	couche de destruction	Perle	Terre cuite		Complet	Discoïdale			0,434	0,104	0,146	< 1	NR II / niv6-5	
6266-241	Maison 1	couche de destruction	Perle	Terre cuite		Complet	Discoïdale			0,442	0,158	0,196	< 1	NR II / niv6-5	
6266-242	Maison 1	couche de destruction	Perle	Terre cuite		Complet	Discoïdale			0,456	0,134	0,195	< 1	NR II / niv6-5	
6266-243	Maison 1	couche de destruction	Perle	Terre cuite		Complet	Discoïdale			0,485	0,141	0,188	< 1	NR II / niv6-5	
6266-244	Maison 1	couche de destruction	Perle	Terre cuite		Complet	Discoïdale			0,477	0,112	0,147	< 1	NR II / niv6-5	
6266-245	Maison 1	couche de destruction	Perle	Terre cuite		Complet	Discoïdale			0,446	0,133	0,197	< 1	NR II / niv6-5	
6266-246	Maison 1	couche de destruction	Perle	Terre cuite		Complet	Discoïdale			0,461	0,133	0,181	< 1	NR II / niv6-5	
6266-247	Maison 1	couche de destruction	Perle	Terre cuite		Complet	Discoïdale			0,383	0,147	0,157	< 1	NR II / niv6-5	
6266-248	Maison 1	couche de destruction	Perle	Terre cuite		Complet	Discoïdale			0,423	0,133	0,193	< 1	NR II / niv6-5	
6266-249	Maison 1	couche de destruction	Perle	Terre cuite		Complet	Discoïdale			0,462	0,142	0,181	< 1	NR II / niv6-5	
6266-250	Maison 1	couche de destruction	Perle	Terre cuite		Complet	Discoïdale			0,468	0,127	0,183	< 1	NR II / niv6-5	

**Annexe 1**  
**Les pièces de parure de Dikili Tash**

*En italique les pièces non étudiées par Céline Choquet*

N° inventaire	Ensemble	Fait	Type	Matériau	Matériau détermination	Etat	Forme	Long. (en cm)	Larg. (en cm)	Diam. Max (en cm)	Ep. max. (en cm)	Diam perforation (en cm)	Poids (en gr)	Datation / Niveau	Fig.
6266-251	Maison 1	couche de destruction	Perle	Terre cuite		Complet	Discoïdale			0,424	0,106	0,168	< 1	NR II / niv6-5	
6266-252	Maison 1	couche de destruction	Perle	Terre cuite		Complet	Discoïdale			0,395	0,126	0,154	< 1	NR II / niv6-5	
6266-253	Maison 1	couche de destruction	Perle	Terre cuite		Complet	Discoïdale			0,450	0,131	0,182	< 1	NR II / niv6-5	
6266-254	Maison 1	couche de destruction	Perle	Terre cuite		Complet	Discoïdale			0,481	0,129	0,203	< 1	NR II / niv6-5	
6266-255	Maison 1	couche de destruction	Perle	Terre cuite		Complet	Discoïdale			0,435	0,121	0,162	< 1	NR II / niv6-5	
6266-256	Maison 1	couche de destruction	Perle	Terre cuite		Complet	Discoïdale			0,441	0,106	0,206	< 1	NR II / niv6-5	
6266-257	Maison 1	couche de destruction	Perle	Terre cuite		Complet	Discoïdale			0,483	0,151	0,153	< 1	NR II / niv6-5	
6266-258	Maison 1	couche de destruction	Perle	Terre cuite		Complet	Discoïdale			0,454	0,135	0,213	< 1	NR II / niv6-5	
6266-259	Maison 1	couche de destruction	Perle	Terre cuite		Complet	Discoïdale			0,438	0,136	0,158	< 1	NR II / niv6-5	
6266-260	Maison 1	couche de destruction	Perle	Terre cuite		Complet	Discoïdale			0,394	0,141	0,201	< 1	NR II / niv6-5	
6266-261	Maison 1	couche de destruction	Perle	Terre cuite		Complet	Discoïdale			0,398	0,161	0,163	< 1	NR II / niv6-5	
6266-262	Maison 1	couche de destruction	Perle	Terre cuite		Complet	Discoïdale			0,469	0,116	0,191	< 1	NR II / niv6-5	
6266-263	Maison 1	couche de destruction	Perle	Terre cuite		Complet	Discoïdale			0,493	0,135	0,168	< 1	NR II / niv6-5	
6266-264	Maison 1	couche de destruction	Perle	Terre cuite		Complet	Discoïdale			0,453	0,141	0,260	< 1	NR II / niv6-5	
6266-265	Maison 1	couche de destruction	Perle	Terre cuite		Complet	Discoïdale			0,430	0,094	0,199	< 1	NR II / niv6-5	
6266-266	Maison 1	couche de destruction	Perle	Terre cuite		Complet	Discoïdale			0,436	0,095	0,237	< 1	NR II / niv6-5	
6266-267	Maison 1	couche de destruction	Perle	Terre cuite		Complet	Discoïdale			0,420	0,071	0,209	< 1	NR II / niv6-5	
6266-268	Maison 1	couche de destruction	Perle	Terre cuite		Complet	Discoïdale			0,400	0,075	0,196	< 1	NR II / niv6-5	
6266-269	Maison 1	couche de destruction	Perle	Terre cuite		Complet	Discoïdale			0,475	0,110	0,220	< 1	NR II / niv6-5	
6266-270	Maison 1	couche de destruction	Perle	Terre cuite		Complet	Discoïdale			0,383	0,124	0,175	< 1	NR II / niv6-5	

**Annexe 1**  
**Les pièces de parure de Dikili Tash**

*En italique les pièces non étudiées par Céline Choquet*

N° inventaire	Ensemble	Fait	Type	Matériau	Matériau détermination	Etat	Forme	Long. (en cm)	Larg. (en cm)	Diam. Max (en cm)	Ep. max. (en cm)	Diam perforation (en cm)	Poids (en gr)	Datation / Niveau	Fig.
6266-271	Maison 1	couche de destruction	Perle	Terre cuite		Complet	Discoïdale			0,433	0,085	0,222	< 1	NR II / niv6-5	
6266-272	Maison 1	couche de destruction	Perle	Terre cuite		Complet	Discoïdale			0,322	0,179	/	< 1	NR II / niv6-5	
6266-277	Maison 1	couche de destruction	Perle	Terre cuite		Complet	Discoïdale			0,428	0,090	0,189	< 1	NR II / niv6-5	
6266-278	Maison 1	couche de destruction	Perle	Terre cuite		Complet	Discoïdale			0,384	0,113	0,159	< 1	NR II / niv6-5	
6266-279	Maison 1	couche de destruction	Élément de débitage	Pierre		Fragment	Circulaire			/	/	/		NR II / niv6-5	
6266-281	Maison 1	couche de destruction	Perle	Terre cuite		Complet	Discoïdale			0,501	0,173	0,196	< 1	NR II / niv6-5	
6266-282	Maison 1	couche de destruction	Perle	Terre cuite		Complet	Discoïdale			0,462	0,100	0,185	< 1	NR II / niv6-5	
6266-283	Maison 1	couche de destruction	Perle	Terre cuite		Complet	Discoïdale			0,460	0,174	0,189	< 1	NR II / niv6-5	
6266-284	Maison 1	couche de destruction	Perle	Terre cuite		Complet	Discoïdale			0,447	0,154	0,190	< 1	NR II / niv6-5	
6266-285	Maison 1	couche de destruction	Perle	Terre cuite		Complet	Discoïdale			0,457	0,137	0,169	< 1	NR II / niv6-5	
6266-286	Maison 1	couche de destruction	Perle	Terre cuite		Complet	Discoïdale			0,435	0,132	0,196	< 1	NR II / niv6-5	
6266-287	Maison 1	couche de destruction	Perle	Terre cuite		Complet	Discoïdale			0,432	0,107	0,161	< 1	NR II / niv6-5	
6266-288	Maison 1	couche de destruction	Perle	Terre cuite		Complet	Discoïdale			0,425	0,152	0,182	< 1	NR II / niv6-5	
6266-289	Maison 1	couche de destruction	Perle	Terre cuite		Complet	Discoïdale			0,454	0,130	0,177	< 1	NR II / niv6-5	
6266-290	Maison 1	couche de destruction	Perle	Terre cuite		Complet	Discoïdale			0,471	0,141	0,183	< 1	NR II / niv6-5	
6266-291	Maison 1	couche de destruction	Perle	Terre cuite		Complet	Discoïdale			0,422	0,114	0,198	< 1	NR II / niv6-5	
6266-292	Maison 1	couche de destruction	Perle	Terre cuite		Complet	Discoïdale			0,449	0,135	0,209	< 1	NR II / niv6-5	
6266-293	Maison 1	couche de destruction	Perle	Terre cuite		Complet	Discoïdale			0,443	0,092	0,190	< 1	NR II / niv6-5	
6266-294	Maison 1	couche de destruction	Perle	Terre cuite		Complet	Discoïdale			0,419	0,093	0,168	< 1	NR II / niv6-5	
6266-295	Maison 1	couche de destruction	Perle	Terre cuite		Complet	Discoïdale			0,415	0,136	0,166	< 1	NR II / niv6-5	

**Annexe 1**  
**Les pièces de parure de Dikili Tash**

*En italique les pièces non étudiées par Céline Choquet*

N° inventaire	Ensemble	Fait	Type	Matériau	Matériau détermination	Etat	Forme	Long. (en cm)	Larg. (en cm)	Diam. Max (en cm)	Ep. max. (en cm)	Diam perforation (en cm)	Poids (en gr)	Datation / Niveau	Fig.
6266-296	Maison 1	couche de destruction	Perle	Terre cuite		Complet	Discoïdale			0,440	0,099	0,197	< 1	NR II / niv6-5	
6266-297	Maison 1	couche de destruction	Perle	Terre cuite		Complet	Discoïdale			0,476	0,169	0,206	< 1	NR II / niv6-5	
6266-298	Maison 1	couche de destruction	Perle	Terre cuite		Complet	Discoïdale			0,464	0,113	0,183	< 1	NR II / niv6-5	
6266-299	Maison 1	couche de destruction	Perle	Terre cuite		Complet	Discoïdale			0,442	0,146	0,188	< 1	NR II / niv6-5	
6266-300	Maison 1	couche de destruction	Perle	Terre cuite		Complet	Discoïdale			0,461	0,139	0,192	< 1	NR II / niv6-5	
6266-301	Maison 1	couche de destruction	Perle	Terre cuite		Complet	Discoïdale			0,453	0,158	0,195	< 1	NR II / niv6-5	
6266-302	Maison 1	couche de destruction	Perle	Terre cuite		Complet	Discoïdale			0,494	0,142	0,209	< 1	NR II / niv6-5	
6266-303	Maison 1	couche de destruction	Perle	Terre cuite		Complet	Discoïdale			0,473	0,168	0,187	< 1	NR II / niv6-5	
6266-304	Maison 1	couche de destruction	Perle	Terre cuite		Complet	Discoïdale			0,491	0,151	0,185	< 1	NR II / niv6-5	
6266-305	Maison 1	couche de destruction	Perle	Terre cuite		Complet	Discoïdale			0,457	0,121	0,160	< 1	NR II / niv6-5	
6266-306	Maison 1	couche de destruction	Perle	Terre cuite		Complet	Discoïdale			0,475	0,131	0,199	< 1	NR II / niv6-5	
6266-307	Maison 1	couche de destruction	Perle	Terre cuite		Complet	Discoïdale			0,448	0,141	0,215	< 1	NR II / niv6-5	
6266-308	Maison 1	couche de destruction	Perle	Terre cuite		Complet	Discoïdale			0,442	0,095	0,159	< 1	NR II / niv6-5	
6266-309	Maison 1	couche de destruction	Perle	Terre cuite		Complet	Discoïdale			0,428	0,148	0,164	< 1	NR II / niv6-5	
6266-310	Maison 1	couche de destruction	Perle	Terre cuite		Complet	Discoïdale			0,440	0,135	0,205	< 1	NR II / niv6-5	
6266-311	Maison 1	couche de destruction	Perle	Terre cuite		Complet	Discoïdale			0,430	0,120	0,172	< 1	NR II / niv6-5	
6266-312	Maison 1	couche de destruction	Perle	Terre cuite		Complet	Discoïdale			0,423	0,156	0,205	< 1	NR II / niv6-5	
6266-313	Maison 1	couche de destruction	Perle	Terre cuite		Complet	Discoïdale			0,458	0,159	0,173	< 1	NR II / niv6-5	
6266-314	Maison 1	couche de destruction	Perle	Terre cuite		Complet	Discoïdale			0,459	0,135	0,215	< 1	NR II / niv6-5	
6266-315	Maison 1	couche de destruction	Perle	Terre cuite		Complet	Discoïdale			0,460	0,120	0,198	< 1	NR II / niv6-5	

**Annexe 1**  
**Les pièces de parure de Dikili Tash**

*En italique les pièces non étudiées par Céline Choquet*

N° inventaire	Ensemble	Fait	Type	Matériau	Matériau détermination	Etat	Forme	Long. (en cm)	Larg. (en cm)	Diam. Max (en cm)	Ep. max. (en cm)	Diam perforation (en cm)	Poids (en gr)	Datation / Niveau	Fig.
6266-316	Maison 1	couche de destruction	Perle	Terre cuite		Complet	Discoïdale			0,454	0,142	0,161	< 1	NR II / niv6-5	
6266-317	Maison 1	couche de destruction	Perle	Terre cuite		Complet	Discoïdale			0,473	0,142	0,200	< 1	NR II / niv6-5	
6266-318	Maison 1	couche de destruction	Perle	Terre cuite		Complet	Discoïdale			0,484	0,127	0,205	< 1	NR II / niv6-5	
6266-319	Maison 1	couche de destruction	Perle	Terre cuite		Complet	Discoïdale			0,417	0,082	0,185	< 1	NR II / niv6-5	
6266-320	Maison 1	couche de destruction	Perle	Terre cuite		Complet	Discoïdale			0,403	0,126	0,183	< 1	NR II / niv6-5	
6266-321	Maison 1	couche de destruction	Perle	Terre cuite		Complet	Discoïdale			0,468	0,146	0,194	< 1	NR II / niv6-5	
6266-322	Maison 1	couche de destruction	Perle	Terre cuite		Complet	Discoïdale			0,453	0,123	0,203	< 1	NR II / niv6-5	
6266-323	Maison 1	couche de destruction	Perle	Terre cuite		Complet	Discoïdale			0,468	0,101	0,200	< 1	NR II / niv6-5	
6266-324	Maison 1	couche de destruction	Perle	Terre cuite		Complet	Discoïdale			0,478	0,162	0,164	< 1	NR II / niv6-5	
6266-325	Maison 1	couche de destruction	Perle	Terre cuite		Complet	Discoïdale			0,387	0,133	0,179	< 1	NR II / niv6-5	
6266-326	Maison 1	couche de destruction	Perle	Terre cuite		Complet	Discoïdale			0,361	0,112	0,190	< 1	NR II / niv6-5	
6266-327	Maison 1	couche de destruction	Perle	Terre cuite		Complet	Discoïdale			0,447	0,134	0,168	< 1	NR II / niv6-5	
6266-328	Maison 1	couche de destruction	Perle	Terre cuite		Complet	Discoïdale			0,434	0,087	0,190	< 1	NR II / niv6-5	
6266-329	Maison 1	couche de destruction	Perle	Terre cuite		Complet	Discoïdale			0,426	0,088	0,185	< 1	NR II / niv6-5	
6266-330	Maison 1	couche de destruction	Perle	Terre cuite		Complet	Discoïdale			0,483	0,128	0,195	< 1	NR II / niv6-5	
6266-331	Maison 1	couche de destruction	Perle	Terre cuite		Complet	Discoïdale			0,471	0,142	0,178	< 1	NR II / niv6-5	
6266-332	Maison 1	couche de destruction	Perle	Terre cuite		Complet	Discoïdale			0,466	0,172	0,170	< 1	NR II / niv6-5	
6266-333	Maison 1	couche de destruction	Perle	Terre cuite		Complet	Discoïdale			0,477	0,147	0,167	< 1	NR II / niv6-5	
6266-334	Maison 1	couche de destruction	Perle	Terre cuite		Complet	Discoïdale			0,470	0,168	0,195	< 1	NR II / niv6-5	
6266-335	Maison 1	couche de destruction	Perle	Terre cuite		Complet	Discoïdale			0,458	0,064	0,188	< 1	NR II / niv6-5	

**Annexe 1  
Les pièces de parure de Dikili Tash**

*En italique les pièces non étudiées par Céline Choquet*

N° inventaire	Ensemble	Fait	Type	Matériau	Matériau détermination	Etat	Forme	Long. (en cm)	Larg. (en cm)	Diam. Max (en cm)	Ep. max. (en cm)	Diam perforation (en cm)	Poids (en gr)	Datation / Niveau	Fig.
6266-336	Maison 1	couche de destruction	Perle	Terre cuite		Complet	Discoïdale			0,493	0,139	0,207	< 1	NR II / niv6-5	
6266-337	Maison 1	couche de destruction	Perle	Terre cuite		Complet	Discoïdale			0,490	0,145	0,209	< 1	NR II / niv6-5	
6266-338	Maison 1	couche de destruction	Perle	Terre cuite		Complet	Discoïdale			0,422	0,195	0,158	< 1	NR II / niv6-5	
6266-339	Maison 1	couche de destruction	Perle	Terre cuite		Complet	Discoïdale			0,437	0,110	0,176	< 1	NR II / niv6-5	
6266-340	Maison 1	couche de destruction	Perle	Terre cuite		Complet	Discoïdale			0,460	0,116	0,178	< 1	NR II / niv6-5	
6266-341	Maison 1	couche de destruction	Perle	Terre cuite		Complet	Discoïdale			0,389	0,123	0,168	< 1	NR II / niv6-5	
6266-342	Maison 1	couche de destruction	Perle	Terre cuite		Complet	Discoïdale			0,470	0,136	0,191	< 1	NR II / niv6-5	
6266-343	Maison 1	couche de destruction	Perle	Terre cuite		Complet	Discoïdale			0,449	0,156	0,173	< 1	NR II / niv6-5	
6266-344	Maison 1	couche de destruction	Perle	Terre cuite		Complet	Discoïdale			0,445	0,098	0,183	< 1	NR II / niv6-5	
6266-345	Maison 1	couche de destruction	Perle	Terre cuite		Complet	Discoïdale			0,439	0,076	0,188	< 1	NR II / niv6-5	
6266-346	Maison 1	couche de destruction	Perle	Terre cuite		Complet	Discoïdale			0,409	0,115	0,193	< 1	NR II / niv6-5	
6266-347	Maison 1	couche de destruction	Perle	Terre cuite		Complet	Discoïdale			0,412	0,065	0,210	< 1	NR II / niv6-5	
6266-348	Maison 1	couche de destruction	Perle	Terre cuite		Complet	Discoïdale			0,459	0,159	0,163	< 1	NR II / niv6-5	
6266-349	Maison 1	couche de destruction	Perle	Terre cuite		Complet	Discoïdale			0,478	0,104	0,189	< 1	NR II / niv6-5	
6266-350	Maison 1	couche de destruction	Perle	Terre cuite		Complet	Discoïdale			0,439	0,100	0,183	< 1	NR II / niv6-5	
6266-351	Maison 1	couche de destruction	Perle	Terre cuite		Complet	Discoïdale			0,415	0,193	0,113	< 1	NR II / niv6-5	
6266-352	Maison 1	couche de destruction	Perle	Terre cuite		Complet	Discoïdale			0,463	0,128	0,198	< 1	NR II / niv6-5	
6266-353	Maison 1	couche de destruction	Perle	Terre cuite		Complet	Discoïdale			0,502	0,190	0,211	< 1	NR II / niv6-5	
6266-354	Maison 1	couche de destruction	Perle	Terre cuite		Complet	Discoïdale			0,502	0,173	0,204	< 1	NR II / niv6-5	
6266-355	Maison 1	couche de destruction	Perle	Terre cuite		Complet	Discoïdale			0,367	0,109	0,178	< 1	NR II / niv6-5	

## Annexe 1 Les pièces de parure de Dikili Tash

*En italique les pièces non étudiées par Céline Choquet*

N° inventaire	Ensemble	Fait	Type	Matériau	Matériau détermination	Etat	Forme	Long. (en cm)	Larg. (en cm)	Diam. Max (en cm)	Ep. max. (en cm)	Diam perforation (en cm)	Poids (en gr)	Datation / Niveau	Fig.	
6266-356	Maison 1	couche de destruction	Perle	Terre cuite		Fragment	Discoïdale			0,462	0,150	0,225	< 1	NR II / niv6-5		
6266-357	Maison 1	couche de destruction	Perle	Pierre	Indéterminé	Fragment	Discoïdale			0,514	0,120	0,268	< 1	NR II / niv6-5		
6266-358	Maison 1	couche de destruction	Perle	Pierre	Pierre calcaire	Complet	Discoïdale			0,612	0,289	0,194	< 1	NR II / niv6-5		
6266-359	Maison 1	couche de destruction	Perle	Pierre	Indéterminé	Complet	Discoïdale			0,637	0,248	0,137	< 1	NR II / niv6-5		
6307-002	Maison 1	couche de destruction	Pendentif	Coquille	Glycymeris sp.	Complet	Naturelle	2,469	2,104	0,134	0,134	1,329	7	NR II / niv6-5		
6315-001		fosse 6-008	Indéterminé	Os		Fragment	Rectangulaire	7,804	3,179	0,795	0,795	0,245	180	BA / niv6-2		
6316-004	Maison 1	couche de destruction	Perle	Pierre	Pierre calcaire	Complet	Discoïdale			0,519	0,308	0,242	< 1	NR II / niv6-5		
6322-002	Maison 1	couche de destruction	Perle	Pierre	Pierre calcaire	Complet	Tubulaire			0,529	0,491	0,262	< 1	NR II / niv6-5?		
6330-003	Maison 1	plate-forme 6-121	Anneau	Coquille	Spondylus Gaedropus	Fragment	circulaire			Recolle avec 6364-021 & 6364-067						NR II / niv6-5
6339-003	Maison 1	couche de destruction 6-089	Perle	Coquille ou pierre	Indéterminé	Complet	Discoïdale			0,923	0,445	0,251	3	NR II / niv6-5		
6343-007	Maison 1	sol 6-092	Perle	Pierre	Indéterminé	Fragment	Discoïdale			0,344	0,100	0,183	< 1	NR II / niv6-5		
6344-003	Maison 1	sol 6-096	Débris	Dent		Ensemble de fragments	irrégulière	4,166	1,889	0,636	0,636		42	NR II / niv6-5		
6344-004	Maison 1	sol 6-096	Perle	Pierre	Pierre calcaire	Complet	Tubulaire			0,439	0,609	0,198	< 1	NR II / niv6-5		
6344-005	Maison 1	sol 6-096	Perle	Pierre	Pierre calcaire	Complet	Discoïdale			0,609	0,264	0,238	< 1	NR II / niv6-5		
6344-007	Maison 1	sol 6-096	Perle	Pierre	Roche verte	Complet	Discoïdale			0,393	0,085	0,229	< 1	NR II / niv6-5		
6344-008	Maison 1	sol 6-096	Perle	Pierre	Roche verte	Complet	Discoïdale			0,403	0,130	0,161	< 1	NR II / niv6-5		
6344-009	Maison 1	sol 6-096	Perle	Pierre	Roche verte	Complet	Discoïdale			0,465	0,113	0,153	< 1	NR II / niv6-5		
6344-010	Maison 1	sol 6-096	Perle	Pierre	Roche verte	Complet	Discoïdale			0,401	0,177	0,197	< 1	NR II / niv6-5		
6344-011	Maison 1	sol 6-096	Perle	Pierre	Roche verte	Complet	Discoïdale			0,418	0,183	0,200	< 1	NR II / niv6-5		
6344-012	Maison 1	sol 6-096	Perle	Pierre	Roche verte	Complet	Discoïdale			0,400	0,134	0,193	< 1	NR II / niv6-5		
6344-013	Maison 1	sol 6-096	Perle	Pierre	Roche verte	Complet	Discoïdale			0,419	0,176	0,188	< 1	NR II / niv6-5		
6344-014	Maison 1	sol 6-096	Perle	Pierre	Roche verte	Complet	Discoïdale			0,426	0,165	0,202	< 1	NR II / niv6-5		
6344-015	Maison 1	sol 6-096	Perle	Pierre	Roche verte	Complet	Discoïdale			0,418	0,160	0,165	< 1	NR II / niv6-5		
6344-016	Maison 1	sol 6-096	Applique	Dent	Suidé	Fragment	Rectangulaire	1,717	0,834		0,221	0,329	2	NR II / niv6-5		
6344-017	Maison 1	sol 6-096	Applique	Dent	Suidé	Presque complet	Rectangulaire	5,337	0,869		0,442	0,320 / 0,35	22	NR II / niv6-5		

## Annexe 1 Les pièces de parure de Dikili Tash

*En italique les pièces non étudiées par Céline Choquet*

N° inventaire	Ensemble	Fait	Type	Matériau	Matériau détermination	Etat	Forme	Long. (en cm)	Larg. (en cm)	Diam. Max (en cm)	Ep. max. (en cm)	Diam perforation (en cm)	Poids (en gr)	Datation / Niveau	Fig.
6344-018	Maison 1	sol 6-096	Applique	Dent	Suidé	Fragment	Rectangulaire	2,447	0,807		0,251	0,241	7	NR II / niv6-5	
6344-019	Maison 1	sol 6-096	Applique	Dent	Suidé	Fragment	Rectangulaire	2,738	0,720		0,313	0,261	6	NR II / niv6-5	
6344-020	Maison 1	sol 6-096	Perle	Pierre	Roche verte	Complet	Discoïdale			0,394	0,150	0,222	< 1	NR II / niv6-5	
6344-021	Maison 1	sol 6-096	Perle	Pierre	Roche verte	Complet	Discoïdale			0,414	0,096	0,226	< 1	NR II / niv6-5	
6344-022	Maison 1	sol 6-096	Perle	Pierre	Roche verte	Complet	Discoïdale			0,510	0,159	0,208	< 1	NR II / niv6-5	
6344-023	Maison 1	sol 6-096	Perle	Pierre	Roche verte	Complet	Discoïdale			0,534	0,116	0,237	< 1	NR II / niv6-5	
6344-024	Maison 1	sol 6-096	Perle	Pierre	Roche verte	Complet	Discoïdale			0,519	0,090	0,210	< 1	NR II / niv6-5	
6344-025	Maison 1	sol 6-096	Perle	Pierre	Roche verte	Complet	Discoïdale			0,438	0,114	0,201	< 1	NR II / niv6-5	
6344-026	Maison 1	sol 6-096	Perle	Pierre	Roche verte	Complet	Discoïdale			0,469	0,124	0,196	< 1	NR II / niv6-5	
6344-027	Maison 1	sol 6-096	Perle	Pierre	Roche verte	Complet	Discoïdale			0,442	0,174	0,207	< 1	NR II / niv6-5	
6344-028	Maison 1	sol 6-096	Perle	Pierre	Roche verte	Complet	Discoïdale			0,437	0,142	0,236	< 1	NR II / niv6-5	
6344-029	Maison 1	sol 6-096	Perle	Pierre	Roche verte	Complet	Discoïdale			0,455	0,175	0,200	< 1	NR II / niv6-5	
6344-030	Maison 1	sol 6-096	Perle	Pierre	Roche verte	Complet	Discoïdale			0,481	0,096	0,211	< 1	NR II / niv6-5	
6344-031	Maison 1	sol 6-096	Perle	Pierre	Roche verte	Complet	Discoïdale			0,508	0,121	0,204	< 1	NR II / niv6-5	
6344-032	Maison 1	sol 6-096	Perle	Pierre	Roche verte	Complet	Discoïdale			0,450	0,121	0,214	< 1	NR II / niv6-5	
6344-033	Maison 1	sol 6-096	Perle	Pierre	Roche verte	Complet	Discoïdale			0,395	0,131	0,186	< 1	NR II / niv6-5	
6344-034	Maison 1	sol 6-096	Perle	Pierre	Roche verte	Complet	Discoïdale			0,409	0,132	0,183	< 1	NR II / niv6-5	
6344-035	Maison 1	sol 6-096	Perle	Pierre	Roche verte	Complet	Discoïdale			0,391	0,162	0,229	< 1	NR II / niv6-5	
6344-036	Maison 1	sol 6-096	Applique	Dent	Suidé	Fragment	Rectangulaire	2,004	0,766		0,203	0,255 / 0,291	2	NR II / niv6-5	
6344-037	Maison 1	sol 6-096	Applique	Dent	Suidé	Fragment	Rectangulaire	2,261	0,843		0,156	0,312	6	NR II / niv6-5	
6344-038	Maison 1	sol 6-096	Applique	Dent	Suidé	Fragment	Rectangulaire	2,431	0,900		0,256		7	NR II / niv6-5	
6344-039	Maison 1	sol 6-096	Applique	Dent	Suidé	Fragment	Rectangulaire	3,104	0,987		0,259	0,369	9	NR II / niv6-5	
6344-041	Maison 1	sol 6-096	Perle	Pierre	Pierre calcaire	Complet	Discoïdale			0,649	0,357	0,249	< 1	NR II / niv6-5	
6344-042	Maison 1	sol 6-096	Perle	Pierre	Pierre calcaire	Complet	Tubulaire			0,429	0,635	0,218	< 1	NR II / niv6-5	218
6344-043	Maison 1	sol 6-096	Perle	Métal	Or	Complet	Discoïdale			0,665	0,410	0,514	< 1	NR II / niv6-5	
6344-044	Maison 1	sol 6-096	Perle	Pierre	Roche verte	Complet	Discoïdale			0,456	0,110	0,212	< 1	NR II / niv6-5	
6344-045	Maison 1	sol 6-096	Perle	Pierre	Roche verte	Complet	Discoïdale			0,436	0,084	0,192	< 1	NR II / niv6-5	
6344-046	Maison 1	sol 6-096	Perle	Pierre	Roche verte	Complet	Discoïdale			0,417	0,076	0,213	< 1	NR II / niv6-5	
6344-047	Maison 1	sol 6-096	Perle	Pierre	Roche verte	Complet	Discoïdale			0,445	0,106	0,177	< 1	NR II / niv6-5	
6344-048	Maison 1	sol 6-096	Perle	Pierre	Roche verte	Complet	Discoïdale			0,467	0,092	0,232	< 1	NR II / niv6-5	
6344-049	Maison 1	sol 6-096	Applique	Dent	Suidé	Fragment	Rectangulaire			Recolle avec 6344-017					
6344-050	Maison 1	sol 6-096	Perle	Pierre	Indéterminé	Complet	Discoïdale			0,537	0,121	0,224	< 1	NR II / niv6-5	

**Annexe 1**  
**Les pièces de parure de Dikili Tash**

*En italique les pièces non étudiées par Céline Choquet*

N° inventaire	Ensemble	Fait	Type	Matériau	Matériau détermination	Etat	Forme	Long. (en cm)	Larg. (en cm)	Diam. Max (en cm)	Ep. max. (en cm)	Diam perforation (en cm)	Poids (en gr)	Datation / Niveau	Fig.
6344-051	Maison 1	sol 6-096	Perle	Pierre	Roche verte	Complet	Discoïdale			0,525	0,095	0,212	< 1	NR II / niv6-5	
6344-052	Maison 1	sol 6-096	Perle	Pierre	Roche verte	Complet	Discoïdale			0,552	0,054	0,222	< 1	NR II / niv6-5	
6344-053	Maison 1	sol 6-096	Perle	Pierre	Roche verte	Complet	Discoïdale			0,539	0,098	0,241	< 1	NR II / niv6-5	
6344-054	Maison 1	sol 6-096	Perle	Pierre	Roche verte	Complet	Discoïdale			0,531	0,082	0,218	< 1	NR II / niv6-5	
6344-055	Maison 1	sol 6-096	Perle	Pierre	Roche verte	Complet	Discoïdale			0,541	0,096	0,243	< 1	NR II / niv6-5	
6344-056	Maison 1	sol 6-096	Perle	Pierre	Roche verte	Complet	Discoïdale			0,534	0,071	0,180	< 1	NR II / niv6-5	
6344-057	Maison 1	sol 6-096	Perle	Pierre	Roche verte	Complet	Discoïdale			0,539	0,123	0,213	< 1	NR II / niv6-5	
6344-058	Maison 1	sol 6-096	Perle	Pierre	Roche verte	Complet	Discoïdale			0,521	0,060	0,231	< 1	NR II / niv6-5	
6344-059	Maison 1	sol 6-096	Perle	Pierre	Roche verte	Complet	Discoïdale			0,550	0,097	0,246	< 1	NR II / niv6-5	
6344-060	Maison 1	sol 6-096	Perle	Pierre	Roche verte	Complet	Discoïdale			0,535	0,115	0,180	< 1	NR II / niv6-5	
6344-061	Maison 1	sol 6-096	Perle	Pierre	Roche verte	Complet	Discoïdale			0,540	0,065	0,193	< 1	NR II / niv6-5	
6344-062	Maison 1	sol 6-096	Perle	Pierre	Roche verte	Complet	Discoïdale			0,524	0,111	0,216	< 1	NR II / niv6-5	
6344-063	Maison 1	sol 6-096	Perle	Pierre	Roche verte	Complet	Discoïdale			0,474	0,097	0,212	< 1	NR II / niv6-5	
6344-064	Maison 1	sol 6-096	Perle	Pierre	Roche verte	Complet	Discoïdale			0,545	0,128	0,228	< 1	NR II / niv6-5	
6344-065	Maison 1	sol 6-096	Perle	Pierre	Roche verte	Complet	Discoïdale			0,533	0,054	0,198	< 1	NR II / niv6-5	
6344-066	Maison 1	sol 6-096	Perle	Pierre	Roche verte	Complet	Discoïdale			0,537	0,081	0,205	< 1	NR II / niv6-5	
6344-067	Maison 1	sol 6-096	Perle	Pierre	Roche verte	Complet	Discoïdale			0,537	0,113	0,191	< 1	NR II / niv6-5	
6344-068	Maison 1	sol 6-096	Perle	Pierre	Roche verte	Complet	Discoïdale			0,503	0,193	0,178	< 1	NR II / niv6-5	
6344-069	Maison 1	sol 6-096	Perle	Pierre	Roche verte	Complet	Discoïdale			0,489	0,141	0,208	< 1	NR II / niv6-5	
6344-070	Maison 1	sol 6-096	Perle	Pierre	Roche verte	Complet	Discoïdale			0,532	0,068	0,212	< 1	NR II / niv6-5	
6344-071	Maison 1	sol 6-096	Perle	Pierre	Roche verte	Complet	Discoïdale			0,540	0,095	0,188	< 1	NR II / niv6-5	
6344-072	Maison 1	sol 6-096	Perle	Pierre	Roche verte	Complet	Discoïdale			0,545	0,107	0,196	< 1	NR II / niv6-5	
6344-073	Maison 1	sol 6-096	Perle	Pierre	Roche verte	Complet	Discoïdale			0,452	0,084	0,202	< 1	NR II / niv6-5	
6344-074	Maison 1	sol 6-096	Perle	Pierre	Roche verte	Complet	Discoïdale			0,547	0,093	0,195	< 1	NR II / niv6-5	
6344-075	Maison 1	sol 6-096	Perle	Pierre	Roche verte	Complet	Discoïdale			0,537	0,107	0,195	< 1	NR II / niv6-5	
6344-076	Maison 1	sol 6-096	Perle	Pierre	Roche verte	Complet	Discoïdale			0,537	0,125	0,192	< 1	NR II / niv6-5	
6344-077	Maison 1	sol 6-096	Perle	Pierre	Roche verte	Complet	Discoïdale			0,549	0,103	0,201	< 1	NR II / niv6-5	
6344-078	Maison 1	sol 6-096	Perle	Pierre	Roche verte	Complet	Discoïdale			0,525	0,097	0,193	< 1	NR II / niv6-5	
6344-079	Maison 1	sol 6-096	Perle	Pierre	Roche verte	Complet	Discoïdale			0,517	0,090	0,186	< 1	NR II / niv6-5	
6344-080	Maison 1	sol 6-096	Perle	Pierre	Roche verte	Complet	Discoïdale			0,535	0,100	0,216	< 1	NR II / niv6-5	
6344-081	Maison 1	sol 6-096	Perle	Pierre	Roche verte	Complet	Discoïdale			0,521	0,084	0,203	< 1	NR II / niv6-5	
6344-082	Maison 1	sol 6-096	Applique	Dent	Suidé	Fragment	Rectangulaire	2,304	0,868		0,189		6	NR II / niv6-5	

## Annexe 1 Les pièces de parure de Dikili Tash

*En italique les pièces non étudiées par Céline Choquet*

N° inventaire	Ensemble	Fait	Type	Matériau	Matériau détermination	Etat	Forme	Long. (en cm)	Larg. (en cm)	Diam. Max (en cm)	Ep. max. (en cm)	Diam perforation (en cm)	Poids (en gr)	Datation / Niveau	Fig.
6344-083	Maison 1	sol 6-096	Applique	Dent	Suidé	Presque complet	Rectangulaire	5,150	0,750		0,390	0,351 / 0,239	16	NR II / niv6-5	
6344-084	Maison 1	sol 6-096	Applique	Dent	Suidé	Fragment	Rectangulaire	1,931	0,859		0,369	0,247	6	NR II / niv6-5	
6344-085	Maison 1	sol 6-096	Applique	Dent	Suidé	Fragment	Rectangulaire								
6344-086	Maison 1	sol 6-096	Perle	Métal	Or	Complet	Discoïdale			0,623	0,391		< 1	NR II / niv6-5	82, 84, 220
6344-087	Maison 1	sol 6-096	Perle	Pierre	Roche verte	Complet	Discoïdale			0,527	0,092	0,222	< 1	NR II / niv6-5	
6344-088	Maison 1	sol 6-096	Perle	Pierre	Roche verte	Complet	Discoïdale			0,528	0,079	0,193	< 1	NR II / niv6-5	
6344-089	Maison 1	sol 6-096	Perle	Pierre	Roche verte	Complet	Discoïdale			0,535	0,047	0,237	< 1	NR II / niv6-5	
6344-090	Maison 1	sol 6-096	Perle	Pierre	Roche verte	Complet	Discoïdale			0,519	0,064	0,215	< 1	NR II / niv6-5	
6344-091	Maison 1	sol 6-096	Perle	Pierre	Roche verte	Complet	Discoïdale			0,519	0,154	0,215	< 1	NR II / niv6-5	
6344-092	Maison 1	sol 6-096	Perle	Pierre	Roche verte	Complet	Discoïdale			0,516	0,102	0,205	< 1	NR II / niv6-5	
6344-093	Maison 1	sol 6-096	Perle	Pierre	Roche verte	Complet	Discoïdale			0,543	0,083	0,217	< 1	NR II / niv6-5	
6344-094	Maison 1	sol 6-096	Perle	Pierre	Roche verte	Complet	Discoïdale			0,530	0,117	0,209	< 1	NR II / niv6-5	
6344-095	Maison 1	sol 6-096	Perle	Pierre	Roche verte	Complet	Discoïdale			0,562	0,113	0,198	< 1	NR II / niv6-5	
6344-096	Maison 1	sol 6-096	Perle	Pierre	Roche verte	Complet	Discoïdale			0,515	0,088	0,222	< 1	NR II / niv6-5	
6344-097	Maison 1	sol 6-096	Perle	Pierre	Roche verte	Complet	Discoïdale			0,470	0,111	0,206	< 1	NR II / niv6-5	
6344-098	Maison 1	sol 6-096	Perle	Pierre	Roche verte	Complet	Discoïdale			0,537	0,098	0,196	< 1	NR II / niv6-5	
6344-099	Maison 1	sol 6-096	Perle	Pierre	Roche verte	Complet	Discoïdale			0,530	0,110	0,183	< 1	NR II / niv6-5	
6344-100	Maison 1	sol 6-096	Perle	Pierre	Roche verte	Complet	Discoïdale			0,542	0,076	0,207	< 1	NR II / niv6-5	
6344-101	Maison 1	sol 6-096	Perle	Pierre	Roche verte	Complet	Discoïdale			0,536	0,083	0,209	< 1	NR II / niv6-5	
6344-102	Maison 1	sol 6-096	Perle	Pierre	Roche verte	Complet	Discoïdale			0,552	0,099	0,204	< 1	NR II / niv6-5	
6344-103	Maison 1	sol 6-096	Perle	Pierre	Roche verte	Complet	Discoïdale			0,534	0,097	0,196	< 1	NR II / niv6-5	
6344-104	Maison 1	sol 6-096	Perle	Pierre	Roche verte	Complet	Discoïdale			0,532	0,097	0,201	< 1	NR II / niv6-5	
6344-105	Maison 1	sol 6-096	Perle	Pierre	Roche verte	Complet	Discoïdale			0,510	0,169	0,177	< 1	NR II / niv6-5	
6344-106	Maison 1	sol 6-096	Perle	Pierre	Roche verte	Complet	Discoïdale			0,513	0,104	0,198	< 1	NR II / niv6-5	
6344-107	Maison 1	sol 6-096	Perle	Pierre	Roche verte	Complet	Discoïdale			0,492	0,107	0,209	< 1	NR II / niv6-5	
6344-108	Maison 1	sol 6-096	Perle	Pierre	Roche verte	Complet	Discoïdale			0,536	0,072	0,198	< 1	NR II / niv6-5	
6344-109	Maison 1	sol 6-096	Perle	Pierre	Roche verte	Complet	Discoïdale			0,540	0,080	0,204	< 1	NR II / niv6-5	
6344-110	Maison 1	sol 6-096	Perle	Pierre	Roche verte	Complet	Discoïdale			0,542	0,097	0,211	< 1	NR II / niv6-5	
6344-111	Maison 1	sol 6-096	Perle	Pierre	Roche verte	Complet	Discoïdale			0,532	0,099	0,200	< 1	NR II / niv6-5	
6344-112	Maison 1	sol 6-096	Perle	Pierre	Roche verte	Complet	Discoïdale			0,529	0,080	0,188	< 1	NR II / niv6-5	
6344-113	Maison 1	sol 6-096	Perle	Pierre	Roche verte	Complet	Discoïdale			0,519	0,093	0,209	< 1	NR II / niv6-5	

**Annexe 1**  
**Les pièces de parure de Dikili Tash**

*En italique les pièces non étudiées par Céline Choquet*

N° inventaire	Ensemble	Fait	Type	Matériau	Matériau détermination	Etat	Forme	Long. (en cm)	Larg. (en cm)	Diam. Max (en cm)	Ep. max. (en cm)	Diam perforation (en cm)	Poids (en gr)	Datation / Niveau	Fig.
6344-114	Maison 1	sol 6-096	Perle	Pierre	Roche verte	Complet	Discoïdale			0,458	0,089	0,173	< 1	NR II / niv6-5	
6344-115	Maison 1	sol 6-096	Perle	Pierre	Roche verte	Complet	Discoïdale			0,532	0,081	0,206	< 1	NR II / niv6-5	
6344-116	Maison 1	sol 6-096	Perle	Pierre	Roche verte	Complet	Discoïdale			0,528	0,103	0,211	< 1	NR II / niv6-5	
6344-117	Maison 1	sol 6-096	Perle	Pierre	Roche verte	Complet	Discoïdale			0,534	0,075	0,215	< 1	NR II / niv6-5	
6344-118	Maison 1	sol 6-096	Perle	Pierre	Roche verte	Complet	Discoïdale			0,534	0,132	0,208	< 1	NR II / niv6-5	
6344-119	Maison 1	sol 6-096	Perle	Pierre	Roche verte	Complet	Discoïdale			0,493	0,138	0,194	< 1	NR II / niv6-5	
6344-120	Maison 1	sol 6-096	Perle	Pierre	Roche verte	Complet	Discoïdale			0,520	0,095	0,201	< 1	NR II / niv6-5	
6344-121	Maison 1	sol 6-096	Perle	Pierre	Roche verte	Complet	Discoïdale			0,495	0,081	0,203	< 1	NR II / niv6-5	
6344-122	Maison 1	sol 6-096	Perle	Pierre	Roche verte	Complet	Discoïdale			0,540	0,091	0,203	< 1	NR II / niv6-5	
6344-123	Maison 1	sol 6-096	Perle	Pierre	Roche verte	Complet	Discoïdale			0,535	0,070	0,172	< 1	NR II / niv6-5	
6344-124	Maison 1	sol 6-096	Perle	Pierre	Roche verte	Complet	Discoïdale			0,525	0,079	0,219	< 1	NR II / niv6-5	
6344-125	Maison 1	sol 6-096	Perle	Pierre	Roche verte	Complet	Discoïdale			0,529	0,086	0,187	< 1	NR II / niv6-5	
6344-126	Maison 1	sol 6-096	Perle	Pierre	Roche verte	Complet	Discoïdale			0,556	0,090	0,182	< 1	NR II / niv6-5	
6344-127	Maison 1	sol 6-096	Perle	Pierre	Roche verte	Complet	Discoïdale			0,505	0,070	0,186	< 1	NR II / niv6-5	
6344-128	Maison 1	sol 6-096	Perle	Pierre	Roche verte	Complet	Discoïdale			0,535	0,105	0,208	< 1	NR II / niv6-5	
6344-129	Maison 1	sol 6-096	Perle	Pierre	Roche verte	Complet	Discoïdale			0,547	0,103	0,203	< 1	NR II / niv6-5	
6344-130	Maison 1	sol 6-096	Perle	Pierre	Roche verte	Complet	Discoïdale			0,541	0,119	0,208	< 1	NR II / niv6-5	
6344-131	Maison 1	sol 6-096	Perle	Pierre	Roche verte	Complet	Discoïdale			0,542	0,080	0,207	< 1	NR II / niv6-5	
6344-132	Maison 1	sol 6-096	Perle	Pierre	Roche verte	Complet	Discoïdale			0,552	0,096	0,206	< 1	NR II / niv6-5	
6344-133	Maison 1	sol 6-096	Perle	Pierre	Roche verte	Complet	Discoïdale			0,523	0,072	0,209	< 1	NR II / niv6-5	
6344-134	Maison 1	sol 6-096	Perle	Pierre	Roche verte	Complet	Discoïdale			0,504	0,117	0,186	< 1	NR II / niv6-5	
6344-135	Maison 1	sol 6-096	Perle	Pierre	Roche verte	Complet	Discoïdale			0,520	0,121	0,183	< 1	NR II / niv6-5	
6344-136	Maison 1	sol 6-096	Perle	Pierre	Roche verte	Complet	Discoïdale			0,541	0,085	0,189	< 1	NR II / niv6-5	
6344-137	Maison 1	sol 6-096	Perle	Pierre	Roche verte	Complet	Discoïdale			0,546	0,089	0,198	< 1	NR II / niv6-5	
6344-138	Maison 1	sol 6-096	Perle	Pierre	Roche verte	Complet	Discoïdale			0,537	0,100	0,206	< 1	NR II / niv6-5	
6344-139	Maison 1	sol 6-096	Perle	Pierre	Roche verte	Complet	Discoïdale			0,534	0,066	0,214	< 1	NR II / niv6-5	
6344-140	Maison 1	sol 6-096	Perle	Pierre	Roche verte	Complet	Discoïdale			0,539	0,092	0,181	< 1	NR II / niv6-5	
6344-141	Maison 1	sol 6-096	Perle	Pierre	Roche verte	Complet	Discoïdale			0,541	0,104	0,197	< 1	NR II / niv6-5	
6344-142	Maison 1	sol 6-096	Perle	Pierre	Roche verte	Complet	Discoïdale			0,512	0,073	0,198	< 1	NR II / niv6-5	
6344-143	Maison 1	sol 6-096	Perle	Pierre	Roche verte	Complet	Discoïdale			0,538	0,135	0,211	< 1	NR II / niv6-5	
6344-144	Maison 1	sol 6-096	Perle	Pierre	Roche verte	Complet	Discoïdale			0,539	0,085	0,219	< 1	NR II / niv6-5	
6344-145	Maison 1	sol 6-096	Perle	Pierre	Roche verte	Complet	Discoïdale			0,551	0,088	0,190	< 1	NR II / niv6-5	
6344-146	Maison 1	sol 6-096	Perle	Pierre	Roche verte	Complet	Discoïdale			0,529	0,110	0,183	< 1	NR II / niv6-5	

**Annexe 1  
Les pièces de parure de Dikili Tash**

*En italique les pièces non étudiées par Céline Choquet*

N° inventaire	Ensemble	Fait	Type	Matériau	Matériau détermination	Etat	Forme	Long. (en cm)	Larg. (en cm)	Diam. Max (en cm)	Ep. max. (en cm)	Diam perforation (en cm)	Poids (en gr)	Datation / Niveau	Fig.	
6344-147	Maison 1	sol 6-096	Perle	Pierre	Indéterminé	Complet	Discoïdale			0,513	0,105	0,240	< 1	NR II / niv6-5		
6344-148	Maison 1	sol 6-096	Perle	Coquille ou pierre	Indéterminé	Complet	Tubulaire			0,430	0,490	0,233	< 1	NR II / niv6-5		
6344-149	Maison 1	sol 6-096	Perle	Coquille ou pierre	Indéterminé	Complet	Discoïdale			0,539	0,336	0,242	< 1	NR II / niv6-5		
6344-150	Maison 1	sol 6-096	Applique	Dent	Suidé	Fragment	Rectangulaire	2,770	1,230		0,017	0,212 / 0,218	8	NR II / niv6-5	109, 206	
6344-152	Maison 1	sol 6-096	Perle	Métal	Or	Complet	Tubulaire			0,387	0,467	0,333	< 1	NR II / niv6-5	83	
6344-153	Maison 1	sol 6-096	Perle	Pierre	Roche verte	Complet	Discoïdale			0,652	0,112	0,217	< 1	NR II / niv6-5		
6344-154	Maison 1	sol 6-096	Perle	Pierre	Roche verte	Complet	Discoïdale			0,670	0,084	0,245	< 1	NR II / niv6-5		
6344-155	Maison 1	sol 6-096	Perle	Pierre	Roche verte	Complet	Discoïdale			0,660	0,132	0,232	< 1	NR II / niv6-5		
6344-156	Maison 1	sol 6-096	Perle	Pierre	Roche verte	Complet	Discoïdale			0,676	0,169	0,229	< 1	NR II / niv6-5		
6344-157	Maison 1	sol 6-096	Perle	Pierre	Roche verte	Complet	Discoïdale			0,655	0,075	0,224	< 1	NR II / niv6-5		
6344-158	Maison 1	sol 6-096	Perle	Pierre	Roche verte	Complet	Discoïdale			0,561	0,066	0,212	< 1	NR II / niv6-5		
6344-159	Maison 1	sol 6-096	Perle	Pierre	Roche verte	Complet	Discoïdale			0,470	0,142	0,175	< 1	NR II / niv6-5		
6344-160	Maison 1	sol 6-096	Perle	Pierre	Roche verte	Complet	Discoïdale			0,533	0,088	0,187	< 1	NR II / niv6-5		
6344-161	Maison 1	sol 6-096	Perle	Pierre	Roche verte	Complet	Discoïdale			0,521	0,169	0,188	< 1	NR II / niv6-5		
6344-162	Maison 1	sol 6-096	Perle	Pierre	Roche verte	Complet	Discoïdale			0,547	0,130	0,199	< 1	NR II / niv6-5		
6344-163	Maison 1	sol 6-096	Perle	Pierre	Roche verte	Complet	Discoïdale			0,443	0,072	0,198	< 1	NR II / niv6-5		
6344-164	Maison 1	sol 6-096	Perle	Pierre	Roche verte	Complet	Discoïdale			0,453	0,077	0,176	< 1	NR II / niv6-5		
6344-165	Maison 1	sol 6-096	Perle	Pierre	Roche verte	Complet	Discoïdale			0,438	0,127	0,188	< 1	NR II / niv6-5		
6344-166	Maison 1	sol 6-096	Perle	Pierre	Roche verte	Complet	Discoïdale			0,436	0,103	0,181	< 1	NR II / niv6-5		
6344-167	Maison 1	sol 6-096	Perle	Pierre	Roche verte	Complet	Discoïdale			0,466	0,128	0,184	< 1	NR II / niv6-5		
6344-168	Maison 1	sol 6-096	Perle	Pierre	Roche verte	Complet	Discoïdale			0,483	0,080	0,178	< 1	NR II / niv6-5		
6344-169	Maison 1	sol 6-096	Perle	Pierre	Roche verte	Complet	Discoïdale			0,430	0,072	0,168	< 1	NR II / niv6-5		
6344-170	Maison 1	sol 6-096	Perle	Pierre	Roche verte	Complet	Discoïdale			0,508	0,139	0,214	< 1	NR II / niv6-5		
6344-171	Maison 1	sol 6-096	Perle	Pierre	Roche verte	Complet	Discoïdale			0,471	0,139	0,220	< 1	NR II / niv6-5		
6344-172	Maison 1	sol 6-096	Perle	Pierre	Roche verte	Complet	Discoïdale			0,480	0,105	0,221	< 1	NR II / niv6-5		
6344-173	Maison 1	sol 6-096	Perle	Pierre	Roche verte	Complet	Discoïdale			0,522	0,119	0,219	< 1	NR II / niv6-5		
6344-174	Maison 1	sol 6-096	Perle	Pierre	Roche verte	Complet	Discoïdale			0,494	0,163	0,191	< 1	NR II / niv6-5		
6344-175	Maison 1	sol 6-096	Applique	Dent	Suidé	Complet	Rectangulaire			Recolle avec 6364-083						
6344-176	Maison 1	sol 6-096	Applique	Dent	Suidé	Complet	Rectangulaire	2,294	0,900		0,237		5	NR II / niv6-5		
6344-177	Maison 1	sol 6-096	Applique	Dent	Suidé	Complet	Rectangulaire	1,783	0,564		0,356		3	NR II / niv6-5		
6344-178	Maison 1	sol 6-096	Applique	Dent	Suidé	Fragment	Rectangulaire	2,891	0,642		0,200		5	NR II / niv6-5		

**Annexe 1**  
**Les pièces de parure de Dikili Tash**

*En italique les pièces non étudiées par Céline Choquet*

N° inventaire	Ensemble	Fait	Type	Matériau	Matériau détermination	Etat	Forme	Long. (en cm)	Larg. (en cm)	Diam. Max (en cm)	Ep. max. (en cm)	Diam perforation (en cm)	Poids (en gr)	Datation / Niveau	Fig.
6344-179	Maison 1	sol 6-096	Débris	Dent	Suidé	Ensemble de fragments	Rectangulaire						52	NR II / niv6-5	
6344-180	Maison 1	sol 6-096	Perle	Pierre	Roche verte	Complet	Discoïdale			0,466	0,136	0,236	< 1	NR II / niv6-5	
6344-181	Maison 1	sol 6-096	Perle	Pierre	Roche verte	Complet	Discoïdale			0,460	0,081	0,215	< 1	NR II / niv6-5	
6344-182	Maison 1	sol 6-096	Perle	Pierre	Roche verte	Complet	Discoïdale			0,448	0,132	0,212	< 1	NR II / niv6-5	
6344-183	Maison 1	sol 6-096	Perle	Pierre	Roche verte	Complet	Discoïdale			0,419	0,134	0,185	< 1	NR II / niv6-5	
6344-184	Maison 1	sol 6-096	Perle	Pierre	Roche verte	Complet	Discoïdale			0,399	0,161	0,191	< 1	NR II / niv6-5	
6344-185	Maison 1	sol 6-096	Perle	Pierre	Roche verte	Complet	Discoïdale			0,419	0,116	0,197	< 1	NR II / niv6-5	
6344-190	Maison 1	sol 6-096	Perle	Pierre	Roche verte	Complet	Discoïdale			0,647	0,122	0,232	< 1	NR II / niv6-5	
6344-191	Maison 1	sol 6-096	Perle	Pierre	Roche verte	Complet	Discoïdale			0,659	0,077	0,243	< 1	NR II / niv6-5	
6344-192	Maison 1	sol 6-096	Perle	Pierre	Roche verte	Complet	Discoïdale			0,643	0,219	0,231	< 1	NR II / niv6-5	
6344-193	Maison 1	sol 6-096	Perle	Pierre	Roche verte	Complet	Discoïdale			0,659	0,114	0,219	< 1	NR II / niv6-5	
6344-194	Maison 1	sol 6-096	Perle	Pierre	Roche verte	Complet	Discoïdale			0,667	0,077	0,247	< 1	NR II / niv6-5	
6344-195	Maison 1	sol 6-096	Perle	Pierre	Roche verte	Complet	Discoïdale			0,658	0,096	0,219	< 1	NR II / niv6-5	
6344-196	Maison 1	sol 6-096	Perle	Pierre	Roche verte	Complet	Discoïdale			0,666	0,096	0,233	< 1	NR II / niv6-5	
6344-197	Maison 1	sol 6-096	Perle	Pierre	Roche verte	Complet	Discoïdale			0,655	0,087	0,227	< 1	NR II / niv6-5	
6344-198	Maison 1	sol 6-096	Perle	Pierre	Roche verte	Complet	Discoïdale			0,657	0,095	0,240	< 1	NR II / niv6-5	
6344-199	Maison 1	sol 6-096	Perle	Pierre	Roche verte	Complet	Discoïdale			0,651	0,122	0,224	< 1	NR II / niv6-5	
6344-200	Maison 1	sol 6-096	Perle	Pierre	Roche verte	Complet	Discoïdale			0,686	0,117	0,247	< 1	NR II / niv6-5	
6344-201	Maison 1	sol 6-096	Perle	Pierre	Roche verte	Complet	Discoïdale			0,650	0,099	0,240	< 1	NR II / niv6-5	
6344-202	Maison 1	sol 6-096	Perle	Pierre	Roche verte	Complet	Discoïdale			0,671	0,118	0,228	< 1	NR II / niv6-5	
6344-203	Maison 1	sol 6-096	Perle	Pierre	Roche verte	Complet	Discoïdale			0,668	0,090	0,239	< 1	NR II / niv6-5	
6344-204	Maison 1	sol 6-096	Perle	Pierre	Roche verte	Complet	Discoïdale			0,672	0,080	0,248	< 1	NR II / niv6-5	
6344-205	Maison 1	sol 6-096	Perle	Pierre	Roche verte	Complet	Discoïdale			0,658	0,109	0,226	< 1	NR II / niv6-5	
6344-206	Maison 1	sol 6-096	Perle	Pierre	Roche verte	Complet	Discoïdale			0,663	0,116	0,228	< 1	NR II / niv6-5	
6344-210	Maison 1	sol 6-096	Perle	Pierre	Roche verte	Complet	Discoïdale			0,448	0,093	0,154	< 1	NR II / niv6-5	
6344-211	Maison 1	sol 6-096	Perle	Pierre	Roche verte	Complet	Discoïdale			0,453	0,101	0,189	< 1	NR II / niv6-5	
6344-212	Maison 1	sol 6-096	Perle	Pierre	Roche verte	Complet	Discoïdale			0,454	0,090	0,181	< 1	NR II / niv6-5	
6344-213	Maison 1	sol 6-096	Perle	Pierre	Roche verte	Complet	Discoïdale			0,457	0,083	0,171	< 1	NR II / niv6-5	
6344-214	Maison 1	sol 6-096	Perle	Pierre	Roche verte	Complet	Discoïdale			0,435	0,090	0,166	< 1	NR II / niv6-5	
6344-215	Maison 1	sol 6-096	Perle	Pierre	Roche verte	Complet	Discoïdale			0,434	0,082	0,156	< 1	NR II / niv6-5	
6344-216	Maison 1	sol 6-096	Perle	Pierre	Roche verte	Complet	Discoïdale			0,462	0,091	0,161	< 1	NR II / niv6-5	
6344-217	Maison 1	sol 6-096	Perle	Pierre	Roche verte	Complet	Discoïdale			0,446	0,096	0,203	< 1	NR II / niv6-5	

**Annexe 1**  
**Les pièces de parure de Dikili Tash**

*En italique les pièces non étudiées par Céline Choquet*

N° inventaire	Ensemble	Fait	Type	Matériau	Matériau détermination	Etat	Forme	Long. (en cm)	Larg. (en cm)	Diam. Max (en cm)	Ep. max. (en cm)	Diam perforation (en cm)	Poids (en gr)	Datation / Niveau	Fig.
6344-218	Maison 1	sol 6-096	Perle	Pierre	Roche verte	Complet	Discoïdale			0,468	0,102	0,173	< 1	NR II / niv6-5	
6344-219	Maison 1	sol 6-096	Perle	Pierre	Roche verte	Complet	Discoïdale			0,455	0,094	0,178	< 1	NR II / niv6-5	
6344-220	Maison 1	sol 6-096	Perle	Pierre	Roche verte	Complet	Discoïdale			0,466	0,149	0,211	< 1	NR II / niv6-5	
6344-221	Maison 1	sol 6-096	Perle	Pierre	Roche verte	Complet	Discoïdale			0,457	0,152	0,178	< 1	NR II / niv6-5	
6344-222	Maison 1	sol 6-096	Perle	Pierre	Roche verte	Complet	Discoïdale			0,438	0,098	0,189	< 1	NR II / niv6-5	
6344-223	Maison 1	sol 6-096	Perle	Pierre	Roche verte	Complet	Discoïdale			0,459	0,106	0,172	< 1	NR II / niv6-5	
6344-224	Maison 1	sol 6-096	Perle	Pierre	Roche verte	Complet	Discoïdale			0,455	0,097	0,190	< 1	NR II / niv6-5	
6344-225	Maison 1	sol 6-096	Perle	Pierre	Roche verte	Complet	Discoïdale			0,445	0,097	0,193	< 1	NR II / niv6-5	
6344-226	Maison 1	sol 6-096	Perle	Pierre	Roche verte	Complet	Discoïdale			0,506	0,117	0,202	< 1	NR II / niv6-5	
6344-227	Maison 1	sol 6-096	Perle	Pierre	Roche verte	Complet	Discoïdale			0,497	0,135	0,191	< 1	NR II / niv6-5	
6344-228	Maison 1	sol 6-096	Perle	Pierre	Roche verte	Complet	Discoïdale			0,467	0,099	0,188	< 1	NR II / niv6-5	
6344-229	Maison 1	sol 6-096	Perle	Pierre	Roche verte	Complet	Discoïdale			0,456	0,083	0,169	< 1	NR II / niv6-5	
6344-230	Maison 1	sol 6-096	Perle	Pierre	Roche verte	Complet	Discoïdale			0,472	0,104	0,185	< 1	NR II / niv6-5	
6344-231	Maison 1	sol 6-096	Perle	Pierre	Roche verte	Complet	Discoïdale			0,467	0,079	0,205	< 1	NR II / niv6-5	
6344-232	Maison 1	sol 6-096	Perle	Pierre	Roche verte	Complet	Discoïdale			0,476	0,079	0,170	< 1	NR II / niv6-5	
6344-233	Maison 1	sol 6-096	Perle	Pierre	Roche verte	Complet	Discoïdale			0,417	0,132	0,198	< 1	NR II / niv6-5	
6344-234	Maison 1	sol 6-096	Perle	Pierre	Roche verte	Complet	Discoïdale			0,461	0,136	0,168	< 1	NR II / niv6-5	
6344-235	Maison 1	sol 6-096	Perle	Pierre	Roche verte	Complet	Discoïdale			0,484	0,089	0,165	< 1	NR II / niv6-5	
6344-236	Maison 1	sol 6-096	Perle	Pierre	Roche verte	Complet	Discoïdale			0,448	0,098	0,156	< 1	NR II / niv6-5	
6344-237	Maison 1	sol 6-096	Perle	Pierre	Roche verte	Complet	Discoïdale			0,441	0,101	0,190	< 1	NR II / niv6-5	
6344-238	Maison 1	sol 6-096	Perle	Pierre	Roche verte	Complet	Discoïdale			0,456	0,098	0,203	< 1	NR II / niv6-5	
6344-239	Maison 1	sol 6-096	Perle	Pierre	Roche verte	Complet	Discoïdale			0,428	0,121	0,164	< 1	NR II / niv6-5	
6344-240	Maison 1	sol 6-096	Perle	Pierre	Roche verte	Complet	Discoïdale			0,439	0,109	0,223	< 1	NR II / niv6-5	
6344-241	Maison 1	sol 6-096	Perle	Pierre	Roche verte	Complet	Discoïdale			0,417	0,124	0,199	< 1	NR II / niv6-5	
6344-242	Maison 1	sol 6-096	Perle	Pierre	Roche verte	Complet	Discoïdale			0,488	0,140	0,185	< 1	NR II / niv6-5	
6344-243	Maison 1	sol 6-096	Perle	Pierre	Roche verte	Complet	Discoïdale			0,448	0,104	0,159	< 1	NR II / niv6-5	
6344-245	Maison 1	sol 6-096	Perle	Pierre	Indéterminé	Complet	Discoïdale			0,641	0,121	0,228	< 1	NR II / niv6-5	
6344-246	Maison 1	sol 6-096	Perle	Pierre	Roche verte	Complet	Discoïdale			0,657	0,122	0,224	< 1	NR II / niv6-5	
6344-247	Maison 1	sol 6-096	Perle	Pierre	Roche verte	Complet	Discoïdale			0,661	0,085	0,225	< 1	NR II / niv6-5	
6344-248	Maison 1	sol 6-096	Perle	Pierre	Roche verte	Complet	Discoïdale			0,652	0,103	0,219	< 1	NR II / niv6-5	
6344-249	Maison 1	sol 6-096	Perle	Pierre	Roche verte	Complet	Discoïdale			0,658	0,104	0,225	< 1	NR II / niv6-5	
6344-250	Maison 1	sol 6-096	Perle	Pierre	Roche verte	Complet	Discoïdale			0,653	0,089	0,235	< 1	NR II / niv6-5	
6344-251	Maison 1	sol 6-096	Perle	Pierre	Roche verte	Complet	Discoïdale			0,665	0,128	0,224	< 1	NR II / niv6-5	

**Annexe 1**  
**Les pièces de parure de Dikili Tash**

*En italique les pièces non étudiées par Céline Choquet*

N° inventaire	Ensemble	Fait	Type	Matériau	Matériau détermination	Etat	Forme	Long. (en cm)	Larg. (en cm)	Diam. Max (en cm)	Ep. max. (en cm)	Diam perforation (en cm)	Poids (en gr)	Datation / Niveau	Fig.
6344-252	Maison 1	sol 6-096	Perle	Pierre	Roche verte	Complet	Discoïdale			0,660	0,110	0,221	< 1	NR II / niv6-5	
6344-253	Maison 1	sol 6-096	Perle	Pierre	Roche verte	Complet	Discoïdale			0,659	0,105	0,227	< 1	NR II / niv6-5	
6344-254	Maison 1	sol 6-096	Perle	Pierre	Roche verte	Complet	Discoïdale			0,647	0,119	0,230	< 1	NR II / niv6-5	
6344-255	Maison 1	sol 6-096	Perle	Pierre	Roche verte	Complet	Discoïdale			0,652	0,123	0,224	< 1	NR II / niv6-5	
6344-256	Maison 1	sol 6-096	Perle	Pierre	Roche verte	Complet	Discoïdale			0,663	0,103	0,231	< 1	NR II / niv6-5	
6344-257	Maison 1	sol 6-096	Perle	Pierre	Roche verte	Complet	Discoïdale			0,614	0,126	0,211	< 1	NR II / niv6-5	
6344-258	Maison 1	sol 6-096	Perle	Pierre	Roche verte	Complet	Discoïdale			0,583	0,073	0,206	< 1	NR II / niv6-5	
6344-259	Maison 1	sol 6-096	Perle	Pierre	Roche verte	Complet	Discoïdale			0,643	0,120	0,224	< 1	NR II / niv6-5	
6344-260	Maison 1	sol 6-096	Perle	Pierre	Roche verte	Complet	Discoïdale			0,660	0,075	0,243	< 1	NR II / niv6-5	
6344-261	Maison 1	sol 6-096	Perle	Pierre	Roche verte	Complet	Discoïdale			0,661	0,115	0,202	< 1	NR II / niv6-5	
6344-262	Maison 1	sol 6-096	Perle	Pierre	Roche verte	Complet	Discoïdale			0,648		0,231	< 1	NR II / niv6-5	
6344-263	Maison 1	sol 6-096	Perle	Pierre	Roche verte	Complet	Discoïdale			/	/	/	< 1	NR II / niv6-5	
6344-264	Maison 1	sol 6-096	Perle	Pierre	Roche verte	Complet	Discoïdale			0,653		0,222	< 1	NR II / niv6-5	
6344-265	Maison 1	sol 6-096	Perle	Pierre	Roche verte	Complet	Discoïdale			0,655	0,094	0,225	< 1	NR II / niv6-5	
6344-266	Maison 1	sol 6-096	Perle	Pierre	Roche verte	Complet	Discoïdale			0,665	0,101	0,223	< 1	NR II / niv6-5	
6344-267	Maison 1	sol 6-096	Perle	Pierre	Roche verte	Complet	Discoïdale			0,655	0,075	0,245	< 1	NR II / niv6-5	
6344-268	Maison 1	sol 6-096	Perle	Pierre	Roche verte	Complet	Discoïdale			0,669	0,118	0,232	< 1	NR II / niv6-5	
6344-269	Maison 1	sol 6-096	Perle	Pierre	Roche verte	Complet	Discoïdale			0,674	0,118	0,211	< 1	NR II / niv6-5	
6344-270	Maison 1	sol 6-096	Perle	Pierre	Roche verte	Complet	Discoïdale			0,654	0,103	0,215	< 1	NR II / niv6-5	
6344-271	Maison 1	sol 6-096	Perle	Pierre	Roche verte	Complet	Discoïdale			0,574	0,076	0,205	< 1	NR II / niv6-5	
6344-272	Maison 1	sol 6-096	Perle	Pierre	Roche verte	Complet	Discoïdale			0,575	0,067	0,194	< 1	NR II / niv6-5	
6344-273	Maison 1	sol 6-096	Perle	Pierre	Roche verte	Complet	Discoïdale			0,655	0,079	0,231	< 1	NR II / niv6-5	
6344-274	Maison 1	sol 6-096	Perle	Pierre	Roche verte	Complet	Discoïdale			0,654	0,078	0,219	< 1	NR II / niv6-5	
6344-275	Maison 1	sol 6-096	Perle	Pierre	Roche verte	Complet	Discoïdale			0,646	0,104	0,226	< 1	NR II / niv6-5	
6344-276	Maison 1	sol 6-096	Perle	Pierre	Roche verte	Complet	Discoïdale			0,657	0,074	0,252	< 1	NR II / niv6-5	
6344-277	Maison 1	sol 6-096	Perle	Pierre	Roche verte	Complet	Discoïdale			0,606	0,073	0,200	< 1	NR II / niv6-5	
6344-278	Maison 1	sol 6-096	Perle	Pierre	Roche verte	Complet	Discoïdale			0,660	0,101	0,229	< 1	NR II / niv6-5	
6344-279	Maison 1	sol 6-096	Perle	Pierre	Roche verte	Complet	Discoïdale			0,619	0,079	0,239	< 1	NR II / niv6-5	
6344-280	Maison 1	sol 6-096	Perle	Os		Ensemble de fragments	Discoïdale			/	/	/	< 1	NR II / niv6-5	
6344-281	Maison 1	sol 6-096	Perle	Pierre	Roche verte	Complet	Discoïdale			0,510	0,171	0,181	< 1	NR II / niv6-5	
6344-282	Maison 1	sol 6-096	Perle	Pierre	Roche verte	Complet	Discoïdale			0,586	0,167	0,213	< 1	NR II / niv6-5	
6344-283	Maison 1	sol 6-096	Perle	Pierre	Roche verte	Complet	Discoïdale			0,501	0,127	0,250	< 1	NR II / niv6-5	

**Annexe 1  
Les pièces de parure de Dikili Tash**

*En italique les pièces non étudiées par Céline Choquet*

N° inventaire	Ensemble	Fait	Type	Matériau	Matériau détermination	Etat	Forme	Long. (en cm)	Larg. (en cm)	Diam. Max (en cm)	Ep. max. (en cm)	Diam perforation (en cm)	Poids (en gr)	Datation / Niveau	Fig.
6344-284	Maison 1	sol 6-096	Perle	Pierre	Roche verte	Complet	Discoïdale			0,497	0,142	0,228	< 1	NR II / niv6-5	
6344-285	Maison 1	sol 6-096	Perle	Pierre	Roche verte	Complet	Discoïdale			0,494	0,126	0,185	< 1	NR II / niv6-5	
6344-286	Maison 1	sol 6-096	Perle	Pierre	Roche verte	Complet	Discoïdale			0,505	0,127	0,195	< 1	NR II / niv6-5	
6344-290	Maison 1	sol 6-096	Applique	Dent	Suidé	Fragment	Rectangulaire	0,221	0,108		0,212	0,321 / 0,326	8	NR II / niv6-5	
6344-292	Maison 1	sol 6-096	Perle	Pierre	Roche verte	Complet	Discoïdale			0,441	0,111	0,202	< 1	NR II / niv6-5	
6344-293	Maison 1	sol 6-096	Perle	Pierre	Roche verte	Complet	Discoïdale			0,498	0,096	0,185	< 1	NR II / niv6-5	
6344-294	Maison 1	sol 6-096	Perle	Pierre	Roche verte	Complet	Discoïdale			0,419	0,111	0,176	< 1	NR II / niv6-5	
6344-295	Maison 1	sol 6-096	Perle	Pierre	Roche verte	Complet	Discoïdale			0,453	0,092	0,191	< 1	NR II / niv6-5	
6344-296	Maison 1	sol 6-096	Perle	Pierre	Roche verte	Complet	Discoïdale			0,454	0,107	0,177	< 1	NR II / niv6-5	
6344-297	Maison 1	sol 6-096	Perle	Pierre	Roche verte	Complet	Discoïdale			0,431	0,065	0,170	< 1	NR II / niv6-5	
6344-298	Maison 1	sol 6-096	Perle	Pierre	Roche verte	Complet	Discoïdale			0,532	0,117	0,198	< 1	NR II / niv6-5	
6344-299	Maison 1	sol 6-096	Perle	Pierre	Pierre calcaire	Complet	Discoïdale			0,450	0,385	0,208	< 1	NR II / niv6-5	
6344-300	Maison 1	sol 6-096	Perle	Pierre		Complet	Quadrangulaire			0,354	0,067	0,160	< 1	NR II / niv6-5	
6344-301	Maison 1	sol 6-096	Perle	Pierre	Roche verte	Complet	Discoïdale			0,585	0,058	0,050	< 1	NR II / niv6-5	
6344-302	Maison 1	sol 6-096	Perle	Pierre	Roche verte	Complet	Discoïdale			0,580	0,573	0,268	< 1	NR II / niv6-5	
6344-303	Maison 1	sol 6-096	Perle	Pierre		Complet	Discoïdale			0,675	0,382	0,222	< 1	NR II / niv6-5	
6344-304	Maison 1	sol 6-096	Perle	Pierre		Complet	Discoïdale			0,498	0,134	0,211	< 1	NR II / niv6-5	
6344-305	Maison 1	sol 6-096	Perle	Pierre	Roche verte	Complet	Discoïdale			0,477	0,099	0,221	< 1	NR II / niv6-5	
6344-306	Maison 1	sol 6-096	Perle	Pierre	Roche verte	Complet	Discoïdale			0,505	0,159	0,192	< 1	NR II / niv6-5	12
6344-307	Maison 1	sol 6-096	Perle	Pierre	Roche verte	Complet	Discoïdale			0,445	0,078	0,203	< 1	NR II / niv6-5	
6344-308	Maison 1	sol 6-096	Perle	Pierre	Roche verte	Complet	Discoïdale			0,441	0,084	0,200	< 1	NR II / niv6-5	
6344-309	Maison 1	sol 6-096	Perle	Pierre	Roche verte	Complet	Discoïdale			0,451	0,109	0,188	< 1	NR II / niv6-5	
6344-310	Maison 1	sol 6-096	Perle	Pierre	Roche verte	Complet	Discoïdale			0,423	0,163	0,173	< 1	NR II / niv6-5	
6344-311	Maison 1	sol 6-096	Perle	Pierre	Roche verte	Complet	Discoïdale			0,444	0,107	0,159	< 1	NR II / niv6-5	
6344-312	Maison 1	sol 6-096	Perle	Pierre	Roche verte	Complet	Discoïdale			0,432	0,153	0,203	< 1	NR II / niv6-5	
6344-313	Maison 1	sol 6-096	Perle	Pierre	Roche verte	Complet	Discoïdale			0,481	0,075	0,190	< 1	NR II / niv6-5	
6344-314	Maison 1	sol 6-096	Perle	Pierre	Roche verte	Complet	Discoïdale			0,437	0,078	0,165	< 1	NR II / niv6-5	
6344-315	Maison 1	sol 6-096	Perle	Pierre	Roche verte	Complet	Discoïdale			0,406	0,084	0,165	< 1	NR II / niv6-5	
6344-316	Maison 1	sol 6-096	Perle	Pierre	Roche verte	Complet	Discoïdale			0,429	0,076	0,164	< 1	NR II / niv6-5	
6344-317	Maison 1	sol 6-096	Perle	Pierre	Roche verte	Complet	Discoïdale			0,415	0,103	0,165	< 1	NR II / niv6-5	
6344-318	Maison 1	sol 6-096	Perle	Pierre	Roche verte	Complet	Discoïdale			0,405	0,072	0,175	< 1	NR II / niv6-5	
6344-319	Maison 1	sol 6-096	Perle	Pierre	Roche verte	Complet	Discoïdale			0,506	0,082	0,195	< 1	NR II / niv6-5	

**Annexe 1**  
**Les pièces de parure de Dikili Tash**

*En italique les pièces non étudiées par Céline Choquet*

N° inventaire	Ensemble	Fait	Type	Matériau	Matériau détermination	Etat	Forme	Long. (en cm)	Larg. (en cm)	Diam. Max (en cm)	Ep. max. (en cm)	Diam perforation (en cm)	Poids (en gr)	Datation / Niveau	Fig.
6344-320	Maison 1	sol 6-096	Perle	Pierre	Roche verte	Complet	Discoïdale			0,478	0,097	0,189	< 1	NR II / niv6-5	
6344-321	Maison 1	sol 6-096	Perle	Pierre	Roche verte	Complet	Discoïdale			0,413	0,090	0,167	< 1	NR II / niv6-5	
6344-322	Maison 1	sol 6-096	Perle	Pierre	Roche verte	Complet	Discoïdale			0,444	0,127	0,203	< 1	NR II / niv6-5	
6344-323	Maison 1	sol 6-096	Perle	Pierre	Roche verte	Complet	Discoïdale			0,434	0,110	0,171	< 1	NR II / niv6-5	
6344-324	Maison 1	sol 6-096	Perle	Pierre	Roche verte	Complet	Discoïdale			0,442	0,106	0,192	< 1	NR II / niv6-5	
6344-326	Maison 1	sol 6-096	Perle	Pierre	Roche verte	Complet	Discoïdale			0,421	0,084	0,158	< 1	NR II / niv6-5	
6344-327	Maison 1	sol 6-096	Perle	Pierre	Roche verte	Complet	Discoïdale			0,433	0,103	0,200	< 1	NR II / niv6-5	
6344-328	Maison 1	sol 6-096	Perle	Pierre	Roche verte	Complet	Discoïdale			0,411	0,067	0,191	< 1	NR II / niv6-5	
6344-329	Maison 1	sol 6-096	Perle	Pierre	Roche verte	Complet	Discoïdale			0,452	0,095	0,179	< 1	NR II / niv6-5	
6344-330	Maison 1	sol 6-096	Perle	Pierre	Roche verte	Complet	Discoïdale			0,431	0,131	0,181	< 1	NR II / niv6-5	
6344-331	Maison 1	sol 6-096	Perle	Pierre	Roche verte	Complet	Discoïdale			0,408	0,102	0,198	< 1	NR II / niv6-5	
6344-332	Maison 1	sol 6-096	Perle	Pierre	Roche verte	Complet	Discoïdale			0,428	0,118	0,174	< 1	NR II / niv6-5	
6344-333	Maison 1	sol 6-096	Perle	Pierre	Roche verte	Complet	Discoïdale			0,458	0,145	0,213	< 1	NR II / niv6-5	
6344-334	Maison 1	sol 6-096	Perle	Pierre	Roche verte	Complet	Discoïdale			0,468	0,114	0,160	< 1	NR II / niv6-5	
6344-335	Maison 1	sol 6-096	Perle	Pierre	Roche verte	Complet	Discoïdale			0,423	0,078	0,181	< 1	NR II / niv6-5	
6344-336	Maison 1	sol 6-096	Perle	Pierre	Roche verte	Complet	Discoïdale			0,399	0,114	0,167	< 1	NR II / niv6-5	
6344-337	Maison 1	sol 6-096	Perle	Pierre	Roche verte	Complet	Discoïdale			0,484	0,095	0,221	< 1	NR II / niv6-5	
6344-338	Maison 1	sol 6-096	Perle	Pierre	Roche verte	Complet	Discoïdale			0,410	0,122	0,196	< 1	NR II / niv6-5	
6344-339	Maison 1	sol 6-096	Perle	Pierre	Roche verte	Complet	Discoïdale			0,429	0,112	0,183	< 1	NR II / niv6-5	
6344-340	Maison 1	sol 6-096	Perle	Pierre	Roche verte	Complet	Discoïdale			0,455	0,086	0,206	< 1	NR II / niv6-5	
6344-341	Maison 1	sol 6-096	Perle	Pierre	Roche verte	Complet	Discoïdale			0,450	0,084	0,183	< 1	NR II / niv6-5	
6344-342	Maison 1	sol 6-096	Perle	Pierre	Roche verte	Complet	Discoïdale			0,484	0,142	0,167	< 1	NR II / niv6-5	
6344-343	Maison 1	sol 6-096	Perle	Pierre	Roche verte	Complet	Discoïdale			0,451	0,110	0,192	< 1	NR II / niv6-5	
6344-344	Maison 1	sol 6-096	Perle	Pierre	Roche verte	Complet	Discoïdale			0,484	0,081	0,194	< 1	NR II / niv6-5	
6344-345	Maison 1	sol 6-096	Perle	Pierre	Roche verte	Complet	Discoïdale			0,405	0,089	0,177	< 1	NR II / niv6-5	
6344-346	Maison 1	sol 6-096	Perle	Pierre	Roche verte	Complet	Discoïdale			0,451	0,083	0,187	< 1	NR II / niv6-5	
6344-347	Maison 1	sol 6-096	Perle	Pierre	Roche verte	Complet	Discoïdale			0,398	0,092	0,181	< 1	NR II / niv6-5	
6344-348	Maison 1	sol 6-096	Perle	Pierre	Roche verte	Complet	Discoïdale			0,440	0,141	0,187	< 1	NR II / niv6-5	
6344-349	Maison 1	sol 6-096	Perle	Pierre	Roche verte	Complet	Discoïdale			0,421	0,127	0,199	< 1	NR II / niv6-5	
6344-350	Maison 1	sol 6-096	Perle	Pierre	Roche verte	Complet	Discoïdale			0,418	0,044	0,177	< 1	NR II / niv6-5	
6344-351	Maison 1	sol 6-096	Perle	Pierre	Roche verte	Complet	Discoïdale			0,472	0,135	0,206	< 1	NR II / niv6-5	
6344-352	Maison 1	sol 6-096	Perle	Pierre	Roche verte	Complet	Discoïdale			0,452	0,108	0,165	< 1	NR II / niv6-5	
6344-353	Maison 1	sol 6-096	Perle	Pierre	Roche verte	Complet	Discoïdale			0,437	0,142	0,179	< 1	NR II / niv6-5	

**Annexe 1**  
**Les pièces de parure de Dikili Tash**

*En italique les pièces non étudiées par Céline Choquet*

N° inventaire	Ensemble	Fait	Type	Matériau	Matériau détermination	Etat	Forme	Long. (en cm)	Larg. (en cm)	Diam. Max (en cm)	Ep. max. (en cm)	Diam perforation (en cm)	Poids (en gr)	Datation / Niveau	Fig.
6344-354	Maison 1	sol 6-096	Perle	Pierre	Roche verte	Complet	Discoïdale			0,433	0,066	0,209	< 1	NR II / niv6-5	
6344-355	Maison 1	sol 6-096	Perle	Pierre	Roche verte	Complet	Discoïdale			0,454	0,065	0,163	< 1	NR II / niv6-5	
6344-356	Maison 1	sol 6-096	Perle	Pierre	Roche verte	Complet	Discoïdale			0,444	0,108	0,198	< 1	NR II / niv6-5	
6344-357	Maison 1	sol 6-096	Perle	Pierre	Roche verte	Complet	Discoïdale			0,433	0,085	0,187	< 1	NR II / niv6-5	
6344-358	Maison 1	sol 6-096	Perle	Pierre	Roche verte	Complet	Discoïdale			0,457	0,101	0,191	< 1	NR II / niv6-5	
6344-359	Maison 1	sol 6-096	Perle	Pierre	Roche verte	Complet	Discoïdale			0,414	0,083	0,155	< 1	NR II / niv6-5	
6344-360	Maison 1	sol 6-096	Perle	Pierre	Roche verte	Complet	Discoïdale			0,426	0,118	0,160	< 1	NR II / niv6-5	
6344-361	Maison 1	sol 6-096	Perle	Pierre	Roche verte	Complet	Discoïdale			0,452	0,118	0,140	< 1	NR II / niv6-5	
6344-362	Maison 1	sol 6-096	Perle	Pierre	Roche verte	Complet	Discoïdale			0,453	0,118	0,154	< 1	NR II / niv6-5	
6344-363	Maison 1	sol 6-096	Perle	Pierre	Roche verte	Complet	Discoïdale			0,449	0,097	0,145	< 1	NR II / niv6-5	
6344-364	Maison 1	sol 6-096	Perle	Pierre	Roche verte	Complet	Discoïdale			0,437	0,119	0,184	< 1	NR II / niv6-5	
6344-365	Maison 1	sol 6-096	Perle	Pierre	Roche verte	Complet	Discoïdale			0,460	0,068	0,177	< 1	NR II / niv6-5	
6344-366	Maison 1	sol 6-096	Perle	Pierre	Indéterminé	Complet	Discoïdale			0,426	0,092	0,175	< 1	NR II / niv6-5	
6344-367	Maison 1	sol 6-096	Perle	Pierre	Roche verte	Complet	Discoïdale			0,444	0,158	0,249	< 1	NR II / niv6-5	
6344-368	Maison 1	sol 6-096	Perle	Pierre	Roche verte	Complet	Discoïdale			0,446	0,087	0,160	< 1	NR II / niv6-5	
6344-369	Maison 1	sol 6-096	Perle	Pierre	Roche verte	Complet	Discoïdale			0,460	0,081	0,146	< 1	NR II / niv6-5	
6344-370	Maison 1	sol 6-096	Perle	Pierre	Roche verte	Complet	Discoïdale			0,433	0,123	0,224	< 1	NR II / niv6-5	
6344-371	Maison 1	sol 6-096	Perle	Pierre	Roche verte	Complet	Discoïdale			0,436	0,159	0,208	< 1	NR II / niv6-5	
6344-372	Maison 1	sol 6-096	Perle	Pierre	Roche verte	Complet	Discoïdale			0,438	0,139	0,203	< 1	NR II / niv6-5	
6344-373	Maison 1	sol 6-096	Perle	Pierre	Roche verte	Complet	Discoïdale			0,425	0,094	0,143	< 1	NR II / niv6-5	
6344-374	Maison 1	sol 6-096	Perle	Pierre	Roche verte	Complet	Discoïdale			0,436	0,105	0,152	< 1	NR II / niv6-5	
6344-375	Maison 1	sol 6-096	Perle	Pierre	Roche verte	Complet	Discoïdale			0,396	0,107	0,179	< 1	NR II / niv6-5	
6344-376	Maison 1	sol 6-096	Perle	Pierre	Roche verte	Complet	Discoïdale			0,443	0,132	0,140	< 1	NR II / niv6-5	
6344-377	Maison 1	sol 6-096	Perle	Pierre	Roche verte	Complet	Discoïdale			0,453	0,156	0,153	< 1	NR II / niv6-5	
6344-378	Maison 1	sol 6-096	Perle	Pierre	Roche verte	Complet	Discoïdale			0,484	0,151	0,203	< 1	NR II / niv6-5	
6344-379	Maison 1	sol 6-096	Perle	Pierre	Roche verte	Complet	Discoïdale			0,471	0,144	0,216	< 1	NR II / niv6-5	
6344-380	Maison 1	sol 6-096	Perle	Pierre	Roche verte	Complet	Discoïdale			0,488	0,078	0,192	< 1	NR II / niv6-5	
6344-381	Maison 1	sol 6-096	Perle	Pierre	Roche verte	Complet	Discoïdale			0,421	0,095	0,189	< 1	NR II / niv6-5	
6344-382	Maison 1	sol 6-096	Perle	Pierre	Roche verte	Complet	Discoïdale			0,453	0,140	0,199	< 1	NR II / niv6-5	
6344-383	Maison 1	sol 6-096	Perle	Pierre	Roche verte	Complet	Discoïdale			0,434	0,142	0,177	< 1	NR II / niv6-5	
6344-384	Maison 1	sol 6-096	Perle	Pierre	Roche verte	Complet	Discoïdale			0,485	0,099	0,184	< 1	NR II / niv6-5	
6344-385	Maison 1	sol 6-096	Perle	Pierre	Roche verte	Complet	Discoïdale			0,461	0,095	0,174	< 1	NR II / niv6-5	
6344-386	Maison 1	sol 6-096	Perle	Pierre	Roche verte	Complet	Discoïdale			0,437	0,167	0,186	< 1	NR II / niv6-5	

**Annexe 1**  
**Les pièces de parure de Dikili Tash**

*En italique les pièces non étudiées par Céline Choquet*

N° inventaire	Ensemble	Fait	Type	Matériau	Matériau détermination	Etat	Forme	Long. (en cm)	Larg. (en cm)	Diam. Max (en cm)	Ep. max. (en cm)	Diam perforation (en cm)	Poids (en gr)	Datation / Niveau	Fig.
6344-387	Maison 1	sol 6-096	Perle	Pierre	Roche verte	Complet	Discoïdale			0,407	0,072	0,155	< 1	NR II / niv6-5	
6344-388	Maison 1	sol 6-096	Perle	Pierre	Roche verte	Complet	Discoïdale			0,442	0,110	0,149	< 1	NR II / niv6-5	
6344-389	Maison 1	sol 6-096	Perle	Pierre	Roche verte	Complet	Discoïdale			0,469	0,075	0,187	< 1	NR II / niv6-5	
6344-390	Maison 1	sol 6-096	Perle	Pierre	Roche verte	Complet	Discoïdale			0,440	0,102	0,197	< 1	NR II / niv6-5	
6344-391	Maison 1	sol 6-096	Perle	Pierre	Roche verte	Complet	Discoïdale			0,439	0,098	0,188	< 1	NR II / niv6-5	
6344-392	Maison 1	sol 6-096	Perle	Pierre	Roche verte	Complet	Discoïdale			0,480	0,157	0,178	< 1	NR II / niv6-5	
6344-393	Maison 1	sol 6-096	Perle	Pierre	Roche verte	Complet	Discoïdale			0,409	0,116	0,195	< 1	NR II / niv6-5	
6344-394	Maison 1	sol 6-096	Perle	Pierre	Roche verte	Complet	Discoïdale			0,461	0,112	0,180	< 1	NR II / niv6-5	
6344-395	Maison 1	sol 6-096	Perle	Pierre	Roche verte	Complet	Discoïdale			0,396	0,132	0,192	< 1	NR II / niv6-5	
6344-396	Maison 1	sol 6-096	Perle	Pierre	Roche verte	Complet	Discoïdale			0,448	0,155	0,158	< 1	NR II / niv6-5	
6344-397	Maison 1	sol 6-096	Perle	Pierre	Roche verte	Complet	Discoïdale			0,445	0,111	0,181	< 1	NR II / niv6-5	
6344-398	Maison 1	sol 6-096	Perle	Pierre	Roche verte	Complet	Discoïdale			0,405	0,191	0,205	< 1	NR II / niv6-5	
6344-399	Maison 1	sol 6-096	Perle	Pierre	Roche verte	Complet	Discoïdale			0,457	0,113	0,170	< 1	NR II / niv6-5	
6344-400	Maison 1	sol 6-096	Perle	Pierre	Roche verte	Complet	Discoïdale			0,435	0,077	0,178	< 1	NR II / niv6-5	
6344-401	Maison 1	sol 6-096	Perle	Pierre	Roche verte	Complet	Discoïdale			0,432	0,108	0,163	< 1	NR II / niv6-5	
6344-402	Maison 1	sol 6-096	Perle	Pierre	Roche verte	Complet	Discoïdale			0,354	0,099	0,149	< 1	NR II / niv6-5	
6344-403	Maison 1	sol 6-096	Perle	Pierre	Roche verte	Complet	Discoïdale			0,411	0,076	0,171	< 1	NR II / niv6-5	
6344-404	Maison 1	sol 6-096	Perle	Pierre	Roche verte	Complet	Discoïdale			0,400	0,068	0,155	< 1	NR II / niv6-5	
6344-405	Maison 1	sol 6-096	Perle	Pierre	Roche verte	Complet	Discoïdale			0,452	0,138	0,149	< 1	NR II / niv6-5	
6344-406	Maison 1	sol 6-096	Perle	Pierre	Roche verte	Complet	Discoïdale			0,431	0,074	0,209	< 1	NR II / niv6-5	
6344-407	Maison 1	sol 6-096	Perle	Pierre	Roche verte	Complet	Discoïdale			0,407	0,119	0,192	< 1	NR II / niv6-5	
6344-408	Maison 1	sol 6-096	Perle	Pierre	Roche verte	Complet	Discoïdale			0,443	0,102	0,161	< 1	NR II / niv6-5	
6344-409	Maison 1	sol 6-096	Perle	Pierre	Roche verte	Complet	Discoïdale			0,374	0,082	0,165	< 1	NR II / niv6-5	
6344-410	Maison 1	sol 6-096	Perle	Pierre	Roche verte	Complet	Discoïdale			0,459	0,102	0,210	< 1	NR II / niv6-5	
6344-411	Maison 1	sol 6-096	Perle	Pierre	Roche verte	Complet	Discoïdale			0,448	0,116	0,187	< 1	NR II / niv6-5	
6344-412	Maison 1	sol 6-096	Perle	Pierre	Roche verte	Complet	Discoïdale			0,455	0,097	0,188	< 1	NR II / niv6-5	
6344-413	Maison 1	sol 6-096	Perle	Pierre	Roche verte	Complet	Discoïdale			0,435	0,078	0,183	< 1	NR II / niv6-5	
6344-414	Maison 1	sol 6-096	Perle	Pierre	Roche verte	Complet	Discoïdale			0,476	0,146	0,203	< 1	NR II / niv6-5	
6344-415	Maison 1	sol 6-096	Perle	Pierre	Roche verte	Complet	Discoïdale			0,469	0,120	0,149	< 1	NR II / niv6-5	
6344-416	Maison 1	sol 6-096	Perle	Pierre	Roche verte	Complet	Discoïdale			0,490	0,107	0,178	< 1	NR II / niv6-5	
6344-417	Maison 1	sol 6-096	Perle	Pierre	Roche verte	Complet	Discoïdale			0,450	0,093	0,150	< 1	NR II / niv6-5	
6344-418	Maison 1	sol 6-096	Perle	Pierre	Roche verte	Complet	Discoïdale			0,429	0,128	0,179	< 1	NR II / niv6-5	
6344-419	Maison 1	sol 6-096	Perle	Pierre	Roche verte	Complet	Discoïdale			0,456	0,112	0,183	< 1	NR II / niv6-5	

**Annexe 1**  
**Les pièces de parure de Dikili Tash**

*En italique les pièces non étudiées par Céline Choquet*

N° inventaire	Ensemble	Fait	Type	Matériau	Matériau détermination	Etat	Forme	Long. (en cm)	Larg. (en cm)	Diam. Max (en cm)	Ep. max. (en cm)	Diam perforation (en cm)	Poids (en gr)	Datation / Niveau	Fig.
6344-420	Maison 1	sol 6-096	Perle	Pierre	Roche verte	Complet	Discoïdale			0,478	0,088	0,191	< 1	NR II / niv6-5	
6344-421	Maison 1	sol 6-096	Perle	Pierre	Roche verte	Complet	Discoïdale			0,460	0,139	0,195	< 1	NR II / niv6-5	
6344-422	Maison 1	sol 6-096	Perle	Pierre	Roche verte	Complet	Discoïdale			0,455	0,099	0,163	< 1	NR II / niv6-5	
6344-423	Maison 1	sol 6-096	Perle	Pierre	Roche verte	Complet	Discoïdale			0,435	0,073	0,203	< 1	NR II / niv6-5	
6344-424	Maison 1	sol 6-096	Perle	Pierre	Roche verte	Complet	Discoïdale			0,480	0,086	0,200	< 1	NR II / niv6-5	
6344-425	Maison 1	sol 6-096	Perle	Pierre	Roche verte	Complet	Discoïdale			0,410	0,099	0,152	< 1	NR II / niv6-5	
6344-426	Maison 1	sol 6-096	Perle	Pierre	Roche verte	Complet	Discoïdale			0,420	0,097	0,142	< 1	NR II / niv6-5	
6344-427	Maison 1	sol 6-096	Perle	Pierre	Roche verte	Complet	Discoïdale			0,440	0,119	0,182	< 1	NR II / niv6-5	
6344-428	Maison 1	sol 6-096	Perle	Pierre	Roche verte	Complet	Discoïdale			0,479	0,085	0,189	< 1	NR II / niv6-5	
6344-429	Maison 1	sol 6-096	Perle	Pierre	Roche verte	Complet	Discoïdale			0,435	0,089	0,172	< 1	NR II / niv6-5	
6344-430	Maison 1	sol 6-096	Perle	Pierre	Roche verte	Complet	Discoïdale			0,439	0,098	0,143	< 1	NR II / niv6-5	
6344-431	Maison 1	sol 6-096	Perle	Pierre	Roche verte	Complet	Discoïdale			0,368	0,091	0,158	< 1	NR II / niv6-5	
6344-432	Maison 1	sol 6-096	Perle	Pierre	Roche verte	Complet	Discoïdale			0,456	0,123	0,160	< 1	NR II / niv6-5	
6344-433	Maison 1	sol 6-096	Perle	Pierre	Roche verte	Complet	Discoïdale			0,450	0,159	0,180	< 1	NR II / niv6-5	
6344-434	Maison 1	sol 6-096	Perle	Pierre	Roche verte	Complet	Discoïdale			0,448	0,154	0,187	< 1	NR II / niv6-5	
6344-435	Maison 1	sol 6-096	Perle	Pierre	Roche verte	Complet	Discoïdale			0,454	0,092	0,182	< 1	NR II / niv6-5	
6344-436	Maison 1	sol 6-096	Perle	Pierre	Roche verte	Complet	Discoïdale			0,448	0,176	0,193	< 1	NR II / niv6-5	
6344-437	Maison 1	sol 6-096	Perle	Pierre	Roche verte	Complet	Discoïdale			0,450	0,097	0,170	< 1	NR II / niv6-5	
6344-438	Maison 1	sol 6-096	Perle	Pierre	Roche verte	Complet	Discoïdale			0,430	0,166	0,165	< 1	NR II / niv6-5	
6344-439	Maison 1	sol 6-096	Perle	Pierre	Roche verte	Complet	Discoïdale			0,436	0,100	0,187	< 1	NR II / niv6-5	
6344-440	Maison 1	sol 6-096	Perle	Pierre	Roche verte	Complet	Discoïdale			0,430	0,086	0,199	< 1	NR II / niv6-5	
6344-441	Maison 1	sol 6-096	Perle	Pierre	Roche verte	Complet	Discoïdale			0,453	0,123	0,185	< 1	NR II / niv6-5	
6344-442	Maison 1	sol 6-096	Perle	Pierre	Roche verte	Complet	Discoïdale			0,452	0,104	0,184	< 1	NR II / niv6-5	
6344-443	Maison 1	sol 6-096	Perle	Pierre	Roche verte	Complet	Discoïdale			0,414	0,107	0,198	< 1	NR II / niv6-5	
6344-444	Maison 1	sol 6-096	Perle	Pierre	Roche verte	Complet	Discoïdale			0,428	0,088	0,184	< 1	NR II / niv6-5	
6344-445	Maison 1	sol 6-096	Perle	Pierre	Roche verte	Complet	Discoïdale			0,442	0,100	0,184	< 1	NR II / niv6-5	
6344-446	Maison 1	sol 6-096	Perle	Pierre	Roche verte	Complet	Discoïdale			0,405	0,079	0,160	< 1	NR II / niv6-5	
6344-447	Maison 1	sol 6-096	Perle	Pierre	Roche verte	Complet	Discoïdale			0,421	0,086	0,195	< 1	NR II / niv6-5	
6344-448	Maison 1	sol 6-096	Perle	Pierre	Roche verte	Complet	Discoïdale			0,423	0,092	0,200	< 1	NR II / niv6-5	
6344-449	Maison 1	sol 6-096	Perle	Pierre	Roche verte	Complet	Discoïdale			0,457	0,122	0,192	< 1	NR II / niv6-5	
6344-450	Maison 1	sol 6-096	Perle	Pierre	Roche verte	Complet	Discoïdale			0,471	0,175	0,199	< 1	NR II / niv6-5	
6344-451	Maison 1	sol 6-096	Perle	Pierre	Roche verte	Complet	Discoïdale			0,480	0,130	0,216	< 1	NR II / niv6-5	
6344-452	Maison 1	sol 6-096	Perle	Pierre	Roche verte	Complet	Discoïdale			0,417	0,106	0,182	< 1	NR II / niv6-5	

**Annexe 1**  
**Les pièces de parure de Dikili Tash**

*En italique les pièces non étudiées par Céline Choquet*

N° inventaire	Ensemble	Fait	Type	Matériau	Matériau détermination	Etat	Forme	Long. (en cm)	Larg. (en cm)	Diam. Max (en cm)	Ep. max. (en cm)	Diam perforation (en cm)	Poids (en gr)	Datation / Niveau	Fig.
6344-453	Maison 1	sol 6-096	Perle	Pierre	Roche verte	Complet	Discoïdale			0,413	0,156	0,161	< 1	NR II / niv6-5	
6344-454	Maison 1	sol 6-096	Perle	Pierre	Roche verte	Complet	Discoïdale			0,448	0,097	0,195	< 1	NR II / niv6-5	
6344-455	Maison 1	sol 6-096	Perle	Pierre	Roche verte	Complet	Discoïdale			0,454	0,106	0,204	< 1	NR II / niv6-5	
6344-456	Maison 1	sol 6-096	Perle	Pierre	Roche verte	Complet	Discoïdale			0,247	0,078	0,152	< 1	NR II / niv6-5	
6344-457	Maison 1	sol 6-096	Perle	Pierre	Roche verte	Complet	Discoïdale			0,439	0,072	0,190	< 1	NR II / niv6-5	
6344-458	Maison 1	sol 6-096	Perle	Pierre	Roche verte	Complet	Discoïdale			0,410	0,110	0,185	< 1	NR II / niv6-5	
6344-459	Maison 1	sol 6-096	Perle	Pierre	Roche verte	Complet	Discoïdale			0,417	0,106	0,158	< 1	NR II / niv6-5	
6344-460	Maison 1	sol 6-096	Perle	Pierre	Roche verte	Complet	Discoïdale			0,481	0,097	0,188	< 1	NR II / niv6-5	
6344-461	Maison 1	sol 6-096	Perle	Pierre	Roche verte	Complet	Discoïdale			0,418	0,106	0,200	< 1	NR II / niv6-5	
6344-462	Maison 1	sol 6-096	Perle	Pierre	Roche verte	Complet	Discoïdale			0,400	0,101	0,154	< 1	NR II / niv6-5	
6344-463	Maison 1	sol 6-096	Perle	Pierre	Roche verte	Complet	Discoïdale			0,374	0,070	0,174	< 1	NR II / niv6-5	
6344-464	Maison 1	sol 6-096	Perle	Pierre	Roche verte	Complet	Discoïdale			0,418	0,138	0,166	< 1	NR II / niv6-5	
6344-465	Maison 1	sol 6-096	Perle	Pierre	Roche verte	Complet	Discoïdale			0,430	0,063	0,186	< 1	NR II / niv6-5	
6344-466	Maison 1	sol 6-096	Perle	Pierre	Roche verte	Complet	Discoïdale			0,496	0,108	0,170	< 1	NR II / niv6-5	
6344-467	Maison 1	sol 6-096	Perle	Pierre	Roche verte	Complet	Discoïdale			0,460	0,129	0,178	< 1	NR II / niv6-5	
6344-468	Maison 1	sol 6-096	Perle	Pierre	Roche verte	Complet	Discoïdale			0,456	0,151	0,208	< 1	NR II / niv6-5	
6344-469	Maison 1	sol 6-096	Perle	Pierre	Roche verte	Complet	Discoïdale			0,466	0,099	0,191	< 1	NR II / niv6-5	
6344-470	Maison 1	sol 6-096	Perle	Pierre	Roche verte	Complet	Discoïdale			0,452	0,153	0,175	< 1	NR II / niv6-5	
6344-471	Maison 1	sol 6-096	Perle	Pierre	Roche verte	Complet	Discoïdale			0,435	0,060	0,178	< 1	NR II / niv6-5	
6344-472	Maison 1	sol 6-096	Perle	Pierre	Roche verte	Complet	Discoïdale			0,454	0,074	0,178	< 1	NR II / niv6-5	
6344-473	Maison 1	sol 6-096	Perle	Pierre	Roche verte	Complet	Discoïdale			0,474	0,174	0,169	< 1	NR II / niv6-5	
6344-474	Maison 1	sol 6-096	Perle	Pierre	Roche verte	Complet	Discoïdale			0,455	0,095	0,158	< 1	NR II / niv6-5	
6344-475	Maison 1	sol 6-096	Perle	Pierre	Roche verte	Complet	Discoïdale			0,443	0,070	0,171	< 1	NR II / niv6-5	
6344-476	Maison 1	sol 6-096	Perle	Pierre	Roche verte	Complet	Discoïdale			0,410	0,223	0,188	< 1	NR II / niv6-5	
6344-477	Maison 1	sol 6-096	Perle	Pierre	Roche verte	Complet	Discoïdale			0,491	0,121	0,171	< 1	NR II / niv6-5	
6344-478	Maison 1	sol 6-096	Perle	Pierre	Roche verte	Complet	Discoïdale			0,524	0,106	0,202	< 1	NR II / niv6-5	
6344-479	Maison 1	sol 6-096	Perle	Pierre	Roche verte	Complet	Discoïdale			0,425	0,067	0,167	< 1	NR II / niv6-5	
6344-480	Maison 1	sol 6-096	Perle	Pierre	Roche verte	Complet	Discoïdale			0,449	0,172	0,125	< 1	NR II / niv6-5	
6344-481	Maison 1	sol 6-096	Perle	Pierre	Roche verte	Complet	Discoïdale			0,422	0,126	0,178	< 1	NR II / niv6-5	
6344-482	Maison 1	sol 6-096	Perle	Pierre	Roche verte	Complet	Discoïdale			0,430	0,114	0,165	< 1	NR II / niv6-5	
6344-483	Maison 1	sol 6-096	Perle	Pierre	Roche verte	Complet	Discoïdale			0,441	0,136	0,180	< 1	NR II / niv6-5	
6344-484	Maison 1	sol 6-096	Perle	Pierre	Roche verte	Complet	Discoïdale			0,467	0,120	0,183	< 1	NR II / niv6-5	
6344-485	Maison 1	sol 6-096	Perle	Pierre	Roche verte	Complet	Discoïdale			0,447	0,128	0,166	< 1	NR II / niv6-5	

**Annexe 1**  
**Les pièces de parure de Dikili Tash**

*En italique les pièces non étudiées par Céline Choquet*

N° inventaire	Ensemble	Fait	Type	Matériau	Matériau détermination	Etat	Forme	Long. (en cm)	Larg. (en cm)	Diam. Max (en cm)	Ep. max. (en cm)	Diam perforation (en cm)	Poids (en gr)	Datation / Niveau	Fig.
6344-486	Maison 1	sol 6-096	Perle	Pierre	Roche verte	Complet	Discoïdale			0,430	0,156	0,182	< 1	NR II / niv6-5	
6344-487	Maison 1	sol 6-096	Perle	Pierre	Roche verte	Complet	Discoïdale			0,400	0,055	0,175	< 1	NR II / niv6-5	
6344-488	Maison 1	sol 6-096	Perle	Pierre	Roche verte	Complet	Discoïdale			0,462	0,095	0,181	< 1	NR II / niv6-5	
6344-489	Maison 1	sol 6-096	Perle	Pierre	Roche verte	Complet	Discoïdale			0,516	0,104	0,179	< 1	NR II / niv6-5	
6344-490	Maison 1	sol 6-096	Perle	Pierre	Roche verte	Complet	Discoïdale			0,453	0,096	0,163	< 1	NR II / niv6-5	
6344-491	Maison 1	sol 6-096	Perle	Pierre	Roche verte	Complet	Discoïdale			0,465	0,082	0,202	< 1	NR II / niv6-5	
6344-492	Maison 1	sol 6-096	Perle	Pierre	Roche verte	Complet	Discoïdale			0,502	0,120	0,192	< 1	NR II / niv6-5	
6344-493	Maison 1	sol 6-096	Perle	Pierre	Roche verte	Complet	Discoïdale			0,458	0,087	0,189	< 1	NR II / niv6-5	
6344-494	Maison 1	sol 6-096	Perle	Pierre	Roche verte	Complet	Discoïdale			0,484	0,107	0,177	< 1	NR II / niv6-5	
6344-495	Maison 1	sol 6-096	Perle	Pierre	Roche verte	Complet	Discoïdale			0,460	0,151	0,156	< 1	NR II / niv6-5	
6344-496	Maison 1	sol 6-096	Perle	Pierre	Roche verte	Complet	Discoïdale			0,420	0,101	0,161	< 1	NR II / niv6-5	
6344-497	Maison 1	sol 6-096	Perle	Pierre	Roche verte	Complet	Discoïdale			0,430	0,091	0,219	< 1	NR II / niv6-5	
6344-498	Maison 1	sol 6-096	Perle	Pierre	Roche verte	Complet	Discoïdale			0,425	0,116	0,144	< 1	NR II / niv6-5	
6344-499	Maison 1	sol 6-096	Perle	Pierre	Roche verte	Complet	Discoïdale			0,426	0,131	0,161	< 1	NR II / niv6-5	
6344-500	Maison 1	sol 6-096	Perle	Pierre	Roche verte	Complet	Discoïdale			0,425	0,100	0,125	< 1	NR II / niv6-5	
6344-501	Maison 1	sol 6-096	Perle	Pierre	Roche verte	Complet	Discoïdale			0,428	0,107	0,181	< 1	NR II / niv6-5	
6344-502	Maison 1	sol 6-096	Perle	Pierre	Roche verte	Complet	Discoïdale			0,425	0,103	0,158	< 1	NR II / niv6-5	
6344-503	Maison 1	sol 6-096	Perle	Pierre	Roche verte	Complet	Discoïdale			0,446	0,107	0,198	< 1	NR II / niv6-5	
6344-504	Maison 1	sol 6-096	Perle	Pierre	Roche verte	Complet	Discoïdale			0,406	0,117	0,178	< 1	NR II / niv6-5	
6344-505	Maison 1	sol 6-096	Perle	Pierre	Roche verte	Complet	Discoïdale			0,477	0,124	0,206	< 1	NR II / niv6-5	
6344-506	Maison 1	sol 6-096	Perle	Pierre	Roche verte	Complet	Discoïdale			0,449	0,136	0,149	< 1	NR II / niv6-5	
6344-507	Maison 1	sol 6-096	Perle	Pierre	Roche verte	Complet	Discoïdale			0,490	0,122	0,215	< 1	NR II / niv6-5	
6344-508	Maison 1	sol 6-096	Perle	Pierre	Roche verte	Complet	Discoïdale			0,405	0,106	0,181	< 1	NR II / niv6-5	
6344-509	Maison 1	sol 6-096	Perle	Pierre	Roche verte	Complet	Discoïdale			0,412	0,119	0,180	< 1	NR II / niv6-5	
6344-510	Maison 1	sol 6-096	Perle	Pierre	Roche verte	Complet	Discoïdale			0,439	0,179	0,178	< 1	NR II / niv6-5	
6344-511	Maison 1	sol 6-096	Perle	Pierre	Roche verte	Complet	Discoïdale			0,439	0,072	0,171	< 1	NR II / niv6-5	
6344-512	Maison 1	sol 6-096	Perle	Pierre	Roche verte	Complet	Discoïdale			0,420	0,073	0,211	< 1	NR II / niv6-5	
6344-513	Maison 1	sol 6-096	Perle	Pierre	Roche verte	Complet	Discoïdale			0,438	0,117	0,186	< 1	NR II / niv6-5	
6344-514	Maison 1	sol 6-096	Perle	Pierre	Roche verte	Complet	Discoïdale			0,400	0,114	0,154	< 1	NR II / niv6-5	
6344-515	Maison 1	sol 6-096	Perle	Pierre	Roche verte	Complet	Discoïdale			0,450	0,087	0,183	< 1	NR II / niv6-5	
6344-516	Maison 1	sol 6-096	Perle	Pierre	Roche verte	Complet	Discoïdale			0,439	0,132	0,209	< 1	NR II / niv6-5	
6344-517	Maison 1	sol 6-096	Perle	Pierre	Roche verte	Complet	Discoïdale			0,490	0,107	0,208	< 1	NR II / niv6-5	
6344-518	Maison 1	sol 6-096	Perle	Pierre	Roche verte	Complet	Discoïdale			0,460	0,082	0,154	< 1	NR II / niv6-5	

**Annexe 1**  
**Les pièces de parure de Dikili Tash**

*En italique les pièces non étudiées par Céline Choquet*

N° inventaire	Ensemble	Fait	Type	Matériau	Matériau détermination	Etat	Forme	Long. (en cm)	Larg. (en cm)	Diam. Max (en cm)	Ep. max. (en cm)	Diam perforation (en cm)	Poids (en gr)	Datation / Niveau	Fig.
6344-519	Maison 1	sol 6-096	Perle	Pierre	Roche verte	Complet	Discoïdale			0,481	0,085	0,254	< 1	NR II / niv6-5	
6344-520	Maison 1	sol 6-096	Perle	Pierre	Roche verte	Complet	Discoïdale			0,439	0,106	0,183	< 1	NR II / niv6-5	
6344-521	Maison 1	sol 6-096	Perle	Pierre	Roche verte	Complet	Discoïdale			0,487	0,128	0,166	< 1	NR II / niv6-5	
6344-522	Maison 1	sol 6-096	Perle	Pierre	Roche verte	Complet	Discoïdale			0,410	0,127	0,166	< 1	NR II / niv6-5	
6344-523	Maison 1	sol 6-096	Perle	Pierre	Roche verte	Complet	Discoïdale			0,451	0,118	0,201	< 1	NR II / niv6-5	
6344-524	Maison 1	sol 6-096	Perle	Pierre	Roche verte	Complet	Discoïdale			0,441	0,107	0,159	< 1	NR II / niv6-5	
6344-525	Maison 1	sol 6-096	Perle	Pierre	Roche verte	Complet	Discoïdale			0,477	0,105	0,234	< 1	NR II / niv6-5	
6344-526	Maison 1	sol 6-096	Perle	Pierre	Roche verte	Complet	Discoïdale			0,400	0,050	0,167	< 1	NR II / niv6-5	
6344-527	Maison 1	sol 6-096	Perle	Pierre	Roche verte	Complet	Discoïdale			0,428	0,076	0,173	< 1	NR II / niv6-5	
6344-528	Maison 1	sol 6-096	Perle	Pierre	Roche verte	Complet	Discoïdale			0,447	0,079	0,184	< 1	NR II / niv6-5	
6344-529	Maison 1	sol 6-096	Perle	Pierre	Roche verte	Complet	Discoïdale			0,490	0,073	0,204	< 1	NR II / niv6-5	
6344-530	Maison 1	sol 6-096	Perle	Pierre	Roche verte	Complet	Discoïdale			0,444	0,167	0,215	< 1	NR II / niv6-5	
6344-531	Maison 1	sol 6-096	Perle	Pierre	Roche verte	Complet	Discoïdale			0,452	0,126	0,151	< 1	NR II / niv6-5	
6344-532	Maison 1	sol 6-096	Perle	Pierre	Roche verte	Complet	Discoïdale			0,444	0,065	0,175	< 1	NR II / niv6-5	
6344-533	Maison 1	sol 6-096	Perle	Pierre	Roche verte	Complet	Discoïdale			0,425	0,113	0,167	< 1	NR II / niv6-5	
6344-534	Maison 1	sol 6-096	Perle	Pierre	Roche verte	Complet	Discoïdale			0,435	0,078	0,208	< 1	NR II / niv6-5	
6344-535	Maison 1	sol 6-096	Perle	Pierre	Roche verte	Complet	Discoïdale			0,418	0,076	0,185	< 1	NR II / niv6-5	
6344-536	Maison 1	sol 6-096	Perle	Pierre	Roche verte	Complet	Discoïdale			0,461	0,102	0,158	< 1	NR II / niv6-5	
6344-537	Maison 1	sol 6-096	Perle	Pierre	Roche verte	Complet	Discoïdale			0,420	0,122	0,163	< 1	NR II / niv6-5	
6344-538	Maison 1	sol 6-096	Perle	Pierre	Roche verte	Complet	Discoïdale			0,413	0,071	0,195	< 1	NR II / niv6-5	
6344-539	Maison 1	sol 6-096	Perle	Pierre	Roche verte	Complet	Discoïdale			0,412	0,130	0,163	< 1	NR II / niv6-5	
6344-540	Maison 1	sol 6-096	Perle	Pierre	Roche verte	Complet	Discoïdale			0,425	0,122	0,203	< 1	NR II / niv6-5	
6344-541	Maison 1	sol 6-096	Perle	Pierre	Roche verte	Complet	Discoïdale			0,491	0,177	0,206	< 1	NR II / niv6-5	
6344-542	Maison 1	sol 6-096	Perle	Pierre	Roche verte	Complet	Discoïdale			0,466	0,201	0,205	< 1	NR II / niv6-5	
6344-543	Maison 1	sol 6-096	Perle	Pierre	Roche verte	Complet	Discoïdale			0,446	0,124	0,180	< 1	NR II / niv6-5	
6344-545	Maison 1	sol 6-096	Perle	Pierre	Roche verte	Complet	Discoïdale			0,479	0,112	0,176	< 1	NR II / niv6-5	
6344-546	Maison 1	sol 6-096	Perle	Pierre	Roche verte	Complet	Discoïdale			0,397	0,096	0,185	< 1	NR II / niv6-5	
6344-547	Maison 1	sol 6-096	Perle	Pierre	Roche verte	Complet	Discoïdale			0,401	0,071	0,173	< 1	NR II / niv6-5	
6344-548	Maison 1	sol 6-096	Perle	Pierre	Roche verte	Complet	Discoïdale			0,415	0,071	0,159	< 1	NR II / niv6-5	
6344-549	Maison 1	sol 6-096	Perle	Pierre	Roche verte	Complet	Discoïdale			0,454	0,072	0,189	< 1	NR II / niv6-5	
6344-550	Maison 1	sol 6-096	Perle	Pierre	Roche verte	Complet	Discoïdale			0,449	0,092	0,190	< 1	NR II / niv6-5	
6344-551	Maison 1	sol 6-096	Perle	Pierre	Roche verte	Complet	Discoïdale			0,419	0,158	0,174	< 1	NR II / niv6-5	
6344-552	Maison 1	sol 6-096	Perle	Pierre	Roche verte	Complet	Discoïdale			0,396	0,105	0,206	< 1	NR II / niv6-5	

**Annexe 1**  
**Les pièces de parure de Dikili Tash**

*En italique les pièces non étudiées par Céline Choquet*

N° inventaire	Ensemble	Fait	Type	Matériau	Matériau détermination	Etat	Forme	Long. (en cm)	Larg. (en cm)	Diam. Max (en cm)	Ep. max. (en cm)	Diam perforation (en cm)	Poids (en gr)	Datation / Niveau	Fig.
6344-553	Maison 1	sol 6-096	Perle	Pierre	Roche verte	Complet	Discoïdale			0,491	0,159	0,239	< 1	NR II / niv6-5	
6344-554	Maison 1	sol 6-096	Perle	Pierre	Roche verte	Complet	Discoïdale			0,485	0,118	0,209	< 1	NR II / niv6-5	
6344-555	Maison 1	sol 6-096	Perle	Pierre	Roche verte	Complet	Discoïdale			0,415	0,180	0,167	< 1	NR II / niv6-5	
6344-556	Maison 1	sol 6-096	Perle	Pierre	Roche verte	Complet	Discoïdale			0,446	0,140	0,248	< 1	NR II / niv6-5	
6344-557	Maison 1	sol 6-096	Perle	Pierre	Roche verte	Complet	Discoïdale			0,443	0,112	0,185	< 1	NR II / niv6-5	
6344-558	Maison 1	sol 6-096	Perle	Pierre	Roche verte	Complet	Discoïdale			0,465	0,066	0,189	< 1	NR II / niv6-5	
6344-559	Maison 1	sol 6-096	Perle	Pierre	Roche verte	Complet	Discoïdale			0,450	0,131	0,156	< 1	NR II / niv6-5	
6344-560	Maison 1	sol 6-096	Perle	Pierre	Roche verte	Complet	Discoïdale			0,471	0,125	0,183	< 1	NR II / niv6-5	
6344-561	Maison 1	sol 6-096	Perle	Pierre	Roche verte	Complet	Discoïdale			0,449	0,108	0,186	< 1	NR II / niv6-5	
6344-562	Maison 1	sol 6-096	Perle	Pierre	Roche verte	Complet	Discoïdale			0,471	0,108	0,172	< 1	NR II / niv6-5	
6344-563	Maison 1	sol 6-096	Perle	Pierre	Roche verte	Complet	Discoïdale			0,449	0,095	0,170	< 1	NR II / niv6-5	
6344-564	Maison 1	sol 6-096	Perle	Pierre	Roche verte	Complet	Discoïdale			0,469	0,146	0,191	< 1	NR II / niv6-5	
6344-565	Maison 1	sol 6-096	Perle	Pierre	Roche verte	Complet	Discoïdale			0,446	0,100	0,165	< 1	NR II / niv6-5	
6344-566	Maison 1	sol 6-096	Perle	Pierre	Roche verte	Complet	Discoïdale			0,456	0,116	0,177	< 1	NR II / niv6-5	
6344-567	Maison 1	sol 6-096	Perle	Pierre	Roche verte	Complet	Discoïdale			0,441	0,119	0,157	< 1	NR II / niv6-5	
6344-568	Maison 1	sol 6-096	Perle	Pierre	Roche verte	Complet	Discoïdale			0,482	0,087	0,192	< 1	NR II / niv6-5	
6344-569	Maison 1	sol 6-096	Perle	Pierre	Roche verte	Complet	Discoïdale			0,450	0,080	0,187	< 1	NR II / niv6-5	
6344-570	Maison 1	sol 6-096	Perle	Pierre	Roche verte	Complet	Discoïdale			0,460	0,117	0,193	< 1	NR II / niv6-5	
6344-571	Maison 1	sol 6-096	Perle	Pierre	Roche verte	Complet	Discoïdale			0,484	0,157	0,149	< 1	NR II / niv6-5	
6344-572	Maison 1	sol 6-096	Perle	Pierre	Roche verte	Complet	Discoïdale			0,416	0,079	0,190	< 1	NR II / niv6-5	
6344-573	Maison 1	sol 6-096	Perle	Pierre	Roche verte	Complet	Discoïdale			0,494	0,152	0,185	< 1	NR II / niv6-5	
6344-574	Maison 1	sol 6-096	Perle	Pierre	Roche verte	Complet	Discoïdale			0,413	0,124	0,169	< 1	NR II / niv6-5	
6344-575	Maison 1	sol 6-096	Perle	Pierre	Roche verte	Complet	Discoïdale			0,453	0,114	0,167	< 1	NR II / niv6-5	
6344-576	Maison 1	sol 6-096	Perle	Pierre	Roche verte	Complet	Discoïdale			0,487	0,126	0,134	< 1	NR II / niv6-5	
6344-577	Maison 1	sol 6-096	Perle	Pierre	Roche verte	Complet	Discoïdale			0,464	0,074	0,182	< 1	NR II / niv6-5	
6344-578	Maison 1	sol 6-096	Perle	Pierre	Roche verte	Complet	Discoïdale			0,461	0,127	0,183	< 1	NR II / niv6-5	
6344-579	Maison 1	sol 6-096	Perle	Pierre	Roche verte	Complet	Discoïdale			0,445	0,134	0,153	< 1	NR II / niv6-5	
6344-580	Maison 1	sol 6-096	Perle	Pierre	Roche verte	Complet	Discoïdale			0,471	0,103	0,195	< 1	NR II / niv6-5	
6344-581	Maison 1	sol 6-096	Perle	Pierre	Roche verte	Complet	Discoïdale			0,438	0,086	0,154	< 1	NR II / niv6-5	
6344-582	Maison 1	sol 6-096	Perle	Pierre	Roche verte	Complet	Discoïdale			0,453	0,136	0,187	< 1	NR II / niv6-5	
6344-583	Maison 1	sol 6-096	Perle	Pierre	Roche verte	Complet	Discoïdale			0,439	0,090	0,227	< 1	NR II / niv6-5	
6344-584	Maison 1	sol 6-096	Perle	Pierre	Roche verte	Complet	Discoïdale			0,439	0,114	0,212	< 1	NR II / niv6-5	
6344-585	Maison 1	sol 6-096	Perle	Pierre	Roche verte	Complet	Discoïdale			0,430	0,100	0,195	< 1	NR II / niv6-5	

**Annexe 1**  
**Les pièces de parure de Dikili Tash**

*En italique les pièces non étudiées par Céline Choquet*

N° inventaire	Ensemble	Fait	Type	Matériau	Matériau détermination	Etat	Forme	Long. (en cm)	Larg. (en cm)	Diam. Max (en cm)	Ep. max. (en cm)	Diam perforation (en cm)	Poids (en gr)	Datation / Niveau	Fig.
6344-586	Maison 1	sol 6-096	Perle	Pierre	Roche verte	Complet	Discoïdale			0,486	0,130	0,209	< 1	NR II / niv6-5	
6344-587	Maison 1	sol 6-096	Perle	Pierre	Roche verte	Complet	Discoïdale			0,493	0,181	0,192	< 1	NR II / niv6-5	
6344-588	Maison 1	sol 6-096	Perle	Pierre	Roche verte	Complet	Discoïdale			0,436	0,152	0,189	< 1	NR II / niv6-5	
6344-589	Maison 1	sol 6-096	Perle	Pierre	Roche verte	Complet	Discoïdale			0,451	0,123	0,148	< 1	NR II / niv6-5	
6344-590	Maison 1	sol 6-096	Perle	Pierre	Roche verte	Complet	Discoïdale			0,441	0,151	0,193	< 1	NR II / niv6-5	
6344-591	Maison 1	sol 6-096	Perle	Pierre	Roche verte	Complet	Discoïdale			0,467	0,188	0,210	< 1	NR II / niv6-5	
6344-592	Maison 1	sol 6-096	Perle	Pierre	Roche verte	Complet	Discoïdale			0,457	0,097	0,161	< 1	NR II / niv6-5	
6344-593	Maison 1	sol 6-096	Perle	Pierre	Roche verte	Complet	Discoïdale			0,408	0,070	0,177	< 1	NR II / niv6-5	
6344-594	Maison 1	sol 6-096	Perle	Pierre	Roche verte	Complet	Discoïdale			0,482	0,112	0,169	< 1	NR II / niv6-5	
6344-595	Maison 1	sol 6-096	Perle	Pierre	Roche verte	Complet	Discoïdale			0,446	0,076	0,211	< 1	NR II / niv6-5	
6344-596	Maison 1	sol 6-096	Perle	Pierre	Roche verte	Complet	Discoïdale			0,486	0,119	0,169	< 1	NR II / niv6-5	
6344-597	Maison 1	sol 6-096	Perle	Pierre	Roche verte	Complet	Discoïdale			0,452	0,125	0,182	< 1	NR II / niv6-5	
6344-598	Maison 1	sol 6-096	Perle	Pierre	Roche verte	Complet	Discoïdale			0,478	0,081	0,199	< 1	NR II / niv6-5	
6344-599	Maison 1	sol 6-096	Perle	Pierre	Roche verte	Complet	Discoïdale			0,411	0,135	0,170	< 1	NR II / niv6-5	
6344-600	Maison 1	sol 6-096	Perle	Pierre	Roche verte	Complet	Discoïdale			0,439	0,126	0,165	< 1	NR II / niv6-5	
6344-601	Maison 1	sol 6-096	Perle	Pierre	Roche verte	Complet	Discoïdale			0,424	0,098	0,141	< 1	NR II / niv6-5	
6344-602	Maison 1	sol 6-096	Perle	Pierre	Roche verte	Complet	Discoïdale			0,433	0,072	0,198	< 1	NR II / niv6-5	
6344-603	Maison 1	sol 6-096	Perle	Pierre	Roche verte	Complet	Discoïdale			0,428	0,081	0,186	< 1	NR II / niv6-5	
6344-604	Maison 1	sol 6-096	Perle	Pierre	Roche verte	Complet	Discoïdale			0,445	0,133	0,224	< 1	NR II / niv6-5	
6344-605	Maison 1	sol 6-096	Perle	Pierre	Roche verte	Complet	Discoïdale			0,451	0,117	0,165	< 1	NR II / niv6-5	
6344-606	Maison 1	sol 6-096	Perle	Pierre	Roche verte	Complet	Discoïdale			0,408	0,085	0,205	< 1	NR II / niv6-5	
6344-607	Maison 1	sol 6-096	Perle	Pierre	Roche verte	Complet	Discoïdale			0,454	0,099	0,220	< 1	NR II / niv6-5	
6344-608	Maison 1	sol 6-096	Perle	Pierre	Roche verte	Complet	Discoïdale			0,447	0,084	0,207	< 1	NR II / niv6-5	
6344-609	Maison 1	sol 6-096	Perle	Pierre	Roche verte	Complet	Discoïdale			0,447	0,103	0,216	< 1	NR II / niv6-5	
6344-610	Maison 1	sol 6-096	Perle	Pierre	Roche verte	Complet	Discoïdale			0,532	0,121	0,201	< 1	NR II / niv6-5	
6344-611	Maison 1	sol 6-096	Perle	Pierre	Roche verte	Complet	Discoïdale			0,417	0,152	0,176	< 1	NR II / niv6-5	
6344-612	Maison 1	sol 6-096	Perle	Pierre	Roche verte	Complet	Discoïdale			0,413	0,159	0,188	< 1	NR II / niv6-5	
6344-613	Maison 1	sol 6-096	Perle	Pierre	Roche verte	Complet	Discoïdale			0,473	0,151	0,200	< 1	NR II / niv6-5	
6344-614	Maison 1	sol 6-096	Perle	Pierre	Roche verte	Complet	Discoïdale			0,432	0,079	0,191	< 1	NR II / niv6-5	
6344-615	Maison 1	sol 6-096	Perle	Pierre	Roche verte	Complet	Discoïdale			0,420	0,174	0,206	< 1	NR II / niv6-5	
6344-616	Maison 1	sol 6-096	Perle	Pierre	Roche verte	Complet	Discoïdale			0,470	0,110	0,192	< 1	NR II / niv6-5	
6344-617	Maison 1	sol 6-096	Perle	Pierre	Roche verte	Complet	Discoïdale			0,466	0,089	0,195	< 1	NR II / niv6-5	
6344-618	Maison 1	sol 6-096	Perle	Pierre	Roche verte	Complet	Discoïdale			0,383	0,109	0,191	< 1	NR II / niv6-5	

**Annexe 1**  
**Les pièces de parure de Dikili Tash**

*En italique les pièces non étudiées par Céline Choquet*

N° inventaire	Ensemble	Fait	Type	Matériau	Matériau détermination	Etat	Forme	Long. (en cm)	Larg. (en cm)	Diam. Max (en cm)	Ep. max. (en cm)	Diam perforation (en cm)	Poids (en gr)	Datation / Niveau	Fig.
6344-619	Maison 1	sol 6-096	Perle	Pierre	Roche verte	Complet	Discoïdale			0,438	0,088	0,180	< 1	NR II / niv6-5	
6344-620	Maison 1	sol 6-096	Perle	Pierre	Roche verte	Complet	Discoïdale			0,427	0,080	0,191	< 1	NR II / niv6-5	
6344-621	Maison 1	sol 6-096	Perle	Pierre	Roche verte	Complet	Discoïdale			0,432	0,099	0,177	< 1	NR II / niv6-5	
6344-622	Maison 1	sol 6-096	Perle	Pierre	Roche verte	Complet	Discoïdale			0,457	0,120	0,205	< 1	NR II / niv6-5	
6344-623	Maison 1	sol 6-096	Perle	Pierre	Roche verte	Complet	Discoïdale			0,455	0,113	0,167	< 1	NR II / niv6-5	
6344-624	Maison 1	sol 6-096	Perle	Pierre	Roche verte	Complet	Discoïdale			0,461	0,095	0,197	< 1	NR II / niv6-5	
6344-625	Maison 1	sol 6-096	Perle	Pierre	Roche verte	Complet	Discoïdale			0,431	0,115	0,150	< 1	NR II / niv6-5	
6344-626	Maison 1	sol 6-096	Perle	Pierre	Roche verte	Complet	Discoïdale			0,426	0,073	0,185	< 1	NR II / niv6-5	
6344-627	Maison 1	sol 6-096	Perle	Pierre	Roche verte	Complet	Discoïdale			0,468	0,131	0,173	< 1	NR II / niv6-5	
6344-628	Maison 1	sol 6-096	Perle	Pierre	Roche verte	Complet	Discoïdale			0,476	0,145	0,171	< 1	NR II / niv6-5	
6344-629	Maison 1	sol 6-096	Perle	Pierre	Roche verte	Complet	Discoïdale			0,426	0,111	0,199	< 1	NR II / niv6-5	
6344-630	Maison 1	sol 6-096	Perle	Pierre	Roche verte	Complet	Discoïdale			0,453	0,057	0,200	< 1	NR II / niv6-5	
6344-631	Maison 1	sol 6-096	Perle	Pierre	Roche verte	Complet	Discoïdale			0,452	0,106	0,170	< 1	NR II / niv6-5	
6344-632	Maison 1	sol 6-096	Perle	Pierre	Roche verte	Complet	Discoïdale			0,440	0,103	0,120	< 1	NR II / niv6-5	
6344-633	Maison 1	sol 6-096	Perle	Pierre	Roche verte	Complet	Discoïdale			0,423	0,152	0,171	< 1	NR II / niv6-5	
6344-634	Maison 1	sol 6-096	Perle	Pierre	Roche verte	Complet	Discoïdale			0,424	0,087	0,176	< 1	NR II / niv6-5	
6344-635	Maison 1	sol 6-096	Perle	Pierre	Roche verte	Complet	Discoïdale			0,648	0,080	0,221	< 1	NR II / niv6-5	
6344-636	Maison 1	sol 6-096	Perle	Pierre	Roche verte	Complet	Discoïdale			0,665	0,113	0,229	< 1	NR II / niv6-5	
6344-637	Maison 1	sol 6-096	Perle	Pierre	Roche verte	Complet	Discoïdale			0,627	0,082	0,221	< 1	NR II / niv6-5	
6344-638	Maison 1	sol 6-096	Perle	Pierre	Roche verte	Complet	Discoïdale			0,668	0,090	0,228	< 1	NR II / niv6-5	
6344-639	Maison 1	sol 6-096	Perle	Pierre	Roche verte	Complet	Discoïdale			0,660	0,094	0,216	< 1	NR II / niv6-5	
6344-640	Maison 1	sol 6-096	Perle	Pierre	Roche verte	Complet	Discoïdale			0,651	0,070	0,224	< 1	NR II / niv6-5	
6344-641	Maison 1	sol 6-096	Perle	Pierre	Roche verte	Complet	Discoïdale			0,654	0,102	0,225	< 1	NR II / niv6-5	
6344-642	Maison 1	sol 6-096	Perle	Pierre	Roche verte	Complet	Discoïdale			0,618	0,138	0,240	< 1	NR II / niv6-5	
6344-643	Maison 1	sol 6-096	Perle	Pierre	Roche verte	Complet	Discoïdale			0,657	0,083	0,227	< 1	NR II / niv6-5	
6344-644	Maison 1	sol 6-096	Perle	Pierre	Roche verte	Complet	Discoïdale			0,655	0,106	0,219	< 1	NR II / niv6-5	
6344-645	Maison 1	sol 6-096	Perle	Pierre	Roche verte	Complet	Discoïdale			0,682	0,100	0,192	< 1	NR II / niv6-5	
6344-646	Maison 1	sol 6-096	Perle	Pierre	Roche verte	Complet	Discoïdale			0,632	0,111	0,212	< 1	NR II / niv6-5	
6344-647	Maison 1	sol 6-096	Perle	Pierre	Roche verte	Complet	Discoïdale			0,666	0,082	0,224	< 1	NR II / niv6-5	
6344-648	Maison 1	sol 6-096	Perle	Pierre	Roche verte	Complet	Discoïdale			0,652	0,104	0,223	< 1	NR II / niv6-5	
6344-649	Maison 1	sol 6-096	Perle	Pierre	Roche verte	Complet	Discoïdale			0,643	0,111	0,220	< 1	NR II / niv6-5	
6344-650	Maison 1	sol 6-096	Perle	Pierre	Roche verte	Complet	Discoïdale			0,609	0,062	0,232	< 1	NR II / niv6-5	
6344-651	Maison 1	sol 6-096	Perle	Pierre	Roche verte	Complet	Discoïdale			0,647	0,112	0,223	< 1	NR II / niv6-5	

**Annexe 1**  
**Les pièces de parure de Dikili Tash**

*En italique les pièces non étudiées par Céline Choquet*

N° inventaire	Ensemble	Fait	Type	Matériau	Matériau détermination	Etat	Forme	Long. (en cm)	Larg. (en cm)	Diam. Max (en cm)	Ep. max. (en cm)	Diam perforation (en cm)	Poids (en gr)	Datation / Niveau	Fig.
6344-652	Maison 1	sol 6-096	Perle	Pierre	Roche verte	Complet	Discoïdale			0,650	0,107	0,235	< 1	NR II / niv6-5	
6344-653	Maison 1	sol 6-096	Perle	Pierre	Roche verte	Complet	Discoïdale			0,650	0,100	0,233	< 1	NR II / niv6-5	
6344-654	Maison 1	sol 6-096	Perle	Pierre	Roche verte	Complet	Discoïdale			0,501	0,151	0,195	< 1	NR II / niv6-5	
6344-655	Maison 1	sol 6-096	Perle	Pierre	Roche verte	Complet	Discoïdale			0,540	0,132	0,196	< 1	NR II / niv6-5	
6344-656	Maison 1	sol 6-096	Perle	Pierre	Roche verte	Complet	Discoïdale			0,514	0,134	0,215	< 1	NR II / niv6-5	
6344-657	Maison 1	sol 6-096	Perle	Pierre	Roche verte	Complet	Discoïdale			0,490	0,102	0,172	< 1	NR II / niv6-5	
6344-658	Maison 1	sol 6-096	Perle	Pierre	Roche verte	Complet	Discoïdale			0,507	0,130	0,152	< 1	NR II / niv6-5	
6344-659	Maison 1	sol 6-096	Perle	Pierre	Roche verte	Complet	Discoïdale			0,528	0,062	0,222	< 1	NR II / niv6-5	
6344-660	Maison 1	sol 6-096	Perle	Pierre	Roche verte	Complet	Discoïdale			0,532	0,100	0,187	< 1	NR II / niv6-5	
6344-661	Maison 1	sol 6-096	Perle	Pierre	Roche verte	Complet	Discoïdale			0,514	0,132	0,191	< 1	NR II / niv6-5	
6344-662	Maison 1	sol 6-096	Perle	Pierre	Roche verte	Complet	Discoïdale			0,529	0,119	0,211	< 1	NR II / niv6-5	
6344-663	Maison 1	sol 6-096	Perle	Pierre	Roche verte	Complet	Discoïdale			0,530	0,133	0,166	< 1	NR II / niv6-5	
6344-664	Maison 1	sol 6-096	Perle	Pierre	Roche verte	Complet	Discoïdale			0,534	0,184	0,210	< 1	NR II / niv6-5	
6344-665	Maison 1	sol 6-096	Perle	Pierre	Roche verte	Complet	Discoïdale			0,511	0,110	0,187	< 1	NR II / niv6-5	
6344-666	Maison 1	sol 6-096	Perle	Pierre	Roche verte	Complet	Discoïdale			0,519	0,106	0,237	< 1	NR II / niv6-5	
6344-667	Maison 1	sol 6-096	Perle	Pierre	Roche verte	Complet	Discoïdale			0,548	0,128	0,180	< 1	NR II / niv6-5	
6344-668	Maison 1	sol 6-096	Perle	Pierre	Roche verte	Complet	Discoïdale			0,543	0,106	0,184	< 1	NR II / niv6-5	
6344-669	Maison 1	sol 6-096	Perle	Pierre	Roche verte	Complet	Discoïdale			0,500	0,115	0,193	< 1	NR II / niv6-5	
6344-670	Maison 1	sol 6-096	Perle	Pierre	Roche verte	Complet	Discoïdale			0,548	0,116	0,206	< 1	NR II / niv6-5	
6344-671	Maison 1	sol 6-096	Perle	Pierre	Roche verte	Complet	Discoïdale			0,525	0,075	0,194	< 1	NR II / niv6-5	
6344-672	Maison 1	sol 6-096	Perle	Pierre	Roche verte	Complet	Discoïdale			0,529	0,128	0,184	< 1	NR II / niv6-5	
6344-673	Maison 1	sol 6-096	Perle	Pierre	Roche verte	Complet	Discoïdale			0,496	0,181	0,186	< 1	NR II / niv6-5	
6344-674	Maison 1	sol 6-096	Perle	Pierre	Roche verte	Complet	Discoïdale			0,507	0,116	0,165	< 1	NR II / niv6-5	
6344-675	Maison 1	sol 6-096	Perle	Pierre	Roche verte	Complet	Discoïdale			0,532	0,165	0,184	< 1	NR II / niv6-5	
6344-676	Maison 1	sol 6-096	Perle	Pierre	Roche verte	Complet	Discoïdale			0,505	0,127	0,188	< 1	NR II / niv6-5	
6344-677	Maison 1	sol 6-096	Perle	Pierre	Roche verte	Complet	Discoïdale			0,502	0,134	0,171	< 1	NR II / niv6-5	
6344-678	Maison 1	sol 6-096	Perle	Pierre	Roche verte	Complet	Discoïdale			0,493	0,086	0,204	< 1	NR II / niv6-5	
6344-679	Maison 1	sol 6-096	Perle	Pierre	Roche verte	Complet	Discoïdale			0,526	0,098	0,184	< 1	NR II / niv6-5	
6344-680	Maison 1	sol 6-096	Perle	Pierre	Roche verte	Complet	Discoïdale			0,522	0,109	0,199	< 1	NR II / niv6-5	
6344-681	Maison 1	sol 6-096	Perle	Pierre	Roche verte	Complet	Discoïdale			0,505	0,123	0,206	< 1	NR II / niv6-5	
6344-682	Maison 1	sol 6-096	Perle	Pierre	Roche verte	Complet	Discoïdale			0,493	0,112	0,226	< 1	NR II / niv6-5	
6344-683	Maison 1	sol 6-096	Perle	Pierre	Roche verte	Complet	Discoïdale			0,542	0,106	0,194	< 1	NR II / niv6-5	
6344-684	Maison 1	sol 6-096	Perle	Pierre	Roche verte	Complet	Discoïdale			0,525	0,134	0,222	< 1	NR II / niv6-5	

**Annexe 1**  
**Les pièces de parure de Dikili Tash**

*En italique les pièces non étudiées par Céline Choquet*

N° inventaire	Ensemble	Fait	Type	Matériau	Matériau détermination	Etat	Forme	Long. (en cm)	Larg. (en cm)	Diam. Max (en cm)	Ep. max. (en cm)	Diam perforation (en cm)	Poids (en gr)	Datation / Niveau	Fig.
6344-685	Maison 1	sol 6-096	Perle	Pierre	Roche verte	Complet	Discoïdale			0,503	0,102	0,165	< 1	NR II / niv6-5	
6344-686	Maison 1	sol 6-096	Perle	Pierre	Roche verte	Complet	Discoïdale			0,499	0,094	0,191	< 1	NR II / niv6-5	
6344-687	Maison 1	sol 6-096	Perle	Pierre	Roche verte	Complet	Discoïdale			0,501	0,110	0,169	< 1	NR II / niv6-5	
6344-688	Maison 1	sol 6-096	Perle	Pierre	Roche verte	Complet	Discoïdale			0,494	0,110	0,205	< 1	NR II / niv6-5	
6344-689	Maison 1	sol 6-096	Perle	Pierre	Roche verte	Complet	Discoïdale			0,545	0,115	0,182	< 1	NR II / niv6-5	
6344-690	Maison 1	sol 6-096	Perle	Pierre	Roche verte	Complet	Discoïdale			0,531	0,128	0,185	< 1	NR II / niv6-5	
6344-691	Maison 1	sol 6-096	Perle	Pierre	Roche verte	Complet	Discoïdale			0,513	0,142	0,194	< 1	NR II / niv6-5	
6344-692	Maison 1	sol 6-096	Perle	Pierre	Roche verte	Complet	Discoïdale			0,540	0,123	0,193	< 1	NR II / niv6-5	
6344-693	Maison 1	sol 6-096	Perle	Pierre	Roche verte	Complet	Discoïdale			0,537	0,095	0,216	< 1	NR II / niv6-5	
6344-694	Maison 1	sol 6-096	Perle	Pierre	Roche verte	Complet	Discoïdale			0,489	0,111	0,220	< 1	NR II / niv6-5	
6344-695	Maison 1	sol 6-096	Perle	Pierre	Roche verte	Complet	Discoïdale			0,503	0,151	0,158	< 1	NR II / niv6-5	
6344-696	Maison 1	sol 6-096	Perle	Pierre	Roche verte	Complet	Discoïdale			0,536	0,094	0,190	< 1	NR II / niv6-5	
6344-697	Maison 1	sol 6-096	Perle	Pierre	Roche verte	Complet	Discoïdale			0,531	0,115	0,167	< 1	NR II / niv6-5	
6344-698	Maison 1	sol 6-096	Perle	Pierre	Roche verte	Complet	Discoïdale			0,543	0,063	0,207	< 1	NR II / niv6-5	
6344-699	Maison 1	sol 6-096	Perle	Pierre	Roche verte	Complet	Discoïdale			0,504	0,132	0,204	< 1	NR II / niv6-5	
6344-700	Maison 1	sol 6-096	Perle	Pierre	Roche verte	Complet	Discoïdale			0,497	0,120	0,174	< 1	NR II / niv6-5	
6344-701	Maison 1	sol 6-096	Perle	Pierre	Roche verte	Complet	Discoïdale			0,494	0,084	0,152	< 1	NR II / niv6-5	
6344-702	Maison 1	sol 6-096	Perle	Pierre	Roche verte	Complet	Discoïdale			0,477	0,152	0,163	< 1	NR II / niv6-5	
6344-703	Maison 1	sol 6-096	Perle	Pierre	Roche verte	Complet	Discoïdale			0,536	0,093	0,197	< 1	NR II / niv6-5	
6344-704	Maison 1	sol 6-096	Perle	Pierre	Roche verte	Complet	Discoïdale			0,491	0,122	0,158	< 1	NR II / niv6-5	
6344-705	Maison 1	sol 6-096	Perle	Pierre	Roche verte	Complet	Discoïdale			0,531	0,111	0,196	< 1	NR II / niv6-5	
6344-706	Maison 1	sol 6-096	Perle	Pierre	Roche verte	Complet	Discoïdale			0,501	0,150	0,206	< 1	NR II / niv6-5	
6344-707	Maison 1	sol 6-096	Perle	Pierre	Roche verte	Complet	Discoïdale			0,541	0,107	0,189	< 1	NR II / niv6-5	
6344-708	Maison 1	sol 6-096	Perle	Pierre	Roche verte	Complet	Discoïdale			0,500	0,109	0,224	< 1	NR II / niv6-5	
6344-709	Maison 1	sol 6-096	Perle	Pierre	Roche verte	Complet	Discoïdale			0,727	0,075	0,244	< 1	NR II / niv6-5	
6344-710	Maison 1	sol 6-096	Perle	Pierre	Indéterminé	Complet	biconique			0,381	0,208	0,146	< 1	NR II / niv6-5	
6344-711	Maison 1	sol 6-096	Perle	Pierre	Indéterminé	Complet	Discoïdale			0,524	0,190	0,142	< 1	NR II / niv6-5	
6344-712	Maison 1	sol 6-096	Perle	Pierre	Roche verte	Complet	Discoïdale			0,523	0,151	0,195	< 1	NR II / niv6-5	
6344-713	Maison 1	sol 6-096	Perle	Pierre	Roche verte	Complet	Discoïdale			0,370	0,092	0,201	< 1	NR II / niv6-5	
6344-714	Maison 1	sol 6-096	Perle	Pierre	Roche verte	Complet	Quadrangulaire			0,420	0,083	0,152	< 1	NR II / niv6-5	
6344-715	Maison 1	sol 6-096	Perle	Pierre	Roche verte	Complet	Discoïdale			0,386	0,077	0,159	< 1	NR II / niv6-5	
6344-716	Maison 1	sol 6-096	Perle	Pierre	Roche verte	Complet	Quadrangulaire			0,381	0,087	0,159	< 1	NR II / niv6-5	

**Annexe 1**  
**Les pièces de parure de Dikili Tash**

*En italique les pièces non étudiées par Céline Choquet*

N° inventaire	Ensemble	Fait	Type	Matériau	Matériau détermination	Etat	Forme	Long. (en cm)	Larg. (en cm)	Diam. Max (en cm)	Ep. max. (en cm)	Diam perforation (en cm)	Poids (en gr)	Datation / Niveau	Fig.
6344-717	Maison 1	sol 6-096	Perle	Pierre	Roche verte	Complet	Quadrangulaire			0,421	0,075	0,206	< 1	NR II / niv6-5	
6344-718	Maison 1	sol 6-096	Perle	Pierre	Roche verte	Complet	Quadrangulaire			0,403	0,141	0,186	< 1	NR II / niv6-5	
6344-719	Maison 1	sol 6-096	Perle	Pierre	Roche verte	Complet	Quadrangulaire			0,368	0,079	0,165	< 1	NR II / niv6-5	
6344-720	Maison 1	sol 6-096	Perle	Pierre	Roche verte	Complet	Discoïdale			0,407	0,096	0,180	< 1	NR II / niv6-5	
6344-721	Maison 1	sol 6-096	Perle	Pierre	Roche verte	Complet	Discoïdale			0,431	0,161	0,175	< 1	NR II / niv6-5	
6344-722	Maison 1	sol 6-096	Perle	Pierre	Roche verte	Complet	Quadrangulaire			0,392	0,094	0,204	< 1	NR II / niv6-5	
6344-723	Maison 1	sol 6-096	Perle	Pierre	Roche verte	Complet	Discoïdale			0,413	0,109	0,169	< 1	NR II / niv6-5	
6344-724	Maison 1	sol 6-096	Perle	Pierre	Roche verte	Complet	Discoïdale			0,415	0,091	0,206	< 1	NR II / niv6-5	
6344-725	Maison 1	sol 6-096	Perle	Pierre	Roche verte	Complet	Discoïdale			0,461	0,092	0,205	< 1	NR II / niv6-5	
6344-726	Maison 1	sol 6-096	Perle	Pierre	Roche verte	Complet	Discoïdale			0,438	0,114	0,182	< 1	NR II / niv6-5	
6344-727	Maison 1	sol 6-096	Perle	Pierre	Roche verte	Complet	Discoïdale			0,413	0,113	0,178	< 1	NR II / niv6-5	
6344-728	Maison 1	sol 6-096	Perle	Pierre	Roche verte	Complet	Discoïdale			0,421	0,057	0,256	< 1	NR II / niv6-5	
6344-729	Maison 1	sol 6-096	Perle	Pierre	Roche verte	Complet	Discoïdale			0,442	0,136	0,210	< 1	NR II / niv6-5	
6344-730	Maison 1	sol 6-096	Perle	Pierre	Roche verte	Complet	Discoïdale			0,445	0,125	0,172	< 1	NR II / niv6-5	
6344-731	Maison 1	sol 6-096	Perle	Pierre	Roche verte	Complet	Discoïdale			0,506	0,117	0,192	< 1	NR II / niv6-5	
6344-732	Maison 1	sol 6-096	Perle	Pierre	Roche verte	Complet	Discoïdale			0,456	0,142	0,148	< 1	NR II / niv6-5	
6344-733	Maison 1	sol 6-096	Perle	Pierre	Roche verte	Complet	Discoïdale			0,442	0,114	0,139	< 1	NR II / niv6-5	
6344-734	Maison 1	sol 6-096	Perle	Pierre	Roche verte	Complet	Discoïdale			0,397	0,097	0,166	< 1	NR II / niv6-5	
6344-735	Maison 1	sol 6-096	Perle	Pierre	Roche verte	Complet	Discoïdale			0,452	0,145	0,153	< 1	NR II / niv6-5	
6344-736	Maison 1	sol 6-096	Perle	Pierre	Roche verte	Complet	Discoïdale			0,465	0,133	0,197	< 1	NR II / niv6-5	
6344-737	Maison 1	sol 6-096	Perle	Pierre	Roche verte	Complet	Discoïdale			0,443	0,100	0,164	< 1	NR II / niv6-5	
6344-738	Maison 1	sol 6-096	Perle	Pierre	Roche verte	Complet	Discoïdale			0,463	0,099	0,167	< 1	NR II / niv6-5	
6344-739	Maison 1	sol 6-096	Perle	Pierre	Roche verte	Complet	Discoïdale			0,509	0,117	0,185	< 1	NR II / niv6-5	
6344-740	Maison 1	sol 6-096	Perle	Pierre	Roche verte	Complet	Discoïdale			0,440	0,132	0,194	< 1	NR II / niv6-5	
6344-741	Maison 1	sol 6-096	Perle	Pierre	Roche verte	Complet	Discoïdale			0,443	0,063	0,187	< 1	NR II / niv6-5	
6344-742	Maison 1	sol 6-096	Perle	Pierre	Roche verte	Complet	Discoïdale			0,504	0,129	0,172	< 1	NR II / niv6-5	
6344-743	Maison 1	sol 6-096	Perle	Pierre	Roche verte	Complet	Discoïdale			0,534	0,079	0,204	< 1	NR II / niv6-5	
6344-744	Maison 1	sol 6-096	Perle	Pierre	Roche verte	Complet	Discoïdale			0,534	0,090	0,185	< 1	NR II / niv6-5	
6344-745	Maison 1	sol 6-096	Perle	Pierre	Roche verte	Complet	Discoïdale			0,527	0,107	0,181	< 1	NR II / niv6-5	
6344-746	Maison 1	sol 6-096	Perle	Pierre	Roche verte	Complet	Discoïdale			0,548	0,097	0,190	< 1	NR II / niv6-5	

**Annexe 1**  
**Les pièces de parure de Dikili Tash**

*En italique les pièces non étudiées par Céline Choquet*

N° inventaire	Ensemble	Fait	Type	Matériau	Matériau détermination	Etat	Forme	Long. (en cm)	Larg. (en cm)	Diam. Max (en cm)	Ep. max. (en cm)	Diam perforation (en cm)	Poids (en gr)	Datation / Niveau	Fig.
6344-747	Maison 1	sol 6-096	Perle	Pierre	Roche verte	Complet	Discoïdale			0,652	0,092	0,231	< 1	NR II / niv6-5	
6344-748	Maison 1	sol 6-096	Perle	Pierre	Roche verte	Complet	Discoïdale			0,639	0,107	0,225	< 1	NR II / niv6-5	
6344-749	Maison 1	sol 6-096	Perle	Pierre	Roche verte	Complet	Discoïdale			0,432	0,134	0,189	< 1	NR II / niv6-5	
6344-750	Maison 1	sol 6-096	Perle	Pierre	Roche verte	Complet	Discoïdale			0,452	0,106	0,169	< 1	NR II / niv6-5	
6344-751	Maison 1	sol 6-096	Perle	Pierre	Roche verte	Complet	Discoïdale			0,477	0,104	0,194	< 1	NR II / niv6-5	
6344-752	Maison 1	sol 6-096	Perle	Pierre	Roche verte	Complet	Discoïdale			0,440	0,096	0,194	< 1	NR II / niv6-5	
6344-753	Maison 1	sol 6-096	Perle	Pierre	Roche verte	Complet	Discoïdale			0,442	0,137	0,222	< 1	NR II / niv6-5	
6344-754	Maison 1	sol 6-096	Perle	Pierre	Roche verte	Complet	Discoïdale			0,486	0,109	0,166	< 1	NR II / niv6-5	
6344-755	Maison 1	sol 6-096	Perle	Pierre	Roche verte	Complet	Discoïdale			0,444	0,077	0,182	< 1	NR II / niv6-5	
6344-756	Maison 1	sol 6-096	Perle	Pierre	Roche verte	Complet	Discoïdale			0,478	0,160	0,198	< 1	NR II / niv6-5	
6344-757	Maison 1	sol 6-096	Perle	Pierre	Roche verte	Complet	Discoïdale			0,461	0,169	0,209	< 1	NR II / niv6-5	
6344-758	Maison 1	sol 6-096	Perle	Pierre	Roche verte	Complet	Discoïdale			0,432	0,047	0,182	< 1	NR II / niv6-5	
6344-759	Maison 1	sol 6-096	Perle	Pierre	Roche verte	Complet	Discoïdale			0,416	0,102	0,209	< 1	NR II / niv6-5	
6344-760	Maison 1	sol 6-096	Perle	Pierre	Roche verte	Complet	Discoïdale			0,431	0,109	0,160	< 1	NR II / niv6-5	
6344-761	Maison 1	sol 6-096	Perle	Pierre	Roche verte	Complet	Discoïdale			0,443	0,112	0,197	< 1	NR II / niv6-5	
6344-762	Maison 1	sol 6-096	Perle	Pierre	Roche verte	Complet	Discoïdale			0,443	0,121	0,192	< 1	NR II / niv6-5	
6344-763	Maison 1	sol 6-096	Perle	Pierre	Roche verte	Complet	Discoïdale			0,485	0,121	0,161	< 1	NR II / niv6-5	
6344-764	Maison 1	sol 6-096	Perle	Pierre	Roche verte	Complet	Discoïdale			0,424	0,137	0,162	< 1	NR II / niv6-5	
6344-765	Maison 1	sol 6-096	Perle	Pierre	Roche verte	Complet	Discoïdale			0,435	0,139	0,187	< 1	NR II / niv6-5	
6344-766	Maison 1	sol 6-096	Perle	Pierre	Roche verte	Complet	Discoïdale			0,455	0,144	0,166	< 1	NR II / niv6-5	
6344-767	Maison 1	sol 6-096	Perle	Pierre	Roche verte	Complet	Discoïdale			0,436	0,075	0,182	< 1	NR II / niv6-5	
6344-768	Maison 1	sol 6-096	Perle	Pierre	Roche verte	Complet	Discoïdale			0,458	0,081	0,198	< 1	NR II / niv6-5	
6344-769	Maison 1	sol 6-096	Perle	Pierre	Roche verte	Complet	Discoïdale			0,432	0,090	0,163	< 1	NR II / niv6-5	
6344-770	Maison 1	sol 6-096	Perle	Pierre	Roche verte	Complet	Discoïdale			0,444	0,096	0,184	< 1	NR II / niv6-5	
6344-771	Maison 1	sol 6-096	Perle	Pierre	Roche verte	Complet	Discoïdale			0,445	0,079	0,150	< 1	NR II / niv6-5	
6344-772	Maison 1	sol 6-096	Perle	Pierre	Roche verte	Complet	Discoïdale			0,436	0,108	0,176	< 1	NR II / niv6-5	
6344-773	Maison 1	sol 6-096	Perle	Pierre	Roche verte	Complet	Discoïdale			0,519	0,142	0,186	< 1	NR II / niv6-5	
6344-774	Maison 1	sol 6-096	Perle	Pierre	Roche verte	Complet	Discoïdale			0,512	0,124	0,189	< 1	NR II / niv6-5	
6344-775	Maison 1	sol 6-096	Perle	Pierre	Roche verte	Complet	Discoïdale			0,525	0,095	0,217	< 1	NR II / niv6-5	
6344-776	Maison 1	sol 6-096	Perle	Pierre	Roche verte	Complet	Discoïdale			0,513	0,074	0,203	< 1	NR II / niv6-5	
6344-777	Maison 1	sol 6-096	Perle	Pierre	Roche verte	Complet	Discoïdale			0,516	0,168	0,196	< 1	NR II / niv6-5	
6344-778	Maison 1	sol 6-096	Perle	Pierre	Roche verte	Complet	Discoïdale			0,529	0,129	0,223	< 1	NR II / niv6-5	
6344-779	Maison 1	sol 6-096	Perle	Pierre	Roche verte	Complet	Discoïdale			0,486	0,078	0,192	< 1	NR II / niv6-5	

**Annexe 1**  
**Les pièces de parure de Dikili Tash**

*En italique les pièces non étudiées par Céline Choquet*

N° inventaire	Ensemble	Fait	Type	Matériau	Matériau détermination	Etat	Forme	Long. (en cm)	Larg. (en cm)	Diam. Max (en cm)	Ep. max. (en cm)	Diam perforation (en cm)	Poids (en gr)	Datation / Niveau	Fig.	
6344-780	Maison 1	sol 6-096	Perle	Pierre	Roche verte	Complet	Discoïdale			0,533	0,070	0,199	< 1	NR II / niv6-5		
6344-781	Maison 1	sol 6-096	Perle	Pierre	Roche verte	Complet	Discoïdale			0,532	0,080	0,197	< 1	NR II / niv6-5		
6344-782	Maison 1	sol 6-096	Perle	Pierre	Roche verte	Complet	Discoïdale			0,498	0,133	0,152	< 1	NR II / niv6-5		
6344-783	Maison 1	sol 6-096	Perle	Pierre	Roche verte	Complet	Discoïdale			0,519	0,147	0,197	< 1	NR II / niv6-5		
6344-784	Maison 1	sol 6-096	Perle	Pierre	Roche verte	Complet	Discoïdale			0,517	0,088	0,195	< 1	NR II / niv6-5		
6344-785	Maison 1	sol 6-096	Perle	Pierre	Roche verte	Complet	Discoïdale			0,542	0,089	0,184	< 1	NR II / niv6-5		
6344-786	Maison 1	sol 6-096	Perle	Pierre	Roche verte	Complet	Discoïdale			0,509	0,114	0,239	< 1	NR II / niv6-5		
6344-787	Maison 1	sol 6-096	Perle	Pierre	Roche verte	Complet	Discoïdale			0,511	0,132	0,184	< 1	NR II / niv6-5		
6344-788	Maison 1	sol 6-096	Perle	Pierre	Indéterminé	Complet	Discoïdale			0,662	0,086	0,231	< 1	NR II / niv6-5		
6344-789	Maison 1	sol 6-096	Perle	Pierre	Indéterminé	Complet	Discoïdale			0,374	0,151	0,148	< 1	NR II / niv6-5		
6344-790	Maison 1	sol 6-096	Perle	Métal	Or	Complet	irrégulière torsadée	1,353		0,379	0,410		44	NR II / niv6-5	81, 221	
6344-791	Maison 1	sol 6-096	Applique	Dent	Suidé	Fragment	Rectangulaire	0,585	0,885		0,234	0,263	2	NR II / niv6-5		
6344-792	Maison 1	sol 6-096	Applique	Dent	Suidé	Fragment	Rectangulaire	1,895	0,838		0,212	0,306	3	NR II / niv6-5		
6344-793	Maison 1	sol 6-096	Applique	Dent	Suidé	Fragment	Rectangulaire	2,455	0,806		0,256	0,316	6	NR II / niv6-5		
6344-794	Maison 1	sol 6-096	Applique	Dent	Suidé	Fragment	Rectangulaire	2,074	0,560		0,150		< 1	NR II / niv6-5		
6344-795	Maison 1	sol 6-096	Applique	Dent	Suidé	Fragment	Rectangulaire			Recolle avec 6344-083						
6344-796	Maison 1	sol 6-096	Applique	Dent	Suidé	Fragment	Rectangulaire	0,173	0,734		0,167	0,303	< 1	NR II / niv6-5		
6344-797	Maison 1	sol 6-096	Perle	Pierre	Roche verte	Complet	Discoïdale			0,487	0,164	0,185	< 1	NR II / niv6-5		
6344-798	Maison 1	sol 6-096	Perle	Pierre	Roche verte	Complet	Discoïdale			0,485	0,139	0,217	< 1	NR II / niv6-5		
6344-799	Maison 1	sol 6-096	Perle	Pierre	Roche verte	Complet	Discoïdale			0,450	0,128	0,190	< 1	NR II / niv6-5		
6344-800	Maison 1	sol 6-096	Perle	Pierre	Roche verte	Complet	Discoïdale			0,423	0,089	0,188	< 1	NR II / niv6-5		
6344-801	Maison 1	sol 6-096	Perle	Pierre	Roche verte	Complet	Discoïdale			0,502	0,117	0,159	< 1	NR II / niv6-5		
6344-802	Maison 1	sol 6-096	Perle	Pierre	Roche verte	Complet	Discoïdale			0,477	0,105	0,239	< 1	NR II / niv6-5		
6344-803	Maison 1	sol 6-096	Perle	Pierre	Roche verte	Complet	Discoïdale			0,450	0,092	0,164	< 1	NR II / niv6-5		
6344-804	Maison 1	sol 6-096	Perle	Pierre	Roche verte	Complet	Discoïdale			0,470	0,141	0,181	< 1	NR II / niv6-5		
6344-805	Maison 1	sol 6-096	Perle	Pierre	Roche verte	Complet	Discoïdale			0,450	0,096	0,136	< 1	NR II / niv6-5		
6344-806	Maison 1	sol 6-096	Perle	Pierre	Roche verte	Complet	Discoïdale			0,425	0,104	0,190	< 1	NR II / niv6-5		
6344-807	Maison 1	sol 6-096	Perle	Pierre	Roche verte	Complet	Discoïdale			0,474	0,130	0,190	< 1	NR II / niv6-5		
6344-808	Maison 1	sol 6-096	Perle	Pierre	Roche verte	Complet	Discoïdale			0,412	0,097	0,153	< 1	NR II / niv6-5		
6344-809	Maison 1	sol 6-096	Perle	Pierre	Roche verte	Complet	Discoïdale			0,453	0,140	0,157	< 1	NR II / niv6-5		
6344-810	Maison 1	sol 6-096	Perle	Pierre	Roche verte	Complet	Discoïdale			0,454	0,108	0,169	< 1	NR II / niv6-5		
6344-811	Maison 1	sol 6-096	Perle	Pierre	Roche verte	Complet	Discoïdale			0,454	0,101	0,170	< 1	NR II / niv6-5		

## Annexe 1 Les pièces de parure de Dikili Tash

*En italique les pièces non étudiées par Céline Choquet*

N° inventaire	Ensemble	Fait	Type	Matériau	Matériau détermination	Etat	Forme	Long. (en cm)	Larg. (en cm)	Diam. Max (en cm)	Ep. max. (en cm)	Diam perforation (en cm)	Poids (en gr)	Datation / Niveau	Fig.
6344-812	Maison 1	sol 6-096	Perle	Pierre	Roche verte	Complet	Discoïdale			0,430	0,087	0,165	< 1	NR II / niv6-5	
6344-813	Maison 1	sol 6-096	Perle	Pierre	Roche verte	Complet	Discoïdale			0,428	0,123	0,149	< 1	NR II / niv6-5	
6344-814	Maison 1	sol 6-096	Perle	Pierre	Roche verte	Complet	Discoïdale			0,471	0,108	0,212	< 1	NR II / niv6-5	
6344-815	Maison 1	sol 6-096	Perle	Pierre	Roche verte	Complet	Discoïdale			0,469	0,074	0,166	< 1	NR II / niv6-5	
6344-816	Maison 1	sol 6-096	Perle	Pierre	Roche verte	Complet	Discoïdale			0,436	0,099	0,195	< 1	NR II / niv6-5	
6344-817	Maison 1	sol 6-096	Perle	Pierre	Roche verte	Complet	Discoïdale			0,398	0,095	0,166	< 1	NR II / niv6-5	
6344-818	Maison 1	sol 6-096	Perle	Pierre	Roche verte	Complet	Discoïdale			0,459	0,102	0,154	< 1	NR II / niv6-5	
6344-819	Maison 1	sol 6-096	Perle	Pierre	Roche verte	Complet	Discoïdale			0,424	0,076	0,129	< 1	NR II / niv6-5	
6344-820	Maison 1	sol 6-096	Perle	Pierre	Roche verte	Complet	Discoïdale			0,429	0,165	0,196	< 1	NR II / niv6-5	
6344-821	Maison 1	sol 6-096	Perle	Pierre	Roche verte	Complet	Discoïdale			0,543	0,095	0,202	< 1	NR II / niv6-5	
6344-822	Maison 1	sol 6-096	Perle	Pierre	Roche verte	Complet	Discoïdale			0,519	0,078	0,207	< 1	NR II / niv6-5	
6344-823	Maison 1	sol 6-096	Applique	Dent	Suidé	Fragment	Rectangulaire	0,407	0,404	/	0,145	0,294	< 1	NR II / niv6-5	
6344-824	Maison 1	sol 6-096	Débris	Dent	Suidé	Ensemble de fragments	irrégulière			/	/	/	20	NR II / niv6-5	
6344-825	Maison 1	sol 6-096	Perle	Pierre	Roche verte	Complet	Discoïdale			0,506	0,172	0,185	< 1	NR II / niv6-5	
6344-826	Maison 1	sol 6-096	Perle	Pierre	Roche verte	Complet	Discoïdale			0,446	0,114	0,173	< 1	NR II / niv6-5	
6344-827	Maison 1	sol 6-096	Perle	Pierre	Roche verte	Complet	Discoïdale			0,477	0,127	0,174	< 1	NR II / niv6-5	
6344-828	Maison 1	sol 6-096	Perle	Pierre	Roche verte	Complet	Discoïdale			0,404	0,111	0,168	< 1	NR II / niv6-5	
6344-829	Maison 1	sol 6-096	Perle	Pierre	Roche verte	Complet	Discoïdale			0,451	0,079	0,177	< 1	NR II / niv6-5	
6344-830	Maison 1	sol 6-096	Perle	Pierre	Roche verte	Complet	Discoïdale			0,608	0,103	0,222	< 1	NR II / niv6-5	
6344-831	Maison 1	sol 6-096	Perle	Pierre	Roche verte	Complet	Discoïdale			0,541	0,104	0,184	< 1	NR II / niv6-5	
6344-835	Maison 1	sol 6-096	Applique	Dent	Suidé	Fragment	Rectangulaire			Recolle avec 6944-176					
6344-836	Maison 1	sol 6-096	Débris	Dent	Suidé	Ensemble de fragments	Rectangulaire			/	/	/	11,2	NR II / niv6-5	
6344-837	Maison 1	sol 6-096	Débris	Dent	Suidé	Ensemble de fragments	Rectangulaire			/	/	/	9	NR II / niv6-5	
6344-839	Maison 1	sol 6-096	Applique	Dent	Suidé	Fragment	Rectangulaire			Recolle avec 6490-008					
6344-840	Maison 1	sol 6-096	Applique	Dent	Suidé	Fragment	Rectangulaire	0,660	0,325		0,217	0,226	< 1	NR II / niv6-5	
6344-841	Maison 1	sol 6-096	Applique	Dent	Suidé	Fragment	Rectangulaire	0,128	0,394		0,249	0,246	< 1	NR II / niv6-5	
6344-842	Maison 1	sol 6-096	Applique	Dent	Suidé	Fragment	Rectangulaire	0,475	0,456		0,177	0,269	< 1	NR II / niv6-5	
6344-843	Maison 1	sol 6-096	Applique	Dent	Suidé	Fragment	Rectangulaire	0,117	0,354		0,130	0,314	< 1	NR II / niv6-5	
6344-844	Maison 1	sol 6-096	Applique	Dent	Suidé	Fragment	Rectangulaire	0,443	0,350		0,191	0,336	< 1	NR II / niv6-5	
6344-845	Maison 1	sol 6-096	Applique	Dent	Suidé	Fragment	Rectangulaire	0,142	0,452		0,155	0,218	< 1	NR II / niv6-5	
6344-846	Maison 1	sol 6-096	Applique	Dent	Suidé	Fragment	Rectangulaire	0,552	0,255		0,189	0,357	< 1	NR II / niv6-5	

**Annexe 1**  
**Les pièces de parure de Dikili Tash**

*En italique les pièces non étudiées par Céline Choquet*

N° inventaire	Ensemble	Fait	Type	Matériau	Matériau détermination	Etat	Forme	Long. (en cm)	Larg. (en cm)	Diam. Max (en cm)	Ep. max. (en cm)	Diam perforation (en cm)	Poids (en gr)	Datation / Niveau	Fig.
6344-847	Maison 1	sol 6-096	Perle	Pierre	Roche verte	Complet	Discoïdale			0,390	0,064	0,161	< 1	NR II / niv6-5	
6344-848	Maison 1	sol 6-096	Perle	Pierre	Roche verte	Complet	Discoïdale			0,459	0,197	0,155	< 1	NR II / niv6-5	
6344-849	Maison 1	sol 6-096	Perle	Pierre	Roche verte	Complet	Discoïdale			0,519	0,164	0,195	< 1	NR II / niv6-5	
6344-850	Maison 1	sol 6-096	Perle	Pierre	Roche verte	Complet	Discoïdale			0,382	0,078	0,160	< 1	NR II / niv6-5	
6344-851	Maison 1	sol 6-096	Perle	Pierre	Roche verte	Complet	Discoïdale			0,401	0,198	0,190	< 1	NR II / niv6-5	
6344-852	Maison 1	sol 6-096	Perle	Pierre	Roche verte	Complet	Discoïdale			0,465	0,103	0,202	< 1	NR II / niv6-5	
6344-853	Maison 1	sol 6-096	Perle	Pierre	Roche verte	Complet	Discoïdale			0,470	0,114	0,182	< 1	NR II / niv6-5	
6344-854	Maison 1	sol 6-096	Perle	Pierre	Roche verte	Complet	Discoïdale			0,442	0,095	0,206	< 1	NR II / niv6-5	
6344-855	Maison 1	sol 6-096	Perle	Pierre	Roche verte	Complet	Discoïdale			0,412	0,070	0,164	< 1	NR II / niv6-5	
6344-856	Maison 1	sol 6-096	Perle	Pierre	Roche verte	Complet	Discoïdale			0,423	0,116	0,176	< 1	NR II / niv6-5	
6344-857	Maison 1	sol 6-096	Perle	Pierre	Roche verte	Complet	Discoïdale			0,379	0,087	0,187	< 1	NR II / niv6-5	
6344-858	Maison 1	sol 6-096	Perle	Pierre	Roche verte	Complet	Discoïdale			0,399	0,133	0,166	< 1	NR II / niv6-5	
6344-859	Maison 1	sol 6-096	Perle	Pierre	Roche verte	Complet	Discoïdale			0,482	0,110	0,162	< 1	NR II / niv6-5	
6344-860	Maison 1	sol 6-096	Perle	Pierre	Roche verte	Complet	Discoïdale			0,438	0,101	0,168	< 1	NR II / niv6-5	
6344-861	Maison 1	sol 6-096	Perle	Pierre	Roche verte	Complet	Discoïdale			0,490	0,144	0,253	< 1	NR II / niv6-5	
6344-862	Maison 1	sol 6-096	Perle	Pierre	Roche verte	Complet	Discoïdale			0,428	0,112	0,179	< 1	NR II / niv6-5	
6344-863	Maison 1	sol 6-096	Perle	Pierre	Roche verte	Complet	Discoïdale			0,436	0,117	0,151	< 1	NR II / niv6-5	
6344-864	Maison 1	sol 6-096	Perle	Pierre	Roche verte	Complet	Discoïdale			0,451	0,089	0,177	< 1	NR II / niv6-5	
6344-865	Maison 1	sol 6-096	Perle	Pierre	Roche verte	Complet	Discoïdale			0,493	0,113	0,166	< 1	NR II / niv6-5	
6344-866	Maison 1	sol 6-096	Perle	Pierre	Roche verte	Complet	Discoïdale			0,456	0,125	0,206	< 1	NR II / niv6-5	
6344-867	Maison 1	sol 6-096	Perle	Pierre	Roche verte	Complet	Discoïdale			0,477	0,116	0,189	< 1	NR II / niv6-5	
6344-868	Maison 1	sol 6-096	Perle	Pierre	Roche verte	Complet	Discoïdale			0,455	0,082	0,174	< 1	NR II / niv6-5	
6344-869	Maison 1	sol 6-096	Perle	Pierre	Roche verte	Complet	Discoïdale			0,532	0,108	0,200	< 1	NR II / niv6-5	
6344-870	Maison 1	sol 6-096	Perle	Pierre	Roche verte	Complet	Discoïdale			0,457	0,084	0,162	< 1	NR II / niv6-5	
6344-871	Maison 1	sol 6-096	Perle	Pierre	Roche verte	Complet	Discoïdale			0,439	0,081	0,167	< 1	NR II / niv6-5	
6344-872	Maison 1	sol 6-096	Perle	Pierre	Roche verte	Complet	Discoïdale			0,401	0,065	0,187	< 1	NR II / niv6-5	
6344-873	Maison 1	sol 6-096	Perle	Pierre	Roche verte	Complet	Discoïdale			0,454	0,142	0,174	< 1	NR II / niv6-5	
6344-874	Maison 1	sol 6-096	Perle	Pierre	Roche verte	Complet	Tubulaire			0,527	0,790	0,215	< 1	NR II / niv6-5	
6344-875	Maison 1	sol 6-096	Perle	Pierre	Roche verte	Complet	Discoïdale			0,486	0,104	0,190	< 1	NR II / niv6-5	
6344-876	Maison 1	sol 6-096	Perle	Pierre	Roche verte	Complet	Discoïdale			0,440	0,099	0,169	< 1	NR II / niv6-5	
6344-877	Maison 1	sol 6-096	Perle	Pierre	Roche verte	Complet	Discoïdale			0,414	0,102	0,180	< 1	NR II / niv6-5	
6344-878	Maison 1	sol 6-096	Perle	Pierre	Roche verte	Complet	Discoïdale			0,439	0,128	0,214	< 1	NR II / niv6-5	
6344-879	Maison 1	sol 6-096	Perle	Pierre	Roche verte	Complet	Discoïdale			0,449	0,090	0,195	< 1	NR II / niv6-5	

**Annexe 1**  
**Les pièces de parure de Dikili Tash**

*En italique les pièces non étudiées par Céline Choquet*

N° inventaire	Ensemble	Fait	Type	Matériau	Matériau détermination	Etat	Forme	Long. (en cm)	Larg. (en cm)	Diam. Max (en cm)	Ep. max. (en cm)	Diam perforation (en cm)	Poids (en gr)	Datation / Niveau	Fig.
6344-880	Maison 1	sol 6-096	Perle	Pierre	Roche verte	Complet	Discoïdale			0,400	0,059	0,161	< 1	NR II / niv6-5	
6344-881	Maison 1	sol 6-096	Perle	Pierre	Roche verte	Complet	Discoïdale			0,470	0,124	0,161	< 1	NR II / niv6-5	
6344-882	Maison 1	sol 6-096	Perle	Pierre	Roche verte	Complet	Discoïdale			0,416	0,103	0,184	< 1	NR II / niv6-5	
6344-883	Maison 1	sol 6-096	Perle	Pierre	Roche verte	Complet	Discoïdale			0,445	0,126	0,100	< 1	NR II / niv6-5	
6344-884	Maison 1	sol 6-096	Perle	Pierre	Roche verte	Complet	Discoïdale			0,445	0,106	0,186	< 1	NR II / niv6-5	
6344-885	Maison 1	sol 6-096	Perle	Pierre	Roche verte	Complet	Discoïdale			0,475	0,110	0,245	< 1	NR II / niv6-5	
6344-886	Maison 1	sol 6-096	Perle	Pierre	Roche verte	Complet	Discoïdale			0,454	0,108	0,163	< 1	NR II / niv6-5	
6344-887	Maison 1	sol 6-096	Perle	Pierre	Roche verte	Complet	Discoïdale			0,366	0,114	0,166	< 1	NR II / niv6-5	
6344-888	Maison 1	sol 6-096	Perle	Pierre	Roche verte	Complet	Discoïdale			0,452	0,100	0,207	< 1	NR II / niv6-5	
6344-889	Maison 1	sol 6-096	Perle	Pierre	Roche verte	Complet	Discoïdale			0,440	0,131	0,171	< 1	NR II / niv6-5	
6344-890	Maison 1	sol 6-096	Perle	Pierre	Roche verte	Complet	Discoïdale			0,424	0,102	0,177	< 1	NR II / niv6-5	
6344-891	Maison 1	sol 6-096	Perle	Pierre	Roche verte	Complet	Discoïdale			0,450	0,098	0,154	< 1	NR II / niv6-5	
6344-892	Maison 1	sol 6-096	Perle	Pierre	Roche verte	Complet	Discoïdale			0,405	0,112	0,179	< 1	NR II / niv6-5	
6344-893	Maison 1	sol 6-096	Perle	Pierre	Roche verte	Complet	Discoïdale			0,405	0,110	0,199	< 1	NR II / niv6-5	
6344-894	Maison 1	sol 6-096	Perle	Pierre	Roche verte	Complet	Discoïdale			0,414	0,119	0,181	< 1	NR II / niv6-5	
6344-895	Maison 1	sol 6-096	Perle	Pierre	Roche verte	Complet	Discoïdale			0,413	0,087	0,199	< 1	NR II / niv6-5	
6344-896	Maison 1	sol 6-096	Perle	Pierre	Roche verte	Complet	Discoïdale			0,451	0,086	0,163	< 1	NR II / niv6-5	
6344-897	Maison 1	sol 6-096	Perle	Pierre	Roche verte	Complet	Discoïdale			0,469	0,128	0,206	< 1	NR II / niv6-5	
6344-898	Maison 1	sol 6-096	Perle	Pierre	Roche verte	Complet	Discoïdale			0,452	0,089	0,200	< 1	NR II / niv6-5	
6344-899	Maison 1	sol 6-096	Perle	Pierre	Roche verte	Complet	Discoïdale			0,372	0,062	0,188	< 1	NR II / niv6-5	
6344-900	Maison 1	sol 6-096	Perle	Pierre	Roche verte	Complet	Discoïdale			0,398	0,079	0,177	< 1	NR II / niv6-5	
6344-901	Maison 1	sol 6-096	Perle	Pierre	Roche verte	Complet	Discoïdale			0,426	0,122	0,164	< 1	NR II / niv6-5	
6344-902	Maison 1	sol 6-096	Perle	Pierre	Indéterminé	Complet	Discoïdale			0,363	0,189	0,150	< 1	NR II / niv6-5	
6349-009	Maison 1	sol 6-092	Perle	Pierre	Indéterminé	Complet	Discoïdale			0,680	0,403	0,269	< 1	NR II / niv6-5	
6349-010	Maison 1	sol 6-092	Élément de débitage	Pierre	Indéterminé	Fragment	irrégulière			/	/	/		NR II / niv6-5	
6349-012	Maison 1	sol 6-092	Perle	Pierre	Indéterminé	Fragment	Discoïdale			0,492	0,118	0,173	< 1	NR II / niv6-5	64
6359-001	Maison 1	sol 6-047	Perle	Pierre	Pierre calcaire	Complet	Discoïdale			0,729	0,196	0,265	< 1	NR II / niv6-5	
6360-006	Maison 1	couche de destruction 6-005	Pendentif	Os	Astragale	Complet	Naturelle	2,129	1,302	1,163	1,163	0,254	26	NR II / niv6-5	
6360-007	Maison 1	couche de destruction 6-005	Pendentif	Os	Astragale	Complet	Naturelle	2,721	1,684	1,413	1,413	0,352		NR II / niv6-5	

## Annexe 1 Les pièces de parure de Dikili Tash

*En italique les pièces non étudiées par Céline Choquet*

N° inventaire	Ensemble	Fait	Type	Matériau	Matériau détermination	Etat	Forme	Long. (en cm)	Larg. (en cm)	Diam. Max (en cm)	Ep. max. (en cm)	Diam perforation (en cm)	Poids (en gr)	Datation / Niveau	Fig.	
6360-009	Maison 1	couche de destruction 6-005	Perle	Coquille	Spondylus Gae-deropus	Complet	Discoïdale			0,549	0,314	0,183	< 1	NR II / niv6-5	26	
6364-005	Maison 1	sol 6-096	Anneau	Coquille	Spondylus Gae-deropus	Complet	Circulaire	8,339	8,344		1,240	5,813	340	NR II / niv6-5	7, 202	
6364-006	Maison 1	sol 6-096	Anneau	Coquille	Spondylus Gae-deropus	Fragment	Circulaire	6,660	6,919		1,387	5,033	277	NR II / niv6-5	28	
6364-008	Maison 1	sol 6-096	Anneau	Coquille	Spondylus Gae-deropus	Complet	Circulaire	8,827	8,087		1,414	6,378	354	NR II / niv6-5		
6364-009	Maison 1	sol 6-096	Anneau	Coquille	Spondylus Gae-deropus	Complet	Circulaire	8,820	7,377		1,272	6,356	311	NR II / niv6-5	203	
6364-010	Maison 1	sol 6-096	Anneau	Coquille	Spondylus Gae-deropus	Complet	Circulaire	7,920	6,908		1,311	5,432	264	NR II / niv6-5		
6364-011	Maison 1	sol 6-096	Anneau	Coquille	Spondylus Gae-deropus	Fragment	Circulaire	7,392	6,924		1,591	5,077	390	NR II / niv6-5		
6364-012	Maison 1	sol 6-096	Anneau	Coquille	Spondylus Gae-deropus	Fragment	Circulaire	8,112	3,148		1,580	/	261	NR II / niv6-5		
6364-013	Maison 1	sol 6-096	Anneau	Coquille	Spondylus Gae-deropus	Complet	Circulaire	9,058	8,136		0,995	6,907	275	NR II / niv6-5		
6364-014	Maison 1	sol 6-096	Anneau	Coquille	Spondylus Gae-deropus	Fragment	Circulaire	6,474	3,720		2,977		515	NR II / niv6-5	204	
6364-015	Maison 1	sol 6-096	Anneau	Coquille	Spondylus Gae-deropus	Fragment	Circulaire			Recolle avec 6364-014						
6364-016	Maison 1	sol 6-096	Anneau	Coquille	Spondylus Gae-deropus	Fragment	Circulaire	2,669	1,245		0,635		18	NR II / niv6-5		
6364-017	Maison 1	sol 6-096	Applique	Dent	Suidé	Presque complet	Rectangulaire	3,985	0,927		0,151	0,393	11	NR II / niv6-5		
6364-018	Maison 1	sol 6-096	Applique	Dent	Suidé	Presque complet	Rectangulaire	3,417	0,739		0,198	0,217	6	NR II / niv6-5		
6364-019	Maison 1	sol 6-096	Perle	Pierre		Complet	Discoïdale			0,691	0,489	0,262	2	NR II / niv6-5		
6364-020	Maison 1	sol 6-096	Anneau	Coquille	Spondylus Gae-deropus	Complet	Circulaire	7,760	6,645		1,196	5,632	300	NR II / niv6-5		
6364-021	Maison 1	sol 6-096	Anneau	Coquille	Spondylus Gae-deropus	Fragment	Circulaire	6,788	4,800		1,279	5,829	215	NR II / niv6-5		
6364-022	Maison 1	sol 6-096	Anneau	Coquille			irrégulière			Recolle avec 6364-010						
6364-023	Maison 1	sol 6-096	Anneau	Coquille	Spondylus Gae-deropus	Fragment	Circulaire	6,090	2,328		0,387	/	45	NR II / niv6-5		
6364-025	Maison 1	sol 6-096	Applique	Dent	Suidé	Presque complet	Rectangulaire	5,620	0,757		0,371	0,340	27	NR II / niv6-5		

## Annexe 1 Les pièces de parure de Dikili Tash

*En italique les pièces non étudiées par Céline Choquet*

N° inventaire	Ensemble	Fait	Type	Matériau	Matériau détermination	Etat	Forme	Long. (en cm)	Larg. (en cm)	Diam. Max (en cm)	Ep. max. (en cm)	Diam perforation (en cm)	Poids (en gr)	Datation / Niveau	Fig.
6364-026	Maison 1	sol 6-096	Applique	Dent	Suidé	Presque complet	Rectangulaire	5,868	0,889		0,223	0,353 / 0,27	16	NR II / niv6-5	102, 112
6364-027	Maison 1	sol 6-096	Applique	Dent	Suidé	Presque complet	Rectangulaire	4,320	0,793		0,346	0,372 / 0,270 / 0,312	18	NR II / niv6-5	117
6364-028	Maison 1	sol 6-096	Applique	Dent	Suidé	Fragment	Rectangulaire	5,513	0,887		0,365	0,319	18	NR II / niv6-5	101
6364-029	Maison 1	sol 6-096	Applique	Dent	Suidé	Presque complet	Rectangulaire	6,035	0,827		0,344	0,316 / 0,307	14	NR II / niv6-5	
6364-030	Maison 1	sol 6-096	Applique	Dent	Suidé	Presque complet	Rectangulaire	5,923	0,827		0,255	0,311	17	NR II / niv6-5	
6364-031	Maison 1	sol 6-096	Applique	Dent	Suidé	Fragment	Rectangulaire	4,799	0,938		0,477	0,283	22	NR II / niv6-5	
6364-032	Maison 1	sol 6-096	Applique	Dent	Suidé	Presque complet	Rectangulaire	4,788	0,807		0,413	0,364	17	NR II / niv6-5	
6364-033	Maison 1	sol 6-096	Applique	Dent	Suidé	Fragment	Rectangulaire	2,932	0,907		0,301	0,355	< 1	NR II / niv6-5	
6364-034	Maison 1	sol 6-096	Applique	Dent	Suidé	Presque complet	Rectangulaire	6,009	0,937		0,501	0,299	38	NR II / niv6-5	
6364-035	Maison 1	sol 6-096	Applique	Dent	Suidé	Presque complet	Rectangulaire	4,820	0,913		0,320	0,277 / 0,322	15	NR II / niv6-5	207
6364-036	Maison 1	sol 6-096	Applique	Dent	Suidé	Presque complet	Rectangulaire	5,455	0,794		0,242	0,368 / 0,268	< 1	NR II / niv6-5	
6364-037	Maison 1	sol 6-096	Applique	Dent	Suidé	Presque complet	Rectangulaire	4,766	0,771		0,193	0,257 / 0,33	< 1	NR II / niv6-5	
6364-038	Maison 1	sol 6-096	Applique	Dent	Suidé	Presque complet	Rectangulaire	4,705	0,794		0,236	0,281	16	NR II / niv6-5	100
6364-039	Maison 1	sol 6-096	Applique	Dent	Suidé	Fragment	Rectangulaire	4,068	4,090		0,090		9	NR II / niv6-5	
6364-040	Maison 1	sol 6-096	Applique	Dent	Suidé	Presque complet	Rectangulaire	5,060	0,946		0,326	0,316 / 0,235	15	NR II / niv6-5	
6364-041	Maison 1	sol 6-096	Applique	Dent	Suidé	Fragment	Rectangulaire								
6364-042	Maison 1	sol 6-096	Applique	Dent	Suidé	Presque complet	Rectangulaire	3,995	0,846		0,283	0,211	15	NR II / niv6-5	209
6364-043	Maison 1	sol 6-096	Applique	Dent	Suidé	Presque complet	Rectangulaire	5,105	0,810		0,345	0,343 / 0,359	14	NR II / niv6-5	
6364-044	Maison 1	sol 6-096	Applique	Dent	Suidé	Fragment	Rectangulaire	5,429	0,834		0,406	0,316 / 0,318	16	NR II / niv6-5	
6364-045	Maison 1	sol 6-096	Applique	Dent	Suidé	Fragment	Rectangulaire	3,118	0,818		0,287		< 1	NR II / niv6-5	
6364-046	Maison 1	sol 6-096	Applique	Dent	Suidé	Presque complet	Rectangulaire	6,158	0,893		0,250	0,331 / 0,376	< 1	NR II / niv6-5	209
6364-047	Maison 1	sol 6-096	Applique	Dent	Suidé	Fragment	Rectangulaire	4,970	0,877		0,413	0,361	28	NR II / niv6-5	
6364-048	Maison 1	sol 6-096	Applique	Dent	Suidé	Fragment	Rectangulaire	2,866	0,824		0,265	0,363	< 1	NR II / niv6-5	

## Annexe 1 Les pièces de parure de Dikili Tash

*En italique les pièces non étudiées par Céline Choquet*

N° inventaire	Ensemble	Fait	Type	Matériau	Matériau détermination	Etat	Forme	Long. (en cm)	Larg. (en cm)	Diam. Max (en cm)	Ep. max. (en cm)	Diam perforation (en cm)	Poids (en gr)	Datation / Niveau	Fig.
6364-049	Maison 1	sol 6-096	Applique	Dent	Suidé	Presque complet	Rectangulaire	5,486	0,919		0,411	0,342 / 0,386	20	NR II / niv6-5	
6364-050	Maison 1	sol 6-096	Applique	Dent	Suidé	Presque complet	Rectangulaire	5,185	0,700		0,235	0,317 / 0,332	12	NR II / niv6-5	
6364-051	Maison 1	sol 6-096	Applique	Dent	Suidé	Presque complet	Rectangulaire	5,185	0,911		0,242	0,393	13	NR II / niv6-5	
6364-053	Maison 1	sol 6-096	Applique	Dent	Suidé	Ensemble de fragments	Rectangulaire						30	NR II / niv6-5	
6364-054	Maison 1	sol 6-096	Applique	Dent	Suidé	Presque complet	Rectangulaire	6,087	0,851		0,427	0,247 / 0,329	19	NR II / niv6-5	
6364-055	Maison 1	sol 6-096	Applique	Dent	Suidé	Fragment	Rectangulaire								
6364-056	Maison 1	sol 6-096	Applique	Dent	Suidé	Presque complet	Rectangulaire	4,757	0,780		0,217	0,310 / 0,392	9	NR II / niv6-5	
6364-057	Maison 1	sol 6-096	Applique	Dent	Suidé	Presque complet	Rectangulaire	5,032	0,745		0,282	0,314 / 0,357	11	NR II / niv6-5	
6364-058	Maison 1	sol 6-096	Applique	Dent	Suidé	Fragment	Rectangulaire								
6364-059	Maison 1	sol 6-096	Applique	Dent	Suidé	Fragment	Rectangulaire	2,492	1,023		0,411		< 1	NR II / niv6-5	
6364-060	Maison 1	sol 6-096	Applique	Dent	Suidé	Fragment	Rectangulaire	5,458	0,781		0,272	0,313 / 0,368	19	NR II / niv6-5	
6364-061	Maison 1	sol 6-096	Applique	Dent	Suidé	Presque complet	Rectangulaire	5,555	0,971		0,409	0,325 / 0,267	35	NR II / niv6-5	
6364-063	Maison 1	sol 6-096	Applique	Dent	Suidé	Fragment	Rectangulaire	3,040	0,702		0,211	0,186	< 1	NR II / niv6-5	
6364-064	Maison 1	sol 6-096	Applique	Dent	Suidé	Presque complet	Rectangulaire	5,243	0,934		0,398		17	NR II / niv6-5	
6364-065	Maison 1	sol 6-096	Applique	Dent	Suidé	Fragment	Rectangulaire								
6364-067	Maison 1	sol 6-096	Anneau	Coquille	Spondylus Gasteropus	Fragment									
6364-068	Maison 1	sol 6-096	Applique	Dent	Suidé	Fragment	Rectangulaire	0,898	0,796		0,222	0,291	5	NR II / niv6-5	
6364-069	Maison 1	sol 6-096	Applique	Dent	Suidé	Fragment	Rectangulaire	2,752	1,207		0,900	0,453	10	NR II / niv6-5	
6364-070	Maison 1	sol 6-096	Applique	Dent	Suidé	Fragment	Rectangulaire	2,037	1,290		0,306	0,360	8	NR II / niv6-5	
6364-071	Maison 1	sol 6-096	Applique	Dent	Suidé	Presque complet	Rectangulaire	5,401	0,762		0,338	0,316 / 0,352	22	NR II / niv6-5	
6364-072	Maison 1	sol 6-096	Applique	Dent	Suidé	Fragment	Rectangulaire	1,635	0,445		0,225	0,441	< 1	NR II / niv6-5	
6364-073	Maison 1	sol 6-096	Applique	Dent	Suidé	Fragment	Rectangulaire	1,461	1,074		0,200	0,342	3	NR II / niv6-5	
6364-074	Maison 1	sol 6-096	Applique	Dent	Suidé	Fragment	Rectangulaire	1,070	0,558		0,219	0,417	< 1	NR II / niv6-5	
6364-075	Maison 1	sol 6-096	Applique	Dent	Suidé	Fragment	Rectangulaire	1,084	0,983		0,258	0,335	3	NR II / niv6-5	
6364-076	Maison 1	sol 6-096	Applique	Dent	Suidé	Fragment	Rectangulaire	2,182	1,376		0,450	0,363 / 0,386	10	NR II / niv6-5	

## Annexe 1 Les pièces de parure de Dikili Tash

*En italique les pièces non étudiées par Céline Choquet*

N° inventaire	Ensemble	Fait	Type	Matériau	Matériau détermination	Etat	Forme	Long. (en cm)	Larg. (en cm)	Diam. Max (en cm)	Ep. max. (en cm)	Diam perforation (en cm)	Poids (en gr)	Datation / Niveau	Fig.
6364-077	Maison 1	sol 6-096	Applique	Dent	Suidé	Fragment	Rectangulaire	1,431	1,079		0,325		4	NR II / niv6-5	
6364-078	Maison 1	sol 6-096	Applique	Dent	Suidé	Fragment	Rectangulaire	3,636	0,864		0,222	0,224	12	NR II / niv6-5	104
6364-079	Maison 1	sol 6-096	Applique	Dent	Suidé	Fragment	Rectangulaire	1,517	0,754		0,169	0,352	< 1	NR II / niv6-5	
6364-080	Maison 1	sol 6-096	Applique	Dent	Suidé	Fragment	Rectangulaire	2,109	0,804		0,195	0,226	6	NR II / niv6-5	107
6364-081	Maison 1	sol 6-096	Applique	Dent	Suidé	Fragment	Rectangulaire	1,606	0,905		0,351	0,271	5	NR II / niv6-5	
6364-082	Maison 1	sol 6-096	Applique	Dent	Suidé	Fragment	Rectangulaire	0,865	0,673		0,199	0,259	< 1	NR II / niv6-5	
6364-083	Maison 1	sol 6-096	Applique	Dent	Suidé	Fragment	Rectangulaire	1,293	0,836		0,188	0,313	< 1	NR II / niv6-5	
6364-084	Maison 1	sol 6-096	Applique	Dent	Suidé	Fragment	Rectangulaire	0,535	0,534		0,177	0,349	< 1	NR II / niv6-5	
6364-085	Maison 1	sol 6-096	Applique	Dent	Suidé	Fragment	Rectangulaire	Recolle avec 6364-056 & 6364-161							
6364-086	Maison 1	sol 6-096	Applique	Dent	Suidé	Fragment	Rectangulaire	2,016	0,811		0,279	0,377	3	NR II / niv6-5	
6364-087	Maison 1	sol 6-096	Applique	Dent	Suidé	Fragment	Rectangulaire	Recolle avec 6364-050							
6364-088	Maison 1	sol 6-096	Applique	Dent	Suidé	Fragment	Rectangulaire	2,504	1,008		0,161	0,405	5	NR II / niv6-5	
6364-089	Maison 1	sol 6-096	Applique	Dent	Suidé	Fragment	Rectangulaire	2,863	0,782		0,285	0,394	6	NR II / niv6-5	
6364-090	Maison 1	sol 6-096	Applique	Dent	Suidé	Fragment	Rectangulaire	1,922	0,879		0,278	0,410	5	NR II / niv6-5	
6364-091	Maison 1	sol 6-096	Applique	Dent	Suidé	Fragment	Rectangulaire	1,365	0,303		0,179	0,262	< 1	NR II / niv6-5	
6364-092	Maison 1	sol 6-096	Applique	Dent	Suidé	Fragment	Rectangulaire	1,718	0,889		0,439	0,322	4	NR II / niv6-5	
6364-093	Maison 1	sol 6-096	Applique	Dent	Suidé	Fragment	Rectangulaire	Recolle avec 6364-032							
6364-094	Maison 1	sol 6-096	Applique	Dent	Suidé	Fragment	Rectangulaire	Recolle avec 6364-037							
6364-095	Maison 1	sol 6-096	Applique	Dent	Suidé	Fragment	Rectangulaire	2,302	0,943		0,299	0,322	7	NR II / niv6-5	
6364-096	Maison 1	sol 6-096	Applique	Dent	Suidé	Fragment	Rectangulaire	1,866	0,658		0,367	0,309	6	NR II / niv6-5	
6364-097	Maison 1	sol 6-096	Applique	Dent	Suidé	Fragment	Rectangulaire	1,444	0,909		0,304	0,298	3	NR II / niv6-5	114
6364-098	Maison 1	sol 6-096	Applique	Dent	Suidé	Fragment	Rectangulaire	2,525	0,830		0,248	0,335	6	NR II / niv6-5	
6364-099	Maison 1	sol 6-096	Applique	Dent	Suidé	Presque complet	Rectangulaire	5,084	0,780		0,146	0,236	8	NR II / niv6-5	
6364-100	Maison 1	sol 6-096	Applique	Dent	Suidé	Fragment	Rectangulaire	1,248	0,572		0,162	0,357	< 1	NR II / niv6-5	
6364-101	Maison 1	sol 6-096	Applique	Dent	Suidé	Fragment	Rectangulaire	1,820	0,544		0,246	0,380	< 1	NR II / niv6-5	
6364-102	Maison 1	sol 6-096	Applique	Dent	Suidé	Fragment	Rectangulaire	1,548	0,618		0,188		< 1	NR II / niv6-5	
6364-103	Maison 1	sol 6-096	Applique	Dent	Suidé	Fragment	Rectangulaire	2,397	0,796		0,287	0,350	7	NR II / niv6-5	
6364-104	Maison 1	sol 6-096	Applique	Dent	Suidé	Fragment	Rectangulaire	4,478	0,799		0,356		14	NR II / niv6-5	
6364-105	Maison 1	sol 6-096	Applique	Dent	Suidé	Fragment	Rectangulaire	Recolle avec 6364-071 & 6364-159							
6364-106	Maison 1	sol 6-096	Applique	Dent	Suidé	Fragment	Rectangulaire	3,444	0,353		0,366	0,340	6	NR II / niv6-5	
6364-107	Maison 1	sol 6-096	Applique	Dent	Suidé	Fragment	Rectangulaire	Recolle avec 6364-099, 6364-160 & 6364-205							
6364-108	Maison 1	sol 6-096	Applique	Dent	Suidé	Fragment	Rectangulaire	0,313	0,565		0,215	0,248	< 1	NR II / niv6-5	

## Annexe 1 Les pièces de parure de Dikili Tash

*En italique les pièces non étudiées par Céline Choquet*

N° inventaire	Ensemble	Fait	Type	Matériau	Matériau détermination	Etat	Forme	Long. (en cm)	Larg. (en cm)	Diam. Max (en cm)	Ep. max. (en cm)	Diam perforation (en cm)	Poids (en gr)	Datation / Niveau	Fig.
6364-109	Maison 1	sol 6-096	Applique	Dent	Suidé	Presque complet	Rectangulaire	5,682	0,732		0,464	0,387 / 0,294	17	NR II / niv6-5	105
6364-110	Maison 1	sol 6-096	Applique	Dent	Suidé	Fragment	Rectangulaire	1,212	0,498		0,342	0,309	< 1	NR II / niv6-5	
6364-111	Maison 1	sol 6-096	Applique	Dent	Suidé	Fragment	Rectangulaire	1,160	0,860		0,299		4	NR II / niv6-5	
6364-112	Maison 1	sol 6-096	Applique	Dent	Suidé	Fragment	Rectangulaire	0,560	0,491		0,283	0,261	< 1	NR II / niv6-5	
6364-113	Maison 1	sol 6-096	Applique	Dent	Suidé	Fragment	Rectangulaire	2,241	0,675		0,337		4	NR II / niv6-5	
6364-114	Maison 1	sol 6-096	Applique	Dent	Suidé	Fragment	Rectangulaire	Recolle avec 6364-078 & 6364-145							
6364-115	Maison 1	sol 6-096	Applique	Dent	Suidé	Fragment	Rectangulaire	0,187	0,637		0,167	0,330	< 1	NR II / niv6-5	
6364-116	Maison 1	sol 6-096	Applique	Dent	Suidé	Fragment	Rectangulaire	Recolle avec 6364-018							
6364-117	Maison 1	sol 6-096	Applique	Dent	Suidé	Presque complet	Rectangulaire	4,567	0,740		0,393	0,267	7	NR II / niv6-5	
6364-118	Maison 1	sol 6-096	Applique	Dent	Suidé	Fragment	Rectangulaire	0,515	0,705		0,182	0,244	< 1	NR II / niv6-5	
6364-119	Maison 1	sol 6-096	Applique	Dent	Suidé	Fragment	Rectangulaire	1,198	0,501		0,200	0,338	< 1	NR II / niv6-5	
6364-120	Maison 1	sol 6-096	Applique	Dent	Suidé	Fragment	Rectangulaire	0,314	0,567		0,282	0,284	< 1	NR II / niv6-5	
6364-121	Maison 1	sol 6-096	Applique	Dent	Suidé	Fragment	Rectangulaire	2,013	0,421		0,371	0,290	3	NR II / niv6-5	
6364-122	Maison 1	sol 6-096	Applique	Dent	Suidé	Fragment	Rectangulaire	1,118	0,790		0,173	0,297	< 1	NR II / niv6-5	
6364-123	Maison 1	sol 6-096	Applique	Dent	Suidé	Fragment	Rectangulaire	3,799	0,866		0,242	0,308	6	NR II / niv6-5	
6364-124	Maison 1	sol 6-096	Applique	Dent	Suidé	Fragment	Rectangulaire	1,079	0,453		0,242	0,331	< 1	NR II / niv6-5	
6364-125	Maison 1	sol 6-096	Applique	Dent	Suidé	Fragment	Rectangulaire	0,841	0,410		0,206	0,252	< 1	NR II / niv6-5	
6364-126	Maison 1	sol 6-096	Applique	Dent	Suidé	Fragment	Rectangulaire	0,985	0,588		0,206	0,402	< 1	NR II / niv6-5	
6364-127	Maison 1	sol 6-096	Applique	Dent	Suidé	Fragment	Rectangulaire	1,013	0,392		0,314	0,370	< 1	NR II / niv6-5	
6364-128	Maison 1	sol 6-096	Applique	Dent	Suidé	Fragment	Rectangulaire	1,109	0,328		0,261	0,343	< 1	NR II / niv6-5	113
6364-129	Maison 1	sol 6-096	Applique	Dent	Suidé	Fragment	Rectangulaire	1,093	0,386		0,241	0,295	< 1	NR II / niv6-5	
6364-130	Maison 1	sol 6-096	Applique	Dent	Suidé	Fragment	Rectangulaire	0,804	0,367		0,128	0,313	< 1	NR II / niv6-5	
6364-131	Maison 1	sol 6-096	Applique	Dent	Suidé	Fragment	Rectangulaire	0,748	0,471		0,280	0,271	< 1	NR II / niv6-5	
6364-132	Maison 1	sol 6-096	Applique	Dent	Suidé	Fragment	Rectangulaire	1,831	0,490		0,198	0,321	< 1	NR II / niv6-5	
6364-133	Maison 1	sol 6-096	Applique	Dent	Suidé	Fragment	Rectangulaire	1,309	0,368		0,217	0,368	< 1	NR II / niv6-5	
6364-134	Maison 1	sol 6-096	Applique	Dent	Suidé	Fragment	Rectangulaire	0,757	0,467		0,302	0,245	< 1	NR II / niv6-5	
6364-135	Maison 1	sol 6-096	Applique	Dent	Suidé	Fragment	Rectangulaire	0,864	0,411		0,238	0,282	< 1	NR II / niv6-5	
6364-136	Maison 1	sol 6-096	Applique	Dent	Suidé	Fragment	Rectangulaire	0,890	0,449		0,287	0,403	< 1	NR II / niv6-5	
6364-137	Maison 1	sol 6-096	Applique	Dent	Suidé	Fragment	Rectangulaire	1,108	0,743		0,214	0,256	< 1	NR II / niv6-5	
6364-138	Maison 1	sol 6-096	Applique	Dent	Suidé	Fragment	Rectangulaire	0,641	0,383		0,245	0,287	< 1	NR II / niv6-5	
6364-139	Maison 1	sol 6-096	Applique	Dent	Suidé	Fragment	Rectangulaire	1,044	0,460		0,135	0,254	< 1	NR II / niv6-5	
6364-140	Maison 1	sol 6-096	Applique	Dent	Suidé	Fragment	Rectangulaire	2,366	0,897		0,242		6	NR II / niv6-5	

## Annexe 1 Les pièces de parure de Dikili Tash

*En italique les pièces non étudiées par Céline Choquet*

N° inventaire	Ensemble	Fait	Type	Matériau	Matériau détermination	Etat	Forme	Long. (en cm)	Larg. (en cm)	Diam. Max (en cm)	Ep. max. (en cm)	Diam perforation (en cm)	Poids (en gr)	Datation / Niveau	Fig.	
6364-141	Maison 1	sol 6-096	Applique	Dent	Suidé	Fragment	Rectangulaire	1,476	0,429		0,175	0,311	< 1	NR II / niv6-5		
6364-142	Maison 1	sol 6-096	Applique	Dent	Suidé	Fragment	Rectangulaire	1,750	0,868		0,162	0,353	4	NR II / niv6-5		
6364-143	Maison 1	sol 6-096	Applique	Dent	Suidé	Fragment	Rectangulaire	2,853	0,676		0,445		7	NR II / niv6-5		
6364-144	Maison 1	sol 6-096	Applique	Dent	Suidé	Fragment	Rectangulaire	0,933	0,702		0,123	0,328	< 1	NR II / niv6-5		
6364-145	Maison 1	sol 6-096	Applique	Dent	Suidé	Fragment	Rectangulaire			Recolle avec 6364-078 & 6364-114						
6364-146	Maison 1	sol 6-096	Applique	Dent	Suidé	Fragment	Rectangulaire	1,305	0,476		0,256	0,259	< 1	NR II / niv6-5		
6364-147	Maison 1	sol 6-096	Applique	Dent	Suidé	Fragment	Rectangulaire			Recolle avec 6364-123						
6364-148	Maison 1	sol 6-096	Applique	Dent	Suidé	Fragment	Rectangulaire	1,527	0,753		0,163	/	< 1	NR II / niv6-5		
6364-149	Maison 1	sol 6-096	Applique	Dent	Suidé	Fragment	Rectangulaire	1,500	0,696		0,293	0,321	< 1	NR II / niv6-5		
6364-150	Maison 1	sol 6-096	Applique	Dent	Suidé	Fragment	Rectangulaire			Recolle avec 6364-117 & 6364-153						
6364-151	Maison 1	sol 6-096	Applique	Dent	Suidé	Fragment	Rectangulaire	1,505	0,729		0,307	0,277	2	NR II / niv6-5		
6364-152	Maison 1	sol 6-096	Applique	Dent	Suidé	Fragment	Rectangulaire			Recolle avec 6364-038						
6364-153	Maison 1	sol 6-096	Applique	Dent	Suidé	Fragment	Rectangulaire			Recolle avec 6364-117 & 6364-150						
6364-154	Maison 1	sol 6-096	Applique	Dent	Suidé	Fragment	Rectangulaire	1,964	0,693		0,152	0,347	< 1	NR II / niv6-5		
6364-155	Maison 1	sol 6-096	Applique	Dent	Suidé	Fragment	Rectangulaire	0,967	0,505		0,159	0,210	< 1	NR II / niv6-5		
6364-156	Maison 1	sol 6-096	Applique	Dent	Suidé	Fragment	Rectangulaire			Recolle avec 6364-034						
6364-157	Maison 1	sol 6-096	Applique	Dent	Suidé	Fragment	Rectangulaire	1,621	0,445		0,199	0,223	< 1	NR II / niv6-5		
6364-158	Maison 1	sol 6-096	Applique	Dent	Suidé	Fragment	Rectangulaire	1,039	0,984		0,216	0,354	< 1	NR II / niv6-5		
6364-159	Maison 1	sol 6-096	Applique	Dent	Suidé	Fragment	Rectangulaire			Recolle avec 6364-071 & 6364-105						
6364-160	Maison 1	sol 6-096	Applique	Dent	Suidé	Fragment	Rectangulaire			Recolle avec 6364-099, 6364-107 & 6364-205						
6364-161	Maison 1	sol 6-096	Applique	Dent	Suidé	Fragment	Rectangulaire			Recolle avec 6364-056 & 6364-085						
6364-162	Maison 1	sol 6-096	Applique	Dent	Suidé	Fragment	Rectangulaire			Recolle avec 6364-017						
6364-163	Maison 1	sol 6-096	Applique	Dent	Suidé	Fragment	Rectangulaire	1,491	1,381		0,162	0,503	< 1	NR II / niv6-5		
6364-164	Maison 1	sol 6-096	Applique	Dent	Suidé	Fragment	Rectangulaire	1,333	0,537		0,138	0,353	< 1	NR II / niv6-5		
6364-165	Maison 1	sol 6-096	Applique	Dent	Suidé	Fragment	Rectangulaire	1,729	0,795		0,205	0,305	2	NR II / niv6-5		
6364-166	Maison 1	sol 6-096	Applique	Dent	Suidé	Fragment	Rectangulaire			Recolle avec 6364-109 & 6364-172						
6364-167	Maison 1	sol 6-096	Applique	Dent	Suidé	Fragment	Rectangulaire	2,376	0,791		0,263		5	NR II / niv6-5		
6364-168	Maison 1	sol 6-096	Applique	Dent	Suidé	Fragment	Rectangulaire	3,090	0,813		0,353		3	NR II / niv6-5		
6364-169	Maison 1	sol 6-096	Applique	Dent	Suidé	Fragment	Rectangulaire			Recolle avec 6364-026						
6364-170	Maison 1	sol 6-096	Applique	Dent	Suidé	Fragment	Rectangulaire	1,972	0,715		0,221	0,222	3	NR II / niv6-5		
6364-171	Maison 1	sol 6-096	Applique	Dent	Suidé	Fragment	Rectangulaire	2,280	0,841		0,344		8	NR II / niv6-5		
6364-172	Maison 1	sol 6-096	Applique	Dent	Suidé	Fragment	Rectangulaire			Recolle avec 6364-109 & 6364-166						

## Annexe 1 Les pièces de parure de Dikili Tash

*En italique les pièces non étudiées par Céline Choquet*

N° inventaire	Ensemble	Fait	Type	Matériau	Matériau détermination	Etat	Forme	Long. (en cm)	Larg. (en cm)	Diam. Max (en cm)	Ep. max. (en cm)	Diam perforation (en cm)	Poids (en gr)	Datation / Niveau	Fig.
6364-174	Maison 1	sol 6-096	Débris	Dent	Suidé	Ensemble de fragments	irrégulière						43	NR II / niv6-5	
6364-175	Maison 1	sol 6-096	Applique	Dent	Suidé	Fragment	Rectangulaire			Recolle avec 6364-043					
6364-177	Maison 1	sol 6-096	Perle	Pierre	Pierre calcaire	Complet	Discoïdale			0,580	0,066	0,112	< 1	NR II / niv6-5	
6364-178	Maison 1	sol 6-096	Perle	Pierre	Pierre calcaire	Complet	Tubulaire			0,566	0,581	0,250	2	NR II / niv6-5	63
6364-179	Maison 1	sol 6-096	Perle	Pierre	Pierre calcaire	Complet	Discoïdale			0,675	0,380	0,221	3	NR II / niv6-5	
6364-180	Maison 1	sol 6-096	Perle	Pierre	Roche verte	Complet	Discoïdale			0,496	0,125	0,194	< 1	NR II / niv6-5	
6364-181	Maison 1	sol 6-096	Applique	Dent	Suidé	Fragment	Rectangulaire			Recolle avec 6364-027					
6364-182	Maison 1	sol 6-096	Perle	Pierre	Roche verte	Complet	Discoïdale			0,506	0,174	0,190	< 1	NR II / niv6-5	
6364-183	Maison 1	sol 6-096	Perle	Pierre	Roche verte	Complet	Discoïdale			0,461	0,088	0,152	< 1	NR II / niv6-5	
6364-184	Maison 1	sol 6-096	Perle	Pierre	Roche verte	Complet	Discoïdale			0,405	0,109	0,170	< 1	NR II / niv6-5	
6364-185	Maison 1	sol 6-096	Perle	Pierre	Roche verte	Complet	Discoïdale			0,481	0,111	0,200	< 1	NR II / niv6-5	
6364-186	Maison 1	sol 6-096	Perle	Pierre	Roche verte	Complet	Discoïdale			0,456	0,105	0,179	< 1	NR II / niv6-5	
6364-187	Maison 1	sol 6-096	Perle	Pierre	Roche verte	Complet	Discoïdale			0,412	0,088	0,245	< 1	NR II / niv6-5	
6364-188	Maison 1	sol 6-096	Perle	Pierre	Roche verte	Complet	Discoïdale			0,461	0,149	0,181	< 1	NR II / niv6-5	
6364-189	Maison 1	sol 6-096	Perle	Pierre	Roche verte	Complet	Discoïdale			0,448	0,112	0,157	< 1	NR II / niv6-5	
6364-190	Maison 1	sol 6-096	Perle	Pierre	Roche verte	Complet	Discoïdale			0,423	0,090	0,191	< 1	NR II / niv6-5	
6364-191	Maison 1	sol 6-096	Perle	Pierre	Roche verte	Complet	Discoïdale			0,468	0,124	0,184	< 1	NR II / niv6-5	
6364-192	Maison 1	sol 6-096	Perle	Pierre	Roche verte	Complet	Discoïdale			0,527	0,147	0,200	< 1	NR II / niv6-5	
6364-193	Maison 1	sol 6-096	Perle	Pierre	Roche verte	Complet	Discoïdale			0,473	0,095	0,172	< 1	NR II / niv6-5	
6364-194	Maison 1	sol 6-096	Perle	Pierre	Indéterminé	Fragment	Discoïdale			0,400	0,089	0,193	< 1	NR II / niv6-5	
6364-195	Maison 1	sol 6-096	Perle	Pierre	Pierre calcaire	Fragment	Discoïdale			0,656	0,229	0,159	< 1	NR II / niv6-5	
6364-196	Maison 1	sol 6-096	Perle	Pierre	Pierre calcaire	Fragment	Biconique			0,620	0,574	0,223	< 1	NR II / niv6-5	
6364-197	Maison 1	sol 6-096	Débris	Dent	Suidé	Ensemble de fragments	irrégulière			/	/	/	190	NR II / niv6-5	
6364-198	Maison 1	sol 6-096	Applique	Dent	Suidé	Fragment	Rectangulaire	0,882	0,559		0,307	0,361	< 1	NR II / niv6-5	
6364-199	Maison 1	sol 6-096	Applique	Dent	Suidé	Fragment	Rectangulaire	1,143	0,476		0,244	0,244	< 1	NR II / niv6-5	
6364-200	Maison 1	sol 6-096	Applique	Dent	Suidé	Fragment	Rectangulaire	0,921	0,337		0,244	0,352	< 1	NR II / niv6-5	
6364-201	Maison 1	sol 6-096	Applique	Dent	Suidé	Fragment	Rectangulaire			Recolle avec 6364-097					
6364-202	Maison 1	sol 6-096	Applique	Dent	Suidé	Fragment	Rectangulaire	0,510	0,471		0,159	0,274	< 1	NR II / niv6-5	
6364-203	Maison 1	sol 6-096	Applique	Dent	Suidé	Fragment	Rectangulaire	0,424	0,398		0,247	0,280	< 1	NR II / niv6-5	
6364-204	Maison 1	sol 6-096	Applique	Dent	Suidé	Fragment	Rectangulaire	0,422	0,389		0,123	0,292	< 1	NR II / niv6-5	
6364-205	Maison 1	sol 6-096	Applique	Dent	Suidé	Fragment	Rectangulaire			Recolle avec 6364-099, 6364-107 & 6364-160					
6364-206	Maison 1	sol 6-096	Applique	Dent	Suidé	Fragment	Rectangulaire	0,437	0,341		0,192	0,212	< 1	NR II / niv6-5	

## Annexe 1 Les pièces de parure de Dikili Tash

*En italique les pièces non étudiées par Céline Choquet*

N° inventaire	Ensemble	Fait	Type	Matériau	Matériau détermination	Etat	Forme	Long. (en cm)	Larg. (en cm)	Diam. Max (en cm)	Ep. max. (en cm)	Diam perforation (en cm)	Poids (en gr)	Datation / Niveau	Fig.
6364-207	Maison 1	sol 6-096	Applique	Dent	Suidé	Fragment	Rectangulaire	0,767	0,277		0,187	0,259	< 1	NR II / niv6-5	
6364-208	Maison 1	sol 6-096	Applique	Dent	Suidé	Fragment	Rectangulaire	0,660	0,330		0,271	0,277	< 1	NR II / niv6-5	
6364-209	Maison 1	sol 6-096	Applique	Dent	Suidé	Fragment	Rectangulaire	0,437	0,432		0,155	0,274	< 1	NR II / niv6-5	
6364-210	Maison 1	sol 6-096	Applique	Dent	Suidé	Fragment	Rectangulaire	0,423	0,298		0,133	0,291	< 1	NR II / niv6-5	
6364-211	Maison 1	sol 6-096	Applique	Dent	Suidé	Fragment	Rectangulaire								
6364-212	Maison 1	sol 6-096	Applique	Dent	Suidé	Fragment	Rectangulaire								
6364-213	Maison 1	sol 6-096	Applique	Dent	Suidé	Fragment	Rectangulaire								
6388-004	Maison 1	couche de destruction 6-099	Perle	Pierre	Indéterminé	Complet	Discoïdale			0,308	0,174	0,086	< 1	NR II / niv6-5	
6395-001	Maison 1	couche de destruction 6-067	Anneau	Coquille	Spondylus Gaederopus	Fragment	Circulaire	6,318	1,198		1,545		102	NR II / niv6-5	
6399-002	Maison 1	sol 6-096	Débris	Dent	Suidé	Fragment	Rectangulaire	1,827	0,317		0,265		< 1	NR II / niv6-5	
6399-003	Maison 1	sol 6-096	Applique	Dent	Suidé	Ensemble de fragments	irrégulière			/	/	/	10	NR II / niv6-5	
6399-004	Maison 1	sol 6-096	Applique	Dent	Suidé	Fragment	Rectangulaire	1,745	0,370		0,192	0,284	< 1	NR II / niv6-5	
6399-005	Maison 1	sol 6-096	Perle	Pierre	Roche verte	Complet	Discoïdale			0,433	0,090	0,163	< 1	NR II / niv6-5	
6399-006	Maison 1	sol 6-096	Perle	Pierre	Roche verte	Complet	Discoïdale			0,444	0,078	0,168	< 1	NR II / niv6-5	
6399-007	Maison 1	sol 6-096	Perle	Pierre	Roche verte	Complet	Discoïdale			0,411	0,135	0,160	< 1	NR II / niv6-5	
6399-008	Maison 1	sol 6-096	Perle	Pierre	Roche verte	Complet	Discoïdale			0,509	0,116	0,189	< 1	NR II / niv6-5	
6399-009	Maison 1	sol 6-096	Perle	Pierre	Roche verte	Complet	Discoïdale			0,448	0,090	0,207	< 1	NR II / niv6-5	
6399-010	Maison 1	sol 6-096	Perle	Pierre	Roche verte	Complet	Discoïdale			0,430	0,096	0,202	< 1	NR II / niv6-5	
6399-011	Maison 1	sol 6-096	Perle	Pierre	Roche verte	Complet	Discoïdale			0,441	0,073	0,198	< 1	NR II / niv6-5	
6399-012	Maison 1	sol 6-096	Perle	Pierre	Roche verte	Complet	Discoïdale			0,422	0,099	0,197	< 1	NR II / niv6-5	
6399-013	Maison 1	sol 6-096	Perle	Pierre	Roche verte	Complet	Discoïdale			0,457	0,100	0,147	< 1	NR II / niv6-5	
6399-014	Maison 1	sol 6-096	Perle	Pierre	Roche verte	Complet	Discoïdale			0,433	0,121	0,175	< 1	NR II / niv6-5	
6399-015	Maison 1	sol 6-096	Perle	Pierre	Roche verte	Complet	Discoïdale			0,537	0,102	0,183	< 1	NR II / niv6-5	
6399-016	Maison 1	sol 6-096	Perle	Pierre	Roche verte	Complet	Discoïdale			0,439	0,085	0,140	< 1	NR II / niv6-5	
6399-017	Maison 1	sol 6-096	Perle	Pierre	Roche verte	Complet	Discoïdale			0,408	0,085	0,171	< 1	NR II / niv6-5	
6399-018	Maison 1	sol 6-096	Perle	Pierre	Roche verte	Complet	Discoïdale			0,538	0,214	0,238	< 1	NR II / niv6-5	
6399-020	Maison 1	sol 6-096	Débris	Dent	Suidé	Ensemble de fragments	Rectangulaire			/	/	/	< 1	NR II / niv6-5	
6399-021	Maison 1	sol 6-096	Applique	Dent	Suidé	Fragment	Rectangulaire	0,989	0,235		0,334		< 1	NR II / niv6-5	

## Annexe 1 Les pièces de parure de Dikili Tash

*En italique les pièces non étudiées par Céline Choquet*

N° inventaire	Ensemble	Fait	Type	Matériau	Matériau détermination	Etat	Forme	Long. (en cm)	Larg. (en cm)	Diam. Max (en cm)	Ep. max. (en cm)	Diam perforation (en cm)	Poids (en gr)	Datation / Niveau	Fig.	
6406-002	Maison 1	fosse 6-103	Pendentif	Pierre	Pierre calcaire	Complet	pyramidale	0,840	0,837		0,665	0,271 / 0,29	6	NR II, BA / niv6-2, 6-5	212	
6406-003	Maison 1	fosse 6-103	Pendentif	Pierre	Pierre calcaire	Complet	pyramidale	0,842	0,827		0,529	0,265 / 0,268	4	NR II, BA / niv6-2, 6-5		
6406-004	Maison 1	fosse 6-103	Débris	Coquille	Dentalium sp.	Fragment	Tubulaire			0,363	1,053	0,259	<1	NR II, BA / niv6-2, 6-5		
6409-002	Maison 1	sol 6-113	Perle	Pierre	Indéterminé	Complet	Discoïdale			0,412	0,187	0,156	<1	NR II, BA / niv6-2, 6-5		
6419-001	Maison 1	sol 6-092	Perle	Pierre	Indéterminé	Complet	Discoïdale			0,461	0,122	0,219	<1	NR II / niv6-5		
6419-002	Maison 1	sol 6-092	Applique	Dent	Suidé	Fragment	Irrégulière	2,350	0,918		0,385		<1	NR II / niv6-5		
6421-003	Maison 1	sol 6-096	Perle	Pierre	Roche verte	Complet	Discoïdale			0,472	0,126	0,168	<1	NR II / niv6-5		
6421-004	Maison 1	sol 6-096	Pendentif	Os	Astragale	Complet	Naturelle	2,589	1,604		1,461	0,391	43	NR II / niv6-5		
6421-005	Maison 1	sol 6-096	Pendentif	Os	Astragale	Complet	Naturelle	2,344	1,444		1,236	0,253	30	NR II / niv6-5		
6421-007	Maison 1	sol 6-096	Applique	Dent	Suidé	Fragment	Rectangulaire	2,146	0,746		0,215	0,218 / 0,231	4	NR II / niv6-5	118	
6421-008	Maison 1	sol 6-096	Perle	Pierre	Pierre calcaire	Complet	Discoïdale			0,682	0,422	0,225	3	NR II / niv6-5		
6421-013	Maison 1	sol 6-096	Perle	Pierre	Pierre calcaire	Complet	Discoïdale			0,574	0,268	0,235	<1	NR II / niv6-5		
6421-015	Maison 1	sol 6-096	Applique	Dent	Suidé	Fragment	Rectangulaire	2,821	0,806		0,319	0,288	10	NR II / niv6-5		
6421-021	Maison 1	sol 6-096	Applique	Dent	Suidé	Fragment	Rectangulaire	1,894	0,770		0,181		3	NR II / niv6-5		
6421-024	Maison 1	sol 6-096	Applique	Dent	Suidé	Complet	Rectangulaire	3,817	0,685		0,337	0,279 / 0,325	16	NR II / niv6-5	8	
6421-025	Maison 1	sol 6-096	Pendentif	Os	Astragale	Complet	Naturelle	2,255	1,454		1,121	0,343	24	NR II / niv6-5		
6421-026	Maison 1	sol 6-096	Applique	Dent	Suidé	Fragment	Rectangulaire			Recolle avec 6421-027 & 6421-070						
6421-027	Maison 1	sol 6-096	Applique	Dent	Suidé	Presque complet	Rectangulaire	4,188	0,771		0,244	0,302 / 0,245	13	NR II / niv6-5	116	
6421-028	Maison 1	sol 6-096	Perle	Pierre	Pierre calcaire	Complet	Discoïdale			0,667	0,476	0,242	3	NR II / niv6-5		
6421-029	Maison 1	sol 6-096	Perle	Pierre	Pierre calcaire	Complet	Discoïdale			0,563	0,541	0,215	<1	NR II / niv6-5		
6421-030	Maison 1	sol 6-096	Applique	Dent	Suidé	Fragment	Naturelle	2,613	1,606		1,460	0,312	46	NR II / niv6-5		
6421-032	Maison 1	sol 6-096	Applique	Dent	Suidé	Presque complet	Rectangulaire	3,907	0,643		0,372	0,169	13	NR II / niv6-5		
6421-034	Maison 1	sol 6-096	Pendentif	Os	Astragale	Complet	Naturelle	2,043	1,424		1,195	0,122	20	NR II / niv6-5		
6421-035	Maison 1	sol 6-096	Applique	Dent	Suidé	Presque complet	Rectangulaire	3,323	0,808		0,249	0,196	10	NR II / niv6-5		
6421-036	Maison 1	sol 6-096	Applique	Dent	Suidé	Presque complet	Rectangulaire	3,366	0,783		0,224	0,214 / 0,281	9	NR II / niv6-5		
6421-037	Maison 1	sol 6-096	Perle	Pierre	Pierre calcaire	Complet	Discoïdale			0,550	0,425	0,259	<1	NR II / niv6-5		
6421-039	Maison 1	sol 6-096	Applique	Dent	Suidé	Fragment	Rectangulaire	2,500	1,052		0,341	0,332	11	NR II / niv6-5		

## Annexe 1 Les pièces de parure de Dikili Tash

*En italique les pièces non étudiées par Céline Choquet*

N° inventaire	Ensemble	Fait	Type	Matériau	Matériau détermination	Etat	Forme	Long. (en cm)	Larg. (en cm)	Diam. Max (en cm)	Ep. max. (en cm)	Diam perforation (en cm)	Poids (en gr)	Datation / Niveau	Fig.	
6421-040	Maison 1	sol 6-096	Applique	Dent	Suidé	Presque complet	Rectangulaire	4,815	1,016		0,291	0,220 / 0,257	21	NR II / niv6-5		
6421-041	Maison 1	sol 6-096	Applique	Dent	Suidé	Fragment	Rectangulaire		Recolle avec 6421-040							
6421-044	Maison 1	sol 6-096	Applique	Dent	Suidé	Fragment	Rectangulaire	2,416	0,842		0,263		9	NR II / niv6-5		
6421-045	Maison 1	sol 6-096	Applique	Dent	Suidé	Fragment	Rectangulaire	1,367	0,514		0,181		2	NR II / niv6-5		
6421-046	Maison 1	sol 6-096	Applique	Dent	Suidé	Fragment	Rectangulaire	2,805	0,646		0,233	0,251	8	NR II / niv6-5		
6421-047	Maison 1	sol 6-096	Applique	Dent	Suidé	Fragment	Rectangulaire	2,587	0,989		0,283		9	NR II / niv6-5		
6421-048	Maison 1	sol 6-096	Applique	Dent	Suidé	Fragment	Rectangulaire	2,724	0,644		0,157		3	NR II / niv6-5		
6421-049	Maison 1	sol 6-096	Applique	Dent	Suidé	Fragment	Rectangulaire	2,398	0,847		0,292	0,332	8	NR II / niv6-5		
6421-050	Maison 1	sol 6-096	Applique	Dent	Suidé	Fragment	Rectangulaire	3,429	1,055		0,263		13	NR II / niv6-5		
6421-051	Maison 1	sol 6-096	Applique	Dent	Suidé	Fragment	Rectangulaire			/	/		/	NR II / niv6-5		
6421-052	Maison 1	sol 6-096	Applique	Dent	Suidé	Fragment	Rectangulaire	1,615	0,657		0,133	0,259	< 1	NR II / niv6-5		
6421-054	Maison 1	sol 6-096	Applique	Dent	Suidé	Fragment	Rectangulaire	4,265	1,285		0,362	0,203 / 0,357	19	NR II / niv6-5	108	
6421-056	Maison 1	sol 6-096	Applique	Dent	Suidé	Fragment	Rectangulaire	0,941	0,392		0,195	0,247	< 1	NR II / niv6-5	115	
6421-057	Maison 1	sol 6-096	Débris	Dent	Suidé	Ensemble de fragments	irrégulière			/	/	/	87	NR II / niv6-5		
6421-060	Maison 1	sol 6-096	Pendentif	Os	Roche verte	Fragment	Naturelle	3,443	0,775		0,410		13	NR II / niv6-5		
6421-061	Maison 1	sol 6-096	Perle	Pierre	Roche verte	Complet	Discoïdale			/	/	/	< 1	NR II / niv6-5		
6421-064	Maison 1	sol 6-096	Perle	Pierre	Roche verte	Complet	Discoïdale			0,635	0,056	0,233	< 1	NR II / niv6-5		
6421-065	Maison 1	sol 6-096	Perle	Pierre	Pierre calcaire	Complet	Discoïdale			0,542	0,204	0,231	< 1	NR II / niv6-5		
6421-066	Maison 1	sol 6-096	Applique	Dent	Suidé	Presque complet	Rectangulaire	2,250	0,896		0,317		14	NR II / niv6-5	111	
6421-067	Maison 1	sol 6-096	Élément de débitage	Os		Ensemble de fragments	irrégulière			/	/	/		NR II / niv6-5		
6421-069	Maison 1	sol 6-096	Débris	Dent	Suidé	Ensemble de fragments	irrégulière			/	/	/		NR II / niv6-5		
6421-070	Maison 1	sol 6-096	Applique	Dent	Suidé	Fragment	Rectangulaire		Recolle avec 6421-026 & 6421-027							
6421-071	Maison 1	sol 6-096	Débris	Dent	Suidé	Ensemble de fragments	irrégulière			/	/	/	31	NR II / niv6-5		
6421-072	Maison 1	sol 6-096	Perle	Pierre	Roche verte	Complet	Discoïdale			0,468	0,082	0,181	< 1	NR II / niv6-5		
6421-074	Maison 1	sol 6-096	Débris	Dent	Suidé	Ensemble de fragments	irrégulière			/	/	/	21	NR II / niv6-5		
6421-075	Maison 1	sol 6-096	Applique	Dent	Suidé	Fragment	Rectangulaire	1,076	0,382		0,214	0,214	< 1	NR II / niv6-5		
6421-076	Maison 1	sol 6-096	Applique	Dent	Suidé	Fragment	Rectangulaire	0,594	0,436		2,570	0,203	< 1	NR II / niv6-5		
6421-077	Maison 1	sol 6-096	Applique	Dent	Suidé	Fragment	Rectangulaire	0,663	0,441		0,237	0,225	< 1	NR II / niv6-5		

**Annexe 1**  
**Les pièces de parure de Dikili Tash**

*En italique les pièces non étudiées par Céline Choquet*

N° inventaire	Ensemble	Fait	Type	Matériau	Matériau détermination	Etat	Forme	Long. (en cm)	Larg. (en cm)	Diam. Max (en cm)	Ep. max. (en cm)	Diam perforation (en cm)	Poids (en gr)	Datation / Niveau	Fig.	
6421-078	Maison 1	sol 6-096	Perle	Pierre	Pierre calcaire	Complet	Discoïdale			0,583	0,392	0,229	< 1	NR II / niv6-5		
6421-079	Maison 1	sol 6-096	Perle	Pierre	Pierre calcaire	Complet	Discoïdale			0,582	0,475	0,228	< 1	NR II / niv6-5		
6421-080	Maison 1	sol 6-096	Perle	Pierre	Pierre calcaire	Complet	Discoïdale			0,661	0,573	0,247	< 1	NR II / niv6-5		
6421-081	Maison 1	sol 6-096	Perle	Pierre	Roche verte	Complet	Discoïdale			0,437	0,064	0,165	< 1	NR II / niv6-5		
6421-082	Maison 1	sol 6-096	Perle	Pierre	Roche verte	Complet	Discoïdale			0,450	0,102	0,169	< 1	NR II / niv6-5		
6421-083	Maison 1	sol 6-096	Perle	Pierre	Roche verte	Complet	Tubulaire			0,417	1,100	0,186	< 1	NR II / niv6-5		
6421-084	Maison 1	sol 6-096	Perle	Pierre	Roche verte	Complet	Discoïdale			0,503	0,107	0,108	< 1	NR II / niv6-5		
6421-085	Maison 1	sol 6-096	Perle	Pierre	Indéterminé	Complet	Discoïdale			0,361	0,146	0,155	< 1	NR II / niv6-5		
6422-001		terrier	Perle	Pierre	Pierre calcaire	Complet	Tubulaire			0,675	0,569	0,268	< 1	NR II / niv6-5		
6431-004		fosse 6-105	Perle	Coquille	Dentalium sp.	Complet	Tubulaire			0,277	0,832	0,195	< 1	NR II, NFinal, BA / niv6-2, 6-4, 6-5		
6434-001		fosse 6-094	Élément de débitage	Coquille	Dentalium sp.	Complet	Tubulaire			0,320	1,845	0,227	< 1	BA / niv6-2	77	
6444-001	Maison 1	couche de destruction 6-082	Anneau	Coquille	Spondylus Gaederopus	Fragment	Circulaire	8,064	7,832		1,252		274	NR II / niv6-5		
6444-002	Maison 1	couche de destruction 6-082	Anneau	Coquille	Spondylus Gaederopus	Fragment	Circulaire			Recolle avec 6444-001						
6445-002		fosse 6-103	Perle	Pierre	Pierre calcaire	Complet	Discoïdale			0,569	0,187	0,224	< 1	NR II, BA / niv6-2, 6-5		
6445-003		fosse 6-103	Perle	Pierre	Pierre calcaire	Complet	Discoïdale			0,642	0,239	0,270	2	NR II, BA / niv6-2, 6-5		
6445-004		fosse 6-103	Perle	Pierre	Pierre calcaire	Complet	Discoïdale			0,759	0,354	0,221	2	NR II, BA / niv6-2, 6-5		
6445-005		fosse 6-103	Perle	Pierre	Pierre calcaire	Complet	Discoïdale			0,746	0,640	0,297	5	NR II, BA / niv6-2, 6-5		
6445-006		fosse 6-103	Perle	Pierre	Pierre calcaire	Complet	Discoïdale			0,721	0,372	0,302	2	NR II, BA / niv6-2, 6-5		
6445-007		fosse 6-103	Perle	Pierre	Pierre calcaire	Complet	Discoïdale			0,547	0,271	0,260	< 1	NR II, BA / niv6-2, 6-5		
6445-008		fosse 6-103	Perle	Pierre	Pierre calcaire	Complet	Discoïdale			0,584	0,394	0,236	< 1	NR II, BA / niv6-2, 6-5		
6445-009		fosse 6-103	Perle	Pierre	Pierre calcaire	Complet	Discoïdale			0,661	0,319	0,250	< 1	NR II, BA / niv6-2, 6-5	17	
6445-010		fosse 6-103	Pendentif	Pierre	Pierre calcaire	Fragment	pyramidale	0,774	0,517		0,545	0,281 / 0,347	2	NR II, BA / niv6-2, 6-5		

**Annexe 1**  
**Les pièces de parure de Dikili Tash**

*En italique les pièces non étudiées par Céline Choquet*

N° inventaire	Ensemble	Fait	Type	Matériau	Matériau détermination	Etat	Forme	Long. (en cm)	Larg. (en cm)	Diam. Max (en cm)	Ep. max. (en cm)	Diam perforation (en cm)	Poids (en gr)	Datation / Niveau	Fig.
6445-011		fosse 6-103	Pendentif	Coquille		Complet	Naturelle	1,029	0,918		0,151	0,074		NR II, BA / niv6-2, 6-5	
6445-012		fosse 6-103	Perle	Pierre	Pierre calcaire	Complet	Discoïdale			0,642	0,361	0,250	< 1	NR II, BA / niv6-2, 6-5	
6445-013		fosse 6-103	Perle	Pierre	Pierre calcaire	Complet	Discoïdale			0,998	0,306	0,298	3	NR II, BA / niv6-2, 6-5	
6445-014		fosse 6-103	Perle	Pierre	Pierre calcaire	Complet	Discoïdale			1,013	0,393	0,306	6	NR II, BA / niv6-2, 6-5	
6445-015		fosse 6-103	Pendentif	Pierre	Pierre calcaire	Complet	pyramidale	1,036	0,991		0,404	0,243 / 0,258	5	NR II, BA / niv6-2, 6-5	
6445-016		fosse 6-103	Perle	Pierre	Pierre calcaire	Complet	Tubulaire			0,615	0,637	0,277	< 1	NR II, BA / niv6-2, 6-5	
6445-017		fosse 6-103	Perle	Pierre	Indéterminé	Complet	Discoïdale			0,522	0,130	0,231	< 1	NR II, BA / niv6-2, 6-5	
6445-018		fosse 6-103	Perle	Pierre	Pierre calcaire	Complet	Discoïdale			0,606	0,253	0,238	< 1	NR II, BA / niv6-2, 6-5	
6445-019		fosse 6-103	Perle	Pierre	Pierre calcaire	Complet	Discoïdale			0,542	0,185	0,255	< 1	NR II, BA / niv6-2, 6-5	
6445-020		fosse 6-103	Perle	Pierre	Pierre calcaire	Complet	Discoïdale			0,612	0,136	0,242	< 1	NR II, BA / niv6-2, 6-5	
6445-021		fosse 6-103	Perle	Pierre	Indéterminé	Complet	Discoïdale			0,626	0,229	0,260	< 1	NR II, BA / niv6-2, 6-5	
6445-022		fosse 6-103	Perle	Pierre	Pierre calcaire	Complet	Discoïdale			0,547	0,121	0,184	< 1	NR II, BA / niv6-2, 6-5	
6445-023		fosse 6-103	Perle	Pierre	Pierre calcaire	Complet	Discoïdale			0,546	0,205	0,235	< 1	NR II, BA / niv6-2, 6-5	
6445-024		fosse 6-103	Perle	Pierre	Indéterminé	Complet	Discoïdale			0,524	0,187	0,233	< 1	NR II, BA / niv6-2, 6-5	
6445-025		fosse 6-103	Perle	Pierre	Indéterminé	Complet	Discoïdale			0,482	0,124	0,172	< 1	NR II, BA / niv6-2, 6-5	
6445-026		fosse 6-103	Perle	Pierre	Pierre calcaire	Complet	Discoïdale			0,504	0,184	0,228	< 1	NR II, BA / niv6-2, 6-5	
6445-027		fosse 6-103	Perle	Pierre	Pierre calcaire	Complet	Discoïdale			0,596	0,202	0,222	< 1	NR II, BA / niv6-2, 6-5	
6445-028		fosse 6-103	Perle	Pierre	Pierre calcaire	Complet	Discoïdale			0,638	0,173	0,265	< 1	NR II, BA / niv6-2, 6-5	
6445-029		fosse 6-103	Perle	Pierre	Pierre calcaire	Complet	Discoïdale			0,551	0,219	0,237	< 1	NR II, BA / niv6-2, 6-5	
6445-030		fosse 6-103	Perle	Pierre	Pierre calcaire	Complet	Discoïdale			0,517	0,173	0,260	< 1	NR II, BA / niv6-2, 6-5	

**Annexe 1**  
**Les pièces de parure de Dikili Tash**

*En italique les pièces non étudiées par Céline Choquet*

N° inventaire	Ensemble	Fait	Type	Matériau	Matériau détermination	Etat	Forme	Long. (en cm)	Larg. (en cm)	Diam. Max (en cm)	Ep. max. (en cm)	Diam perforation (en cm)	Poids (en gr)	Datation / Niveau	Fig.
6445-031		fosse 6-103	Perle	Pierre	Pierre calcaire	Complet	Discoïdale			0,568	0,209	0,214	< 1	NR II, BA / niv6-2, 6-5	
6445-032		fosse 6-103	Perle	Pierre	Pierre calcaire	Complet	Discoïdale			0,537	0,122	0,203	< 1	NR II, BA / niv6-2, 6-5	
6445-033		fosse 6-103	Perle	Pierre	Indéterminé	Complet	Discoïdale			0,521	0,134	0,207	< 1	NR II, BA / niv6-2, 6-5	
6445-034		fosse 6-103	Perle	Pierre	Indéterminé	Complet	Discoïdale			0,461	0,115	0,206	< 1	NR II, BA / niv6-2, 6-5	
6445-035		fosse 6-103	Perle	Pierre	Pierre calcaire	Complet	Discoïdale			0,532	0,185	0,221	< 1	NR II, BA / niv6-2, 6-5	
6445-036		fosse 6-103	Perle	Pierre	Pierre calcaire	Complet	Discoïdale			0,633	0,125	0,242	< 1	NR II, BA / niv6-2, 6-5	
6445-037		fosse 6-103	Perle	Pierre	Pierre calcaire	Complet	Discoïdale			0,597	0,092	0,243	< 1	NR II, BA / niv6-2, 6-5	
6445-038		fosse 6-103	Perle	Pierre	Pierre calcaire	Complet	Discoïdale			0,559	0,229	0,227	< 1	NR II, BA / niv6-2, 6-5	
6445-039		fosse 6-103	Perle	Pierre	Pierre calcaire	Complet	Discoïdale			0,535	0,197	0,234	< 1	NR II, BA / niv6-2, 6-5	
6445-040		fosse 6-103	Perle	Pierre	Pierre calcaire	Complet	Discoïdale			0,616	0,135	0,218	< 1	NR II, BA / niv6-2, 6-5	
6445-041		fosse 6-103	Perle	Pierre	Indéterminé	Complet	Discoïdale			0,665	0,210	0,217	< 1	NR II, BA / niv6-2, 6-5	
6445-042		fosse 6-103	Perle	Pierre	Pierre calcaire	Complet	Discoïdale			0,625	0,175	0,234	< 1	NR II, BA / niv6-2, 6-5	
6445-043		fosse 6-103	Perle	Pierre	Pierre calcaire	Complet	Discoïdale			0,539	0,242	0,243	< 1	NR II, BA / niv6-2, 6-5	
6445-044		fosse 6-103	Perle	Pierre	Indéterminé	Complet	Discoïdale			0,504	0,122	0,256	< 1	NR II, BA / niv6-2, 6-5	
6445-045		fosse 6-103	Perle	Pierre	Pierre calcaire	Complet	Discoïdale			0,737	0,537	0,305	4	NR II, BA / niv6-2, 6-5	
6445-046		fosse 6-103	Perle	Pierre	Pierre calcaire	Complet	Discoïdale			0,549	0,314	0,273	< 1	NR II, BA / niv6-2, 6-5	
6445-047		fosse 6-103	Perle	Pierre	Pierre calcaire	Complet	Discoïdale			0,567	0,256	0,243	< 1	NR II, BA / niv6-2, 6-5	
6445-048		fosse 6-103	Perle	Pierre	Indéterminé	Complet	Discoïdale			0,660	0,268	0,266	< 1	NR II, BA / niv6-2, 6-5	
6445-049		fosse 6-103	Perle	Pierre	Pierre calcaire	Complet	Discoïdale			0,724	0,404	0,267	< 1	NR II, BA / niv6-2, 6-5	
6445-050		fosse 6-103	Perle	Pierre	Pierre calcaire	Complet	Discoïdale			0,506	0,473	0,260	< 1	NR II, BA / niv6-2, 6-5	

**Annexe 1**  
**Les pièces de parure de Dikili Tash**

*En italique les pièces non étudiées par Céline Choquet*

N° inventaire	Ensemble	Fait	Type	Matériau	Matériau détermination	Etat	Forme	Long. (en cm)	Larg. (en cm)	Diam. Max (en cm)	Ep. max. (en cm)	Diam perforation (en cm)	Poids (en gr)	Datation / Niveau	Fig.
6445-051		fosse 6-103	Perle	Pierre	Pierre calcaire	Complet	Discoïdale			0,708	0,437	0,276	3	NR II, BA / niv6-2, 6-5	
6445-052		fosse 6-103	Perle	Pierre	Pierre calcaire	Complet	Discoïdale			0,736	0,355	0,221	< 1	NR II, BA / niv6-2, 6-5	
6445-053		fosse 6-103	Perle	Pierre	Pierre calcaire	Complet	Discoïdale			0,666	0,315	0,226	< 1	NR II, BA / niv6-2, 6-5	
6445-054		fosse 6-103	Perle	Coquille	Indéterminé	Complet	Discoïdale			0,633	0,403	0,256	2	NR II, BA / niv6-2, 6-5	
6445-055		fosse 6-103	Perle	Pierre	Pierre calcaire	Complet	Discoïdale			0,734	0,665	0,271	4	NR II, BA / niv6-2, 6-5	
6445-056		fosse 6-103	Perle	Pierre	Pierre calcaire	Complet	Discoïdale			0,851	0,466	0,235	5	NR II, BA / niv6-2, 6-5	
6445-057		fosse 6-103	Pendentif	Pierre	Pierre calcaire	Complet	pyramidale	0,692	0,617		0,430	0,182	2	NR II, BA / niv6-2, 6-5	
6445-058		fosse 6-103	Pendentif	Pierre	Pierre calcaire	Complet	pyramidale	0,667	0,632		0,506	0,222 / 0,226	2	NR II, BA / niv6-2, 6-5	
6445-059		fosse 6-103	Pendentif	Pierre	Pierre calcaire	Complet	pyramidale	0,800	0,777		0,619	0,227 / 0,262	4	NR II, BA / niv6-2, 6-5	
6445-060		fosse 6-103	Pendentif	Pierre	Pierre calcaire	Fragment	pyramidale	0,761	0,675		0,290	0,248 / 0,261	< 1	NR II, BA / niv6-2, 6-5	
6445-061		fosse 6-103	Pendentif	Pierre	Pierre calcaire	Complet	pyramidale	0,939	0,901		0,559	0,275 / 0,317	4	NR II, BA / niv6-2, 6-5	
6445-062		fosse 6-103	Pendentif	Pierre	Pierre calcaire	Complet	pyramidale	0,929	0,920		0,489	0,247 / 0,247	4	NR II, BA / niv6-2, 6-5	
6445-063		fosse 6-103	Pendentif	Pierre	Pierre calcaire	Complet	pyramidale	0,941	0,897		0,495	0,235 / 0,241	6	NR II, BA / niv6-2, 6-5	
6445-064		fosse 6-103	Pendentif	Pierre	Pierre calcaire	Complet	pyramidale	0,770	0,724		0,507	0,221 / 0,289	< 1	NR II, BA / niv6-2, 6-5	
6445-065		fosse 6-103	Pendentif	Pierre	Pierre calcaire	Complet	pyramidale	0,877	0,852		0,511	0,255 / 0,266	3	NR II, BA / niv6-2, 6-5	
6445-066		fosse 6-103	Pendentif	Pierre	Pierre calcaire	Fragment	pyramidale	0,807	0,377		0,479	0,241 / 0,271	< 1	NR II, BA / niv6-2, 6-5	
6445-067		fosse 6-103	Pendentif	Pierre	Pierre calcaire	Complet	pyramidale	0,700	0,613		0,464	0,204 / 0,252	< 1	NR II, BA / niv6-2, 6-5	
6445-068		fosse 6-103	Pendentif	Pierre	Pierre calcaire	Complet	pyramidale	0,920	0,911		0,492	0,231 / 0,245	3	NR II, BA / niv6-2, 6-5	
6445-069		fosse 6-103	Pendentif	Pierre	Pierre calcaire	Complet	pyramidale	0,834	0,820		0,463	0,224 / 0,236	3	NR II, BA / niv6-2, 6-5	10, 213
6445-070		fosse 6-103	Pendentif	Pierre	Pierre calcaire	Complet	pyramidale	0,853	0,748		0,563	0,220 / 0,237	3	NR II, BA / niv6-2, 6-5	

**Annexe 1**  
**Les pièces de parure de Dikili Tash**

*En italique les pièces non étudiées par Céline Choquet*

N° inventaire	Ensemble	Fait	Type	Matériau	Matériau détermination	Etat	Forme	Long. (en cm)	Larg. (en cm)	Diam. Max (en cm)	Ep. max. (en cm)	Diam perforation (en cm)	Poids (en gr)	Datation / Niveau	Fig.
6445-071		fosse 6-103	Pendentif	Pierre	Pierre calcaire	Fragment	pyramidale	0,984	0,631		0,577	0,252	3	NR II, BA / niv6-2, 6-5	
6445-072		fosse 6-103	Pendentif	Pierre	Pierre calcaire	Complet	pyramidale	0,768	0,734		0,397	0,204 / 0,206	2	NR II, BA / niv6-2, 6-5	
6445-073		fosse 6-103	Pendentif	Pierre	Pierre calcaire	Complet	pyramidale	0,855	0,819		0,431	0,258 / 0,266	2	NR II, BA / niv6-2, 6-5	
6445-074		fosse 6-103	Pendentif	Pierre	Pierre calcaire	Complet	pyramidale	0,875	0,804		0,537	0,245 / 0,27	3	NR II, BA / niv6-2, 6-5	
6445-075		fosse 6-103	Pendentif	Pierre	Pierre calcaire	Complet	pyramidale	0,804	0,724		0,552	0,252 / 0,266	3	NR II, BA / niv6-2, 6-5	
6445-076		fosse 6-103	Pendentif	Pierre	Pierre calcaire	Complet	pyramidale	0,807	0,787		0,576	0,273 / 0,279	3	NR II, BA / niv6-2, 6-5	
6445-077		fosse 6-103	Pendentif	Pierre	Pierre calcaire	Complet	pyramidale	0,800	0,569		0,416	0,194	< 1	NR II, BA / niv6-2, 6-5	
6445-078		fosse 6-103	Pendentif	Pierre	Pierre calcaire	Fragment	pyramidale	0,809	0,542		0,494	0,234 / 0,278	2	NR II, BA / niv6-2, 6-5	
6445-079		fosse 6-103	Pendentif	Pierre	Pierre calcaire	Fragment	pyramidale	0,722	0,654		0,467	0,251 / 0,261	< 1	NR II, BA / niv6-2, 6-5	
6445-080		fosse 6-103	Pendentif	Pierre	Pierre calcaire	Complet	pyramidale	0,753	0,706		0,455	0,238 / 0,253	< 1	NR II, BA / niv6-2, 6-5	
6445-081		fosse 6-103	Pendentif	Pierre	Pierre calcaire	Fragment	pyramidale	0,773	0,516		0,494	0,248 / 0,288	< 1	NR II, BA / niv6-2, 6-5	
6445-082		fosse 6-103	Pendentif	Pierre	Pierre calcaire	Complet	pyramidale	0,788	0,710		0,455	0,211 / 0,225	< 1	NR II, BA / niv6-2, 6-5	
6445-083		fosse 6-103	Perle	Pierre	Indéterminé	Complet	Discoïdale			0,516	0,191	0,213	< 1	NR II, BA / niv6-2, 6-5	
6445-084		fosse 6-103	Perle	Pierre	Indéterminé	Complet	Discoïdale			0,483	0,201	0,180	< 1	NR II, BA / niv6-2, 6-5	
6445-085		fosse 6-103	Applique	Dent	Suidé	Fragment	Rectangulaire	1,363	0,730		0,322	0,340	4	NR II, BA / niv6-2, 6-5	
6445-086		fosse 6-103	Perle	Pierre	Pierre calcaire	Complet	Discoïdale			0,700	0,333	0,291	< 1	NR II, BA / niv6-2, 6-5	
6445-087		fosse 6-103	Perle	Pierre	Pierre calcaire	Complet	Discoïdale			0,832	0,354	0,313	< 1	NR II, BA / niv6-2, 6-5	
6445-088		fosse 6-103	Pendentif	Pierre	Pierre calcaire	Complet	pyramidale	0,779	0,621			0,189	< 1	NR II, BA / niv6-2, 6-5	
6445-089		fosse 6-103	Pendentif	Pierre	Pierre calcaire	Fragment	pyramidale	0,820	0,472		0,545	0,276	< 1	NR II, BA / niv6-2, 6-5	
6445-090		fosse 6-103	Pendentif	Pierre	Pierre calcaire	Fragment	pyramidale	0,815	0,499		0,484	0,230	< 1	NR II, BA / niv6-2, 6-5	

**Annexe 1**  
**Les pièces de parure de Dikili Tash**

*En italique les pièces non étudiées par Céline Choquet*

N° inventaire	Ensemble	Fait	Type	Matériau	Matériau détermination	Etat	Forme	Long. (en cm)	Larg. (en cm)	Diam. Max (en cm)	Ep. max. (en cm)	Diam perforation (en cm)	Poids (en gr)	Datation / Niveau	Fig.
6445-091		fosse 6-103	Pendentif	Pierre	Pierre calcaire	Fragment	pyramidale	0,616	0,440		0,433		< 1	NR II, BA / niv6-2, 6-5	
6445-092		fosse 6-103	Pendentif	Pierre	Pierre calcaire	Complet	pyramidale	0,765	0,753		0,515	0,257	< 1	NR II, BA / niv6-2, 6-5	
6445-093		fosse 6-103	Applique	Dent	Suidé	Fragment	Rectangulaire	1,641	0,570		0,159		< 1	NR II, BA / niv6-2, 6-5	
6445-094		fosse 6-103	Applique	Dent	Suidé	Fragment	Rectangulaire	1,029	0,392		0,318		< 1	NR II, BA / niv6-2, 6-5	
6445-095		fosse 6-103	Perle	Pierre	Indéterminé	Complet	Tubulaire			0,484	0,840	0,223	< 1	NR II, BA / niv6-2, 6-5	
6445-096		fosse 6-103	Perle	Pierre	Pierre calcaire	Complet	Discoïdale			0,614	0,138	0,222	< 1	NR II, BA / niv6-2, 6-5	
6445-097		fosse 6-103	Perle	Pierre	Pierre calcaire	Complet	Discoïdale			0,580	0,156	0,178	< 1	NR II, BA / niv6-2, 6-5	
6445-098		fosse 6-103	Perle	Pierre	Indéterminé	Complet	Discoïdale			0,432	0,114	0,154	< 1	NR II, BA / niv6-2, 6-5	
6445-099		fosse 6-103	Perle	Pierre	Pierre calcaire	Fragment	Discoïdale			0,604	0,252	0,272	< 1	NR II, BA / niv6-2, 6-5	19
6445-100		fosse 6-103	Débris	Dent	Suidé	Ensemble de fragments	Discoïdale			/	/	/	< 1	NR II, BA / niv6-2, 6-5	
6445-101		fosse 6-103	Perle	Pierre	Pierre calcaire	Complet	Discoïdale			0,677	0,354	0,238	< 1	NR II, BA / niv6-2, 6-5	
6445-102		fosse 6-103	Perle	Pierre	Pierre calcaire	Complet	Tubulaire			0,583	0,624	0,302	< 1	NR II, BA / niv6-2, 6-5	
6445-103		fosse 6-103	Perle	Pierre	Pierre calcaire	Complet	Discoïdale			0,654	0,528	0,297	< 1	NR II, BA / niv6-2, 6-5	
6445-104		fosse 6-103	Perle	Pierre	Pierre calcaire	Complet	Discoïdale			0,634	0,503	0,233	< 1	NR II, BA / niv6-2, 6-5	
6445-105		fosse 6-103	Perle	Pierre	Pierre calcaire	Complet	Discoïdale			0,621	0,391	0,234	< 1	NR II, BA / niv6-2, 6-5	
6445-106		fosse 6-103	Perle	Pierre	Pierre calcaire	Complet	Discoïdale			0,688	0,335	0,242	< 1	NR II, BA / niv6-2, 6-5	
6445-107		fosse 6-103	Perle	Pierre	Pierre calcaire	Complet	Discoïdale			0,688	0,333	0,254	< 1	NR II, BA / niv6-2, 6-5	
6445-108		fosse 6-103	Perle	Pierre	Pierre calcaire	Complet	Discoïdale			0,683	0,359	0,228	< 1	NR II, BA / niv6-2, 6-5	
6445-109		fosse 6-103	Débris	Dent	Suidé	Ensemble de fragments	Rectangulaire			/	/	/	3	NR II, BA / niv6-2, 6-5	
6447-003	Maison 1	sol 6-138	Élément de débitage	Coquille	Dentalium sp.	Complet	Tubulaire			0,267	1,071	0,136	< 1	NR II, BA / niv6-2, 6-5	

**Annexe 1**  
**Les pièces de parure de Dikili Tash**

*En italique les pièces non étudiées par Céline Choquet*

N° inventaire	Ensemble	Fait	Type	Matériau	Matériau détermination	Etat	Forme	Long. (en cm)	Larg. (en cm)	Diam. Max (en cm)	Ep. max. (en cm)	Diam perforation (en cm)	Poids (en gr)	Datation / Niveau	Fig.
6452-001	Maison 1	couche de destruction	Perle	Pierre	Pierre calcaire	Complet	Discoïdale			0,788	0,447	0,280	4	NR II / niv6-5	
6457-001		terrier 6-105	Perle	Pierre	Roche verte	Complet	Globulaire			0,572	0,524	0,259	2	/ Hors strati	
6463-001	Maison 1	couche de destruction 6-080	Applique	Dent	Suidé	Fragment	Rectangulaire	3,757	1,132		0,423		21	NR II / niv6-5	
6463-002	Maison 1	couche de destruction 6-080	Perle	Pierre	Suidé	Complet	Quadrangulaire	3,757	1,132		0,423		21	NR II / niv6-5	
6463-003	Maison 1	couche de destruction 6-080	Applique	Dent	Suidé	Ensemble de fragments	Rectangulaire	3,757	1,132		0,423		21	NR II / niv6-5	
6463-006	Maison 1	couche de destruction 6-080	Perle	Pierre	Pierre calcaire	Complet	Tubulaire			0,579	0,606	0,280	< 1	NR II / niv6-5	
6464-005		fosse 6-106	Perle	Pierre	Indéterminé	Complet	Discoïdale			0,615	0,220	0,167	< 1	NFinal, Historique / niv6-1, 6-4	
6473-004	Maison 1	couche de destruction 6-097	Pendentif	Coquille	Glycymeris sp.	Fragment	Naturelle	0,958	0,660		0,870	0,159	< 1	NR II / niv6-5	
6474-002	Maison 1	couche de destruction 6-097	Perle	Pierre	Pierre calcaire	Complet	Discoïdale			0,789	0,684	0,287	5	NR II / niv6-5	
6474-003	Maison 1	couche de destruction 6-097	Pendentif	Coquille	Cyclopea Neritea	Complet	Naturelle	1,123	0,852		0,698	0,199	< 1	NR II / niv6-5	
6475-001	Maison 1	sol 6-096	Applique	Dent	Suidé	Fragment	Rectangulaire	3,616	0,932		0,391	0,371	12	NR II / niv6-5	
6475-008	Maison 1	sol 6-096	Applique	Dent	Suidé	Fragment	Rectangulaire	2,048	0,801		0,394		9	NR II / niv6-5	
6475-011	Maison 1	sol 6-096	Applique	Dent	Suidé	Fragment	Rectangulaire	1,901	0,852		0,218	0,340	5	NR II / niv6-5	
6475-012	Maison 1	sol 6-096	Débris	Dent	Suidé	Ensemble de fragments	irrégulière			/	/	/		NR II / niv6-5	
6475-013	Maison 1	sol 6-096	Débris	Dent	Suidé	Ensemble de fragments	irrégulière			/	/	/		NR II / niv6-5	
6475-015	Maison 1	sol 6-096	Applique	Dent	Suidé	Fragment	Rectangulaire	1,584	0,717		0,233	0,322	4	NR II / niv6-5	
6483-001	Maison 1	four 6-114	Perle	Pierre	Pierre calcaire	Complet	Discoïdale			0,549	0,289	0,206	< 1	NR II / niv6-5	
6483-002	Maison 1	four 6-114	Perle	Pierre	Pierre calcaire	Complet	Discoïdale			0,546	0,288	0,267	< 1	NR II / niv6-5	
6483-003	Maison 1	four 6-114	Perle	Pierre	Pierre calcaire	Complet	Discoïdale			0,532	0,313	0,262	< 1	NR II / niv6-5	
6487-002	Maison 1	four 6-114	Débris	Dent	Suidé	Ensemble de fragments	irrégulière			/	/	/	< 1	NR II / niv6-5	

## Annexe 1 Les pièces de parure de Dikili Tash

*En italique les pièces non étudiées par Céline Choquet*

N° inventaire	Ensemble	Fait	Type	Matériau	Matériau détermination	Etat	Forme	Long. (en cm)	Larg. (en cm)	Diam. Max (en cm)	Ep. max. (en cm)	Diam perforation (en cm)	Poids (en gr)	Datation / Niveau	Fig.	
6490-003	Maison 1	sol 6-096	Applique	Dent	Suidé	Fragment	Rectangulaire	2,440	0,401		0,342	0,250	2	NR II / niv6-5		
6490-004	Maison 1	sol 6-096	Débris	Dent	Suidé	Ensemble de fragments	Rectangulaire			/	/	/		NR II / niv6-5		
6490-006	Maison 1	sol 6-096	Débris	Dent	Suidé	Ensemble de fragments	Rectangulaire			/	/	/		NR II / niv6-5		
6490-008	Maison 1	sol 6-096	Applique	Dent	Suidé	Fragment	Rectangulaire	3,592	0,703		0,404	0,202	17	NR II / niv6-5		
6490-009	Maison 1	sol 6-096	Perle	Pierre	Pierre calcaire	Complet	Discoïdale			0,543	0,395	0,266	3	NR II / niv6-5		
6490-010	Maison 1	sol 6-096	Perle	Pierre	Roche verte	Complet	Discoïdale			0,453	0,093	0,181	< 1	NR II / niv6-5		
6490-011	Maison 1	sol 6-096	Perle	Pierre	Indéterminé	Complet	Discoïdale			0,466	0,103	0,189	< 1	NR II / niv6-5		
6490-012	Maison 1	sol 6-096	Perle	Pierre	Pierre calcaire	Complet	Discoïdale			0,439	0,178	0,155	< 1	NR II / niv6-5		
6490-013	Maison 1	sol 6-096	Perle	Pierre	Pierre calcaire	Complet	Discoïdale			0,460	0,145	0,168	< 1	NR II / niv6-5		
6490-014	Maison 1	sol 6-096	Applique	Dent	Suidé	Fragment	Rectangulaire	1,465	0,821		0,155	0,243	< 1	NR II / niv6-5		
6490-015	Maison 1	sol 6-096	Applique	Dent	Suidé	Fragment	Rectangulaire	1,674	0,654		0,165		2	NR II / niv6-5		
6490-016	Maison 1	sol 6-096	Applique	Dent	Suidé	Fragment	Rectangulaire	1,674	0,654		0,165		2	NR II / niv6-5		
6490-017	Maison 1	sol 6-096	Applique	Dent	Suidé	Fragment	Rectangulaire	2,362	0,902		0,226		6	NR II / niv6-5		
6490-018	Maison 1	sol 6-096	Applique	Dent	Suidé	Fragment	Rectangulaire	1,783	0,943		0,283		5	NR II / niv6-5		
6490-019	Maison 1	sol 6-096	Applique	Dent	Suidé	Fragment	Rectangulaire	1,701	0,648		0,170		< 1	NR II / niv6-5		
6490-020	Maison 1	sol 6-096	Applique	Dent	Suidé	Fragment	Rectangulaire	2,241	0,342		0,414	0,238	2	NR II / niv6-5		
6490-021	Maison 1	sol 6-096	Applique	Dent	Suidé	Presque complet	Rectangulaire	3,584	0,812		0,216	0,295 / 0,248	7	NR II / niv6-5		
6490-022	Maison 1	sol 6-096	Applique	Dent	Suidé	Fragment	Rectangulaire	0,786	0,434		0,178	0,280	< 1	NR II / niv6-5		
6490-023	Maison 1	sol 6-096	Applique	Dent	Suidé	Fragment	Rectangulaire			Recolle avec 6490-021						
6490-024	Maison 1	sol 6-096	Applique	Dent	Suidé	Fragment	Rectangulaire	1,337	0,686		0,228		2	NR II / niv6-5		
6490-025	Maison 1	sol 6-096	Applique	Dent	Suidé	Fragment	Rectangulaire	1,011	0,385		0,148	0,282	< 1	NR II / niv6-5		
6490-026	Maison 1	sol 6-096	Débris	Dent	Suidé	Ensemble de fragments	Rectangulaire							NR II / niv6-5		
6490-027	Maison 1	sol 6-096	Applique	Dent	Suidé	Fragment	Rectangulaire	1,500	0,722		0,362	0,206	5	NR II / niv6-5		
6490-028	Maison 1	sol 6-096	Applique	Dent	Suidé	Fragment	Rectangulaire	2,886	0,797		0,208	0,269	5	NR II / niv6-5		
6490-029	Maison 1	sol 6-096	Applique	Dent	Suidé	Fragment	Rectangulaire	2,186	0,932		0,195	0,224	4	NR II / niv6-5		
6490-030	Maison 1	sol 6-096	Applique	Dent	Suidé	Presque complet	Rectangulaire	3,943	0,630		0,297	0,193	7	NR II / niv6-5		
6490-031	Maison 1	sol 6-096	Applique	Dent	Suidé	Fragment	Rectangulaire	1,923	0,776		0,290	0,260	7	NR II / niv6-5		
6490-032	Maison 1	sol 6-096	Applique	Dent	Suidé	Complet	Rectangulaire	1,800	0,840		0,374		8	NR II / niv6-5		
6490-033	Maison 1	sol 6-096	Applique	Dent	Suidé	Fragment	Rectangulaire	1,872	0,769		0,158	0,228	3	NR II / niv6-5		
6490-034	Maison 1	sol 6-096	Applique	Dent	Suidé	Complet	Rectangulaire			Recolle avec 6490-034						

## Annexe 1 Les pièces de parure de Dikili Tash

*En italique les pièces non étudiées par Céline Choquet*

N° inventaire	Ensemble	Fait	Type	Matériau	Matériau détermination	Etat	Forme	Long. (en cm)	Larg. (en cm)	Diam. Max (en cm)	Ep. max. (en cm)	Diam perforation (en cm)	Poids (en gr)	Datation / Niveau	Fig.	
6490-035	Maison 1	sol 6-096	Applique	Dent	Suidé	Fragment	Rectangulaire	1,943	0,605		0,495	0,192	6	NR II / niv6-5	106	
6490-036	Maison 1	sol 6-096	Applique	Dent	Suidé	Fragment	Rectangulaire	1,699	0,849		0,273		2	NR II / niv6-5		
6490-037	Maison 1	sol 6-096	Applique	Dent	Suidé	Fragment	Rectangulaire	1,573	0,814		0,150	0,263	< 1	NR II / niv6-5		
6490-038	Maison 1	sol 6-096	Applique	Dent	Suidé	Fragment	Rectangulaire	2,115	0,841		0,258	0,328	5	NR II / niv6-5		
6490-039	Maison 1	sol 6-096	Applique	Dent	Suidé	Complet	Rectangulaire	1,029	0,478		0,199	0,319	< 1	NR II / niv6-5		
6490-040	Maison 1	sol 6-096	Débris	Dent	Suidé	Ensemble de fragments	irrégulière			/	/	/		NR II / niv6-5		
6490-042	Maison 1	sol 6-096	Perle	Pierre	Roche verte	Complet	Discoïdale			0,429	0,098	0,221	< 1	NR II / niv6-5		
6490-043	Maison 1	sol 6-096	Perle	Pierre	Roche verte	Complet	Discoïdale			0,417	0,095	0,163	< 1	NR II / niv6-5		
6490-044	Maison 1	sol 6-096	Perle	Pierre	Roche verte	Complet	Discoïdale			0,448	0,132	0,211	< 1	NR II / niv6-5		
6490-045	Maison 1	sol 6-096	Perle	Pierre	Roche verte	Complet	Discoïdale			0,432	0,099	0,197	< 1	NR II / niv6-5		
6490-046	Maison 1	sol 6-096	Perle	Pierre	Roche verte	Complet	Discoïdale			0,494	0,163	0,172	< 1	NR II / niv6-5		
6490-047	Maison 1	sol 6-096	Perle	Pierre	Roche verte	Complet	Discoïdale			0,403	0,100	0,206	< 1	NR II / niv6-5		
6490-048	Maison 1	sol 6-096	Perle	Pierre	Roche verte	Complet	Discoïdale			0,480	0,106	0,186	< 1	NR II / niv6-5		
6490-049	Maison 1	sol 6-096	Perle	Pierre	Roche verte	Complet	Discoïdale			0,408	0,066	0,205	< 1	NR II / niv6-5		
6490-050	Maison 1	sol 6-096	Perle	Pierre	Roche verte	Complet	Discoïdale			0,434	0,131	0,187	< 1	NR II / niv6-5		
6490-051	Maison 1	sol 6-096	Perle	Pierre	Roche verte	Complet	Discoïdale			0,469	0,109	0,189	< 1	NR II / niv6-5		
6490-052	Maison 1	sol 6-096	Perle	Pierre	Roche verte	Complet	Discoïdale			0,418	0,060	0,163	< 1	NR II / niv6-5		
6494-001	Maison 1	couche de destruction	Applique	Dent	Suidé	Fragment	Rectangulaire	1,626	0,719		0,255	0,251	6	NR II / niv6-5		
6494-002	Maison 1	couche de destruction	Pendentif	Os	Astragale	Complet	Naturelle	2,456	1,450		1,355	0,332	39	NR II / niv6-5		
6504-001	Maison 1	couche de destruction	Applique	Dent	Suidé	Fragment	Rectangulaire	3,991	1,072			0,208 / 0,233	< 1	NR II / niv6-5		
6504-002	Maison 1	couche de destruction	Applique	Dent	Suidé	Fragment	Rectangulaire	5,324	0,948		0,340		23	NR II / niv6-5		
6504-003	Maison 1	couche de destruction	Applique	Dent	Suidé	Ensemble de fragments	Rectangulaire			Recolle avec 6504-002						
6504-004	Maison 1	couche de destruction	Applique	Dent	Suidé	Presque complet	Rectangulaire	3,262	0,776		0,318	0,339 / 0,364	11	NR II / niv6-5		
6504-005	Maison 1	couche de destruction	Applique	Dent	Suidé	Fragment	Rectangulaire			Recolle avec 6490-035						
6504-007	Maison 1	couche de destruction	Applique	Dent	Suidé	Presque complet	Rectangulaire	3,309	1,274		0,207	0,297 / 0,336	11	NR II / niv6-5		
6504-008	Maison 1	couche de destruction	Applique	Dent	Suidé	Presque complet	Rectangulaire	3,473	0,943		0,304	0,296 / 0,32	17	NR II / niv6-5		

## Annexe 1 Les pièces de parure de Dikili Tash

*En italique les pièces non étudiées par Céline Choquet*

N° inventaire	Ensemble	Fait	Type	Matériau	Matériau détermination	Etat	Forme	Long. (en cm)	Larg. (en cm)	Diam. Max (en cm)	Ep. max. (en cm)	Diam perforation (en cm)	Poids (en gr)	Datation / Niveau	Fig.
6504-009	Maison 1	couche de destruction	Applique	Dent	Suidé	Presque complet	Rectangulaire	3,445	0,790		0,165	0,249	7	NR II / niv6-5	103
6504-011	Maison 1	couche de destruction	Applique	Dent	Suidé	Fragment	Rectangulaire	2,179	1,006		0,229		5	NR II / niv6-5	
6504-012	Maison 1	couche de destruction	Applique	Dent	Suidé	Fragment	Rectangulaire	1,944	0,875		0,205		6	NR II / niv6-5	
6504-013	Maison 1	couche de destruction	Applique	Dent	Suidé	Fragment	Rectangulaire	2,387	1,000		0,282	0,231 / 0,339	9	NR II / niv6-5	
6504-014	Maison 1	couche de destruction	Applique	Dent	Suidé	Fragment	Rectangulaire	1,910	0,495		0,304	0,377	5	NR II / niv6-5	99
6504-015	Maison 1	couche de destruction	Applique	Dent	Suidé	Fragment	Rectangulaire	2,398	0,734		0,246	0,235	4	NR II / niv6-5	
6504-016	Maison 1	couche de destruction	Applique	Dent	Suidé	Fragment	Rectangulaire	1,659	0,854		0,312	0,326	3	NR II / niv6-5	
6504-018	Maison 1	couche de destruction	Débris	Dent	Suidé	Ensemble de fragments	irrégulière			/	/	/		NR II / niv6-5	
6504-021	Maison 1	couche de destruction	Débris	Dent	Suidé	Ensemble de fragments	irrégulière			/	/	/		NR II / niv6-5	
6504-022	Maison 1	couche de destruction	Applique	Dent	Suidé	Fragment	Rectangulaire	1,580	0,822		0,148	0,238	2	NR II / niv6-5	
6504-023	Maison 1	couche de destruction	Applique	Dent	Suidé	Fragment	Rectangulaire	1,707	0,854		0,186			NR II / niv6-5	
6504-024	Maison 1	couche de destruction	Applique	Dent	Suidé	Fragment	Rectangulaire	1,513	0,433		0,197	0,283	< 1	NR II / niv6-5	
6504-025	Maison 1	couche de destruction	Débris	Dent	Suidé	Ensemble de fragments	irrégulière			/	/	/		NR II / niv6-5	
6504-029	Maison 1	couche de destruction	Applique	Dent	Suidé	Fragment	Rectangulaire	2,387	1,003		0,282	0,259 / 0,33	10	NR II / niv6-5	
6504-030	Maison 1	couche de destruction	Applique	Dent	Suidé	Fragment	Rectangulaire							Recolle avec 6421-066	
6504-031	Maison 1	couche de destruction	Applique	Dent	Suidé	Fragment	Rectangulaire	2,591	0,818		0,284		10	NR II / niv6-5	
6504-032	Maison 1	couche de destruction	Applique	Dent	Suidé	Fragment	Rectangulaire	2,908	0,806		0,275	0,254	11	NR II / niv6-5	
6504-033	Maison 1	couche de destruction	Débris	Dent	Suidé	Ensemble de fragments	irrégulière			/	/	/	9	NR II / niv6-5	
6504-034	Maison 1	couche de destruction	Perle	Pierre	Pierre calcaire	Complet	Discoïdale			0,499	0,412	0,142	< 1	NR II / niv6-5	
6524-006	Maison 1	sol 6-096	Pendentif	Coquille	Glycymeris sp.	Complet	Naturelle			1,121	1,018	0,086	3	NR II / niv6-5	
6524-008	Maison 1	sol 6-096	Perle	Coquille	Indéterminé	Complet	Discoïdale			1,033	0,444	0,281	< 1	NR II / niv6-5	

## Annexe 1 Les pièces de parure de Dikili Tash

*En italique les pièces non étudiées par Céline Choquet*

N° inventaire	Ensemble	Fait	Type	Matériau	Matériau détermination	Etat	Forme	Long. (en cm)	Larg. (en cm)	Diam. Max (en cm)	Ep. max. (en cm)	Diam perforation (en cm)	Poids (en gr)	Datation / Niveau	Fig.
6524-010	Maison 1	sol 6-096	Perle	Pierre	Pierre calcaire	Complet	Discoïdale			0,788	0,388	0,249	2	NR II / niv6-5	
6524-014	Maison 1	sol 6-096	Applique	Dent	Suidé	Fragment	Rectangulaire	0,984	0,529		0,202	0,280	<1	NR II / niv6-5	
6524-019	Maison 1	sol 6-096	Débris	Dent	Suidé	Ensemble de fragments	irrégulière			/	/	/		NR II / niv6-5	
6524-020	Maison 1	sol 6-096	Débris	Dent	Suidé	Ensemble de fragments	irrégulière			/	/	/		NR II / niv6-5	
6524-021	Maison 1	sol 6-096	Applique	Dent	Suidé	Fragment	Rectangulaire	1,261	0,727		0,143	0,249	<1	NR II / niv6-5	
6525-002	Maison 1	couche de destruction	Perle	Pierre	Indéterminé	Complet	Discoïdale			0,448	0,163	0,194	<1	NR II / niv6-5	
6525-003	Maison 1	couche de destruction	Perle	Pierre	Indéterminé	Complet	Discoïdale			0,446	0,185	0,196	<1	NR II / niv6-5	
6526-006		fosse 6-094	Élément de débitage	Coquille	Dentalium sp.	Complet	Tubulaire			0,232	1,974	0,116	<1	BA / niv6-2	
6535-005	Maison 1	sol 6-126	Débris	Dent	Suidé	Ensemble de fragments	Rectangulaire	5,823	0,675		0,262		10	NR II / niv6-5	
6535-006	Maison 1	sol 6-126	Perle	Pierre	Pierre calcaire	Complet	Discoïdale			0,779	0,327	0,222	2	NR II / niv6-5	
6535-007	Maison 1	sol 6-126	Perle	Pierre	Pierre calcaire	Complet	Discoïdale			0,845	0,358	0,327	2	NR II / niv6-5	
10	Maison 1	sol 6-126	Applique	Dent	Suidé	Fragment	Rectangulaire	1,156	0,809		0,164	0,268	2	NR II / niv6-5	110
6535-010	Maison 1	sol 6-126	Perle	Pierre	Pierre calcaire	Complet	Discoïdale			0,707	0,311	0,260	2	NR II / niv6-5	
6535-011	Maison 1	sol 6-126	Perle	Pierre	Pierre calcaire	Complet	Discoïdale			0,607	0,289	0,356	<1	NR II / niv6-5	
6535-012	Maison 1	sol 6-126	Perle	Pierre	Pierre calcaire	Complet	Discoïdale			0,676	0,370	0,326	2	NR II / niv6-5	
6552-002	Maison 1	couche de destruction	Perle	Pierre	Indéterminé	Complet	Discoïdale			0,797	0,202	0,257	2	NR II / niv6-5	
6552-003	Maison 1	couche de destruction	Pendentif	Pierre	Pierre calcaire	Complet	géométrique, ovale	3,354	2,014		0,829	0,751	82	NR II / niv6-5	11, 134
6559-001	Maison 1	couche de destruction 6-097	Perle	Terre cuite		Complet	Discoïdale			0,422	0,128	0,218	<1	NR II / niv6-5	32, 70
6562-001		remblaiement 6-131	Perle	Coquille	Indéterminé	Complet	Discoïdale			0,442	0,155	0,227	<1	NFinal / niv6-4	
6573-002		remblaiement	Perle	Coquille	Indéterminé	Complet	Tubulaire			0,305	0,859	0,176	<1	NR II, NFinal / niv6-4, 6-5	
6573-003		remblaiement	Perle	Pierre	Indéterminé	Complet	Discoïdale			0,468	0,228	0,181	<1	NR II, NFinal / niv6-4, 6-5	
6578-006	Maison 1	couche de destruction 6-124	Applique	Dent	Suidé	Fragment	Rectangulaire	2,472	1,117		0,388		12	NR II / niv6-5	

**Annexe 1**  
**Les pièces de parure de Dikili Tash**

*En italique les pièces non étudiées par Céline Choquet*

N° inventaire	Ensemble	Fait	Type	Matériau	Matériau détermination	Etat	Forme	Long. (en cm)	Larg. (en cm)	Diam. Max (en cm)	Ep. max. (en cm)	Diam perforation (en cm)	Poids (en gr)	Datation / Niveau	Fig.
6578-007	Maison 1	couche de destruction 6-124	Pendentif	Os	Astragale	Complet	Naturelle	2,298	1,661		1,218		36	NR II / niv6-5	
6578-009	Maison 1	couche de destruction 6-124	Pendentif	Os	Astragale	Complet	Naturelle	1,870	1,500		1,280	0,258	18	NR II / niv6-5	
6578-011	Maison 1	couche de destruction 6-124	Perle	Pierre	Pierre calcaire	Complet	Discoïdale			0,545	0,261	0,242	< 1	NR II / niv6-5	
6578-012	Maison 1	couche de destruction 6-124	Perle	Pierre	Pierre calcaire	Complet	Discoïdale			0,550	0,330	0,271	< 1	NR II / niv6-5	
6578-013	Maison 1	couche de destruction 6-124	Perle	Pierre	Pierre calcaire	Complet	Discoïdale			0,595	0,238	0,257	< 1	NR II / niv6-5	
6578-014	Maison 1	couche de destruction 6-124	Perle	Pierre	Pierre calcaire	Complet	Discoïdale			0,535	0,256	0,249	< 1	NR II / niv6-5	
6578-015	Maison 1	couche de destruction 6-124	Perle	Pierre	Pierre calcaire	Complet	Discoïdale			0,514	0,318	0,230	< 1	NR II / niv6-5	
6578-016	Maison 1	couche de destruction 6-124	Perle	Pierre	Pierre calcaire	Complet	Discoïdale			0,543	0,218	0,249	< 1	NR II / niv6-5	
6578-017	Maison 1	couche de destruction 6-124	Perle	Pierre	Pierre calcaire	Complet	Discoïdale			0,528	0,238	0,218	< 1	NR II / niv6-5	
6578-018	Maison 1	couche de destruction 6-124	Perle	Pierre	Pierre calcaire	Complet	Discoïdale			0,535	0,302	0,243	< 1	NR II / niv6-5	
6578-019	Maison 1	couche de destruction 6-124	Perle	Pierre	Pierre calcaire	Complet	Discoïdale			0,540	0,354	0,240	< 1	NR II / niv6-5	
6578-020	Maison 1	couche de destruction 6-124	Perle	Pierre	Pierre calcaire	Complet	Discoïdale			0,620	0,276	0,243	< 1	NR II / niv6-5	
6578-021	Maison 1	couche de destruction 6-124	Perle	Pierre	Pierre calcaire	Complet	Discoïdale			0,535	0,165	0,228	< 1	NR II / niv6-5	
6578-022	Maison 1	couche de destruction 6-124	Perle	Pierre	Pierre calcaire	Complet	Discoïdale			0,544	0,204	0,234	< 1	NR II / niv6-5	

## Annexe 1 Les pièces de parure de Dikili Tash

*En italique les pièces non étudiées par Céline Choquet*

N° inventaire	Ensemble	Fait	Type	Matériau	Matériau détermination	Etat	Forme	Long. (en cm)	Larg. (en cm)	Diam. Max (en cm)	Ep. max. (en cm)	Diam perforation (en cm)	Poids (en gr)	Datation / Niveau	Fig.
6578-023	Maison 1	couche de destruction 6-124	Perle	Pierre	Pierre calcaire	Complet	Discoïdale			0,559	0,136	0,264	< 1	NR II / niv6-5	
6578-024	Maison 1	couche de destruction 6-124	Perle	Pierre	Pierre calcaire	Complet	Discoïdale			0,531	0,254	0,239	< 1	NR II / niv6-5	
6578-025	Maison 1	couche de destruction 6-124	Perle	Pierre	Pierre calcaire	Complet	Discoïdale			0,546	0,209	0,231	< 1	NR II / niv6-5	
6578-026	Maison 1	couche de destruction 6-124	Perle	Pierre	Pierre calcaire	Complet	Discoïdale			0,645	0,271	0,245	< 1	NR II / niv6-5	
6578-027	Maison 1	couche de destruction 6-124	Perle	Pierre	Pierre calcaire	Complet	Discoïdale			0,557	0,331	0,277	< 1	NR II / niv6-5	
6578-028	Maison 1	couche de destruction 6-124	Perle	Pierre	Pierre calcaire	Complet	Discoïdale			0,535	0,320	0,276	< 1	NR II / niv6-5	
6578-029	Maison 1	couche de destruction 6-124	Perle	Pierre	Pierre calcaire	Complet	Discoïdale			0,548	0,189	0,231	< 1	NR II / niv6-5	
6578-030	Maison 1	couche de destruction 6-124	Perle	Pierre	Pierre calcaire	Complet	Discoïdale			0,677	0,305	0,279	< 1	NR II / niv6-5	
6578-031	Maison 1	couche de destruction 6-124	Perle	Pierre	Pierre calcaire	Complet	Globulaire			0,714	0,466	0,206	3	NR II / niv6-5	
6578-032	Maison 1	couche de destruction 6-124	Perle	Pierre	Pierre calcaire	Complet	Globulaire			0,665	0,625	0,267	3	NR II / niv6-5	12
6578-033	Maison 1	couche de destruction 6-124	Perle	Pierre	Pierre calcaire	Complet	Globulaire			0,581	0,404	0,201	< 1	NR II / niv6-5	
6578-034	Maison 1	couche de destruction 6-124	Perle	Pierre	Pierre calcaire	Complet	Tubulaire			0,655	0,722	0,292	4	NR II / niv6-5	
6578-035	Maison 1	couche de destruction 6-124	Perle	Pierre	Pierre calcaire	Complet	Discoïdale			0,636	0,523	0,257	2	NR II / niv6-5	
6578-036	Maison 1	couche de destruction 6-124	Perle	Pierre	Pierre calcaire	Complet	Discoïdale			0,754	0,688	0,306	4	NR II / niv6-5	

## Annexe 1 Les pièces de parure de Dikili Tash

*En italique les pièces non étudiées par Céline Choquet*

N° inventaire	Ensemble	Fait	Type	Matériau	Matériau détermination	Etat	Forme	Long. (en cm)	Larg. (en cm)	Diam. Max (en cm)	Ep. max. (en cm)	Diam perforation (en cm)	Poids (en gr)	Datation / Niveau	Fig.
6578-037	Maison 1	couche de destruction 6-124	Perle	Pierre	Pierre calcaire	Complet	Tubulaire			0,645	0,652	0,287	2	NR II / niv6-5	
6578-038	Maison 1	couche de destruction 6-124	Perle	Pierre	Pierre calcaire	Complet	Tubulaire			0,681	0,791	0,249	4	NR II / niv6-5	
6578-039	Maison 1	couche de destruction 6-124	Perle	Pierre	Pierre calcaire	Complet	Tubulaire			0,563	0,623	0,288	< 1	NR II / niv6-5	21
6578-040	Maison 1	couche de destruction 6-124	Perle	Pierre	Pierre calcaire	Complet	Discoïdale			0,751	0,643	0,301	2	NR II / niv6-5	
6578-041	Maison 1	couche de destruction 6-124	Perle	Pierre	Pierre calcaire	Complet	Discoïdale			0,702	0,540	0,340	< 1	NR II / niv6-5	
6578-042	Maison 1	couche de destruction 6-124	Perle	Pierre	Pierre calcaire	Complet	Discoïdale			0,676	0,554	0,304	3	NR II / niv6-5	20
6578-043	Maison 1	couche de destruction 6-124	Perle	Pierre	Pierre calcaire	Complet	Discoïdale			0,575	0,518	0,297	< 1	NR II / niv6-5	
6578-044	Maison 1	couche de destruction 6-124	Débris	Dent	Suidé	Ensemble de fragments	irrégulière			/	/	/		NR II / niv6-5	
6578-045	Maison 1	couche de destruction 6-124	Applique	Dent	Suidé	Fragment	Rectangulaire	2,728	0,646		0,243	0,248	6	NR II / niv6-5	
6578-047	Maison 1	couche de destruction 6-124	Perle	Pierre	Pierre calcaire	Fragment	Tubulaire			0,520	0,646	0,197	< 1	NR II / niv6-5	61
6584-010	Maison 1	couche de destruction 6-080	Perle	Pierre	Pierre calcaire	Complet	Discoïdale			0,518	0,308	0,230	< 1	NR II / niv6-5	
6585-003	Maison 1	couche de destruction 6-124	Perle	Pierre	Indéterminé	Complet	Discoïdale			0,380	0,311	0,140	< 1	NR II / niv6-5	
6585-004	Maison 1	couche de destruction 6-124	Applique	Dent	Suidé	Fragment	Rectangulaire	3,650	0,810		0,272	0,327	15	NR II / niv6-5	
6585-005	Maison 1	couche de destruction 6-124	Applique	Dent	Suidé	Fragment	Rectangulaire	1,320	0,657		0,182	0,242	< 1	NR II / niv6-5	

## Annexe 1 Les pièces de parure de Dikili Tash

*En italique les pièces non étudiées par Céline Choquet*

N° inventaire	Ensemble	Fait	Type	Matériau	Matériau détermination	Etat	Forme	Long. (en cm)	Larg. (en cm)	Diam. Max (en cm)	Ep. max. (en cm)	Diam perforation (en cm)	Poids (en gr)	Datation / Niveau	Fig.
6585-006	Maison 1	couche de destruction 6-124	Applique	Dent	Suidé	Ensemble de fragments	Rectangulaire			/	/	/	80	NR II / niv6-5	
6585-007	Maison 1	couche de destruction 6-124	Débris	Dent	Suidé	Ensemble de fragments	Rectangulaire			/	/	/	12	NR II / niv6-5	
6585-008	Maison 1	couche de destruction 6-124	Applique	Dent	Suidé	Fragment	Rectangulaire	1,176	0,853		0,163	0,250	< 1	NR II / niv6-5	
6585-009	Maison 1	couche de destruction 6-124	Applique	Dent	Suidé	Fragment	Rectangulaire	0,875	0,670		0,111	0,309	< 1	NR II / niv6-5	
6585-010	Maison 1	couche de destruction 6-124	Perle	Pierre	Roche verte	Complet	Discoïdale			0,450	0,123	0,190	< 1	NR II / niv6-5	
6585-011	Maison 1	couche de destruction 6-124	Perle	Pierre	Roche verte	Complet	Discoïdale			0,460	0,122	0,151	< 1	NR II / niv6-5	
6585-012	Maison 1	couche de destruction 6-124	Perle	Pierre	Roche verte	Complet	Discoïdale			0,473	0,135	0,190	< 1	NR II / niv6-5	52, 54
6588-001	Maison 1	couche de destruction 6-124	Applique	Dent	Suidé	Fragment	Rectangulaire	1,153	0,925		0,269		5	NR II / niv6-5	
6589-001	Maison 1	couche de destruction 6-080	Perle	Pierre	Pierre calcaire	Complet	Discoïdale			0,848	0,390	0,295	4	NR II / niv6-5	
6600-008	Maison 1	sol 6-126	Perle	Pierre	Pierre calcaire	Complet	Discoïdale			0,523	0,427	0,251	< 1	NR II / niv6-5	
6606-003	Maison 1	couche de destruction 6-080	Pendentif	Coquille	Columbella Rustica	Complet	Naturelle			0,903	1,474	0,322	7	NR II / niv6-5	
6615-010	Maison 1	sol 6-126	Pendentif	Pierre	Pierre calcaire	Fragment	pyramidale	0,822	0,450		0,529	0,259	< 1	NR II / niv6-5	
6615-011	Maison 1	sol 6-126	Perle	Pierre	Indéterminé	Complet	Discoïdale			0,605	0,190	0,228	< 1	NR II / niv6-5	
6615-012	Maison 1	sol 6-126	Perle	Coquille	Indéterminé	Complet	Discoïdale			0,389	0,102	0,195	< 1	NR II / niv6-5	
6615-013	Maison 1	sol 6-126	Perle	Pierre	Pierre calcaire	Complet	Discoïdale			0,622	0,542	0,257	< 1	NR II / niv6-5	
6615-014	Maison 1	sol 6-126	Perle	Pierre	Pierre calcaire	Complet	Discoïdale			0,533	0,316	0,248	< 1	NR II / niv6-5	
6619-003	Maison 1	sol 6-126	Perle	Pierre	Indéterminé	Complet	Discoïdale			0,469	0,150	0,129	< 1	NR II / niv6-5	
6619-008	Maison 1	sol 6-126	Perle	Pierre	Pierre calcaire	Complet	Discoïdale			0,945	0,584	0,306	< 1	NR II / niv6-5	
6623-001		remblaiement 6-128	Épingle	Bois de cervidé		Fragment	Tubulaire	7,208		0,886			37	NFinal / niv6-4	

## Annexe 1 Les pièces de parure de Dikili Tash

*En italique les pièces non étudiées par Céline Choquet*

N° inventaire	Ensemble	Fait	Type	Matériau	Matériau détermination	Etat	Forme	Long. (en cm)	Larg. (en cm)	Diam. Max (en cm)	Ep. max. (en cm)	Diam perforation (en cm)	Poids (en gr)	Datation / Niveau	Fig.
6623-002		remblaiement 6-128	Epingle	Bois de cervidé		Fragment	Tubulaire						Recolle avec 6623-001		
6624-001	Maison 1	sol 6-125	Perle	Pierre	Pierre calcaire	Complet	Discoïdale			0,556	0,226	0,234	< 1	NR II / niv6-5	
6624-002	Maison 1	sol 6-125	Perle	Pierre	Pierre calcaire	Complet	Discoïdale			0,555	0,213	0,262	< 1	NR II / niv6-5	
6624-003	Maison 1	sol 6-125	Perle	Pierre	Pierre calcaire	Complet	Discoïdale			0,551	0,198	0,241	< 1	NR II / niv6-5	
6624-004	Maison 1	sol 6-125	Perle	Pierre	Pierre calcaire	Complet	Discoïdale			0,643	0,298	0,264	< 1	NR II / niv6-5	
6624-005	Maison 1	sol 6-125	Applique	Dent	Suidé	Fragment	Rectangulaire	2,364	0,616		0,311	0,246	< 1	NR II / niv6-5	
6624-006	Maison 1	sol 6-125	Débris	Dent	Suidé	Ensemble de fragments	irrégulière			/	/	/	< 1	NR II / niv6-5	
6624-007	Maison 1	sol 6-125	Perle	Pierre	Pierre calcaire	Complet	Discoïdale			0,528	0,313	0,254	< 1	NR II / niv6-5	
6624-008	Maison 1	sol 6-125	Perle	Pierre	Pierre calcaire	Complet	Discoïdale			0,530	0,168	0,241	< 1	NR II / niv6-5	
6629-003		remblaiement 6-128	Débris	Coquille	Dentalium sp.	Fragment	Tubulaire			0,720	1,771	0,225	< 1	NFinal / niv6-4	
6629-005		remblaiement 6-128	Perle	Pierre	Indéterminé	Complet	Discoïdale			0,272	0,139	0,102	< 1	NFinal / niv6-4	
6643-001	Maison 1	sol 6-137	Perle	Pierre	Indéterminé	Complet	Discoïdale			0,458	0,154	0,204	< 1	NR II / niv6-5	
6643-002	Maison 1	sol 6-137	Perle	Pierre	Pierre calcaire	Complet	Discoïdale			0,884	0,583	0,274	6	NR II / niv6-5	



# **ANNEXE 2**

Inventaire des éléments de  
matière première du site de Dikili  
Tash

## Annexe 2 Les éléments de matière première de Dikili Tash

*En italique les pièces non étudiées par Céline Choquet*

N° inventaire	Ensemble	Fait	Type	Matériau	Matériau détermination	Etat	Forme	Long. (en cm)	Larg. (en cm)	Diam. Max (en cm)	Ep. max. (en cm)	Poids (en gr)	Datation / Niveau	Fig.
<b>Matière première - Dent de suidé</b>														
Secteur B2-Programme 1														
102010-M1228			Matière première	Dent	Suidé			7,338	2,934			63	NR II	
Provenance inconnue-Programme 1														
-M0720			Matière première	Dent	Suidé	Fragment		3,4	0,626			10		
-M0730			Matière première	Dent	Suidé	Fragment		3,646	0,895			19		
-M0743			Matière première	Dent	Suidé	Fragment		4,513	0,809			19		
-M0747			Matière première	Dent	Suidé	Fragment		3,618	1,442			30		
-M0775			Matière première	Dent	Suidé	Fragment		3,254	0,67			9		
-M1214			Matière première	Dent	Suidé	Fragment		6,448	1,883			53		
-M1233			Matière première	Dent	Suidé	Fragment		7,58	1,355			137		
-M1506			Matière première	Dent	Suidé	Recolle avec -M1931								
-M1931			Matière première	Dent	Suidé	Presque complet	naturelle	6,93	1,706			117		155
-M5105			Matière première	Dent	Suidé	Fragment		4,117	1,092			29		
-M5106			Matière première	Dent	Suidé	Fragment		6,266	2,71			56		
Secteur 6-Programme 3														
6344-151	Maison 1	sol 6-096	Matière première	Dent	Suidé	Fragment	naturelle	2,52	1,01			8	NR II / niv6-5	
6344-832	Maison 1	sol 6-096	Matière première	Dent	Suidé	Fragment	Naturelle	6855	1,966			105	NR II / niv6-5	
6344-833	Maison 1	sol 6-096	Matière première	Dent	Suidé	Fragment	Naturelle	2,341	0,94			14	NR II / niv6-5	
6364-024	Maison 1	sol 6-096	Matière première	Dent	Suidé	Fragment	Irrégulière						NR II / niv6-5	
6364-052	Maison 1	sol 6-096	Matière première	Dent	Suidé	Fragment	naturelle						NR II / niv6-5	
6364-062	Maison 1	sol 6-096	Matière première	Dent	Suidé	Fragment	Irrégulière						NR II / niv6-5	
6364-173	Maison 1	sol 6-096	Matière première	Dent	Suidé	Ensemble de fragments	Irrégulière						NR II / niv6-5	
6399-001	Maison 1	sol 6-096	Matière première	Dent	Suidé	Ensemble de fragments	Irrégulière						NR II / niv6-5	
6421-006	Maison 1	sol 6-096	Matière première	Dent	Suidé	Fragment	Irrégulière						NR II / niv6-5	
6421-009	Maison 1	sol 6-096	Matière première	Dent	Suidé	Ensemble de fragments	Irrégulière						NR II / niv6-5	
6421-010	Maison 1	sol 6-096	Matière première	Dent	Suidé	Ensemble de fragments	Irrégulière						NR II / niv6-5	

## Annexe 2 Les éléments de matière première de Dikili Tash

*En italique les pièces non étudiées par Céline Choquet*

N° inventaire	Ensemble	Fait	Type	Matériau	Matériau détermination	Etat	Forme	Long. (en cm)	Larg. (en cm)	Diam. Max (en cm)	Ep. max. (en cm)	Poids (en gr)	Datation / Niveau	Fig.
6421-011	Maison 1	sol 6-096	Matière première	Dent	Suidé	Ensemble de fragments	Irrégulière						NR II / niv6-5	
6421-012	Maison 1	sol 6-096	Matière première	Dent	Suidé	Fragment	Irrégulière						NR II / niv6-5	
6421-014	Maison 1	sol 6-096	Matière première	Dent	Suidé	Fragment	Irrégulière						NR II / niv6-5	
6421-016	Maison 1	sol 6-096	Matière première	Dent	Suidé	Ensemble de fragments	Irrégulière						NR II / niv6-5	
6421-017	Maison 1	sol 6-096	Matière première	Dent	Suidé	Fragment	Irrégulière						NR II / niv6-5	
6421-018	Maison 1	sol 6-096	Matière première	Dent	Suidé	Ensemble de fragments	Irrégulière						NR II / niv6-5	
6421-020	Maison 1	sol 6-096	Matière première	Dent	Suidé	Ensemble de fragments	Irrégulière						NR II / niv6-5	
6421-022	Maison 1	sol 6-096	Matière première	Dent	Suidé	Fragment	Irrégulière	2,206	1,363			12	NR II / niv6-5	
6421-023	Maison 1	sol 6-096	Matière première	Dent	Suidé	Ensemble de fragments	Irrégulière						NR II / niv6-5	
6421-031	Maison 1	sol 6-096	Matière première	Dent	Suidé	Fragment	Naturelle	6,475	2,217			164	NR II / niv6-5	
6421-033	Maison 1	sol 6-096	Matière première	Dent	Suidé	Fragment	rectangulaire	3,545	1,005			14	NR II / niv6-5	
6421-042	Maison 1	sol 6-096	Matière première	Dent	Suidé	Fragment	Irrégulière	1,311	0,739			3	NR II / niv6-5	
6421-043	Maison 1	sol 6-096	Matière première	Dent	Suidé	Fragment	Irrégulière	3,1	1,495			17	NR II / niv6-5	
6421-055	Maison 1	sol 6-096	Matière première	Dent	Suidé	Fragment	Irrégulière	1,47	1,021			2	NR II / niv6-5	
6421-059	Maison 1	sol 6-096	Matière première	Dent	Suidé	Fragment	Irrégulière	2,432	0,911			6	NR II / niv6-5	
6421-068	Maison 1	sol 6-096	Matière première	Dent	Suidé	Fragment	Irrégulière						NR II / niv6-5	
6421-073	Maison 1	sol 6-096	Matière première	Dent	Suidé	Fragment	Irrégulière						NR II / niv6-5	
6475-002	Maison 1	sol 6-096	Matière première	Dent	Suidé	Fragment	Irrégulière	2,742	1,351			14	NR II / niv6-5	
6475-003	Maison 1	sol 6-096	Matière première	Dent	Suidé	Complet	naturelle	14,5	2,25				NR II / niv6-5	211
6475-004	Maison 1	sol 6-096	Matière première	Dent	Suidé	Fragment	naturelle						NR II / niv6-5	
6475-006	Maison 1	sol 6-096	Matière première	Dent	Suidé	Fragment	Irrégulière	3,71	1,526			30	NR II / niv6-5	
6475-007	Maison 1	sol 6-096	Matière première	Dent	Suidé	Recolle avec 6504-010								
6475-010	Maison 1	sol 6-096	Matière première	Dent	Suidé	Fragment	Irrégulière	3,566	1,882			57	NR II / niv6-5	
6475-014	Maison 1	sol 6-096	Matière première	Dent	Suidé	Ensemble de fragments	Irrégulière						NR II / niv6-5	
6487-001	Maison 1	four 6-114	Matière première	Dent	Suidé	Ensemble de fragments	Irrégulière						NR II / niv6-5	

## Annexe 2 Les éléments de matière première de Dikili Tash

*En italique les pièces non étudiées par Céline Choquet*

N° inventaire	Ensemble	Fait	Type	Matériau	Matériau détermination	Etat	Forme	Long. (en cm)	Larg. (en cm)	Diam. Max (en cm)	Ep. max. (en cm)	Poids (en gr)	Datation / Niveau	Fig.
6490-001	Maison 1	sol 6-096	Matière première	Dent	Suidé	Ensemble de fragments	Irrégulière						NR II / niv6-5	
6490-007	Maison 1	sol 6-096	Matière première	Dent	Suidé	Fragment	Naturelle	3,626	2,146			89	NR II / niv6-5	
6504-010	Maison 1	couche de destruction	Matière première	Dent	Suidé	Fragment	Naturelle	7,24	2,532			282	NR II / niv6-5	210
6504-017	Maison 1	couche de destruction	Matière première	Dent	Suidé	Ensemble de fragments	Irrégulière						NR II / niv6-5	
6504-026	Maison 1	couche de destruction	Matière première	Dent	Suidé	Fragment	Naturelle	2,45	1,248			26	NR II / niv6-5	
6504-027	Maison 1	couche de destruction	Matière première	Dent	Suidé	Fragment	Naturelle	3,057	1,567			41	NR II / niv6-5	
6504-028	Maison 1	couche de destruction	Matière première	Dent	Suidé	Ensemble de fragments	Naturelle						NR II / niv6-5	
6524-001	Maison 1	sol 6-096	Matière première	Dent	Suidé	Fragment	Naturelle	7,258	1,967			195	NR II / niv6-5	
6524-016	Maison 1	sol 6-096	Matière première	Dent	Suidé	Ensemble de fragments	Irrégulière						NR II / niv6-5	
6578-008	Maison 1	couche de destruction 6-124	Matière première	Dent	Suidé	Fragment	Naturelle	7,533	2,492			214	NR II / niv6-5	

### Matière première - Coquille

Secteur B2-Programme 1														
101009-M1202			Matière première	Coquille	Indéterminé	Fragment		4,301	2,495		0,483	66	NR II	
102004-M5062			Matière première	Coquille	Spondylus Gae-deropus	Fragment		5,547	3,627		0,377	112	NR II	
102018-M0474			Matière première	Coquille	Spondylus Gae-deropus	Fragment		4,79	5,095		0,829	260		
102-M5097			Matière première	Coquille	Spondylus Gae-deropus	Complet		6,96	5,682		0,647	437		
102-M5098			Matière première	Coquille	Spondylus Gae-deropus	Fragment		4,849	4,637		0,269	113		
102-M5099			Matière première	Coquille	Spondylus Gae-deropus	Complet		6,194	4,575		0,596	396		
102-M5100			Matière première	Coquille	Spondylus Gae-deropus	Fragment		3,576	4,285		0,414	77		
104003-M5087			Matière première	Coquille	Spondylus Gae-deropus	Fragment		6,151	2,055		0,889	148	NR II	

## Annexe 2 Les éléments de matière première de Dikili Tash

*En italique les pièces non étudiées par Céline Choquet*

N° inventaire	Ensemble	Fait	Type	Matériau	Matériau détermination	Etat	Forme	Long. (en cm)	Larg. (en cm)	Diam. Max (en cm)	Ep. max. (en cm)	Poids (en gr)	Datation / Niveau	Fig.
104003-M5088			Matière première	Coquille	Spondylus Gae-deropus	Fragment		4,718	4,175		0,562	134	NR II	
104003-M5089			Matière première	Coquille	Spondylus Gae-deropus	Fragment		3,246	2,571		0,533	43	NR II	
104004-M0484			Matière première	Coquille		Complet		5,348	3,971		1,308	423	NR II	
104005-M5104			Matière première	Coquille	Spondylus Gae-deropus	Complet		4,698	5,603		0,738	405	NR II	
104012-M5092			Matière première	Coquille	Spondylus Gae-deropus	Complet		8,363	6,358		1,489	144	NR I	
104-M5101			Matière première	Coquille	Spondylus Gae-deropus	Fragment		4,122	3,612		0,441	64		
104-M5102			Matière première	Coquille	Spondylus Gae-deropus	Fragment		2,256	2,905		0,152	27		
Provenance inconnue-Programme 1														
-21553			Matière première	Coquille	Spondylus Gae-deropus	Fragment		7,3	6,425		1,409	783		
-D104			Matière première	Coquille		Fragment						64		
-D118			Matière première	Coquille		Fragment	irrégulière	3,928	1,562		0,276	41		
-D120			Matière première	Coquille		Fragment		2,064	1,896		0,348	17		
-D122			Matière première	Coquille		Fragment		1,976	1,148		0,227	8		
-D130			Matière première	Coquille		Fragment						21		
-D161			Matière première	Coquille		Fragment	irrégulière	5,553	3,187		0,8	84		
-M5091			Matière première	Coquille	Spondylus Gae-deropus	Complet		9,242	8,335		1,795	307		
-M5093			Matière première	Coquille	Spondylus Gae-deropus	Complet		6,992	6,647		0,596	391		
-M5094			Matière première	Coquille	Spondylus Gae-deropus	Complet		4,92	4,718		0,28	90		
-M5096			Matière première	Coquille	Spondylus Gae-deropus	Fragment		5,238	4,77		0,356	158		
-M5103			Matière première	Coquille	Spondylus Gae-deropus	Fragment		5,306	5,033		0,362	165		

## Annexe 2 Les éléments de matière première de Dikili Tash

*En italique les pièces non étudiées par Céline Choquet*

N° inventaire	Ensemble	Fait	Type	Matériau	Matériau détermination	Etat	Forme	Long. (en cm)	Larg. (en cm)	Diam. Max (en cm)	Ep. max. (en cm)	Poids (en gr)	Datation / Niveau	Fig.
Secteur 1 - Programme 2														
1/289.102/04-003			<i>Matière première</i>	<i>Coquille</i>	<i>Spondylus Gae-deropus</i>	<i>Complet</i>							<i>NR I / I/2</i>	<i>160</i>
Secteur V/Ouest - Programme 2														
5/300.104/40-006	Maison au bucrane	plate-forme 601	Matière première	Coquille	Spondylus Gae-deropus	Fragment		10,2	7,4				NR I / VO/3	
5/300.106/32-007			<i>Matière première</i>	<i>Coquille</i>		<i>Fragment</i>							<i>NR I / VO/1</i>	
5/300.106/35-007	Maison au bucrane	amas 655	Matière première	Coquille		Fragment							NR I / VO/3	
5/302.103/09-002			<i>Matière première</i>	<i>Coquille</i>		<i>Fragment</i>							<i>hors strati</i>	
5/304.103/02-076			<i>Matière première</i>	<i>Coquille</i>		<i>Fragment</i>							<i>surface</i>	
Secteur V/Est - Programme 2														
5/311.104/30-006	Cour aux silos	silo 852	Matière première	Coquille		Fragment							NR I / VE/3	
5/314.101/31-003			Matière première	Coquille	Spondylus Gae-deropus	Fragment	irrégulière	5,181	2,981		0,754	146	NR I / VE/4	186
Secteur 6-Programme 3														
6002-012			Matière première	Coquille	Spondylus Gae-deropus	Fragment		6,233	3,439		2,66	515	NR, BA, Historique, Moderne / Surface, niv6-2	
6266-273	Maison 1	couche de destruction	Matière première	Coquille		Fragment	irrégulière						NR II / niv6-5	
6266-274	Maison 1	couche de destruction	Matière première	Coquille		Fragment	irrégulière						NR II / niv6-5	
6266-276	Maison 1	couche de destruction	Matière première	Coquille		Fragment	irrégulière						NR II / niv6-5	
6364-176	Maison 1	sol 6-096	Matière première	Coquille		Fragment	irrégulière						NR II / niv6-5	
6474-004	Maison 1	couche de destruction 6-097	Matière première	Coquille	Cyclopea Neritea	Fragment	naturelle	1,088	0,709		0,426	1	NR II / niv6-5	
6524-011	Maison 1	sol 6-096	Matière première	Coquille		Fragment							NR II / niv6-5	

**Annexe 2**  
**Les éléments de matière première de Dikili Tash**

*En italique les pièces non étudiées par Céline Choquet*

<b>N° inventaire</b>	<b>Ensemble</b>	<b>Fait</b>	<b>Type</b>	<b>Matériau</b>	<b>Matériau détermination</b>	<b>Etat</b>	<b>Forme</b>	<b>Long. (en cm)</b>	<b>Larg. (en cm)</b>	<b>Diam. Max (en cm)</b>	<b>Ep. max. (en cm)</b>	<b>Poids (en gr)</b>	<b>Datation / Niveau</b>	<b>Fig.</b>
6593-008		remblaiement 6-128	Matière première	Coquille	Columbella Rustica	Complet	naturelle			0,859	1,307	5	NFinal / niv6-4	
6629-035		remblaiement 6-128	Matière première	Coquille	Columbella Rustica	Complet	naturelle			0,928	1,542	5	NFinal / niv6-4	
6629-036		remblaiement 6-128	Matière première	Coquille	Columbella Rustica	Complet	naturelle			1,085	1,93	5	NFinal / niv6-4	
6634-002	Maison 1	four 6-114	Matière première	Coquille	Columbella rustica	Fragment	naturelle			0,761	0,449	5	NR II / niv6-5	



# **ANNEXE 3**

Inventaire des données issues de  
l'analyse XRF d'objets de parure  
du site de Dikili Tash

# Annexe 3 Tableau des éléments chimiques présents dans des échantillons de référence

**Ag** : Argent ; **Al** : Aluminium ; **As** : Arsenic ; **Au** : Or ; **Ba** : Baryum ; **Bi** : Bismuth ; **Ca** : Calcium ; **Cd** : Cadmium ; **Cl** : Chlore ; **Co** : Cobalt ; **Cr** : Chrome ; **Cu** : Cuivre ; **Fe** : Fer ; **K** : Potassium ; **Mg** : Magnésium ; **Mn** : Manganèse ; **Mo** : Molybdène ; **Nb** : Niobium ; **Ni** : Nickel ; **P** : Phosphore ; **Pb** : Plomb ; **Sb** : Antimoine ; **Si** : Silicium ; **Sr** : Strontium ; **Ti** : Titane ; **V** : Vanadium ; **W** : Tungstène ; **Zn** : Zinc ; **Zr** : Zirconium.

N° Inventaire	Matériau	Principaux										Secondaires												
		Al	Ca	Fe	P	Si	As	Ba	Cl	Cr	Cu	K	Mg	Mn	Ni	Pb	Rb	S	Sb	Sr	Ti	V	W	Zn
6364-066	Bloc d'argile	2,269	57,092	24,433	0,893	9,244	0,313	3,157	0,009	0,052	0,019	1,234	0,173	0,040	0,073		0,294	0,339	0,021	0,206	0,059	0,036	0,036	0,007
6070-003	Céramique	16,877	6,900	12,930	0,693	52,576	0,008	0,135	0,052	0,008	5,949	2,262	0,138		0,026	0,016	0,107		0,036	1,144	0,050		0,060	0,034
Contrôle	Céramique	4,378	19,903	22,418		40,402		0,393	0,079		9,566				0,024	0,039	0,393		0,086	2,083	0,086		0,063	0,086
Contrôle	Bloc de marbre	0,955	93,880	0,185	0,062	2,228		0,038	0,020		0,093	2,183	0,045				0,109		0,018	0,185				
Contrôle	Bloc de marbre	0,936	96,500	0,116	0,080	2,027		0,038	0,027		0,074						0,000		0,019	0,183				
Contrôle	Bloc de marbre	0,734	96,381	0,127	0,129	2,249		0,049			0,114		0,028						0,000	0,183			0,006	
Contrôle	Bloc de marbre	0,559	97,070	0,074	0,317	1,301		0,034			0,116						0,244		0,019	0,250		0,017		
2078-002	Bol en marbre	6,074	72,781	1,272	0,787	15,186		0,034	0,015	0,019		1,175	2,147			0,120		0,034	0,323				0,006	
6266-273	Coquille	1,294	88,043	1,129	1,020	6,714			0,014	0,026	0,019	0,988				0,177		0,277	0,288				0,012	
6364-176	Coquille	3,650	75,200	1,873	1,109	15,255		0,037	0,022	0,020		2,014	0,081			0,198		0,125	0,495			0,009		
313.102-01-08	Pendentif en glycymeris	2,638	89,414	0,409	0,818	5,727			0,046	0,024	0,014	0,439		0,022		0,261		0,146	0,223			0,019		
102008-M0701	Anneau en spondyle	0,773	96,048	0,133	0,384	1,769		0,059	0,025	0,021		0,160				0,287		0,146	0,194					
6364-006	Coquille de spondyle	3,385	80,383	1,286	0,715	12,234		0,026	0,014	0,026		1,191	0,073			0,180		0,128	0,350			0,006		
6364-009	Coquille de spondyle	2,752	84,583	0,711	0,840	9,537		0,016	0,006	0,018	0,004	0,801	0,043			0,290		0,119	0,275			0,004		
6364-014	Coquille de spondyle	3,812	77,242	1,578	0,965	14,134		0,044	0,009	0,026	0,007	1,444	0,066	0,011	0,004	0,200		0,108	0,343			0,007		
104003-M5087	Coquille de spondyle	0,830	95,825	0,165	0,199	2,035		0,038	0,040	0,029		0,153				0,324		0,174	0,188					
M1891	Coquille de spondyle	1,959	88,777	0,587	1,224	5,099		0,041	0,006	0,021		0,490	0,039			1,364		0,146	0,240			0,008		
102018-M0474	Coquille de spondyle	0,684	96,943	0,141	0,324	1,141		0,044	0,042	0,023	0,004	0,148		0,012		0,204		0,129	0,162					
6364-173	Canine de suidé	4,039	65,977	2,500	4,897	17,995		0,011	0,045	0,027	0,011	2,601	0,913		0,021	0,332		0,053	0,499	0,019		0,032		
M1233	Canine de suidé		69,645	0,043	29,162	0,558		0,059	0,165	0,012		0,128				0,045		0,031	0,100			0,051		
Contrôle	Os	3,301	63,062	2,916	7,576	17,821		0,009	0,033	0,024	0,030	3,986	0,274			0,361		0,039	0,453			0,054	0,063	
6087-003	Os	4,449	61,596	1,110	20,787	10,332			0,083	0,136	0,005	0,746	0,104	0,024	0,009	0,314		0,017	0,245			0,021		
6315-001	Os	1,689	70,849	1,161	16,309	8,137		0,007	0,061	0,021	0,007	0,794	0,483			0,162		0,061	0,212			0,047		
M0764	Os, astragale	4,704	60,881	3,490	7,750	18,585		0,005	0,087	0,030	0,010	2,081	1,576			0,260		0,050	0,395	0,020		0,070		
6344-06	Outil en os	1,571	69,018	0,334	22,404	3,012		0,012	0,061	0,033	0,018	0,232	2,218	0,218	0,057	0,322		0,033	0,149			0,307	0,004	
6344-006	Outil en os	3,237	64,991	0,822	16,934	9,847		0,009	0,078	0,041	0,024	0,742	2,640	0,017	0,019	0,304		0,035	0,231			0,026	0,004	

# Annexe 3

## Tableau des éléments chimiques présents dans des objets du corpus

Ag : Argent ; Al : Aluminium ; As : Arsenic ; Au : Or ; Ba : Baryum ; Bi : Bismuth ; Ca : Calcium ; Cd : Cadmium ; Cl : Chlore ; Co : Cobalt ; Cr : Chrome ; Cu : Cuivre ; Fe : Fer ; K : Potassium ; Mg : Magnésium ; Mn : Manganèse ; Mo : Molybdène ; Nb : Niobium ; Ni : Nickel ; P : Phosphore ; Pb : Plomb ; Rb : Rubidium ; S : Soufre ; Sb : Antimoine ; Si : Silicium ; Sr : Strontium ; Ti : Titane ; V : Vanadium ; W : Tungstène ; Zn : Zinc ; Zr : Zirconium.

N°inventaire	Type	Interprétation Matériau	Éléments chimiques																												
			Secondaires																												
			Principaux																												
			Al	Ca	Fe	P	Si	As	Au	Ba	Bi	Cd	Cl	Co	Cr	Cu	K	Mg	Mn	Mo	Nb	Ni	Pb	Rb	S	Sr	Ti	V	W	Zn	Zr
6344-039	Applique	Dent	2,897	68,763	0,440	17,394	9,370	0,006				0,046	0,025	0,004	0,634								0,008		0,175	0,056	0,169			0,013	
6344-082	Applique	Dent	0,873	79,504	0,071	16,394	2,551	0,004				0,028	0,019		0,193								0,004		0,459	0,049	0,144			0,009	
6344-150	Applique	Dent	1,005	69,182	0,134	27,212	1,623	0,011				0,151	0,015		0,211								0,014		0,103	0,028	0,136			0,046	
6394-039	Applique	Dent	2,243	71,901	0,652	14,493	9,247	0,005				0,043	0,025		0,869								0,005		0,215	0,048	0,219			0,021	
6394-054	Applique	Dent	1,466	78,547	0,895	10,587	7,000	0,005	0,029			0,061	0,019		0,878								0,005		0,160	0,029	0,255			0,024	
304.103-40-21	Perle	Os	1,938	62,888	5,492	14,880	10,354	0,017			0,006	0,084	0,025	0,497	2,641	0,433						0,073	0,025	0,612	0,039	0,301	0,031	0,053	0,199	0,011	
317.102-32-10	Perle	Os	1,619	67,986	2,545	22,867	3,761	0,008				0,015	0,025	0,008	0,360	0,271							0,004		0,250	0,037	0,183			0,060	
6060-006	Perle	Os	3,351	59,569	2,316	13,759	16,256					0,039	0,032	0,032	3,619	0,111							0,005		0,342	0,026	0,408			0,032	
6020-005	Perle	Terre cuite	6,306	16,088	20,651	2,633	42,406	0,014			0,009	0,014	0,079	0,033	9,055	0,312							0,019		0,536	0,037	1,459			0,098	0,075
6266-047	Perle	Terre cuite	7,953	15,606	12,463	2,529	45,413	0,008			0,008	0,039	0,043	0,055	13,389	0,098							0,032		0,512	0,032	1,564			0,075	0,079
6266-049	Perle	Terre cuite	6,750	15,536	16,768	2,567	44,141	0,012			0,008	0,028	0,067	0,044	11,991	0,166							0,028		0,400	0,032	1,236			0,067	0,075
6266-157	Perle	Terre cuite	7,372	12,229	16,477	2,758	47,519	0,007			0,007	0,048	0,070	0,117	10,910	0,234							0,051		0,560	0,033	1,355			0,077	0,062
6266-263	Perle	Terre cuite	7,207	16,706	16,329	2,489	44,237	0,014			0,007	0,034	0,078	0,065	10,648	0,265							0,031		0,388	0,031	1,227			0,065	0,061
2057-012	Perle	Pierre non calcaire	6,805	10,809	21,976	2,701	48,577	0,045				0,041	0,181		4,059	2,968							0,683		0,357		0,471			0,041	
299.105-44-09	Perle	Pierre non calcaire	7,664	8,588	23,916	3,252	44,524					0,037	0,335		2,612	7,384							0,602		0,683		0,112			0,050	
306.105-41-04	Perle	Pierre non calcaire	10,463	3,278	23,440	3,533	44,651					0,068	0,106	0,025	3,682	8,482							0,317		0,739		0,342			0,043	
310.104-20-17a	Perle	Pierre non calcaire	1,368	4,718	24,261	3,105	51,966	0,012				0,065	0,702	0,054	3,236	8,085							1,202		0,821		0,107			0,095	
310.104-20-17b	Perle	Pierre non calcaire	6,173	11,521	6,350	3,713	48,576			0,007		0,109	0,020	0,017	20,749								0,007		0,055	0,017	0,244			0,055	0,044
310.104-20-17c	Perle	Pierre non calcaire	6,692	6,532	8,476	2,096	52,564			0,007		0,059	0,021	0,045	21,196								0,229		0,073	0,017	1,373			0,031	0,049
315.104-06-03	Pendentif	Pierre non calcaire (Néphrite)	1,454	21,578	5,521	0,270	56,135					0,014	0,052		0,300	14,192							0,007		0,070		0,048			0,005	
317.103-06-05a	Perle	Pierre non calcaire	1,481	4,086	18,855	3,034	61,094					0,133	0,071	0,019	2,805	6,172							0,738	0,014	1,029		0,124			0,057	
6060-005	Perle	Pierre non calcaire	7,010	5,358	19,927	2,653	38,452	0,007			0,015	0,123	0,067	0,049	24,130								0,120	0,026	0,531	0,045	1,181			0,064	0,049
6147-004	Perle	Pierre non calcaire	3,446	12,809	12,790	3,102	60,221					0,019	0,034		4,565	1,735							0,252		0,538	0,010	0,305			0,058	0,010
6224-001	Perle	Pierre non calcaire	3,463	19,308	27,196	2,253	36,444	0,036				0,052	2,892	0,020	2,824	3,383							0,833		0,471	0,008	0,265			0,044	0,052
6266-011	Perle	Pierre non calcaire	4,942	25,774	34,077	2,585	21,395	0,008				0,036	0,101	0,032	6,767	1,970							0,080	0,008	0,599	0,008	0,563			0,105	0,072

## Annexe 3

# Tableau des éléments chimiques présents dans des objets du corpus

**Ag :** Argent ; **Al :** Aluminium ; **As :** Arsenic ; **Au :** Or ; **Ba :** Baryum ; **Bi :** Bismuth ; **Ca :** Calcium ; **Cd :** Cadmium ; **Cl :** Chlore ; **Co :** Cobalt ; **Cr :** Chrome ; **Cu :** Cuivre ; **Fe :** Fer ; **K :** Potassium ; **Mg :** Magnésium ; **Mn :** Manganèse ; **Mo :** Molybdène ; **Nb :** Niobium ; **Ni :** Nickel ; **P :** Phosphore ; **Pb :** Plomb ; **Rb :** Rubidium ; **S :** Soufre ; **Sb :** Antimoine ; **Si :** Silicium ; **Str :** Strontium ; **Ti :** Titane ; **V :** Vanadium ; **W :** Tungstène ; **Zn :** Zinc ; **Zr :** Zirconium.

N°inventaire	Type	Interprétation Matériau	Éléments chimiques																										
			Principaux										Secondaires																
Al	Ca	Fe	P	Si	As	Au	Ba	Bi	Cd	Cl	Co	Cr	Cu	K	Mg	Mn	Mo	Nb	Ni	Pb	Rb	S	Sr	Ti	V	W	Zn	Zr	
6266-025	Perle	Pierre non calcaire	2,883	10,015	3,201	4,495	64,670	0,025		0,056			6,159	6,758					0,094	0,012			1,391		0,168		0,100	0,062	
6266-027	Perle	Pierre non calcaire	6,311	5,510	4,263	2,355	59,168		0,010	0,099			0,017	2,1165						0,953	0,030		0,470	0,033	0,427		0,046	0,043	0,043
6266-029	Perle	Pierre non calcaire	1,741	27,517	3,268	3,613	52,035			0,138			4,426	3,876	2,379								0,808		0,457			0,044	
6266-032	Perle	Pierre non calcaire	2,140	18,276	27,730	2,280	38,217	0,016		0,036		2,423	0,044	4,651	2,008	0,547			0,663	0,016	0,008		0,491	0,008	0,263	0,656		0,128	
6266-033	Perle	Pierre non calcaire	1,671	9,981	9,603	2,538	45,031	0,049		0,097			23,804	3,212	2,102				0,959				0,604	0,016	0,146		0,043		
6266-036	Perle	Pierre non calcaire	1,617	10,293	8,550	3,233	61,941	0,012		0,069		0,023	6,104	3,205	4,010			0,040		0,985			0,725		0,098	0,017	0,046	0,017	
6344-050	Perle	Pierre non calcaire	1,922	4,973	22,742	2,343	55,479	0,064		0,027		0,117		1,518	8,791	0,517			0,929				0,394		0,069	0,037		0,021	
6344-147	Perle	Pierre non calcaire	1,847	7,377	23,431	2,362	52,392			0,070		1,004		2,443	7,345	0,097			0,929				0,532		0,091	0,032		0,048	
6344-245	Perle	Pierre non calcaire	2,406	12,071	30,376	2,013	40,233	0,049		0,019		3,177		1,596	5,253	0,446			0,786				0,412		0,146	0,068		0,049	
6344-710	Perle	Pierre non calcaire	1,147	10,208	7,684	3,346	59,519	0,081	0,012	0,044			10,114	4,057	2,910				0,118				0,561		0,062	0,019	0,062	0,056	
6344-711	Perle	Pierre non calcaire	7,135	19,967	18,259	2,256	42,362	0,066	0,007	0,015		0,069	0,022	7,727	2,910	0,322			0,026	0,015	0,022		0,208	0,044	1,554	0,080	0,069	0,066	0,066
6344-749	Perle	Pierre non calcaire	1,882	8,292	22,515	2,394	51,197	0,010		0,088		0,801		2,249	9,130	0,160			0,600				0,450		0,103	0,036	0,047	0,047	
6344-750	Perle	Pierre non calcaire	1,683	10,776	22,731	2,260	50,117	0,018		0,081		0,243		2,467	7,940	0,306			0,747				0,405		0,099	0,036	0,054	0,036	
6344-789	Perle	Pierre non calcaire	1,156	15,064	13,224	5,028	55,120	0,026		0,057			2,817	3,699	2,932						0,026		0,632		0,102	0,038		0,077	
800-D060	Perle	Pierre non calcaire	9,693	5,948	31,755	2,136	38,912	0,009		0,109		1,050	0,014	2,599	4,880	0,509			0,927	0,014			0,922		0,314	0,114		0,095	
800-D079	Perle	Pierre non calcaire	27,031	3,295	1,427	1,848	17,719	0,025		0,036	0,406			2,234	0,858				43,313				1,244		0,086	0,025		0,452	
288.070-12-02	Perle	Coquille/ Pierre calcaire	6,773	93,004	0,550	0,899	3,689			0,036				0,571									0,184	0,028	0,233			0,033	
300.106-35-03	Perle	Coquille/ Pierre calcaire	0,690	79,980	0,288	0,365	2,154			0,027			0,006	0,384									15,920	0,021	0,161			0,004	
301.102-41-09	Perle	Coquille/ Pierre calcaire	1,182	94,625	0,220	0,375	2,526		0,046	0,044		0,029		0,346		0,041			0,010				0,230	0,135	0,191				
302.105-33-05	Perle	Coquille/ Pierre calcaire	0,824	93,624	0,188	0,816	3,042			0,048		0,022	0,031	0,525									0,481	0,129	0,238		0,026	0,007	

## Annexe 3

# Tableau des éléments chimiques présents dans des objets du corpus

**Ag** : Argent ; **Al** : Aluminium ; **As** : Arsenic ; **Au** : Or ; **Ba** : Baryum ; **Bi** : Bismuth ; **Ca** : Calcium ; **Cd** : Cadmium ; **Cl** : Chlore ; **Co** : Cobalt ; **Cr** : Chrome ; **Cu** : Cuivre ; **Fe** : Fer ; **K** : Potassium ; **Mg** : Magnésium ; **Mn** : Manganèse ; **Mo** : Molybdène ; **Nb** : Niobium ; **Ni** : Nickel ; **P** : Phosphore ; **Pb** : Plomb ; **Rb** : Rubidium ; **S** : Soufre ; **Sb** : Antimoine ; **Si** : Silicium ; **Str** : Strontium ; **Ti** : Titane ; **V** : Vanadium ; **W** : Tungstène ; **Zn** : Zinc ; **Zr** : Zirconium.

N°inventaire	Type	Interprétation Matériau	Éléments chimiques																												
			Principaux										Secondaires																		
			Al	Ca	Fe	P	Si	As	Au	Ba	Bi	Cd	Cl	Co	Cr	Cu	K	Mg	Mn	Mo	Nb	Ni	Pb	Rb	S	Str	Ti	V	W	Zn	Zr
302.106-40-18	Perte	Coquille/ Pierre calcaire	0,561	85,283	0,218	1,227	2,236			0,054			0,018		0,717										9,353	0,126	0,179				0,028
303.099-43-06	Perte	Coquille/ Pierre calcaire	0,824	93,979	0,134	0,233	1,919		0,113	0,043			0,026		0,237	1,984									0,166	0,164	0,178				
303.106-40-20a	Perte	Coquille/ Pierre calcaire	0,645	94,107	0,439	0,746	2,962			0,026			0,013		0,620										0,124	0,131	0,214				0,013
304.099-40-03	Perte	Coquille/ Pierre calcaire	0,408	74,239	0,166	0,724	2,066			0,037			0,012		0,391										21,745	0,008	0,184				0,012
305.106-20-05	Perte	Coquille/ Pierre calcaire	0,400	93,909	0,221	1,560	2,427			0,055				0,047	0,350								0,034		0,322	0,311	0,205				0,161
310.104-10-31	Perte	Coquille/ Pierre calcaire		87,830	0,093	0,528	1,599			0,049				0,010	0,597										9,126	0,022	0,130				0,017
310.104-10-31b	Perte	Coquille/ Pierre calcaire		76,193	0,116	0,341	1,131			0,029				0,010	0,343								0,014		21,522	0,124	0,171				0,006
310.104-10-31cc	Perte	Coquille/ Pierre calcaire	0,471	95,246	0,258	0,569	2,216			0,026			0,016	0,009	0,527							0,039			0,288	0,021	0,235				0,023
310.104-10-31d	Perte	Coquille/ Pierre calcaire		96,966	0,081	0,497	1,325			0,017			0,027	0,012	0,342										0,455	0,012	0,221				0,007
310.104-10-31ff	Perte	Coquille/ Pierre calcaire	0,498	94,477	0,223	0,751	2,394			0,025			0,015	0,012	0,670								0,028		0,589	0,103	0,189				0,044
310.104-10-31gg	Perte	Coquille/ Pierre calcaire	0,549	95,737	0,150	0,566	1,751			0,040				0,012	0,453										0,365	0,143	0,199				0,009
310.104-10-31q	Perte	Coquille/ Pierre calcaire	0,604	93,605	0,231	0,938	3,185			0,040				0,015	0,795										0,342	0,033	0,166				0,028
310.104-10-31x	Perte	Coquille/ Pierre calcaire	0,422	95,538	0,343	0,590	2,032			0,027			0,015	0,015	0,343							0,022			0,269	0,138	0,183				0,017
310.104-10-31y	Perte	Coquille/ Pierre calcaire	0,665	93,012	0,296	0,941	3,167			0,045			0,023	0,018	0,750							0,043			0,763	0,013	0,201				0,023
310.104-20-03cc	Perte	Coquille/ Pierre calcaire	0,561	94,939	0,239	0,509	2,642			0,031			0,021	0,009	0,378										0,272	0,021	0,333				0,009
310.104-20-03d	Perte	Coquille/ Pierre calcaire		70,919	0,108	0,374	1,169			0,029				0,008	0,352							0,017			26,866	0,035	0,112				0,010
310.104-20-03i	Perte	Coquille/ Pierre calcaire		85,101	0,131	0,329	1,649			0,044				0,006	0,680										11,878	0,013	0,163				0,006

### Annexe 3

## Tableau des éléments chimiques présents dans des objets du corpus

Ag : Argent ; Al : Aluminium ; As : Arsenic ; Au : Or ; Ba : Baryum ; Bi : Bismuth ; Ca : Calcium ; Cd : Cadmium ; Cl : Chlore ; Co : Cobalt ; Cr : Chrome ; Cu : Cuivre ; Fe : Fer ; K : Potassium ; Mg : Magnésium ; Mn : Manganèse ; Mo : Molybdène ; Nb : Niobium ; Ni : Nickel ; P : Phosphore ; Pb : Plomb ; Rb : Rubidium ; S : Soufre ; Sb : Antimoine ; Si : Silicium ; Sr : Strontium ; Ti : Titane ; V : Vanadium ; W : Tungstène ; Zn : Zinc ; Zr : Zirconium.

N°inventaire	Type	Interprétation Matériau	Éléments chimiques																													
			Principaux										Secondaires																			
			Al	Ca	Fe	P	Si	As	Au	Ba	Bi	Cd	Cl	Co	Cr	Cu	K	Mg	Mn	Mo	Nb	Ni	Pb	Rb	S	Sr	Ti	V	W	Zn	Zr	
310.104-20-314	Perte	Coquille/ Pierre calcaire	0,776	88,849	0,353	0,483	2,767					0,046	0,017	0,007	0,428	0,007	0,428									5,955	0,123	0,186			0,010	
311.101-04-13	Perte	Coquille/ Pierre calcaire	0,843	89,518	0,658	1,412	5,091					0,049		0,035	1,338	0,035	1,338		0,065				0,065	0,005		0,414	0,136	0,250		0,076	0,027	
313.101-01-03	Perte	Coquille/ Pierre calcaire	3,419	85,366	0,639	0,599	8,276		0,026			0,068	0,024		0,753	0,024	0,753		0,052							0,429	0,128	0,222				
6029-001	Perte	Coquille/ Pierre calcaire	1,462	89,119	0,665	0,672	6,362					0,061	0,016	0,009	0,966	0,016	0,966									0,337	0,109	0,213			0,009	
6061-004	Perte	Coquille/ Pierre calcaire	1,445	89,449	0,718	1,014	6,195					0,024			0,845		0,845									0,068	0,035	0,191			0,016	
6184-001	Perte	Coquille/ Pierre calcaire	0,850	91,617	0,459	0,800	4,661					0,037		0,010	1,093	0,010	1,093									0,267	0,026	0,175			0,013	
6184-002	Perte	Coquille/ Pierre calcaire	0,948	91,068	0,509	0,876	5,032					0,025		0,017	1,094	0,017	1,094					0,037				0,175	0,035	0,173			0,012	
6184-003	Perte	Coquille/ Pierre calcaire	0,736	93,021	0,348	0,855	3,677					0,032	0,016	0,011	0,896	0,016	0,896									0,219	0,022	0,151			0,016	
6184-004	Perte	Coquille/ Pierre calcaire	0,602	95,277	0,230	0,471	2,591					0,036	0,016	0,011	0,401	0,011	0,401									0,158	0,027	0,147		0,027	0,007	
6184-005	Perte	Coquille/ Pierre calcaire	0,738	93,593	0,432	0,589	3,758					0,021	0,021	0,009	0,502	0,021	0,502									0,140	0,042	0,147			0,007	
6184-007	Perte	Coquille/ Pierre calcaire	0,886	92,323	0,556	0,680	4,329					0,020	0,020	0,020	0,787	0,020	0,787									0,069	0,017	0,204		0,040	0,012	
6184-008	Perte	Coquille/ Pierre calcaire	0,942	91,816	0,604	0,783	4,416					0,054			1,006		1,006									0,123	0,026	0,220			0,010	
6266-002	Perte	Coquille/ Pierre calcaire	0,834	91,216	0,696	1,035	4,613					0,017	0,014		0,851	0,014	0,851									0,393	0,156	0,286			0,010	
6266-003	Perte	Coquille/ Pierre calcaire	0,383	95,380	0,216	0,601	2,675					0,020	0,017	0,010	0,304	0,017	0,304									0,132	0,022	0,235			0,005	
6266-004	Perte	Coquille/ Pierre calcaire	0,863	91,957	0,295	0,858	4,826					0,034		0,012	0,671	0,012	0,671									0,209	0,020	0,241			0,015	
6266-005	Perte	Coquille/ Pierre calcaire	0,646	93,687	0,369	0,711	3,561					0,019	0,024	0,017	0,554	0,024	0,554									0,106	0,029	0,234			0,010	
6266-006	Perte	Coquille/ Pierre calcaire	0,481	95,395	0,156	0,490	2,780					0,020	0,018		0,277	0,018	0,277									0,129	0,018	0,227			0,009	



## Annexe 3

# Tableau des éléments chimiques présents dans des objets du corpus

**Ag** : Argent ; **Al** : Aluminium ; **As** : Arsenic ; **Au** : Or ; **Ba** : Baryum ; **Bi** : Bismuth ; **Ca** : Calcium ; **Cd** : Cadmium ; **Cl** : Chlore ; **Co** : Cobalt ; **Cr** : Chrome ; **Cu** : Cuivre ; **Fe** : Fer ; **K** : Potassium ; **Mg** : Magnésium ; **Mn** : Manganèse ; **Mo** : Molybdène ; **Nb** : Niobium ; **Ni** : Nickel ; **P** : Phosphore ; **Pb** : Plomb ; **Rb** : Rubidium ; **S** : Soufre ; **Sb** : Antimoine ; **Si** : Silicium ; **Str** : Strontium ; **Ti** : Titane ; **V** : Vanadium ; **W** : Tungstène ; **Zn** : Zinc ; **Zr** : Zirconium.

N°inventaire	Type	Interprétation Matériau	Éléments chimiques																											
			Principaux										Secondaires																	
			Al	Ca	Fe	P	Si	As	Au	Ba	Bi	Cd	Cl	Co	Cr	Cu	K	Mg	Mn	Mo	Nb	Ni	Pb	Rb	S	Str	Ti	V	W	Zn
6266-026	Perte	Coquille/ Pierre calcaire	2,051	80,620	1,755	1,730	10,840				0,040	0,017	2,019				0,072				0,032			0,266	0,037	0,436		0,042	0,020	
6266-028	Perte	Coquille/ Pierre calcaire	0,574	92,071	0,250	1,134	5,069				0,021		0,390											0,211	0,024	0,226			0,030	
6266-030	Perte	Coquille/ Pierre calcaire	0,941	89,817	0,864	1,153	5,410				0,064	0,010	1,037									0,005		0,224	0,181	0,268			0,026	
6266-031	Perte	Coquille/ Pierre calcaire	0,812	90,245	0,849	1,187	5,190				0,029	0,013	1,095				0,076				0,045			0,157	0,016	0,244			0,013	
6266-034	Perte	Coquille/ Pierre calcaire	1,208	84,849	1,579	1,425	7,662				0,049	0,026	2,125								0,036		0,005	0,556	0,103	0,337			0,033	
6266-037	Perte	Coquille/ Pierre calcaire	0,808	92,554	0,353	1,149	3,603				0,027	0,020	0,833											0,210	0,183	0,240			0,015	
6266-038	Perte	Coquille/ Pierre calcaire		93,441	0,208	0,949	3,778				0,053	0,053	0,941											0,347	0,166	0,045			0,021	
6266-039	Perte	Coquille/ Pierre calcaire	0,715	90,880	0,468	1,208	5,379				0,023	0,013	0,964											0,201	0,015	0,101			0,013	
6266-040	Perte	Coquille/ Pierre calcaire	1,065	90,462	0,715	0,842	5,732				0,018	0,018	0,727				0,048				0,014			0,152	0,016	0,161		0,021	0,009	
6266-041	Perte	Coquille/ Pierre calcaire	0,760	93,203	0,401	0,760	4,081				0,014		0,404				0,087							0,087	0,019	0,165			0,005	
6266-042	Perte	Coquille/ Pierre calcaire	0,434	94,239	0,240	0,669	2,860				0,037	0,566	0,534								0,037			0,159	0,034	0,152		0,099	0,010	
6266-043	Perte	Coquille/ Pierre calcaire	0,775	90,749	0,898	0,980	4,982				0,036	0,019	1,004								0,038		0,005	0,238	0,026	0,209			0,014	
6266-044	Perte	Coquille/ Pierre calcaire	0,802	90,473	0,301	1,345	4,925				0,065	0,013	1,353											0,377	0,137	0,180			0,030	
6266-045	Perte	Coquille/ Pierre calcaire	0,767	91,246	0,315	1,354	4,314				0,078	0,022	1,198								0,030			0,275	0,148	0,170			0,035	
6266-046	Perte	Coquille/ Pierre calcaire	0,520	92,597	0,429	0,841	4,274				0,024		0,762											0,177	0,149	0,194		0,024	0,007	
6316-004	Perte	Coquille/ Pierre calcaire	0,721	93,181	0,260	0,893	3,557				0,023	0,015	0,927								0,031			0,175	0,023	0,183			0,010	
6322-002	Perte	Coquille/ Pierre calcaire	1,211	87,427	0,682	1,110	5,879				0,035	0,017	0,978				2,094							0,259	0,032	0,233			0,029	

## Annexe 3

# Tableau des éléments chimiques présents dans des objets du corpus

Ag : Argent ; Al : Aluminium ; As : Arsenic ; Au : Or ; Ba : Baryum ; Bi : Bismuth ; Ca : Calcium ; Cd : Cadmium ; Cl : Chlore ; Cr : Chrome ; Cu : Cuivre ; Fe : Fer ; K : Potassium ; Mg : Magnésium ; Mn : Manganèse ; Mo : Molybdène ; Nb : Niobium ; Ni : Nickel ; P : Phosphore ; Pb : Plomb ; Rb : Rubidium ; S : Soufre ; Sb : Antimoine ; Si : Silicium ; Sr : Strontium ; Ti : Titane ; V : Vanadium ; W : Tungstène ; Zn : Zinc ; Zr : Zirconium.

N° Inventaire	Type	Interprétation Matériau	Éléments chimiques																												
			Principaux								Secondaires																				
			Al	Ca	Fe	P	Si	As	Au	Ba	Bi	Cd	Cl	Co	Cr	Cu	K	Mg	Mn	Mo	Nb	Ni	Pb	Rb	S	Sr	Ti	V	W	Zn	Zr
6339-003	Perte	Coquille/ Pierre calcaire	1,563	88,764	0,974	0,729	6,532					0,007	0,023	0,007	0,841		0,059									0,062	0,315				0,007
6344-004	Perte	Coquille/ Pierre calcaire	0,735	95,009	0,186	0,573	2,762					0,013	0,016	0,008	0,331											0,022	0,205				0,016
6344-005	Perte	Coquille/ Pierre calcaire	0,611	94,412	0,326	0,616	2,920					0,015	0,020		0,702											0,015	0,215				0,012
6344-041	Perte	Coquille/ Pierre calcaire	1,229	89,605	1,180	0,719	5,519					0,033	0,015	0,018	1,124		0,056									0,013	0,289				0,015
6344-042	Perte	Coquille/ Pierre calcaire	1,186	90,564	0,601	0,794	5,594					0,023	0,025	0,007	0,709											0,127	0,260				0,009
6344-148	Perte	Coquille/ Pierre calcaire	0,618	90,045	0,817	1,153	5,244		0,006			0,034		0,020	1,310		0,068									0,157	0,268				0,017
6344-149	Perte	Coquille/ Pierre calcaire	1,059	89,115	0,920	1,049	6,148		0,008			0,008	0,021	0,018	1,069		0,044									0,031	0,279				0,015
6344-299	Perte	Coquille/ Pierre calcaire		95,256	0,367	0,865	2,664					0,026	0,017		0,495											0,038	0,075				0,023
6360-009	Perte	Coquille/ Pierre calcaire	2,221	79,753	1,387	3,772	10,299		0,005			0,063			1,576		0,136									0,129	0,310				0,015
M00436c	Perte	Coquille/ Pierre calcaire	0,458	94,829	0,600	1,262	1,980					0,016	0,028	0,007	0,320		0,074								0,014	0,195				0,009	
M00436e	Perte	Coquille/ Pierre calcaire		93,537	0,449	2,356	2,526					0,026	0,019		0,512		0,050									0,014	0,197				0,019
M0260	Perte	Coquille/ Pierre calcaire	0,494	94,966	0,407	0,618	2,490					0,024	0,017	0,015	0,390											0,022	0,237				0,012
M0405	Perte	Coquille/ Pierre calcaire	1,089	87,930	1,209	3,280	4,703					0,049	0,019	0,007	0,743		0,039									0,019	0,272				0,016
M0424	Perte	Coquille/ Pierre calcaire	0,592	95,170	0,256	0,739	2,394					0,016	0,016	0,029	0,338											0,018	0,245				0,016
M0436a	Perte	Coquille/ Pierre calcaire	0,374	95,694	0,319	0,951	1,872					0,020	0,014	0,007	0,351		0,032									0,014	0,172				0,007
M0436b	Perte	Coquille/ Pierre calcaire	0,688	93,658	0,772	1,844	2,182					0,018	0,023	0,007	0,203		0,079									0,018	0,207				0,011
M0436d	Perte	Coquille/ Pierre calcaire	0,577	96,193	0,158	0,914	1,442					0,016	0,020		0,267											0,023	0,183				0,005

## Annexe 3

# Tableau des éléments chimiques présents dans des objets du corpus

**Ag** : Argent ; **Al** : Aluminium ; **As** : Arsenic ; **Au** : Or ; **Ba** : Baryum ; **Bi** : Bismuth ; **Ca** : Calcium ; **Cd** : Cadmium ; **Cl** : Chlore ; **Co** : Cobalt ; **Cr** : Chrome ; **Cu** : Cuivre ; **Fe** : Fer ; **K** : Potassium ; **Mg** : Magnésium ; **Mn** : Manganèse ; **Mo** : Molybdène ; **Nb** : Niobium ; **Ni** : Nickel ; **P** : Phosphore ; **Pb** : Plomb ; **Rb** : Rubidium ; **S** : Soufre ; **Sb** : Antimoine ; **Si** : Silicium ; **Str** : Strontium ; **Ti** : Titane ; **V** : Vanadium ; **W** : Tungstène ; **Zn** : Zinc ; **Zr** : Zirconium.

N°inventaire	Type	Interprétation Matériau	Éléments chimiques																												
			Principaux										Secondaires																		
			Al	Ca	Fe	P	Si	As	Au	Ba	Bi	Cd	Cl	Co	Cr	Cu	K	Mg	Mn	Mo	Nb	Ni	Pb	Rb	S	Str	Ti	V	W	Zn	Zr
M0436f	Perte	Coquille/ Pierre calcaire		96,442	0,472	0,876	1,468					0,009	0,018	0,007	0,228		0,047				0,016	0,005			0,176	0,020	0,208			0,009	
M0436g	Perte	Coquille/ Pierre calcaire	0,782	95,849	0,205	0,811	1,666					0,011	0,018	0,009	0,194		0,036				0,023				0,171	0,025	0,194			0,007	
M0436h	Perte	Coquille/ Pierre calcaire	0,598	94,354	0,485	0,910	2,683					0,016	0,023	0,007	0,391										0,251	0,023	0,230		0,018	0,011	
M0436i	Perte	Coquille/ Pierre calcaire	0,548	94,138	0,390	1,386	2,602					0,019	0,023	0,009	0,317		0,035								0,236	0,016	0,243		0,026	0,012	
M0436j	Perte	Coquille/ Pierre calcaire		97,207	0,170	0,687	1,321					0,016	0,018		0,202										0,161	0,018	0,195			0,005	
M0436k	Perte	Coquille/ Pierre calcaire		96,774	0,166	0,807	1,416					0,021	0,000		0,286							0,021			0,263	0,023	0,214			0,009	
M0437	Perte	Coquille/ Pierre calcaire	2,324	88,877	0,284	0,416	5,165					0,019	0,021	0,004	0,414	1,740	0,024							0,420	0,017	0,228			0,006		
M0446	Perte	Coquille/ Pierre calcaire	1,299	90,448	1,103	0,722	4,948					0,032	0,025		0,799									0,290	0,018	0,292			0,009		
M0590	Perte	Coquille/ Pierre calcaire	0,448	95,686	0,201	0,570	1,856					0,018	0,018	0,011	0,242									0,687	0,020	0,233			0,009		
M0591	Perte	Coquille/ Pierre calcaire	1,059	91,960	0,928	0,576	4,030					0,016	0,016	0,122	0,526									0,383	0,016	0,286			0,068		
M0591	Perte	Coquille/ Pierre calcaire	0,728	92,775	0,654	0,622	3,521					0,018	0,018	0,112	0,477									0,746	0,018	0,266			0,062		
M0597	Perte	Coquille/ Pierre calcaire	1,595	92,794	0,369	0,410	3,563					0,023	0,031		0,439									0,597	0,023	0,264			0,004		
M0729	Perte	Coquille/ Pierre calcaire	0,528	94,065	0,751	0,914	2,463					0,018	0,032	0,007	0,468									0,482	0,021	0,223			0,009		

## Tableau des éléments chimiques présents dans des objets métalliques du corpus

**Ag** : Argent ; **Au** : Or ; **Bi** : Bismuth ; **Cd** : Cadmium ; **Cu** : Cuivre ; **Fe** : Fer ; **Ni** : Nickel ; **Pb** : Plomb

N° inventaire	Type	Nature	Éléments chimiques										
			Au	Ag	Cu	Fe	Bi	Cd	Ni	Pb			
6266-035	Perle	Cuivre			99,875	0,125							
6266-048	Perle	Cuivre			99,736	0,193		0,008	0,027		0,019	0,017	
6344-086	Perle	Or	90,570	8,364	0,075	0,991							
6344-790	Perle	Or	95,627	4,191		0,182							

## **La parure du site de Dikili Tash au Néolithique Récent (fin 6e et 5e millénaire av. J.-C.) dans son contexte égéo-balkanique**

### *Résumé*

Cette thèse porte sur l'étude exhaustive du corpus de parure du Néolithique Récent du site de Dikili Tash. Ce très riche corpus de plus de 2300 pièces comprend notamment un stock très important de parure découvert groupé dans une maison du Néolithique Récent II.

Les principaux types représentés dans ce corpus sont les perles (70 %), principalement en pierre, en terre cuite, en coquille et en métal, les pendentifs (12 %) en coquille et en pierre, les appliques en dent de suidé (11 %) et les anneaux en coquille (7 %). Les recherches sur la provenance des matériaux et l'étude tracéologique des pièces de parure permettent de reconstituer une partie des principales chaînes opératoires en jeu dans la fabrication de ces différents types.

Grâce à des informations spatiales et chronologiques très complètes, l'étude des contextes locaux, en particulier d'un certain nombre d'ensembles clos, permet d'appréhender l'évolution et la structure de la parure au cours du Néolithique Récent sur le site de Dikili Tash.

Les comparaisons entre le corpus de Dikili Tash et les pièces de parure connues dans le monde égéo-balkanique, du Péloponnèse au Danube, aident à comprendre les objets eux-mêmes et apportent des informations sur les éventuels réseaux de circulation des matières premières et des pièces produites. Elles mettent en évidence les connexions entre ces différentes communautés, qui possèdent un langage commun notamment dans le domaine de la parure.

*Mots-clés : Parure, chaîne opératoire, tracéologie, Néolithique Récent, aire égéo-balkanique.*

## **The jewellery from the Dikili Tash site at the Late Neolithic (late 6th and 5th millennium BC) in its Aegean-Balkan context**

### *Abstract*

This thesis is a comprehensive study of Late Neolithic jewellery from the Dikili Tash site. This vast corpus of over 2,300 objects includes a large stock of items discovered in a house dating to the Late Neolithic II.

Beads are the main type of ornament in the corpus (70%), they are made mainly from stone, terracotta, shell and metal, shell and stone pendants represent 12% of the corpus, boar tooth appliques make up 11% and shell rings 7%. We have been able to reconstruct some of the main processes involved in the manufacture of the adornments from research into the provenance of the materials and use-wear analysis.

Thanks to the wealth of spatial and chronological information, the study of local contexts and some specific assemblages provides a clearer picture of the evolution and organisation of jewellery making during the Late Neolithic at Dikili Tash.

Comparisons between the Dikili Tash corpus and known pieces from the Aegean-Balkan world, from the Peloponnese to the Danube, help us to understand the objects themselves and provide information about possible exchange networks used to provide raw materials and the manufactured pieces. They highlight the connections between these different communities, who shared a common language, particularly in the domain of adornments and jewellery.

*Keywords : Jewellery, Chaîne opératoire, use-wear analysis, Late Neolithic, Aegean-Balkan area*